



UNIVERSITAT POLITÈCNICA DE VALÈNCIA Escuela Técnica Superior de Ingenieros de Caminos, Canales y Puertos



**Proyecto de las estructuras para la  
conexión peatonal de los andenes de la  
estación de Font de Sant Lluís en  
Valencia**

.....

**ANEJO:05\_CÁLCULOS  
ESTRUCTURALES**

.....



---

## ÍNDICE ANEJO 05\_ CÁLCULOS ESTRUCTURALES

5.1. Materiales y vida útil .....	123
5.1.1. Materiales .....	123
5.1.2. Control de ejecución .....	124
5.1.3. Durabilidad .....	124
5.1.3.1. Estructuras de hormigón .....	124
5.1.3.2. Estructura metálica.....	125
5.2. Criterios generales y condicionantes previos:.....	126
5.2.1. Periodo de servicio .....	126
5.2.2. Geotecnia .....	126
5.3. Resistencia al fuego.....	127
5.4. Acciones consideradas en el cálculo .....	128
5.4.1. Acciones permanentes .....	128
5.4.1.1. Peso propio .....	128
5.4.1.2. Cargas permanentes .....	129
5.4.2. Acciones debidas al terreno .....	130
5.4.2.1. Empuje activo .....	130
5.4.2.2. Empuje pasivo .....	131
5.4.2.3. Empuje sísmico .....	132
5.4.3. Acciones variables.....	134
5.4.3.1. Sobrecargas de uso .....	134
5.4.4. Acciones accidentales .....	136
5.4.4.1. Acciones térmicas .....	136
5.4.4.2. Acciones sísmicas.....	136
5.5 Combinación de acciones consideradas en el cálculo.....	138



---

5.5.1. Estado límite último .....	138
5.5.2. Estado límite de servicio .....	139
5.5.3. Coeficientes de combinación .....	139
5.6 Programas de cálculo utilizados. ....	140
5.7. Descripción de los modelos de cálculo. ....	141
5.7.1. Paso inferior.....	141
5.7.2. Embocaduras.....	142
5.8 Listados de cálculo.....	143
5.8.1. Paso inferior:.....	144
5.8.1.1. Reparto de las acciones sobre el paso inferior:.....	144
5.8.1.2 Gráficos del modelo de cálculo.....	147
5.8.1.3 Definición del modelo de cálculo .....	154
5.8.1.4 Resultados del cálculo.....	156
5.8.1.5 Armado de la sección .....	162
5.8.1.6 Armado:.....	173
5.8.1.7 Cuadro de despiece. ....	175
5.8.1.9.- Del cálculo SAP2000.....	177
5.8.2 Pantallas .....	305
5.8.2.1 Pantalla de micropilotes cype .....	305
5.8.2.2 Pantalla de pilotes de hormigón CYPE.....	322
5.8.2.3 Muro pantalla de hormigón cype .....	338

---



---

## 5.1. Materiales y vida útil

---

### 5.1.1. MATERIALES

---

Los materiales con los cuales construiremos el paso inferior serán escogidos asemejando este a la construcción de un puente, ya que la normativa empleada para el cálculo del mismo ha sido la IAPF (Instrucción de Acciones a considerar en puentes de ferrocarril) y la EHE-08 (Instrucción del Hormigón Estructural), los datos de materiales se han obtenido de la última norma teniendo en cuenta la clase de exposición a la que se va a encontrar sometido el mismo, decir que sobre el material constituyente del puente, no se realizan ensayos adicionales encaminados a la obtención de sus características mecánicas.

#### HORMIGONES.

Hormigón de limpieza y nivelación en cimentaciones: HL-150/B/20

Hormigón para armar en cimentaciones: HA-30/B/20/IIa+Qa

Hormigón para armar en muros y losas: HA-30/B/20/IIa+Qa

Hormigón para armar en soleras: HA-30/B/20/IIa

#### ACERO ESTRUCTURAL.

El acero estructural será Acero S275 de grado “J0” en perfiles laminados y en chapas (placas de anclaje, cartelas y rigidizadores). El límite elástico será de  $f = 275 \text{ N/mm}^2$  y la carga unitaria de rotura será  $f = 410 \text{ N/mm}^2$ .

---

El acero pasivo será del tipo B500SD, siguiendo las recomendaciones de la instrucción EHE-08. El límite elástico será de 500 N/mm<sup>2</sup> y la carga unitaria de rotura  $f_u = 575$  N/mm<sup>2</sup>.

### 5.1.2. CONTROL DE EJECUCIÓN

---

El control de ejecución es intenso, siendo los coeficientes de minoración de los materiales los siguientes:

- Acero corrugado  $\gamma_s = 1,15$
- Hormigón  $\gamma_c = 1,50$
- Acero estructural s/ CTE SE-AE

### 5.1.3. DURABILIDAD

---

#### 5.1.3.1. ESTRUCTURAS DE HORMIGÓN

---

Teniendo en cuenta que se trata de elementos enterrados, las clases generales de exposición relativas a la corrosión de armaduras, según la tabla 8.2.2. de la EHE son:

- Elementos de hormigón en masa: I
- Elementos de hormigón armado: IIa

Según el 03\_ Anejo de Geología y Geotecnia se recomienda clasificar la zona de estudio con ataque débil, tipo de exposición Qa, asociado a la agresividad por



sulfatos y CO<sub>2</sub>. Sin embargo, no será necesario el empleo de cemento sulforresistente al no superarse los límites de 3.000 mg/kg de SO<sub>4</sub> para suelo y 600 mg/l de SO<sub>4</sub> para el agua.

Los recubrimientos nominales de las armaduras, según la tabla 37.2.4. de la EHE, son:

- Cimentaciones: 40 mm
- Muros: 40 mm
- Soleras: 30 mm

Se adoptan 40 mm de recubrimiento nominal para los elementos enterrados del proyecto.

La abertura máxima de fisura deberá ser la indicada en el artículo 49 de la instrucción EHE:

- Elementos enterrados:  $W_{\text{máx}} = 0.20 \text{ mm}$

---

#### **5.1.3.2. ESTRUCTURA METÁLICA**

---

Todos los elementos metálicos de la obra, a excepción de los empleados en situaciones provisionales irán protegidos con una epoxídica anticorrosión y con una capa de acabado, según UNE 23093-89, UNE 23820-1997 EX y CTE-DB-SI, previo tratamiento superficial hasta grado Sa 2 ½.

---

## **5.2. Criterios generales y condicionantes previos:**

---

### **5.2.1. PERIODO DE SERVICIO**

---

Se adopta un periodo de servicio para todas las estructuras del proyecto de 50 años.

### **5.2.2. GEOTECNIA**

---

Se ha realizado un estudio para caracterizar el terreno geotécnicamente, evaluar su capacidad portante y establecer la excavabilidad del mismo, el estudio se puede consultar en el anejo 03\_ Anejo de Geología y Geotecnia.

De los trabajos consultados se ha obtenido la siguiente estratigrafía:

- De 0,00 a 0,50 m: un nivel de asfalto, rellenos y hormigón.
- De 0,50 a 1,50 m: arcilla de color marrón, de consistencia blanda a firme. Limos arenosos. (unidad QMO)
- De 1,50 a 20,00 m: arcilla con arena fina y nódulos carbonatados (Unidad QL)

El nivel freático se registró a una profundidad de 4,00 m.

La mayor profundidad a la que se apoyará el paso es a 4,75 metros donde se situarán los pasillos del paso inferior. En esta profundidad se encontrará previsiblemente la unidad QL.



Los parámetros geotécnicos adoptados para esta unidad se muestran a continuación:

- Densidad seca:  $18,3 \text{ kN/m}^3$
- Cohesión:  $C' = 20 \text{ kPa}$
- Ángulo de rozamiento interno:  $\phi' = 25^\circ$
- Resistencia a compresión simple:  $110 \text{ kPa}$
- Módulo de balasto vertical:  $K_{BxL} = 1200 \text{ kN/m}^3$
- Módulo de balasto horizontal:  $K_h = 29100 \text{ kN/m}^3$
- $Q_{adm} = 180 \text{ kN/m}^2$

Se ha comprobado que el talud 3H:2V es el que cumple con los coeficientes de seguridad. Al tratarse de un talud temporal, la posibilidad de que se produjese un sismo durante el tiempo que la excavación está abierta es reducido, por lo que no es descartable del todo un talud 1H:1V en caso de no haber espacio suficiente para un talud 3H:2V. En caso de adoptar el talud más vertical se procurará mantener abierta la excavación el menor tiempo posible.

### 5.3. Resistencia al fuego

---

No es de aplicación la normativa (CTE DB-SI 6) de resistencia al fuego de la estructura metálica, ya que toda ella es exterior (marquesina). Por lo tanto no es necesario protegerla mediante pintura intumescente, según la siguiente tabla del código anterior.

Los elementos de hormigón cumplen con los recubrimientos exigidos para la resistencia al fuego.

**Tabla 3.1 Resistencia al fuego suficiente de los elementos estructurales**

Uso del sector de incendio considerado <sup>(1)</sup>	Plantas de sótano	Plantas sobre rasante altura de evacuación del edificio		
		<15 m	<28 m	≥28 m
Vivienda unifamiliar <sup>(2)</sup>	R 30	R 30	-	-
Residencial Vivienda, Residencial Público, Docente, Administrativo	R 120	R 60	R 90	R 120
Comercial, Pública Concurrencia, Hospitalario	R 120 <sup>(3)</sup>	R 90	R 120	R 180
Aparcamiento (edificio de uso exclusivo o situado sobre otro uso)		R 90		
Aparcamiento (situado bajo un uso distinto)		R 120 <sup>(4)</sup>		

<sup>(1)</sup> La resistencia al fuego suficiente de un suelo es la que resulte al considerarlo como techo del sector de incendio situado bajo dicho suelo.

<sup>(2)</sup> En viviendas unifamiliares agrupadas o adosadas, los elementos que formen parte de la estructura común tendrán la resistencia al fuego exigible a edificios de uso Residencial Vivienda.

<sup>(3)</sup> R 180 si la altura de evacuación del edificio excede de 28 m

<sup>(4)</sup> R 180 cuando se trate de aparcamientos robotizados.

## 5.4. Acciones consideradas en el cálculo

### 5.4.1. ACCIONES PERMANENTES

#### 5.4.1.1. PESO PROPIO

- Peso propio de las estructuras: Para considerar el peso propio de los elementos resistentes, como soleras, losas, pilares, muros y vigas, se multiplica su área por el peso específico del material correspondiente. En el caso del hormigón estructural se ha considerado un peso específico de 25.0 kN/m<sup>3</sup>, y en el caso del acero estructural se ha considerado un peso específico de 78.5 kN/m<sup>3</sup>.



---

#### 5.4.1.2. CARGAS PERMANENTES

---

- Marquesinas (Cerramientos): 0.25 kN/m<sup>2</sup>, peso de la cubierta, falso techo e instalaciones de iluminación.
- Carriles UCI-54:  $\gamma_{\text{UCI-54}} = 0.544 \text{ KN/m}$

$$G_{k,\text{carriles}} = \frac{2 \cdot 0.544}{2.60 + 2 \cdot 0.3 \cdot 1/4} = \mathbf{0.4 \text{ kn/m}}$$

- Traviesas de hormigón monobloque:

$$\gamma_{\text{Traviesas}} = 3 \text{ kn/ud separadas a } 0,60 \text{ m}$$

$$Q_{\text{Traviesas}} = 3 \cdot \frac{0.60}{1} = 5 \text{ kn/m}$$

$$G_{k,\text{Traviesas}} = \frac{5}{2.75} = \mathbf{1.82 \text{ kn/m}}$$

- Balasto:

$$\gamma_{\text{Balasto}} = 18 \text{ kn/m}^3 \text{ e}=0.3 \text{ m}$$

$$G_{k,\text{Balasto}} = 0,3 \cdot 18 = 5.40 \text{ kn/m}$$

$$G_{k,\text{Balasto, inf}} = 0,7 \cdot 5.40 = \mathbf{3.78 \text{ kn/m}}$$

$$G_{k,\text{Balasto, sup}} = 1,3 \cdot 5.40 = \mathbf{7.02 \text{ kn/m}}$$

- Peso Tierras, las cuales forman la explanada sobre la que se asientan las vías de tren, para el reparto de la carga ferroviaria se toma una altura de tierras 0.5 m como media, aunque se ha tomado como acción de tierras una altura de 1.00 m (sección más desfavorable).

$$\gamma_{\text{Tierras}} = 18 \text{ kn/m}^3$$

$$G_{k,\text{Tierras}} = 1 \cdot 1 \cdot 18 = \mathbf{18 \text{ kn/m}}$$

- Paso Inferior y embocaduras: carga muerta debida al peso de solados 2.00 kN/m<sup>2</sup>.



---

### **5.4.2. ACCIONES DEBIDAS AL TERRENO**

---

En este apartado se consideran las acciones originadas por el terreno natural o de relleno, sobre los elementos estructurales en contacto con él.

La acción del terreno sobre la estructura es doble: peso sobre elementos horizontales y empuje sobre elementos verticales.

El peso se determinará aplicando al volumen de terreno que gravita sobre la superficie del elemento horizontal, el peso específico del relleno vertido y compactado.

El empuje es función de las características del terreno y de la interacción terreno-estructura, de acuerdo con la formulación que se describe más adelante. En ningún caso, en que su actuación sea desfavorable para el efecto estudiado, el valor del empuje será inferior al equivalente empuje hidrostático de un fluido de peso específico igual a  $5.00 \text{ kN/m}^3$ .

En el caso en que exista una incertidumbre sobre la posible actuación del empuje de tierras, deberá no considerarse en los casos en que su actuación sea favorable para el efecto en estudio.

---

#### **5.4.2.1. EMPUJE ACTIVO**

---

A efectos del cálculo de estabilidad y tensiones en el terreno, se considera una ley triangular, actuando sobre un plano vertical desde la parte final del talón.

La ley de empujes es efectiva desde la superficie del terreno. Los coeficientes de empuje considerados han sido los que proporciona el Estado de Rankine:



$$\lambda_h = \cos^2 \beta \frac{\cos \beta - \sqrt{\cos^2 \beta - \cos^2 \phi}}{\cos \beta + \sqrt{\cos^2 \beta - \cos^2 \phi}} \quad \text{Coeficiente de empuje horizontal}$$

$$\lambda_v = \sin \beta \cos^2 \beta \frac{\cos \beta - \sqrt{\cos^2 \beta - \cos^2 \phi}}{\cos \beta + \sqrt{\cos^2 \beta - \cos^2 \phi}} \quad \text{Coeficiente de empuje}$$

vertical

siendo:

$\phi$       ángulo de rozamiento interno del relleno.

$B$       ángulo que forma el talud de coronación con la horizontal.

A efectos del cálculo estructural del hastial del muro, se considera una ley triangular actuando desde la sección inferior del mismo hasta su coronación. Se admite que el relleno del trasdós es de la suficiente calidad como para suponer que el empuje es el correspondiente al Estado de Coulomb, con un ángulo de rozamiento tierras-muro de  $\delta$ .

$$\lambda_h = \frac{\sin^2 (\alpha + \phi)}{\sin^2 \alpha \left[ 1 + \sqrt{\frac{\sin (\phi + \delta) \sin (\phi - \beta)}{\sin (\alpha + \delta) \sin (\alpha - \beta)}} \right]} \quad \text{Coeficiente de empuje}$$

horizontal

siendo:

$\delta$       ángulo de rozamiento tierras-muro

$\alpha$       ángulo que forma el trasdós con la horizontal

#### **5.4.2.2. EMPUJE PASIVO**

Para la evaluación del empuje pasivo se supone una ley triangular actuando desde la parte superior de la puntera, sin tener en cuenta, por tanto, el relleno situado sobre la misma.

$$\lambda_h = 0,5 \frac{1 + \operatorname{sen} \varphi}{1 - \operatorname{sen} \varphi} \quad \text{Coeficiente de empuje horizontal.}$$

Se considera un coeficiente parcial de seguridad de 0,5 en la formulación de Rankine, para tener en cuenta la incertidumbre en el valor de esta acción.

### 5.4.2.3. EMPUJE SÍSMICO

Para el caso del empuje sísmico sobre los muros, la I.A.P.F introduce las expresiones de Mononobe-Okabe para una primera aproximación de los empujes activos y pasivos.

Las expresiones de Mononobe-Okabe se indican a continuación:

$$K_{ad} = E_a = \frac{1}{2} \gamma h^2 (1 - K_v) \frac{\cos^2 (\phi + \beta - \theta)}{\cos \theta \cos^2 \beta \cos (\delta + \beta + \theta) \left[ 1 + \sqrt{\frac{\operatorname{sen} (\phi + \delta) \operatorname{sen} (\phi - i - \theta)}{\cos (\delta + \beta + \theta) \cos (i - \beta)}} \right]}$$

Donde:

$\gamma$  peso específico del terreno

$h$  altura del estribo o muro

$$\theta = \arctg \frac{K_h}{1 - K_v}$$

$\delta, \beta, i$  son los ángulos indicados en la figura siguiente, tomados con el criterio de signo en ella especificado

$\phi$  ángulo de rozamiento interno

$K_v$  coeficiente de aceleración vertical, que, como primera aproximación, puede tomarse como 0.

$K_h$  coeficiente de aceleración horizontal cuyo valor será:

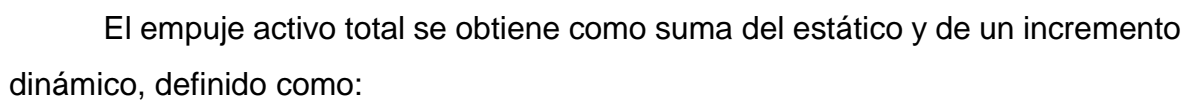
$a_c/2g$ : si no existen restricciones importantes en el movimiento.

$1,5 a_c/2g$ : si existen restricciones importantes del movimiento (pilotes, anclajes...).

Siendo:

$a_c$ : aceleración de cálculo ( $m/s^2$ ).

$g$ : aceleración de la gravedad ( $9,8 m/s^2$ ).



En consecuencia:

---

### 5.4.3. ACCIONES VARIABLES

---

---

#### 5.4.3.1. SOBRECARGAS DE USO

---

- Trasdós de muros y pantallas: Se han considerado  $10 \text{ kN/m}^2$  como sobrecarga de uso.
- Carga ferroviaria: La carga ferroviaria introducida en el cálculo del paso inferior será la descrita posteriormente como indica la IAPF-07, esta carga ira recorriendo el paso inferior por completo de derecha a izquierda, asemejando los diferentes casos de carga al paso de un tren completo por encima del mismo, por lo que la carga ferroviaria total será la envolvente de los distintos tipos de carga que se han introducido para su cálculo. En el apartado 5.8.1.1 de este mismo documento se han mostrado cuatro de los cuarenta distintos casos de carga de esta sobrecarga, y posteriormente en el apartado 5.8.1.3 se muestra el resultado de la envolvente de los mismos.

Como dicta la IAPF-07 La carga estática producida por el peso de los vehículos ferroviarios sobre una vía se asimilará a la del tren UIC-71. Dicho tren se definirá por las siguientes acciones actuando simultáneamente.

a) Cuatro ejes de  $250 \text{ kN}$  dispuestos en el eje de la vía, separados longitudinalmente entre sí  $1,6 \text{ m}$ , en la posición que resulte más desfavorable.

b) Una sobrecarga uniformemente repartida de  $80 \text{ kN/m}$  extendida en la longitud y posición que sea más desfavorable.

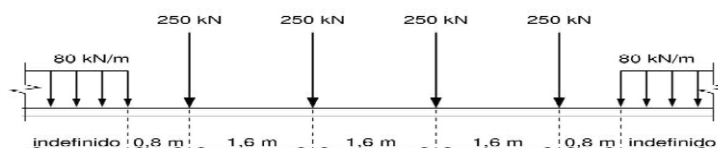


Figura 2.1: Tren de cargas verticales UIC71



Los dos tipos de acciones anteriores irán multiplicadas por un coeficiente de clasificación,  $\alpha$ , cuyo valor será:

$\alpha = 1,21$  para vías de ancho ibérico o UIC.

$\alpha = 0,91$  para vías de ancho métrico.

### Efectos dinámicos:

Las solicitaciones y deformaciones reales debidas al tráfico ferroviario son de naturaleza dinámica. Sus valores pueden ser considerablemente mayores que los debidos a acciones estáticas, por ello se define el coeficiente de impacto  $\phi$  :

- Para vías con un mantenimiento cuidadoso:

$$\phi_2 = \frac{1,44}{\sqrt{L\phi - 0,20}} + 0,82 \quad \text{con } 1 \geq \phi_2 \geq 1,67$$

- Para vías con mantenimiento normal:

$$\phi_3 = \frac{2,16}{\sqrt{L\phi - 0,20}} + 0,73 \quad \text{con } 1 \geq \phi_3 \geq 2,00$$

### Frenado y arranque

De acuerdo con la IAPF-07, las acciones de frenado y arranque de los vehículos ferroviarios se asimilarán a fuerzas horizontales, paralelas a la vía, repartidas uniformemente a lo largo de una determinada longitud y aplicadas a nivel del plano medio de rodadura. El valor global de estas acciones, para una vía, será:

Fuerza de arranque:  $Q_{lak} = \alpha \cdot 33 \text{ [kN/m]} \cdot L \text{ [m]}$  con  $L \geq 30 \text{ m}$

Fuerza de frenado:  $Q_{lbk} = \alpha \cdot 20 \text{ [kN/m]} \cdot L \text{ [m]}$  con  $L \geq 300 \text{ m}$

No se considera su actuación sobre el paso inferior.

### Sobrecarga en terraplenes

---

Tal y como se expresa en la IAPF-07, para el cálculo de empujes del terreno sobre elementos de la estructura en contacto con él, se considerará la actuación sobre la zona de coronación de terraplén en la que puede actuar el tráfico ferroviario, de una sobrecarga uniforme de  $\alpha$  30 kN/m<sup>2</sup>, siendo  $\alpha$  el coeficiente de clasificación, cuyo valor será:

$\alpha = 1,21$  para vías de ancho ibérico o UIC.

$\alpha = 0,91$  para vías de ancho métrico.

Esta sobrecarga sólo se tendrá en cuenta cuando la distancia horizontal entre el eje de la vía y la estructura sea menor o igual que la mitad de su altura.

#### **5.4.4. ACCIONES ACCIDENTALES**

---

---

##### **5.4.4.1. ACCIONES TÉRMICAS**

---

Según el CTE, en edificios habituales con elementos estructurales de hormigón o acero, pueden no considerarse las acciones térmicas cuando se dispongan juntas de dilatación de forma que no existan elementos continuos de más de 40 m de longitud. Se dispondrán de juntas de dilatación en la solera de hormigón a cada 20 m.

---

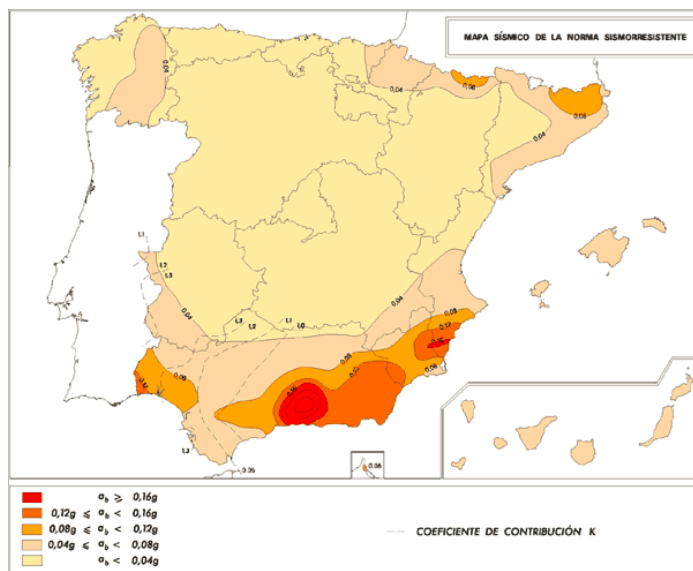
##### **5.4.4.2. ACCIONES SÍSMICAS**

---

Consultada la Norma de Construcción Sismorresistente NCSE-02 el término municipal de Valencia (C. Valenciana), se encuentra en el Anejo 1 de la citada norma, con un valor de  $a_b = 0,06g$  junto con el valor del coeficiente de contribución  $K = (1,00)$ .



A continuación se muestra el mapa de peligrosidad sísmica en España.



*Mapa de peligrosidad sísmica de España*

Dado que el coeficiente adimensional de riesgo para una construcción de importancia especial es de 1,30 y que para  $p \cdot a_b < 0,1g$ , el coeficiente de amplificación del terreno S está dado por:

$$S = C/1,25$$

Se obtiene:

$$S = 1,6$$

Resulta que la aceleración de cálculo será:

$$a_c = S \cdot p \cdot a_b \leq 1,6 \cdot 1,30 \cdot 0,06g = 0,125g$$

$$a_c = 0,125g$$



---

## 5.5 Combinación de acciones consideradas en el cálculo

---

### 5.5.1. ESTADO LÍMITE ÚLTIMO

---

Para las distintas situaciones de proyecto, las combinaciones de acciones se definirán de acuerdo con los siguientes criterios:

Situaciones permanentes o transitorias:

$$\sum_{j \geq 1} \gamma_{G,j} G_{k,j} + \sum_{j \geq 1} \gamma_{G^*,j} G_{k,j}^* + \gamma_P P_k + \gamma_{Q,1} Q_{k,1} + \sum_{i > 1} \gamma_{Q,i} \psi_{0,i} Q_{k,i}$$

Situaciones accidentales:

$$\sum_{j \geq 1} \gamma_{G,j} G_{k,j} + \sum_{j \geq 1} \gamma_{G^*,j} G_{k,j}^* + \gamma_P P_k + \gamma_A A_k + \gamma_{Q,1} \psi_{1,1} Q_{k,1} + \sum_{i > 1} \gamma_{Q,i} \psi_{2,i} Q_{k,i}$$

Situaciones sísmicas:

$$\sum_{j \geq 1} \gamma_{G,j} G_{k,j} + \sum_{j \geq 1} \gamma_{G^*,j} G_{k,j}^* + \gamma_P P_k + \gamma_A A_{E,k} + \sum_{i > 1} \gamma_{Q,i} \psi_{2,i} Q_{k,i}$$

donde:

$G_{k,j}$  Valor característico de las acciones permanentes.

$G_{k,j}^*$  Valor característico de las acciones permanentes de valor no constante.

$P_k$  Valor característico de la acción del pretensado.

$Q_{k,1}$  Valor característico de la acción variable determinante.

$\psi_{0,i} Q_{k,i}$  Valor representativo de combinación de las acciones variables concomitantes.

$\psi_{1,i} Q_{k,1}$  Valor representativo frecuente de la acción variable determinante.

$\psi_{2,i} Q_{k,i}$  Valores representativos cuasipermanentes de las acciones variables con la acción determinante o con la acción accidental.



$A_k$  Valor característico de la acción accidental.

$A_{E,k}$  Valor característico de la acción sísmica.

### 5.5.2. ESTADO LÍMITE DE SERVICIO

Para estos Estados Límite se consideran únicamente las situaciones de proyecto persistentes y transitorias. Las combinaciones de acciones se definen de acuerdo con los siguientes criterios:

Combinación característica (poco probable o rara):

$$\sum \gamma_{G,i} G_{k,i} + \sum \gamma_{Q,1} Q_{k,1} + \sum \gamma_{Q,i} \psi_{0,i} Q_{k,i}$$

Combinación frecuente:

$$\sum \gamma_{G,i} G_{k,i} + \sum \gamma_{Q,1} \psi_{1,1} Q_{k,1} + \sum \gamma_{Q,i} \psi_{2,i} Q_{k,i}$$

Combinación cuasipermanente:

$$\sum \gamma_{G,i} G_{k,i} + \sum \gamma_{Q,i} \psi_{2,i} Q_{k,i}$$

### 5.5.3. COEFICIENTES DE COMBINACIÓN

Se establecen los siguientes coeficientes de combinación:

Tipo de Carga	$\psi_0$	$\psi_1$	$\psi_2$
Gravitatorias	0.70	0.50	0.30
Móviles	0.70	0.50	0.60
Viento	0.60	0.50	0.00
Nieve	0.50	0.20	0.00
Temperatura	0.60	0.50	0.00

$\psi_0$ : Valor de combinación para situación característica (poco probable o rara).

---

$\psi_1$ : Valor de combinación para situación frecuente.

$\psi_2$ : Valor de combinación para situación cuasipermanente.

## 5.6 Programas de cálculo utilizados

---

- **CYPE**: El programa CYPE calcula el equilibrio elastoplástico de elementos de contención de tierras en varios tipos de terrenos. Los cálculos siguen, paso a paso, la secuencia de las fases de ejecución, ya que éstas condicionan los esfuerzos sobre el elemento de contención. El cálculo elastoplástico de los elementos que componen el sistema se basa en el método de los elementos finitos.

- **SAP 2000**: programa de cálculo de estructuras mediante el método de elementos finitos.

- **PRONTUARIO INFORMÁTICO DEL HORMIGÓN**: Se trata de una herramienta informática general en cuanto al hormigón armado. Permite diseñar secciones a cualquier estado límite, además de comprobar otros temas como durabilidad, sistemas constructivos, etc. En este caso ha sido empleada para el armado de elementos de hormigón.



---

## 5.7. Descripción de los modelos de cálculo

---

### 5.7.1. PASO INFERIOR

---

Se ha realizado un modelo de cálculo reticulado plano, de barras y nudos en el programa SAP2000. Se ha modelizado una sección de 1 metro de ancho, ya que el comportamiento del marco queda representado, por el comportamiento de la rebana de anchura unidad más solicitada del mismo, al tratarse de un marco de forma regular (un prima) y estar las cargas suficientemente repartidas sobre el mismo. Por lo que se han obtenido los esfuerzos para las hipótesis estudiadas sobre esta rebanada más citada (sección pésima).

Las uniones entre nudos son rígidas, cada viga modulada en el modelo de cálculo del SAP2000, ha sido discretizada en diez elementos lineales proporcionales actuando estos como elementos finitos, el modelo consta de 3 secciones distintas solera, hastiales y losa superior.

El apoyo del cajón sobre el terreno, se simula mediante la actuación de la losa inferior como una cimentación flexible del conjunto, cuya respuesta depende de la interacción que se produzca entre esta cimentación y el terreno, por ello suponemos que el apoyo de los nodos inferiores está representado por muelles cuya constante elástica se deduce del coeficiente de balasto, obtenido en el estudio geotécnico.

En el apartado 5.8.1. de este mismo documento, se detalla el cálculo del paso inferior.

---

### **5.7.2. EMBOCADURAS.**

---

Las embocaduras se han modelizado mediante pantallas en el programa CYPE. A partir de los empujes que transmiten el terreno y las sobrecargas, se obtienen los esfuerzos en la estructura y los desplazamientos de la pantalla.

Se han limitado los desplazamientos para evitar efectos negativos sobre el resto de las estructuras y la plataforma ferroviaria.

Para el cálculo de las embocaduras tenemos distintos tipos de pantallas ya que se ha calculado una para cada solución constructiva, pantalla de micropilotes metálicos, pantalla de pilotes de hormigón armado y muro pantalla.

Las pantallas se arriostran en la cabeza mediante una viga de coronación de 400x400 mm de sección, y en niveles inferiores mediante apuntalamientos formados por perfiles metálicos de sección HEB-120.

Los cálculos y resultados de cada una de las pantallas se muestran a continuación en el apartado 5.8.2. de este mismo documento.



## **5.8 Listados de cálculo**

---

### **5.8.1. PASO INFERIOR**

---

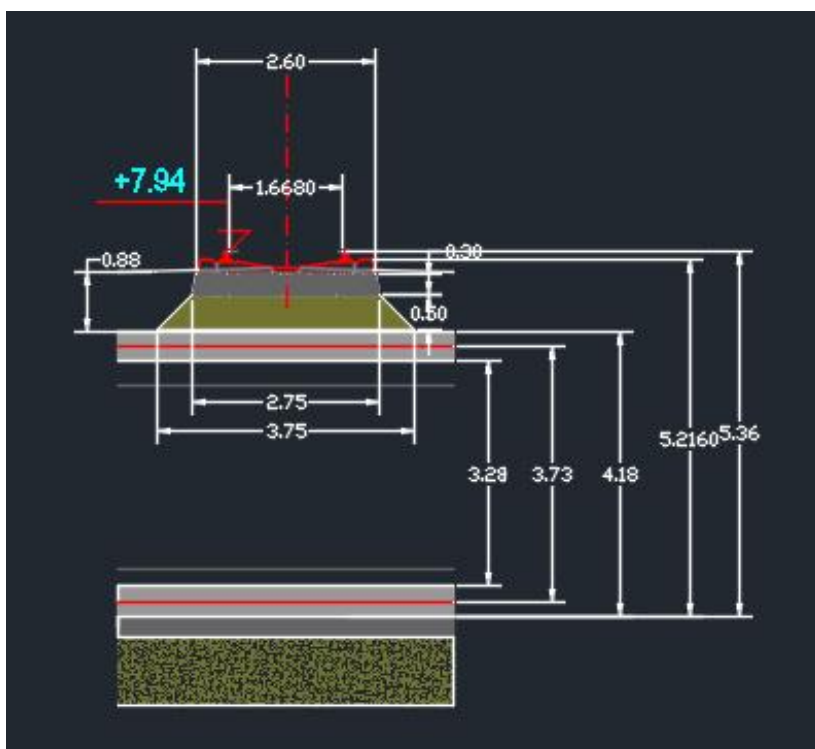
---

#### **5.8.1.1. REPARTO DE LAS ACCIONES SOBRE EL PASO INFERIOR**

---



## Croquis



## DATOS DEL TERRENO

RELLENO				COTAS		
$\phi$	30	°		ANDEN	8,57	m
C	0	Kpa		RODADURA	7,89	m
ac	0,125	g		LOSA SUP sup	6,65	m
H	5,15	m		ELE LOSA SUP	6,245	
$\beta$	0	°		LOSA SUP inf	6,02	m
i	$\gamma$	0	°	N.F	4	m
$\delta$	18	K/m <sup>3</sup>		SOLERA	3,04	m
$\theta$	20	°		EJE SOLERA	2,815	
	1,45698	°		HL	2,57	m
Kh	0,125					
Kv	0					



## PERMANENTES

## CARGAS MUERTAS

## CM CARRILES UCI-54

	0,544	= KN/m
n =	2	ud
L reparto =	2,75	m
<b>CM =</b>	<b>0,40</b>	<b>kn/m</b>

## BALASTO

	18	= KN/m <sup>3</sup>
e =	0,3	m
<b>CM =</b>	<b>5,4</b>	<b>kn/m</b>

Vsup CM 7,02 kn/m

Vinf CM 3,78 kn/m

## TRAVIESAS H.MONOBL

	3	KN/Ud
s =	0,6	m
q =	5	kn/m
L reparto =	2,75	m
<b>CM =</b>	<b>1,82</b>	<b>kn/m</b>

## TIERRA

	18	KN/m <sup>3</sup>
e =	1	m
<b>CM =</b>	<b>18</b>	<b>kn/m</b>

## EMPUJE

## E TIERRAS

h =	1	m
$\phi$ =	0	°
C =	0	Kpa
$\gamma$ =	18	Kn/m <sup>3</sup>
K = 1- SEN( $\phi$ )	0,5	
<b>e sup =</b>	<b>9</b>	<b>Kn/m<sup>2</sup></b>
<b>e inf =</b>	<b>44,595</b>	<b>Kn/m<sup>2</sup></b>

## E AGUA

$\gamma$ =	10	Kn/m <sup>3</sup>
h =	1,185	m
<b>SUPRESION</b>	<b>11,85</b>	<b>Kn/m</b>

## E SISMICO

$\phi$	30	°
C	0	Kpa
ac	0,125	g
H	5,15	m
$\beta$	0	°
i	0	°
$\gamma$	18	K/m <sup>3</sup>
$\delta$	20	°
$\theta$	8,68076864	°
Kh	0,125	
Kv	0	
Kae	0,33	
Kad	0,44	
$\Delta$	24,35	
Eap		
<b>e sismo</b>	<b>9,46</b>	

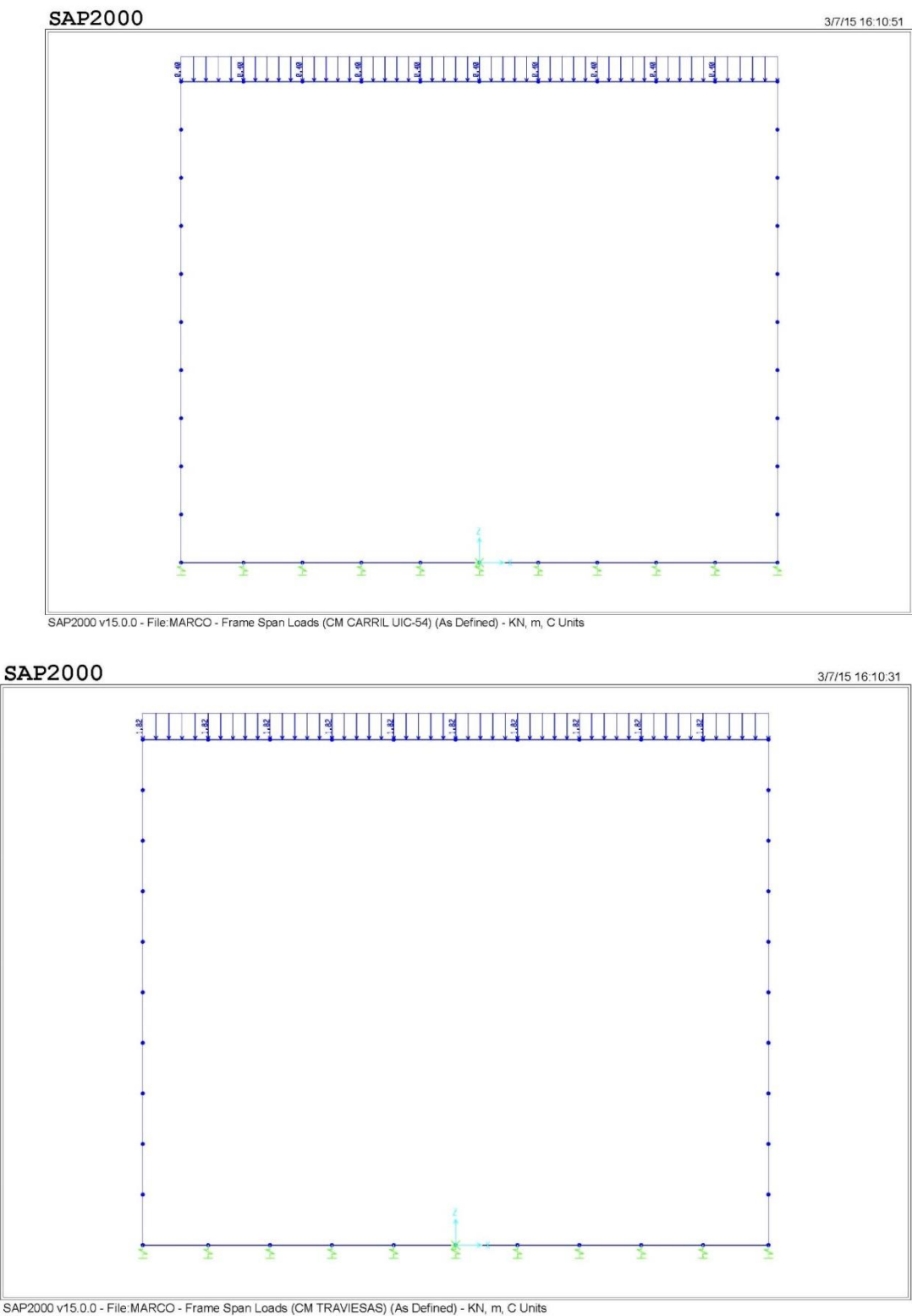


---

#### **5.8.1.2 GRÁFICOS DEL MODELO DE CÁLCULO**

---

Acciones:

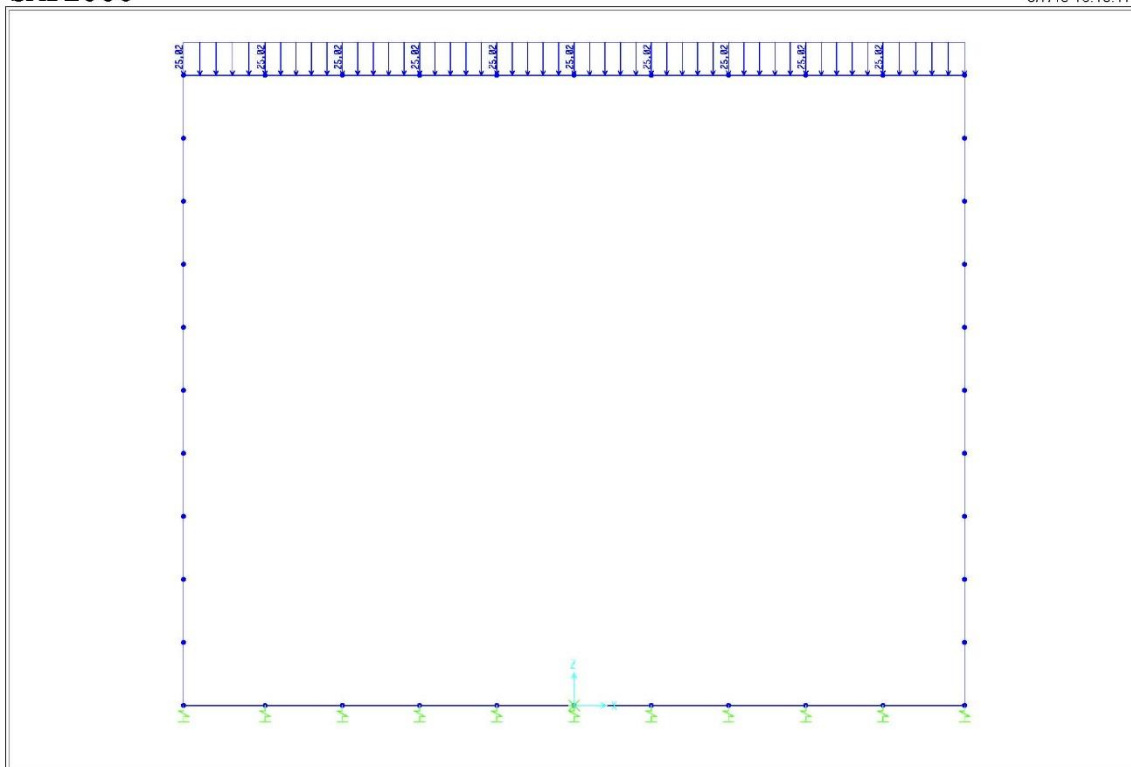




# “Proyecto de las estructuras para la conexión peatonal de los andenes de la estación de Font de Sant Lluís en Valencia”.

SAP2000

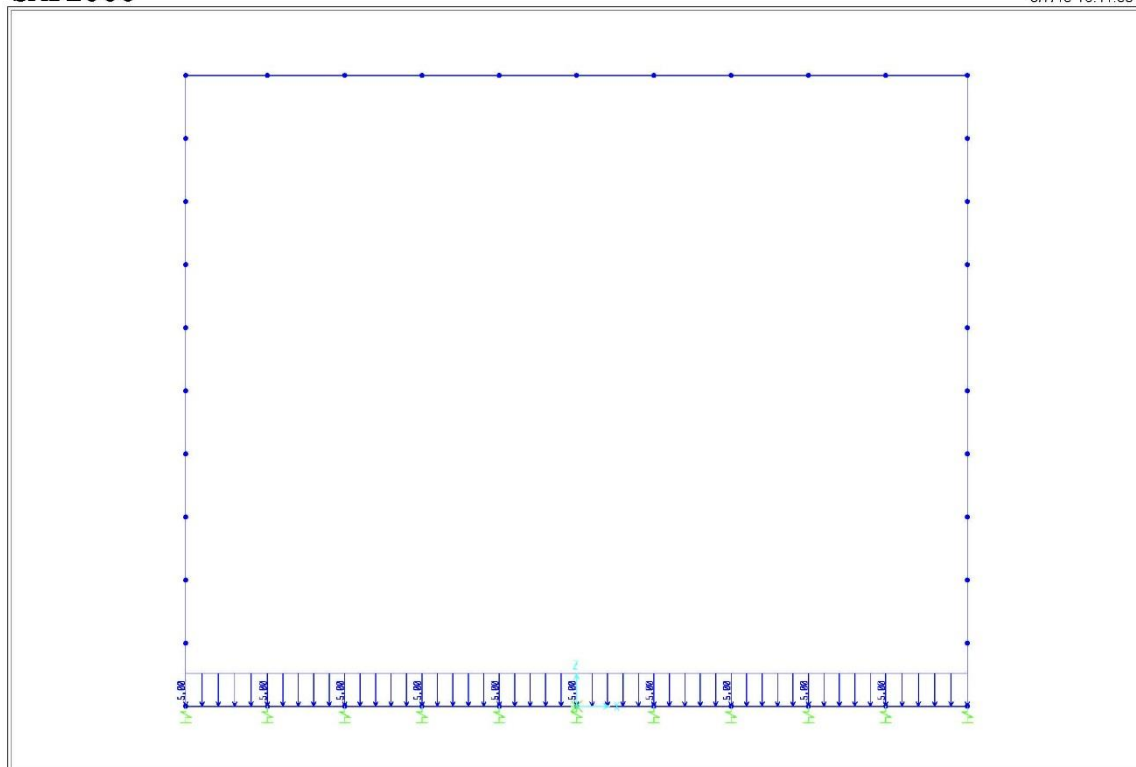
3/7/15 16:10:11



SAP2000 v15.0.0 - File:MARCO - Frame Span Loads (CM TIERRA+BALASTO) (As Defined) - KN, m, C Units

SAP2000

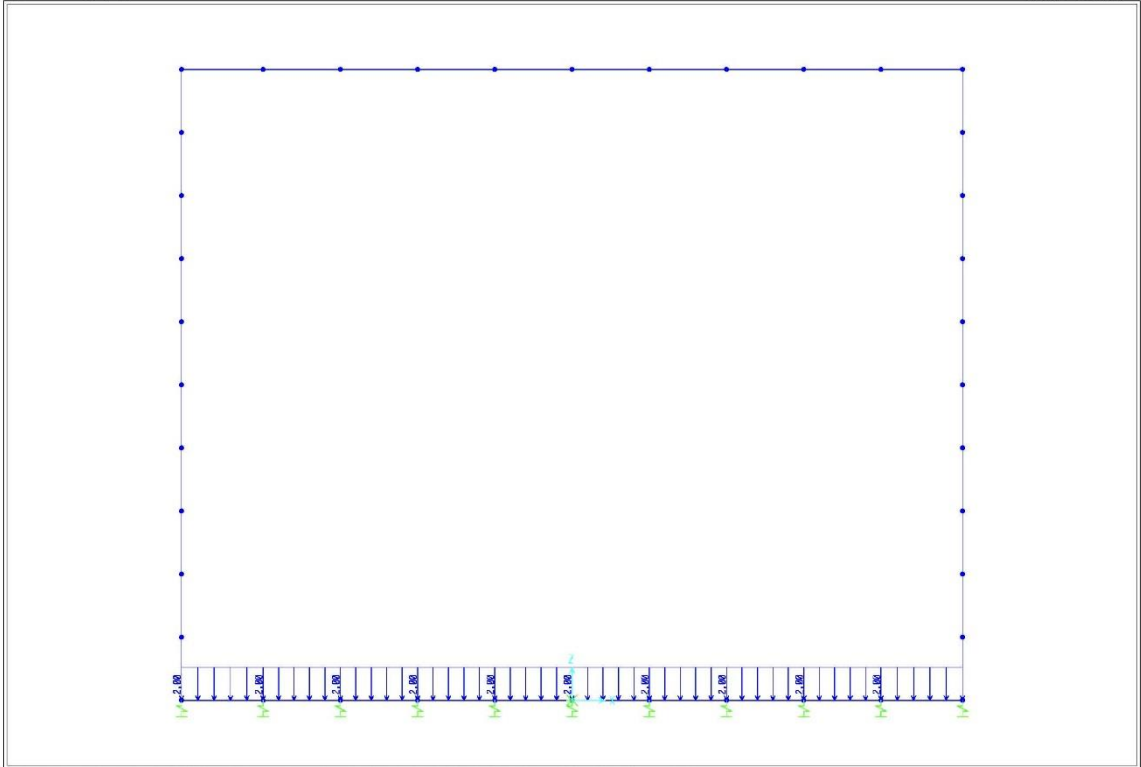
3/7/15 16:11:58



SAP2000 v15.0.0 - File:MARCO - Frame Span Loads (SBC SUELO SOLERA) (As Defined) - KN, m, C Units

SAP2000

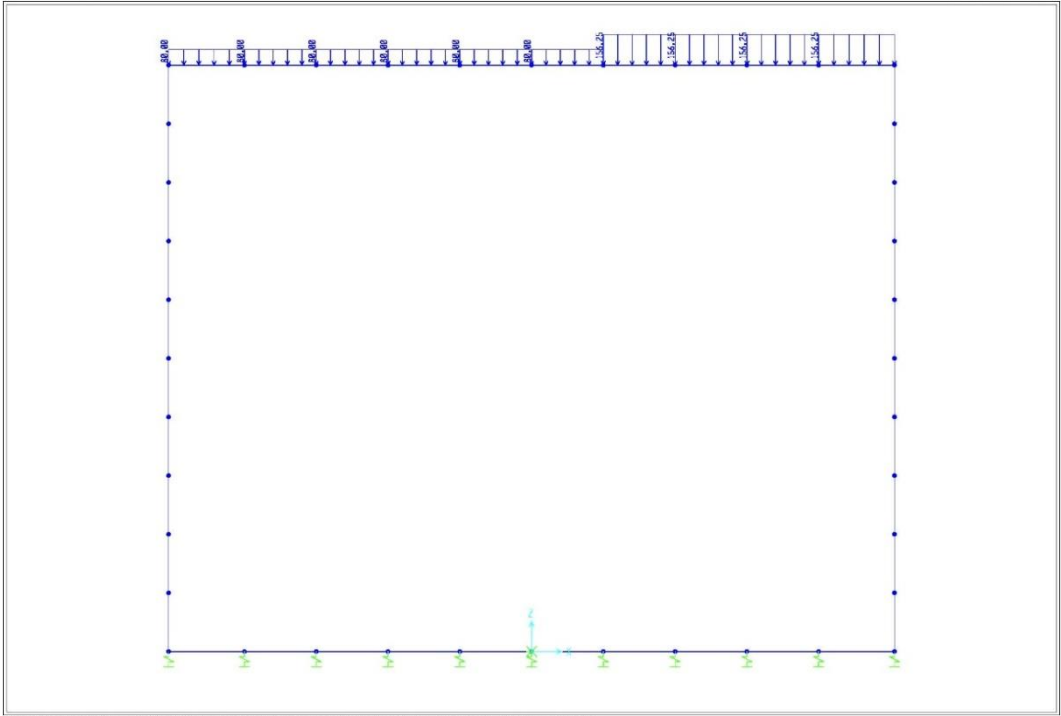
3/7/15 16:11:37



SAP2000 v15.0.0 - File:MARCO - Frame Span Loads (CM SUELO SOLERA) (As Defined) - KN, m, C Units

SAP2000

3/7/15 16:31:37



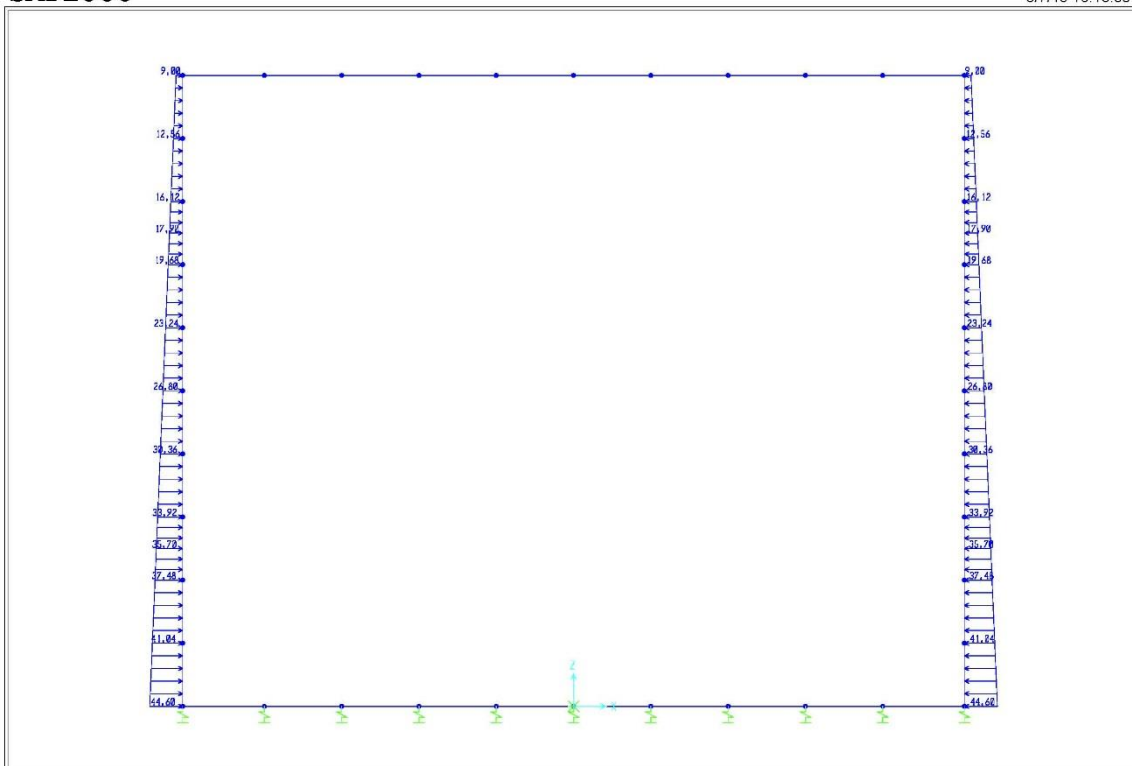
SAP2000 v15.0.0 - File:MARCO - Frame Span Loads (TREN\_14) (As Defined) - KN, m, C Units



# “Proyecto de las estructuras para la conexión peatonal de los andenes de la estación de Font de Sant Lluís en Valencia”.

SAP2000

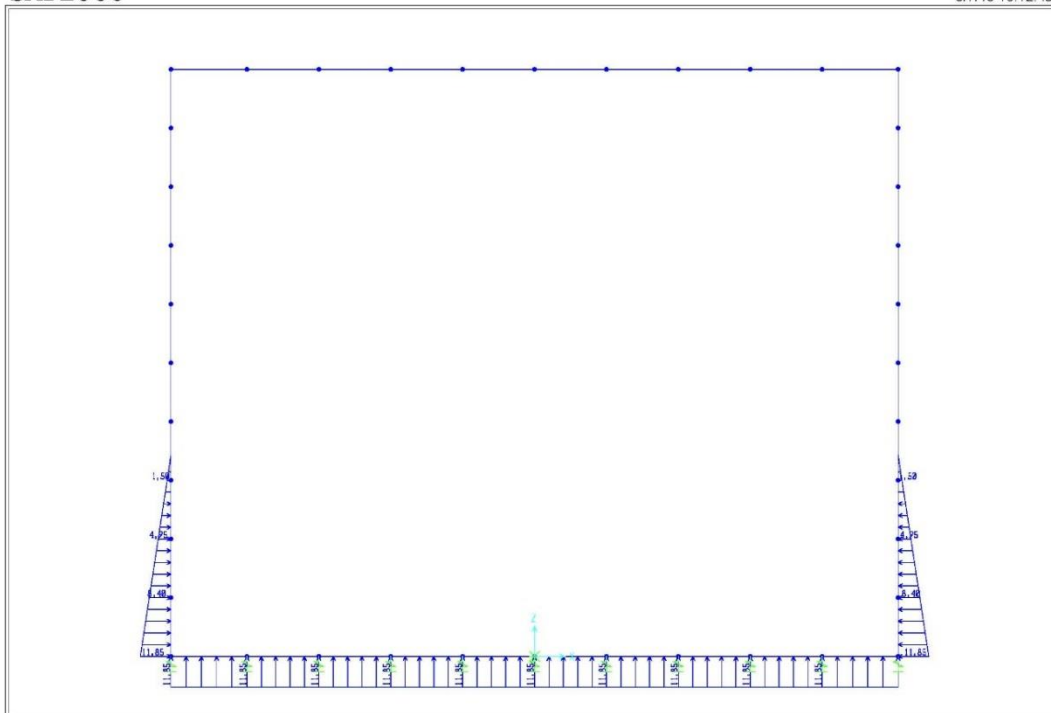
3/7/15 16:13:03



SAP2000 v15.0.0 - File:MARCO - Frame Span Loads (EMPUJE TIERRAS) (As Defined) - KN, m, C Units

SAP2000

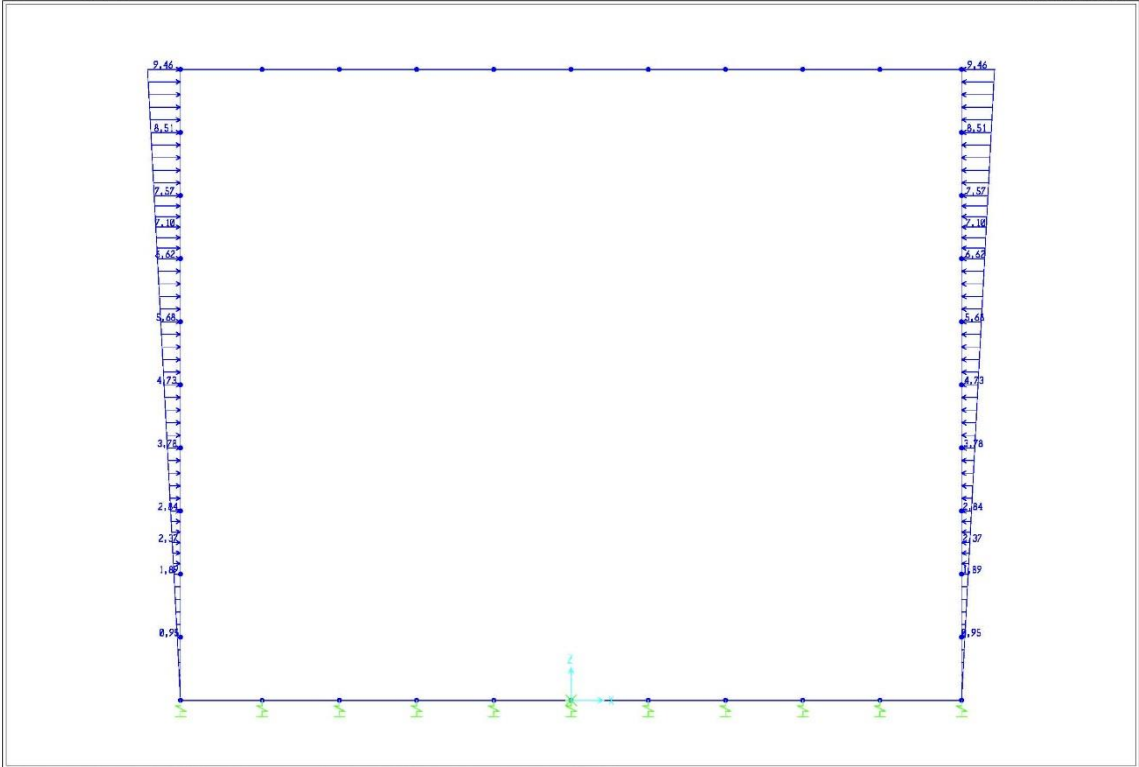
3/7/15 16:12:48



SAP2000 v15.0.0 - File:MARCO - Frame Span Loads (EMPUJE AGUA) (As Defined) - KN, m, C Units

SAP2000

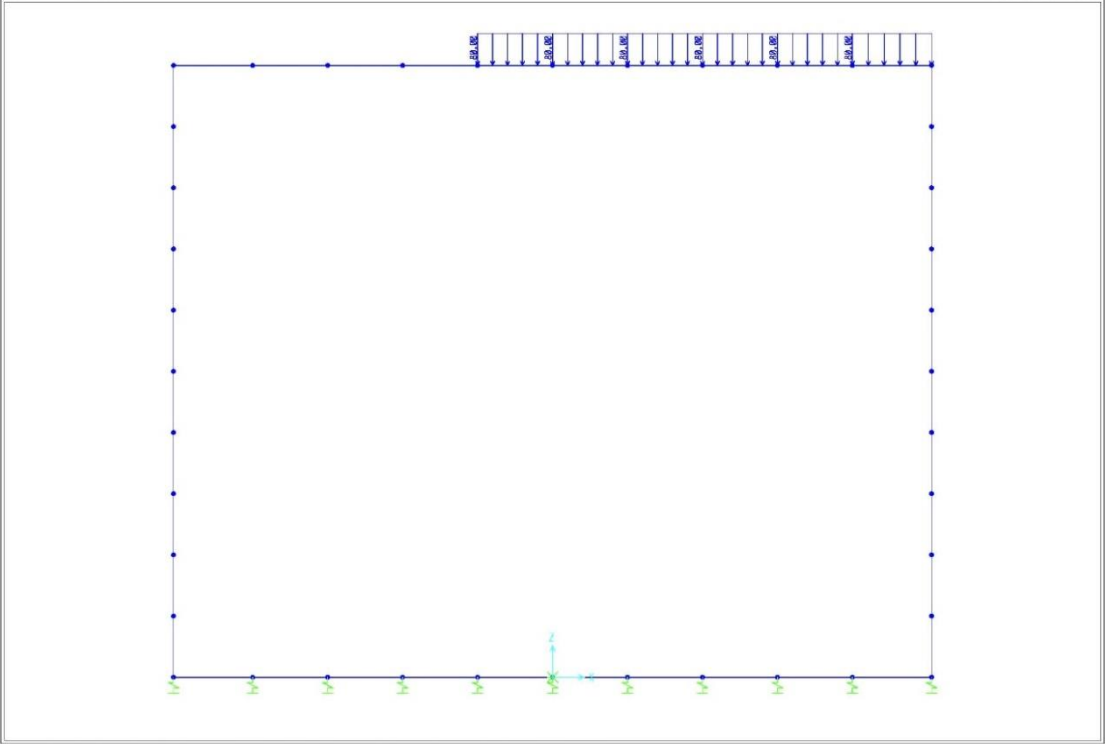
3/7/15 16:12:28



SAP2000 v15.0.0 - File:MARCO - Frame Span Loads (SISMO) (As Defined) - KN, m, C Units

SAP2000

3/7/15 16:32:49



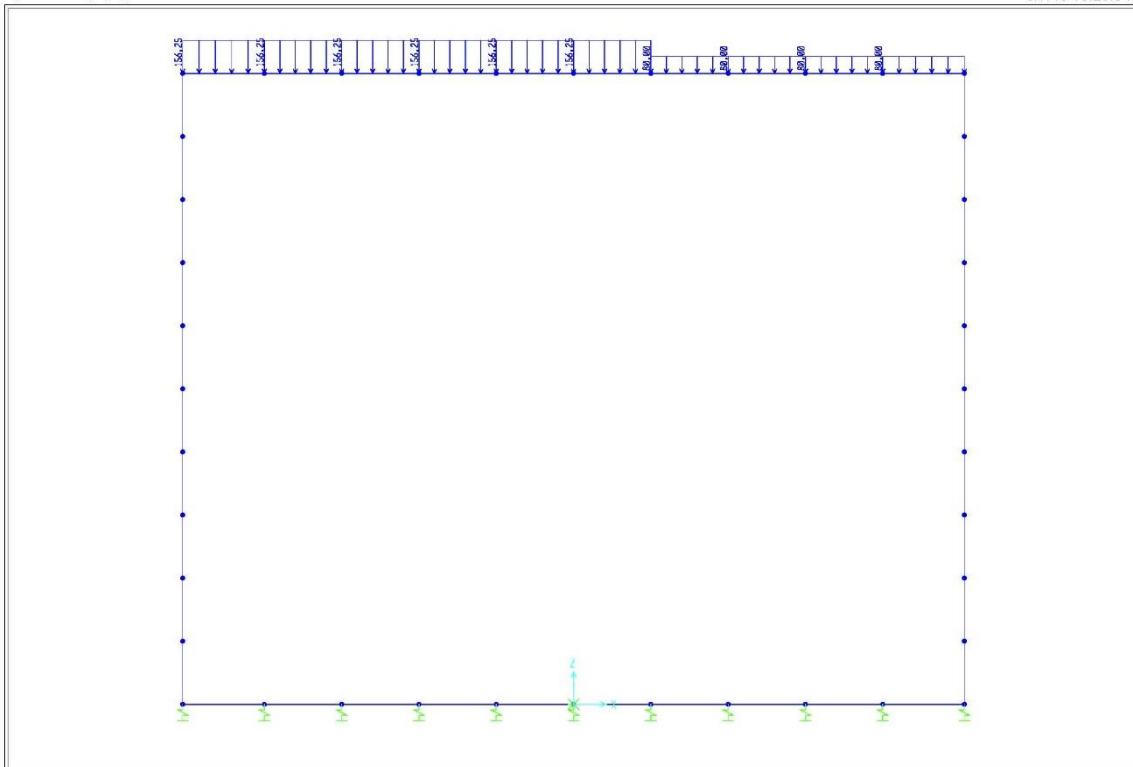
SAP2000 v15.0.0 - File:MARCO - Frame Span Loads (TREN\_6) (As Defined) - KN, m, C Units



# “Proyecto de las estructuras para la conexión peatonal de los andenes de la estación de Font de Sant Lluís en Valencia”.

SAP2000

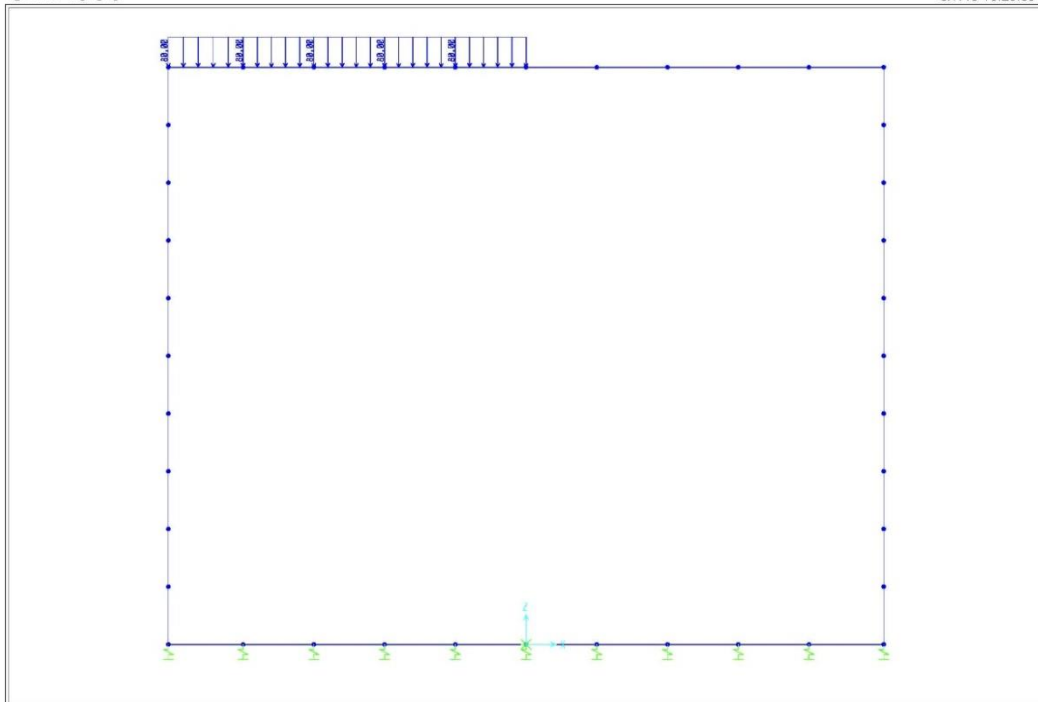
3/7/15 16:29:54



SAP2000 v15.0.0 - File:MARCO - Frame Span Loads (TREN\_24) (As Defined) - KN, m, C Units

SAP2000

3/7/15 16:29:09



SAP2000 v15.0.0 - File:MARCO - Frame Span Loads (TREN\_35) (As Defined) - KN, m, C Units



---

#### **5.8.1.3 DEFINICION DEL MODELO DE CÁLCULO**

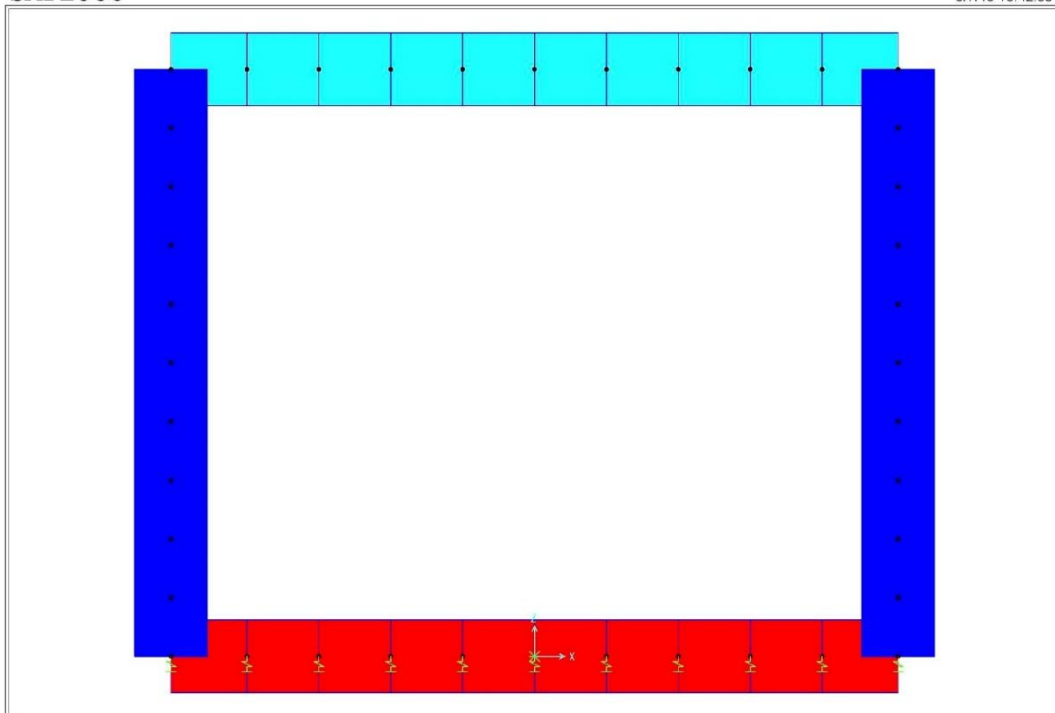
---



“Proyecto de las estructuras para la conexión peatonal de los andenes  
de la estación de Font de Sant Lluís en Valencia”.

SAP2000

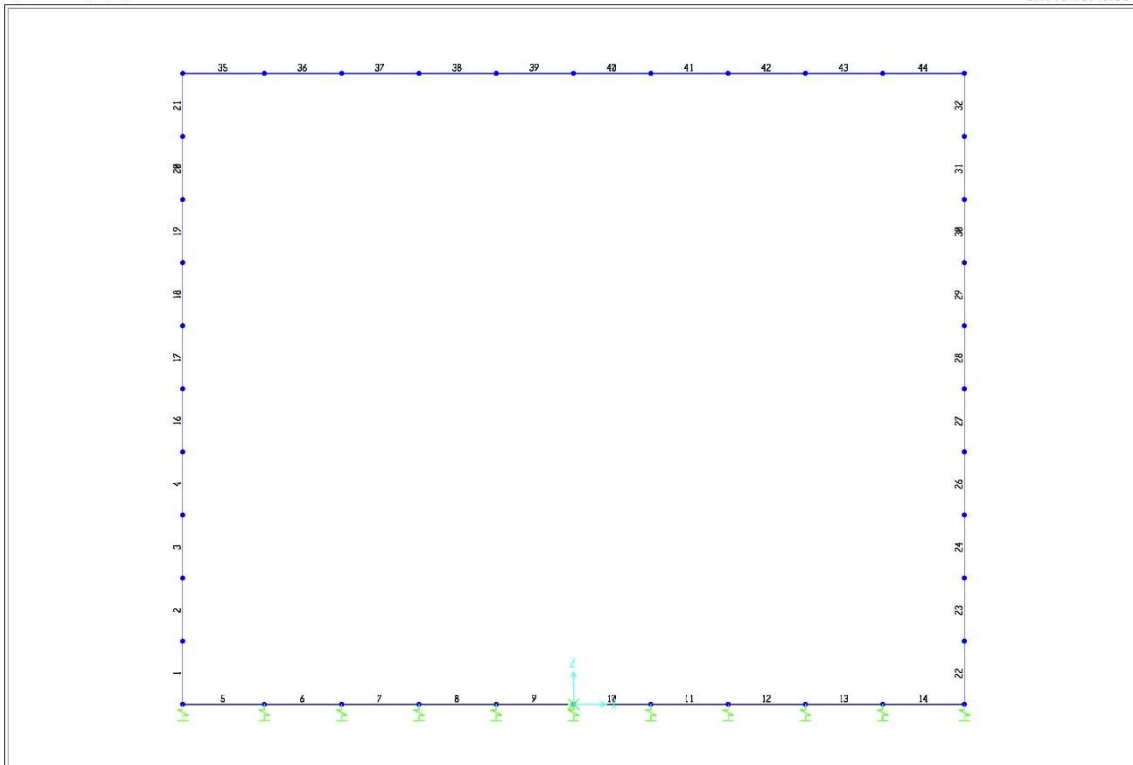
3/7/15 18:42:58



SAP2000 v15.0.0 - File: MARCO - X-Z Plane @ Y=0 - KN, m, C Units

SAP2000

3/7/15 18:40:06



SAP2000 v15.0.0 - File: MARCO - X-Z Plane @ Y=0 - KN, m, C Units

---

#### **5.8.1.4 RESULTADOS DEL CÁLCULO**

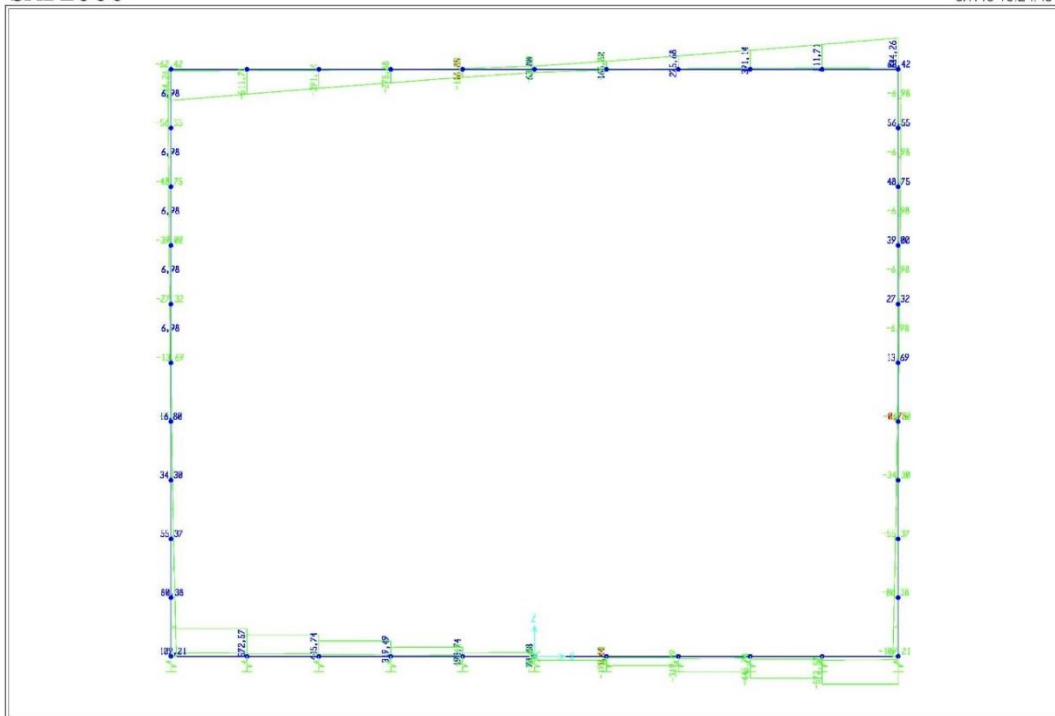
---



# “Proyecto de las estructuras para la conexión peatonal de los andenes de la estación de Font de Sant Lluís en Valencia”.

SAP2000

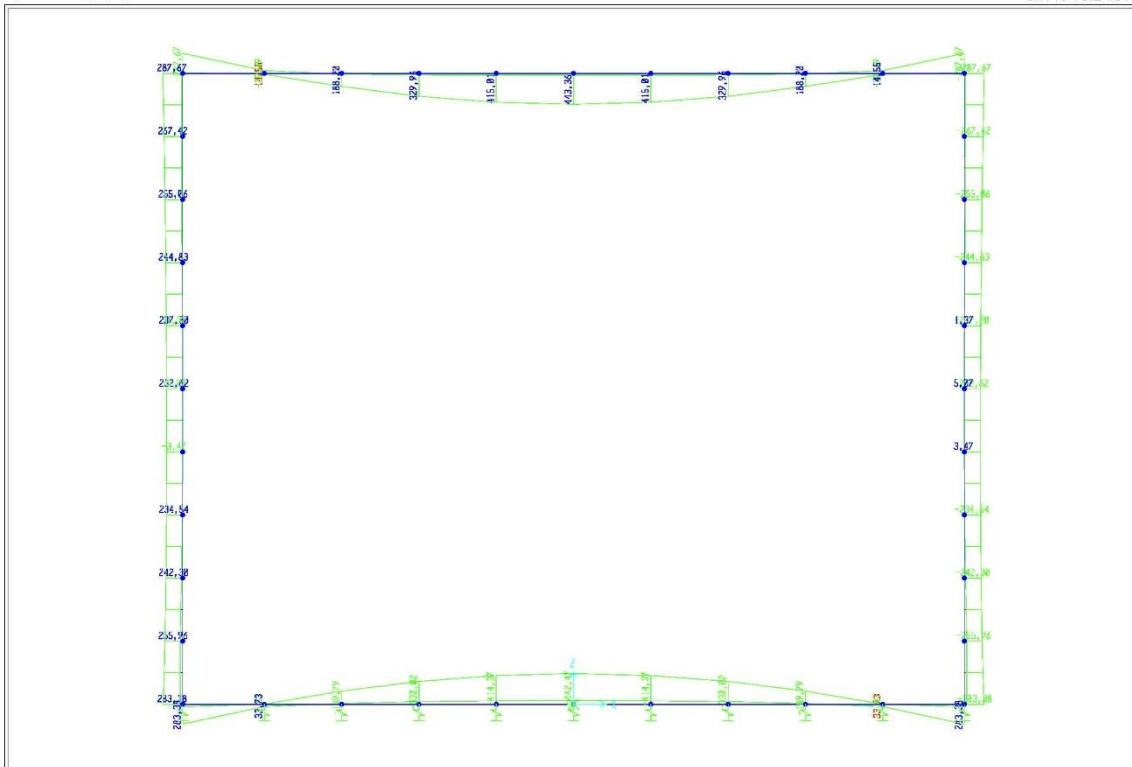
3/7/15 18:24:43



SAP2000 v15.0.0 - File: MARCO - Shear Force 2-2 Diagram (ELU) - KN, m, C Units

SAP2000

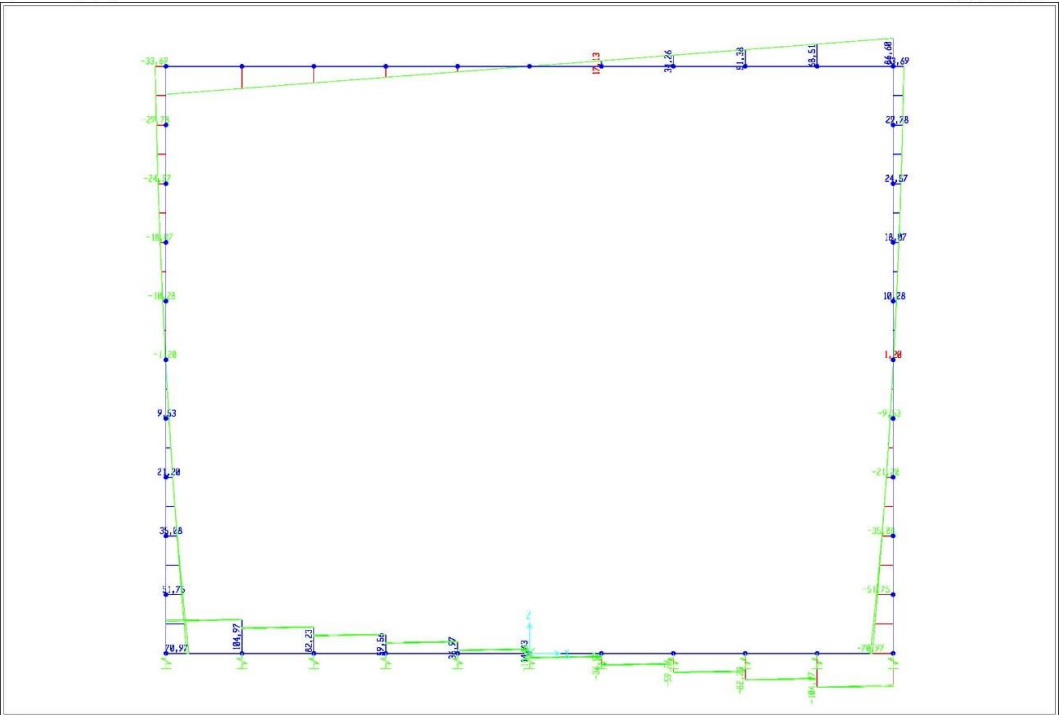
3/7/15 18:24:01



SAP2000 v15.0.0 - File: MARCO - Moment 3-3 Diagram (ELU) - KN, m, C Units

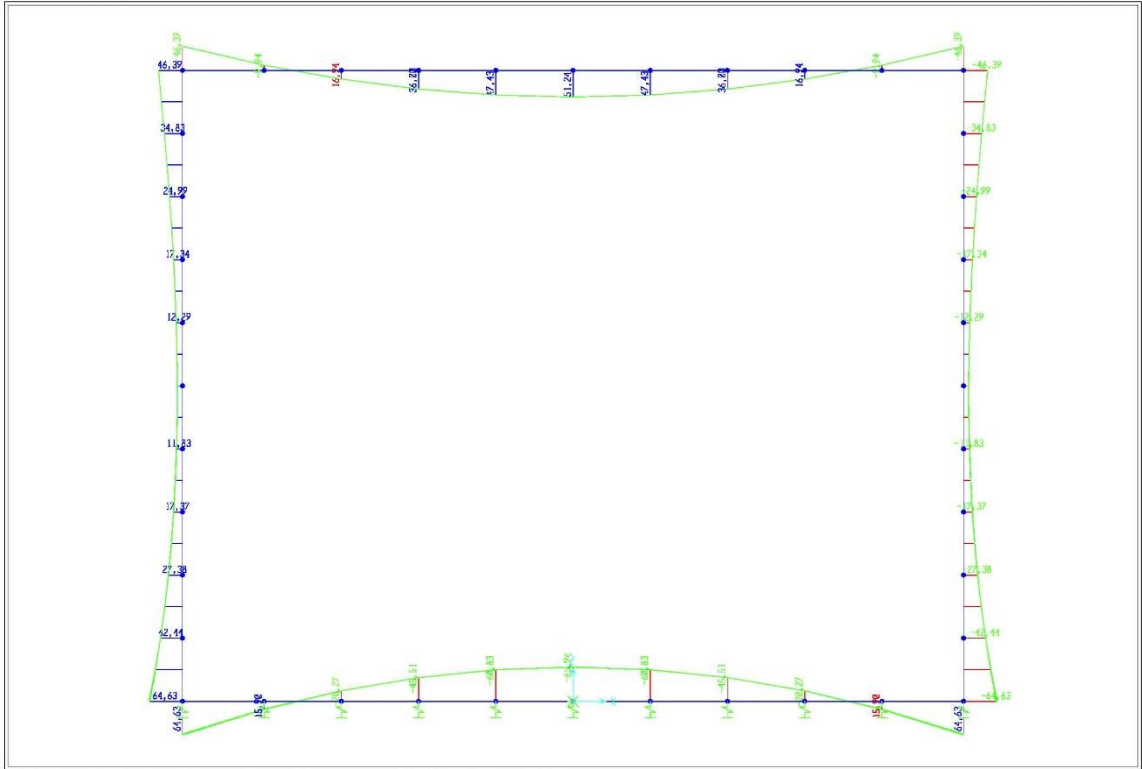
SAP2000

3/7/15 18:26:59



SAP2000

3/7/15 18:25:43

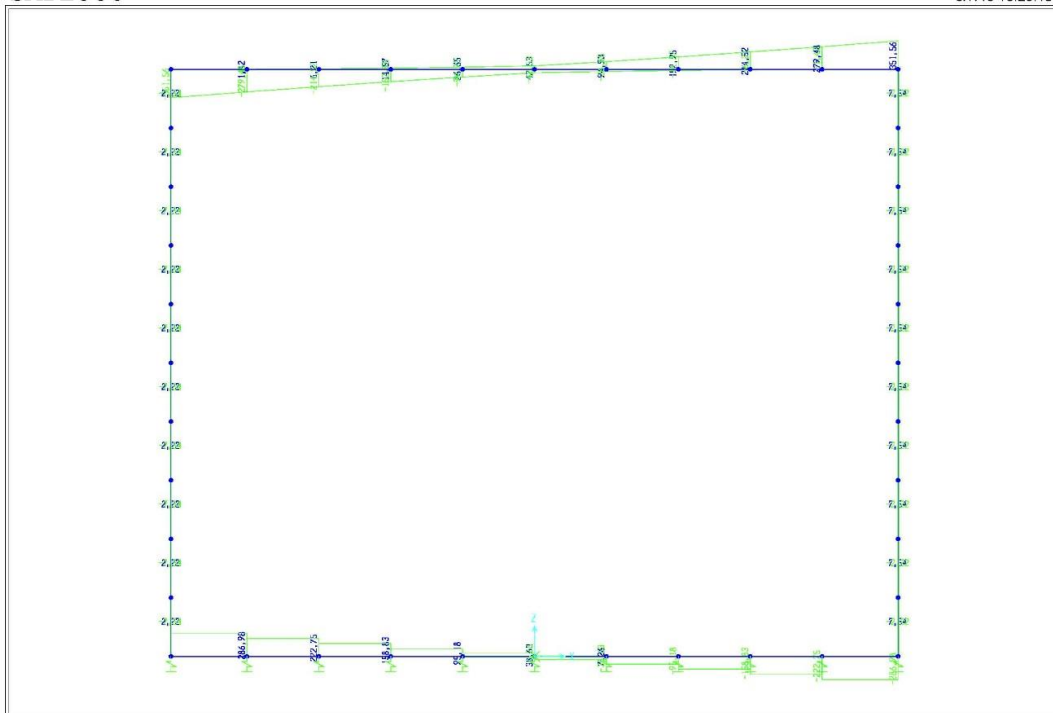




# “Proyecto de las estructuras para la conexión peatonal de los andenes de la estación de Font de Sant Lluís en Valencia”.

SAP2000

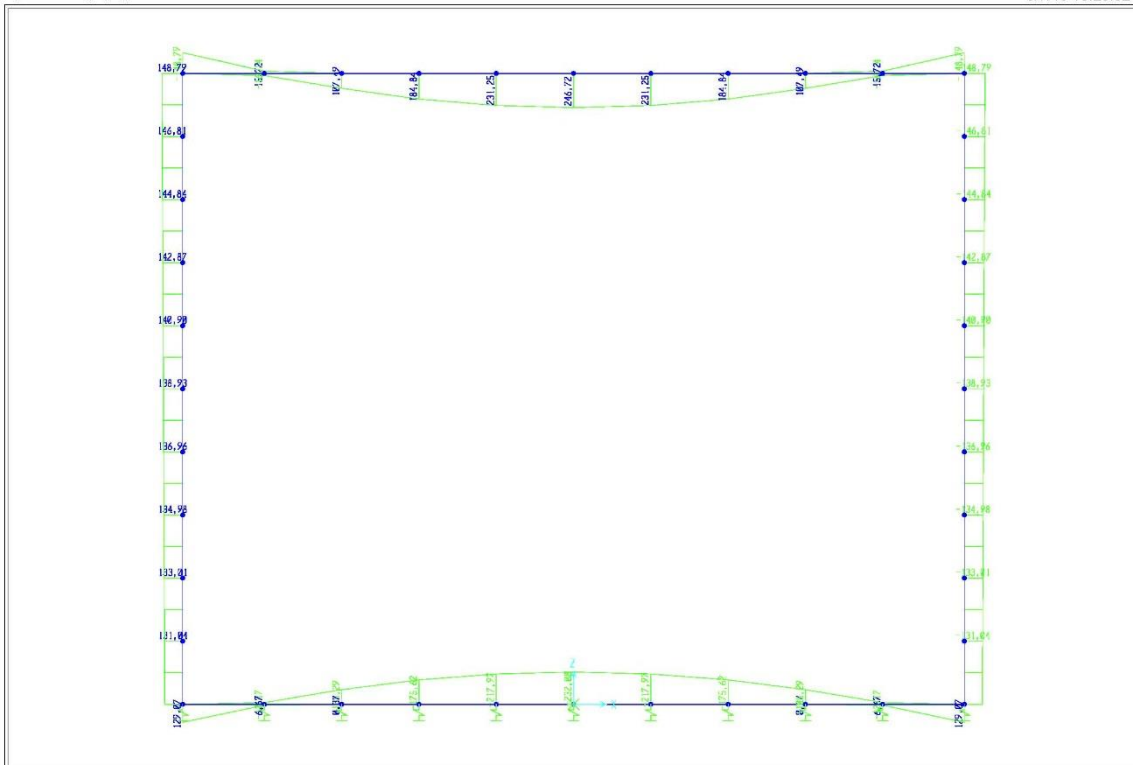
3/7/15 18:29:13



SAP2000 v15.0.0 - File: MARCO - Shear Force 2-2 Diagram (ENV-TREN) - KN, m, C Units

SAP2000

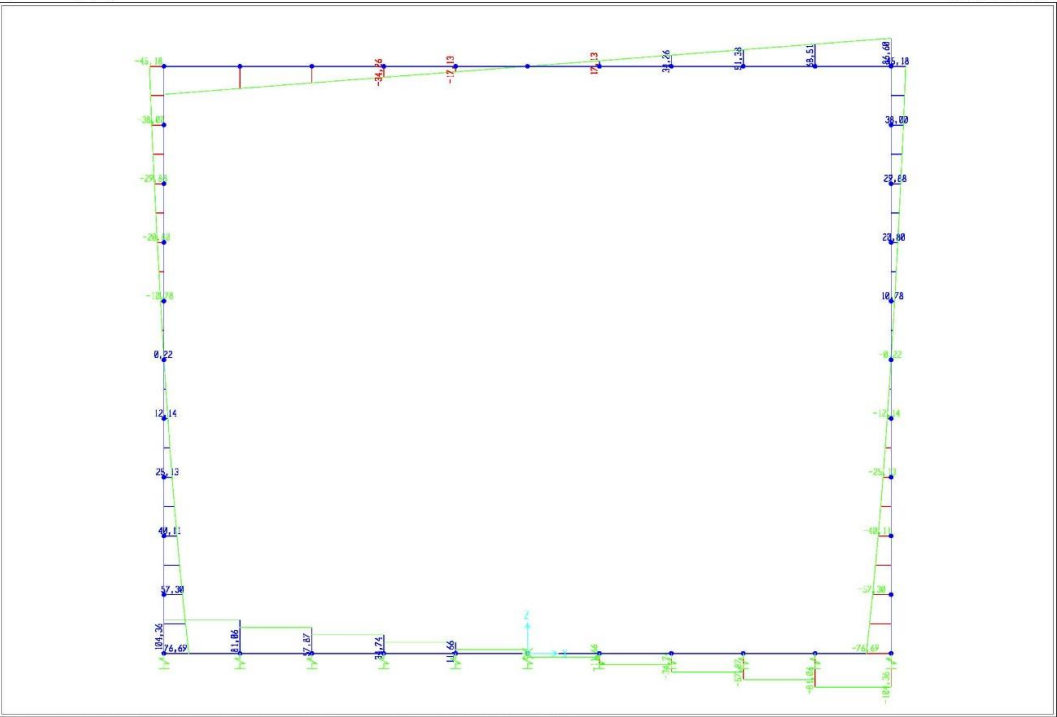
3/7/15 18:20:02



SAP2000 v15.0.0 - File: MARCO - Moment 3-3 Diagram (ENV-TREN) - KN, m, C Units

SAP2000

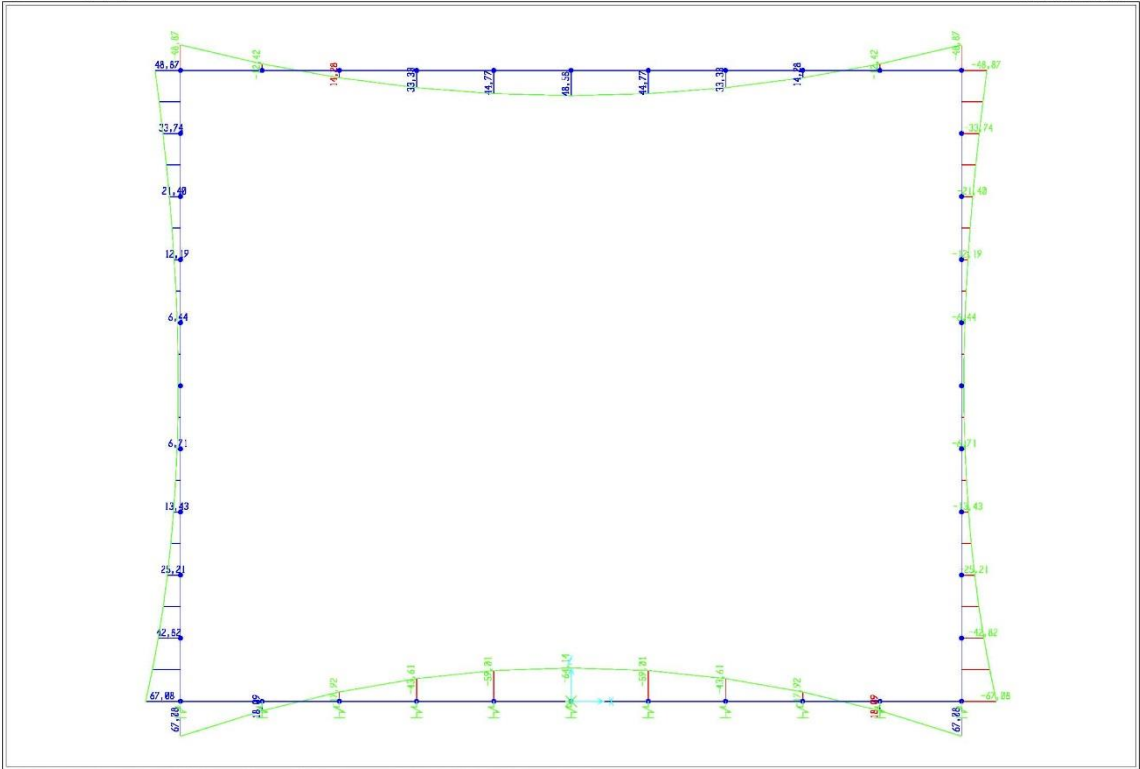
3/7/15 18:30:48



SAP2000 v15.0.0 - File:MARCO - Shear Force 2-2 Diagram (ENV-SISMO) - KN, m, C Units

SAP2000

3/7/15 18:22:05



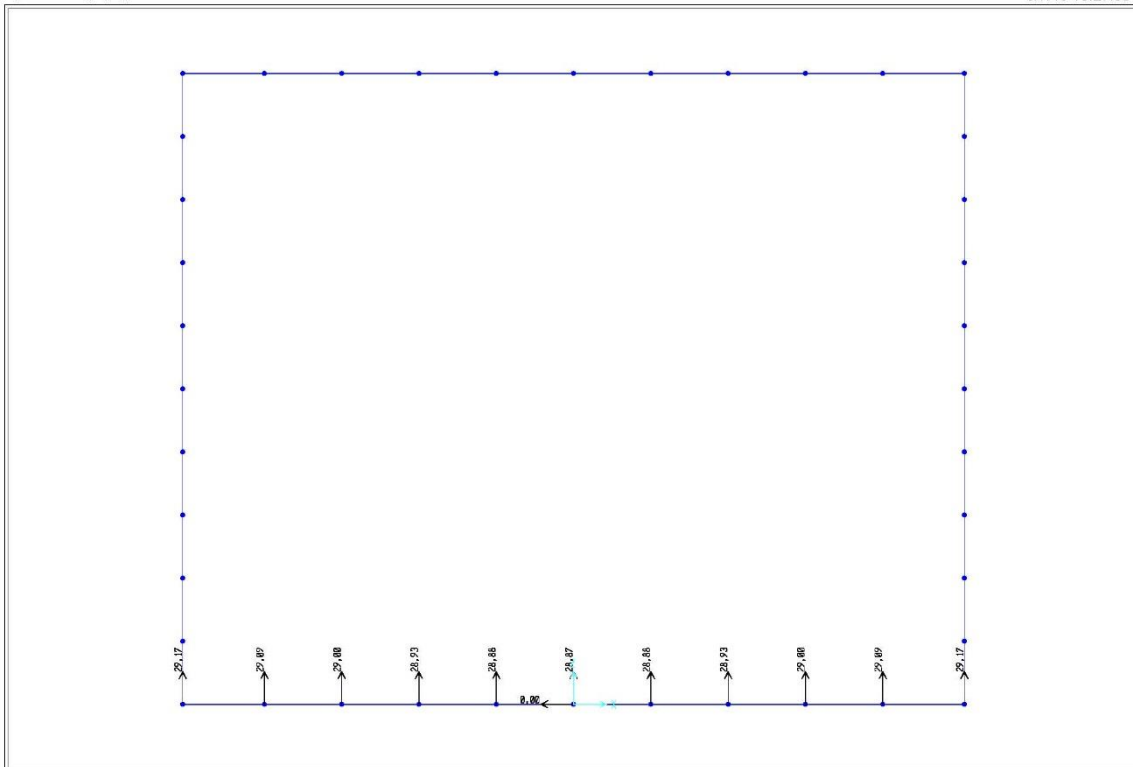
SAP2000 v15.0.0 - File:MARCO - Moment 3-3 Diagram (ENV-SISMO) - KN, m, C Units



“Proyecto de las estructuras para la conexión peatonal de los andenes  
de la estación de Font de Sant Lluís en Valencia”.

SAP2000

3/7/15 18:27:58



SAP2000 v15.0.0 - File: MARCO - Joint Reactions (ELS-FIS) - KN, m, C Units



---

#### **5.8.1.5 ARMADO DE LA SECCIÓN**

---



## DIMENSIONADO A FLEXIÓN SIMPLE - SECCIONES RECTANGULARES

[Volver al índice](#)

### DATOS

#### Dimensiones de la sección

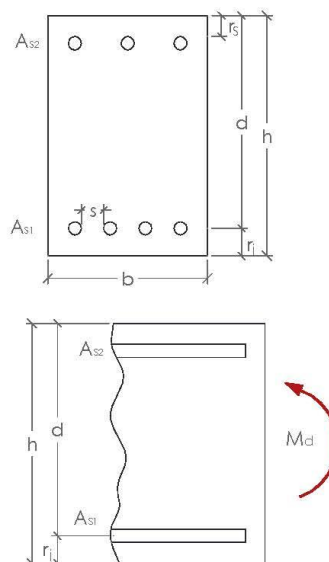
h	0,45	m
b	1	m
$r_{MEC,INF}$	0,05	m
$r_{MEC,SUP}$	0,05	m
d	0,40	m

#### Características de los materiales

$f_{yk}$	500	N/mm <sup>2</sup>
$f_{dk}$	30	N/mm <sup>2</sup>
T.M.A.	20	mm
$\gamma_s$	1,15	u
$\gamma_c$	1,5	u
$\alpha_{cc}$	1	u
$f_{yd}$	434,8	N/mm <sup>2</sup>
$f_{cd}$	20,00	N/mm <sup>2</sup>

#### Esfuerzos de cálculo

$M_d$	443,36	m·kN
-------	--------	------



### CÁLCULOS

#### Diagrama rectangular

$x_{LIM}$	0,25	m
$y_{LIM}$	0,20	m
$F_{C,LIM}$	3947,9	kN
$M_{LIM}$	1189,5	mkN

#### $M_d < M_{lim}$

x	0,075	m
y	0,060	m
$F_c$	#####	kN

### RESULTADOS: DIMENSIONADO DE LA ARMADURA

#### Armadura mínima de cálculo

$A_{s1}$	27,56	cm <sup>2</sup>
$A_{s2}$	0,00	cm <sup>2</sup>

#### Armadura mínima de norma

$A_{s1}$	12,60	cm <sup>2</sup>
$A_{s2}$	3,78	cm <sup>2</sup>

#### $A_{s1}$

$\phi_{s1}$ (mm)	#barras (ud)	$A_{REAL}$ (cm <sup>2</sup> )	$S_{REAL}$ (cm)	$S_{MIN}$ (cm)
6	98	27,71	0,32	2,50
8	55	27,65	0,85	2,50
10	36	28,27	1,54	2,50
12	25	28,27	2,5	2,50
14	18	27,71	3,81	2,50
16	14	28,15	5,2	2,50
20	9	28,27	9	2,50
25	6	29,45	15	2,50
32	4	32,17	25,73	3,20
40	3	37,70	39	4,00

#### $A_{s2}$

$\phi_{s2}$ (mm)	#barras (ud)	$A_{REAL}$ (cm <sup>2</sup> )	$S_{REAL}$ (cm)	$S_{MIN}$ (cm)
6	14	3,96	6,28	2,50
8	8	4,02	11,94	2,50
10	5	3,93	21,25	2,50
12	4	4,52	28,4	2,50
14	3	4,62	42,9	2,50
16	2	4,02	86,8	2,50
20	2	6,28	86	2,50
25	1	4,91	—	2,50
32	1	8,04	—	3,20
40	1	12,57	—	4,00

## DIMENSIONADO A FLEXIÓN SIMPLE - SECCIONES RECTANGULARES

[Volver al índice](#)

### DATOS

#### Dimensiones de la sección

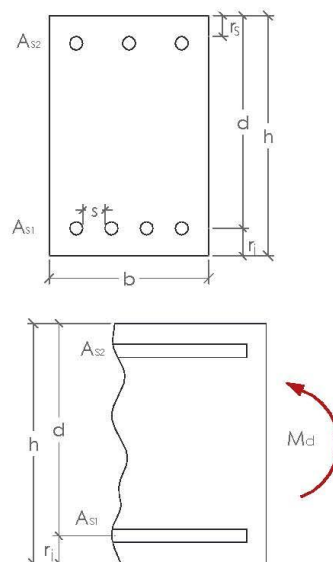
h	0,45	m
b	1	m
$r_{MEC,INF}$	0,05	m
$r_{MEC,SUP}$	0,05	m
d	0,40	m

#### Características de los materiales

$f_{yk}$	500	N/mm <sup>2</sup>
$f_{ck}$	30	N/mm <sup>2</sup>
T.M.A.	20	mm
$\gamma_s$	1,15	u
$\gamma_c$	1,5	u
$\alpha_{cc}$	1	u
$f_{yd}$	434,8	N/mm <sup>2</sup>
$f_{cd}$	20,00	N/mm <sup>2</sup>

#### Esfuerzos de cálculo

$M_d$	442,48	m·kN
-------	--------	------



### CÁLCULOS

#### Diagrama rectangular

$x_{LIM}$	0,25	m
$y_{LIM}$	0,20	m
$F_{C,LIM}$	3947,9	kN
$M_{LIM}$	1189,5	m·kN

#### $M_d < M_{lim}$

x	0,075	m
y	0,060	m
$F_c$	#####	kN

### RESULTADOS: DIMENSIONADO DE LA ARMADURA

#### Armadura mínima de cálculo

$A_{s1}$	27,50	cm <sup>2</sup>
$A_{s2}$	0,00	cm <sup>2</sup>

#### Armadura mínima de norma

$A_{s1}$	12,60	cm <sup>2</sup>
$A_{s2}$	3,78	cm <sup>2</sup>

#### $A_{s1}$

$\phi_{s1}$ (mm)	#barras (ud)	$A_{REAL}$ (cm <sup>2</sup> )	$S_{REAL}$ (cm)	$S_{MIN}$ (cm)
6	98	27,71	0,32	2,50
8	55	27,65	0,85	2,50
10	36	28,27	1,54	2,50
12	25	28,27	2,5	2,50
14	18	27,71	3,81	2,50
16	14	28,15	5,2	2,50
20	9	28,27	9	2,50
25	6	29,45	15	2,50
32	4	32,17	25,73	3,20
40	3	37,70	39	4,00

#### $A_{s2}$

$\phi_{s2}$ (mm)	#barras (ud)	$A_{REAL}$ (cm <sup>2</sup> )	$S_{REAL}$ (cm)	$S_{MIN}$ (cm)
6	14	3,96	6,28	2,50
8	8	4,02	11,94	2,50
10	5	3,93	21,25	2,50
12	4	4,52	28,4	2,50
14	3	4,62	42,9	2,50
16	2	4,02	86,8	2,50
20	2	6,28	86	2,50
25	1	4,91	—	2,50
32	1	8,04	—	3,20
40	1	12,57	—	4,00



## DIMENSIONADO A FLEXIÓN SIMPLE - SECCIONES RECTANGULARES

[Volver al índice](#)

### DATOS

#### Dimensiones de la sección

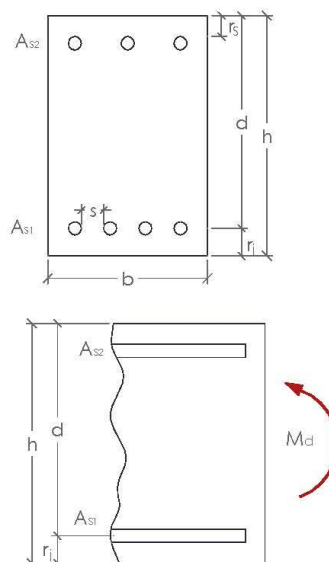
h	0,45	m
b	1	m
$r_{MEC,INF}$	0,05	m
$r_{MEC,SUP}$	0,05	m
d	0,40	m

#### Características de los materiales

$f_{yk}$	500	N/mm <sup>2</sup>
$f_{dk}$	30	N/mm <sup>2</sup>
T.M.A.	20	mm
$\gamma_s$	1,15	u
$\gamma_c$	1,5	u
$\alpha_{cc}$	1	u
$f_{yd}$	434,8	N/mm <sup>2</sup>
$f_{cd}$	20,00	N/mm <sup>2</sup>

#### Esfuerzos de cálculo

$M_d$	283,36	m·kN
-------	--------	------



### CÁLCULOS

#### Diagrama rectangular

$x_{LIM}$	0,25	m
$y_{LIM}$	0,20	m
$F_{C,LIM}$	3947,9	kN
$M_{LIM}$	1189,5	mkN

#### $M_d < M_{lim}$

x	0,046	m
y	0,037	m
$F_c$	742,89	kN

### RESULTADOS: DIMENSIONADO DE LA ARMADURA

#### Armadura mínima de cálculo

$A_{s1}$	17,09	cm <sup>2</sup>
$A_{s2}$	0,00	cm <sup>2</sup>

#### Armadura mínima de norma

$A_{s1}$	12,60	cm <sup>2</sup>
$A_{s2}$	3,78	cm <sup>2</sup>

#### $A_{s1}$

$\phi_{s1}$ (mm)	#barras (ud)	$A_{REAL}$ (cm <sup>2</sup> )	$S_{REAL}$ (cm)	$S_{MIN}$ (cm)
6	61	17,25	0,89	2,50
8	34	17,09	1,0	2,50
10	22	17,28	3,24	2,50
12	16	18,10	4,72	2,50
14	12	18,47	6,65	2,50
16	9	18,10	9,45	2,50
20	6	18,85	15,6	2,50
25	4	19,63	26,67	2,50
32	3	24,13	40,2	3,20
40	2	25,13	82	4,00

#### $A_{s2}$

$\phi_{s2}$ (mm)	#barras (ud)	$A_{REAL}$ (cm <sup>2</sup> )	$S_{REAL}$ (cm)	$S_{MIN}$ (cm)
6	14	3,96	6,28	2,50
8	8	4,02	11,94	2,50
10	5	3,93	21,25	2,50
12	4	4,52	28,4	2,50
14	3	4,62	42,9	2,50
16	2	4,02	86,8	2,50
20	2	6,28	86	2,50
25	1	4,91	—	2,50
32	1	8,04	—	3,20
40	1	12,57	—	4,00

## DIMENSIONADO A FLEXIÓN SIMPLE - SECCIONES RECTANGULARES

[Volver al índice](#)

### DATOS

#### Dimensiones de la sección

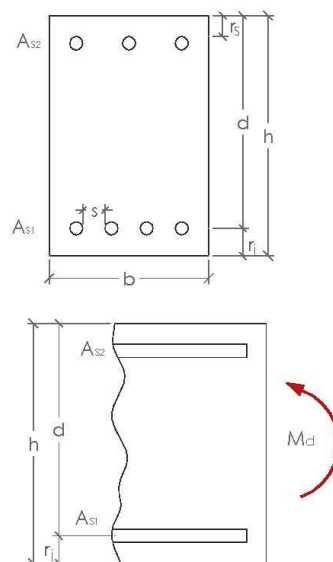
h	0,45	m
b	1	m
$r_{MEC,INF}$	0,05	m
$r_{MEC,SUP}$	0,05	m
d	0,40	m

#### Características de los materiales

$f_{yk}$	500	N/mm <sup>2</sup>
$f_{ck}$	30	N/mm <sup>2</sup>
T.M.A.	20	mm
$\gamma_s$	1,15	u
$\gamma_c$	1,5	u
$\alpha_{cc}$	1	u
$f_{yd}$	434,8	N/mm <sup>2</sup>
$f_{cd}$	20,00	N/mm <sup>2</sup>

#### Esfuerzos de cálculo

$M_d$	232,62	m·kN
-------	--------	------



### CÁLCULOS

#### Diagrama rectangular

$x_{LIM}$	0,25	m
$y_{LIM}$	0,20	m
$F_{C,LIM}$	3947,9	kN
$M_{LIM}$	1189,5	m·kN

#### $M_d < M_{lim}$

x	0,038	m
y	0,030	m
$F_c$	604,38	kN

### RESULTADOS: DIMENSIONADO DE LA ARMADURA

#### Armadura mínima de cálculo

$A_{s1}$	13,90	cm <sup>2</sup>
$A_{s2}$	0,00	cm <sup>2</sup>

#### Armadura mínima de norma

$A_{s1}$	12,60	cm <sup>2</sup>
$A_{s2}$	3,78	cm <sup>2</sup>

#### $A_{s1}$

$\phi_{s1}$ (mm)	#barras (ud)	$A_{REAL}$ (cm <sup>2</sup> )	$S_{REAL}$ (cm)	$S_{MIN}$ (cm)
6	50	14,14	1,22	2,50
8	28	14,07	2,5	2,50
10	18	14,14	4,24	2,50
12	13	14,70	6,2	2,50
14	10	15,39	8,44	2,50
16	7	14,07	13,13	2,50
20	5	15,71	20	2,50
25	3	14,73	41,25	2,50
32	2	16,08	83,6	3,20
40	2	25,13	82	4,00

#### $A_{s2}$

$\phi_{s2}$ (mm)	#barras (ud)	$A_{REAL}$ (cm <sup>2</sup> )	$S_{REAL}$ (cm)	$S_{MIN}$ (cm)
6	14	3,96	6,28	2,50
8	8	4,02	11,94	2,50
10	5	3,93	21,25	2,50
12	4	4,52	28,4	2,50
14	3	4,62	42,9	2,50
16	2	4,02	86,8	2,50
20	2	6,28	86	2,50
25	1	4,91	—	2,50
32	1	8,04	—	3,20
40	1	12,57	—	4,00



## DIMENSIONADO A CORTANTE- SECCIONES RECTANGULARES O EN T

[Volver al índice](#)

### DATOS

#### Dimensiones de la sección

$h$	0,45	m
$b_0$	1	m
$r_{MEC,INF}$	0,05	m
$r_{MEC,SUP}$	0,05	m
$d$	0,40	m

#### Características de los materiales

$f_{yk}$	500	N/mm <sup>2</sup>
$f_{ya,k}$	500	N/mm <sup>2</sup>
$f_{ck}$	30	N/mm <sup>2</sup>

Control del hormigón → Directo ▼

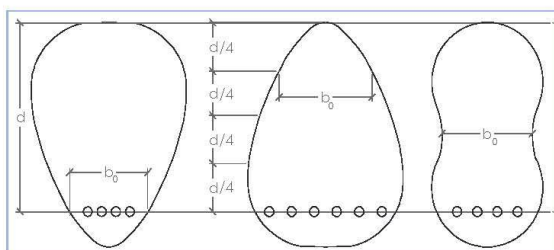
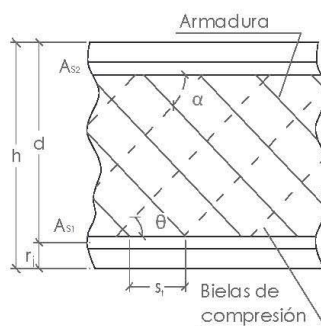
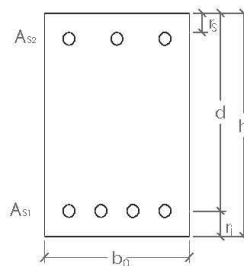
$f_{cv}$	30,00	N/mm <sup>2</sup>
TMA	20	mm
$v_s$	1,15	u
$v_c$	1,5	u
$\alpha_{cc}$	1	u
$f_{yd}$	434,78	N/mm <sup>2</sup>
$f_{ya,d}$	434,78	N/mm <sup>2</sup>
$f_{cd}$	20,00	N/mm <sup>2</sup>
$E_s$	2,1E+05	N/mm <sup>2</sup>

#### Disposición de las armaduras

$\#b_{s'}$	3	ud.
$\varnothing_{s'}$	25	mm
$A_{s'}$	14,73	cm <sup>2</sup>
$\#b_s$	5	ud.
$\varnothing_s$	25	mm
$A_s$	24,54	cm <sup>2</sup>
$\theta_t$	45	°
$\alpha_t$	90	°
$S_{L,cercos}$	10	cm
$\#RAMAS$	4	ud.

#### Esfuerzos de cálculo

$V_{rd}$	572,57	kN
$N_d$	0	kN
$M_d$	0	m·kN



CÁLCULOS

Factores y coeficientes.

Relativos a los materiales

$f_{cd}$	12,00	N/mm <sup>2</sup>
$f_{ct,k}$	2,03	N/mm <sup>2</sup>
$f_{ct,d}$	1,35	N/mm <sup>2</sup>
$f_{ct,m}$	2,90	N/mm <sup>2</sup>

Relativos a los esfuerzos

K	1,00	ud.	(39.1)
$\sigma'_{cd}$	0,00	N/mm <sup>2</sup>	

Relativos a la sección

$I_z$	8E-03	m <sup>4</sup>
S	0,03	m <sup>3</sup>
$\xi$	1,71	ud.
$\rho_I$	6,14	‰
$\theta_e$	45	°
$\beta$	1,00	ud.

Resultados

Agotamiento por compresión oblicua del alma:

$V_{U1}$	666,67	kN
$\Delta b_0 \times d$	0,00	%

La sección cumple

Agotamiento por tracción del alma:

$M_{fls}$	45,62	m kN
No fisura pero requiere armadura		
$V_{U2,mec}$	606,68	kN
$V_{CU}$	180,30	kN
$V_{SU,mec}$	426,38	kN

RESULTADOS: DIMENSIONADO DE LA ARMADURA

Valores estrictos de norma:

$S_{t,cercos}$	24,00	cm
$A_{a,mec}$	27,24	cm <sup>2</sup> /m
$A_{a,geom}$	0,10	cm <sup>2</sup> /m

Otros datos geométricos de interés

$A_{a/grupo}$	2,476	cm <sup>2</sup> /grupo
$S_{t,trans MAX}$	40	cm

Combinaciones de armado

$\emptyset_{S,t}$ (mm)	#RAMAS (ud)	$A_{a,real}$ (cm <sup>2</sup> /m)	$S_{t,cercos}$ (cm)	$V_{SU,real}$ (kN)
6	4	22,62	5,00	378,38
8	4	40,21	5,00	672,67
10	4	31,42	10,00	525,53
12	4	30,16	15,00	504,51
14	4	30,79	20,00	515,02
16	4	33,51	24,00	560,56
20	4	52,36	24,00	875,88

(#RAMAS fijo)

Combinaciones de armado

$\emptyset_{S,t}$ (mm)	#RAMAS (ud)	$A_{a,real}$ (cm <sup>2</sup> /m)	$S_{t,cercos}$ (cm)	$V_{SU,real}$ (kN)
6	10	28,27	10,00	472,97
8	6	30,16	10,00	504,51
10	4	31,42	10,00	525,53
12	3	33,93	10,00	567,57
14	2	30,79	10,00	515,02
16	2	40,21	10,00	672,67
20	2	62,83	10,00	1051,05

( $S_{t,cercos}$  fijo)

NOTA: Los valores tachados no cumplen separación entre ramas.



## DIMENSIONADO A CORTANTE- SECCIONES RECTANGULARES O EN T

[Volver al índice](#)

### DATOS

#### Dimensiones de la sección

$h$	0,45	m
$b_0$	1	m
$r_{MEC,INF}$	0,05	m
$r_{MEC,SUP}$	0,05	m
$d$	0,40	m

#### Características de los materiales

$f_{yk}$	500	N/mm <sup>2</sup>
$f_{ya,k}$	500	N/mm <sup>2</sup>
$f_{ck}$	30	N/mm <sup>2</sup>

Control del hormigón → Directo ▼

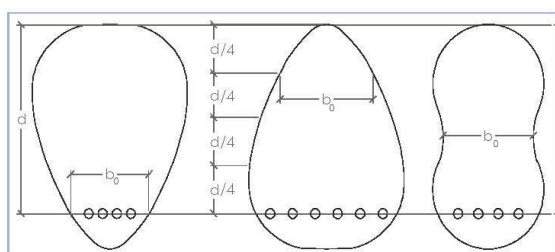
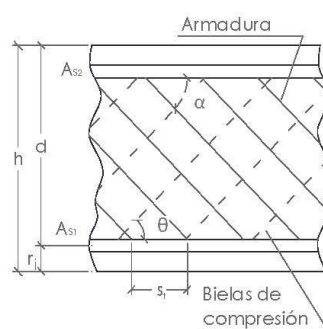
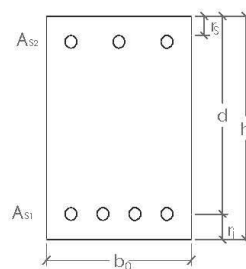
$f_{cv}$	30,00	N/mm <sup>2</sup>
TMA	20	mm
$v_s$	1,15	u
$v_c$	1,5	u
$\alpha_{cc}$	1	u
$f_{yd}$	434,78	N/mm <sup>2</sup>
$f_{ya,d}$	434,78	N/mm <sup>2</sup>
$f_{cd}$	20,00	N/mm <sup>2</sup>
$E_s$	2,1E+05	N/mm <sup>2</sup>

#### Disposición de las armaduras

$\#b_{s'}$	3	ud.
$\varnothing_{s'}$	25	mm
$A_{s'}$	14,73	cm <sup>2</sup>
$\#b_s$	5	ud.
$\varnothing_s$	25	mm
$A_s$	24,54	cm <sup>2</sup>
$\theta_t$	45	°
$\alpha_t$	90	°
$S_{L,cercos}$	10	cm
$\#RAMAS$	4	ud.

#### Esfuerzos de cálculo

$V_{rd}$	517,21	kN
$N_d$	0	kN
$M_d$	0	m·kN





CÁLCULOS

Factores y coeficientes.

Relativos a los materiales

$f_{cd}$	12,00	N/mm <sup>2</sup>
$f_{ct,k}$	2,03	N/mm <sup>2</sup>
$f_{ct,d}$	1,35	N/mm <sup>2</sup>
$f_{ct,m}$	2,90	N/mm <sup>2</sup>

Relativos a los esfuerzos

K	1,00	ud.	(39.1)
$\sigma'_{cd}$	0,00	N/mm <sup>2</sup>	

Relativos a la sección

$I_z$	8E-03	m <sup>4</sup>
S	0,03	m <sup>3</sup>
$\xi$	1,71	ud.
$\rho_I$	6,14	‰
$\theta_e$	45	°
$\beta$	1,00	ud.

Resultados

Agotamiento por compresión oblicua del alma:

$V_{U1}$	0,00	kN
$\Delta b_{o \times d}$	0,00	%

La sección cumple

Agotamiento por tracción del alma:

$M_{fls}$	45,62	m kN
No fisura pero requiere armadura		
$V_{U2,mec}$	546,51	kN
$V_{CU}$	180,30	kN
$V_{SU,mec}$	366,21	kN

RESULTADOS: DIMENSIONADO DE LA ARMADURA

Valores estrictos de norma:

$S_{t,cercos}$	24,00	cm
$A_{a,mec}$	23,40	cm <sup>2</sup> /m
$A_{a,geom}$	0,10	cm <sup>2</sup> /m

Otros datos geométricos de interés

$A_{a/grupo}$	2,127	cm <sup>2</sup> /grupo
$S_{t,trans MAX}$	40	cm

Combinaciones de armado

$\varnothing_{S,t}$ (mm)	#RAMAS (ud)	$A_{a,real}$ (cm <sup>2</sup> /m)	$S_{t,cercos}$ (cm)	$V_{SU,real}$ (kN)
6	4	22,62	5,00	378,38
8	4	40,21	5,00	672,67
10	4	31,42	10,00	525,53
12	4	30,16	15,00	504,51
14	4	25,66	24,00	429,18
16	4	33,51	24,00	560,56
20	4	52,36	24,00	875,88

(#RAMAS fijo)

Combinaciones de armado

$\varnothing_{S,t}$ (mm)	#RAMAS (ud)	$A_{a,real}$ (cm <sup>2</sup> /m)	$S_{t,cercos}$ (cm)	$V_{SU,real}$ (kN)
6	9	25,45	10,00	425,68
8	5	25,13	10,00	420,42
10	3	23,56	10,00	394,14
12	3	33,93	10,00	567,57
14	2	30,79	10,00	515,02
16	2	40,21	10,00	672,67
20	2	62,83	10,00	1051,05

( $S_{t,cercos}$  fijo)

NOTA: Los valores tachados no cumplen separación entre ramas.



## DIMENSIONADO A CORTANTE- SECCIONES RECTANGULARES O EN T

[Volver al índice](#)

### DATOS

#### Dimensiones de la sección

$h$	0,45	m
$b_0$	1	m
$r_{MEC,INF}$	0,05	m
$r_{MEC,SUP}$	0,05	m
$d$	0,40	m

#### Características de los materiales

$f_{yk}$	500	N/mm <sup>2</sup>
$f_{ya,k}$	500	N/mm <sup>2</sup>
$f_{ck}$	30	N/mm <sup>2</sup>

Control del hormigón → Directo ▼

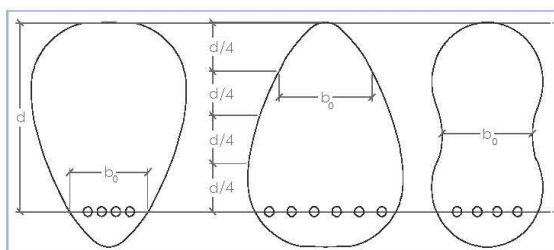
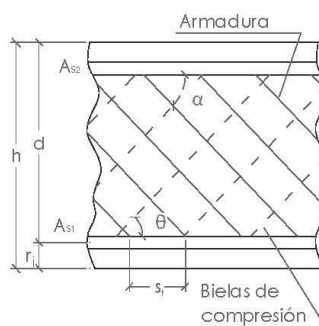
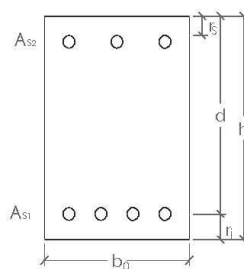
$f_{cv}$	30,00	N/mm <sup>2</sup>
TMA	20	mm
$v_s$	1,15	u
$v_c$	1,5	u
$\alpha_{cc}$	1	u
$f_{yd}$	434,78	N/mm <sup>2</sup>
$f_{ya,d}$	434,78	N/mm <sup>2</sup>
$f_{cd}$	20,00	N/mm <sup>2</sup>
$E_s$	2,1E+05	N/mm <sup>2</sup>

#### Disposición de las armaduras

$\#b_{s'}$	3	ud.
$\phi_{s'}$	25	mm
$A_{s'}$	14,73	cm <sup>2</sup>
$\#b_s$	5	ud.
$\phi_s$	25	mm
$A_s$	24,54	cm <sup>2</sup>
$\theta_t$	45	°
$\alpha_t$	90	°
$S_{L,cercos}$	10	cm
$\#RAMAS$	4	ud

#### Esfuerzos de cálculo

$V_{rd}$	74,161	kN
$N_d$	0	kN
$M_d$	0	m·kN



CÁLCULOS

Factores y coeficientes.

Relativos a los materiales			
f <sub>1cd</sub>	12,00	N/mm <sup>2</sup>	
f <sub>ct,k</sub>	2,03	N/mm <sup>2</sup>	
f <sub>ct,d</sub>	1,35	N/mm <sup>2</sup>	
f <sub>ct,m</sub>	2,90	N/mm <sup>2</sup>	
Relativos a los esfuerzos			
K	1,00	ud.	(39.1)
σ <sub>cd</sub>	0,00	N/mm <sup>2</sup>	
Relativos a la sección			
I <sub>z</sub>	8E-03	m <sup>4</sup>	
S	0,03	m <sup>3</sup>	
ξ	1,71	ud.	
ρ <sub>I</sub>	6,14	‰	
θ <sub>e</sub>	45	°	
β	1,00	ud.	

Resultados

Agotamiento por compresión oblicua del alma:		
V <sub>U1</sub>	0,00	kN
Δb <sub>0xd</sub>	0,00	%
La sección cumple		
Agotamiento por tracción del alma:		
M <sub>fls</sub>	45,62	m kN
No fisura y no requiere armadura		
V <sub>U2,mec</sub>	405,51	kN
V <sub>CU</sub>	180,30	kN

RESULTADOS: DIMENSIONADO DE LA ARMADURA

Valores estrictos de norma:

S <sub>t,cercos</sub>	30,00	cm
A <sub>a,mec</sub>	0,00	cm <sup>2</sup> /m
A <sub>a,geom</sub>	0,10	cm <sup>2</sup> /m

Otros datos geométricos de interés

A <sub>a/grupo</sub>	0,009	cm <sup>2</sup> /grupo
S <sub>t,trans MAX</sub>	40	cm

Combinaciones de armado

Ø <sub>S,t</sub> (mm)	# <sub>RAMAS</sub> (ud)	A <sub>a,real</sub> (cm <sup>2</sup> /m)	S <sub>t,cercos</sub> (cm)	V <sub>SU,real</sub> (kN)
6	4	3,77	30,00	63,06
8	4	6,70	30,00	112,11
10	4	10,47	30,00	175,18
12	4	15,08	30,00	252,25
14	4	20,53	30,00	343,34
16	4	26,81	30,00	448,45
20	4	41,89	30,00	700,70

(#<sub>RAMAS</sub> fijo)

Combinaciones de armado

Ø <sub>S,t</sub> (mm)	# <sub>RAMAS</sub> (ud)	A <sub>a,real</sub> (cm <sup>2</sup> /m)	S <sub>t,cercos</sub> (cm)	V <sub>SU,real</sub> (kN)
6	2	5,65	10,00	94,59
8	2	10,05	10,00	168,17
10	2	15,71	10,00	262,76
12	2	22,62	10,00	378,38
14	2	30,79	10,00	515,02
16	2	40,21	10,00	672,67
20	2	62,83	10,00	1051,05

(S<sub>t,cercos</sub> fijo)

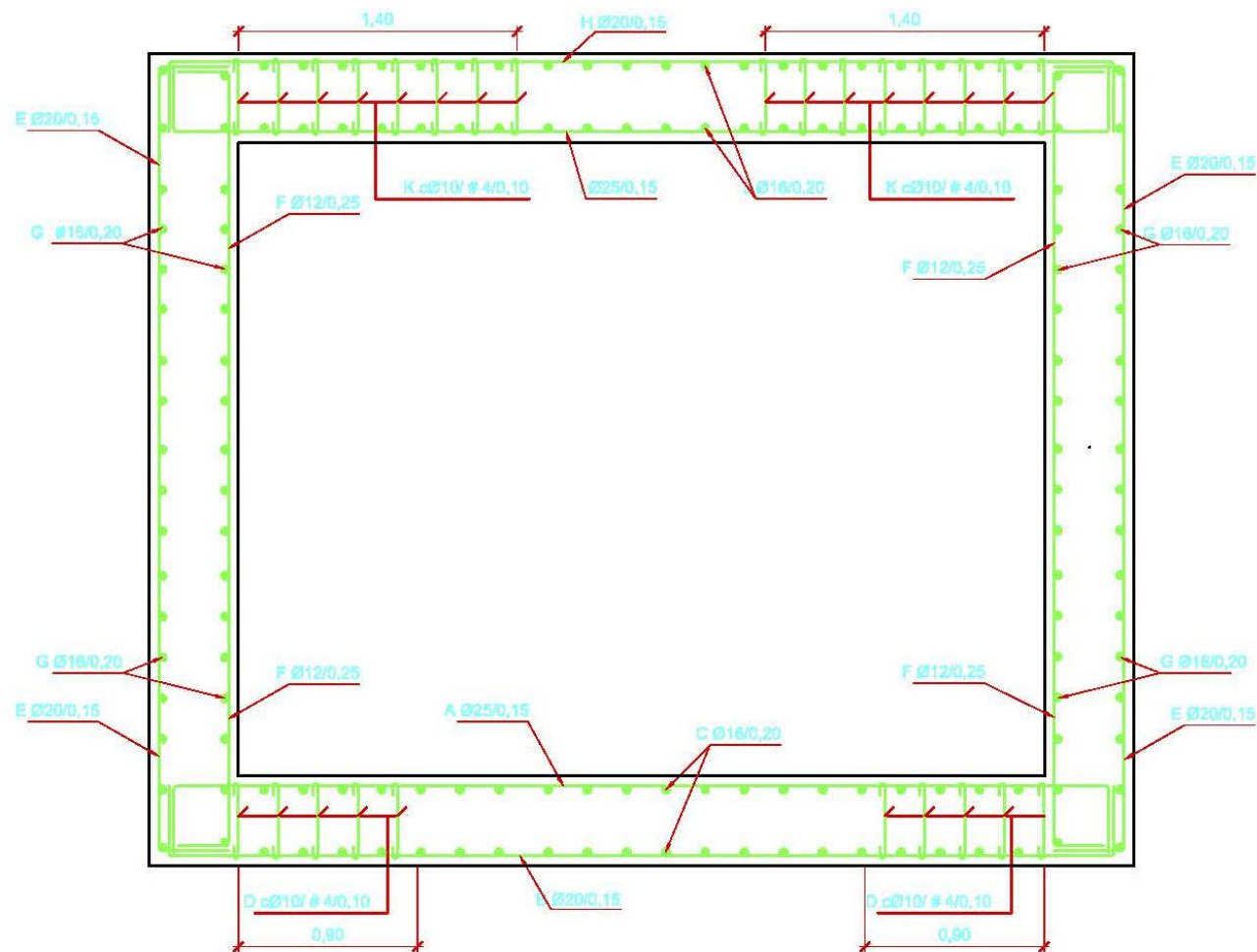
NOTA: Los valores tachados no cumplen separación entre ramas.



---

#### **5.8.1.6 ARMADO:**

---





---

**5.8.1.7 CUADRO DE DESPIECE.**

---

		LONGITUD					PESO			
		UD	LONGITUD	SEPARACIÓN	Nº DE BARRAS/ m	LONGITUD TOTAL	DIAMETRO mm	SECCIÓN mm²	PESO kg/m	PESO TOTAL kg
		SOLERA								
A	TRANSVERSAL		1	5,36	0,15	6,67	35,73	25	490,87	137,69
B			1	5,45	0,15	6,67	36,33	20	314,16	89,60
C	LONGITUDINAL		50	1,00	0,20	5,0	50,00	16	201,06	78,92
D	CERCOS		36	1,96	0,10	10,0	70,56	10	78,54	43,50
SUBTOTAL SOLERA										349,72

AREA	Kg/m³
5	69,94

		MUROS									
E	TRANSVERSAL		1	4,70	0,15	6,67	31,33	20	314,16	77,27	
F			1	4,39	0,25	4,00	17,56	12	113,10	15,59	
G	LONGITUDINAL		32	1,00	0,20	5,00	32,00	16	201,06	50,51	
SUBTOTAL MURO										143,37	
TOTAL MUROS			2								286,74

AREA	Kg/m³
3,18	45,08

		LOSA SUPERIOR								
H	TRANSVERSAL		1	5,45	0,15	6,67	36,33	20	314,16	89,60
I			1	5,36	0,15	6,67	35,73	25	490,87	137,69
J	LONGITUDINAL		50	1	0,2	5,00	50,00	16	201,06	78,92
K	CERCOS		56	1,96	0,10	10	109,76	10	78,54	67,67
SUBTOTAL LOSA SUPERIOR										373,88

AREA	Kg/m³
5	74,78



---

#### **5.8.1.9.- DEL CÁLCULO SAP2000**

---



TABLE: Joint Coordinates					
Joint	CoordSys	CoordType	XorR	Y	Z
Text	Text	Text	m	m	m
1	GLOBAL	Cartesian	-2,25	0	0
2	GLOBAL	Cartesian	2,25	0	0
3	GLOBAL	Cartesian	-2,25	0	3,63
4	GLOBAL	Cartesian	2,25	0	3,63
5	GLOBAL	Cartesian	-1,78	0	0
6	GLOBAL	Cartesian	-1,335	0	0
7	GLOBAL	Cartesian	-0,89	0	0
8	GLOBAL	Cartesian	-0,445	0	0
9	GLOBAL	Cartesian	0	0	0
10	GLOBAL	Cartesian	0,445	0	0
11	GLOBAL	Cartesian	0,89	0	0
12	GLOBAL	Cartesian	1,335	0	0
13	GLOBAL	Cartesian	1,78	0	0
14	GLOBAL	Cartesian	-2,25	0	0,363
15	GLOBAL	Cartesian	-2,25	0	0,726
16	GLOBAL	Cartesian	-2,25	0	1,089
17	GLOBAL	Cartesian	-2,25	0	1,452
18	GLOBAL	Cartesian	-2,25	0	1,815
19	GLOBAL	Cartesian	-2,25	0	2,178
20	GLOBAL	Cartesian	-2,25	0	2,541
21	GLOBAL	Cartesian	-2,25	0	2,904
22	GLOBAL	Cartesian	-2,25	0	3,267
23	GLOBAL	Cartesian	2,25	0	0,363
24	GLOBAL	Cartesian	2,25	0	0,726
25	GLOBAL	Cartesian	2,25	0	1,089
26	GLOBAL	Cartesian	2,25	0	1,452
27	GLOBAL	Cartesian	2,25	0	1,815
28	GLOBAL	Cartesian	2,25	0	2,178
29	GLOBAL	Cartesian	2,25	0	2,541
30	GLOBAL	Cartesian	2,25	0	2,904
31	GLOBAL	Cartesian	2,25	0	3,267
32	GLOBAL	Cartesian	-1,78	0	3,63
33	GLOBAL	Cartesian	-1,335	0	3,63
34	GLOBAL	Cartesian	-0,89	0	3,63
35	GLOBAL	Cartesian	-0,445	0	3,63
36	GLOBAL	Cartesian	0	0	3,63
37	GLOBAL	Cartesian	0,445	0	3,63
38	GLOBAL	Cartesian	0,89	0	3,63
39	GLOBAL	Cartesian	1,335	0	3,63
40	GLOBAL	Cartesian	1,78	0	3,63



“Proyecto de las estructuras para la conexión peatonal de los andenes de la estación de Font de Sant Lluís en Valencia”.

TABLE: Connectivity - Frame

Frame	JointI	JointJ	IsCurved	Length	CentroidX	CentroidY	CentroidZ
Text	Text	Text	Yes/No	m	m	m	m
1	1	14	No	0,363	-2,25	0	0,1815
2	14	15	No	0,363	-2,25	0	0,5445
3	15	16	No	0,363	-2,25	0	0,9075
4	16	17	No	0,363	-2,25	0	1,2705
5	1	5	No	0,47	-2,015	0	0
6	5	6	No	0,445	-1,5575	0	0
7	6	7	No	0,445	-1,1125	0	0
8	7	8	No	0,445	-0,6675	0	0
9	8	9	No	0,445	-0,2225	0	0
10	9	10	No	0,445	0,2225	0	0
11	10	11	No	0,445	0,6675	0	0
12	11	12	No	0,445	1,1125	0	0
13	12	13	No	0,445	1,5575	0	0
14	13	2	No	0,47	2,015	0	0
16	17	18	No	0,363	-2,25	0	1,6335
17	18	19	No	0,363	-2,25	0	1,9965
18	19	20	No	0,363	-2,25	0	2,3595
19	20	21	No	0,363	-2,25	0	2,7225
20	21	22	No	0,363	-2,25	0	3,0855
21	22	3	No	0,363	-2,25	0	3,4485
22	2	23	No	0,363	2,25	0	0,1815
23	23	24	No	0,363	2,25	0	0,5445
24	24	25	No	0,363	2,25	0	0,9075
26	25	26	No	0,363	2,25	0	1,2705
27	26	27	No	0,363	2,25	0	1,6335
28	27	28	No	0,363	2,25	0	1,9965
29	28	29	No	0,363	2,25	0	2,3595
30	29	30	No	0,363	2,25	0	2,7225
31	30	31	No	0,363	2,25	0	3,0855
32	31	4	No	0,363	2,25	0	3,4485
35	3	32	No	0,47	-2,015	0	3,63
36	32	33	No	0,445	-1,5575	0	3,63
37	33	34	No	0,445	-1,1125	0	3,63
38	34	35	No	0,445	-0,6675	0	3,63
39	35	36	No	0,445	-0,2225	0	3,63
40	36	37	No	0,445	0,2225	0	3,63
41	37	38	No	0,445	0,6675	0	3,63
42	38	39	No	0,445	1,1125	0	3,63
43	39	40	No	0,445	1,5575	0	3,63
44	40	4	No	0,47	2,015	0	3,63

---

TABLE: Joint Restraint Assignments						
Joint	U1	U2	U3	R1	R2	R3
Text	Yes/No	Yes/No	Yes/No	Yes/No	Yes/No	Yes/No
9	Yes	No	No	No	No	No



TABLE: Frame Section Assignments

Frame	SectionType	AutoSelect	AnalSect	DesignSect	MatProp
Text	Text	Text	Text	Text	Text
1	Rectangular	N.A.	HASTIALES	HASTIALES	Default
2	Rectangular	N.A.	HASTIALES	HASTIALES	Default
3	Rectangular	N.A.	HASTIALES	HASTIALES	Default
4	Rectangular	N.A.	HASTIALES	HASTIALES	Default
5	Rectangular	N.A.	SOLERA	SOLERA	Default
6	Rectangular	N.A.	SOLERA	SOLERA	Default
7	Rectangular	N.A.	SOLERA	SOLERA	Default
8	Rectangular	N.A.	SOLERA	SOLERA	Default
9	Rectangular	N.A.	SOLERA	SOLERA	Default
10	Rectangular	N.A.	SOLERA	SOLERA	Default
11	Rectangular	N.A.	SOLERA	SOLERA	Default
12	Rectangular	N.A.	SOLERA	SOLERA	Default
13	Rectangular	N.A.	SOLERA	SOLERA	Default
14	Rectangular	N.A.	SOLERA	SOLERA	Default
16	Rectangular	N.A.	HASTIALES	HASTIALES	Default
17	Rectangular	N.A.	HASTIALES	HASTIALES	Default
18	Rectangular	N.A.	HASTIALES	HASTIALES	Default
19	Rectangular	N.A.	HASTIALES	HASTIALES	Default
20	Rectangular	N.A.	HASTIALES	HASTIALES	Default
21	Rectangular	N.A.	HASTIALES	HASTIALES	Default
22	Rectangular	N.A.	HASTIALES	HASTIALES	Default
23	Rectangular	N.A.	HASTIALES	HASTIALES	Default
24	Rectangular	N.A.	HASTIALES	HASTIALES	Default
26	Rectangular	N.A.	HASTIALES	HASTIALES	Default
27	Rectangular	N.A.	HASTIALES	HASTIALES	Default
28	Rectangular	N.A.	HASTIALES	HASTIALES	Default
29	Rectangular	N.A.	HASTIALES	HASTIALES	Default
30	Rectangular	N.A.	HASTIALES	HASTIALES	Default
31	Rectangular	N.A.	HASTIALES	HASTIALES	Default
32	Rectangular	N.A.	HASTIALES	HASTIALES	Default
35	Rectangular	N.A.	LOSA SUPERIOR	LOSA SUPERIOR	Default
36	Rectangular	N.A.	LOSA SUPERIOR	LOSA SUPERIOR	Default
37	Rectangular	N.A.	LOSA SUPERIOR	LOSA SUPERIOR	Default
38	Rectangular	N.A.	LOSA SUPERIOR	LOSA SUPERIOR	Default
39	Rectangular	N.A.	LOSA SUPERIOR	LOSA SUPERIOR	Default
40	Rectangular	N.A.	LOSA SUPERIOR	LOSA SUPERIOR	Default
41	Rectangular	N.A.	LOSA SUPERIOR	LOSA SUPERIOR	Default
42	Rectangular	N.A.	LOSA SUPERIOR	LOSA SUPERIOR	Default
43	Rectangular	N.A.	LOSA SUPERIOR	LOSA SUPERIOR	Default
44	Rectangular	N.A.	LOSA SUPERIOR	LOSA SUPERIOR	Default

---

TABLE: Frame Section Properties 01 - General															
SectionName	Material	Shape	t3	t2	Area	I33	I22	AS2	AS3	S33	S22	R33	R22	TotalWt	TotalMass
Text	Text	Text	m	m	m2	m4	m4	m2	m2	m3	m3	m	m	KN	KN-s2/m
HASTIALES	HA 30	Rectangular	0,45	1	0,45	0,007594	0,0375	0,375	0,375	0,03375	0,075	0,129904	0,288675	81,675	8,33
LOSA SUPERIOR	HA 30	Rectangular	0,45	1	0,45	0,007594	0,0375	0,375	0,375	0,03375	0,075	0,129904	0,288675	50,625	5,16
SOLERA	HA 30	Rectangular	0,45	1	0,45	0,007594	0,0375	0,375	0,375	0,03375	0,075	0,129904	0,288675	50,625	5,16



TABLE: Joint Spring Assignments 1 - Uncoupled

Joint	CoordSys	U1	U2	U3	R1	R2	R3
Text	Text	KN/m	KN/m	KN/m	KN-m/rad	KN-m/rad	KN-m/rad
1	Local	0	0	540	0	0	0
2	Local	0	0	540	0	0	0
5	Local	0	0	540	0	0	0
6	Local	0	0	540	0	0	0
7	Local	0	0	540	0	0	0
8	Local	0	0	540	0	0	0
9	Local	0	0	540	0	0	0
10	Local	0	0	540	0	0	0
11	Local	0	0	540	0	0	0
12	Local	0	0	540	0	0	0
13	Local	0	0	540	0	0	0

Frame Text	LoadPat Text	CoordSys Text	Type Text	Dir Text	DistType Text	RelDistA Unitless	RelDistB Unitless	AbsDistA m	AbsDistB m	FOverA KN/m	FOverB KN/m
5	CM SUELO SOLERA	GLOBAL	Force	Gravity	RelDist	0	1	0	0,47	2	2
5	SBC SUELO SOLERA	GLOBAL	Force	Gravity	RelDist	0	1	0	0,47	5	5
5	EMPUJE AGUA	GLOBAL	Force	Gravity	RelDist	0	1	0	0,47	-11,85	-11,85
6	CM SUELO SOLERA	GLOBAL	Force	Gravity	RelDist	0	1	0	0,445	2	2
6	SBC SUELO SOLERA	GLOBAL	Force	Gravity	RelDist	0	1	0	0,445	5	5
6	EMPUJE AGUA	GLOBAL	Force	Gravity	RelDist	0	1	0	0,445	-11,85	-11,85
7	CM SUELO SOLERA	GLOBAL	Force	Gravity	RelDist	0	1	0	0,445	2	2
7	SBC SUELO SOLERA	GLOBAL	Force	Gravity	RelDist	0	1	0	0,445	5	5
7	EMPUJE AGUA	GLOBAL	Force	Gravity	RelDist	0	1	0	0,445	-11,85	-11,85
8	CM SUELO SOLERA	GLOBAL	Force	Gravity	RelDist	0	1	0	0,445	2	2
8	SBC SUELO SOLERA	GLOBAL	Force	Gravity	RelDist	0	1	0	0,445	5	5
8	EMPUJE AGUA	GLOBAL	Force	Gravity	RelDist	0	1	0	0,445	-11,85	-11,85
9	CM SUELO SOLERA	GLOBAL	Force	Gravity	RelDist	0	1	0	0,445	2	2
9	SBC SUELO SOLERA	GLOBAL	Force	Gravity	RelDist	0	1	0	0,445	5	5
9	EMPUJE AGUA	GLOBAL	Force	Gravity	RelDist	0	1	0	0,445	-11,85	-11,85
10	CM SUELO SOLERA	GLOBAL	Force	Gravity	RelDist	0	1	0	0,445	2	2
10	SBC SUELO SOLERA	GLOBAL	Force	Gravity	RelDist	0	1	0	0,445	5	5
10	EMPUJE AGUA	GLOBAL	Force	Gravity	RelDist	0	1	0	0,445	-11,85	-11,85
11	CM SUELO SOLERA	GLOBAL	Force	Gravity	RelDist	0	1	0	0,445	2	2
11	SBC SUELO SOLERA	GLOBAL	Force	Gravity	RelDist	0	1	0	0,445	5	5
11	EMPUJE AGUA	GLOBAL	Force	Gravity	RelDist	0	1	0	0,445	-11,85	-11,85
12	CM SUELO SOLERA	GLOBAL	Force	Gravity	RelDist	0	1	0	0,445	2	2
12	SBC SUELO SOLERA	GLOBAL	Force	Gravity	RelDist	0	1	0	0,445	5	5
12	EMPUJE AGUA	GLOBAL	Force	Gravity	RelDist	0	1	0	0,445	-11,85	-11,85
13	CM SUELO SOLERA	GLOBAL	Force	Gravity	RelDist	0	1	0	0,445	2	2
13	SBC SUELO SOLERA	GLOBAL	Force	Gravity	RelDist	0	1	0	0,445	5	5
13	EMPUJE AGUA	GLOBAL	Force	Gravity	RelDist	0	1	0	0,445	-11,85	-11,85
14	CM SUELO SOLERA	GLOBAL	Force	Gravity	RelDist	0	1	0	0,47	2	2
14	SBC SUELO SOLERA	GLOBAL	Force	Gravity	RelDist	0	1	0	0,47	5	5
14	EMPUJE AGUA	GLOBAL	Force	Gravity	RelDist	0	1	0	0,47	-11,85	-11,85
35	CM CARRIL UIC-54	GLOBAL	Force	Gravity	RelDist	0	1	0	0,47	0,4	0,4
35	CM TRAVIESAS	GLOBAL	Force	Gravity	RelDist	0	1	0	0,47	1,82	1,82
35	CM TIERRA+BALASTO	GLOBAL	Force	Gravity	RelDist	0	1	0	0,47	25,02	25,02
35	TREN_10	GLOBAL	Force	Gravity	RelDist	0	1	0	0,47	80	80
35	TREN_11	GLOBAL	Force	Gravity	RelDist	0	1	0	0,47	80	80
35	TREN_12	GLOBAL	Force	Gravity	RelDist	0	1	0	0,47	80	80
35	TREN_13	GLOBAL	Force	Gravity	RelDist	0	1	0	0,47	80	80
35	TREN_14	GLOBAL	Force	Gravity	RelDist	0	1	0	0,47	80	80
35	TREN_15	GLOBAL	Force	Gravity	RelDist	0	1	0	0,47	80	80
35	TREN_16	GLOBAL	Force	Gravity	RelDist	0	1	0	0,47	80	80
35	TREN_17	GLOBAL	Force	Gravity	RelDist	0	1	0	0,47	80	80
35	TREN_18	GLOBAL	Force	Gravity	RelDist	0	1	0	0,47	80	80
35	TREN_19	GLOBAL	Force	Gravity	RelDist	0	1	0	0,47	80	80
35	TREN_20	GLOBAL	Force	Gravity	RelDist	0	1	0	0,47	156,25	156,25
35	TREN_21	GLOBAL	Force	Gravity	RelDist	0	1	0	0,47	156,25	156,25
35	TREN_22	GLOBAL	Force	Gravity	RelDist	0	1	0	0,47	156,25	156,25
35	TREN_23	GLOBAL	Force	Gravity	RelDist	0	1	0	0,47	156,25	156,25
35	TREN_24	GLOBAL	Force	Gravity	RelDist	0	1	0	0,47	156,25	156,25
35	TREN_25	GLOBAL	Force	Gravity	RelDist	0	1	0	0,47	156,25	156,25
35	TREN_26	GLOBAL	Force	Gravity	RelDist	0	1	0	0,47	156,25	156,25
35	TREN_27	GLOBAL	Force	Gravity	RelDist	0	1	0	0,47	156,25	156,25
35	TREN_28	GLOBAL	Force	Gravity	RelDist	0	1	0	0,47	156,25	156,25
35	TREN_29	GLOBAL	Force	Gravity	RelDist	0	1	0	0,47	156,25	156,25
35	TREN_30	GLOBAL	Force	Gravity	RelDist	0	1	0	0,47	80	80
35	TREN_31	GLOBAL	Force	Gravity	RelDist	0	1	0	0,47	80	80
35	TREN_32	GLOBAL	Force	Gravity	RelDist	0	1	0	0,47	80	80
35	TREN_33	GLOBAL	Force	Gravity	RelDist	0	1	0	0,47	80	80
35	TREN_34	GLOBAL	Force	Gravity	RelDist	0	1	0	0,47	80	80
35	TREN_35	GLOBAL	Force	Gravity	RelDist	0	1	0	0,47	80	80
35	TREN_36	GLOBAL	Force	Gravity	RelDist	0	1	0	0,47	80	80
35	TREN_37	GLOBAL	Force	Gravity	RelDist	0	1	0	0,47	80	80
35	TREN_38	GLOBAL	Force	Gravity	RelDist	0	1	0	0,47	80	80
35	TREN_39	GLOBAL	Force	Gravity	RelDist	0	1	0	0,47	80	80
36	CM CARRIL UIC-54	GLOBAL	Force	Gravity	RelDist	0	1	0	0,445	0,4	0,4
36	CM TRAVIESAS	GLOBAL	Force	Gravity	RelDist	0	1	0	0,445	1,82	1,82
36	CM TIERRA+BALASTO	GLOBAL	Force	Gravity	RelDist	0	1	0	0,445	25,02	25,02
36	TREN_9	GLOBAL	Force	Gravity	RelDist	0	1	0	0,445	80	80





“Proyecto de las estructuras para la conexión peatonal de los andenes  
de la estación de Font de Sant Lluís en Valencia”.

36	TREN_10	GLOBAL	Force	Gravity	RelDist	0	1	0	0,445	80	80
36	TREN_11	GLOBAL	Force	Gravity	RelDist	0	1	0	0,445	80	80
36	TREN_12	GLOBAL	Force	Gravity	RelDist	0	1	0	0,445	80	80
36	TREN_13	GLOBAL	Force	Gravity	RelDist	0	1	0	0,445	80	80
36	TREN_14	GLOBAL	Force	Gravity	RelDist	0	1	0	0,445	80	80
36	TREN_15	GLOBAL	Force	Gravity	RelDist	0	1	0	0,445	80	80
36	TREN_16	GLOBAL	Force	Gravity	RelDist	0	1	0	0,445	80	80
36	TREN_17	GLOBAL	Force	Gravity	RelDist	0	1	0	0,445	80	80
36	TREN_18	GLOBAL	Force	Gravity	RelDist	0	1	0	0,445	80	80
36	TREN_19	GLOBAL	Force	Gravity	RelDist	0	1	0	0,445	156,25	156,25
36	TREN_20	GLOBAL	Force	Gravity	RelDist	0	1	0	0,445	156,25	156,25
36	TREN_21	GLOBAL	Force	Gravity	RelDist	0	1	0	0,445	156,25	156,25
36	TREN_22	GLOBAL	Force	Gravity	RelDist	0	1	0	0,445	156,25	156,25
36	TREN_23	GLOBAL	Force	Gravity	RelDist	0	1	0	0,445	156,25	156,25
36	TREN_24	GLOBAL	Force	Gravity	RelDist	0	1	0	0,445	156,25	156,25
36	TREN_25	GLOBAL	Force	Gravity	RelDist	0	1	0	0,445	156,25	156,25
36	TREN_26	GLOBAL	Force	Gravity	RelDist	0	1	0	0,445	156,25	156,25
36	TREN_27	GLOBAL	Force	Gravity	RelDist	0	1	0	0,445	156,25	156,25
36	TREN_28	GLOBAL	Force	Gravity	RelDist	0	1	0	0,445	156,25	156,25
36	TREN_29	GLOBAL	Force	Gravity	RelDist	0	1	0	0,445	80	80
36	TREN_30	GLOBAL	Force	Gravity	RelDist	0	1	0	0,445	80	80
36	TREN_31	GLOBAL	Force	Gravity	RelDist	0	1	0	0,445	80	80
36	TREN_32	GLOBAL	Force	Gravity	RelDist	0	1	0	0,445	80	80
36	TREN_33	GLOBAL	Force	Gravity	RelDist	0	1	0	0,445	80	80
36	TREN_34	GLOBAL	Force	Gravity	RelDist	0	1	0	0,445	80	80
36	TREN_35	GLOBAL	Force	Gravity	RelDist	0	1	0	0,445	80	80
36	TREN_36	GLOBAL	Force	Gravity	RelDist	0	1	0	0,445	80	80
36	TREN_37	GLOBAL	Force	Gravity	RelDist	0	1	0	0,445	80	80
36	TREN_38	GLOBAL	Force	Gravity	RelDist	0	1	0	0,445	80	80
37	CM CARRIL UIC-54	GLOBAL	Force	Gravity	RelDist	0	1	0	0,445	0,4	0,4
37	CM TRAVIESAS	GLOBAL	Force	Gravity	RelDist	0	1	0	0,445	1,82	1,82
37	CM TIERRA+BALASTO	GLOBAL	Force	Gravity	RelDist	0	1	0	0,445	25,02	25,02
37	TREN_8	GLOBAL	Force	Gravity	RelDist	0	1	0	0,445	80	80
37	TREN_9	GLOBAL	Force	Gravity	RelDist	0	1	0	0,445	80	80
37	TREN_10	GLOBAL	Force	Gravity	RelDist	0	1	0	0,445	80	80
37	TREN_11	GLOBAL	Force	Gravity	RelDist	0	1	0	0,445	80	80
37	TREN_12	GLOBAL	Force	Gravity	RelDist	0	1	0	0,445	80	80
37	TREN_13	GLOBAL	Force	Gravity	RelDist	0	1	0	0,445	80	80
37	TREN_14	GLOBAL	Force	Gravity	RelDist	0	1	0	0,445	80	80
37	TREN_15	GLOBAL	Force	Gravity	RelDist	0	1	0	0,445	80	80
37	TREN_16	GLOBAL	Force	Gravity	RelDist	0	1	0	0,445	80	80
37	TREN_17	GLOBAL	Force	Gravity	RelDist	0	1	0	0,445	80	80
37	TREN_18	GLOBAL	Force	Gravity	RelDist	0	1	0	0,445	156,25	156,25
37	TREN_19	GLOBAL	Force	Gravity	RelDist	0	1	0	0,445	156,25	156,25
37	TREN_20	GLOBAL	Force	Gravity	RelDist	0	1	0	0,445	156,25	156,25
37	TREN_21	GLOBAL	Force	Gravity	RelDist	0	1	0	0,445	156,25	156,25
37	TREN_22	GLOBAL	Force	Gravity	RelDist	0	1	0	0,445	156,25	156,25
37	TREN_23	GLOBAL	Force	Gravity	RelDist	0	1	0	0,445	156,25	156,25
37	TREN_24	GLOBAL	Force	Gravity	RelDist	0	1	0	0,445	156,25	156,25
37	TREN_25	GLOBAL	Force	Gravity	RelDist	0	1	0	0,445	156,25	156,25
37	TREN_26	GLOBAL	Force	Gravity	RelDist	0	1	0	0,445	156,25	156,25
37	TREN_27	GLOBAL	Force	Gravity	RelDist	0	1	0	0,445	156,25	156,25
37	TREN_28	GLOBAL	Force	Gravity	RelDist	0	1	0	0,445	80	80
37	TREN_29	GLOBAL	Force	Gravity	RelDist	0	1	0	0,445	80	80
37	TREN_30	GLOBAL	Force	Gravity	RelDist	0	1	0	0,445	80	80
37	TREN_31	GLOBAL	Force	Gravity	RelDist	0	1	0	0,445	80	80
37	TREN_32	GLOBAL	Force	Gravity	RelDist	0	1	0	0,445	80	80
37	TREN_33	GLOBAL	Force	Gravity	RelDist	0	1	0	0,445	80	80
37	TREN_34	GLOBAL	Force	Gravity	RelDist	0	1	0	0,445	80	80
37	TREN_35	GLOBAL	Force	Gravity	RelDist	0	1	0	0,445	80	80
37	TREN_36	GLOBAL	Force	Gravity	RelDist	0	1	0	0,445	80	80
37	TREN_37	GLOBAL	Force	Gravity	RelDist	0	1	0	0,445	80	80
38	CM CARRIL UIC-54	GLOBAL	Force	Gravity	RelDist	0	1	0	0,445	0,4	0,4
38	CM TRAVIESAS	GLOBAL	Force	Gravity	RelDist	0	1	0	0,445	1,82	1,82
38	CM TIERRA+BALASTO	GLOBAL	Force	Gravity	RelDist	0	1	0	0,445	25,02	25,02
38	TREN_7	GLOBAL	Force	Gravity	RelDist	0	1	0	0,445	80	80
38	TREN_8	GLOBAL	Force	Gravity	RelDist	0	1	0	0,445	80	80
38	TREN_9	GLOBAL	Force	Gravity	RelDist	0	1	0	0,445	80	80
38	TREN_10	GLOBAL	Force	Gravity	RelDist	0	1	0	0,445	80	80
38	TREN_11	GLOBAL	Force	Gravity	RelDist	0	1	0	0,445	80	80



38	TREN_12	GLOBAL	Force	Gravity	RelDist	0	1	0	0,445	80	80
38	TREN_13	GLOBAL	Force	Gravity	RelDist	0	1	0	0,445	80	80
38	TREN_14	GLOBAL	Force	Gravity	RelDist	0	1	0	0,445	80	80
38	TREN_15	GLOBAL	Force	Gravity	RelDist	0	1	0	0,445	80	80
38	TREN_16	GLOBAL	Force	Gravity	RelDist	0	1	0	0,445	80	80
38	TREN_17	GLOBAL	Force	Gravity	RelDist	0	1	0	0,445	156,25	156,25
38	TREN_18	GLOBAL	Force	Gravity	RelDist	0	1	0	0,445	156,25	156,25
38	TREN_19	GLOBAL	Force	Gravity	RelDist	0	1	0	0,445	156,25	156,25
38	TREN_20	GLOBAL	Force	Gravity	RelDist	0	1	0	0,445	156,25	156,25
38	TREN_21	GLOBAL	Force	Gravity	RelDist	0	1	0	0,445	156,25	156,25
38	TREN_22	GLOBAL	Force	Gravity	RelDist	0	1	0	0,445	156,25	156,25
38	TREN_23	GLOBAL	Force	Gravity	RelDist	0	1	0	0,445	156,25	156,25
38	TREN_24	GLOBAL	Force	Gravity	RelDist	0	1	0	0,445	156,25	156,25
38	TREN_25	GLOBAL	Force	Gravity	RelDist	0	1	0	0,445	156,25	156,25
38	TREN_26	GLOBAL	Force	Gravity	RelDist	0	1	0	0,445	156,25	156,25
38	TREN_27	GLOBAL	Force	Gravity	RelDist	0	1	0	0,445	80	80
38	TREN_28	GLOBAL	Force	Gravity	RelDist	0	1	0	0,445	80	80
38	TREN_29	GLOBAL	Force	Gravity	RelDist	0	1	0	0,445	80	80
38	TREN_30	GLOBAL	Force	Gravity	RelDist	0	1	0	0,445	80	80
38	TREN_31	GLOBAL	Force	Gravity	RelDist	0	1	0	0,445	80	80
38	TREN_32	GLOBAL	Force	Gravity	RelDist	0	1	0	0,445	80	80
38	TREN_33	GLOBAL	Force	Gravity	RelDist	0	1	0	0,445	80	80
38	TREN_34	GLOBAL	Force	Gravity	RelDist	0	1	0	0,445	80	80
38	TREN_35	GLOBAL	Force	Gravity	RelDist	0	1	0	0,445	80	80
38	TREN_36	GLOBAL	Force	Gravity	RelDist	0	1	0	0,445	80	80
39	CM CARRIL UIC-54	GLOBAL	Force	Gravity	RelDist	0	1	0	0,445	0,4	0,4
39	CM TRAVIESAS	GLOBAL	Force	Gravity	RelDist	0	1	0	0,445	1,82	1,82
39	CM TIERRA+BALASTO	GLOBAL	Force	Gravity	RelDist	0	1	0	0,445	25,02	25,02
39	TREN_6	GLOBAL	Force	Gravity	RelDist	0	1	0	0,445	80	80
39	TREN_7	GLOBAL	Force	Gravity	RelDist	0	1	0	0,445	80	80
39	TREN_8	GLOBAL	Force	Gravity	RelDist	0	1	0	0,445	80	80
39	TREN_9	GLOBAL	Force	Gravity	RelDist	0	1	0	0,445	80	80
39	TREN_10	GLOBAL	Force	Gravity	RelDist	0	1	0	0,445	80	80
39	TREN_11	GLOBAL	Force	Gravity	RelDist	0	1	0	0,445	80	80
39	TREN_12	GLOBAL	Force	Gravity	RelDist	0	1	0	0,445	80	80
39	TREN_13	GLOBAL	Force	Gravity	RelDist	0	1	0	0,445	80	80
39	TREN_14	GLOBAL	Force	Gravity	RelDist	0	1	0	0,445	80	80
39	TREN_15	GLOBAL	Force	Gravity	RelDist	0	1	0	0,445	80	80
39	TREN_16	GLOBAL	Force	Gravity	RelDist	0	1	0	0,445	156,25	156,25
39	TREN_17	GLOBAL	Force	Gravity	RelDist	0	1	0	0,445	156,25	156,25
39	TREN_18	GLOBAL	Force	Gravity	RelDist	0	1	0	0,445	156,25	156,25
39	TREN_19	GLOBAL	Force	Gravity	RelDist	0	1	0	0,445	156,25	156,25
39	TREN_20	GLOBAL	Force	Gravity	RelDist	0	1	0	0,445	156,25	156,25
39	TREN_21	GLOBAL	Force	Gravity	RelDist	0	1	0	0,445	156,25	156,25
39	TREN_22	GLOBAL	Force	Gravity	RelDist	0	1	0	0,445	156,25	156,25
39	TREN_23	GLOBAL	Force	Gravity	RelDist	0	1	0	0,445	156,25	156,25
39	TREN_24	GLOBAL	Force	Gravity	RelDist	0	1	0	0,445	156,25	156,25
39	TREN_25	GLOBAL	Force	Gravity	RelDist	0	1	0	0,445	156,25	156,25
39	TREN_26	GLOBAL	Force	Gravity	RelDist	0	1	0	0,445	80	80
39	TREN_27	GLOBAL	Force	Gravity	RelDist	0	1	0	0,445	80	80
39	TREN_28	GLOBAL	Force	Gravity	RelDist	0	1	0	0,445	80	80
39	TREN_29	GLOBAL	Force	Gravity	RelDist	0	1	0	0,445	80	80
39	TREN_30	GLOBAL	Force	Gravity	RelDist	0	1	0	0,445	80	80
39	TREN_31	GLOBAL	Force	Gravity	RelDist	0	1	0	0,445	80	80
39	TREN_32	GLOBAL	Force	Gravity	RelDist	0	1	0	0,445	80	80
39	TREN_33	GLOBAL	Force	Gravity	RelDist	0	1	0	0,445	80	80
39	TREN_34	GLOBAL	Force	Gravity	RelDist	0	1	0	0,445	80	80
39	TREN_35	GLOBAL	Force	Gravity	RelDist	0	1	0	0,445	80	80
40	CM CARRIL UIC-54	GLOBAL	Force	Gravity	RelDist	0	1	0	0,445	0,4	0,4
40	CM TRAVIESAS	GLOBAL	Force	Gravity	RelDist	0	1	0	0,445	1,82	1,82
40	CM TIERRA+BALASTO	GLOBAL	Force	Gravity	RelDist	0	1	0	0,445	25,02	25,02
40	TREN_5	GLOBAL	Force	Gravity	RelDist	0	1	0	0,445	80	80
40	TREN_6	GLOBAL	Force	Gravity	RelDist	0	1	0	0,445	80	80
40	TREN_7	GLOBAL	Force	Gravity	RelDist	0	1	0	0,445	80	80
40	TREN_8	GLOBAL	Force	Gravity	RelDist	0	1	0	0,445	80	80
40	TREN_9	GLOBAL	Force	Gravity	RelDist	0	1	0	0,445	80	80
40	TREN_10	GLOBAL	Force	Gravity	RelDist	0	1	0	0,445	80	80
40	TREN_11	GLOBAL	Force	Gravity	RelDist	0	1	0	0,445	80	80
40	TREN_12	GLOBAL	Force	Gravity	RelDist	0	1	0	0,445	80	80
40	TREN_13	GLOBAL	Force	Gravity	RelDist	0	1	0	0,445	80	80



## “Proyecto de las estructuras para la conexión peatonal de los andenes de la estación de Font de Sant Lluís en Valencia”.

40	TREN_14	GLOBAL	Force	Gravity	RelDist	0	1	0	0,445	80	80
40	TREN_15	GLOBAL	Force	Gravity	RelDist	0	1	0	0,445	156,25	156,25
40	TREN_16	GLOBAL	Force	Gravity	RelDist	0	1	0	0,445	156,25	156,25
40	TREN_17	GLOBAL	Force	Gravity	RelDist	0	1	0	0,445	156,25	156,25
40	TREN_18	GLOBAL	Force	Gravity	RelDist	0	1	0	0,445	156,25	156,25
40	TREN_19	GLOBAL	Force	Gravity	RelDist	0	1	0	0,445	156,25	156,25
40	TREN_20	GLOBAL	Force	Gravity	RelDist	0	1	0	0,445	156,25	156,25
40	TREN_21	GLOBAL	Force	Gravity	RelDist	0	1	0	0,445	156,25	156,25
40	TREN_22	GLOBAL	Force	Gravity	RelDist	0	1	0	0,445	156,25	156,25
40	TREN_23	GLOBAL	Force	Gravity	RelDist	0	1	0	0,445	156,25	156,25
40	TREN_24	GLOBAL	Force	Gravity	RelDist	0	1	0	0,445	156,25	156,25
40	TREN_25	GLOBAL	Force	Gravity	RelDist	0	1	0	0,445	80	80
40	TREN_26	GLOBAL	Force	Gravity	RelDist	0	1	0	0,445	80	80
40	TREN_27	GLOBAL	Force	Gravity	RelDist	0	1	0	0,445	80	80
40	TREN_28	GLOBAL	Force	Gravity	RelDist	0	1	0	0,445	80	80
40	TREN_29	GLOBAL	Force	Gravity	RelDist	0	1	0	0,445	80	80
40	TREN_30	GLOBAL	Force	Gravity	RelDist	0	1	0	0,445	80	80
40	TREN_31	GLOBAL	Force	Gravity	RelDist	0	1	0	0,445	80	80
40	TREN_32	GLOBAL	Force	Gravity	RelDist	0	1	0	0,445	80	80
40	TREN_33	GLOBAL	Force	Gravity	RelDist	0	1	0	0,445	80	80
40	TREN_34	GLOBAL	Force	Gravity	RelDist	0	1	0	0,445	80	80
41	CM CARRIL UIC-54	GLOBAL	Force	Gravity	RelDist	0	1	0	0,445	0,4	0,4
41	CM TRAVIESAS	GLOBAL	Force	Gravity	RelDist	0	1	0	0,445	1,82	1,82
41	CM TIERRA+BALASTO	GLOBAL	Force	Gravity	RelDist	0	1	0	0,445	25,02	25,02
41	TREN_4	GLOBAL	Force	Gravity	RelDist	0	1	0	0,445	80	80
41	TREN_5	GLOBAL	Force	Gravity	RelDist	0	1	0	0,445	80	80
41	TREN_6	GLOBAL	Force	Gravity	RelDist	0	1	0	0,445	80	80
41	TREN_7	GLOBAL	Force	Gravity	RelDist	0	1	0	0,445	80	80
41	TREN_8	GLOBAL	Force	Gravity	RelDist	0	1	0	0,445	80	80
41	TREN_9	GLOBAL	Force	Gravity	RelDist	0	1	0	0,445	80	80
41	TREN_10	GLOBAL	Force	Gravity	RelDist	0	1	0	0,445	80	80
41	TREN_11	GLOBAL	Force	Gravity	RelDist	0	1	0	0,445	80	80
41	TREN_12	GLOBAL	Force	Gravity	RelDist	0	1	0	0,445	80	80
41	TREN_13	GLOBAL	Force	Gravity	RelDist	0	1	0	0,445	80	80
41	TREN_14	GLOBAL	Force	Gravity	RelDist	0	1	0	0,445	156,25	156,25
41	TREN_15	GLOBAL	Force	Gravity	RelDist	0	1	0	0,445	156,25	156,25
41	TREN_16	GLOBAL	Force	Gravity	RelDist	0	1	0	0,445	156,25	156,25
41	TREN_17	GLOBAL	Force	Gravity	RelDist	0	1	0	0,445	156,25	156,25
41	TREN_18	GLOBAL	Force	Gravity	RelDist	0	1	0	0,445	156,25	156,25
41	TREN_19	GLOBAL	Force	Gravity	RelDist	0	1	0	0,445	156,25	156,25
41	TREN_20	GLOBAL	Force	Gravity	RelDist	0	1	0	0,445	156,25	156,25
41	TREN_21	GLOBAL	Force	Gravity	RelDist	0	1	0	0,445	156,25	156,25
41	TREN_22	GLOBAL	Force	Gravity	RelDist	0	1	0	0,445	156,25	156,25
41	TREN_23	GLOBAL	Force	Gravity	RelDist	0	1	0	0,445	156,25	156,25
41	TREN_24	GLOBAL	Force	Gravity	RelDist	0	1	0	0,445	80	80
41	TREN_25	GLOBAL	Force	Gravity	RelDist	0	1	0	0,445	80	80
41	TREN_26	GLOBAL	Force	Gravity	RelDist	0	1	0	0,445	80	80
41	TREN_27	GLOBAL	Force	Gravity	RelDist	0	1	0	0,445	80	80
41	TREN_28	GLOBAL	Force	Gravity	RelDist	0	1	0	0,445	80	80
41	TREN_29	GLOBAL	Force	Gravity	RelDist	0	1	0	0,445	80	80
41	TREN_30	GLOBAL	Force	Gravity	RelDist	0	1	0	0,445	80	80
41	TREN_31	GLOBAL	Force	Gravity	RelDist	0	1	0	0,445	80	80
41	TREN_32	GLOBAL	Force	Gravity	RelDist	0	1	0	0,445	80	80
41	TREN_33	GLOBAL	Force	Gravity	RelDist	0	1	0	0,445	80	80
42	CM CARRIL UIC-54	GLOBAL	Force	Gravity	RelDist	0	1	0	0,445	0,4	0,4
42	CM TRAVIESAS	GLOBAL	Force	Gravity	RelDist	0	1	0	0,445	1,82	1,82
42	CM TIERRA+BALASTO	GLOBAL	Force	Gravity	RelDist	0	1	0	0,445	25,02	25,02
42	TREN_3	GLOBAL	Force	Gravity	RelDist	0	1	0	0,445	80	80
42	TREN_4	GLOBAL	Force	Gravity	RelDist	0	1	0	0,445	80	80
42	TREN_5	GLOBAL	Force	Gravity	RelDist	0	1	0	0,445	80	80
42	TREN_6	GLOBAL	Force	Gravity	RelDist	0	1	0	0,445	80	80
42	TREN_7	GLOBAL	Force	Gravity	RelDist	0	1	0	0,445	80	80
42	TREN_8	GLOBAL	Force	Gravity	RelDist	0	1	0	0,445	80	80
42	TREN_9	GLOBAL	Force	Gravity	RelDist	0	1	0	0,445	80	80
42	TREN_10	GLOBAL	Force	Gravity	RelDist	0	1	0	0,445	80	80
42	TREN_11	GLOBAL	Force	Gravity	RelDist	0	1	0	0,445	80	80
42	TREN_12	GLOBAL	Force	Gravity	RelDist	0	1	0	0,445	80	80
42	TREN_13	GLOBAL	Force	Gravity	RelDist	0	1	0	0,445	156,25	156,25
42	TREN_14	GLOBAL	Force	Gravity	RelDist	0	1	0	0,445	156,25	156,25
42	TREN_15	GLOBAL	Force	Gravity	RelDist	0	1	0	0,445	156,25	156,25

42	TREN_16	GLOBAL	Force	Gravity	RelDist	0	1	0	0,445	156,25	156,25
42	TREN_17	GLOBAL	Force	Gravity	RelDist	0	1	0	0,445	156,25	156,25
42	TREN_18	GLOBAL	Force	Gravity	RelDist	0	1	0	0,445	156,25	156,25
42	TREN_19	GLOBAL	Force	Gravity	RelDist	0	1	0	0,445	156,25	156,25
42	TREN_20	GLOBAL	Force	Gravity	RelDist	0	1	0	0,445	156,25	156,25
42	TREN_21	GLOBAL	Force	Gravity	RelDist	0	1	0	0,445	156,25	156,25
42	TREN_22	GLOBAL	Force	Gravity	RelDist	0	1	0	0,445	156,25	156,25
42	TREN_23	GLOBAL	Force	Gravity	RelDist	0	1	0	0,445	80	80
42	TREN_24	GLOBAL	Force	Gravity	RelDist	0	1	0	0,445	80	80
42	TREN_25	GLOBAL	Force	Gravity	RelDist	0	1	0	0,445	80	80
42	TREN_26	GLOBAL	Force	Gravity	RelDist	0	1	0	0,445	80	80
42	TREN_27	GLOBAL	Force	Gravity	RelDist	0	1	0	0,445	80	80
42	TREN_28	GLOBAL	Force	Gravity	RelDist	0	1	0	0,445	80	80
42	TREN_29	GLOBAL	Force	Gravity	RelDist	0	1	0	0,445	80	80
42	TREN_30	GLOBAL	Force	Gravity	RelDist	0	1	0	0,445	80	80
42	TREN_31	GLOBAL	Force	Gravity	RelDist	0	1	0	0,445	80	80
42	TREN_32	GLOBAL	Force	Gravity	RelDist	0	1	0	0,445	80	80
43	CM CARRIL UIC-54	GLOBAL	Force	Gravity	RelDist	0	1	0	0,445	0,4	0,4
43	CM TRAVIESAS	GLOBAL	Force	Gravity	RelDist	0	1	0	0,445	1,82	1,82
43	CM TIERRA+BALASTO	GLOBAL	Force	Gravity	RelDist	0	1	0	0,445	25,02	25,02
43	TREN_3	GLOBAL	Force	Gravity	RelDist	0	1	0	0,445	80	80
43	TREN_4	GLOBAL	Force	Gravity	RelDist	0	1	0	0,445	80	80
43	TREN_5	GLOBAL	Force	Gravity	RelDist	0	1	0	0,445	80	80
43	TREN_6	GLOBAL	Force	Gravity	RelDist	0	1	0	0,445	80	80
43	TREN_7	GLOBAL	Force	Gravity	RelDist	0	1	0	0,445	80	80
43	TREN_8	GLOBAL	Force	Gravity	RelDist	0	1	0	0,445	80	80
43	TREN_9	GLOBAL	Force	Gravity	RelDist	0	1	0	0,445	80	80
43	TREN_10	GLOBAL	Force	Gravity	RelDist	0	1	0	0,445	80	80
43	TREN_11	GLOBAL	Force	Gravity	RelDist	0	1	0	0,445	80	80
43	TREN_12	GLOBAL	Force	Gravity	RelDist	0	1	0	0,445	156,25	156,25
43	TREN_13	GLOBAL	Force	Gravity	RelDist	0	1	0	0,445	156,25	156,25
43	TREN_14	GLOBAL	Force	Gravity	RelDist	0	1	0	0,445	156,25	156,25
43	TREN_15	GLOBAL	Force	Gravity	RelDist	0	1	0	0,445	156,25	156,25
43	TREN_16	GLOBAL	Force	Gravity	RelDist	0	1	0	0,445	156,25	156,25
43	TREN_17	GLOBAL	Force	Gravity	RelDist	0	1	0	0,445	156,25	156,25
43	TREN_18	GLOBAL	Force	Gravity	RelDist	0	1	0	0,445	156,25	156,25
43	TREN_19	GLOBAL	Force	Gravity	RelDist	0	1	0	0,445	156,25	156,25
43	TREN_20	GLOBAL	Force	Gravity	RelDist	0	1	0	0,445	156,25	156,25
43	TREN_21	GLOBAL	Force	Gravity	RelDist	0	1	0	0,445	156,25	156,25
43	TREN_22	GLOBAL	Force	Gravity	RelDist	0	1	0	0,445	80	80
43	TREN_23	GLOBAL	Force	Gravity	RelDist	0	1	0	0,445	80	80
43	TREN_24	GLOBAL	Force	Gravity	RelDist	0	1	0	0,445	80	80
43	TREN_25	GLOBAL	Force	Gravity	RelDist	0	1	0	0,445	80	80
43	TREN_26	GLOBAL	Force	Gravity	RelDist	0	1	0	0,445	80	80
43	TREN_27	GLOBAL	Force	Gravity	RelDist	0	1	0	0,445	80	80
43	TREN_28	GLOBAL	Force	Gravity	RelDist	0	1	0	0,445	80	80
43	TREN_29	GLOBAL	Force	Gravity	RelDist	0	1	0	0,445	80	80
43	TREN_30	GLOBAL	Force	Gravity	RelDist	0	1	0	0,445	80	80
43	TREN_31	GLOBAL	Force	Gravity	RelDist	0	1	0	0,445	80	80
43	TREN_2	GLOBAL	Force	Gravity	RelDist	0	1	0	0,445	80	80
44	CM CARRIL UIC-54	GLOBAL	Force	Gravity	RelDist	0	1	0	0,47	0,4	0,4
44	CM TRAVIESAS	GLOBAL	Force	Gravity	RelDist	0	1	0	0,47	1,82	1,82
44	CM TIERRA+BALASTO	GLOBAL	Force	Gravity	RelDist	0	1	0	0,47	25,02	25,02
44	TREN_3	GLOBAL	Force	Gravity	RelDist	0	1	0	0,47	80	80
44	TREN_4	GLOBAL	Force	Gravity	RelDist	0	1	0	0,47	80	80
44	TREN_5	GLOBAL	Force	Gravity	RelDist	0	1	0	0,47	80	80
44	TREN_6	GLOBAL	Force	Gravity	RelDist	0	1	0	0,47	80	80
44	TREN_7	GLOBAL	Force	Gravity	RelDist	0	1	0	0,47	80	80
44	TREN_8	GLOBAL	Force	Gravity	RelDist	0	1	0	0,47	80	80
44	TREN_9	GLOBAL	Force	Gravity	RelDist	0	1	0	0,47	80	80
44	TREN_10	GLOBAL	Force	Gravity	RelDist	0	1	0	0,47	80	80
44	TREN_11	GLOBAL	Force	Gravity	RelDist	0	1	0	0,47	156,25	156,25
44	TREN_12	GLOBAL	Force	Gravity	RelDist	0	1	0	0,47	156,25	156,25
44	TREN_13	GLOBAL	Force	Gravity	RelDist	0	1	0	0,47	156,25	156,25
44	TREN_14	GLOBAL	Force	Gravity	RelDist	0	1	0	0,47	156,25	156,25
44	TREN_15	GLOBAL	Force	Gravity	RelDist	0	1	0	0,47	156,25	156,25
44	TREN_16	GLOBAL	Force	Gravity	RelDist	0	1	0	0,47	156,25	156,25
44	TREN_17	GLOBAL	Force	Gravity	RelDist	0	1	0	0,47	156,25	156,25
44	TREN_18	GLOBAL	Force	Gravity	RelDist	0	1	0	0,47	156,25	156,25
44	TREN_19	GLOBAL	Force	Gravity	RelDist	0	1	0	0,47	156,25	156,25





# “Proyecto de las estructuras para la conexión peatonal de los andenes de la estación de Font de Sant Lluís en Valencia”.

44	TREN_20	GLOBAL	Force	Gravity	RelDist	0	1	0	0,47	156,25	156,25
44	TREN_21	GLOBAL	Force	Gravity	RelDist	0	1	0	0,47	80	80
44	TREN_22	GLOBAL	Force	Gravity	RelDist	0	1	0	0,47	80	80
44	TREN_23	GLOBAL	Force	Gravity	RelDist	0	1	0	0,47	80	80
44	TREN_24	GLOBAL	Force	Gravity	RelDist	0	1	0	0,47	80	80
44	TREN_25	GLOBAL	Force	Gravity	RelDist	0	1	0	0,47	80	80
44	TREN_26	GLOBAL	Force	Gravity	RelDist	0	1	0	0,47	80	80
44	TREN_27	GLOBAL	Force	Gravity	RelDist	0	1	0	0,47	80	80
44	TREN_28	GLOBAL	Force	Gravity	RelDist	0	1	0	0,47	80	80
44	TREN_29	GLOBAL	Force	Gravity	RelDist	0	1	0	0,47	80	80
44	TREN_30	GLOBAL	Force	Gravity	RelDist	0	1	0	0,47	80	80
44	TREN_1	GLOBAL	Force	Gravity	RelDist	0	1	0	0,47	80	80
44	TREN_2	GLOBAL	Force	Gravity	RelDist	0	1	0	0,47	80	80
1	EMPUJE AGUA	GLOBAL	Force	X Proj	RelDist	0	1	0	0,363	11,85	8,4
1	EMPUJE TIERRAS	GLOBAL	Force	X Proj	RelDist	0	1	0	0,363	44,6	41,04
1	SISMO	GLOBAL	Force	X Proj	RelDist	0	1	0	0,363	0	0,95
2	EMPUJE AGUA	GLOBAL	Force	X Proj	RelDist	0	1	0	0,363	8,4	4,95
2	EMPUJE TIERRAS	GLOBAL	Force	X Proj	RelDist	0	1	0	0,363	41,04	37,48
2	SISMO	GLOBAL	Force	X Proj	RelDist	0	1	0	0,363	0,95	1,89
3	EMPUJE AGUA	GLOBAL	Force	X Proj	RelDist	0	1	0	0,363	4,95	1,5
3	EMPUJE TIERRAS	GLOBAL	Force	X Proj	RelDist	0	0,5	0	0,1815	37,48	35,7
3	EMPUJE TIERRAS	GLOBAL	Force	X Proj	RelDist	0,5	1	0,1815	0,363	35,7	33,92
3	SISMO	GLOBAL	Force	X Proj	RelDist	0	0,5	0	0,1815	1,89	2,37
3	SISMO	GLOBAL	Force	X Proj	RelDist	0,5	1	0,1815	0,363	2,37	2,84
4	EMPUJE AGUA	GLOBAL	Force	X Proj	RelDist	0	0,4348	0	0,15783	1,5	-8,674E-19
4	EMPUJE TIERRAS	GLOBAL	Force	X Proj	RelDist	0	1	0	0,363	33,92	30,36
4	SISMO	GLOBAL	Force	X Proj	RelDist	0	1	0	0,363	2,84	3,78
16	EMPUJE TIERRAS	GLOBAL	Force	X Proj	RelDist	0	1	0	0,363	30,36	26,8
16	SISMO	GLOBAL	Force	X Proj	RelDist	0	1	0	0,363	3,78	4,73
17	EMPUJE TIERRAS	GLOBAL	Force	X Proj	RelDist	0	1	0	0,363	26,8	23,24
17	SISMO	GLOBAL	Force	X Proj	RelDist	0	1	0	0,363	4,73	5,68
18	EMPUJE TIERRAS	GLOBAL	Force	X Proj	RelDist	0	1	0	0,363	23,24	19,68
18	SISMO	GLOBAL	Force	X Proj	RelDist	0	1	0	0,363	5,68	6,62
19	EMPUJE TIERRAS	GLOBAL	Force	X Proj	RelDist	0	0,5	0	0,1815	19,68	17,9
19	EMPUJE TIERRAS	GLOBAL	Force	X Proj	RelDist	0,5	1	0,1815	0,363	17,9	16,12
19	SISMO	GLOBAL	Force	X Proj	RelDist	0	0,5	0	0,1815	6,62	7,1
19	SISMO	GLOBAL	Force	X Proj	RelDist	0,5	1	0,1815	0,363	7,1	7,57
20	EMPUJE TIERRAS	GLOBAL	Force	X Proj	RelDist	0	1	0	0,363	16,12	12,56
20	SISMO	GLOBAL	Force	X Proj	RelDist	0	1	0	0,363	7,57	8,51
21	EMPUJE TIERRAS	GLOBAL	Force	X Proj	RelDist	0	1	0	0,363	12,56	9
21	SISMO	GLOBAL	Force	X Proj	RelDist	0	1	0	0,363	8,51	9,46
22	EMPUJE AGUA	GLOBAL	Force	X Proj	RelDist	0	1	0	0,363	-11,85	-8,4
22	EMPUJE TIERRAS	GLOBAL	Force	X Proj	RelDist	0	1	0	0,363	-44,6	-41,04
22	SISMO	GLOBAL	Force	X Proj	RelDist	0	1	0	0,363	0	-0,95
23	EMPUJE AGUA	GLOBAL	Force	X Proj	RelDist	0	1	0	0,363	-8,4	-4,95
23	EMPUJE TIERRAS	GLOBAL	Force	X Proj	RelDist	0	1	0	0,363	-41,04	-37,48
23	SISMO	GLOBAL	Force	X Proj	RelDist	0	1	0	0,363	-0,95	-1,89
24	EMPUJE AGUA	GLOBAL	Force	X Proj	RelDist	0	1	0	0,363	-4,95	-1,5
24	EMPUJE TIERRAS	GLOBAL	Force	X Proj	RelDist	0	0,5	0	0,1815	-37,48	-35,7
24	EMPUJE TIERRAS	GLOBAL	Force	X Proj	RelDist	0,5	1	0,1815	0,363	-35,7	-33,92
24	SISMO	GLOBAL	Force	X Proj	RelDist	0	0,5	0	0,1815	-1,89	-2,37
24	SISMO	GLOBAL	Force	X Proj	RelDist	0,5	1	0,1815	0,363	-2,37	-2,84
26	EMPUJE AGUA	GLOBAL	Force	X Proj	RelDist	0	0,4348	0	0,15783	-1,5	8,674E-19
26	EMPUJE TIERRAS	GLOBAL	Force	X Proj	RelDist	0	1	0	0,363	-33,92	-30,36
26	SISMO	GLOBAL	Force	X Proj	RelDist	0	1	0	0,363	-2,84	-3,78
27	EMPUJE TIERRAS	GLOBAL	Force	X Proj	RelDist	0	1	0	0,363	-30,36	-26,8
27	SISMO	GLOBAL	Force	X Proj	RelDist	0	1	0	0,363	-3,78	-4,73
28	EMPUJE TIERRAS	GLOBAL	Force	X Proj	RelDist	0	1	0	0,363	-26,8	-23,24
28	SISMO	GLOBAL	Force	X Proj	RelDist	0	1	0	0,363	-4,73	-5,68
29	EMPUJE TIERRAS	GLOBAL	Force	X Proj	RelDist	0	1	0	0,363	-23,24	-19,68
29	SISMO	GLOBAL	Force	X Proj	RelDist	0	1	0	0,363	-5,68	-6,62
30	EMPUJE TIERRAS	GLOBAL	Force	X Proj	RelDist	0	0,5	0	0,1815	-19,68	-17,9
30	EMPUJE TIERRAS	GLOBAL	Force	X Proj	RelDist	0,5	1	0,1815	0,363	-17,9	-16,12
30	SISMO	GLOBAL	Force	X Proj	RelDist	0	0,5	0	0,1815	-6,62	-7,1
30	SISMO	GLOBAL	Force	X Proj	RelDist	0,5	1	0,1815	0,363	-7,1	-7,57
31	EMPUJE TIERRAS	GLOBAL	Force	X Proj	RelDist	0	1	0	0,363	-16,12	-12,56
31	SISMO	GLOBAL	Force	X Proj	RelDist	0	1	0	0,363	-7,57	-8,51
32	EMPUJE TIERRAS	GLOBAL	Force	X Proj	RelDist	0	1	0	0,363	-12,56	-9
32	SISMO	GLOBAL	Force	X Proj	RelDist	0	1	0	0,363	-8,51	-9,46

**TABLE: Load Pattern Definitions**

LoadPat	DesignType	SelfWtMult	AutoLoad	GUID	Notes
Text	Text	Unitless	Text	Text	Text
PP	DEAD	1			
CM CARRIL UIC-54	DEAD	0			
CM TRAVIESAS	DEAD	0			
CM TIERRA+BALASTO	DEAD	0			
CM SUELO SOLERA	DEAD	0			
SBC SUELO SOLERA	LIVE	0			
SISMO	LIVE	0			
EMPUJE AGUA	LIVE	0			
EMPUJE TIERRAS	LIVE	0			
TREN_0	LIVE	0			
TREN_1	LIVE	0			
TREN_2	LIVE	0			
TREN_3	LIVE	0			
TREN_4	LIVE	0			
TREN_5	LIVE	0			
TREN_6	LIVE	0			
TREN_7	LIVE	0			
TREN_8	LIVE	0			
TREN_9	LIVE	0			
TREN_10	LIVE	0			
TREN_11	LIVE	0			
TREN_12	LIVE	0			
TREN_13	LIVE	0			
TREN_14	LIVE	0			
TREN_15	LIVE	0			
TREN_16	LIVE	0			
TREN_17	LIVE	0			
TREN_18	LIVE	0			
TREN_19	LIVE	0			
TREN_20	LIVE	0			
TREN_21	LIVE	0			
TREN_22	LIVE	0			
TREN_23	LIVE	0			
TREN_24	LIVE	0			
TREN_25	LIVE	0			
TREN_26	LIVE	0			
TREN_27	LIVE	0			
TREN_28	LIVE	0			
TREN_29	LIVE	0			
TREN_30	LIVE	0			
TREN_31	LIVE	0			
TREN_32	LIVE	0			
TREN_33	LIVE	0			
TREN_34	LIVE	0			
TREN_35	LIVE	0			
TREN_36	LIVE	0			
TREN_37	LIVE	0			
TREN_38	LIVE	0			
TREN_39	LIVE	0			
TREN_40	LIVE	0			



TABLE: Load Case Definitions

Case	Type	InitialCond	DesignType	AutoType	RunCase	CaseStatus
Text	Text	Text	Text	Text	Yes/No	Text
PP	NonStatic	Zero	DEAD	None	Yes	Finished
CM CARRIL UIC-54	NonStatic	Zero	DEAD	None	Yes	Finished
CM TRAVIESAS	NonStatic	Zero	DEAD	None	Yes	Finished
CM TIERRAS + BALASTO	NonStatic	Zero	DEAD	None	Yes	Finished
CM SUELO SOLERA	NonStatic	Zero	DEAD	None	Yes	Finished
SBC SUELO SOLERA	NonStatic	Zero	LIVE	None	Yes	Finished
EMPUJE TIERRAS	NonStatic	Zero	LIVE	None	Yes	Finished
EMPUJE AGUA	LinStatic	Zero	LIVE	None	Yes	Finished
SISMO	NonStatic	Zero	LIVE	None	Yes	Finished
MODAL	LinModal	Zero	OTHER	None	Yes	Finished
TREN_0	NonStatic	Zero	LIVE	None	Yes	Finished
TREN_1	NonStatic	Zero	LIVE	None	Yes	Finished
TREN_2	NonStatic	Zero	LIVE	None	Yes	Finished
TREN_3	NonStatic	Zero	LIVE	None	Yes	Finished
TREN_4	NonStatic	Zero	LIVE	None	Yes	Finished
TREN_5	NonStatic	Zero	LIVE	None	Yes	Finished
TREN_6	NonStatic	Zero	LIVE	None	Yes	Finished
TREN_7	NonStatic	Zero	LIVE	None	Yes	Finished
TREN_8	NonStatic	Zero	LIVE	None	Yes	Finished
TREN_9	NonStatic	Zero	LIVE	None	Yes	Finished
TREN_10	NonStatic	Zero	LIVE	None	Yes	Finished
TREN_11	NonStatic	Zero	LIVE	None	Yes	Finished
TREN_12	NonStatic	Zero	LIVE	None	Yes	Finished
TREN_13	NonStatic	Zero	LIVE	None	Yes	Finished
TREN_14	NonStatic	Zero	LIVE	None	Yes	Finished
TREN_15	NonStatic	Zero	LIVE	None	Yes	Finished
TREN_16	NonStatic	Zero	LIVE	None	Yes	Finished
TREN_17	NonStatic	Zero	LIVE	None	Yes	Finished
TREN_18	NonStatic	Zero	LIVE	None	Yes	Finished
TREN_19	NonStatic	Zero	LIVE	None	Yes	Finished
TREN_20	NonStatic	Zero	LIVE	None	Yes	Finished
TREN_21	NonStatic	Zero	LIVE	None	Yes	Finished
TREN_22	NonStatic	Zero	LIVE	None	Yes	Finished
TREN_23	NonStatic	Zero	LIVE	None	Yes	Finished
TREN_24	NonStatic	Zero	LIVE	None	Yes	Finished
TREN_25	NonStatic	Zero	LIVE	None	Yes	Finished
TREN_26	NonStatic	Zero	LIVE	None	Yes	Finished
TREN_27	NonStatic	Zero	LIVE	None	Yes	Finished
TREN_28	NonStatic	Zero	LIVE	None	Yes	Finished
TREN_29	NonStatic	Zero	LIVE	None	Yes	Finished
TREN_30	NonStatic	Zero	LIVE	None	Yes	Finished
TREN_31	NonStatic	Zero	LIVE	None	Yes	Finished
TREN_32	NonStatic	Zero	LIVE	None	Yes	Finished
TREN_33	NonStatic	Zero	LIVE	None	Yes	Finished
TREN_34	NonStatic	Zero	LIVE	None	Yes	Finished
TREN_35	NonStatic	Zero	LIVE	None	Yes	Finished
TREN_36	NonStatic	Zero	LIVE	None	Yes	Finished
TREN_37	NonStatic	Zero	LIVE	None	Yes	Finished
TREN_38	NonStatic	Zero	LIVE	None	Yes	Finished
TREN_39	NonStatic	Zero	LIVE	None	Yes	Finished
TREN_40	NonStatic	Zero	LIVE	None	Yes	Finished

TABLE: Combination Definitions

ComboName	ComboType	AutoDesign	CaseType	CaseName	ScaleFactor	SteelDesign	ConcDesign
Text	Text	Yes/No	Text	Text	Unitless	Text	Text
HIP1	Linear Add	No	NonLin Static	PP	1,35	None	None
HIP2	Linear Add	No	NonLin Static	PP	1,35	None	None
HIP2			NonLin Static	CM CARRIL UIC-54	1,35		
HIP2			NonLin Static	CM TRAVIESAS	1,35		
HIP2			NonLin Static	CM TIERRAS + BALASTO	1,35		
HIP2			NonLin Static	EMPUJE TIERRAS	1,5		
HIP3	Linear Add	No	NonLin Static	PP	1,35	None	None
HIP3			NonLin Static	CM CARRIL UIC-54	1,35		
HIP3			NonLin Static	CM TRAVIESAS	1,35		
HIP3			NonLin Static	CM TIERRAS + BALASTO	1,35		
HIP3			NonLin Static	EMPUJE TIERRAS	1,5		
HIP3			Linear Static	EMPUJE AGUA	1,5		
HIP4	Linear Add	No	NonLin Static	PP	1,35	None	None
HIP4			NonLin Static	CM CARRIL UIC-54	1,35		
HIP4			NonLin Static	CM TRAVIESAS	1,35		
HIP4			NonLin Static	CM TIERRAS + BALASTO	1,35		
HIP4			NonLin Static	EMPUJE TIERRAS	1,5		
HIP4			NonLin Static	CM SUELO SOLERA	1,35		
HIP5	Linear Add	No	NonLin Static	PP	1,35	None	None
HIP5			NonLin Static	CM CARRIL UIC-54	1,35		
HIP5			NonLin Static	CM TRAVIESAS	1,35		
HIP5			NonLin Static	CM TIERRAS + BALASTO	1,35		
HIP5			NonLin Static	EMPUJE TIERRAS	1,5		
HIP5			NonLin Static	CM SUELO SOLERA	1,35		
HIP5			Linear Static	EMPUJE AGUA	1,5		
HIP5			NonLin Static	SBC SUELO SOLERA	1,5		
ENV-TREN	Envelope	No	NonLin Static	TREN_0	1	None	None
ENV-TREN			NonLin Static	TREN_1	1		
ENV-TREN			NonLin Static	TREN_2	1		
ENV-TREN			NonLin Static	TREN_3	1		
ENV-TREN			NonLin Static	TREN_4	1		
ENV-TREN			NonLin Static	TREN_5	1		
ENV-TREN			NonLin Static	TREN_6	1		
ENV-TREN			NonLin Static	TREN_7	1		
ENV-TREN			NonLin Static	TREN_8	1		
ENV-TREN			NonLin Static	TREN_9	1		
ENV-TREN			NonLin Static	TREN_10	1		
ENV-TREN			NonLin Static	TREN_11	1		
ENV-TREN			NonLin Static	TREN_12	1		
ENV-TREN			NonLin Static	TREN_13	1		
ENV-TREN			NonLin Static	TREN_14	1		
ENV-TREN			NonLin Static	TREN_15	1		
ENV-TREN			NonLin Static	TREN_16	1		
ENV-TREN			NonLin Static	TREN_17	1		
ENV-TREN			NonLin Static	TREN_18	1		
ENV-TREN			NonLin Static	TREN_19	1		
ENV-TREN			NonLin Static	TREN_20	1		
ENV-TREN			NonLin Static	TREN_21	1		
ENV-TREN			NonLin Static	TREN_22	1		
ENV-TREN			NonLin Static	TREN_23	1		
ENV-TREN			NonLin Static	TREN_24	1		
ENV-TREN			NonLin Static	TREN_25	1		
ENV-TREN			NonLin Static	TREN_26	1		
ENV-TREN			NonLin Static	TREN_27	1		
ENV-TREN			NonLin Static	TREN_28	1		
ENV-TREN			NonLin Static	TREN_29	1		
ENV-TREN			NonLin Static	TREN_30	1		
ENV-TREN			NonLin Static	TREN_31	1		
ENV-TREN			NonLin Static	TREN_32	1		
ENV-TREN			NonLin Static	TREN_33	1		



“Proyecto de las estructuras para la conexión peatonal de los andenes  
de la estación de Font de Sant Lluís en Valencia”.

ENV-TREN			NonLin Static	TREN_34	1		
ENV-TREN			NonLin Static	TREN_35	1		
ENV-TREN			NonLin Static	TREN_36	1		
ENV-TREN			NonLin Static	TREN_37	1		
ENV-TREN			NonLin Static	TREN_38	1		
ENV-TREN			NonLin Static	TREN_39	1		
ENV-TREN			NonLin Static	TREN_40	1		
HIP6	Linear Add	No	NonLin Static	PP	1,35	None	None
HIP6			NonLin Static	CM CARRIL UIC-54	1,35		
HIP6			NonLin Static	CM TRAVIESAS	1,35		
HIP6			NonLin Static	CM TIERRAS + BALASTO	1,35		
HIP6			NonLin Static	EMPUJE TIERRAS	1		
HIP6			Linear Static	EMPUJE AGUA	1,5		
HIP6			Response Combo	ENV-TREN	1,5		
HIP7	Linear Add	No	NonLin Static	PP	1,35	None	None
HIP7			NonLin Static	CM CARRIL UIC-54	1,35		
HIP7			NonLin Static	CM TRAVIESAS	1,35		
HIP7			NonLin Static	CM TIERRAS + BALASTO	1,35		
HIP7			NonLin Static	EMPUJE TIERRAS	1,5		
HIP7			Linear Static	EMPUJE AGUA	1,5		
HIP7			Response Combo	ENV-TREN	1,5		
HIP7			NonLin Static	CM SUELO SOLERA	1,35		
HIP8	Linear Add	No	NonLin Static	PP	1,35	None	None
HIP8			NonLin Static	CM CARRIL UIC-54	1,35		
HIP8			NonLin Static	CM TRAVIESAS	1,35		
HIP8			NonLin Static	CM TIERRAS + BALASTO	1,35		
HIP8			NonLin Static	EMPUJE TIERRAS	1,5		
HIP8			NonLin Static	CM SUELO SOLERA	1,35		
HIP8			Response Combo	ENV-TREN	1,5		
HIP8			NonLin Static	SBC SUELO SOLERA	1,5		
HIP9	Linear Add	No	NonLin Static	PP	1,35	None	None
HIP9			NonLin Static	CM CARRIL UIC-54	1,35		
HIP9			NonLin Static	CM TRAVIESAS	1,35		
HIP9			NonLin Static	CM TIERRAS + BALASTO	1,35		
HIP9			NonLin Static	EMPUJE TIERRAS	1,5		
HIP9			NonLin Static	CM SUELO SOLERA	1,35		
HIP9			Linear Static	EMPUJE AGUA	1,5		
HIP9			Response Combo	ENV-TREN	1,5		
HIP10	Linear Add	No	NonLin Static	PP	1	None	None
HIP10			NonLin Static	CM CARRIL UIC-54	1		
HIP10			NonLin Static	CM TRAVIESAS	1		
HIP10			NonLin Static	CM TIERRAS + BALASTO	1		
HIP10			NonLin Static	EMPUJE TIERRAS	1,5		
HIP11	Linear Add	No	NonLin Static	PP	1	None	None
HIP11			NonLin Static	CM CARRIL UIC-54	1		
HIP11			NonLin Static	CM TRAVIESAS	1		
HIP11			NonLin Static	CM TIERRAS + BALASTO	1		
HIP11			NonLin Static	EMPUJE TIERRAS	1		
HIP11			Linear Static	EMPUJE AGUA	1		
HIP12	Linear Add	No	NonLin Static	PP	1	None	None
HIP12			NonLin Static	CM CARRIL UIC-54	1		
HIP12			NonLin Static	CM TRAVIESAS	1		
HIP12			NonLin Static	CM TIERRAS + BALASTO	1		
HIP12			NonLin Static	EMPUJE TIERRAS	1		
HIP13	Linear Add	No	NonLin Static	PP	1	None	None
HIP13			NonLin Static	CM CARRIL UIC-54	1		
HIP13			NonLin Static	CM TRAVIESAS	1		
HIP13			NonLin Static	CM TIERRAS + BALASTO	1		
HIP13			NonLin Static	EMPUJE TIERRAS	1		
HIP13			Linear Static	EMPUJE AGUA	1		
HIP13			NonLin Static	CM SUELO SOLERA	1		
HIP14	Linear Add	No	NonLin Static	PP	1	None	None
HIP14			NonLin Static	CM CARRIL UIC-54	1		



HIP14			NonLin Static	CM TRAVIESAS	1		
HIP14			NonLin Static	CM TIERRAS + BALASTO	1		
HIP14			NonLin Static	EMPUJE TIERRAS	1		
HIP14			NonLin Static	CM SUELO SOLERA	1		
HIP14			NonLin Static	SBC SUELO SOLERA	1		
HIP15	Linear Add	No	NonLin Static	PP	1	None	None
HIP15			NonLin Static	CM CARRIL UIC-54	1		
HIP15			NonLin Static	CM TRAVIESAS	1		
HIP15			NonLin Static	CM TIERRAS + BALASTO	1		
HIP15			NonLin Static	EMPUJE TIERRAS	1		
HIP15			Linear Static	EMPUJE AGUA	1		
HIP15			Response Combo	ENV-TREN	1		
HIP16	Linear Add	No	NonLin Static	PP	1	None	None
HIP16			NonLin Static	CM CARRIL UIC-54	1		
HIP16			NonLin Static	CM TRAVIESAS	1		
HIP16			NonLin Static	CM TIERRAS + BALASTO	1		
HIP16			NonLin Static	EMPUJE TIERRAS	1		
HIP16			Linear Static	EMPUJE AGUA	1		
HIP16			Response Combo	ENV-TREN	1		
HIP16			NonLin Static	CM SUELO SOLERA	1		
HIP17	Linear Add	No	NonLin Static	PP	1	None	None
HIP17			NonLin Static	CM CARRIL UIC-54	1		
HIP17			NonLin Static	CM TRAVIESAS	1		
HIP17			NonLin Static	CM TIERRAS + BALASTO	1		
HIP17			NonLin Static	EMPUJE TIERRAS	1		
HIP17			NonLin Static	CM SUELO SOLERA	1		
HIP17			Response Combo	ENV-TREN	1		
HIP17			NonLin Static	SBC SUELO SOLERA	1		
HIP18	Linear Add	No	NonLin Static	PP	1	None	None
HIP18			NonLin Static	CM CARRIL UIC-54	1		
HIP18			NonLin Static	CM TRAVIESAS	1		
HIP18			NonLin Static	CM TIERRAS + BALASTO	1		
HIP18			NonLin Static	EMPUJE TIERRAS	1		
HIP18			Linear Static	EMPUJE AGUA	1		
HIP18			Response Combo	ENV-TREN	1		
HIP18			NonLin Static	CM SUELO SOLERA	1		
HIP19	Linear Add	No	NonLin Static	PP	1	None	None
HIP19			NonLin Static	CM CARRIL UIC-54	1		
HIP19			NonLin Static	CM TRAVIESAS	1		
HIP19			NonLin Static	CM TIERRAS + BALASTO	1		
HIP19			NonLin Static	EMPUJE TIERRAS	1		
HIP19			Linear Static	EMPUJE AGUA	1		
ELU	Envelope	No	Response Combo	HIP1	1	None	None
ELU			Response Combo	HIP2	1		
ELU			Response Combo	HIP3	1		
ELU			Response Combo	HIP4	1		
ELU			Response Combo	HIP5	1		
ELU			Response Combo	HIP6	1		
ELU			Response Combo	HIP7	1		
ELU			Response Combo	HIP8	1		
ELU			Response Combo	HIP9	1		
ELU			Response Combo	HIP10	1		
ELS-DEF	Envelope	No	Response Combo	HIP11	1	None	None
ELS-DEF			Response Combo	HIP12	1		
ELS-DEF			Response Combo	HIP13	1		
ELS-DEF			Response Combo	HIP14	1		
ELS-DEF			Response Combo	HIP15	1		
ELS-DEF			Response Combo	HIP16	1		
ELS-DEF			Response Combo	HIP17	1		
ELS-DEF			Response Combo	HIP18	1		
ELS-DEF			Response Combo	HIP19	1		
HIP20	Linear Add	No	NonLin Static	PP	1	None	None
HIP20			NonLin Static	CM CARRIL UIC-54	1		



**“Proyecto de las estructuras para la conexión peatonal de los andenes  
de la estación de Font de Sant Lluís en Valencia”.**

HIP20			NonLin Static	CM TRAVIESAS	1		
HIP20			NonLin Static	CM TIERRAS + BALASTO	1		
HIP20			NonLin Static	EMPUJE TIERRAS	1		
HIP20			Linear Static	EMPUJE AGUA	1		
HIP20			NonLin Static	SISMO	1		
HIP21	Linear Add	No	NonLin Static	PP	1	None	None
HIP21			NonLin Static	CM CARRIL UIC-54	1		
HIP21			NonLin Static	CM TRAVIESAS	1		
HIP21			NonLin Static	CM TIERRAS + BALASTO	1		
HIP21			NonLin Static	EMPUJE TIERRAS	1		
HIP21			Linear Static	EMPUJE AGUA	1		
HIP21			NonLin Static	SISMO	1		
HIP21			NonLin Static	SBC SUELO SOLERA	0,2		
ENV-SISMO	Envelope	No	Response Combo	HIP20	1	None	None
ENV-SISMO			Response Combo	HIP21	1		
HIP22	Linear Add	No	NonLin Static	PP	1	None	None
HIP22			NonLin Static	CM CARRIL UIC-54	1		
HIP22			NonLin Static	CM TRAVIESAS	1		
HIP22			NonLin Static	CM TIERRAS + BALASTO	1		
HIP22			NonLin Static	EMPUJE TIERRAS	1		
HIP22			NonLin Static	CM SUELO SOLERA	1		
HIP22			NonLin Static	SBC SUELO SOLERA	0,2		
HIP22			Linear Static	EMPUJE AGUA	1		
HIP23	Linear Add	No	NonLin Static	PP	1	None	None
HIP23			NonLin Static	CM CARRIL UIC-54	1		
HIP23			NonLin Static	CM TRAVIESAS	1		
HIP23			NonLin Static	CM TIERRAS + BALASTO	1		
HIP23			NonLin Static	EMPUJE TIERRAS	1		
HIP23			NonLin Static	CM SUELO SOLERA	1		
HIP23			NonLin Static	SBC SUELO SOLERA	0,2		
ELS-FIS	Envelope	No	Response Combo	HIP22	1	None	None
ELS-FIS			Response Combo	HIP23	1		

TABLE: Element Forces - Frames

Frame	Station	OutputCase	CaseType	StepType	P	V2	V3	T	M2	M3
Text	m	Text	Text	Text	KN	KN	KN	KN-m	KN-m	KN-m
1	0	PP	NonStatic	Max	-66,15	5,167	0	0	0	26,561
1	0,1815	PP	NonStatic	Max	-64,108	5,167	0	0	0	25,6231
1	0,363	PP	NonStatic	Max	-62,066	5,167	0	0	0	24,6853
1	0	PP	NonStatic	Min	-66,15	5,167	0	0	0	26,561
1	0,1815	PP	NonStatic	Min	-64,108	5,167	0	0	0	25,6231
1	0,363	PP	NonStatic	Min	-62,066	5,167	0	0	0	24,6853
1	0	CM CARRIL UIC-54	NonStatic	Max	-0,9	-0,014	0	0	0	0,3304
1	0,1815	CM CARRIL UIC-54	NonStatic	Max	-0,9	-0,014	0	0	0	0,3329
1	0,363	CM CARRIL UIC-54	NonStatic	Max	-0,9	-0,014	0	0	0	0,3355
1	0	CM CARRIL UIC-54	NonStatic	Min	-0,9	-0,014	0	0	0	0,3304
1	0,1815	CM CARRIL UIC-54	NonStatic	Min	-0,9	-0,014	0	0	0	0,3329
1	0,363	CM CARRIL UIC-54	NonStatic	Min	-0,9	-0,014	0	0	0	0,3355
1	0	CM TRAVIESAS	NonStatic	Max	-4,095	-0,063	0	0	0	1,5034
1	0,1815	CM TRAVIESAS	NonStatic	Max	-4,095	-0,063	0	0	0	1,5149
1	0,363	CM TRAVIESAS	NonStatic	Max	-4,095	-0,063	0	0	0	1,5264
1	0	CM TRAVIESAS	NonStatic	Min	-4,095	-0,063	0	0	0	1,5034
1	0,1815	CM TRAVIESAS	NonStatic	Min	-4,095	-0,063	0	0	0	1,5149
1	0,363	CM TRAVIESAS	NonStatic	Min	-4,095	-0,063	0	0	0	1,5264
1	0	CM TIERRAS + BALASTO	NonStatic	Max	-56,295	-0,87	0	0	0	20,6674
1	0,1815	CM TIERRAS + BALASTO	NonStatic	Max	-56,295	-0,87	0	0	0	20,8253
1	0,363	CM TIERRAS + BALASTO	NonStatic	Max	-56,295	-0,87	0	0	0	20,9832
1	0	CM TIERRAS + BALASTO	NonStatic	Min	-56,295	-0,87	0	0	0	20,6674
1	0,1815	CM TIERRAS + BALASTO	NonStatic	Min	-56,295	-0,87	0	0	0	20,8253
1	0,363	CM TIERRAS + BALASTO	NonStatic	Min	-56,295	-0,87	0	0	0	20,9832
1	0	CM SUELO SOLERA	NonStatic	Max	4,366E-11	-0,067	0	0	0	-0,2078
1	0,1815	CM SUELO SOLERA	NonStatic	Max	4,366E-11	-0,067	0	0	0	-0,1956
1	0,363	CM SUELO SOLERA	NonStatic	Max	4,366E-11	-0,067	0	0	0	-0,1835
1	0	CM SUELO SOLERA	NonStatic	Min	4,366E-11	-0,067	0	0	0	-0,2078
1	0,1815	CM SUELO SOLERA	NonStatic	Min	4,366E-11	-0,067	0	0	0	-0,1956
1	0,363	CM SUELO SOLERA	NonStatic	Min	4,366E-11	-0,067	0	0	0	-0,1835
1	0	SBC SUELO SOLERA	NonStatic	Max	1,31E-10	-0,167	0	0	0	-0,5194
1	0,1815	SBC SUELO SOLERA	NonStatic	Max	1,31E-10	-0,167	0	0	0	-0,4891
1	0,363	SBC SUELO SOLERA	NonStatic	Max	1,31E-10	-0,167	0	0	0	-0,4588
1	0	SBC SUELO SOLERA	NonStatic	Min	1,31E-10	-0,167	0	0	0	-0,5194
1	0,1815	SBC SUELO SOLERA	NonStatic	Min	1,31E-10	-0,167	0	0	0	-0,4891
1	0,363	SBC SUELO SOLERA	NonStatic	Min	1,31E-10	-0,167	0	0	0	-0,4588
1	0	EMPUJE TIERRAS	NonStatic	Max	-3,638E-12	59,827	0	0	0	13,9245
1	0,1815	EMPUJE TIERRAS	NonStatic	Max	-3,638E-12	51,894	0	0	0	3,7907
1	0,363	EMPUJE TIERRAS	NonStatic	Max	-3,638E-12	44,285	0	0	0	-4,9327
1	0	EMPUJE TIERRAS	NonStatic	Min	-3,638E-12	59,827	0	0	0	13,9245
1	0,1815	EMPUJE TIERRAS	NonStatic	Min	-3,638E-12	51,894	0	0	0	3,7907
1	0,363	EMPUJE TIERRAS	NonStatic	Min	-3,638E-12	44,285	0	0	0	-4,9327
1	0	EMPUJE AGUA	LinStatic		-3,492E-10	7,026	0	0	0	1,959
1	0,1815	EMPUJE AGUA	LinStatic		-3,492E-10	5,031	0	0	0	0,8696
1	0,363	EMPUJE AGUA	LinStatic		-3,492E-10	3,35	0	0	0	0,1137
1	0	SISMO	NonStatic	Max	-5,684E-13	5,617	0	0	0	2,1297
1	0,1815	SISMO	NonStatic	Max	-5,684E-13	5,574	0	0	0	1,1127
1	0,363	SISMO	NonStatic	Max	-5,684E-13	5,446	0	0	0	0,1114
1	0	SISMO	NonStatic	Min	-5,684E-13	5,617	0	0	0	2,1297
1	0,1815	SISMO	NonStatic	Min	-5,684E-13	5,574	0	0	0	1,1127
1	0,363	SISMO	NonStatic	Min	-5,684E-13	5,446	0	0	0	0,1114
1	0	MODAL	LinModal	Mode	125,098	94,637	0	0	0	146,24
1	0,1815	MODAL	LinModal	Mode	125,098	94,637	0	0	0	129,0634
1	0,363	MODAL	LinModal	Mode	125,098	94,637	0	0	0	111,8868
1	0	MODAL	LinModal	Mode	-480,39	38,829	0	0	0	200,1535
1	0,1815	MODAL	LinModal	Mode	-480,39	38,829	0	0	0	193,1061
1	0,363	MODAL	LinModal	Mode	-480,39	38,829	0	0	0	186,0587
1	0	MODAL	LinModal	Mode	-6652,457	13933,396	0	0	0	23080,7683
1	0,1815	MODAL	LinModal	Mode	-6652,457	13933,396	0	0	0	20551,8569
1	0,363	MODAL	LinModal	Mode	-6652,457	13933,396	0	0	0	18022,9455
1	0	MODAL	LinModal	Mode	-35353,634	-19252,461	0	0	0	11582,3443
1	0,1815	MODAL	LinModal	Mode	-35353,634	-19252,461	0	0	0	15076,666
1	0,363	MODAL	LinModal	Mode	-35353,634	-19252,461	0	0	0	18570,9877
1	0	MODAL	LinModal	Mode	-66666,436	27242,086	0	0	0	66536,7675
1	0,1815	MODAL	LinModal	Mode	-66666,436	27242,086	0	0	0	61592,3288
1	0,363	MODAL	LinModal	Mode	-66666,436	27242,086	0	0	0	56647,8901
1	0	MODAL	LinModal	Mode	2628,103	131471,807	0	0	0	55387,9075
1	0,1815	MODAL	LinModal	Mode	2628,103	131471,807	0	0	0	31525,7746
1	0,363	MODAL	LinModal	Mode	2628,103	131471,807	0	0	0	7663,6417
1	0	MODAL	LinModal	Mode	99678,892	-158144,209	0	0	0	-106328,628



## “Proyecto de las estructuras para la conexión peatonal de los andenes de la estación de Font de Sant Lluís en Valencia”.

1	0,1815 MODAL	LinModal	Mode	99678,892	-158144,209	0	0	0	-77625,4537
1	0,363 MODAL	LinModal	Mode	99678,892	-158144,209	0	0	0	-48922,2798
1	0 MODAL	LinModal	Mode	-251509,909	205016,184	0	0	0	103823,1197
1	0,1815 MODAL	LinModal	Mode	-251509,909	205016,184	0	0	0	66612,6824
1	0,363 MODAL	LinModal	Mode	-251509,909	205016,184	0	0	0	29402,245
1	0 MODAL	LinModal	Mode	-388413,251	4179,572	0	0	0	141654,357
1	0,1815 MODAL	LinModal	Mode	-388413,251	4179,572	0	0	0	140895,7647
1	0,363 MODAL	LinModal	Mode	-388413,251	4179,572	0	0	0	140137,1724
1	0 MODAL	LinModal	Mode	-7183,887	506305,289	0	0	0	108645,4861
1	0,1815 MODAL	LinModal	Mode	-7183,887	506305,289	0	0	0	16751,0761
1	0,363 MODAL	LinModal	Mode	-7183,887	506305,289	0	0	0	-75143,3338
1	0 MODAL	LinModal	Mode	-196504,712	650097,584	0	0	0	181399,0417
1	0,1815 MODAL	LinModal	Mode	-196504,712	650097,584	0	0	0	63406,3302
1	0,363 MODAL	LinModal	Mode	-196504,712	650097,584	0	0	0	-54586,3812
1	0 MODAL	LinModal	Mode	894267,895	-79205,54	0	0	0	-120628,166
1	0,1815 MODAL	LinModal	Mode	894267,895	-79205,54	0	0	0	-106252,36
1	0,363 MODAL	LinModal	Mode	894267,895	-79205,54	0	0	0	-91876,555
1	0 HIP1	Combination		-89,302	6,975	0	0	0	35,8573
1	0,1815 HIP1	Combination		-86,546	6,975	0	0	0	34,5912
1	0,363 HIP1	Combination		-83,789	6,975	0	0	0	33,3252
1	0 HIP2	Combination		-172,044	95,437	0	0	0	87,1206
1	0,1815 HIP2	Combination		-169,287	83,539	0	0	0	70,8859
1	0,363 HIP2	Combination		-166,531	72,124	0	0	0	56,7668
1	0 HIP3	Combination		-172,044	105,976	0	0	0	90,0591
1	0,1815 HIP3	Combination		-169,287	91,086	0	0	0	72,1903
1	0,363 HIP3	Combination		-166,531	77,15	0	0	0	56,9373
1	0 HIP4	Combination		-172,044	95,347	0	0	0	86,8401
1	0,1815 HIP4	Combination		-169,287	83,448	0	0	0	70,6218
1	0,363 HIP4	Combination		-166,531	72,034	0	0	0	56,5191
1	0 HIP5	Combination		-172,044	105,635	0	0	0	88,9995
1	0,1815 HIP5	Combination		-169,287	90,744	0	0	0	71,1925
1	0,363 HIP5	Combination		-166,531	76,809	0	0	0	56,0015
1	0 HIP6	Combination	Max	-172,044	79,386	0	0	0	276,6992
1	0,1815 HIP6	Combination	Max	-169,287	68,462	0	0	0	265,3761
1	0,363 HIP6	Combination	Max	-166,531	58,331	0	0	0	255,9636
1	0 HIP6	Combination	Min	-699,388	64,747	0	0	0	83,0969
1	0,1815 HIP6	Combination	Min	-696,631	53,823	0	0	0	70,2949
1	0,363 HIP6	Combination	Min	-693,875	43,692	0	0	0	59,4037
1	0 HIP7	Combination	Max	-172,044	109,209	0	0	0	283,381
1	0,1815 HIP7	Combination	Max	-169,287	94,319	0	0	0	267,0073
1	0,363 HIP7	Combination	Max	-166,531	80,383	0	0	0	253,2495
1	0 HIP7	Combination	Min	-699,388	94,57	0	0	0	89,7786
1	0,1815 HIP7	Combination	Min	-696,631	79,68	0	0	0	71,9262
1	0,363 HIP7	Combination	Min	-693,875	65,744	0	0	0	56,6896
1	0 HIP8	Combination	Max	-172,044	98,42	0	0	0	279,6633
1	0,1815 HIP8	Combination	Max	-169,287	86,521	0	0	0	264,9693
1	0,363 HIP8	Combination	Max	-166,531	75,107	0	0	0	252,3909
1	0 HIP8	Combination	Min	-699,388	83,781	0	0	0	86,061
1	0,1815 HIP8	Combination	Min	-696,631	71,882	0	0	0	69,8882
1	0,363 HIP8	Combination	Min	-693,875	60,468	0	0	0	55,831
1	0 HIP9	Combination	Max	-172,044	109,209	0	0	0	283,381
1	0,1815 HIP9	Combination	Max	-169,287	94,319	0	0	0	267,0073
1	0,363 HIP9	Combination	Max	-166,531	80,383	0	0	0	253,2495
1	0 HIP9	Combination	Min	-699,388	94,57	0	0	0	89,7786
1	0,1815 HIP9	Combination	Min	-696,631	79,68	0	0	0	71,9262
1	0,363 HIP9	Combination	Min	-693,875	65,744	0	0	0	56,6896
1	0 HIP10	Combination		-127,44	93,96	0	0	0	69,9489
1	0,1815 HIP10	Combination		-125,398	82,062	0	0	0	53,9822
1	0,363 HIP10	Combination		-123,356	70,647	0	0	0	40,1312
1	0 HIP11	Combination		-127,44	71,072	0	0	0	64,9456
1	0,1815 HIP11	Combination		-125,398	61,146	0	0	0	52,9565
1	0,363 HIP11	Combination		-123,356	51,855	0	0	0	42,7113
1	0 HIP12	Combination		-127,44	64,047	0	0	0	62,9866
1	0,1815 HIP12	Combination		-125,398	56,114	0	0	0	52,0869
1	0,363 HIP12	Combination		-123,356	48,505	0	0	0	42,5976
1	0 HIP13	Combination		-127,44	71,006	0	0	0	64,7379
1	0,1815 HIP13	Combination		-125,398	61,079	0	0	0	52,7608
1	0,363 HIP13	Combination		-123,356	51,788	0	0	0	42,5278
1	0 HIP14	Combination		-127,44	63,813	0	0	0	62,2594
1	0,1815 HIP14	Combination		-125,398	55,88	0	0	0	51,4022
1	0,363 HIP14	Combination		-123,356	48,271	0	0	0	41,9553
1	0 HIP15	Combination	Max	-127,44	73,288	0	0	0	194,0139
1	0,1815 HIP15	Combination	Max	-125,398	63,362	0	0	0	183,0105



1	0,363 HIP15	Combination	Max	-123,356	54,071	0	0	0	173,7512
1	0 HIP15	Combination	Min	-479,002	63,529	0	0	0	64,9456
1	0,1815 HIP15	Combination	Min	-476,961	53,602	0	0	0	52,9565
1	0,363 HIP15	Combination	Min	-474,919	44,311	0	0	0	42,7113
1	0 HIP16	Combination	Max	-127,44	73,221	0	0	0	193,8061
1	0,1815 HIP16	Combination	Max	-125,398	63,295	0	0	0	182,8149
1	0,363 HIP16	Combination	Max	-123,356	54,004	0	0	0	173,5677
1	0 HIP16	Combination	Min	-479,002	63,462	0	0	0	64,7379
1	0,1815 HIP16	Combination	Min	-476,961	53,535	0	0	0	52,7608
1	0,363 HIP16	Combination	Min	-474,919	44,245	0	0	0	42,5278
1	0 HIP17	Combination	Max	-127,44	66,029	0	0	0	191,3276
1	0,1815 HIP17	Combination	Max	-125,398	58,096	0	0	0	181,4562
1	0,363 HIP17	Combination	Max	-123,356	50,487	0	0	0	172,9953
1	0 HIP17	Combination	Min	-479,002	56,269	0	0	0	62,2594
1	0,1815 HIP17	Combination	Min	-476,961	48,337	0	0	0	51,4022
1	0,363 HIP17	Combination	Min	-474,919	40,727	0	0	0	41,9553
1	0 HIP18	Combination	Max	-127,44	73,221	0	0	0	193,8061
1	0,1815 HIP18	Combination	Max	-125,398	63,295	0	0	0	182,8149
1	0,363 HIP18	Combination	Max	-123,356	54,004	0	0	0	173,5677
1	0 HIP18	Combination	Min	-479,002	63,462	0	0	0	64,7379
1	0,1815 HIP18	Combination	Min	-476,961	53,535	0	0	0	52,7608
1	0,363 HIP18	Combination	Min	-474,919	44,245	0	0	0	42,5278
1	0 HIP19	Combination		-127,44	71,072	0	0	0	64,9456
1	0,1815 HIP19	Combination		-125,398	61,146	0	0	0	52,9565
1	0,363 HIP19	Combination		-123,356	51,855	0	0	0	42,7113
1	0 ELU	Combination	Max	-89,302	109,209	0	0	0	283,381
1	0,1815 ELU	Combination	Max	-86,546	94,319	0	0	0	267,0073
1	0,363 ELU	Combination	Max	-83,789	80,383	0	0	0	255,9636
1	0 ELU	Combination	Min	-699,388	6,975	0	0	0	35,8573
1	0,1815 ELU	Combination	Min	-696,631	6,975	0	0	0	34,5912
1	0,363 ELU	Combination	Min	-693,875	6,975	0	0	0	33,3252
1	0 ELS-DEF	Combination	Max	-127,44	73,288	0	0	0	194,0139
1	0,1815 ELS-DEF	Combination	Max	-125,398	63,362	0	0	0	183,0105
1	0,363 ELS-DEF	Combination	Max	-123,356	54,071	0	0	0	173,7512
1	0 ELS-DEF	Combination	Min	-479,002	56,269	0	0	0	62,2594
1	0,1815 ELS-DEF	Combination	Min	-476,961	48,337	0	0	0	51,4022
1	0,363 ELS-DEF	Combination	Min	-474,919	40,727	0	0	0	41,9553
1	0 HIP20	Combination		-127,44	76,69	0	0	0	67,0753
1	0,1815 HIP20	Combination		-125,398	66,72	0	0	0	54,0692
1	0,363 HIP20	Combination		-123,356	57,301	0	0	0	42,8226
1	0 HIP21	Combination		-127,44	76,656	0	0	0	66,9714
1	0,1815 HIP21	Combination		-125,398	66,687	0	0	0	53,9714
1	0,363 HIP21	Combination		-123,356	57,267	0	0	0	42,7309
1	0 ENV-SISMO	Combination	Max	-127,44	76,69	0	0	0	67,0753
1	0,1815 ENV-SISMO	Combination	Max	-125,398	66,72	0	0	0	54,0692
1	0,363 ENV-SISMO	Combination	Max	-123,356	57,301	0	0	0	42,8226
1	0 ENV-SISMO	Combination	Min	-127,44	76,656	0	0	0	66,9714
1	0,1815 ENV-SISMO	Combination	Min	-125,398	66,687	0	0	0	53,9714
1	0,363 ENV-SISMO	Combination	Min	-123,356	57,267	0	0	0	42,7309
1	0 HIP22	Combination		-127,44	70,972	0	0	0	64,634
1	0,1815 HIP22	Combination		-125,398	61,045	0	0	0	52,663
1	0,363 HIP22	Combination		-123,356	51,755	0	0	0	42,436
1	0 HIP23	Combination		-127,44	63,946	0	0	0	62,675
1	0,1815 HIP23	Combination		-125,398	56,014	0	0	0	51,7934
1	0,363 HIP23	Combination		-123,356	48,405	0	0	0	42,3223
1	0 ELS-FIS	Combination	Max	-127,44	70,972	0	0	0	64,634
1	0,1815 ELS-FIS	Combination	Max	-125,398	61,045	0	0	0	52,663
1	0,363 ELS-FIS	Combination	Max	-123,356	51,755	0	0	0	42,436
1	0 ELS-FIS	Combination	Min	-127,44	63,946	0	0	0	62,675
1	0,1815 ELS-FIS	Combination	Min	-125,398	56,014	0	0	0	51,7934
1	0,363 ELS-FIS	Combination	Min	-123,356	48,405	0	0	0	42,3223
1	0 ENV-TREN	Combination	Max	0	2,216	0	0	0	129,0682
1	0,1815 ENV-TREN	Combination	Max	0	2,216	0	0	0	130,0541
1	0,363 ENV-TREN	Combination	Max	0	2,216	0	0	0	131,0399
1	0 ENV-TREN	Combination	Min	-351,562	-7,544	0	0	0	0
1	0,1815 ENV-TREN	Combination	Min	-351,562	-7,544	0	0	0	0
1	0,363 ENV-TREN	Combination	Min	-351,562	-7,544	0	0	0	0
2	0 PP	NonStatic	Max	-62,066	5,167	0	0	0	24,6853
2	0,1815 PP	NonStatic	Max	-60,024	5,167	0	0	0	23,7475
2	0,363 PP	NonStatic	Max	-57,982	5,167	0	0	0	22,8097
2	0 PP	NonStatic	Min	-62,066	5,167	0	0	0	24,6853
2	0,1815 PP	NonStatic	Min	-60,024	5,167	0	0	0	23,7475
2	0,363 PP	NonStatic	Min	-57,982	5,167	0	0	0	22,8097



“Proyecto de las estructuras para la conexión peatonal de los andenes  
de la estación de Font de Sant Lluís en Valencia”.

2	0	CM CARRIL UIC-54	NonStatic	Max	-0,9	-0,014	0	0	0	0,3355
2	0,1815	CM CARRIL UIC-54	NonStatic	Max	-0,9	-0,014	0	0	0	0,338
2	0,363	CM CARRIL UIC-54	NonStatic	Max	-0,9	-0,014	0	0	0	0,3405
2	0	CM CARRIL UIC-54	NonStatic	Min	-0,9	-0,014	0	0	0	0,3355
2	0,1815	CM CARRIL UIC-54	NonStatic	Min	-0,9	-0,014	0	0	0	0,338
2	0,363	CM CARRIL UIC-54	NonStatic	Min	-0,9	-0,014	0	0	0	0,3405
2	0	CM TRAVIESAS	NonStatic	Max	-4,095	-0,063	0	0	0	1,5264
2	0,1815	CM TRAVIESAS	NonStatic	Max	-4,095	-0,063	0	0	0	1,5378
2	0,363	CM TRAVIESAS	NonStatic	Max	-4,095	-0,063	0	0	0	1,5493
2	0	CM TRAVIESAS	NonStatic	Min	-4,095	-0,063	0	0	0	1,5264
2	0,1815	CM TRAVIESAS	NonStatic	Min	-4,095	-0,063	0	0	0	1,5378
2	0,363	CM TRAVIESAS	NonStatic	Min	-4,095	-0,063	0	0	0	1,5493
2	0	CM TIERRAS + BALASTO	NonStatic	Max	-56,295	-0,87	0	0	0	20,9832
2	0,1815	CM TIERRAS + BALASTO	NonStatic	Max	-56,295	-0,87	0	0	0	21,141
2	0,363	CM TIERRAS + BALASTO	NonStatic	Max	-56,295	-0,87	0	0	0	21,2989
2	0	CM TIERRAS + BALASTO	NonStatic	Min	-56,295	-0,87	0	0	0	20,9832
2	0,1815	CM TIERRAS + BALASTO	NonStatic	Min	-56,295	-0,87	0	0	0	21,141
2	0,363	CM TIERRAS + BALASTO	NonStatic	Min	-56,295	-0,87	0	0	0	21,2989
2	0	CM SUELO SOLERA	NonStatic	Max	5,093E-11	-0,067	0	0	0	-0,1835
2	0,1815	CM SUELO SOLERA	NonStatic	Max	5,093E-11	-0,067	0	0	0	-0,1714
2	0,363	CM SUELO SOLERA	NonStatic	Max	5,093E-11	-0,067	0	0	0	-0,1592
2	0	CM SUELO SOLERA	NonStatic	Min	5,093E-11	-0,067	0	0	0	-0,1835
2	0,1815	CM SUELO SOLERA	NonStatic	Min	5,093E-11	-0,067	0	0	0	-0,1714
2	0,363	CM SUELO SOLERA	NonStatic	Min	5,093E-11	-0,067	0	0	0	-0,1592
2	0	SBC SUELO SOLERA	NonStatic	Max	1,455E-10	-0,167	0	0	0	-0,4588
2	0,1815	SBC SUELO SOLERA	NonStatic	Max	1,455E-10	-0,167	0	0	0	-0,4284
2	0,363	SBC SUELO SOLERA	NonStatic	Max	1,455E-10	-0,167	0	0	0	-0,3981
2	0	SBC SUELO SOLERA	NonStatic	Min	1,455E-10	-0,167	0	0	0	-0,4588
2	0,1815	SBC SUELO SOLERA	NonStatic	Min	1,455E-10	-0,167	0	0	0	-0,4284
2	0,363	SBC SUELO SOLERA	NonStatic	Min	1,455E-10	-0,167	0	0	0	-0,3981
2	0	EMPUIJE TIERRAS	NonStatic	Max	-3,638E-12	44,285	0	0	0	-4,9327
2	0,1815	EMPUIJE TIERRAS	NonStatic	Max	-3,638E-12	36,999	0	0	0	-12,3043
2	0,363	EMPUIJE TIERRAS	NonStatic	Max	-3,638E-12	30,035	0	0	0	-18,3828
2	0	EMPUIJE TIERRAS	NonStatic	Min	-3,638E-12	44,285	0	0	0	-4,9327
2	0,1815	EMPUIJE TIERRAS	NonStatic	Min	-3,638E-12	36,999	0	0	0	-12,3043
2	0,363	EMPUIJE TIERRAS	NonStatic	Min	-3,638E-12	30,035	0	0	0	-18,3828
2	0	EMPUIJE AGUA	LinStatic		-3,492E-10	3,35	0	0	0	0,1137
2	0,1815	EMPUIJE AGUA	LinStatic		-3,492E-10	1,982	0	0	0	-0,3655
2	0,363	EMPUIJE AGUA	LinStatic		-3,492E-10	0,927	0	0	0	-0,6248
2	0	SISMO	NonStatic	Max	-5,684E-13	5,446	0	0	0	0,1114
2	0,1815	SISMO	NonStatic	Max	-5,684E-13	5,231	0	0	0	-0,8589
2	0,363	SISMO	NonStatic	Max	-5,684E-13	4,931	0	0	0	-1,7823
2	0	SISMO	NonStatic	Min	-5,684E-13	5,446	0	0	0	0,1114
2	0,1815	SISMO	NonStatic	Min	-5,684E-13	5,231	0	0	0	-0,8589
2	0,363	SISMO	NonStatic	Min	-5,684E-13	4,931	0	0	0	-1,7823
2	0	MODAL	LinModal	Mode	119,935	93,794	0	0	0	111,8868
2	0,1815	MODAL	LinModal	Mode	119,935	93,794	0	0	0	94,8632
2	0,363	MODAL	LinModal	Mode	119,935	93,794	0	0	0	77,8396
2	0	MODAL	LinModal	Mode	-449,846	38,884	0	0	0	186,0587
2	0,1815	MODAL	LinModal	Mode	-449,846	38,884	0	0	0	179,0013
2	0,363	MODAL	LinModal	Mode	-449,846	38,884	0	0	0	171,9439
2	0	MODAL	LinModal	Mode	-5339,463	13886,291	0	0	0	18022,9455
2	0,1815	MODAL	LinModal	Mode	-5339,463	13886,291	0	0	0	15502,5836
2	0,363	MODAL	LinModal	Mode	-5339,463	13886,291	0	0	0	12982,2217
2	0	MODAL	LinModal	Mode	-35497,767	-17247,831	0	0	0	18570,9877
2	0,1815	MODAL	LinModal	Mode	-35497,767	-17247,831	0	0	0	21701,4691
2	0,363	MODAL	LinModal	Mode	-35497,767	-17247,831	0	0	0	24831,9505
2	0	MODAL	LinModal	Mode	-52007,168	31259,427	0	0	0	56647,8901
2	0,1815	MODAL	LinModal	Mode	-52007,168	31259,427	0	0	0	50974,3041
2	0,363	MODAL	LinModal	Mode	-52007,168	31259,427	0	0	0	45300,7182
2	0	MODAL	LinModal	Mode	2696,783	116936,645	0	0	0	7663,6417
2	0,1815	MODAL	LinModal	Mode	2696,783	116936,645	0	0	0	-13560,3593
2	0,363	MODAL	LinModal	Mode	2696,783	116936,645	0	0	0	-34784,3603
2	0	MODAL	LinModal	Mode	101124,173	-144474,229	0	0	0	-48922,2798
2	0,1815	MODAL	LinModal	Mode	101124,173	-144474,229	0	0	0	-22700,2072
2	0,363	MODAL	LinModal	Mode	101124,173	-144474,229	0	0	0	3521,8653
2	0	MODAL	LinModal	Mode	-287604,631	167249,495	0	0	0	29402,245
2	0,1815	MODAL	LinModal	Mode	-287604,631	167249,495	0	0	0	-953,5384
2	0,363	MODAL	LinModal	Mode	-287604,631	167249,495	0	0	0	-31309,3217
2	0	MODAL	LinModal	Mode	-354768,891	53408,758	0	0	0	140137,1724
2	0,1815	MODAL	LinModal	Mode	-354768,891	53408,758	0	0	0	130443,4828
2	0,363	MODAL	LinModal	Mode	-354768,891	53408,758	0	0	0	120749,7932
2	0	MODAL	LinModal	Mode	-5755,021	314013,412	0	0	0	-75143,3338

2	0,1815 MODAL	LinModal	Mode	-5755,021	314013,412	0	0	0	-132136,768
2	0,363 MODAL	LinModal	Mode	-5755,021	314013,412	0	0	0	-189130,202
2	0 MODAL	LinModal	Mode	-143314,776	364519,981	0	0	0	-54586,3812
2	0,1815 MODAL	LinModal	Mode	-143314,776	364519,981	0	0	0	-120746,758
2	0,363 MODAL	LinModal	Mode	-143314,776	364519,981	0	0	0	-186907,134
2	0 MODAL	LinModal	Mode	1057847,433	-104905,043	0	0	0	-91876,555
2	0,1815 MODAL	LinModal	Mode	1057847,433	-104905,043	0	0	0	-72836,2896
2	0,363 MODAL	LinModal	Mode	1057847,433	-104905,043	0	0	0	-53796,0242
2	0 HIP1	Combination		-83,789	6,975	0	0	0	33,3252
2	0,1815 HIP1	Combination		-81,033	6,975	0	0	0	32,0592
2	0,363 HIP1	Combination		-78,276	6,975	0	0	0	30,7931
2	0 HIP2	Combination		-166,531	72,124	0	0	0	56,7668
2	0,1815 HIP2	Combination		-163,774	61,195	0	0	0	44,6754
2	0,363 HIP2	Combination		-161,018	50,75	0	0	0	34,5237
2	0 HIP3	Combination		-166,531	77,15	0	0	0	56,9373
2	0,1815 HIP3	Combination		-163,774	64,168	0	0	0	44,1272
2	0,363 HIP3	Combination		-161,018	52,141	0	0	0	33,5866
2	0 HIP4	Combination		-166,531	72,034	0	0	0	56,5191
2	0,1815 HIP4	Combination		-163,774	61,105	0	0	0	44,4441
2	0,363 HIP4	Combination		-161,018	50,66	0	0	0	34,3088
2	0 HIP5	Combination		-166,531	76,809	0	0	0	56,0015
2	0,1815 HIP5	Combination		-163,774	63,827	0	0	0	43,2532
2	0,363 HIP5	Combination		-161,018	51,8	0	0	0	32,7745
2	0 HIP6	Combination	Max	-166,531	58,331	0	0	0	255,9636
2	0,1815 HIP6	Combination	Max	-163,774	48,993	0	0	0	248,318
2	0,363 HIP6	Combination	Max	-161,018	40,447	0	0	0	242,2954
2	0 HIP6	Combination	Min	-693,875	43,692	0	0	0	59,4037
2	0,1815 HIP6	Combination	Min	-691,118	34,353	0	0	0	50,2793
2	0,363 HIP6	Combination	Min	-688,362	25,808	0	0	0	42,7779
2	0 HIP7	Combination	Max	-166,531	80,383	0	0	0	253,2495
2	0,1815 HIP7	Combination	Max	-163,774	67,402	0	0	0	241,9345
2	0,363 HIP7	Combination	Max	-161,018	55,374	0	0	0	232,8891
2	0 HIP7	Combination	Min	-693,875	65,744	0	0	0	56,6896
2	0,1815 HIP7	Combination	Min	-691,118	52,762	0	0	0	43,8958
2	0,363 HIP7	Combination	Min	-688,362	40,735	0	0	0	33,3716
2	0 HIP8	Combination	Max	-166,531	75,107	0	0	0	252,3909
2	0,1815 HIP8	Combination	Max	-163,774	64,178	0	0	0	241,8402
2	0,363 HIP8	Combination	Max	-161,018	53,733	0	0	0	233,2292
2	0 HIP8	Combination	Min	-693,875	60,468	0	0	0	55,831
2	0,1815 HIP8	Combination	Min	-691,118	49,538	0	0	0	43,8015
2	0,363 HIP8	Combination	Min	-688,362	39,093	0	0	0	33,7117
2	0 HIP9	Combination	Max	-166,531	80,383	0	0	0	253,2495
2	0,1815 HIP9	Combination	Max	-163,774	67,402	0	0	0	241,9345
2	0,363 HIP9	Combination	Max	-161,018	55,374	0	0	0	232,8891
2	0 HIP9	Combination	Min	-693,875	65,744	0	0	0	56,6896
2	0,1815 HIP9	Combination	Min	-691,118	52,762	0	0	0	43,8958
2	0,363 HIP9	Combination	Min	-688,362	40,735	0	0	0	33,3716
2	0 HIP10	Combination		-123,356	70,647	0	0	0	40,1312
2	0,1815 HIP10	Combination		-121,314	59,718	0	0	0	28,3079
2	0,363 HIP10	Combination		-119,272	49,273	0	0	0	18,4243
2	0 HIP11	Combination		-123,356	51,855	0	0	0	42,7113
2	0,1815 HIP11	Combination		-121,314	43,201	0	0	0	34,0946
2	0,363 HIP11	Combination		-119,272	35,183	0	0	0	26,9909
2	0 HIP12	Combination		-123,356	48,505	0	0	0	42,5976
2	0,1815 HIP12	Combination		-121,314	41,219	0	0	0	34,4601
2	0,363 HIP12	Combination		-119,272	34,255	0	0	0	27,6157
2	0 HIP13	Combination		-123,356	51,788	0	0	0	42,5278
2	0,1815 HIP13	Combination		-121,314	43,134	0	0	0	33,9232
2	0,363 HIP13	Combination		-119,272	35,116	0	0	0	26,8317
2	0 HIP14	Combination		-123,356	48,271	0	0	0	41,9553
2	0,1815 HIP14	Combination		-121,314	40,985	0	0	0	33,8603
2	0,363 HIP14	Combination		-119,272	34,021	0	0	0	27,0584
2	0 HIP15	Combination	Max	-123,356	54,071	0	0	0	173,7512
2	0,1815 HIP15	Combination	Max	-121,314	45,417	0	0	0	166,1204
2	0,363 HIP15	Combination	Max	-119,272	37,398	0	0	0	160,0026
2	0 HIP15	Combination	Min	-474,919	44,311	0	0	0	42,7113
2	0,1815 HIP15	Combination	Min	-472,877	35,657	0	0	0	34,0946
2	0,363 HIP15	Combination	Min	-470,835	27,639	0	0	0	26,9909
2	0 HIP16	Combination	Max	-123,356	54,004	0	0	0	173,5677
2	0,1815 HIP16	Combination	Max	-121,314	45,35	0	0	0	165,949
2	0,363 HIP16	Combination	Max	-119,272	37,332	0	0	0	159,8433
2	0 HIP16	Combination	Min	-474,919	44,245	0	0	0	42,5278
2	0,1815 HIP16	Combination	Min	-472,877	35,59	0	0	0	33,9232





“Proyecto de las estructuras para la conexión peatonal de los andenes  
de la estación de Font de Sant Lluís en Valencia”.

2	0,363 HIP16	Combination	Min	-470,835	27,572	0	0	0	26,8317
2	0 HIP17	Combination	Max	-123,356	50,487	0	0	0	172,9953
2	0,1815 HIP17	Combination	Max	-121,314	43,2	0	0	0	165,8861
2	0,363 HIP17	Combination	Max	-119,272	36,237	0	0	0	160,0701
2	0 HIP17	Combination	Min	-474,919	40,727	0	0	0	41,9553
2	0,1815 HIP17	Combination	Min	-472,877	33,441	0	0	0	33,8603
2	0,363 HIP17	Combination	Min	-470,835	26,478	0	0	0	27,0584
2	0 HIP18	Combination	Max	-123,356	54,004	0	0	0	173,5677
2	0,1815 HIP18	Combination	Max	-121,314	45,35	0	0	0	165,949
2	0,363 HIP18	Combination	Max	-119,272	37,332	0	0	0	159,8433
2	0 HIP18	Combination	Min	-474,919	44,245	0	0	0	42,5278
2	0,1815 HIP18	Combination	Min	-472,877	35,59	0	0	0	33,9232
2	0,363 HIP18	Combination	Min	-470,835	27,572	0	0	0	26,8317
2	0 HIP19	Combination		-123,356	51,855	0	0	0	42,7113
2	0,1815 HIP19	Combination		-121,314	43,201	0	0	0	34,0946
2	0,363 HIP19	Combination		-119,272	35,183	0	0	0	26,9909
2	0 ELU	Combination	Max	-83,789	80,383	0	0	0	255,9636
2	0,1815 ELU	Combination	Max	-81,033	67,402	0	0	0	248,318
2	0,363 ELU	Combination	Max	-78,276	55,374	0	0	0	242,2954
2	0 ELU	Combination	Min	-693,875	6,975	0	0	0	33,3252
2	0,1815 ELU	Combination	Min	-691,118	6,975	0	0	0	28,3079
2	0,363 ELU	Combination	Min	-688,362	6,975	0	0	0	18,4243
2	0 ELS-DEF	Combination	Max	-123,356	54,071	0	0	0	173,7512
2	0,1815 ELS-DEF	Combination	Max	-121,314	45,417	0	0	0	166,1204
2	0,363 ELS-DEF	Combination	Max	-119,272	37,398	0	0	0	160,0701
2	0 ELS-DEF	Combination	Min	-474,919	40,727	0	0	0	41,9553
2	0,1815 ELS-DEF	Combination	Min	-472,877	33,441	0	0	0	33,8603
2	0,363 ELS-DEF	Combination	Min	-470,835	26,478	0	0	0	26,8317
2	0 HIP20	Combination		-123,356	57,301	0	0	0	42,8226
2	0,1815 HIP20	Combination		-121,314	48,432	0	0	0	33,2357
2	0,363 HIP20	Combination		-119,272	40,113	0	0	0	25,2086
2	0 HIP21	Combination		-123,356	57,267	0	0	0	42,7309
2	0,1815 HIP21	Combination		-121,314	48,398	0	0	0	33,15
2	0,363 HIP21	Combination		-119,272	40,08	0	0	0	25,129
2	0 ENV-SISMO	Combination	Max	-123,356	57,301	0	0	0	42,8226
2	0,1815 ENV-SISMO	Combination	Max	-121,314	48,432	0	0	0	33,2357
2	0,363 ENV-SISMO	Combination	Max	-119,272	40,113	0	0	0	25,2086
2	0 ENV-SISMO	Combination	Min	-123,356	57,267	0	0	0	42,7309
2	0,1815 ENV-SISMO	Combination	Min	-121,314	48,398	0	0	0	33,15
2	0,363 ENV-SISMO	Combination	Min	-119,272	40,08	0	0	0	25,129
2	0 HIP22	Combination		-123,356	51,755	0	0	0	42,436
2	0,1815 HIP22	Combination		-121,314	43,1	0	0	0	33,8375
2	0,363 HIP22	Combination		-119,272	35,082	0	0	0	26,752
2	0 HIP23	Combination		-123,356	48,405	0	0	0	42,3223
2	0,1815 HIP23	Combination		-121,314	41,118	0	0	0	34,203
2	0,363 HIP23	Combination		-119,272	34,155	0	0	0	27,3768
2	0 ELS-FIS	Combination	Max	-123,356	51,755	0	0	0	42,436
2	0,1815 ELS-FIS	Combination	Max	-121,314	43,1	0	0	0	34,203
2	0,363 ELS-FIS	Combination	Max	-119,272	35,082	0	0	0	27,3768
2	0 ELS-FIS	Combination	Min	-123,356	48,405	0	0	0	42,3223
2	0,1815 ELS-FIS	Combination	Min	-121,314	41,118	0	0	0	33,8375
2	0,363 ELS-FIS	Combination	Min	-119,272	34,155	0	0	0	26,752
2	0 ENV-TREN	Combination	Max	0	2,216	0	0	0	131,0399
2	0,1815 ENV-TREN	Combination	Max	0	2,216	0	0	0	132,0258
2	0,363 ENV-TREN	Combination	Max	0	2,216	0	0	0	133,0117
2	0 ENV-TREN	Combination	Min	-351,562	-7,544	0	0	0	0
2	0,1815 ENV-TREN	Combination	Min	-351,562	-7,544	0	0	0	0
2	0,363 ENV-TREN	Combination	Min	-351,562	-7,544	0	0	0	0
3	0 PP	NonStatic	Max	-57,982	5,167	0	0	0	22,8097
3	0,1815 PP	NonStatic	Max	-55,941	5,167	0	0	0	21,8719
3	0,363 PP	NonStatic	Max	-53,899	5,167	0	0	0	20,9341
3	0 PP	NonStatic	Min	-57,982	5,167	0	0	0	22,8097
3	0,1815 PP	NonStatic	Min	-55,941	5,167	0	0	0	21,8719
3	0,363 PP	NonStatic	Min	-53,899	5,167	0	0	0	20,9341
3	0 CM CARRIL UIC-54	NonStatic	Max	-0,9	-0,014	0	0	0	0,3405
3	0,1815 CM CARRIL UIC-54	NonStatic	Max	-0,9	-0,014	0	0	0	0,343
3	0,363 CM CARRIL UIC-54	NonStatic	Max	-0,9	-0,014	0	0	0	0,3456
3	0 CM CARRIL UIC-54	NonStatic	Min	-0,9	-0,014	0	0	0	0,3405
3	0,1815 CM CARRIL UIC-54	NonStatic	Min	-0,9	-0,014	0	0	0	0,343
3	0,363 CM CARRIL UIC-54	NonStatic	Min	-0,9	-0,014	0	0	0	0,3456
3	0 CM TRAVIESAS	NonStatic	Max	-4,095	-0,063	0	0	0	1,5493
3	0,1815 CM TRAVIESAS	NonStatic	Max	-4,095	-0,063	0	0	0	1,5608
3	0,363 CM TRAVIESAS	NonStatic	Max	-4,095	-0,063	0	0	0	1,5723



3	0	CM TRAVIASAS	NonStatic	Min	-4,095	-0,063	0	0	0	1,5493
3	0,1815	CM TRAVIASAS	NonStatic	Min	-4,095	-0,063	0	0	0	1,5608
3	0,363	CM TRAVIASAS	NonStatic	Min	-4,095	-0,063	0	0	0	1,5723
3	0	CM TIERRAS + BALASTO	NonStatic	Max	-56,295	-0,87	0	0	0	21,2989
3	0,1815	CM TIERRAS + BALASTO	NonStatic	Max	-56,295	-0,87	0	0	0	21,4568
3	0,363	CM TIERRAS + BALASTO	NonStatic	Max	-56,295	-0,87	0	0	0	21,6146
3	0	CM TIERRAS + BALASTO	NonStatic	Min	-56,295	-0,87	0	0	0	21,2989
3	0,1815	CM TIERRAS + BALASTO	NonStatic	Min	-56,295	-0,87	0	0	0	21,4568
3	0,363	CM TIERRAS + BALASTO	NonStatic	Min	-56,295	-0,87	0	0	0	21,6146
3	0	CM SUELO SOLERA	NonStatic	Max	4,366E-11	-0,067	0	0	0	-0,1592
3	0,1815	CM SUELO SOLERA	NonStatic	Max	4,366E-11	-0,067	0	0	0	-0,1471
3	0,363	CM SUELO SOLERA	NonStatic	Max	4,366E-11	-0,067	0	0	0	-0,1349
3	0	CM SUELO SOLERA	NonStatic	Min	4,366E-11	-0,067	0	0	0	-0,1592
3	0,1815	CM SUELO SOLERA	NonStatic	Min	4,366E-11	-0,067	0	0	0	-0,1471
3	0,363	CM SUELO SOLERA	NonStatic	Min	4,366E-11	-0,067	0	0	0	-0,1349
3	0	SBC SUELO SOLERA	NonStatic	Max	1,019E-10	-0,167	0	0	0	-0,3981
3	0,1815	SBC SUELO SOLERA	NonStatic	Max	1,019E-10	-0,167	0	0	0	-0,3677
3	0,363	SBC SUELO SOLERA	NonStatic	Max	1,019E-10	-0,167	0	0	0	-0,3374
3	0	SBC SUELO SOLERA	NonStatic	Min	1,019E-10	-0,167	0	0	0	-0,3981
3	0,1815	SBC SUELO SOLERA	NonStatic	Min	1,019E-10	-0,167	0	0	0	-0,3677
3	0,363	SBC SUELO SOLERA	NonStatic	Min	1,019E-10	-0,167	0	0	0	-0,3374
3	0	EMPUJE TIERRAS	NonStatic	Max	-3,638E-12	30,035	0	0	0	-18,3828
3	0,1815	EMPUJE TIERRAS	NonStatic	Max	-3,638E-12	23,395	0	0	0	-23,2267
3	0,363	EMPUJE TIERRAS	NonStatic	Max	-3,638E-12	17,078	0	0	0	-26,8948
3	0	EMPUJE TIERRAS	NonStatic	Min	-3,638E-12	30,035	0	0	0	-18,3828
3	0,1815	EMPUJE TIERRAS	NonStatic	Min	-3,638E-12	23,395	0	0	0	-23,2267
3	0,363	EMPUJE TIERRAS	NonStatic	Min	-3,638E-12	17,078	0	0	0	-26,8948
3	0	EMPUJE AGUA	LinStatic		-2,328E-10	0,927	0	0	0	-0,6248
3	0,1815	EMPUJE AGUA	LinStatic		-2,328E-10	0,185	0	0	0	-0,721
3	0,363	EMPUJE AGUA	LinStatic		-2,328E-10	-0,243	0	0	0	-0,711
3	0	SISMO	NonStatic	Max	-5,684E-13	4,931	0	0	0	-1,7823
3	0,1815	SISMO	NonStatic	Max	-5,684E-13	4,544	0	0	0	-2,6434
3	0,363	SISMO	NonStatic	Max	-5,684E-13	4,072	0	0	0	-3,4267
3	0	SISMO	NonStatic	Min	-5,684E-13	4,931	0	0	0	-1,7823
3	0,1815	SISMO	NonStatic	Min	-5,684E-13	4,544	0	0	0	-2,6434
3	0,363	SISMO	NonStatic	Min	-5,684E-13	4,072	0	0	0	-3,4267
3	0	MODAL	LinModal	Mode	114,773	92,106	0	0	0	77,8396
3	0,1815	MODAL	LinModal	Mode	114,773	92,106	0	0	0	61,1224
3	0,363	MODAL	LinModal	Mode	114,773	92,106	0	0	0	44,4052
3	0	MODAL	LinModal	Mode	-419,3	38,98	0	0	0	171,9439
3	0,1815	MODAL	LinModal	Mode	-419,3	38,98	0	0	0	164,8691
3	0,363	MODAL	LinModal	Mode	-419,3	38,98	0	0	0	157,7943
3	0	MODAL	LinModal	Mode	-4025,531	13739,215	0	0	0	12982,2217
3	0,1815	MODAL	LinModal	Mode	-4025,531	13739,215	0	0	0	10488,5542
3	0,363	MODAL	LinModal	Mode	-4025,531	13739,215	0	0	0	7994,8867
3	0	MODAL	LinModal	Mode	-35616,515	-13612,838	0	0	0	24831,9505
3	0,1815	MODAL	LinModal	Mode	-35616,515	-13612,838	0	0	0	27302,6807
3	0,363	MODAL	LinModal	Mode	-35616,515	-13612,838	0	0	0	29773,4109
3	0	MODAL	LinModal	Mode	-37231,143	36938,352	0	0	0	45300,7182
3	0,1815	MODAL	LinModal	Mode	-37231,143	36938,352	0	0	0	38596,4073
3	0,363	MODAL	LinModal	Mode	-37231,143	36938,352	0	0	0	31892,0964
3	0	MODAL	LinModal	Mode	2757,668	89932,126	0	0	0	-34784,3603
3	0,1815	MODAL	LinModal	Mode	2757,668	89932,126	0	0	0	-51107,0411
3	0,363	MODAL	LinModal	Mode	2757,668	89932,126	0	0	0	-67429,722
3	0	MODAL	LinModal	Mode	102205,277	-117172,032	0	0	0	3521,8653
3	0,1815	MODAL	LinModal	Mode	102205,277	-117172,032	0	0	0	24788,5892
3	0,363	MODAL	LinModal	Mode	102205,277	-117172,032	0	0	0	46055,3131
3	0	MODAL	LinModal	Mode	-320449,815	102898,699	0	0	0	-31309,3217
3	0,1815	MODAL	LinModal	Mode	-320449,815	102898,699	0	0	0	-49985,4355
3	0,363	MODAL	LinModal	Mode	-320449,815	102898,699	0	0	0	-68661,5493
3	0	MODAL	LinModal	Mode	-316938,371	115761,219	0	0	0	120749,7932
3	0,1815	MODAL	LinModal	Mode	-316938,371	115761,219	0	0	0	99739,132
3	0,363	MODAL	LinModal	Mode	-316938,371	115761,219	0	0	0	78728,4708
3	0	MODAL	LinModal	Mode	-4220,067	48721,833	0	0	0	-189130,202
3	0,1815	MODAL	LinModal	Mode	-4220,067	48721,833	0	0	0	-197973,215
3	0,363	MODAL	LinModal	Mode	-4220,067	48721,833	0	0	0	-206816,227
3	0	MODAL	LinModal	Mode	-86506,288	12801,155	0	0	0	-186907,134
3	0,1815	MODAL	LinModal	Mode	-86506,288	12801,155	0	0	0	-189230,544
3	0,363	MODAL	LinModal	Mode	-86506,288	12801,155	0	0	0	-191553,953
3	0	MODAL	LinModal	Mode	1185658,6	-128330,167	0	0	0	-53796,0242
3	0,1815	MODAL	LinModal	Mode	1185658,6	-128330,167	0	0	0	-30504,0989
3	0,363	MODAL	LinModal	Mode	1185658,6	-128330,167	0	0	0	-7212,1735
3	0	HIP1	Combination		-78,276	6,975	0	0	0	30,7931



“Proyecto de las estructuras para la conexión peatonal de los andenes  
de la estación de Font de Sant Lluís en Valencia”.

3	0,1815 HIP1	Combination	-75,52	6,975	0	0	0	29,5271
3	0,363 HIP1	Combination	-72,763	6,975	0	0	0	28,2611
3	0 HIP2	Combination	-161,018	50,75	0	0	0	34,5237
3	0,1815 HIP2	Combination	-158,261	40,79	0	0	0	26,2238
3	0,363 HIP2	Combination	-155,505	31,314	0	0	0	19,6877
3	0 HIP3	Combination	-161,018	52,141	0	0	0	33,5866
3	0,1815 HIP3	Combination	-158,261	41,068	0	0	0	25,1423
3	0,363 HIP3	Combination	-155,505	30,949	0	0	0	18,6212
3	0 HIP4	Combination	-161,018	50,66	0	0	0	34,3088
3	0,1815 HIP4	Combination	-158,261	40,7	0	0	0	26,0253
3	0,363 HIP4	Combination	-155,505	31,224	0	0	0	19,5055
3	0 HIP5	Combination	-161,018	51,8	0	0	0	32,7745
3	0,1815 HIP5	Combination	-158,261	40,727	0	0	0	24,3922
3	0,363 HIP5	Combination	-155,505	30,608	0	0	0	17,933
3	0 HIP6	Combination Max	-161,018	40,447	0	0	0	242,2954
3	0,1815 HIP6	Combination Max	-158,261	32,694	0	0	0	237,752
3	0,363 HIP6	Combination Max	-155,505	25,734	0	0	0	234,5437
3	0 HIP6	Combination Min	-688,362	25,808	0	0	0	42,7779
3	0,1815 HIP6	Combination Min	-685,605	18,055	0	0	0	36,7557
3	0,363 HIP6	Combination Min	-682,849	11,094	0	0	0	32,0686
3	0 HIP7	Combination Max	-161,018	55,374	0	0	0	232,8891
3	0,1815 HIP7	Combination Max	-158,261	44,301	0	0	0	225,94
3	0,363 HIP7	Combination Max	-155,505	34,182	0	0	0	220,9141
3	0 HIP7	Combination Min	-688,362	40,735	0	0	0	33,3716
3	0,1815 HIP7	Combination Min	-685,605	29,662	0	0	0	24,9437
3	0,363 HIP7	Combination Min	-682,849	19,543	0	0	0	18,439
3	0 HIP8	Combination Max	-161,018	53,733	0	0	0	233,2292
3	0,1815 HIP8	Combination Max	-158,261	43,772	0	0	0	226,47
3	0,363 HIP8	Combination Max	-155,505	34,297	0	0	0	221,4746
3	0 HIP8	Combination Min	-688,362	39,093	0	0	0	33,7117
3	0,1815 HIP8	Combination Min	-685,605	29,133	0	0	0	25,4737
3	0,363 HIP8	Combination Min	-682,849	19,657	0	0	0	18,9995
3	0 HIP9	Combination Max	-161,018	55,374	0	0	0	232,8891
3	0,1815 HIP9	Combination Max	-158,261	44,301	0	0	0	225,94
3	0,363 HIP9	Combination Max	-155,505	34,182	0	0	0	220,9141
3	0 HIP9	Combination Min	-688,362	40,735	0	0	0	33,3716
3	0,1815 HIP9	Combination Min	-685,605	29,662	0	0	0	24,9437
3	0,363 HIP9	Combination Min	-682,849	19,543	0	0	0	18,439
3	0 HIP10	Combination	-119,272	49,273	0	0	0	18,4243
3	0,1815 HIP10	Combination	-117,231	39,313	0	0	0	10,3924
3	0,363 HIP10	Combination	-115,189	29,837	0	0	0	4,1244
3	0 HIP11	Combination	-119,272	35,183	0	0	0	26,9909
3	0,1815 HIP11	Combination	-117,231	27,801	0	0	0	21,2848
3	0,363 HIP11	Combination	-115,189	21,055	0	0	0	16,8608
3	0 HIP12	Combination	-119,272	34,255	0	0	0	27,6157
3	0,1815 HIP12	Combination	-117,231	27,615	0	0	0	22,0058
3	0,363 HIP12	Combination	-115,189	21,298	0	0	0	17,5718
3	0 HIP13	Combination	-119,272	35,116	0	0	0	26,8317
3	0,1815 HIP13	Combination	-117,231	27,734	0	0	0	21,1377
3	0,363 HIP13	Combination	-115,189	20,988	0	0	0	16,7259
3	0 HIP14	Combination	-119,272	34,021	0	0	0	27,0584
3	0,1815 HIP14	Combination	-117,231	27,381	0	0	0	21,491
3	0,363 HIP14	Combination	-115,189	21,064	0	0	0	17,0995
3	0 HIP15	Combination Max	-119,272	37,398	0	0	0	160,0026
3	0,1815 HIP15	Combination Max	-117,231	30,016	0	0	0	155,2823
3	0,363 HIP15	Combination Max	-115,189	23,27	0	0	0	151,8442
3	0 HIP15	Combination Min	-470,835	27,639	0	0	0	26,9909
3	0,1815 HIP15	Combination Min	-468,793	20,257	0	0	0	21,2848
3	0,363 HIP15	Combination Min	-466,751	13,511	0	0	0	16,8608
3	0 HIP16	Combination Max	-119,272	37,332	0	0	0	159,8433
3	0,1815 HIP16	Combination Max	-117,231	29,949	0	0	0	155,1352
3	0,363 HIP16	Combination Max	-115,189	23,204	0	0	0	151,7093
3	0 HIP16	Combination Min	-470,835	27,572	0	0	0	26,8317
3	0,1815 HIP16	Combination Min	-468,793	20,19	0	0	0	21,1377
3	0,363 HIP16	Combination Min	-466,751	13,444	0	0	0	16,7259
3	0 HIP17	Combination Max	-119,272	36,237	0	0	0	160,0701
3	0,1815 HIP17	Combination Max	-117,231	29,597	0	0	0	155,4885
3	0,363 HIP17	Combination Max	-115,189	23,28	0	0	0	152,0829
3	0 HIP17	Combination Min	-470,835	26,478	0	0	0	27,0584
3	0,1815 HIP17	Combination Min	-468,793	19,837	0	0	0	21,491
3	0,363 HIP17	Combination Min	-466,751	13,52	0	0	0	17,0995
3	0 HIP18	Combination Max	-119,272	37,332	0	0	0	159,8433
3	0,1815 HIP18	Combination Max	-117,231	29,949	0	0	0	155,1352

3	0,363 HIP18	Combination	Max	-115,189	23,204	0	0	0	151,7093
3	0 HIP18	Combination	Min	-470,835	27,572	0	0	0	26,8317
3	0,1815 HIP18	Combination	Min	-468,793	20,19	0	0	0	21,1377
3	0,363 HIP18	Combination	Min	-466,751	13,444	0	0	0	16,7259
3	0 HIP19	Combination		-119,272	35,183	0	0	0	26,9909
3	0,1815 HIP19	Combination		-117,231	27,801	0	0	0	21,2848
3	0,363 HIP19	Combination		-115,189	21,055	0	0	0	16,8608
3	0 ELU	Combination	Max	-78,276	55,374	0	0	0	242,2954
3	0,1815 ELU	Combination	Max	-75,52	44,301	0	0	0	237,752
3	0,363 ELU	Combination	Max	-72,763	34,297	0	0	0	234,5437
3	0 ELU	Combination	Min	-688,362	6,975	0	0	0	18,4243
3	0,1815 ELU	Combination	Min	-685,605	6,975	0	0	0	10,3924
3	0,363 ELU	Combination	Min	-682,849	6,975	0	0	0	4,1244
3	0 ELS-DEF	Combination	Max	-119,272	37,398	0	0	0	160,0701
3	0,1815 ELS-DEF	Combination	Max	-117,231	30,016	0	0	0	155,4885
3	0,363 ELS-DEF	Combination	Max	-115,189	23,28	0	0	0	152,0829
3	0 ELS-DEF	Combination	Min	-470,835	26,478	0	0	0	26,8317
3	0,1815 ELS-DEF	Combination	Min	-468,793	19,837	0	0	0	21,1377
3	0,363 ELS-DEF	Combination	Min	-466,751	13,444	0	0	0	16,7259
3	0 HIP20	Combination		-119,272	40,113	0	0	0	25,2086
3	0,1815 HIP20	Combination		-117,231	32,345	0	0	0	18,6413
3	0,363 HIP20	Combination		-115,189	25,127	0	0	0	13,4341
3	0 HIP21	Combination		-119,272	40,08	0	0	0	25,129
3	0,1815 HIP21	Combination		-117,231	32,311	0	0	0	18,5678
3	0,363 HIP21	Combination		-115,189	25,093	0	0	0	13,3667
3	0 ENV-SISMO	Combination	Max	-119,272	40,113	0	0	0	25,2086
3	0,1815 ENV-SISMO	Combination	Max	-117,231	32,345	0	0	0	18,6413
3	0,363 ENV-SISMO	Combination	Max	-115,189	25,127	0	0	0	13,4341
3	0 ENV-SISMO	Combination	Min	-119,272	40,08	0	0	0	25,129
3	0,1815 ENV-SISMO	Combination	Min	-117,231	32,311	0	0	0	18,5678
3	0,363 ENV-SISMO	Combination	Min	-115,189	25,093	0	0	0	13,3667
3	0 HIP22	Combination		-119,272	35,082	0	0	0	26,752
3	0,1815 HIP22	Combination		-117,231	27,7	0	0	0	21,0642
3	0,363 HIP22	Combination		-115,189	20,954	0	0	0	16,6584
3	0 HIP23	Combination		-119,272	34,155	0	0	0	27,3768
3	0,1815 HIP23	Combination		-117,231	27,515	0	0	0	21,7852
3	0,363 HIP23	Combination		-115,189	21,198	0	0	0	17,3694
3	0 ELS-FIS	Combination	Max	-119,272	35,082	0	0	0	27,3768
3	0,1815 ELS-FIS	Combination	Max	-117,231	27,7	0	0	0	21,7852
3	0,363 ELS-FIS	Combination	Max	-115,189	21,198	0	0	0	17,3694
3	0 ELS-FIS	Combination	Min	-119,272	34,155	0	0	0	26,752
3	0,1815 ELS-FIS	Combination	Min	-117,231	27,515	0	0	0	21,0642
3	0,363 ELS-FIS	Combination	Min	-115,189	20,954	0	0	0	16,6584
3	0 ENV-TREN	Combination	Max	0	2,216	0	0	0	133,0117
3	0,1815 ENV-TREN	Combination	Max	0	2,216	0	0	0	133,9975
3	0,363 ENV-TREN	Combination	Max	0	2,216	0	0	0	134,9834
3	0 ENV-TREN	Combination	Min	-351,562	-7,544	0	0	0	0
3	0,1815 ENV-TREN	Combination	Min	-351,562	-7,544	0	0	0	0
3	0,363 ENV-TREN	Combination	Min	-351,562	-7,544	0	0	0	0
4	0 PP	NonStatic	Max	-53,899	5,167	0	0	0	20,9341
4	0,1815 PP	NonStatic	Max	-51,857	5,167	0	0	0	19,9963
4	0,363 PP	NonStatic	Max	-49,815	5,167	0	0	0	19,0585
4	0 PP	NonStatic	Min	-53,899	5,167	0	0	0	20,9341
4	0,1815 PP	NonStatic	Min	-51,857	5,167	0	0	0	19,9963
4	0,363 PP	NonStatic	Min	-49,815	5,167	0	0	0	19,0585
4	0 CM CARRIL UIC-54	NonStatic	Max	-0,9	-0,014	0	0	0	0,3456
4	0,1815 CM CARRIL UIC-54	NonStatic	Max	-0,9	-0,014	0	0	0	0,3481
4	0,363 CM CARRIL UIC-54	NonStatic	Max	-0,9	-0,014	0	0	0	0,3506
4	0 CM CARRIL UIC-54	NonStatic	Min	-0,9	-0,014	0	0	0	0,3456
4	0,1815 CM CARRIL UIC-54	NonStatic	Min	-0,9	-0,014	0	0	0	0,3481
4	0,363 CM CARRIL UIC-54	NonStatic	Min	-0,9	-0,014	0	0	0	0,3506
4	0 CM TRAVIESAS	NonStatic	Max	-4,095	-0,063	0	0	0	1,5723
4	0,1815 CM TRAVIESAS	NonStatic	Max	-4,095	-0,063	0	0	0	1,5838
4	0,363 CM TRAVIESAS	NonStatic	Max	-4,095	-0,063	0	0	0	1,5953
4	0 CM TRAVIESAS	NonStatic	Min	-4,095	-0,063	0	0	0	1,5723
4	0,1815 CM TRAVIESAS	NonStatic	Min	-4,095	-0,063	0	0	0	1,5838
4	0,363 CM TRAVIESAS	NonStatic	Min	-4,095	-0,063	0	0	0	1,5953
4	0 CM TIERRAS + BALASTO	NonStatic	Max	-56,295	-0,87	0	0	0	21,6146
4	0,1815 CM TIERRAS + BALASTO	NonStatic	Max	-56,295	-0,87	0	0	0	21,7725
4	0,363 CM TIERRAS + BALASTO	NonStatic	Max	-56,295	-0,87	0	0	0	21,9304
4	0 CM TIERRAS + BALASTO	NonStatic	Min	-56,295	-0,87	0	0	0	21,6146
4	0,1815 CM TIERRAS + BALASTO	NonStatic	Min	-56,295	-0,87	0	0	0	21,7725
4	0,363 CM TIERRAS + BALASTO	NonStatic	Min	-56,295	-0,87	0	0	0	21,9304





“Proyecto de las estructuras para la conexión peatonal de los andenes  
de la estación de Font de Sant Lluís en Valencia”.

4	0	CM SUELO SOLERA	NonStatic	Max	4,366E-11	-0,067	0	0	0	-0,1349
4	0,1815	CM SUELO SOLERA	NonStatic	Max	4,366E-11	-0,067	0	0	0	-0,1228
4	0,363	CM SUELO SOLERA	NonStatic	Max	4,366E-11	-0,067	0	0	0	-0,1107
4	0	CM SUELO SOLERA	NonStatic	Min	4,366E-11	-0,067	0	0	0	-0,1349
4	0,1815	CM SUELO SOLERA	NonStatic	Min	4,366E-11	-0,067	0	0	0	-0,1228
4	0,363	CM SUELO SOLERA	NonStatic	Min	4,366E-11	-0,067	0	0	0	-0,1107
4	0	SBC SUELO SOLERA	NonStatic	Max	1,019E-10	-0,167	0	0	0	-0,3374
4	0,1815	SBC SUELO SOLERA	NonStatic	Max	1,019E-10	-0,167	0	0	0	-0,307
4	0,363	SBC SUELO SOLERA	NonStatic	Max	1,019E-10	-0,167	0	0	0	-0,2767
4	0	SBC SUELO SOLERA	NonStatic	Min	1,019E-10	-0,167	0	0	0	-0,3374
4	0,1815	SBC SUELO SOLERA	NonStatic	Min	1,019E-10	-0,167	0	0	0	-0,307
4	0,363	SBC SUELO SOLERA	NonStatic	Min	1,019E-10	-0,167	0	0	0	-0,2767
4	0	EMPUIJE TIERRAS	NonStatic	Max	-3,638E-12	17,078	0	0	0	-26,8948
4	0,1815	EMPUIJE TIERRAS	NonStatic	Max	-3,638E-12	11,084	0	0	0	-29,4456
4	0,363	EMPUIJE TIERRAS	NonStatic	Max	-3,638E-12	5,413	0	0	0	-30,9378
4	0	EMPUIJE TIERRAS	NonStatic	Min	-3,638E-12	17,078	0	0	0	-26,8948
4	0,1815	EMPUIJE TIERRAS	NonStatic	Min	-3,638E-12	11,084	0	0	0	-29,4456
4	0,363	EMPUIJE TIERRAS	NonStatic	Min	-3,638E-12	5,413	0	0	0	-30,9378
4	0	EMPUIJE AGUA	LinStatic		-2,328E-10	-0,243	0	0	0	-0,711
4	0,1815	EMPUIJE AGUA	LinStatic		-2,328E-10	-0,362	0	0	0	-0,6516
4	0,363	EMPUIJE AGUA	LinStatic		-2,328E-10	-0,362	0	0	0	-0,5859
4	0	SISMO	NonStatic	Max	-5,684E-13	4,072	0	0	0	-3,4267
4	0,1815	SISMO	NonStatic	Max	-5,684E-13	3,514	0	0	0	-4,1164
4	0,363	SISMO	NonStatic	Max	-5,684E-13	2,87	0	0	0	-4,6971
4	0	SISMO	NonStatic	Min	-5,684E-13	4,072	0	0	0	-3,4267
4	0,1815	SISMO	NonStatic	Min	-5,684E-13	3,514	0	0	0	-4,1164
4	0,363	SISMO	NonStatic	Min	-5,684E-13	2,87	0	0	0	-4,6971
4	0	MODAL	LinModal	Mode	109,611	89,572	0	0	0	44,4052
4	0,1815	MODAL	LinModal	Mode	109,611	89,572	0	0	0	28,1479
4	0,363	MODAL	LinModal	Mode	109,611	89,572	0	0	0	11,8907
4	0	MODAL	LinModal	Mode	-388,753	39,101	0	0	0	157,7943
4	0,1815	MODAL	LinModal	Mode	-388,753	39,101	0	0	0	150,6974
4	0,363	MODAL	LinModal	Mode	-388,753	39,101	0	0	0	143,6005
4	0	MODAL	LinModal	Mode	-2710,892	13443,159	0	0	0	7994,8867
4	0,1815	MODAL	LinModal	Mode	-2710,892	13443,159	0	0	0	5554,9534
4	0,363	MODAL	LinModal	Mode	-2710,892	13443,159	0	0	0	3115,0201
4	0	MODAL	LinModal	Mode	-35709,794	-8733,566	0	0	0	29773,4109
4	0,1815	MODAL	LinModal	Mode	-35709,794	-8733,566	0	0	0	31358,5532
4	0,363	MODAL	LinModal	Mode	-35709,794	-8733,566	0	0	0	32943,6955
4	0	MODAL	LinModal	Mode	-22371,551	42071,634	0	0	0	31892,0964
4	0,1815	MODAL	LinModal	Mode	-22371,551	42071,634	0	0	0	24256,0948
4	0,363	MODAL	LinModal	Mode	-22371,551	42071,634	0	0	0	16620,0932
4	0	MODAL	LinModal	Mode	2810,543	52748,79	0	0	0	-67429,722
4	0,1815	MODAL	LinModal	Mode	2810,543	52748,79	0	0	0	-77003,6274
4	0,363	MODAL	LinModal	Mode	2810,543	52748,79	0	0	0	-86577,5328
4	0	MODAL	LinModal	Mode	102918,367	-76665,722	0	0	0	46055,3131
4	0,1815	MODAL	LinModal	Mode	102918,367	-76665,722	0	0	0	59970,1416
4	0,363	MODAL	LinModal	Mode	102918,367	-76665,722	0	0	0	73884,9701
4	0	MODAL	LinModal	Mode	-349674,169	20721,775	0	0	0	-68661,5493
4	0,1815	MODAL	LinModal	Mode	-349674,169	20721,775	0	0	0	-72422,5514
4	0,363	MODAL	LinModal	Mode	-349674,169	20721,775	0	0	0	-76183,5535
4	0	MODAL	LinModal	Mode	-275368,945	159430,659	0	0	0	78728,4708
4	0,1815	MODAL	LinModal	Mode	-275368,945	159430,659	0	0	0	49791,8062
4	0,363	MODAL	LinModal	Mode	-275368,945	159430,659	0	0	0	20855,1415
4	0	MODAL	LinModal	Mode	-2606,779	-206775,208	0	0	0	-206816,227
4	0,1815	MODAL	LinModal	Mode	-2606,779	-206775,208	0	0	0	-169286,527
4	0,363	MODAL	LinModal	Mode	-2606,779	-206775,208	0	0	0	-131756,827
4	0	MODAL	LinModal	Mode	-27513,469	-289545,686	0	0	0	-191553,953
4	0,1815	MODAL	LinModal	Mode	-27513,469	-289545,686	0	0	0	-139001,411
4	0,363	MODAL	LinModal	Mode	-27513,469	-289545,686	0	0	0	-86448,8695
4	0	MODAL	LinModal	Mode	1273378,962	-109098,333	0	0	0	-7212,1735
4	0,1815	MODAL	LinModal	Mode	1273378,962	-109098,333	0	0	0	12589,1739
4	0,363	MODAL	LinModal	Mode	1273378,962	-109098,333	0	0	0	32390,5214
4	0	HIP1	Combination		-72,763	6,975	0	0	0	28,2611
4	0,1815	HIP1	Combination		-70,007	6,975	0	0	0	26,995
4	0,363	HIP1	Combination		-67,25	6,975	0	0	0	25,729
4	0	HIP2	Combination		-155,505	31,314	0	0	0	19,6877
4	0,1815	HIP2	Combination		-152,748	22,323	0	0	0	14,8275
4	0,363	HIP2	Combination		-149,992	13,816	0	0	0	11,5552
4	0	HIP3	Combination		-155,505	30,949	0	0	0	18,6212
4	0,1815	HIP3	Combination		-152,748	21,78	0	0	0	13,8502
4	0,363	HIP3	Combination		-149,992	13,273	0	0	0	10,6764
4	0	HIP4	Combination		-155,505	31,224	0	0	0	19,5055

4	0,1815 HIP4	Combination	-152,748	22,233	0	0	0	14,6617
4	0,363 HIP4	Combination	-149,992	13,726	0	0	0	11,4058
4	0 HIP5	Combination	-155,505	30,608	0	0	0	17,933
4	0,1815 HIP5	Combination	-152,748	21,439	0	0	0	13,2238
4	0,363 HIP5	Combination	-149,992	12,932	0	0	0	10,112
4	0 HIP6	Combination Max	-155,505	25,734	0	0	0	234,5437
4	0,1815 HIP6	Combination Max	-152,748	19,562	0	0	0	232,5269
4	0,363 HIP6	Combination Max	-149,992	13,891	0	0	0	231,578
4	0 HIP6	Combination Min	-682,849	11,094	0	0	0	32,0686
4	0,1815 HIP6	Combination Min	-680,092	4,923	0	0	0	28,573
4	0,363 HIP6	Combination Min	-677,335	-0,749	0	0	0	26,1453
4	0 HIP7	Combination Max	-155,505	34,182	0	0	0	220,9141
4	0,1815 HIP7	Combination Max	-152,748	25,013	0	0	0	217,6383
4	0,363 HIP7	Combination Max	-149,992	16,507	0	0	0	215,9597
4	0 HIP7	Combination Min	-682,849	19,543	0	0	0	18,439
4	0,1815 HIP7	Combination Min	-680,092	10,374	0	0	0	13,6844
4	0,363 HIP7	Combination Min	-677,335	1,867	0	0	0	10,527
4	0 HIP8	Combination Max	-155,505	34,297	0	0	0	221,4746
4	0,1815 HIP8	Combination Max	-152,748	25,305	0	0	0	218,1551
4	0,363 HIP8	Combination Max	-149,992	16,799	0	0	0	216,4235
4	0 HIP8	Combination Min	-682,849	19,657	0	0	0	18,9995
4	0,1815 HIP8	Combination Min	-680,092	10,666	0	0	0	14,2012
4	0,363 HIP8	Combination Min	-677,335	2,159	0	0	0	10,9908
4	0 HIP9	Combination Max	-155,505	34,182	0	0	0	220,9141
4	0,1815 HIP9	Combination Max	-152,748	25,013	0	0	0	217,6383
4	0,363 HIP9	Combination Max	-149,992	16,507	0	0	0	215,9597
4	0 HIP9	Combination Min	-682,849	19,543	0	0	0	18,439
4	0,1815 HIP9	Combination Min	-680,092	10,374	0	0	0	13,6844
4	0,363 HIP9	Combination Min	-677,335	1,867	0	0	0	10,527
4	0 HIP10	Combination	-115,189	29,837	0	0	0	4,1244
4	0,1815 HIP10	Combination	-113,147	20,846	0	0	0	-0,4677
4	0,363 HIP10	Combination	-111,105	12,339	0	0	0	-3,4719
4	0 HIP11	Combination	-115,189	21,055	0	0	0	16,8608
4	0,1815 HIP11	Combination	-113,147	14,942	0	0	0	13,6035
4	0,363 HIP11	Combination	-111,105	9,271	0	0	0	11,4111
4	0 HIP12	Combination	-115,189	21,298	0	0	0	17,5718
4	0,1815 HIP12	Combination	-113,147	15,304	0	0	0	14,2551
4	0,363 HIP12	Combination	-111,105	9,633	0	0	0	11,997
4	0 HIP13	Combination	-115,189	20,988	0	0	0	16,7259
4	0,1815 HIP13	Combination	-113,147	14,875	0	0	0	13,4807
4	0,363 HIP13	Combination	-111,105	9,204	0	0	0	11,3004
4	0 HIP14	Combination	-115,189	21,064	0	0	0	17,0995
4	0,1815 HIP14	Combination	-113,147	15,07	0	0	0	13,8252
4	0,363 HIP14	Combination	-111,105	9,399	0	0	0	11,6096
4	0 HIP15	Combination Max	-115,189	23,27	0	0	0	151,8442
4	0,1815 HIP15	Combination Max	-113,147	17,158	0	0	0	149,5728
4	0,363 HIP15	Combination Max	-111,105	11,487	0	0	0	148,3662
4	0 HIP15	Combination Min	-466,751	13,511	0	0	0	16,8608
4	0,1815 HIP15	Combination Min	-464,709	7,398	0	0	0	13,6035
4	0,363 HIP15	Combination Min	-462,667	1,727	0	0	0	11,4111
4	0 HIP16	Combination Max	-115,189	23,204	0	0	0	151,7093
4	0,1815 HIP16	Combination Max	-113,147	17,091	0	0	0	149,45
4	0,363 HIP16	Combination Max	-111,105	11,42	0	0	0	148,2555
4	0 HIP16	Combination Min	-466,751	13,444	0	0	0	16,7259
4	0,1815 HIP16	Combination Min	-464,709	7,331	0	0	0	13,4807
4	0,363 HIP16	Combination Min	-462,667	1,66	0	0	0	11,3004
4	0 HIP17	Combination Max	-115,189	23,28	0	0	0	152,0829
4	0,1815 HIP17	Combination Max	-113,147	17,286	0	0	0	149,7945
4	0,363 HIP17	Combination Max	-111,105	11,614	0	0	0	148,5647
4	0 HIP17	Combination Min	-466,751	13,52	0	0	0	17,0995
4	0,1815 HIP17	Combination Min	-464,709	7,526	0	0	0	13,8252
4	0,363 HIP17	Combination Min	-462,667	1,855	0	0	0	11,6096
4	0 HIP18	Combination Max	-115,189	23,204	0	0	0	151,7093
4	0,1815 HIP18	Combination Max	-113,147	17,091	0	0	0	149,45
4	0,363 HIP18	Combination Max	-111,105	11,42	0	0	0	148,2555
4	0 HIP18	Combination Min	-466,751	13,444	0	0	0	16,7259
4	0,1815 HIP18	Combination Min	-464,709	7,331	0	0	0	13,4807
4	0,363 HIP18	Combination Min	-462,667	1,66	0	0	0	11,3004
4	0 HIP19	Combination	-115,189	21,055	0	0	0	16,8608
4	0,1815 HIP19	Combination	-113,147	14,942	0	0	0	13,6035
4	0,363 HIP19	Combination	-111,105	9,271	0	0	0	11,4111
4	0 ELU	Combination Max	-72,763	34,297	0	0	0	234,5437
4	0,1815 ELU	Combination Max	-70,007	25,305	0	0	0	232,5269



“Proyecto de las estructuras para la conexión peatonal de los andenes  
de la estación de Font de Sant Lluís en Valencia”.

4	0,363	ELU	Combination	Max	-67,25	16,799	0	0	0	231,578
4	0	ELU	Combination	Min	-682,849	6,975	0	0	0	4,1244
4	0,1815	ELU	Combination	Min	-680,092	4,923	0	0	0	-0,4677
4	0,363	ELU	Combination	Min	-677,335	-0,749	0	0	0	-3,4719
4	0	ELS-DEF	Combination	Max	-115,189	23,28	0	0	0	152,0829
4	0,1815	ELS-DEF	Combination	Max	-113,147	17,286	0	0	0	149,7945
4	0,363	ELS-DEF	Combination	Max	-111,105	11,614	0	0	0	148,5647
4	0	ELS-DEF	Combination	Min	-466,751	13,444	0	0	0	16,7259
4	0,1815	ELS-DEF	Combination	Min	-464,709	7,331	0	0	0	13,4807
4	0,363	ELS-DEF	Combination	Min	-462,667	1,66	0	0	0	11,3004
4	0	HIP20	Combination		-115,189	25,127	0	0	0	13,4341
4	0,1815	HIP20	Combination		-113,147	18,456	0	0	0	9,4871
4	0,363	HIP20	Combination		-111,105	12,141	0	0	0	6,714
4	0	HIP21	Combination		-115,189	25,093	0	0	0	13,3667
4	0,1815	HIP21	Combination		-113,147	18,423	0	0	0	9,4257
4	0,363	HIP21	Combination		-111,105	12,108	0	0	0	6,6587
4	0	ENV-SISMO	Combination	Max	-115,189	25,127	0	0	0	13,4341
4	0,1815	ENV-SISMO	Combination	Max	-113,147	18,456	0	0	0	9,4871
4	0,363	ENV-SISMO	Combination	Max	-111,105	12,141	0	0	0	6,714
4	0	ENV-SISMO	Combination	Min	-115,189	25,093	0	0	0	13,3667
4	0,1815	ENV-SISMO	Combination	Min	-113,147	18,423	0	0	0	9,4257
4	0,363	ENV-SISMO	Combination	Min	-111,105	12,108	0	0	0	6,6587
4	0	HIP22	Combination		-115,189	20,954	0	0	0	16,6584
4	0,1815	HIP22	Combination		-113,147	14,842	0	0	0	13,4193
4	0,363	HIP22	Combination		-111,105	9,171	0	0	0	11,2451
4	0	HIP23	Combination		-115,189	21,198	0	0	0	17,3694
4	0,1815	HIP23	Combination		-113,147	15,204	0	0	0	14,0708
4	0,363	HIP23	Combination		-111,105	9,532	0	0	0	11,8309
4	0	ELS-FIS	Combination	Max	-115,189	21,198	0	0	0	17,3694
4	0,1815	ELS-FIS	Combination	Max	-113,147	15,204	0	0	0	14,0708
4	0,363	ELS-FIS	Combination	Max	-111,105	9,532	0	0	0	11,8309
4	0	ELS-FIS	Combination	Min	-115,189	20,954	0	0	0	16,6584
4	0,1815	ELS-FIS	Combination	Min	-113,147	14,842	0	0	0	13,4193
4	0,363	ELS-FIS	Combination	Min	-111,105	9,171	0	0	0	11,2451
4	0	ENV-TREN	Combination	Max	0	2,216	0	0	0	134,9834
4	0,1815	ENV-TREN	Combination	Max	0	2,216	0	0	0	135,9693
4	0,363	ENV-TREN	Combination	Max	0	2,216	0	0	0	136,9551
4	0	ENV-TREN	Combination	Min	-351,562	-7,544	0	0	0	0
4	0,1815	ENV-TREN	Combination	Min	-351,562	-7,544	0	0	0	0
4	0,363	ENV-TREN	Combination	Min	-351,562	-7,544	0	0	0	0
5	0	PP	NonStatic	Max	-5,167	49,414	0	0	0	26,561
5	0,47	PP	NonStatic	Max	-5,167	54,701	0	0	0	2,0939
5	0	PP	NonStatic	Min	-5,167	49,414	0	0	0	26,561
5	0,47	PP	NonStatic	Min	-5,167	54,701	0	0	0	2,0939
5	0	CM CARRIL UIC-54	NonStatic	Max	0,014	0,735	0	0	0	0,3304
5	0,47	CM CARRIL UIC-54	NonStatic	Max	0,014	0,735	0	0	0	-0,0149
5	0	CM CARRIL UIC-54	NonStatic	Min	0,014	0,735	0	0	0	0,3304
5	0,47	CM CARRIL UIC-54	NonStatic	Min	0,014	0,735	0	0	0	-0,0149
5	0	CM TRAVIESAS	NonStatic	Max	0,063	3,343	0	0	0	1,5034
5	0,47	CM TRAVIESAS	NonStatic	Max	0,063	3,343	0	0	0	-0,0677
5	0	CM TRAVIESAS	NonStatic	Min	0,063	3,343	0	0	0	1,5034
5	0,47	CM TRAVIESAS	NonStatic	Min	0,063	3,343	0	0	0	-0,0677
5	0	CM TIERRAS + BALASTO	NonStatic	Max	0,87	45,954	0	0	0	20,6674
5	0,47	CM TIERRAS + BALASTO	NonStatic	Max	0,87	45,954	0	0	0	-0,931
5	0	CM TIERRAS + BALASTO	NonStatic	Min	0,87	45,954	0	0	0	20,6674
5	0,47	CM TIERRAS + BALASTO	NonStatic	Min	0,87	45,954	0	0	0	-0,931
5	0	CM SUELO SOLERA	NonStatic	Max	0,067	-0,818	0	0	0	-0,2078
5	0,47	CM SUELO SOLERA	NonStatic	Max	0,067	0,122	0	0	0	-0,0444
5	0	CM SUELO SOLERA	NonStatic	Min	0,067	-0,818	0	0	0	-0,2078
5	0,47	CM SUELO SOLERA	NonStatic	Min	0,067	0,122	0	0	0	-0,0444
5	0	SBC SUELO SOLERA	NonStatic	Max	0,167	-2,044	0	0	0	-0,5194
5	0,47	SBC SUELO SOLERA	NonStatic	Max	0,167	0,306	0	0	0	-0,1111
5	0	SBC SUELO SOLERA	NonStatic	Min	0,167	-2,044	0	0	0	-0,5194
5	0,47	SBC SUELO SOLERA	NonStatic	Min	0,167	0,306	0	0	0	-0,1111
5	0	EMPUJE TIERRAS	NonStatic	Max	-59,827	0,055	0	0	0	13,9245
5	0,47	EMPUJE TIERRAS	NonStatic	Max	-59,827	0,055	0	0	0	13,8985
5	0	EMPUJE TIERRAS	NonStatic	Min	-59,827	0,055	0	0	0	13,9245
5	0,47	EMPUJE TIERRAS	NonStatic	Min	-59,827	0,055	0	0	0	13,8985
5	0	EMPUJE AGUA	LinStatic		-7,026	4,847	0	0	0	1,959
5	0,47	EMPUJE AGUA	LinStatic		-7,026	-0,723	0	0	0	0,9899
5	0	SISMO	NonStatic	Max	-5,617	0,008449	0	0	0	2,1297
5	0,47	SISMO	NonStatic	Max	-5,617	0,008449	0	0	0	2,1257
5	0	SISMO	NonStatic	Min	-5,617	0,008449	0	0	0	2,1297



5	0,47 SISMO	NonStatic	Min	-5,617	0,008449	0	0	0	2,1257
5	0 MODAL	LinModal	Mode	-94,637	-37,22	0	0	0	146,24
5	0,47 MODAL	LinModal	Mode	-94,637	-37,22	0	0	0	163,7333
5	0 MODAL	LinModal	Mode	-38,83	390,332	0	0	0	200,1535
5	0,47 MODAL	LinModal	Mode	-38,83	390,332	0	0	0	16,6974
5	0 MODAL	LinModal	Mode	-13950,85	8038,289	0	0	0	23080,7683
5	0,47 MODAL	LinModal	Mode	-13950,85	8038,289	0	0	0	19302,7723
5	0 MODAL	LinModal	Mode	19351,52	35163,035	0	0	0	11582,3443
5	0,47 MODAL	LinModal	Mode	19351,52	35163,035	0	0	0	-4944,2823
5	0 MODAL	LinModal	Mode	-27693,366	83211,263	0	0	0	66536,7675
5	0,47 MODAL	LinModal	Mode	-27693,366	83211,263	0	0	0	27427,4738
5	0 MODAL	LinModal	Mode	-134313,63	-2541,025	0	0	0	55387,9075
5	0,47 MODAL	LinModal	Mode	-134313,63	-2541,025	0	0	0	56582,1892
5	0 MODAL	LinModal	Mode	162446,541	-97616,687	0	0	0	-106328,628
5	0,47 MODAL	LinModal	Mode	162446,541	-97616,687	0	0	0	-60448,7849
5	0 MODAL	LinModal	Mode	-225272,623	206890,98	0	0	0	103823,1197
5	0,47 MODAL	LinModal	Mode	-225272,623	206890,98	0	0	0	6584,3591
5	0 MODAL	LinModal	Mode	-4614,648	421720,471	0	0	0	141654,357
5	0,47 MODAL	LinModal	Mode	-4614,648	421720,471	0	0	0	-56554,2642
5	0 MODAL	LinModal	Mode	-602533,583	8671,192	0	0	0	108645,4861
5	0,47 MODAL	LinModal	Mode	-602533,583	8671,192	0	0	0	104570,026
5	0 MODAL	LinModal	Mode	-854812,442	251815,347	0	0	0	181399,0417
5	0,47 MODAL	LinModal	Mode	-854812,442	251815,347	0	0	0	63045,8288
5	0 MODAL	LinModal	Mode	125355,572	-671976,271	0	0	0	-120628,166
5	0,47 MODAL	LinModal	Mode	125355,572	-671976,271	0	0	0	195200,6814
5	0 HIP1	Combination		-6,975	66,709	0	0	0	35,8573
5	0,47 HIP1	Combination		-6,975	73,847	0	0	0	2,8267
5	0 HIP2	Combination		-95,437	134,334	0	0	0	87,1206
5	0,47 HIP2	Combination		-95,437	141,472	0	0	0	22,3061
5	0 HIP3	Combination		-105,976	141,604	0	0	0	90,0591
5	0,47 HIP3	Combination		-105,976	140,388	0	0	0	23,791
5	0 HIP4	Combination		-95,347	133,231	0	0	0	86,8401
5	0,47 HIP4	Combination		-95,347	141,638	0	0	0	22,2461
5	0 HIP5	Combination		-105,635	137,435	0	0	0	88,9995
5	0,47 HIP5	Combination		-105,635	141,013	0	0	0	23,5643
5	0 HIP6	Combination	Max	-64,747	572,051	0	0	0	276,6992
5	0,47 HIP6	Combination	Max	-64,747	570,835	0	0	0	26,8454
5	0 HIP6	Combination	Min	-79,386	141,577	0	0	0	83,0969
5	0,47 HIP6	Combination	Min	-79,386	140,36	0	0	0	-1,4138
5	0 HIP7	Combination	Max	-94,57	570,975	0	0	0	283,381
5	0,47 HIP7	Combination	Max	-94,57	571,028	0	0	0	33,7347
5	0 HIP7	Combination	Min	-109,209	140,5	0	0	0	89,7786
5	0,47 HIP7	Combination	Min	-109,209	140,553	0	0	0	5,4754
5	0 HIP8	Combination	Max	-83,781	560,64	0	0	0	279,6633
5	0,47 HIP8	Combination	Max	-83,781	572,572	0	0	0	32,0831
5	0 HIP8	Combination	Min	-98,42	130,165	0	0	0	86,061
5	0,47 HIP8	Combination	Min	-98,42	142,097	0	0	0	3,8239
5	0 HIP9	Combination	Max	-94,57	570,975	0	0	0	283,381
5	0,47 HIP9	Combination	Max	-94,57	571,028	0	0	0	33,7347
5	0 HIP9	Combination	Min	-109,209	140,5	0	0	0	89,7786
5	0,47 HIP9	Combination	Min	-109,209	140,553	0	0	0	5,4754
5	0 HIP10	Combination		-93,96	99,528	0	0	0	69,9489
5	0,47 HIP10	Combination		-93,96	104,816	0	0	0	21,928
5	0 HIP11	Combination		-71,072	104,347	0	0	0	64,9456
5	0,47 HIP11	Combination		-71,072	104,065	0	0	0	15,9687
5	0 HIP12	Combination		-64,047	99,501	0	0	0	62,9866
5	0,47 HIP12	Combination		-64,047	104,788	0	0	0	14,9788
5	0 HIP13	Combination		-71,006	103,53	0	0	0	64,7379
5	0,47 HIP13	Combination		-71,006	104,188	0	0	0	15,9242
5	0 HIP14	Combination		-63,813	96,639	0	0	0	62,2594
5	0,47 HIP14	Combination		-63,813	105,217	0	0	0	14,8232
5	0 HIP15	Combination	Max	-63,529	391,33	0	0	0	194,0139
5	0,47 HIP15	Combination	Max	-63,529	391,048	0	0	0	22,6378
5	0 HIP15	Combination	Min	-73,288	104,347	0	0	0	64,9456
5	0,47 HIP15	Combination	Min	-73,288	104,065	0	0	0	3,7983
5	0 HIP16	Combination	Max	-63,462	390,513	0	0	0	193,8061
5	0,47 HIP16	Combination	Max	-63,462	391,171	0	0	0	22,5934
5	0 HIP16	Combination	Min	-73,221	103,53	0	0	0	64,7379
5	0,47 HIP16	Combination	Min	-73,221	104,188	0	0	0	3,7539
5	0 HIP17	Combination	Max	-56,269	383,623	0	0	0	191,3276
5	0,47 HIP17	Combination	Max	-56,269	392,2	0	0	0	21,4923
5	0 HIP17	Combination	Min	-66,029	96,639	0	0	0	62,2594
5	0,47 HIP17	Combination	Min	-66,029	105,217	0	0	0	2,6528



## “Proyecto de las estructuras para la conexión peatonal de los andenes de la estación de Font de Sant Lluís en Valencia”.

5	0 HIP18	Combination	Max	-63,462	390,513	0	0	0	193,8061
5	0,47 HIP18	Combination	Max	-63,462	391,171	0	0	0	22,5934
5	0 HIP18	Combination	Min	-73,221	103,53	0	0	0	64,7379
5	0,47 HIP18	Combination	Min	-73,221	104,188	0	0	0	3,7539
5	0 HIP19	Combination		-71,072	104,347	0	0	0	64,9456
5	0,47 HIP19	Combination		-71,072	104,065	0	0	0	15,9687
5	0 ELU	Combination	Max	-6,975	572,051	0	0	0	283,381
5	0,47 ELU	Combination	Max	-6,975	572,572	0	0	0	33,7347
5	0 ELU	Combination	Min	-109,209	66,709	0	0	0	35,8573
5	0,47 ELU	Combination	Min	-109,209	73,847	0	0	0	-1,4138
5	0 ELS-DEF	Combination	Max	-56,269	391,33	0	0	0	194,0139
5	0,47 ELS-DEF	Combination	Max	-56,269	392,2	0	0	0	22,6378
5	0 ELS-DEF	Combination	Min	-73,288	96,639	0	0	0	62,2594
5	0,47 ELS-DEF	Combination	Min	-73,288	104,065	0	0	0	2,6528
5	0 HIP20	Combination		-76,69	104,356	0	0	0	67,0753
5	0,47 HIP20	Combination		-76,69	104,074	0	0	0	18,0944
5	0 HIP21	Combination		-76,656	103,947	0	0	0	66,9714
5	0,47 HIP21	Combination		-76,656	104,135	0	0	0	18,0721
5	0 ENV-SISMO	Combination	Max	-76,656	104,356	0	0	0	67,0753
5	0,47 ENV-SISMO	Combination	Max	-76,656	104,135	0	0	0	18,0944
5	0 ENV-SISMO	Combination	Min	-76,69	103,947	0	0	0	66,9714
5	0,47 ENV-SISMO	Combination	Min	-76,69	104,074	0	0	0	18,0721
5	0 HIP22	Combination		-70,972	103,121	0	0	0	64,634
5	0,47 HIP22	Combination		-70,972	104,249	0	0	0	15,902
5	0 HIP23	Combination		-63,946	98,274	0	0	0	62,675
5	0,47 HIP23	Combination		-63,946	104,972	0	0	0	14,9121
5	0 ELS-FIS	Combination	Max	-63,946	103,121	0	0	0	64,634
5	0,47 ELS-FIS	Combination	Max	-63,946	104,972	0	0	0	15,902
5	0 ELS-FIS	Combination	Min	-70,972	98,274	0	0	0	62,675
5	0,47 ELS-FIS	Combination	Min	-70,972	104,249	0	0	0	14,9121
5	0 ENV-TREN	Combination	Max	7,544	286,983	0	0	0	129,0682
5	0,47 ENV-TREN	Combination	Max	7,544	286,983	0	0	0	6,6691
5	0 ENV-TREN	Combination	Min	-2,216	0	0	0	0	0
5	0,47 ENV-TREN	Combination	Min	-2,216	0	0	0	0	-12,1704
6	0 PP	NonStatic	Max	-5,167	38,019	0	0	0	2,0939
6	0,445 PP	NonStatic	Max	-5,167	43,026	0	0	0	-15,9387
6	0 PP	NonStatic	Min	-5,167	38,019	0	0	0	2,0939
6	0,445 PP	NonStatic	Min	-5,167	43,026	0	0	0	-15,9387
6	0 CM CARRIL UIC-54	NonStatic	Max	0,014	0,57	0	0	0	-0,0149
6	0,445 CM CARRIL UIC-54	NonStatic	Max	0,014	0,57	0	0	0	-0,2686
6	0 CM CARRIL UIC-54	NonStatic	Min	0,014	0,57	0	0	0	-0,0149
6	0,445 CM CARRIL UIC-54	NonStatic	Min	0,014	0,57	0	0	0	-0,2686
6	0 CM TRAVIESAS	NonStatic	Max	0,063	2,595	0	0	0	-0,0677
6	0,445 CM TRAVIESAS	NonStatic	Max	0,063	2,595	0	0	0	-1,2223
6	0 CM TRAVIESAS	NonStatic	Min	0,063	2,595	0	0	0	-0,0677
6	0,445 CM TRAVIESAS	NonStatic	Min	0,063	2,595	0	0	0	-1,2223
6	0 CM TIERRAS + BALASTO	NonStatic	Max	0,87	35,668	0	0	0	-0,931
6	0,445 CM TIERRAS + BALASTO	NonStatic	Max	0,87	35,668	0	0	0	-16,8032
6	0 CM TIERRAS + BALASTO	NonStatic	Min	0,87	35,668	0	0	0	-0,931
6	0,445 CM TIERRAS + BALASTO	NonStatic	Min	0,87	35,668	0	0	0	-16,8032
6	0 CM SUELO SOLERA	NonStatic	Max	0,067	-0,695	0	0	0	-0,0444
6	0,445 CM SUELO SOLERA	NonStatic	Max	0,067	0,195	0	0	0	0,067
6	0 CM SUELO SOLERA	NonStatic	Min	0,067	-0,695	0	0	0	-0,0444
6	0,445 CM SUELO SOLERA	NonStatic	Min	0,067	0,195	0	0	0	0,067
6	0 SBC SUELO SOLERA	NonStatic	Max	0,167	-1,738	0	0	0	-0,1111
6	0,445 SBC SUELO SOLERA	NonStatic	Max	0,167	0,487	0	0	0	0,1674
6	0 SBC SUELO SOLERA	NonStatic	Min	0,167	-1,738	0	0	0	-0,1111
6	0,445 SBC SUELO SOLERA	NonStatic	Min	0,167	0,487	0	0	0	0,1674
6	0 EMPUJE TIERRAS	NonStatic	Max	-59,827	0,076	0	0	0	13,8985
6	0,445 EMPUJE TIERRAS	NonStatic	Max	-59,827	0,076	0	0	0	13,8645
6	0 EMPUJE TIERRAS	NonStatic	Min	-59,827	0,076	0	0	0	13,8985
6	0,445 EMPUJE TIERRAS	NonStatic	Min	-59,827	0,076	0	0	0	13,8645
6	0 EMPUJE AGUA	LinStatic		-7,026	4,124	0	0	0	0,9899
6	0,445 EMPUJE AGUA	LinStatic		-7,026	-1,149	0	0	0	0,328
6	0 SISMO	NonStatic	Max	-5,617	0,012	0	0	0	2,1257
6	0,445 SISMO	NonStatic	Max	-5,617	0,012	0	0	0	2,1205
6	0 SISMO	NonStatic	Min	-5,617	0,012	0	0	0	2,1257
6	0,445 SISMO	NonStatic	Min	-5,617	0,012	0	0	0	2,1205
6	0 MODAL	LinModal	Mode	-94,638	31,697	0	0	0	163,7333
6	0,445 MODAL	LinModal	Mode	-94,638	31,697	0	0	0	149,6282
6	0 MODAL	LinModal	Mode	-38,831	304,006	0	0	0	16,6974
6	0,445 MODAL	LinModal	Mode	-38,831	304,006	0	0	0	-118,5853
6	0 MODAL	LinModal	Mode	-13966,023	9461,75	0	0	0	19302,7723



6	0,445 MODAL	LinModal	Mode	-13966,023	9461,75	0	0	0	15092,2936
6	0 MODAL	LinModal	Mode	19437,748	31557,474	0	0	0	-4944,2823
6	0,445 MODAL	LinModal	Mode	19437,748	31557,474	0	0	0	-18987,3582
6	0 MODAL	LinModal	Mode	-28087,627	87889,268	0	0	0	27427,4738
6	0,445 MODAL	LinModal	Mode	-28087,627	87889,268	0	0	0	-11683,2506
6	0 MODAL	LinModal	Mode	-136800,347	9744,976	0	0	0	56582,1892
6	0,445 MODAL	LinModal	Mode	-136800,347	9744,976	0	0	0	52245,6749
6	0 MODAL	LinModal	Mode	166217,695	-94253,638	0	0	0	-60448,7849
6	0,445 MODAL	LinModal	Mode	166217,695	-94253,638	0	0	0	-18505,916
6	0 MODAL	LinModal	Mode	-243370,762	134840,574	0	0	0	6584,3591
6	0,445 MODAL	LinModal	Mode	-243370,762	134840,574	0	0	0	-53419,6964
6	0 MODAL	LinModal	Mode	-5005,081	304411,228	0	0	0	-56554,2642
6	0,445 MODAL	LinModal	Mode	-5005,081	304411,228	0	0	0	-192017,261
6	0 MODAL	LinModal	Mode	-690093,483	82201,067	0	0	0	104570,026
6	0,445 MODAL	LinModal	Mode	-690093,483	82201,067	0	0	0	67990,5511
6	0 MODAL	LinModal	Mode	-1044469,75	253523,639	0	0	0	63045,8288
6	0,445 MODAL	LinModal	Mode	-1044469,75	253523,639	0	0	0	-49772,1905
6	0 MODAL	LinModal	Mode	169132,241	-123269,408	0	0	0	195200,6814
6	0,445 MODAL	LinModal	Mode	169132,241	-123269,408	0	0	0	250055,568
6	0 HIP1	Combination		-6,975	51,326	0	0	0	2,8267
6	0,445 HIP1	Combination		-6,975	58,085	0	0	0	-21,5172
6	0 HIP2	Combination		-95,437	103,865	0	0	0	22,3061
6	0,445 HIP2	Combination		-95,437	110,623	0	0	0	-25,4175
6	0 HIP3	Combination		-105,976	110,051	0	0	0	23,791
6	0,445 HIP3	Combination		-105,976	108,899	0	0	0	-24,9255
6	0 HIP4	Combination		-95,347	102,926	0	0	0	22,2461
6	0,445 HIP4	Combination		-95,347	110,886	0	0	0	-25,3271
6	0 HIP5	Combination		-105,635	106,504	0	0	0	23,5643
6	0,445 HIP5	Combination		-105,635	109,892	0	0	0	-24,5839
6	0 HIP6	Combination	Max	-64,747	444,132	0	0	0	26,8454
6	0,445 HIP6	Combination	Max	-64,747	442,981	0	0	0	-31,3038
6	0 HIP6	Combination	Min	-79,386	110,013	0	0	0	-1,4138
6	0,445 HIP6	Combination	Min	-79,386	108,861	0	0	0	-189,7898
6	0 HIP7	Combination	Max	-94,57	443,232	0	0	0	33,7347
6	0,445 HIP7	Combination	Max	-94,57	443,282	0	0	0	-24,2811
6	0 HIP7	Combination	Min	-109,209	109,112	0	0	0	5,4754
6	0,445 HIP7	Combination	Min	-109,209	109,162	0	0	0	-182,7671
6	0 HIP8	Combination	Max	-83,781	434,438	0	0	0	32,0831
6	0,445 HIP8	Combination	Max	-83,781	445,736	0	0	0	-24,522
6	0 HIP8	Combination	Min	-98,42	100,318	0	0	0	3,8239
6	0,445 HIP8	Combination	Min	-98,42	111,616	0	0	0	-183,008
6	0 HIP9	Combination	Max	-94,57	443,232	0	0	0	33,7347
6	0,445 HIP9	Combination	Max	-94,57	443,282	0	0	0	-24,2811
6	0 HIP9	Combination	Min	-109,209	109,112	0	0	0	5,4754
6	0,445 HIP9	Combination	Min	-109,209	109,162	0	0	0	-182,7671
6	0 HIP10	Combination		-93,96	76,967	0	0	0	21,928
6	0,445 HIP10	Combination		-93,96	81,973	0	0	0	-13,436
6	0 HIP11	Combination		-71,072	81,052	0	0	0	15,9687
6	0,445 HIP11	Combination		-71,072	80,785	0	0	0	-20,0403
6	0 HIP12	Combination		-64,047	76,928	0	0	0	14,9788
6	0,445 HIP12	Combination		-64,047	81,935	0	0	0	-20,3683
6	0 HIP13	Combination		-71,006	80,357	0	0	0	15,9242
6	0,445 HIP13	Combination		-71,006	80,98	0	0	0	-19,9733
6	0 HIP14	Combination		-63,813	74,495	0	0	0	14,8232
6	0,445 HIP14	Combination		-63,813	82,616	0	0	0	-20,1339
6	0 HIP15	Combination	Max	-63,529	303,799	0	0	0	22,6378
6	0,445 HIP15	Combination	Max	-63,529	303,532	0	0	0	-19,671
6	0 HIP15	Combination	Min	-73,288	81,052	0	0	0	3,7983
6	0,445 HIP15	Combination	Min	-73,288	80,785	0	0	0	-125,3283
6	0 HIP16	Combination	Max	-63,462	303,104	0	0	0	22,5934
6	0,445 HIP16	Combination	Max	-63,462	303,727	0	0	0	-19,604
6	0 HIP16	Combination	Min	-73,221	80,357	0	0	0	3,7539
6	0,445 HIP16	Combination	Min	-73,221	80,98	0	0	0	-125,2613
6	0 HIP17	Combination	Max	-56,269	297,241	0	0	0	21,4923
6	0,445 HIP17	Combination	Max	-56,269	305,362	0	0	0	-19,7646
6	0 HIP17	Combination	Min	-66,029	74,495	0	0	0	2,6528
6	0,445 HIP17	Combination	Min	-66,029	82,616	0	0	0	-125,4219
6	0 HIP18	Combination	Max	-63,462	303,104	0	0	0	22,5934
6	0,445 HIP18	Combination	Max	-63,462	303,727	0	0	0	-19,604
6	0 HIP18	Combination	Min	-73,221	80,357	0	0	0	3,7539
6	0,445 HIP18	Combination	Min	-73,221	80,98	0	0	0	-125,2613
6	0 HIP19	Combination		-71,072	81,052	0	0	0	15,9687
6	0,445 HIP19	Combination		-71,072	80,785	0	0	0	-20,0403



# “Proyecto de las estructuras para la conexión peatonal de los andenes de la estación de Font de Sant Lluís en Valencia”.

6	0 ELU	Combination	Max	-6,975	444,132	0	0	0	33,7347
6	0,445 ELU	Combination	Max	-6,975	445,736	0	0	0	-13,436
6	0 ELU	Combination	Min	-109,209	51,326	0	0	0	-1,4138
6	0,445 ELU	Combination	Min	-109,209	58,085	0	0	0	-189,7898
6	0 ELS-DEF	Combination	Max	-56,269	303,799	0	0	0	22,6378
6	0,445 ELS-DEF	Combination	Max	-56,269	305,362	0	0	0	-19,604
6	0 ELS-DEF	Combination	Min	-73,288	74,495	0	0	0	2,6528
6	0,445 ELS-DEF	Combination	Min	-73,288	80,785	0	0	0	-125,4219
6	0 HIP20	Combination		-76,69	81,064	0	0	0	18,0944
6	0,445 HIP20	Combination		-76,69	80,797	0	0	0	-17,9198
6	0 HIP21	Combination		-76,656	80,716	0	0	0	18,0721
6	0,445 HIP21	Combination		-76,656	80,894	0	0	0	-17,8863
6	0 ENV-SISMO	Combination	Max	-76,656	81,064	0	0	0	18,0944
6	0,445 ENV-SISMO	Combination	Max	-76,656	80,894	0	0	0	-17,8863
6	0 ENV-SISMO	Combination	Min	-76,69	80,716	0	0	0	18,0721
6	0,445 ENV-SISMO	Combination	Min	-76,69	80,797	0	0	0	-17,9198
6	0 HIP22	Combination		-70,972	80,009	0	0	0	15,902
6	0,445 HIP22	Combination		-70,972	81,077	0	0	0	-19,9398
6	0 HIP23	Combination		-63,946	75,885	0	0	0	14,9121
6	0,445 HIP23	Combination		-63,946	82,227	0	0	0	-20,2678
6	0 ELS-FIS	Combination	Max	-63,946	80,009	0	0	0	15,902
6	0,445 ELS-FIS	Combination	Max	-63,946	82,227	0	0	0	-19,9398
6	0 ELS-FIS	Combination	Min	-70,972	75,885	0	0	0	14,9121
6	0,445 ELS-FIS	Combination	Min	-70,972	81,077	0	0	0	-20,2678
6	0 ENV-TREN	Combination	Max	7,544	222,746	0	0	0	6,6691
6	0,445 ENV-TREN	Combination	Max	7,544	222,746	0	0	0	0,3693
6	0 ENV-TREN	Combination	Min	-2,216	0	0	0	0	-12,1704
6	0,445 ENV-TREN	Combination	Min	-2,216	0	0	0	0	-105,288
7	0 PP	NonStatic	Max	-5,167	26,396	0	0	0	-15,9387
7	0,445 PP	NonStatic	Max	-5,167	31,402	0	0	0	-28,7988
7	0 PP	NonStatic	Min	-5,167	26,396	0	0	0	-15,9387
7	0,445 PP	NonStatic	Min	-5,167	31,402	0	0	0	-28,7988
7	0 CM CARRIL UIC-54	NonStatic	Max	0,014	0,407	0	0	0	-0,2686
7	0,445 CM CARRIL UIC-54	NonStatic	Max	0,014	0,407	0	0	0	-0,4496
7	0 CM CARRIL UIC-54	NonStatic	Min	0,014	0,407	0	0	0	-0,2686
7	0,445 CM CARRIL UIC-54	NonStatic	Min	0,014	0,407	0	0	0	-0,4496
7	0 CM TRAVIESAS	NonStatic	Max	0,063	1,85	0	0	0	-1,2223
7	0,445 CM TRAVIESAS	NonStatic	Max	0,063	1,85	0	0	0	-2,0456
7	0 CM TRAVIESAS	NonStatic	Min	0,063	1,85	0	0	0	-1,2223
7	0,445 CM TRAVIESAS	NonStatic	Min	0,063	1,85	0	0	0	-2,0456
7	0 CM TIERRAS + BALASTO	NonStatic	Max	0,87	25,433	0	0	0	-16,8032
7	0,445 CM TIERRAS + BALASTO	NonStatic	Max	0,87	25,433	0	0	0	-28,121
7	0 CM TIERRAS + BALASTO	NonStatic	Min	0,87	25,433	0	0	0	-16,8032
7	0,445 CM TIERRAS + BALASTO	NonStatic	Min	0,87	25,433	0	0	0	-28,121
7	0 CM SUELO SOLERA	NonStatic	Max	0,067	-0,624	0	0	0	0,067
7	0,445 CM SUELO SOLERA	NonStatic	Max	0,067	0,266	0	0	0	0,1464
7	0 CM SUELO SOLERA	NonStatic	Min	0,067	-0,624	0	0	0	0,067
7	0,445 CM SUELO SOLERA	NonStatic	Min	0,067	0,266	0	0	0	0,1464
7	0 SBC SUELO SOLERA	NonStatic	Max	0,167	-1,559	0	0	0	0,1674
7	0,445 SBC SUELO SOLERA	NonStatic	Max	0,167	0,666	0	0	0	0,366
7	0 SBC SUELO SOLERA	NonStatic	Min	0,167	-1,559	0	0	0	0,1674
7	0,445 SBC SUELO SOLERA	NonStatic	Min	0,167	0,666	0	0	0	0,366
7	0 EMPUJE TIERRAS	NonStatic	Max	-59,827	0,072	0	0	0	13,8645
7	0,445 EMPUJE TIERRAS	NonStatic	Max	-59,827	0,072	0	0	0	13,8324
7	0 EMPUJE TIERRAS	NonStatic	Min	-59,827	0,072	0	0	0	13,8645
7	0,445 EMPUJE TIERRAS	NonStatic	Min	-59,827	0,072	0	0	0	13,8324
7	0 EMPUJE AGUA	LinStatic		-7,026	3,698	0	0	0	0,328
7	0,445 EMPUJE AGUA	LinStatic		-7,026	-1,575	0	0	0	-0,1444
7	0 SISMO	NonStatic	Max	-5,617	0,011	0	0	0	2,1205
7	0,445 SISMO	NonStatic	Max	-5,617	0,011	0	0	0	2,1156
7	0 SISMO	NonStatic	Min	-5,617	0,011	0	0	0	2,1205
7	0,445 SISMO	NonStatic	Min	-5,617	0,011	0	0	0	2,1156
7	0 MODAL	LinModal	Mode	-94,638	83,4	0	0	0	149,6282
7	0,445 MODAL	LinModal	Mode	-94,638	83,4	0	0	0	112,515
7	0 MODAL	LinModal	Mode	-38,831	216,908	0	0	0	-118,5853
7	0,445 MODAL	LinModal	Mode	-38,831	216,908	0	0	0	-215,1093
7	0 MODAL	LinModal	Mode	-13977,096	10613,075	0	0	0	15092,2936
7	0,445 MODAL	LinModal	Mode	-13977,096	10613,075	0	0	0	10369,4753
7	0 MODAL	LinModal	Mode	19500,732	25062,999	0	0	0	-18987,3582
7	0,445 MODAL	LinModal	Mode	19500,732	25062,999	0	0	0	-30140,3929
7	0 MODAL	LinModal	Mode	-28376,358	77431,839	0	0	0	-11683,2506
7	0,445 MODAL	LinModal	Mode	-28376,358	77431,839	0	0	0	-46140,4192
7	0 MODAL	LinModal	Mode	-138623,664	26225,467	0	0	0	52245,6749

7	0,445 MODAL	LinModal	Mode	-138623,664	26225,467	0	0	0	40575,342
7	0 MODAL	LinModal	Mode	168986,345	-81033,286	0	0	0	-18505,916
7	0,445 MODAL	LinModal	Mode	168986,345	-81033,286	0	0	0	17553,8961
7	0 MODAL	LinModal	Mode	-256841,953	40858,988	0	0	0	-53419,6964
7	0,445 MODAL	LinModal	Mode	-256841,953	40858,988	0	0	0	-71601,9458
7	0 MODAL	LinModal	Mode	-5295,855	75972,953	0	0	0	-192017,261
7	0,445 MODAL	LinModal	Mode	-5295,855	75972,953	0	0	0	-225825,225
7	0 MODAL	LinModal	Mode	-756125,414	139437,412	0	0	0	67990,5511
7	0,445 MODAL	LinModal	Mode	-756125,414	139437,412	0	0	0	5940,9029
7	0 MODAL	LinModal	Mode	-1189321,33	133775,693	0	0	0	-49772,1905
7	0,445 MODAL	LinModal	Mode	-1189321,33	133775,693	0	0	0	-109302,374
7	0 MODAL	LinModal	Mode	203117,42	404027,819	0	0	0	250055,568
7	0,445 MODAL	LinModal	Mode	203117,42	404027,819	0	0	0	70263,1887
7	0 HIP1	Combination		-6,975	35,635	0	0	0	-21,5172
7	0,445 HIP1	Combination		-6,975	42,393	0	0	0	-38,8784
7	0 HIP2	Combination		-95,437	73,125	0	0	0	-25,4175
7	0,445 HIP2	Combination		-95,437	79,883	0	0	0	-59,4617
7	0 HIP3	Combination		-105,976	78,672	0	0	0	-24,9255
7	0,445 HIP3	Combination		-105,976	77,521	0	0	0	-59,6784
7	0 HIP4	Combination		-95,347	72,283	0	0	0	-25,3271
7	0,445 HIP4	Combination		-95,347	80,243	0	0	0	-59,2641
7	0 HIP5	Combination		-105,635	75,492	0	0	0	-24,5839
7	0,445 HIP5	Combination		-105,635	78,88	0	0	0	-58,9317
7	0 HIP6	Combination	Max	-64,747	316,883	0	0	0	-31,3038
7	0,445 HIP6	Combination	Max	-64,747	315,731	0	0	0	-66,5946
7	0 HIP6	Combination	Min	-79,386	78,636	0	0	0	-189,7898
7	0,445 HIP6	Combination	Min	-79,386	77,485	0	0	0	-330,0185
7	0 HIP7	Combination	Max	-94,57	316,077	0	0	0	-24,2811
7	0,445 HIP7	Combination	Max	-94,57	316,127	0	0	0	-59,4807
7	0 HIP7	Combination	Min	-109,209	77,83	0	0	0	-182,7671
7	0,445 HIP7	Combination	Min	-109,209	77,88	0	0	0	-322,9046
7	0 HIP8	Combination	Max	-83,781	308,191	0	0	0	-24,522
7	0,445 HIP8	Combination	Max	-83,781	319,489	0	0	0	-58,715
7	0 HIP8	Combination	Min	-98,42	69,945	0	0	0	-183,008
7	0,445 HIP8	Combination	Min	-98,42	81,242	0	0	0	-322,1389
7	0 HIP9	Combination	Max	-94,57	316,077	0	0	0	-24,2811
7	0,445 HIP9	Combination	Max	-94,57	316,127	0	0	0	-59,4807
7	0 HIP9	Combination	Min	-109,209	77,83	0	0	0	-182,7671
7	0,445 HIP9	Combination	Min	-109,209	77,88	0	0	0	-322,9046
7	0 HIP10	Combination		-93,96	54,195	0	0	0	-13,436
7	0,445 HIP10	Combination		-93,96	59,201	0	0	0	-38,6665
7	0 HIP11	Combination		-71,072	57,857	0	0	0	-20,0403
7	0,445 HIP11	Combination		-71,072	57,59	0	0	0	-45,7271
7	0 HIP12	Combination		-64,047	54,158	0	0	0	-20,3683
7	0,445 HIP12	Combination		-64,047	59,165	0	0	0	-45,5827
7	0 HIP13	Combination		-71,006	57,233	0	0	0	-19,9733
7	0,445 HIP13	Combination		-71,006	57,856	0	0	0	-45,5807
7	0 HIP14	Combination		-63,813	51,976	0	0	0	-20,1339
7	0,445 HIP14	Combination		-63,813	60,097	0	0	0	-45,0702
7	0 HIP15	Combination	Max	-63,529	216,688	0	0	0	-19,671
7	0,445 HIP15	Combination	Max	-63,529	216,421	0	0	0	-45,7271
7	0 HIP15	Combination	Min	-73,288	57,857	0	0	0	-125,3283
7	0,445 HIP15	Combination	Min	-73,288	57,59	0	0	0	-221,343
7	0 HIP16	Combination	Max	-63,462	216,064	0	0	0	-19,604
7	0,445 HIP16	Combination	Max	-63,462	216,687	0	0	0	-45,5807
7	0 HIP16	Combination	Min	-73,221	57,233	0	0	0	-125,2613
7	0,445 HIP16	Combination	Min	-73,221	57,856	0	0	0	-221,1966
7	0 HIP17	Combination	Max	-56,269	210,807	0	0	0	-19,7646
7	0,445 HIP17	Combination	Max	-56,269	218,929	0	0	0	-45,0702
7	0 HIP17	Combination	Min	-66,029	51,976	0	0	0	-125,4219
7	0,445 HIP17	Combination	Min	-66,029	60,097	0	0	0	-220,6861
7	0 HIP18	Combination	Max	-63,462	216,064	0	0	0	-19,604
7	0,445 HIP18	Combination	Max	-63,462	216,687	0	0	0	-45,5807
7	0 HIP18	Combination	Min	-73,221	57,233	0	0	0	-125,2613
7	0,445 HIP18	Combination	Min	-73,221	57,856	0	0	0	-221,1966
7	0 HIP19	Combination		-71,072	57,857	0	0	0	-20,0403
7	0,445 HIP19	Combination		-71,072	57,59	0	0	0	-45,7271
7	0 ELU	Combination	Max	-6,975	316,883	0	0	0	-13,436
7	0,445 ELU	Combination	Max	-6,975	319,489	0	0	0	-38,6665
7	0 ELU	Combination	Min	-109,209	35,635	0	0	0	-189,7898
7	0,445 ELU	Combination	Min	-109,209	42,393	0	0	0	-330,0185
7	0 ELS-DEF	Combination	Max	-56,269	216,688	0	0	0	-19,604
7	0,445 ELS-DEF	Combination	Max	-56,269	218,929	0	0	0	-45,0702





## “Proyecto de las estructuras para la conexión peatonal de los andenes de la estación de Font de Sant Lluís en Valencia”.

7	0 ELS-DEF	Combination	Min	-73,288	51,976	0	0	0	-125,4219
7	0,445 ELS-DEF	Combination	Min	-73,288	57,59	0	0	0	-221,343
7	0 HIP20	Combination		-76,69	57,868	0	0	0	-17,9198
7	0,445 HIP20	Combination		-76,69	57,601	0	0	0	-43,6115
7	0 HIP21	Combination		-76,656	57,556	0	0	0	-17,8863
7	0,445 HIP21	Combination		-76,656	57,734	0	0	0	-43,5383
7	0 ENV-SISMO	Combination	Max	-76,656	57,868	0	0	0	-17,8863
7	0,445 ENV-SISMO	Combination	Max	-76,656	57,734	0	0	0	-43,5383
7	0 ENV-SISMO	Combination	Min	-76,69	57,556	0	0	0	-17,9198
7	0,445 ENV-SISMO	Combination	Min	-76,69	57,601	0	0	0	-43,6115
7	0 HIP22	Combination		-70,972	56,921	0	0	0	-19,9398
7	0,445 HIP22	Combination		-70,972	57,989	0	0	0	-45,5075
7	0 HIP23	Combination		-63,946	53,223	0	0	0	-20,2678
7	0,445 HIP23	Combination		-63,946	59,564	0	0	0	-45,363
7	0 ELS-FIS	Combination	Max	-63,946	56,921	0	0	0	-19,9398
7	0,445 ELS-FIS	Combination	Max	-63,946	59,564	0	0	0	-45,363
7	0 ELS-FIS	Combination	Min	-70,972	53,223	0	0	0	-20,2678
7	0,445 ELS-FIS	Combination	Min	-70,972	57,989	0	0	0	-45,5075
7	0 ENV-TREN	Combination	Max	7,544	158,831	0	0	0	0,3693
7	0,445 ENV-TREN	Combination	Max	7,544	158,831	0	0	0	0
7	0 ENV-TREN	Combination	Min	-2,216	0	0	0	0	-105,288
7	0,445 ENV-TREN	Combination	Min	-2,216	0	0	0	0	-175,6159
8	0 PP	NonStatic	Max	-5,167	14,817	0	0	0	-28,7988
8	0,445 PP	NonStatic	Max	-5,167	19,823	0	0	0	-36,5063
8	0 PP	NonStatic	Min	-5,167	14,817	0	0	0	-28,7988
8	0,445 PP	NonStatic	Min	-5,167	19,823	0	0	0	-36,5063
8	0 CM CARRIL UIC-54	NonStatic	Max	0,014	0,244	0	0	0	-0,4496
8	0,445 CM CARRIL UIC-54	NonStatic	Max	0,014	0,244	0	0	0	-0,558
8	0 CM CARRIL UIC-54	NonStatic	Min	0,014	0,244	0	0	0	-0,4496
8	0,445 CM CARRIL UIC-54	NonStatic	Min	0,014	0,244	0	0	0	-0,558
8	0 CM TRAVIESAS	NonStatic	Max	0,063	1,109	0	0	0	-2,0456
8	0,445 CM TRAVIESAS	NonStatic	Max	0,063	1,109	0	0	0	-2,5389
8	0 CM TRAVIESAS	NonStatic	Min	0,063	1,109	0	0	0	-2,0456
8	0,445 CM TRAVIESAS	NonStatic	Min	0,063	1,109	0	0	0	-2,5389
8	0 CM TIERRAS + BALASTO	NonStatic	Max	0,87	15,241	0	0	0	-28,121
8	0,445 CM TIERRAS + BALASTO	NonStatic	Max	0,87	15,241	0	0	0	-34,9034
8	0 CM TIERRAS + BALASTO	NonStatic	Min	0,87	15,241	0	0	0	-28,121
8	0,445 CM TIERRAS + BALASTO	NonStatic	Min	0,87	15,241	0	0	0	-34,9034
8	0 CM SUELO SOLERA	NonStatic	Max	0,067	-0,552	0	0	0	0,1464
8	0,445 CM SUELO SOLERA	NonStatic	Max	0,067	0,338	0	0	0	0,194
8	0 CM SUELO SOLERA	NonStatic	Min	0,067	-0,552	0	0	0	0,1464
8	0,445 CM SUELO SOLERA	NonStatic	Min	0,067	0,338	0	0	0	0,194
8	0 SBC SUELO SOLERA	NonStatic	Max	0,167	-1,38	0	0	0	0,366
8	0,445 SBC SUELO SOLERA	NonStatic	Max	0,167	0,845	0	0	0	0,4851
8	0 SBC SUELO SOLERA	NonStatic	Min	0,167	-1,38	0	0	0	0,366
8	0,445 SBC SUELO SOLERA	NonStatic	Min	0,167	0,845	0	0	0	0,4851
8	0 EMPUJE TIERRAS	NonStatic	Max	-59,827	0,051	0	0	0	13,8324
8	0,445 EMPUJE TIERRAS	NonStatic	Max	-59,827	0,051	0	0	0	13,8099
8	0 EMPUJE TIERRAS	NonStatic	Min	-59,827	0,051	0	0	0	13,8324
8	0,445 EMPUJE TIERRAS	NonStatic	Min	-59,827	0,051	0	0	0	13,8099
8	0 EMPUJE AGUA	LinStatic		-7,026	3,273	0	0	0	-0,1444
8	0,445 EMPUJE AGUA	LinStatic		-7,026	-2	0	0	0	-0,4278
8	0 SISMO	NonStatic	Max	-5,617	0,007728	0	0	0	2,1156
8	0,445 SISMO	NonStatic	Max	-5,617	0,007728	0	0	0	2,1121
8	0 SISMO	NonStatic	Min	-5,617	0,007728	0	0	0	2,1156
8	0,445 SISMO	NonStatic	Min	-5,617	0,007728	0	0	0	2,1121
8	0 MODAL	LinModal	Mode	-94,639	117,823	0	0	0	112,515
8	0,445 MODAL	LinModal	Mode	-94,639	117,823	0	0	0	60,0838
8	0 MODAL	LinModal	Mode	-38,832	130,042	0	0	0	-215,1093
8	0,445 MODAL	LinModal	Mode	-38,832	130,042	0	0	0	-272,978
8	0 MODAL	LinModal	Mode	-13984,478	11436,667	0	0	0	10369,4753
8	0,445 MODAL	LinModal	Mode	-13984,478	11436,667	0	0	0	5280,1586
8	0 MODAL	LinModal	Mode	19542,759	16113,937	0	0	0	-30140,3929
8	0,445 MODAL	LinModal	Mode	19542,759	16113,937	0	0	0	-37311,095
8	0 MODAL	LinModal	Mode	-28569,397	53033,092	0	0	0	-46140,4192
8	0,445 MODAL	LinModal	Mode	-28569,397	53033,092	0	0	0	-69740,1452
8	0 MODAL	LinModal	Mode	-139843,633	41202,047	0	0	0	40575,342
8	0,445 MODAL	LinModal	Mode	-139843,633	41202,047	0	0	0	22240,4313
8	0 MODAL	LinModal	Mode	170840,502	-55297,973	0	0	0	17553,8961
8	0,445 MODAL	LinModal	Mode	170840,502	-55297,973	0	0	0	42161,4941
8	0 MODAL	LinModal	Mode	-265951,988	-51660,784	0	0	0	-71601,9458
8	0,445 MODAL	LinModal	Mode	-265951,988	-51660,784	0	0	0	-48612,8972
8	0 MODAL	LinModal	Mode	-5492,877	-173381,212	0	0	0	-225825,225

8	0,445 MODAL	LinModal	Mode	-5492,877	-173381,212	0	0	0	-148670,585
8	0 MODAL	LinModal	Mode	-801191,194	131244,506	0	0	0	5940,9029
8	0,445 MODAL	LinModal	Mode	-801191,194	131244,506	0	0	0	-52462,9024
8	0 MODAL	LinModal	Mode	-1289055,14	-53418,662	0	0	0	-109302,374
8	0,445 MODAL	LinModal	Mode	-1289055,14	-53418,662	0	0	0	-85531,0693
8	0 MODAL	LinModal	Mode	226781,612	565215,057	0	0	0	70263,1887
8	0,445 MODAL	LinModal	Mode	226781,612	565215,057	0	0	0	-181257,512
8	0 HIP1	Combination		-6,975	20,003	0	0	0	-38,8784
8	0,445 HIP1	Combination		-6,975	26,761	0	0	0	-49,2834
8	0 HIP2	Combination	Max	-95,437	42,48	0	0	0	-59,4617
8	0,445 HIP2	Combination		-95,437	49,239	0	0	0	-79,8691
8	0 HIP3	Combination	Min	-105,976	47,39	0	0	0	-59,6784
8	0,445 HIP3	Combination		-105,976	46,239	0	0	0	-80,5108
8	0 HIP4	Combination	Max	-95,347	41,735	0	0	0	-59,2641
8	0,445 HIP4	Combination		-95,347	49,695	0	0	0	-79,6072
8	0 HIP5	Combination	Min	-105,635	44,575	0	0	0	-58,9317
8	0,445 HIP5	Combination		-105,635	47,962	0	0	0	-79,5212
8	0 HIP6	Combination	Max	-64,747	190,138	0	0	0	-66,5946
8	0,445 HIP6	Combination	Max	-64,747	188,986	0	0	0	-87,4157
8	0 HIP6	Combination	Min	-79,386	47,365	0	0	0	-330,0185
8	0,445 HIP6	Combination	Min	-79,386	46,213	0	0	0	-414,3737
8	0 HIP7	Combination	Max	-94,57	189,418	0	0	0	-59,4807
8	0,445 HIP7	Combination	Max	-94,57	189,468	0	0	0	-80,2488
8	0 HIP7	Combination	Min	-109,209	46,645	0	0	0	-322,9046
8	0,445 HIP7	Combination	Min	-109,209	46,695	0	0	0	-407,2068
8	0 HIP8	Combination	Max	-83,781	182,438	0	0	0	-58,715
8	0,445 HIP8	Combination	Max	-83,781	193,735	0	0	0	-78,8795
8	0 HIP8	Combination	Min	-98,42	39,665	0	0	0	-322,1389
8	0,445 HIP8	Combination	Min	-98,42	50,962	0	0	0	-405,8375
8	0 HIP9	Combination	Max	-94,57	189,418	0	0	0	-59,4807
8	0,445 HIP9	Combination	Max	-94,57	189,468	0	0	0	-80,2488
8	0 HIP9	Combination	Min	-109,209	46,645	0	0	0	-322,9046
8	0,445 HIP9	Combination	Min	-109,209	46,695	0	0	0	-407,2068
8	0 HIP10	Combination		-93,96	31,486	0	0	0	-38,6665
8	0,445 HIP10	Combination		-93,96	36,493	0	0	0	-53,7918
8	0 HIP11	Combination		-71,072	34,734	0	0	0	-45,7271
8	0,445 HIP11	Combination		-71,072	34,467	0	0	0	-61,1245
8	0 HIP12	Combination		-64,047	31,461	0	0	0	-45,5827
8	0,445 HIP12	Combination		-64,047	36,467	0	0	0	-60,6967
8	0 HIP13	Combination		-71,006	34,182	0	0	0	-45,5807
8	0,445 HIP13	Combination		-71,006	34,805	0	0	0	-60,9305
8	0 HIP14	Combination		-63,813	29,529	0	0	0	-45,0702
8	0,445 HIP14	Combination		-63,813	37,65	0	0	0	-60,0176
8	0 HIP15	Combination	Max	-63,529	129,916	0	0	0	-45,7271
8	0,445 HIP15	Combination	Max	-63,529	129,649	0	0	0	-61,1245
8	0 HIP15	Combination	Min	-73,288	34,734	0	0	0	-221,343
8	0,445 HIP15	Combination	Min	-73,288	34,467	0	0	0	-279,0965
8	0 HIP16	Combination	Max	-63,462	129,364	0	0	0	-45,5807
8	0,445 HIP16	Combination	Max	-63,462	129,987	0	0	0	-60,9305
8	0 HIP16	Combination	Min	-73,221	34,182	0	0	0	-221,1966
8	0,445 HIP16	Combination	Min	-73,221	34,805	0	0	0	-278,9024
8	0 HIP17	Combination	Max	-56,269	124,711	0	0	0	-45,0702
8	0,445 HIP17	Combination	Max	-56,269	132,832	0	0	0	-60,0176
8	0 HIP17	Combination	Min	-66,029	29,529	0	0	0	-220,6861
8	0,445 HIP17	Combination	Min	-66,029	37,65	0	0	0	-277,9896
8	0 HIP18	Combination	Max	-63,462	129,364	0	0	0	-45,5807
8	0,445 HIP18	Combination	Max	-63,462	129,987	0	0	0	-60,9305
8	0 HIP18	Combination	Min	-73,221	34,182	0	0	0	-221,1966
8	0,445 HIP18	Combination	Min	-73,221	34,805	0	0	0	-278,9024
8	0 HIP19	Combination		-71,072	34,734	0	0	0	-45,7271
8	0,445 HIP19	Combination		-71,072	34,467	0	0	0	-61,1245
8	0 ELU	Combination	Max	-6,975	190,138	0	0	0	-38,6665
8	0,445 ELU	Combination	Max	-6,975	193,735	0	0	0	-49,2834
8	0 ELU	Combination	Min	-109,209	20,003	0	0	0	-330,0185
8	0,445 ELU	Combination	Min	-109,209	26,761	0	0	0	-414,3737
8	0 ELS-DEF	Combination	Max	-56,269	129,916	0	0	0	-45,0702
8	0,445 ELS-DEF	Combination	Max	-56,269	132,832	0	0	0	-60,0176
8	0 ELS-DEF	Combination	Min	-73,288	29,529	0	0	0	-221,343
8	0,445 ELS-DEF	Combination	Min	-73,288	34,467	0	0	0	-279,0965
8	0 HIP20	Combination		-76,69	34,742	0	0	0	-43,6115
8	0,445 HIP20	Combination		-76,69	34,475	0	0	0	-59,0124
8	0 HIP21	Combination		-76,656	34,466	0	0	0	-43,5383
8	0,445 HIP21	Combination		-76,656	34,644	0	0	0	-58,9153



“Proyecto de las estructuras para la conexión peatonal de los andenes de la estación de Font de Sant Lluís en Valencia”.

8	0 ENV-SISMO	Combination	Max	-76,656	34,742	0	0	0	-43,5383
8	0,445 ENV-SISMO	Combination	Max	-76,656	34,644	0	0	0	-58,9153
8	0 ENV-SISMO	Combination	Min	-76,69	34,466	0	0	0	-43,6115
8	0,445 ENV-SISMO	Combination	Min	-76,69	34,475	0	0	0	-59,0124
8	0 HIP22	Combination		-70,972	33,906	0	0	0	-45,5075
8	0,445 HIP22	Combination		-70,972	34,974	0	0	0	-60,8334
8	0 HIP23	Combination		-63,946	30,633	0	0	0	-45,363
8	0,445 HIP23	Combination		-63,946	36,974	0	0	0	-60,4057
8	0 ELS-FIS	Combination	Max	-63,946	33,906	0	0	0	-45,363
8	0,445 ELS-FIS	Combination	Max	-63,946	36,974	0	0	0	-60,4057
8	0 ELS-FIS	Combination	Min	-70,972	30,633	0	0	0	-45,5075
8	0,445 ELS-FIS	Combination	Min	-70,972	34,974	0	0	0	-60,8334
8	0 ENV-TREN	Combination	Max	7,544	95,182	0	0	0	0
8	0,445 ENV-TREN	Combination	Max	7,544	95,182	0	0	0	0
8	0 ENV-TREN	Combination	Min	-2,216	0	0	0	0	-175,6159
8	0,445 ENV-TREN	Combination	Min	-2,216	0	0	0	0	-217,972
9	0 PP	NonStatic	Max	-5,167	3,267	0	0	0	-36,5063
9	0,445 PP	NonStatic	Max	-5,167	8,273	0	0	0	-39,0739
9	0 PP	NonStatic	Min	-5,167	3,267	0	0	0	-36,5063
9	0,445 PP	NonStatic	Min	-5,167	8,273	0	0	0	-39,0739
9	0 CM CARRIL UIC-54	NonStatic	Max	0,014	0,081	0	0	0	-0,558
9	0,445 CM CARRIL UIC-54	NonStatic	Max	0,014	0,081	0	0	0	-0,5941
9	0 CM CARRIL UIC-54	NonStatic	Min	0,014	0,081	0	0	0	-0,558
9	0,445 CM CARRIL UIC-54	NonStatic	Min	0,014	0,081	0	0	0	-0,5941
9	0 CM TRAVIESAS	NonStatic	Max	0,063	0,369	0	0	0	-2,5389
9	0,445 CM TRAVIESAS	NonStatic	Max	0,063	0,369	0	0	0	-2,7033
9	0 CM TRAVIESAS	NonStatic	Min	0,063	0,369	0	0	0	-2,5389
9	0,445 CM TRAVIESAS	NonStatic	Min	0,063	0,369	0	0	0	-2,7033
9	0 CM TIERRAS + BALASTO	NonStatic	Max	0,87	5,077	0	0	0	-34,9034
9	0,445 CM TIERRAS + BALASTO	NonStatic	Max	0,87	5,077	0	0	0	-37,1628
9	0 CM TIERRAS + BALASTO	NonStatic	Min	0,87	5,077	0	0	0	-34,9034
9	0,445 CM TIERRAS + BALASTO	NonStatic	Min	0,87	5,077	0	0	0	-37,1628
9	0 CM SUELO SOLERA	NonStatic	Max	0,067	-0,481	0	0	0	0,194
9	0,445 CM SUELO SOLERA	NonStatic	Max	0,067	0,409	0	0	0	0,2099
9	0 CM SUELO SOLERA	NonStatic	Min	0,067	-0,481	0	0	0	0,194
9	0,445 CM SUELO SOLERA	NonStatic	Min	0,067	0,409	0	0	0	0,2099
9	0 SBC SUELO SOLERA	NonStatic	Max	0,167	-1,202	0	0	0	0,4851
9	0,445 SBC SUELO SOLERA	NonStatic	Max	0,167	1,023	0	0	0	0,5248
9	0 SBC SUELO SOLERA	NonStatic	Min	0,167	-1,202	0	0	0	0,4851
9	0,445 SBC SUELO SOLERA	NonStatic	Min	0,167	1,023	0	0	0	0,5248
9	0 EMPUJE TIERRAS	NonStatic	Max	-59,827	0,018	0	0	0	13,8099
9	0,445 EMPUJE TIERRAS	NonStatic	Max	-59,827	0,018	0	0	0	13,8019
9	0 EMPUJE TIERRAS	NonStatic	Min	-59,827	0,018	0	0	0	13,8099
9	0,445 EMPUJE TIERRAS	NonStatic	Min	-59,827	0,018	0	0	0	13,8019
9	0 EMPUJE AGUA	LinStatic		-7,026	2,849	0	0	0	-0,4278
9	0,445 EMPUJE AGUA	LinStatic		-7,026	-2,424	0	0	0	-0,5222
9	0 SISMO	NonStatic	Max	-5,617	0,002758	0	0	0	2,1121
9	0,445 SISMO	NonStatic	Max	-5,617	0,002758	0	0	0	2,1109
9	0 SISMO	NonStatic	Min	-5,617	0,002758	0	0	0	2,1121
9	0,445 SISMO	NonStatic	Min	-5,617	0,002758	0	0	0	2,1109
9	0 MODAL	LinModal	Mode	-94,639	135,02	0	0	0	60,0838
9	0,445 MODAL	LinModal	Mode	-94,639	135,02	0	0	0	4,764E-10
9	0 MODAL	LinModal	Mode	-38,832	43,33	0	0	0	-272,978
9	0,445 MODAL	LinModal	Mode	-38,832	43,33	0	0	0	-292,2596
9	0 MODAL	LinModal	Mode	-13988,17	11865,525	0	0	0	5280,1586
9	0,445 MODAL	LinModal	Mode	-13988,17	11865,525	0	0	0	-0,000004044
9	0 MODAL	LinModal	Mode	19563,784	5557,604	0	0	0	-37311,095
9	0,445 MODAL	LinModal	Mode	19563,784	5557,604	0	0	0	-39784,2288
9	0 MODAL	LinModal	Mode	-28666,07	18848,624	0	0	0	-69740,1452
9	0,445 MODAL	LinModal	Mode	-28666,07	18848,624	0	0	0	-78127,7827
9	0 MODAL	LinModal	Mode	-140454,973	49978,503	0	0	0	22240,4313
9	0,445 MODAL	LinModal	Mode	-140454,973	49978,503	0	0	0	-0,0026
9	0 MODAL	LinModal	Mode	171770,179	-19671,99	0	0	0	42161,4941
9	0,445 MODAL	LinModal	Mode	171770,179	-19671,99	0	0	0	50915,5297
9	0 MODAL	LinModal	Mode	-270545,623	-109242,592	0	0	0	-48612,8972
9	0,445 MODAL	LinModal	Mode	-270545,623	-109242,592	0	0	0	0,0563
9	0 MODAL	LinModal	Mode	-5592,246	-334091,488	0	0	0	-148670,585
9	0,445 MODAL	LinModal	Mode	-5592,246	-334091,488	0	0	0	0,1268
9	0 MODAL	LinModal	Mode	-824040,819	53493,393	0	0	0	-52462,9024
9	0,445 MODAL	LinModal	Mode	-824040,819	53493,393	0	0	0	-76267,4622
9	0 MODAL	LinModal	Mode	-1339886,88	-192204,898	0	0	0	-85531,0693
9	0,445 MODAL	LinModal	Mode	-1339886,88	-192204,898	0	0	0	0,1103
9	0 MODAL	LinModal	Mode	238921,115	258607,315	0	0	0	-181257,512



9	0,445 MODAL	LinModal	Mode	238921,115	258607,315	0	0	0	-296337,767
9	0 HIP1	Combination		-6,975	4,41	0	0	0	-49,2834
9	0,445 HIP1	Combination		-6,975	11,169	0	0	0	-52,7498
9	0 HIP2	Combination		-95,437	11,9	0	0	0	-79,8691
9	0,445 HIP2	Combination		-95,437	18,658	0	0	0	-86,6682
9	0 HIP3	Combination		-105,976	16,173	0	0	0	-80,5108
9	0,445 HIP3	Combination		-105,976	15,021	0	0	0	-87,4515
9	0 HIP4	Combination		-95,347	11,251	0	0	0	-79,6072
9	0,445 HIP4	Combination		-95,347	19,211	0	0	0	-86,3849
9	0 HIP5	Combination		-105,635	13,722	0	0	0	-79,5212
9	0,445 HIP5	Combination		-105,635	17,109	0	0	0	-86,381
9	0 HIP6	Combination	Max	-64,747	74,101	0	0	0	-87,4157
9	0,445 HIP6	Combination	Max	-64,747	72,95	0	0	0	-94,3524
9	0 HIP6	Combination	Min	-79,386	5,277	0	0	0	-414,3737
9	0,445 HIP6	Combination	Min	-79,386	4,125	0	0	0	-442,4749
9	0 HIP7	Combination	Max	-94,57	73,461	0	0	0	-80,2488
9	0,445 HIP7	Combination	Max	-94,57	73,512	0	0	0	-87,1681
9	0 HIP7	Combination	Min	-109,209	4,637	0	0	0	-407,2068
9	0,445 HIP7	Combination	Min	-109,209	4,687	0	0	0	-435,2906
9	0 HIP8	Combination	Max	-83,781	67,386	0	0	0	-78,8795
9	0,445 HIP8	Combination	Max	-83,781	78,683	0	0	0	-85,5977
9	0 HIP8	Combination	Min	-98,42	-1,439	0	0	0	-405,8375
9	0,445 HIP8	Combination	Min	-98,42	9,859	0	0	0	-433,7203
9	0 HIP9	Combination	Max	-94,57	73,461	0	0	0	-80,2488
9	0,445 HIP9	Combination	Max	-94,57	73,512	0	0	0	-87,1681
9	0 HIP9	Combination	Min	-109,209	4,637	0	0	0	-407,2068
9	0,445 HIP9	Combination	Min	-109,209	4,687	0	0	0	-435,2906
9	0 HIP10	Combination		-93,96	8,822	0	0	0	-53,7918
9	0,445 HIP10	Combination		-93,96	13,828	0	0	0	-58,8313
9	0 HIP11	Combination		-71,072	11,661	0	0	0	-61,1245
9	0,445 HIP11	Combination		-71,072	11,394	0	0	0	-66,2544
9	0 HIP12	Combination		-64,047	8,813	0	0	0	-60,6967
9	0,445 HIP12	Combination		-64,047	13,819	0	0	0	-65,7322
9	0 HIP13	Combination		-71,006	11,181	0	0	0	-60,9305
9	0,445 HIP13	Combination		-71,006	11,804	0	0	0	-66,0445
9	0 HIP14	Combination		-63,813	7,13	0	0	0	-60,0176
9	0,445 HIP14	Combination		-63,813	15,252	0	0	0	-64,9976
9	0 HIP15	Combination	Max	-63,529	50,286	0	0	0	-61,1245
9	0,445 HIP15	Combination	Max	-63,529	50,019	0	0	0	-66,2544
9	0 HIP15	Combination	Min	-73,288	4,403	0	0	0	-279,0965
9	0,445 HIP15	Combination	Min	-73,288	4,136	0	0	0	-298,3361
9	0 HIP16	Combination	Max	-63,462	49,806	0	0	0	-60,9305
9	0,445 HIP16	Combination	Max	-63,462	50,429	0	0	0	-66,0445
9	0 HIP16	Combination	Min	-73,221	3,923	0	0	0	-278,9024
9	0,445 HIP16	Combination	Min	-73,221	4,546	0	0	0	-298,1262
9	0 HIP17	Combination	Max	-56,269	45,755	0	0	0	-60,0176
9	0,445 HIP17	Combination	Max	-56,269	53,877	0	0	0	-64,9976
9	0 HIP17	Combination	Min	-66,029	-0,128	0	0	0	-277,9896
9	0,445 HIP17	Combination	Min	-66,029	7,994	0	0	0	-297,0793
9	0 HIP18	Combination	Max	-63,462	49,806	0	0	0	-60,9305
9	0,445 HIP18	Combination	Max	-63,462	50,429	0	0	0	-66,0445
9	0 HIP18	Combination	Min	-73,221	3,923	0	0	0	-278,9024
9	0,445 HIP18	Combination	Min	-73,221	4,546	0	0	0	-298,1262
9	0 HIP19	Combination		-71,072	11,661	0	0	0	-61,1245
9	0,445 HIP19	Combination		-71,072	11,394	0	0	0	-66,2544
9	0 ELU	Combination	Max	-6,975	74,101	0	0	0	-49,2834
9	0,445 ELU	Combination	Max	-6,975	78,683	0	0	0	-52,7498
9	0 ELU	Combination	Min	-109,209	-1,439	0	0	0	-414,3737
9	0,445 ELU	Combination	Min	-109,209	4,125	0	0	0	-442,4749
9	0 ELS-DEF	Combination	Max	-56,269	50,286	0	0	0	-60,0176
9	0,445 ELS-DEF	Combination	Max	-56,269	53,877	0	0	0	-64,9976
9	0 ELS-DEF	Combination	Min	-73,288	-0,128	0	0	0	-279,0965
9	0,445 ELS-DEF	Combination	Min	-73,288	4,136	0	0	0	-298,3361
9	0 HIP20	Combination		-76,69	11,664	0	0	0	-59,0124
9	0,445 HIP20	Combination		-76,69	11,397	0	0	0	-64,1435
9	0 HIP21	Combination		-76,656	11,424	0	0	0	-58,9153
9	0,445 HIP21	Combination		-76,656	11,602	0	0	0	-64,0385
9	0 ENV-SISMO	Combination	Max	-76,656	11,664	0	0	0	-58,9153
9	0,445 ENV-SISMO	Combination	Max	-76,656	11,602	0	0	0	-64,0385
9	0 ENV-SISMO	Combination	Min	-76,69	11,424	0	0	0	-59,0124
9	0,445 ENV-SISMO	Combination	Min	-76,69	11,397	0	0	0	-64,1435
9	0 HIP22	Combination		-70,972	10,94	0	0	0	-60,8334
9	0,445 HIP22	Combination		-70,972	12,008	0	0	0	-65,9395



## “Proyecto de las estructuras para la conexión peatonal de los andenes de la estación de Font de Sant Lluís en Valencia”.

9	0 HIP23	Combination		-63,946	8,092	0	0	0	-60,4057
9	0,445 HIP23	Combination		-63,946	14,433	0	0	0	-65,4174
9	0 ELS-FIS	Combination	Max	-63,946	10,94	0	0	0	-60,4057
9	0,445 ELS-FIS	Combination	Max	-63,946	14,433	0	0	0	-65,4174
9	0 ELS-FIS	Combination	Min	-70,972	8,092	0	0	0	-60,8334
9	0,445 ELS-FIS	Combination	Min	-70,972	12,008	0	0	0	-65,9395
9	0 ENV-TREN	Combination	Max	7,544	38,625	0	0	0	0
9	0,445 ENV-TREN	Combination	Max	7,544	38,625	0	0	0	0
9	0 ENV-TREN	Combination	Min	-2,216	-7,258	0	0	0	-217,972
9	0,445 ENV-TREN	Combination	Min	-2,216	-7,258	0	0	0	-232,0817
10	0 PP	NonStatic	Max	-5,167	-8,273	0	0	0	-39,0739
10	0,445 PP	NonStatic	Max	-5,167	-3,267	0	0	0	-36,5063
10	0 PP	NonStatic	Min	-5,167	-8,273	0	0	0	-39,0739
10	0,445 PP	NonStatic	Min	-5,167	-3,267	0	0	0	-36,5063
10	0 CM CARRIL UIC-54	NonStatic	Max	0,014	-0,081	0	0	0	-0,5941
10	0,445 CM CARRIL UIC-54	NonStatic	Max	0,014	-0,081	0	0	0	-0,558
10	0 CM CARRIL UIC-54	NonStatic	Min	0,014	-0,081	0	0	0	-0,5941
10	0,445 CM CARRIL UIC-54	NonStatic	Min	0,014	-0,081	0	0	0	-0,558
10	0 CM TRAVIESAS	NonStatic	Max	0,063	-0,369	0	0	0	-2,7033
10	0,445 CM TRAVIESAS	NonStatic	Max	0,063	-0,369	0	0	0	-2,5389
10	0 CM TRAVIESAS	NonStatic	Min	0,063	-0,369	0	0	0	-2,7033
10	0,445 CM TRAVIESAS	NonStatic	Min	0,063	-0,369	0	0	0	-2,5389
10	0 CM TIERRAS + BALASTO	NonStatic	Max	0,87	-5,077	0	0	0	-37,1628
10	0,445 CM TIERRAS + BALASTO	NonStatic	Max	0,87	-5,077	0	0	0	-34,9034
10	0 CM TIERRAS + BALASTO	NonStatic	Min	0,87	-5,077	0	0	0	-37,1628
10	0,445 CM TIERRAS + BALASTO	NonStatic	Min	0,87	-5,077	0	0	0	-34,9034
10	0 CM SUELO SOLERA	NonStatic	Max	0,067	-0,409	0	0	0	0,2099
10	0,445 CM SUELO SOLERA	NonStatic	Max	0,067	0,481	0	0	0	0,194
10	0 CM SUELO SOLERA	NonStatic	Min	0,067	-0,409	0	0	0	0,2099
10	0,445 CM SUELO SOLERA	NonStatic	Min	0,067	0,481	0	0	0	0,194
10	0 SBC SUELO SOLERA	NonStatic	Max	0,167	-1,023	0	0	0	0,5248
10	0,445 SBC SUELO SOLERA	NonStatic	Max	0,167	1,202	0	0	0	0,4851
10	0 SBC SUELO SOLERA	NonStatic	Min	0,167	-1,023	0	0	0	0,5248
10	0,445 SBC SUELO SOLERA	NonStatic	Min	0,167	1,202	0	0	0	0,4851
10	0 EMPUJE TIERRAS	NonStatic	Max	-59,827	-0,018	0	0	0	13,8019
10	0,445 EMPUJE TIERRAS	NonStatic	Max	-59,827	-0,018	0	0	0	13,8099
10	0 EMPUJE TIERRAS	NonStatic	Min	-59,827	-0,018	0	0	0	13,8019
10	0,445 EMPUJE TIERRAS	NonStatic	Min	-59,827	-0,018	0	0	0	13,8099
10	0 EMPUJE AGUA	LinStatic		-7,026	2,424	0	0	0	-0,5222
10	0,445 EMPUJE AGUA	LinStatic		-7,026	-2,849	0	0	0	-0,4278
10	0 SISMO	NonStatic	Max	-5,617	-0,002758	0	0	0	2,1109
10	0,445 SISMO	NonStatic	Max	-5,617	-0,002758	0	0	0	2,1121
10	0 SISMO	NonStatic	Min	-5,617	-0,002758	0	0	0	2,1109
10	0,445 SISMO	NonStatic	Min	-5,617	-0,002758	0	0	0	2,1121
10	0 MODAL	LinModal	Mode	94,639	135,02	0	0	0	4,802E-10
10	0,445 MODAL	LinModal	Mode	94,639	135,02	0	0	0	-60,0838
10	0 MODAL	LinModal	Mode	-38,832	-43,33	0	0	0	-292,2596
10	0,445 MODAL	LinModal	Mode	-38,832	-43,33	0	0	0	-272,978
10	0 MODAL	LinModal	Mode	13988,171	11865,525	0	0	0	-0,00004044
10	0,445 MODAL	LinModal	Mode	13988,171	11865,525	0	0	0	-5280,1586
10	0 MODAL	LinModal	Mode	19563,783	-5557,604	0	0	0	-39784,2288
10	0,445 MODAL	LinModal	Mode	19563,783	-5557,604	0	0	0	-37311,095
10	0 MODAL	LinModal	Mode	-28666,083	-18848,632	0	0	0	-78127,7827
10	0,445 MODAL	LinModal	Mode	-28666,083	-18848,632	0	0	0	-69740,1414
10	0 MODAL	LinModal	Mode	140455,005	49978,489	0	0	0	-0,0026
10	0,445 MODAL	LinModal	Mode	140455,005	49978,489	0	0	0	-22240,4302
10	0 MODAL	LinModal	Mode	171770,039	19671,986	0	0	0	50915,5297
10	0,445 MODAL	LinModal	Mode	171770,039	19671,986	0	0	0	42161,4961
10	0 MODAL	LinModal	Mode	270545,399	-109242,318	0	0	0	0,0563
10	0,445 MODAL	LinModal	Mode	270545,399	-109242,318	0	0	0	48612,8877
10	0 MODAL	LinModal	Mode	5591,19	-334090,989	0	0	0	0,1268
10	0,445 MODAL	LinModal	Mode	5591,19	-334090,989	0	0	0	148670,617
10	0 MODAL	LinModal	Mode	-824040,935	-53492,947	0	0	0	-76267,4622
10	0,445 MODAL	LinModal	Mode	-824040,935	-53492,947	0	0	0	-52463,1009
10	0 MODAL	LinModal	Mode	1339883,827	-192204,494	0	0	0	0,1103
10	0,445 MODAL	LinModal	Mode	1339883,827	-192204,494	0	0	0	85531,1102
10	0 MODAL	LinModal	Mode	238923,755	-258607,53	0	0	0	-296337,767
10	0,445 MODAL	LinModal	Mode	238923,755	-258607,53	0	0	0	-181257,416
10	0 HIP1	Combination		-6,975	-11,169	0	0	0	-52,7498
10	0,445 HIP1	Combination		-6,975	-4,41	0	0	0	-49,2834
10	0 HIP2	Combination		-95,437	-18,658	0	0	0	-86,6682
10	0,445 HIP2	Combination		-95,437	-11,9	0	0	0	-79,8691
10	0 HIP3	Combination		-105,976	-15,021	0	0	0	-87,4515



10	0,445 HIP3	Combination	-105,976	-16,173	0	0	0	-80,5108
10	0 HIP4	Combination	-95,347	-19,211	0	0	0	-86,3849
10	0,445 HIP4	Combination	-95,347	-11,251	0	0	0	-79,6072
10	0 HIP5	Combination	-105,635	-17,109	0	0	0	-86,381
10	0,445 HIP5	Combination	-105,635	-13,722	0	0	0	-79,5212
10	0 HIP6	Combination Max	-64,747	-4,125	0	0	0	-94,3524
10	0,445 HIP6	Combination Max	-64,747	-5,277	0	0	0	-87,4157
10	0 HIP6	Combination Min	-79,386	-72,95	0	0	0	-442,4749
10	0,445 HIP6	Combination Min	-79,386	-74,101	0	0	0	-414,3737
10	0 HIP7	Combination Max	-94,57	-4,687	0	0	0	-87,1681
10	0,445 HIP7	Combination Max	-94,57	-4,637	0	0	0	-80,2488
10	0 HIP7	Combination Min	-109,209	-73,512	0	0	0	-435,2906
10	0,445 HIP7	Combination Min	-109,209	-73,461	0	0	0	-407,2068
10	0 HIP8	Combination Max	-83,781	-9,859	0	0	0	-85,5977
10	0,445 HIP8	Combination Max	-83,781	1,439	0	0	0	-78,8795
10	0 HIP8	Combination Min	-98,42	-78,683	0	0	0	-433,7203
10	0,445 HIP8	Combination Min	-98,42	-67,386	0	0	0	-405,8375
10	0 HIP9	Combination Max	-94,57	-4,687	0	0	0	-87,1681
10	0,445 HIP9	Combination Max	-94,57	-4,637	0	0	0	-80,2488
10	0 HIP9	Combination Min	-109,209	-73,512	0	0	0	-435,2906
10	0,445 HIP9	Combination Min	-109,209	-73,461	0	0	0	-407,2068
10	0 HIP10	Combination	-93,96	-13,828	0	0	0	-58,8313
10	0,445 HIP10	Combination	-93,96	-8,822	0	0	0	-53,7918
10	0 HIP11	Combination	-71,072	-11,394	0	0	0	-66,2544
10	0,445 HIP11	Combination	-71,072	-11,661	0	0	0	-61,1245
10	0 HIP12	Combination	-64,047	-13,819	0	0	0	-65,7322
10	0,445 HIP12	Combination	-64,047	-8,813	0	0	0	-60,6967
10	0 HIP13	Combination	-71,006	-11,804	0	0	0	-66,0445
10	0,445 HIP13	Combination	-71,006	-11,181	0	0	0	-60,9305
10	0 HIP14	Combination	-63,813	-15,252	0	0	0	-64,9976
10	0,445 HIP14	Combination	-63,813	-7,13	0	0	0	-60,0176
10	0 HIP15	Combination Max	-63,529	-4,136	0	0	0	-66,2544
10	0,445 HIP15	Combination Max	-63,529	-4,403	0	0	0	-61,1245
10	0 HIP15	Combination Min	-73,288	-50,019	0	0	0	-298,3361
10	0,445 HIP15	Combination Min	-73,288	-50,286	0	0	0	-279,0965
10	0 HIP16	Combination Max	-63,462	-4,546	0	0	0	-66,0445
10	0,445 HIP16	Combination Max	-63,462	-3,923	0	0	0	-60,9305
10	0 HIP16	Combination Min	-73,221	-50,429	0	0	0	-298,1262
10	0,445 HIP16	Combination Min	-73,221	-49,806	0	0	0	-278,9024
10	0 HIP17	Combination Max	-56,269	-7,994	0	0	0	-64,9976
10	0,445 HIP17	Combination Max	-56,269	0,128	0	0	0	-60,0176
10	0 HIP17	Combination Min	-66,029	-53,877	0	0	0	-297,0793
10	0,445 HIP17	Combination Min	-66,029	-45,755	0	0	0	-277,9896
10	0 HIP18	Combination Max	-63,462	-4,546	0	0	0	-66,0445
10	0,445 HIP18	Combination Max	-63,462	-3,923	0	0	0	-60,9305
10	0 HIP18	Combination Min	-73,221	-50,429	0	0	0	-298,1262
10	0,445 HIP18	Combination Min	-73,221	-49,806	0	0	0	-278,9024
10	0 HIP19	Combination	-71,072	-11,394	0	0	0	-66,2544
10	0,445 HIP19	Combination	-71,072	-11,661	0	0	0	-61,1245
10	0 ELU	Combination Max	-6,975	-4,125	0	0	0	-52,7498
10	0,445 ELU	Combination Max	-6,975	1,439	0	0	0	-49,2834
10	0 ELU	Combination Min	-109,209	-78,683	0	0	0	-442,4749
10	0,445 ELU	Combination Min	-109,209	-74,101	0	0	0	-414,3737
10	0 ELS-DEF	Combination Max	-56,269	-4,136	0	0	0	-64,9976
10	0,445 ELS-DEF	Combination Max	-56,269	0,128	0	0	0	-60,0176
10	0 ELS-DEF	Combination Min	-73,288	-53,877	0	0	0	-298,3361
10	0,445 ELS-DEF	Combination Min	-73,288	-50,286	0	0	0	-279,0965
10	0 HIP20	Combination	-76,69	-11,397	0	0	0	-64,1435
10	0,445 HIP20	Combination	-76,69	-11,664	0	0	0	-59,0124
10	0 HIP21	Combination	-76,656	-11,602	0	0	0	-64,0385
10	0,445 HIP21	Combination	-76,656	-11,424	0	0	0	-58,9153
10	0 ENV-SISMO	Combination Max	-76,656	-11,397	0	0	0	-64,0385
10	0,445 ENV-SISMO	Combination Max	-76,656	-11,424	0	0	0	-58,9153
10	0 ENV-SISMO	Combination Min	-76,69	-11,602	0	0	0	-64,1435
10	0,445 ENV-SISMO	Combination Min	-76,69	-11,664	0	0	0	-59,0124
10	0 HIP22	Combination	-70,972	-12,008	0	0	0	-65,9395
10	0,445 HIP22	Combination	-70,972	-10,94	0	0	0	-60,8334
10	0 HIP23	Combination	-63,946	-14,433	0	0	0	-65,4174
10	0,445 HIP23	Combination	-63,946	-8,092	0	0	0	-60,4057
10	0 ELS-FIS	Combination Max	-63,946	-12,008	0	0	0	-65,4174
10	0,445 ELS-FIS	Combination Max	-63,946	-8,092	0	0	0	-60,4057
10	0 ELS-FIS	Combination Min	-70,972	-14,433	0	0	0	-65,9395
10	0,445 ELS-FIS	Combination Min	-70,972	-10,94	0	0	0	-60,8334



“Proyecto de las estructuras para la conexión peatonal de los andenes  
de la estación de Font de Sant Lluís en Valencia”.

10	0 ENV-TREN	Combination	Max	7,544	7,258	0	0	0	0
10	0,445 ENV-TREN	Combination	Max	7,544	7,258	0	0	0	0
10	0 ENV-TREN	Combination	Min	-2,216	-38,625	0	0	0	-232,0817
10	0,445 ENV-TREN	Combination	Min	-2,216	-38,625	0	0	0	-217,972
11	0 PP	NonStatic	Max	-5,167	-19,823	0	0	0	-36,5063
11	0,445 PP	NonStatic	Max	-5,167	-14,817	0	0	0	-28,7988
11	0 PP	NonStatic	Min	-5,167	-19,823	0	0	0	-36,5063
11	0,445 PP	NonStatic	Min	-5,167	-14,817	0	0	0	-28,7988
11	0 CM CARRIL UIC-54	NonStatic	Max	0,014	-0,244	0	0	0	-0,558
11	0,445 CM CARRIL UIC-54	NonStatic	Max	0,014	-0,244	0	0	0	-0,4496
11	0 CM CARRIL UIC-54	NonStatic	Min	0,014	-0,244	0	0	0	-0,558
11	0,445 CM CARRIL UIC-54	NonStatic	Min	0,014	-0,244	0	0	0	-0,4496
11	0 CM TRAVIESAS	NonStatic	Max	0,063	-1,109	0	0	0	-2,5389
11	0,445 CM TRAVIESAS	NonStatic	Max	0,063	-1,109	0	0	0	-2,0456
11	0 CM TRAVIESAS	NonStatic	Min	0,063	-1,109	0	0	0	-2,5389
11	0,445 CM TRAVIESAS	NonStatic	Min	0,063	-1,109	0	0	0	-2,0456
11	0 CM TIERRAS + BALASTO	NonStatic	Max	0,87	-15,241	0	0	0	-34,9034
11	0,445 CM TIERRAS + BALASTO	NonStatic	Max	0,87	-15,241	0	0	0	-28,121
11	0 CM TIERRAS + BALASTO	NonStatic	Min	0,87	-15,241	0	0	0	-34,9034
11	0,445 CM TIERRAS + BALASTO	NonStatic	Min	0,87	-15,241	0	0	0	-28,121
11	0 CM SUELO SOLERA	NonStatic	Max	0,067	-0,338	0	0	0	0,194
11	0,445 CM SUELO SOLERA	NonStatic	Max	0,067	0,552	0	0	0	0,1464
11	0 CM SUELO SOLERA	NonStatic	Min	0,067	-0,338	0	0	0	0,194
11	0,445 CM SUELO SOLERA	NonStatic	Min	0,067	0,552	0	0	0	0,1464
11	0 SBC SUELO SOLERA	NonStatic	Max	0,167	-0,845	0	0	0	0,4851
11	0,445 SBC SUELO SOLERA	NonStatic	Max	0,167	1,38	0	0	0	0,366
11	0 SBC SUELO SOLERA	NonStatic	Min	0,167	-0,845	0	0	0	0,4851
11	0,445 SBC SUELO SOLERA	NonStatic	Min	0,167	1,38	0	0	0	0,366
11	0 EMPUJE TIERRAS	NonStatic	Max	-59,827	-0,051	0	0	0	13,8099
11	0,445 EMPUJE TIERRAS	NonStatic	Max	-59,827	-0,051	0	0	0	13,8324
11	0 EMPUJE TIERRAS	NonStatic	Min	-59,827	-0,051	0	0	0	13,8099
11	0,445 EMPUJE TIERRAS	NonStatic	Min	-59,827	-0,051	0	0	0	13,8324
11	0 EMPUJE AGUA	LinStatic		-7,026	2	0	0	0	-0,4278
11	0,445 EMPUJE AGUA	LinStatic		-7,026	-3,273	0	0	0	-0,1444
11	0 SISMO	NonStatic	Max	-5,617	-0,007728	0	0	0	2,1121
11	0,445 SISMO	NonStatic	Max	-5,617	-0,007728	0	0	0	2,1156
11	0 SISMO	NonStatic	Min	-5,617	-0,007728	0	0	0	2,1121
11	0,445 SISMO	NonStatic	Min	-5,617	-0,007728	0	0	0	2,1156
11	0 MODAL	LinModal	Mode	94,639	117,823	0	0	0	-60,0838
11	0,445 MODAL	LinModal	Mode	94,639	117,823	0	0	0	-112,515
11	0 MODAL	LinModal	Mode	-38,832	-130,042	0	0	0	-272,978
11	0,445 MODAL	LinModal	Mode	-38,832	-130,042	0	0	0	-215,1093
11	0 MODAL	LinModal	Mode	13984,479	11436,667	0	0	0	-5280,1586
11	0,445 MODAL	LinModal	Mode	13984,479	11436,667	0	0	0	-10369,4755
11	0 MODAL	LinModal	Mode	19542,759	-16113,937	0	0	0	-37311,095
11	0,445 MODAL	LinModal	Mode	19542,759	-16113,937	0	0	0	-30140,393
11	0 MODAL	LinModal	Mode	-28569,407	-53033,075	0	0	0	-69740,1414
11	0,445 MODAL	LinModal	Mode	-28569,407	-53033,075	0	0	0	-46140,423
11	0 MODAL	LinModal	Mode	139843,656	41202,038	0	0	0	-22240,4302
11	0,445 MODAL	LinModal	Mode	139843,656	41202,038	0	0	0	-40575,3371
11	0 MODAL	LinModal	Mode	170840,529	55297,98	0	0	0	42161,4961
11	0,445 MODAL	LinModal	Mode	170840,529	55297,98	0	0	0	17553,8952
11	0 MODAL	LinModal	Mode	265952,06	-51660,512	0	0	0	48612,8877
11	0,445 MODAL	LinModal	Mode	265952,06	-51660,512	0	0	0	71601,8156
11	0 MODAL	LinModal	Mode	5492,795	-173380,367	0	0	0	148670,617
11	0,445 MODAL	LinModal	Mode	5492,795	-173380,367	0	0	0	225824,8801
11	0 MODAL	LinModal	Mode	-801190,935	-131245,329	0	0	0	-52463,1009
11	0,445 MODAL	LinModal	Mode	-801190,935	-131245,329	0	0	0	5941,0705
11	0 MODAL	LinModal	Mode	1289054,85	-53417,849	0	0	0	85531,1102
11	0,445 MODAL	LinModal	Mode	1289054,85	-53417,849	0	0	0	109302,053
11	0 MODAL	LinModal	Mode	226781,461	-565214,47	0	0	0	-181257,416
11	0,445 MODAL	LinModal	Mode	226781,461	-565214,47	0	0	0	70263,0236
11	0 HIP1	Combination		-6,975	-26,761	0	0	0	-49,2834
11	0,445 HIP1	Combination		-6,975	-20,003	0	0	0	-38,8784
11	0 HIP2	Combination		-95,437	-49,239	0	0	0	-79,8691
11	0,445 HIP2	Combination		-95,437	-42,48	0	0	0	-59,4617
11	0 HIP3	Combination		-105,976	-46,239	0	0	0	-80,5108
11	0,445 HIP3	Combination		-105,976	-47,39	0	0	0	-59,6784
11	0 HIP4	Combination		-95,347	-49,695	0	0	0	-79,6072
11	0,445 HIP4	Combination		-95,347	-41,735	0	0	0	-59,2641
11	0 HIP5	Combination		-105,635	-47,962	0	0	0	-79,5212
11	0,445 HIP5	Combination		-105,635	-44,575	0	0	0	-58,9317
11	0 HIP6	Combination	Max	-64,747	-46,213	0	0	0	-87,4157

11	0,445 HIP6	Combination	Max	-64,747	-47,365	0	0	0	-66,5946
11	0 HIP6	Combination	Min	-79,386	-188,986	0	0	0	-414,3737
11	0,445 HIP6	Combination	Min	-79,386	-190,138	0	0	0	-330,0185
11	0 HIP7	Combination	Max	-94,57	-46,695	0	0	0	-80,2488
11	0,445 HIP7	Combination	Max	-94,57	-46,645	0	0	0	-59,4807
11	0 HIP7	Combination	Min	-109,209	-189,468	0	0	0	-407,2068
11	0,445 HIP7	Combination	Min	-109,209	-189,418	0	0	0	-322,9046
11	0 HIP8	Combination	Max	-83,781	-50,962	0	0	0	-78,8795
11	0,445 HIP8	Combination	Max	-83,781	-39,665	0	0	0	-58,715
11	0 HIP8	Combination	Min	-98,42	-193,735	0	0	0	-405,8375
11	0,445 HIP8	Combination	Min	-98,42	-182,438	0	0	0	-322,1389
11	0 HIP9	Combination	Max	-94,57	-46,695	0	0	0	-80,2488
11	0,445 HIP9	Combination	Max	-94,57	-46,645	0	0	0	-59,4807
11	0 HIP9	Combination	Min	-109,209	-189,468	0	0	0	-407,2068
11	0,445 HIP9	Combination	Min	-109,209	-189,418	0	0	0	-322,9046
11	0 HIP10	Combination		-93,96	-36,493	0	0	0	-53,7918
11	0,445 HIP10	Combination		-93,96	-31,486	0	0	0	-38,6665
11	0 HIP11	Combination		-71,072	-34,467	0	0	0	-61,1245
11	0,445 HIP11	Combination		-71,072	-34,734	0	0	0	-45,7271
11	0 HIP12	Combination		-64,047	-36,467	0	0	0	-60,6967
11	0,445 HIP12	Combination		-64,047	-31,461	0	0	0	-45,5827
11	0 HIP13	Combination		-71,006	-34,805	0	0	0	-60,9305
11	0,445 HIP13	Combination		-71,006	-34,182	0	0	0	-45,5807
11	0 HIP14	Combination		-63,813	-37,65	0	0	0	-60,0176
11	0,445 HIP14	Combination		-63,813	-29,529	0	0	0	-45,0702
11	0 HIP15	Combination	Max	-63,529	-34,467	0	0	0	-61,1245
11	0,445 HIP15	Combination	Max	-63,529	-34,734	0	0	0	-45,7271
11	0 HIP15	Combination	Min	-73,288	-129,649	0	0	0	-279,0965
11	0,445 HIP15	Combination	Min	-73,288	-129,916	0	0	0	-221,343
11	0 HIP16	Combination	Max	-63,462	-34,805	0	0	0	-60,9305
11	0,445 HIP16	Combination	Max	-63,462	-34,182	0	0	0	-45,5807
11	0 HIP16	Combination	Min	-73,221	-129,987	0	0	0	-278,9024
11	0,445 HIP16	Combination	Min	-73,221	-129,364	0	0	0	-221,1966
11	0 HIP17	Combination	Max	-56,269	-37,65	0	0	0	-60,0176
11	0,445 HIP17	Combination	Max	-56,269	-29,529	0	0	0	-45,0702
11	0 HIP17	Combination	Min	-66,029	-132,832	0	0	0	-277,9896
11	0,445 HIP17	Combination	Min	-66,029	-124,711	0	0	0	-220,6861
11	0 HIP18	Combination	Max	-63,462	-34,805	0	0	0	-60,9305
11	0,445 HIP18	Combination	Max	-63,462	-34,182	0	0	0	-45,5807
11	0 HIP18	Combination	Min	-73,221	-129,987	0	0	0	-278,9024
11	0,445 HIP18	Combination	Min	-73,221	-129,364	0	0	0	-221,1966
11	0 HIP19	Combination		-71,072	-34,467	0	0	0	-61,1245
11	0,445 HIP19	Combination		-71,072	-34,734	0	0	0	-45,7271
11	0 ELU	Combination	Max	-6,975	-26,761	0	0	0	-49,2834
11	0,445 ELU	Combination	Max	-6,975	-20,003	0	0	0	-38,6665
11	0 ELU	Combination	Min	-109,209	-193,735	0	0	0	-414,3737
11	0,445 ELU	Combination	Min	-109,209	-190,138	0	0	0	-330,0185
11	0 ELS-DEF	Combination	Max	-56,269	-34,467	0	0	0	-60,0176
11	0,445 ELS-DEF	Combination	Max	-56,269	-29,529	0	0	0	-45,0702
11	0 ELS-DEF	Combination	Min	-73,288	-132,832	0	0	0	-279,0965
11	0,445 ELS-DEF	Combination	Min	-73,288	-129,916	0	0	0	-221,343
11	0 HIP20	Combination		-76,69	-34,475	0	0	0	-59,0124
11	0,445 HIP20	Combination		-76,69	-34,742	0	0	0	-43,6115
11	0 HIP21	Combination		-76,656	-34,644	0	0	0	-58,9153
11	0,445 HIP21	Combination		-76,656	-34,466	0	0	0	-43,5383
11	0 ENV-SISMO	Combination	Max	-76,656	-34,475	0	0	0	-58,9153
11	0,445 ENV-SISMO	Combination	Max	-76,656	-34,466	0	0	0	-43,5383
11	0 ENV-SISMO	Combination	Min	-76,69	-34,644	0	0	0	-59,0124
11	0,445 ENV-SISMO	Combination	Min	-76,69	-34,742	0	0	0	-43,6115
11	0 HIP22	Combination		-70,972	-34,974	0	0	0	-60,8334
11	0,445 HIP22	Combination		-70,972	-33,906	0	0	0	-45,5075
11	0 HIP23	Combination		-63,946	-36,974	0	0	0	-60,4057
11	0,445 HIP23	Combination		-63,946	-30,633	0	0	0	-45,363
11	0 ELS-FIS	Combination	Max	-63,946	-34,974	0	0	0	-60,4057
11	0,445 ELS-FIS	Combination	Max	-63,946	-30,633	0	0	0	-45,363
11	0 ELS-FIS	Combination	Min	-70,972	-36,974	0	0	0	-60,8334
11	0,445 ELS-FIS	Combination	Min	-70,972	-33,906	0	0	0	-45,5075
11	0 ENV-TREN	Combination	Max	7,544	0	0	0	0	0
11	0,445 ENV-TREN	Combination	Max	7,544	0	0	0	0	0
11	0 ENV-TREN	Combination	Min	-2,216	-95,182	0	0	0	-217,972
11	0,445 ENV-TREN	Combination	Min	-2,216	-95,182	0	0	0	-175,6159
12	0 PP	NonStatic	Max	-5,167	-31,402	0	0	0	-28,7988
12	0,445 PP	NonStatic	Max	-5,167	-26,396	0	0	0	-15,9387





“Proyecto de las estructuras para la conexión peatonal de los andenes  
de la estación de Font de Sant Lluís en Valencia”.

12	0 PP	NonStatic	Min	-5,167	-31,402	0	0	0	-28,7988
12	0,445 PP	NonStatic	Min	-5,167	-26,396	0	0	0	-15,9387
12	0 CM CARRIL UIC-54	NonStatic	Max	0,014	-0,407	0	0	0	-0,4496
12	0,445 CM CARRIL UIC-54	NonStatic	Max	0,014	-0,407	0	0	0	-0,2686
12	0 CM CARRIL UIC-54	NonStatic	Min	0,014	-0,407	0	0	0	-0,4496
12	0,445 CM CARRIL UIC-54	NonStatic	Min	0,014	-0,407	0	0	0	-0,2686
12	0 CM TRAVIESAS	NonStatic	Max	0,063	-1,85	0	0	0	-2,0456
12	0,445 CM TRAVIESAS	NonStatic	Max	0,063	-1,85	0	0	0	-1,2223
12	0 CM TRAVIESAS	NonStatic	Min	0,063	-1,85	0	0	0	-2,0456
12	0,445 CM TRAVIESAS	NonStatic	Min	0,063	-1,85	0	0	0	-1,2223
12	0 CM TIERRAS + BALASTO	NonStatic	Max	0,87	-25,433	0	0	0	-28,121
12	0,445 CM TIERRAS + BALASTO	NonStatic	Max	0,87	-25,433	0	0	0	-16,8032
12	0 CM TIERRAS + BALASTO	NonStatic	Min	0,87	-25,433	0	0	0	-28,121
12	0,445 CM TIERRAS + BALASTO	NonStatic	Min	0,87	-25,433	0	0	0	-16,8032
12	0 CM SUELO SOLERA	NonStatic	Max	0,067	-0,266	0	0	0	0,1464
12	0,445 CM SUELO SOLERA	NonStatic	Max	0,067	0,624	0	0	0	0,067
12	0 CM SUELO SOLERA	NonStatic	Min	0,067	-0,266	0	0	0	0,1464
12	0,445 CM SUELO SOLERA	NonStatic	Min	0,067	0,624	0	0	0	0,067
12	0 SBC SUELO SOLERA	NonStatic	Max	0,167	-0,666	0	0	0	0,366
12	0,445 SBC SUELO SOLERA	NonStatic	Max	0,167	1,559	0	0	0	0,1674
12	0 SBC SUELO SOLERA	NonStatic	Min	0,167	-0,666	0	0	0	0,366
12	0,445 SBC SUELO SOLERA	NonStatic	Min	0,167	1,559	0	0	0	0,1674
12	0 EMPUJE TIERRAS	NonStatic	Max	-59,827	-0,072	0	0	0	13,8324
12	0,445 EMPUJE TIERRAS	NonStatic	Max	-59,827	-0,072	0	0	0	13,8645
12	0 EMPUJE TIERRAS	NonStatic	Min	-59,827	-0,072	0	0	0	13,8324
12	0,445 EMPUJE TIERRAS	NonStatic	Min	-59,827	-0,072	0	0	0	13,8645
12	0 EMPUJE AGUA	LinStatic		-7,026	1,575	0	0	0	-0,1444
12	0,445 EMPUJE AGUA	LinStatic		-7,026	-3,698	0	0	0	0,328
12	0 SISMO	NonStatic	Max	-5,617	-0,011	0	0	0	2,1156
12	0,445 SISMO	NonStatic	Max	-5,617	-0,011	0	0	0	2,1205
12	0 SISMO	NonStatic	Min	-5,617	-0,011	0	0	0	2,1156
12	0,445 SISMO	NonStatic	Min	-5,617	-0,011	0	0	0	2,1205
12	0 MODAL	LinModal	Mode	94,638	83,4	0	0	0	-112,515
12	0,445 MODAL	LinModal	Mode	94,638	83,4	0	0	0	-149,6282
12	0 MODAL	LinModal	Mode	-38,831	-216,908	0	0	0	-215,1093
12	0,445 MODAL	LinModal	Mode	-38,831	-216,908	0	0	0	-118,5853
12	0 MODAL	LinModal	Mode	13977,095	10613,074	0	0	0	-10369,4755
12	0,445 MODAL	LinModal	Mode	13977,095	10613,074	0	0	0	-15092,2935
12	0 MODAL	LinModal	Mode	19500,732	-25062,999	0	0	0	-30140,393
12	0,445 MODAL	LinModal	Mode	19500,732	-25062,999	0	0	0	-18987,3582
12	0 MODAL	LinModal	Mode	-28376,366	-77431,844	0	0	0	-46140,423
12	0,445 MODAL	LinModal	Mode	-28376,366	-77431,844	0	0	0	-11683,2525
12	0 MODAL	LinModal	Mode	138623,65	26225,488	0	0	0	-40575,3371
12	0,445 MODAL	LinModal	Mode	138623,65	26225,488	0	0	0	-52245,6794
12	0 MODAL	LinModal	Mode	168986,433	81033,287	0	0	0	17553,8952
12	0,445 MODAL	LinModal	Mode	168986,433	81033,287	0	0	0	-18505,9175
12	0 MODAL	LinModal	Mode	256842,512	40858,454	0	0	0	71601,8156
12	0,445 MODAL	LinModal	Mode	256842,512	40858,454	0	0	0	53419,8037
12	0 MODAL	LinModal	Mode	5296,437	75971,958	0	0	0	225824,8801
12	0,445 MODAL	LinModal	Mode	5296,437	75971,958	0	0	0	192017,3588
12	0 MODAL	LinModal	Mode	-756125,085	-139437,102	0	0	0	5941,0705
12	0,445 MODAL	LinModal	Mode	-756125,085	-139437,102	0	0	0	67990,5808
12	0 MODAL	LinModal	Mode	1189323,409	133774,825	0	0	0	109302,053
12	0,445 MODAL	LinModal	Mode	1189323,409	133774,825	0	0	0	49772,2561
12	0 MODAL	LinModal	Mode	203116,12	-404028,547	0	0	0	70263,0236
12	0,445 MODAL	LinModal	Mode	203116,12	-404028,547	0	0	0	250055,727
12	0 HIP1	Combination		-6,975	-42,393	0	0	0	-38,8784
12	0,445 HIP1	Combination		-6,975	-35,635	0	0	0	-21,5172
12	0 HIP2	Combination		-95,437	-79,883	0	0	0	-59,4617
12	0,445 HIP2	Combination		-95,437	-73,125	0	0	0	-25,4175
12	0 HIP3	Combination		-105,976	-77,521	0	0	0	-59,6784
12	0,445 HIP3	Combination		-105,976	-78,672	0	0	0	-24,9255
12	0 HIP4	Combination		-95,347	-80,243	0	0	0	-59,2641
12	0,445 HIP4	Combination		-95,347	-72,283	0	0	0	-25,3271
12	0 HIP5	Combination		-105,635	-78,88	0	0	0	-58,9317
12	0,445 HIP5	Combination		-105,635	-75,492	0	0	0	-24,5839
12	0 HIP6	Combination	Max	-64,747	-77,485	0	0	0	-66,5946
12	0,445 HIP6	Combination	Max	-64,747	-78,636	0	0	0	-31,3038
12	0 HIP6	Combination	Min	-79,386	-315,731	0	0	0	-330,0185
12	0,445 HIP6	Combination	Min	-79,386	-316,883	0	0	0	-189,7898
12	0 HIP7	Combination	Max	-94,57	-77,88	0	0	0	-59,4807
12	0,445 HIP7	Combination	Max	-94,57	-77,83	0	0	0	-24,2811
12	0 HIP7	Combination	Min	-109,209	-316,127	0	0	0	-322,9046

12	0,445 HIP7	Combination	Min	-109,209	-316,077	0	0	0	-182,7671
12	0 HIP8	Combination	Max	-83,781	-81,242	0	0	0	-58,715
12	0,445 HIP8	Combination	Max	-83,781	-69,945	0	0	0	-24,522
12	0 HIP8	Combination	Min	-98,42	-319,489	0	0	0	-322,1389
12	0,445 HIP8	Combination	Min	-98,42	-308,191	0	0	0	-183,008
12	0 HIP9	Combination	Max	-94,57	-77,88	0	0	0	-59,4807
12	0,445 HIP9	Combination	Max	-94,57	-77,83	0	0	0	-24,2811
12	0 HIP9	Combination	Min	-109,209	-316,127	0	0	0	-322,9046
12	0,445 HIP9	Combination	Min	-109,209	-316,077	0	0	0	-182,7671
12	0 HIP10	Combination		-93,96	-59,201	0	0	0	-38,6665
12	0,445 HIP10	Combination		-93,96	-54,195	0	0	0	-13,436
12	0 HIP11	Combination		-71,072	-57,59	0	0	0	-45,7271
12	0,445 HIP11	Combination		-71,072	-57,857	0	0	0	-20,0403
12	0 HIP12	Combination		-64,047	-59,165	0	0	0	-45,5827
12	0,445 HIP12	Combination		-64,047	-54,158	0	0	0	-20,3683
12	0 HIP13	Combination		-71,006	-57,856	0	0	0	-45,5807
12	0,445 HIP13	Combination		-71,006	-57,233	0	0	0	-19,9733
12	0 HIP14	Combination		-63,813	-60,097	0	0	0	-45,0702
12	0,445 HIP14	Combination		-63,813	-51,976	0	0	0	-20,1339
12	0 HIP15	Combination	Max	-63,529	-57,59	0	0	0	-45,7271
12	0,445 HIP15	Combination	Max	-63,529	-57,857	0	0	0	-19,671
12	0 HIP15	Combination	Min	-73,288	-216,421	0	0	0	-221,343
12	0,445 HIP15	Combination	Min	-73,288	-216,688	0	0	0	-125,3283
12	0 HIP16	Combination	Max	-63,462	-57,856	0	0	0	-45,5807
12	0,445 HIP16	Combination	Max	-63,462	-57,233	0	0	0	-19,604
12	0 HIP16	Combination	Min	-73,221	-216,687	0	0	0	-221,1966
12	0,445 HIP16	Combination	Min	-73,221	-216,064	0	0	0	-125,2613
12	0 HIP17	Combination	Max	-56,269	-60,097	0	0	0	-45,0702
12	0,445 HIP17	Combination	Max	-56,269	-51,976	0	0	0	-19,7646
12	0 HIP17	Combination	Min	-66,029	-218,929	0	0	0	-220,6861
12	0,445 HIP17	Combination	Min	-66,029	-210,807	0	0	0	-125,4219
12	0 HIP18	Combination	Max	-63,462	-57,856	0	0	0	-45,5807
12	0,445 HIP18	Combination	Max	-63,462	-57,233	0	0	0	-19,604
12	0 HIP18	Combination	Min	-73,221	-216,687	0	0	0	-221,1966
12	0,445 HIP18	Combination	Min	-73,221	-216,064	0	0	0	-125,2613
12	0 HIP19	Combination		-71,072	-57,59	0	0	0	-45,7271
12	0,445 HIP19	Combination		-71,072	-57,857	0	0	0	-20,0403
12	0 ELU	Combination	Max	-6,975	-42,393	0	0	0	-38,6665
12	0,445 ELU	Combination	Max	-6,975	-35,635	0	0	0	-13,436
12	0 ELU	Combination	Min	-109,209	-319,489	0	0	0	-330,0185
12	0,445 ELU	Combination	Min	-109,209	-316,883	0	0	0	-189,7898
12	0 ELS-DEF	Combination	Max	-56,269	-57,59	0	0	0	-45,0702
12	0,445 ELS-DEF	Combination	Max	-56,269	-51,976	0	0	0	-19,604
12	0 ELS-DEF	Combination	Min	-73,288	-218,929	0	0	0	-221,343
12	0,445 ELS-DEF	Combination	Min	-73,288	-216,688	0	0	0	-125,4219
12	0 HIP20	Combination		-76,69	-57,601	0	0	0	-43,6115
12	0,445 HIP20	Combination		-76,69	-57,868	0	0	0	-17,9198
12	0 HIP21	Combination		-76,656	-57,734	0	0	0	-43,5383
12	0,445 HIP21	Combination		-76,656	-57,556	0	0	0	-17,8863
12	0 ENV-SISMO	Combination	Max	-76,656	-57,601	0	0	0	-43,5383
12	0,445 ENV-SISMO	Combination	Max	-76,656	-57,556	0	0	0	-17,8863
12	0 ENV-SISMO	Combination	Min	-76,69	-57,734	0	0	0	-43,6115
12	0,445 ENV-SISMO	Combination	Min	-76,69	-57,868	0	0	0	-17,9198
12	0 HIP22	Combination		-70,972	-57,989	0	0	0	-45,5075
12	0,445 HIP22	Combination		-70,972	-56,921	0	0	0	-19,9398
12	0 HIP23	Combination		-63,946	-59,564	0	0	0	-45,363
12	0,445 HIP23	Combination		-63,946	-53,223	0	0	0	-20,2678
12	0 ELS-FIS	Combination	Max	-63,946	-57,989	0	0	0	-45,363
12	0,445 ELS-FIS	Combination	Max	-63,946	-53,223	0	0	0	-19,9398
12	0 ELS-FIS	Combination	Min	-70,972	-59,564	0	0	0	-45,5075
12	0,445 ELS-FIS	Combination	Min	-70,972	-56,921	0	0	0	-20,2678
12	0 ENV-TREN	Combination	Max	7,544	0	0	0	0	0
12	0,445 ENV-TREN	Combination	Max	7,544	0	0	0	0	0,3693
12	0 ENV-TREN	Combination	Min	-2,216	-158,831	0	0	0	-175,6159
12	0,445 ENV-TREN	Combination	Min	-2,216	-158,831	0	0	0	-105,288
13	0 PP	NonStatic	Max	-5,167	-43,026	0	0	0	-15,9387
13	0,445 PP	NonStatic	Max	-5,167	-38,019	0	0	0	2,0939
13	0 PP	NonStatic	Min	-5,167	-43,026	0	0	0	-15,9387
13	0,445 PP	NonStatic	Min	-5,167	-38,019	0	0	0	2,0939
13	0 CM CARRIL UIC-54	NonStatic	Max	0,014	-0,57	0	0	0	-0,2686
13	0,445 CM CARRIL UIC-54	NonStatic	Max	0,014	-0,57	0	0	0	-0,0149
13	0 CM CARRIL UIC-54	NonStatic	Min	0,014	-0,57	0	0	0	-0,2686
13	0,445 CM CARRIL UIC-54	NonStatic	Min	0,014	-0,57	0	0	0	-0,0149



## “Proyecto de las estructuras para la conexión peatonal de los andenes de la estación de Font de Sant Lluís en Valencia”.

13	0	CM TRAVIESAS	NonStatic	Max	0,063	-2,595	0	0	0	-1,2223
13	0,445	CM TRAVIESAS	NonStatic	Max	0,063	-2,595	0	0	0	-0,0677
13	0	CM TRAVIESAS	NonStatic	Min	0,063	-2,595	0	0	0	-1,2223
13	0,445	CM TRAVIESAS	NonStatic	Min	0,063	-2,595	0	0	0	-0,0677
13	0	CM TIERRAS + BALASTO	NonStatic	Max	0,87	-35,668	0	0	0	-16,8032
13	0,445	CM TIERRAS + BALASTO	NonStatic	Max	0,87	-35,668	0	0	0	-0,931
13	0	CM TIERRAS + BALASTO	NonStatic	Min	0,87	-35,668	0	0	0	-16,8032
13	0,445	CM TIERRAS + BALASTO	NonStatic	Min	0,87	-35,668	0	0	0	-0,931
13	0	CM SUELO SOLERA	NonStatic	Max	0,067	-0,195	0	0	0	0,067
13	0,445	CM SUELO SOLERA	NonStatic	Max	0,067	0,695	0	0	0	-0,0444
13	0	CM SUELO SOLERA	NonStatic	Min	0,067	-0,195	0	0	0	0,067
13	0,445	CM SUELO SOLERA	NonStatic	Min	0,067	0,695	0	0	0	-0,0444
13	0	SBC SUELO SOLERA	NonStatic	Max	0,167	-0,487	0	0	0	0,1674
13	0,445	SBC SUELO SOLERA	NonStatic	Max	0,167	1,738	0	0	0	-0,1111
13	0	SBC SUELO SOLERA	NonStatic	Min	0,167	-0,487	0	0	0	0,1674
13	0,445	SBC SUELO SOLERA	NonStatic	Min	0,167	1,738	0	0	0	-0,1111
13	0	EMPUJE TIERRAS	NonStatic	Max	-59,827	-0,076	0	0	0	13,8645
13	0,445	EMPUJE TIERRAS	NonStatic	Max	-59,827	-0,076	0	0	0	13,8985
13	0	EMPUJE TIERRAS	NonStatic	Min	-59,827	-0,076	0	0	0	13,8645
13	0,445	EMPUJE TIERRAS	NonStatic	Min	-59,827	-0,076	0	0	0	13,8985
13	0	EMPUJE AGUA	LinStatic		-7,026	1,149	0	0	0	0,328
13	0,445	EMPUJE AGUA	LinStatic		-7,026	-4,124	0	0	0	0,9899
13	0	SISMO	NonStatic	Max	-5,617	-0,012	0	0	0	2,1205
13	0,445	SISMO	NonStatic	Max	-5,617	-0,012	0	0	0	2,1257
13	0	SISMO	NonStatic	Min	-5,617	-0,012	0	0	0	2,1205
13	0,445	SISMO	NonStatic	Min	-5,617	-0,012	0	0	0	2,1257
13	0	MODAL	LinModal	Mode	94,638	31,697	0	0	0	-149,6282
13	0,445	MODAL	LinModal	Mode	94,638	31,697	0	0	0	-163,7333
13	0	MODAL	LinModal	Mode	-38,831	-304,006	0	0	0	-118,5853
13	0,445	MODAL	LinModal	Mode	-38,831	-304,006	0	0	0	16,6974
13	0	MODAL	LinModal	Mode	13966,023	9461,75	0	0	0	-15092,2935
13	0,445	MODAL	LinModal	Mode	13966,023	9461,75	0	0	0	-19302,7724
13	0	MODAL	LinModal	Mode	19437,749	-31557,474	0	0	0	-18987,3582
13	0,445	MODAL	LinModal	Mode	19437,749	-31557,474	0	0	0	-4944,2823
13	0	MODAL	LinModal	Mode	-28087,623	-87889,274	0	0	0	-11683,2525
13	0,445	MODAL	LinModal	Mode	-28087,623	-87889,274	0	0	0	27427,4745
13	0	MODAL	LinModal	Mode	136800,293	9744,965	0	0	0	-52245,6794
13	0,445	MODAL	LinModal	Mode	136800,293	9744,965	0	0	0	-56582,1887
13	0	MODAL	LinModal	Mode	166217,804	94253,613	0	0	0	-18505,9175
13	0,445	MODAL	LinModal	Mode	166217,804	94253,613	0	0	0	-60448,7754
13	0	MODAL	LinModal	Mode	243371,292	134840,752	0	0	0	53419,8037
13	0,445	MODAL	LinModal	Mode	243371,292	134840,752	0	0	0	-6584,331
13	0	MODAL	LinModal	Mode	5005,706	304411,08	0	0	0	192017,3588
13	0,445	MODAL	LinModal	Mode	5005,706	304411,08	0	0	0	56554,4281
13	0	MODAL	LinModal	Mode	-690093,384	-82200,75	0	0	0	67990,5808
13	0,445	MODAL	LinModal	Mode	-690093,384	-82200,75	0	0	0	104569,9146
13	0	MODAL	LinModal	Mode	1044471,339	253523,152	0	0	0	49772,2561
13	0,445	MODAL	LinModal	Mode	1044471,339	253523,152	0	0	0	-63045,5466
13	0	MODAL	LinModal	Mode	169129,994	123269,855	0	0	0	250055,727
13	0,445	MODAL	LinModal	Mode	169129,994	123269,855	0	0	0	195200,6415
13	0	HIP1	Combination		-6,975	-58,085	0	0	0	-21,5172
13	0,445	HIP1	Combination		-6,975	-51,326	0	0	0	2,8267
13	0	HIP2	Combination		-95,437	-110,623	0	0	0	-25,4175
13	0,445	HIP2	Combination		-95,437	-103,865	0	0	0	22,3061
13	0	HIP3	Combination		-105,976	-108,899	0	0	0	-24,9255
13	0,445	HIP3	Combination		-105,976	-110,051	0	0	0	23,791
13	0	HIP4	Combination		-95,347	-110,886	0	0	0	-25,3271
13	0,445	HIP4	Combination		-95,347	-102,926	0	0	0	22,2461
13	0	HIP5	Combination		-105,635	-109,892	0	0	0	-24,5839
13	0,445	HIP5	Combination		-105,635	-106,504	0	0	0	23,5643
13	0	HIP6	Combination	Max	-64,747	-108,861	0	0	0	-31,3038
13	0,445	HIP6	Combination	Max	-64,747	-110,013	0	0	0	26,8454
13	0	HIP6	Combination	Min	-79,386	-442,981	0	0	0	-189,7898
13	0,445	HIP6	Combination	Min	-79,386	-444,132	0	0	0	-1,4138
13	0	HIP7	Combination	Max	-94,57	-109,162	0	0	0	-24,2811
13	0,445	HIP7	Combination	Max	-94,57	-109,112	0	0	0	33,7347
13	0	HIP7	Combination	Min	-109,209	-443,282	0	0	0	-182,7671
13	0,445	HIP7	Combination	Min	-109,209	-443,232	0	0	0	5,4754
13	0	HIP8	Combination	Max	-83,781	-111,616	0	0	0	-24,522
13	0,445	HIP8	Combination	Max	-83,781	-100,318	0	0	0	32,0831
13	0	HIP8	Combination	Min	-98,42	-445,736	0	0	0	-183,008
13	0,445	HIP8	Combination	Min	-98,42	-434,438	0	0	0	3,8239
13	0	HIP9	Combination	Max	-94,57	-109,162	0	0	0	-24,2811



13	0,445 HIP9	Combination	Max	-94,57	-109,112	0	0	0	33,7347
13	0 HIP9	Combination	Min	-109,209	-443,282	0	0	0	-182,7671
13	0,445 HIP9	Combination	Min	-109,209	-443,232	0	0	0	5,4754
13	0 HIP10	Combination		-93,96	-81,973	0	0	0	-13,436
13	0,445 HIP10	Combination		-93,96	-76,967	0	0	0	21,928
13	0 HIP11	Combination		-71,072	-80,785	0	0	0	-20,0403
13	0,445 HIP11	Combination		-71,072	-81,052	0	0	0	15,9687
13	0 HIP12	Combination		-64,047	-81,935	0	0	0	-20,3683
13	0,445 HIP12	Combination		-64,047	-76,928	0	0	0	14,9788
13	0 HIP13	Combination		-71,006	-80,98	0	0	0	-19,9733
13	0,445 HIP13	Combination		-71,006	-80,357	0	0	0	15,9242
13	0 HIP14	Combination		-63,813	-82,616	0	0	0	-20,1339
13	0,445 HIP14	Combination		-63,813	-74,495	0	0	0	14,8232
13	0 HIP15	Combination	Max	-63,529	-80,785	0	0	0	-19,671
13	0,445 HIP15	Combination	Max	-63,529	-81,052	0	0	0	22,6378
13	0 HIP15	Combination	Min	-73,288	-303,532	0	0	0	-125,3283
13	0,445 HIP15	Combination	Min	-73,288	-303,799	0	0	0	3,7983
13	0 HIP16	Combination	Max	-63,462	-80,98	0	0	0	-19,604
13	0,445 HIP16	Combination	Max	-63,462	-80,357	0	0	0	22,5934
13	0 HIP16	Combination	Min	-73,221	-303,727	0	0	0	-125,2613
13	0,445 HIP16	Combination	Min	-73,221	-303,104	0	0	0	3,7539
13	0 HIP17	Combination	Max	-56,269	-82,616	0	0	0	-19,7646
13	0,445 HIP17	Combination	Max	-56,269	-74,495	0	0	0	21,4923
13	0 HIP17	Combination	Min	-66,029	-305,362	0	0	0	-125,4219
13	0,445 HIP17	Combination	Min	-66,029	-297,241	0	0	0	2,6528
13	0 HIP18	Combination	Max	-63,462	-80,98	0	0	0	-19,604
13	0,445 HIP18	Combination	Max	-63,462	-80,357	0	0	0	22,5934
13	0 HIP18	Combination	Min	-73,221	-303,727	0	0	0	-125,2613
13	0,445 HIP18	Combination	Min	-73,221	-303,104	0	0	0	3,7539
13	0 HIP19	Combination		-71,072	-80,785	0	0	0	-20,0403
13	0,445 HIP19	Combination		-71,072	-81,052	0	0	0	15,9687
13	0 ELU	Combination	Max	-6,975	-58,085	0	0	0	-13,436
13	0,445 ELU	Combination	Max	-6,975	-51,326	0	0	0	33,7347
13	0 ELU	Combination	Min	-109,209	-445,736	0	0	0	-189,7898
13	0,445 ELU	Combination	Min	-109,209	-444,132	0	0	0	-1,4138
13	0 ELS-DEF	Combination	Max	-56,269	-80,785	0	0	0	-19,604
13	0,445 ELS-DEF	Combination	Max	-56,269	-74,495	0	0	0	22,6378
13	0 ELS-DEF	Combination	Min	-73,288	-305,362	0	0	0	-125,4219
13	0,445 ELS-DEF	Combination	Min	-73,288	-303,799	0	0	0	2,6528
13	0 HIP20	Combination		-76,69	-80,797	0	0	0	-17,9198
13	0,445 HIP20	Combination		-76,69	-81,064	0	0	0	18,0944
13	0 HIP21	Combination		-76,656	-80,894	0	0	0	-17,8863
13	0,445 HIP21	Combination		-76,656	-80,716	0	0	0	18,0721
13	0 ENV-SISMO	Combination	Max	-76,656	-80,797	0	0	0	-17,8863
13	0,445 ENV-SISMO	Combination	Max	-76,656	-80,716	0	0	0	18,0944
13	0 ENV-SISMO	Combination	Min	-76,69	-80,894	0	0	0	-17,9198
13	0,445 ENV-SISMO	Combination	Min	-76,69	-81,064	0	0	0	18,0721
13	0 HIP22	Combination		-70,972	-81,077	0	0	0	-19,9398
13	0,445 HIP22	Combination		-70,972	-80,009	0	0	0	15,902
13	0 HIP23	Combination		-63,946	-82,227	0	0	0	-20,2678
13	0,445 HIP23	Combination		-63,946	-75,885	0	0	0	14,9121
13	0 ELS-FIS	Combination	Max	-63,946	-81,077	0	0	0	-19,9398
13	0,445 ELS-FIS	Combination	Max	-63,946	-75,885	0	0	0	15,902
13	0 ELS-FIS	Combination	Min	-70,972	-82,227	0	0	0	-20,2678
13	0,445 ELS-FIS	Combination	Min	-70,972	-80,009	0	0	0	14,9121
13	0 ENV-TREN	Combination	Max	7,544	0	0	0	0	0,3693
13	0,445 ENV-TREN	Combination	Max	7,544	0	0	0	0	6,6691
13	0 ENV-TREN	Combination	Min	-2,216	-222,746	0	0	0	-105,288
13	0,445 ENV-TREN	Combination	Min	-2,216	-222,746	0	0	0	-12,1704
14	0 PP	NonStatic	Max	-5,167	-54,701	0	0	0	2,0939
14	0,47 PP	NonStatic	Max	-5,167	-49,414	0	0	0	26,561
14	0 PP	NonStatic	Min	-5,167	-54,701	0	0	0	2,0939
14	0,47 PP	NonStatic	Min	-5,167	-49,414	0	0	0	26,561
14	0 CM CARRIL UIC-54	NonStatic	Max	0,014	-0,735	0	0	0	-0,0149
14	0,47 CM CARRIL UIC-54	NonStatic	Max	0,014	-0,735	0	0	0	0,3304
14	0 CM CARRIL UIC-54	NonStatic	Min	0,014	-0,735	0	0	0	-0,0149
14	0,47 CM CARRIL UIC-54	NonStatic	Min	0,014	-0,735	0	0	0	0,3304
14	0 CM TRAVIESAS	NonStatic	Max	0,063	-3,343	0	0	0	-0,0677
14	0,47 CM TRAVIESAS	NonStatic	Max	0,063	-3,343	0	0	0	1,5034
14	0 CM TRAVIESAS	NonStatic	Min	0,063	-3,343	0	0	0	-0,0677
14	0,47 CM TRAVIESAS	NonStatic	Min	0,063	-3,343	0	0	0	1,5034
14	0 CM TIERRAS + BALASTO	NonStatic	Max	0,87	-45,954	0	0	0	-0,931
14	0,47 CM TIERRAS + BALASTO	NonStatic	Max	0,87	-45,954	0	0	0	20,6674



“Proyecto de las estructuras para la conexión peatonal de los andenes  
de la estación de Font de Sant Lluís en Valencia”.

14	0	CM TIERRAS + BALASTO	NonStatic	Min	0,87	-45,954	0	0	0	-0,931
14	0,47	CM TIERRAS + BALASTO	NonStatic	Min	0,87	-45,954	0	0	0	20,6674
14	0	CM SUELO SOLERA	NonStatic	Max	0,067	-0,122	0	0	0	-0,0444
14	0,47	CM SUELO SOLERA	NonStatic	Max	0,067	0,818	0	0	0	-0,2078
14	0	CM SUELO SOLERA	NonStatic	Min	0,067	-0,122	0	0	0	-0,0444
14	0,47	CM SUELO SOLERA	NonStatic	Min	0,067	0,818	0	0	0	-0,2078
14	0	SBC SUELO SOLERA	NonStatic	Max	0,167	-0,306	0	0	0	-0,1111
14	0,47	SBC SUELO SOLERA	NonStatic	Max	0,167	2,044	0	0	0	-0,5194
14	0	SBC SUELO SOLERA	NonStatic	Min	0,167	-0,306	0	0	0	-0,1111
14	0,47	SBC SUELO SOLERA	NonStatic	Min	0,167	2,044	0	0	0	-0,5194
14	0	EMPUJE TIERRAS	NonStatic	Max	-59,827	-0,055	0	0	0	13,8985
14	0,47	EMPUJE TIERRAS	NonStatic	Max	-59,827	-0,055	0	0	0	13,9245
14	0	EMPUJE TIERRAS	NonStatic	Min	-59,827	-0,055	0	0	0	13,8985
14	0,47	EMPUJE TIERRAS	NonStatic	Min	-59,827	-0,055	0	0	0	13,9245
14	0	EMPUJE AGUA	LinStatic		-7,026	0,723	0	0	0	0,9899
14	0,47	EMPUJE AGUA	LinStatic		-7,026	-4,847	0	0	0	1,959
14	0	SISMO	NonStatic	Max	-5,617	-0,008449	0	0	0	2,1257
14	0,47	SISMO	NonStatic	Max	-5,617	-0,008449	0	0	0	2,1297
14	0	SISMO	NonStatic	Min	-5,617	-0,008449	0	0	0	2,1257
14	0,47	SISMO	NonStatic	Min	-5,617	-0,008449	0	0	0	2,1297
14	0	MODAL	LinModal	Mode	94,637	-37,22	0	0	0	-163,7333
14	0,47	MODAL	LinModal	Mode	94,637	-37,22	0	0	0	-146,24
14	0	MODAL	LinModal	Mode	-38,83	-390,332	0	0	0	16,6974
14	0,47	MODAL	LinModal	Mode	-38,83	-390,332	0	0	0	200,1535
14	0	MODAL	LinModal	Mode	13950,849	8038,289	0	0	0	-19302,7724
14	0,47	MODAL	LinModal	Mode	13950,849	8038,289	0	0	0	-23080,7681
14	0	MODAL	LinModal	Mode	19351,52	-35163,035	0	0	0	-4944,2823
14	0,47	MODAL	LinModal	Mode	19351,52	-35163,035	0	0	0	11582,3443
14	0	MODAL	LinModal	Mode	-27693,348	-83211,261	0	0	0	27427,4745
14	0,47	MODAL	LinModal	Mode	-27693,348	-83211,261	0	0	0	66536,7672
14	0	MODAL	LinModal	Mode	134313,582	-2541,022	0	0	0	-56582,1887
14	0,47	MODAL	LinModal	Mode	134313,582	-2541,022	0	0	0	-55387,9085
14	0	MODAL	LinModal	Mode	162446,54	97616,715	0	0	0	-60448,7754
14	0,47	MODAL	LinModal	Mode	162446,54	97616,715	0	0	0	-106328,631
14	0	MODAL	LinModal	Mode	225272,751	206890,891	0	0	0	-6584,331
14	0,47	MODAL	LinModal	Mode	225272,751	206890,891	0	0	0	-103823,05
14	0	MODAL	LinModal	Mode	4614,908	421721,006	0	0	0	56554,4281
14	0,47	MODAL	LinModal	Mode	4614,908	421721,006	0	0	0	-141654,445
14	0	MODAL	LinModal	Mode	-602534,595	-8671,534	0	0	0	104569,9146
14	0,47	MODAL	LinModal	Mode	-602534,595	-8671,534	0	0	0	108645,5355
14	0	MODAL	LinModal	Mode	854813,962	251816,338	0	0	0	-63045,5466
14	0,47	MODAL	LinModal	Mode	854813,962	251816,338	0	0	0	-181399,225
14	0	MODAL	LinModal	Mode	125354,487	671976,372	0	0	0	195200,6415
14	0,47	MODAL	LinModal	Mode	125354,487	671976,372	0	0	0	-120628,253
14	0	HIP1	Combination		-6,975	-73,847	0	0	0	2,8267
14	0,47	HIP1	Combination		-6,975	-66,709	0	0	0	35,8573
14	0	HIP2	Combination		-95,437	-141,472	0	0	0	22,3061
14	0,47	HIP2	Combination		-95,437	-134,334	0	0	0	87,1206
14	0	HIP3	Combination		-105,976	-140,388	0	0	0	23,791
14	0,47	HIP3	Combination		-105,976	-141,604	0	0	0	90,0591
14	0	HIP4	Combination		-95,347	-141,638	0	0	0	22,2461
14	0,47	HIP4	Combination		-95,347	-133,231	0	0	0	86,8401
14	0	HIP5	Combination		-105,635	-141,013	0	0	0	23,5643
14	0,47	HIP5	Combination		-105,635	-137,435	0	0	0	88,9995
14	0	HIP6	Combination	Max	-64,747	-140,36	0	0	0	26,8454
14	0,47	HIP6	Combination	Max	-64,747	-141,577	0	0	0	276,6992
14	0	HIP6	Combination	Min	-79,386	-570,835	0	0	0	-1,4138
14	0,47	HIP6	Combination	Min	-79,386	-572,051	0	0	0	83,0969
14	0	HIP7	Combination	Max	-94,57	-140,553	0	0	0	33,7347
14	0,47	HIP7	Combination	Max	-94,57	-140,5	0	0	0	283,381
14	0	HIP7	Combination	Min	-109,209	-571,028	0	0	0	5,4754
14	0,47	HIP7	Combination	Min	-109,209	-570,975	0	0	0	89,7786
14	0	HIP8	Combination	Max	-83,781	-142,097	0	0	0	32,0831
14	0,47	HIP8	Combination	Max	-83,781	-130,165	0	0	0	279,6633
14	0	HIP8	Combination	Min	-98,42	-572,572	0	0	0	3,8239
14	0,47	HIP8	Combination	Min	-98,42	-560,64	0	0	0	86,061
14	0	HIP9	Combination	Max	-94,57	-140,553	0	0	0	33,7347
14	0,47	HIP9	Combination	Max	-94,57	-140,5	0	0	0	283,381
14	0	HIP9	Combination	Min	-109,209	-571,028	0	0	0	5,4754
14	0,47	HIP9	Combination	Min	-109,209	-570,975	0	0	0	89,7786
14	0	HIP10	Combination		-93,96	-104,816	0	0	0	21,928
14	0,47	HIP10	Combination		-93,96	-99,528	0	0	0	69,9489
14	0	HIP11	Combination		-71,072	-104,065	0	0	0	15,9687



14	0,47 HIP11	Combination	-71,072	-104,347	0	0	0	64,9456
14	0 HIP12	Combination	-64,047	-104,788	0	0	0	14,9788
14	0,47 HIP12	Combination	-64,047	-99,501	0	0	0	62,9866
14	0 HIP13	Combination	-71,006	-104,188	0	0	0	15,9242
14	0,47 HIP13	Combination	-71,006	-103,53	0	0	0	64,7379
14	0 HIP14	Combination	-63,813	-105,217	0	0	0	14,8232
14	0,47 HIP14	Combination	-63,813	-96,639	0	0	0	62,2594
14	0 HIP15	Combination Max	-63,529	-104,065	0	0	0	22,6378
14	0,47 HIP15	Combination Max	-63,529	-104,347	0	0	0	194,0139
14	0 HIP15	Combination Min	-73,288	-391,048	0	0	0	3,7983
14	0,47 HIP15	Combination Min	-73,288	-391,33	0	0	0	64,9456
14	0 HIP16	Combination Max	-63,462	-104,188	0	0	0	22,5934
14	0,47 HIP16	Combination Max	-63,462	-103,53	0	0	0	193,8061
14	0 HIP16	Combination Min	-73,221	-391,171	0	0	0	3,7539
14	0,47 HIP16	Combination Min	-73,221	-390,513	0	0	0	64,7379
14	0 HIP17	Combination Max	-56,269	-105,217	0	0	0	21,4923
14	0,47 HIP17	Combination Max	-56,269	-96,639	0	0	0	191,3276
14	0 HIP17	Combination Min	-66,029	-392,2	0	0	0	2,6528
14	0,47 HIP17	Combination Min	-66,029	-383,623	0	0	0	62,2594
14	0 HIP18	Combination Max	-63,462	-104,188	0	0	0	22,5934
14	0,47 HIP18	Combination Max	-63,462	-103,53	0	0	0	193,8061
14	0 HIP18	Combination Min	-73,221	-391,171	0	0	0	3,7539
14	0,47 HIP18	Combination Min	-73,221	-390,513	0	0	0	64,7379
14	0 HIP19	Combination	-71,072	-104,065	0	0	0	15,9687
14	0,47 HIP19	Combination	-71,072	-104,347	0	0	0	64,9456
14	0 ELU	Combination Max	-6,975	-73,847	0	0	0	33,7347
14	0,47 ELU	Combination Max	-6,975	-66,709	0	0	0	283,381
14	0 ELU	Combination Min	-109,209	-572,572	0	0	0	-1,4138
14	0,47 ELU	Combination Min	-109,209	-572,051	0	0	0	35,8573
14	0 ELS-DEF	Combination Max	-56,269	-104,065	0	0	0	22,6378
14	0,47 ELS-DEF	Combination Max	-56,269	-96,639	0	0	0	194,0139
14	0 ELS-DEF	Combination Min	-73,288	-392,2	0	0	0	2,6528
14	0,47 ELS-DEF	Combination Min	-73,288	-391,33	0	0	0	62,2594
14	0 HIP20	Combination	-76,69	-104,074	0	0	0	18,0944
14	0,47 HIP20	Combination	-76,69	-104,356	0	0	0	67,0753
14	0 HIP21	Combination	-76,656	-104,135	0	0	0	18,0721
14	0,47 HIP21	Combination	-76,656	-103,947	0	0	0	66,9714
14	0 ENV-SISMO	Combination Max	-76,656	-104,074	0	0	0	18,0944
14	0,47 ENV-SISMO	Combination Max	-76,656	-103,947	0	0	0	67,0753
14	0 ENV-SISMO	Combination Min	-76,69	-104,135	0	0	0	18,0721
14	0,47 ENV-SISMO	Combination Min	-76,69	-104,356	0	0	0	66,9714
14	0 HIP22	Combination	-70,972	-104,249	0	0	0	15,902
14	0,47 HIP22	Combination	-70,972	-103,121	0	0	0	64,634
14	0 HIP23	Combination	-63,946	-104,972	0	0	0	14,9121
14	0,47 HIP23	Combination	-63,946	-98,274	0	0	0	62,675
14	0 ELS-FIS	Combination Max	-63,946	-104,249	0	0	0	15,902
14	0,47 ELS-FIS	Combination Max	-63,946	-98,274	0	0	0	64,634
14	0 ELS-FIS	Combination Min	-70,972	-104,972	0	0	0	14,9121
14	0,47 ELS-FIS	Combination Min	-70,972	-103,121	0	0	0	62,675
14	0 ENV-TREN	Combination Max	7,544	0	0	0	0	6,6691
14	0,47 ENV-TREN	Combination Max	7,544	0	0	0	0	129,0682
14	0 ENV-TREN	Combination Min	-2,216	-286,983	0	0	0	-12,1704
14	0,47 ENV-TREN	Combination Min	-2,216	-286,983	0	0	0	0
16	0 PP	NonStatic Max	-49,815	5,167	0	0	0	19,0585
16	0,1815 PP	NonStatic Max	-47,773	5,167	0	0	0	18,1207
16	0,363 PP	NonStatic Max	-45,731	5,167	0	0	0	17,1829
16	0 PP	NonStatic Min	-49,815	5,167	0	0	0	19,0585
16	0,1815 PP	NonStatic Min	-47,773	5,167	0	0	0	18,1207
16	0,363 PP	NonStatic Min	-45,731	5,167	0	0	0	17,1829
16	0 CM CARRIL UIC-54	NonStatic Max	-0,9	-0,014	0	0	0	0,3506
16	0,1815 CM CARRIL UIC-54	NonStatic Max	-0,9	-0,014	0	0	0	0,3531
16	0,363 CM CARRIL UIC-54	NonStatic Max	-0,9	-0,014	0	0	0	0,3557
16	0 CM CARRIL UIC-54	NonStatic Min	-0,9	-0,014	0	0	0	0,3506
16	0,1815 CM CARRIL UIC-54	NonStatic Min	-0,9	-0,014	0	0	0	0,3531
16	0,363 CM CARRIL UIC-54	NonStatic Min	-0,9	-0,014	0	0	0	0,3557
16	0 CM TRAVIESAS	NonStatic Max	-4,095	-0,063	0	0	0	1,5953
16	0,1815 CM TRAVIESAS	NonStatic Max	-4,095	-0,063	0	0	0	1,6067
16	0,363 CM TRAVIESAS	NonStatic Max	-4,095	-0,063	0	0	0	1,6182
16	0 CM TRAVIESAS	NonStatic Min	-4,095	-0,063	0	0	0	1,5953
16	0,1815 CM TRAVIESAS	NonStatic Min	-4,095	-0,063	0	0	0	1,6067
16	0,363 CM TRAVIESAS	NonStatic Min	-4,095	-0,063	0	0	0	1,6182
16	0 CM TIERRAS + BALASTO	NonStatic Max	-56,295	-0,87	0	0	0	21,9304
16	0,1815 CM TIERRAS + BALASTO	NonStatic Max	-56,295	-0,87	0	0	0	22,0882



## “Proyecto de las estructuras para la conexión peatonal de los andenes de la estación de Font de Sant Lluís en Valencia”.

16	0,363	CM TIERRAS + BALASTO	NonStatic	Max	-56,295	-0,87	0	0	0	22,2461
16	0	CM TIERRAS + BALASTO	NonStatic	Min	-56,295	-0,87	0	0	0	21,9304
16	0,1815	CM TIERRAS + BALASTO	NonStatic	Min	-56,295	-0,87	0	0	0	22,0882
16	0,363	CM TIERRAS + BALASTO	NonStatic	Min	-56,295	-0,87	0	0	0	22,2461
16	0	CM SUELO SOLERA	NonStatic	Max	5,821E-11	-0,067	0	0	0	-0,1107
16	0,1815	CM SUELO SOLERA	NonStatic	Max	5,821E-11	-0,067	0	0	0	-0,0985
16	0,363	CM SUELO SOLERA	NonStatic	Max	5,821E-11	-0,067	0	0	0	-0,0864
16	0	CM SUELO SOLERA	NonStatic	Min	5,821E-11	-0,067	0	0	0	-0,1107
16	0,1815	CM SUELO SOLERA	NonStatic	Min	5,821E-11	-0,067	0	0	0	-0,0985
16	0,363	CM SUELO SOLERA	NonStatic	Min	5,821E-11	-0,067	0	0	0	-0,0864
16	0	SBC SUELO SOLERA	NonStatic	Max	1,455E-10	-0,167	0	0	0	-0,2767
16	0,1815	SBC SUELO SOLERA	NonStatic	Max	1,455E-10	-0,167	0	0	0	-0,2463
16	0,363	SBC SUELO SOLERA	NonStatic	Max	1,455E-10	-0,167	0	0	0	-0,216
16	0	SBC SUELO SOLERA	NonStatic	Min	1,455E-10	-0,167	0	0	0	-0,2767
16	0,1815	SBC SUELO SOLERA	NonStatic	Min	1,455E-10	-0,167	0	0	0	-0,2463
16	0,363	SBC SUELO SOLERA	NonStatic	Min	1,455E-10	-0,167	0	0	0	-0,216
16	0	EMPUJE TIERRAS	NonStatic	Max	-3,638E-12	5,413	0	0	0	-30,9378
16	0,1815	EMPUJE TIERRAS	NonStatic	Max	-3,638E-12	0,064	0	0	0	-31,4299
16	0,363	EMPUJE TIERRAS	NonStatic	Max	-3,638E-12	-4,961	0	0	0	-30,9807
16	0	EMPUJE TIERRAS	NonStatic	Min	-3,638E-12	5,413	0	0	0	-30,9378
16	0,1815	EMPUJE TIERRAS	NonStatic	Min	-3,638E-12	0,064	0	0	0	-31,4299
16	0,363	EMPUJE TIERRAS	NonStatic	Min	-3,638E-12	-4,961	0	0	0	-30,9807
16	0	EMPUJE AGUA	LinStatic		-3,492E-10	-0,362	0	0	0	-0,5859
16	0,1815	EMPUJE AGUA	LinStatic		-3,492E-10	-0,362	0	0	0	-0,5202
16	0,363	EMPUJE AGUA	LinStatic		-3,492E-10	-0,362	0	0	0	-0,4545
16	0	SISMO	NonStatic	Max	-5,684E-13	2,87	0	0	0	-4,6971
16	0,1815	SISMO	NonStatic	Max	-5,684E-13	2,14	0	0	0	-5,1531
16	0,363	SISMO	NonStatic	Max	-5,684E-13	1,325	0	0	0	-5,4688
16	0	SISMO	NonStatic	Min	-5,684E-13	2,87	0	0	0	-4,6971
16	0,1815	SISMO	NonStatic	Min	-5,684E-13	2,14	0	0	0	-5,1531
16	0,363	SISMO	NonStatic	Min	-5,684E-13	1,325	0	0	0	-5,4688
16	0	MODAL	LinModal	Mode	104,448	86,191	0	0	0	11,8907
16	0,1815	MODAL	LinModal	Mode	104,448	86,191	0	0	0	-3,7529
16	0,363	MODAL	LinModal	Mode	104,448	86,191	0	0	0	-19,3965
16	0	MODAL	LinModal	Mode	-358,204	39,236	0	0	0	143,6005
16	0,1815	MODAL	LinModal	Mode	-358,204	39,236	0	0	0	136,4791
16	0,363	MODAL	LinModal	Mode	-358,204	39,236	0	0	0	129,3577
16	0	MODAL	LinModal	Mode	-1395,777	12968,002	0	0	0	3115,0201
16	0,1815	MODAL	LinModal	Mode	-1395,777	12968,002	0	0	0	761,3277
16	0,363	MODAL	LinModal	Mode	-1395,777	12968,002	0	0	0	-1592,3646
16	0	MODAL	LinModal	Mode	-35777,537	-3073,516	0	0	0	32943,6955
16	0,1815	MODAL	LinModal	Mode	-35777,537	-3073,516	0	0	0	33501,5386
16	0,363	MODAL	LinModal	Mode	-35777,537	-3073,516	0	0	0	34059,3818
16	0	MODAL	LinModal	Mode	-7461,744	45101,36	0	0	0	16620,0932
16	0,1815	MODAL	LinModal	Mode	-7461,744	45101,36	0	0	0	8434,1963
16	0,363	MODAL	LinModal	Mode	-7461,744	45101,36	0	0	0	248,2994
16	0	MODAL	LinModal	Mode	2855,297	9757,594	0	0	0	-86577,5328
16	0,1815	MODAL	LinModal	Mode	2855,297	9757,594	0	0	0	-88348,5361
16	0,363	MODAL	LinModal	Mode	2855,297	9757,594	0	0	0	-90119,5393
16	0	MODAL	LinModal	Mode	103260,77	-26753,022	0	0	0	73884,9701
16	0,1815	MODAL	LinModal	Mode	103260,77	-26753,022	0	0	0	78740,6436
16	0,363	MODAL	LinModal	Mode	103260,77	-26753,022	0	0	0	83596,317
16	0	MODAL	LinModal	Mode	-374947,238	-61127,828	0	0	0	-76183,5535
16	0,1815	MODAL	LinModal	Mode	-374947,238	-61127,828	0	0	0	-65088,8527
16	0,363	MODAL	LinModal	Mode	-374947,238	-61127,828	0	0	0	-53994,1519
16	0	MODAL	LinModal	Mode	-230550,413	163621,584	0	0	0	20855,1415
16	0,1815	MODAL	LinModal	Mode	-230550,413	163621,584	0	0	0	-8842,1761
16	0,363	MODAL	LinModal	Mode	-230550,413	163621,584	0	0	0	-38539,4936
16	0	MODAL	LinModal	Mode	-945,114	-362949,941	0	0	0	-131756,827
16	0,1815	MODAL	LinModal	Mode	-945,114	-362949,941	0	0	0	-65881,4125
16	0,363	MODAL	LinModal	Mode	-945,114	-362949,941	0	0	0	-5,9982
16	0	MODAL	LinModal	Mode	32174,136	-426458,953	0	0	0	-86448,8695
16	0,1815	MODAL	LinModal	Mode	32174,136	-426458,953	0	0	0	-9046,5696
16	0,363	MODAL	LinModal	Mode	32174,136	-426458,953	0	0	0	68355,7303
16	0	MODAL	LinModal	Mode	1318042,845	-42994,323	0	0	0	32390,5214
16	0,1815	MODAL	LinModal	Mode	1318042,845	-42994,323	0	0	0	40193,9911
16	0,363	MODAL	LinModal	Mode	1318042,845	-42994,323	0	0	0	47997,4607
16	0	HIP1	Combination		-67,25	6,975	0	0	0	25,729
16	0,1815	HIP1	Combination		-64,494	6,975	0	0	0	24,4629
16	0,363	HIP1	Combination		-61,737	6,975	0	0	0	23,1969
16	0	HIP2	Combination		-149,992	13,816	0	0	0	11,5552
16	0,1815	HIP2	Combination		-147,235	5,794	0	0	0	9,783
16	0,363	HIP2	Combination		-144,479	-1,744	0	0	0	9,4228

16	0 HIP3	Combination	-149,992	13,273	0	0	0	10,6764
16	0,1815 HIP3	Combination	-147,235	5,251	0	0	0	9,0027
16	0,363 HIP3	Combination	-144,479	-2,287	0	0	0	8,741
16	0 HIP4	Combination	-149,992	13,726	0	0	0	11,4058
16	0,1815 HIP4	Combination	-147,235	5,703	0	0	0	9,6499
16	0,363 HIP4	Combination	-144,479	-1,834	0	0	0	9,3062
16	0 HIP5	Combination	-149,992	12,932	0	0	0	10,112
16	0,1815 HIP5	Combination	-147,235	4,91	0	0	0	8,5001
16	0,363 HIP5	Combination	-144,479	-2,628	0	0	0	8,3004
16	0 HIP6	Combination Max	-149,992	13,891	0	0	0	231,578
16	0,1815 HIP6	Combination Max	-147,235	8,542	0	0	0	231,6291
16	0,363 HIP6	Combination Max	-144,479	3,517	0	0	0	232,6216
16	0 HIP6	Combination Min	-677,335	-0,749	0	0	0	26,1453
16	0,1815 HIP6	Combination Min	-674,579	-6,097	0	0	0	24,7176
16	0,363 HIP6	Combination Min	-671,822	-11,122	0	0	0	24,2314
16	0 HIP7	Combination Max	-149,992	16,507	0	0	0	215,9597
16	0,1815 HIP7	Combination Max	-147,235	8,484	0	0	0	215,7811
16	0,363 HIP7	Combination Max	-144,479	0,947	0	0	0	217,0147
16	0 HIP7	Combination Min	-677,335	1,867	0	0	0	10,527
16	0,1815 HIP7	Combination Min	-674,579	-6,155	0	0	0	8,8697
16	0,363 HIP7	Combination Min	-671,822	-13,693	0	0	0	8,6244
16	0 HIP8	Combination Max	-149,992	16,799	0	0	0	216,4235
16	0,1815 HIP8	Combination Max	-147,235	8,776	0	0	0	216,1919
16	0,363 HIP8	Combination Max	-144,479	1,239	0	0	0	217,3725
16	0 HIP8	Combination Min	-677,335	2,159	0	0	0	10,9908
16	0,1815 HIP8	Combination Min	-674,579	-5,863	0	0	0	9,2804
16	0,363 HIP8	Combination Min	-671,822	-13,401	0	0	0	8,9822
16	0 HIP9	Combination Max	-149,992	16,507	0	0	0	215,9597
16	0,1815 HIP9	Combination Max	-147,235	8,484	0	0	0	215,7811
16	0,363 HIP9	Combination Max	-144,479	0,947	0	0	0	217,0147
16	0 HIP9	Combination Min	-677,335	1,867	0	0	0	10,527
16	0,1815 HIP9	Combination Min	-674,579	-6,155	0	0	0	8,8697
16	0,363 HIP9	Combination Min	-671,822	-13,693	0	0	0	8,6244
16	0 HIP10	Combination	-111,105	12,339	0	0	0	-3,4719
16	0,1815 HIP10	Combination	-109,063	4,317	0	0	0	-4,9761
16	0,363 HIP10	Combination	-107,021	-3,221	0	0	0	-5,0682
16	0 HIP11	Combination	-111,105	9,271	0	0	0	11,4111
16	0,1815 HIP11	Combination	-109,063	3,923	0	0	0	10,2187
16	0,363 HIP11	Combination	-107,021	-1,103	0	0	0	9,9676
16	0 HIP12	Combination	-111,105	9,633	0	0	0	11,997
16	0,1815 HIP12	Combination	-109,063	4,284	0	0	0	10,7389
16	0,363 HIP12	Combination	-107,021	-0,741	0	0	0	10,4221
16	0 HIP13	Combination	-111,105	9,204	0	0	0	11,3004
16	0,1815 HIP13	Combination	-109,063	3,856	0	0	0	10,1201
16	0,363 HIP13	Combination	-107,021	-1,169	0	0	0	9,8812
16	0 HIP14	Combination	-111,105	9,399	0	0	0	11,6096
16	0,1815 HIP14	Combination	-109,063	4,05	0	0	0	10,394
16	0,363 HIP14	Combination	-107,021	-0,975	0	0	0	10,1198
16	0 HIP15	Combination Max	-111,105	11,487	0	0	0	148,3662
16	0,1815 HIP15	Combination Max	-109,063	6,138	0	0	0	148,1597
16	0,363 HIP15	Combination Max	-107,021	1,113	0	0	0	148,8945
16	0 HIP15	Combination Min	-462,667	1,727	0	0	0	11,4111
16	0,1815 HIP15	Combination Min	-460,626	-3,621	0	0	0	10,2187
16	0,363 HIP15	Combination Min	-458,584	-8,646	0	0	0	9,9676
16	0 HIP16	Combination Max	-111,105	11,42	0	0	0	148,2555
16	0,1815 HIP16	Combination Max	-109,063	6,072	0	0	0	148,0611
16	0,363 HIP16	Combination Max	-107,021	1,046	0	0	0	148,8081
16	0 HIP16	Combination Min	-462,667	1,66	0	0	0	11,3004
16	0,1815 HIP16	Combination Min	-460,626	-3,688	0	0	0	10,1201
16	0,363 HIP16	Combination Min	-458,584	-8,713	0	0	0	9,8812
16	0 HIP17	Combination Max	-111,105	11,614	0	0	0	148,5647
16	0,1815 HIP17	Combination Max	-109,063	6,266	0	0	0	148,335
16	0,363 HIP17	Combination Max	-107,021	1,241	0	0	0	149,0466
16	0 HIP17	Combination Min	-462,667	1,855	0	0	0	11,6096
16	0,1815 HIP17	Combination Min	-460,626	-3,493	0	0	0	10,394
16	0,363 HIP17	Combination Min	-458,584	-8,519	0	0	0	10,1198
16	0 HIP18	Combination Max	-111,105	11,42	0	0	0	148,2555
16	0,1815 HIP18	Combination Max	-109,063	6,072	0	0	0	148,0611
16	0,363 HIP18	Combination Max	-107,021	1,046	0	0	0	148,8081
16	0 HIP18	Combination Min	-462,667	1,66	0	0	0	11,3004
16	0,1815 HIP18	Combination Min	-460,626	-3,688	0	0	0	10,1201
16	0,363 HIP18	Combination Min	-458,584	-8,713	0	0	0	9,8812
16	0 HIP19	Combination	-111,105	9,271	0	0	0	11,4111





## “Proyecto de las estructuras para la conexión peatonal de los andenes de la estación de Font de Sant Lluís en Valencia”.

16	0,1815 HIP19	Combination		-109,063	3,923	0	0	0	10,2187
16	0,363 HIP19	Combination		-107,021	-1,103	0	0	0	9,9676
16	0 ELU	Combination	Max	-67,25	16,799	0	0	0	231,578
16	0,1815 ELU	Combination	Max	-64,494	8,776	0	0	0	231,6291
16	0,363 ELU	Combination	Max	-61,737	6,975	0	0	0	232,6216
16	0 ELU	Combination	Min	-677,335	-0,749	0	0	0	-3,4719
16	0,1815 ELU	Combination	Min	-674,579	-6,155	0	0	0	-4,9761
16	0,363 ELU	Combination	Min	-671,822	-13,693	0	0	0	-5,0682
16	0 ELS-DEF	Combination	Max	-111,105	11,614	0	0	0	148,5647
16	0,1815 ELS-DEF	Combination	Max	-109,063	6,266	0	0	0	148,335
16	0,363 ELS-DEF	Combination	Max	-107,021	1,241	0	0	0	149,0466
16	0 ELS-DEF	Combination	Min	-462,667	1,66	0	0	0	11,3004
16	0,1815 ELS-DEF	Combination	Min	-460,626	-3,688	0	0	0	10,1201
16	0,363 ELS-DEF	Combination	Min	-458,584	-8,713	0	0	0	9,8812
16	0 HIP20	Combination		-111,105	12,141	0	0	0	6,714
16	0,1815 HIP20	Combination		-109,063	6,063	0	0	0	5,0656
16	0,363 HIP20	Combination		-107,021	0,222	0	0	0	4,4988
16	0 HIP21	Combination		-111,105	12,108	0	0	0	6,6587
16	0,1815 HIP21	Combination		-109,063	6,03	0	0	0	5,0163
16	0,363 HIP21	Combination		-107,021	0,189	0	0	0	4,4556
16	0 ENV-SISMO	Combination	Max	-111,105	12,141	0	0	0	6,714
16	0,1815 ENV-SISMO	Combination	Max	-109,063	6,063	0	0	0	5,0656
16	0,363 ENV-SISMO	Combination	Max	-107,021	0,222	0	0	0	4,4988
16	0 ENV-SISMO	Combination	Min	-111,105	12,108	0	0	0	6,6587
16	0,1815 ENV-SISMO	Combination	Min	-109,063	6,03	0	0	0	5,0163
16	0,363 ENV-SISMO	Combination	Min	-107,021	0,189	0	0	0	4,4556
16	0 HIP22	Combination		-111,105	9,171	0	0	0	11,2451
16	0,1815 HIP22	Combination		-109,063	3,822	0	0	0	10,0709
16	0,363 HIP22	Combination		-107,021	-1,203	0	0	0	9,838
16	0 HIP23	Combination		-111,105	9,532	0	0	0	11,8309
16	0,1815 HIP23	Combination		-109,063	4,184	0	0	0	10,5911
16	0,363 HIP23	Combination		-107,021	-0,841	0	0	0	10,2926
16	0 ELS-FIS	Combination	Max	-111,105	9,532	0	0	0	11,8309
16	0,1815 ELS-FIS	Combination	Max	-109,063	4,184	0	0	0	10,5911
16	0,363 ELS-FIS	Combination	Max	-107,021	-0,841	0	0	0	10,2926
16	0 ELS-FIS	Combination	Min	-111,105	9,171	0	0	0	11,2451
16	0,1815 ELS-FIS	Combination	Min	-109,063	3,822	0	0	0	10,0709
16	0,363 ELS-FIS	Combination	Min	-107,021	-1,203	0	0	0	9,838
16	0 ENV-TREN	Combination	Max	0	2,216	0	0	0	136,9551
16	0,1815 ENV-TREN	Combination	Max	0	2,216	0	0	0	137,941
16	0,363 ENV-TREN	Combination	Max	0	2,216	0	0	0	138,9269
16	0 ENV-TREN	Combination	Min	-351,562	-7,544	0	0	0	0
16	0,1815 ENV-TREN	Combination	Min	-351,562	-7,544	0	0	0	0
16	0,363 ENV-TREN	Combination	Min	-351,562	-7,544	0	0	0	0
17	0 PP	NonStatic	Max	-45,731	5,167	0	0	0	17,1829
17	0,1815 PP	NonStatic	Max	-43,689	5,167	0	0	0	16,2451
17	0,363 PP	NonStatic	Max	-41,647	5,167	0	0	0	15,3073
17	0 PP	NonStatic	Min	-45,731	5,167	0	0	0	17,1829
17	0,1815 PP	NonStatic	Min	-43,689	5,167	0	0	0	16,2451
17	0,363 PP	NonStatic	Min	-41,647	5,167	0	0	0	15,3073
17	0 CM CARRIL UIC-54	NonStatic	Max	-0,9	-0,014	0	0	0	0,3557
17	0,1815 CM CARRIL UIC-54	NonStatic	Max	-0,9	-0,014	0	0	0	0,3582
17	0,363 CM CARRIL UIC-54	NonStatic	Max	-0,9	-0,014	0	0	0	0,3607
17	0 CM CARRIL UIC-54	NonStatic	Min	-0,9	-0,014	0	0	0	0,3557
17	0,1815 CM CARRIL UIC-54	NonStatic	Min	-0,9	-0,014	0	0	0	0,3582
17	0,363 CM CARRIL UIC-54	NonStatic	Min	-0,9	-0,014	0	0	0	0,3607
17	0 CM TRAVIESAS	NonStatic	Max	-4,095	-0,063	0	0	0	1,6182
17	0,1815 CM TRAVIESAS	NonStatic	Max	-4,095	-0,063	0	0	0	1,6297
17	0,363 CM TRAVIESAS	NonStatic	Max	-4,095	-0,063	0	0	0	1,6412
17	0 CM TRAVIESAS	NonStatic	Min	-4,095	-0,063	0	0	0	1,6182
17	0,1815 CM TRAVIESAS	NonStatic	Min	-4,095	-0,063	0	0	0	1,6297
17	0,363 CM TRAVIESAS	NonStatic	Min	-4,095	-0,063	0	0	0	1,6412
17	0 CM TIERRAS + BALASTO	NonStatic	Max	-56,295	-0,87	0	0	0	22,2461
17	0,1815 CM TIERRAS + BALASTO	NonStatic	Max	-56,295	-0,87	0	0	0	22,4039
17	0,363 CM TIERRAS + BALASTO	NonStatic	Max	-56,295	-0,87	0	0	0	22,5618
17	0 CM TIERRAS + BALASTO	NonStatic	Min	-56,295	-0,87	0	0	0	22,2461
17	0,1815 CM TIERRAS + BALASTO	NonStatic	Min	-56,295	-0,87	0	0	0	22,4039
17	0,363 CM TIERRAS + BALASTO	NonStatic	Min	-56,295	-0,87	0	0	0	22,5618
17	0 CM SUELO SOLERA	NonStatic	Max	4,366E-11	-0,067	0	0	0	-0,0864
17	0,1815 CM SUELO SOLERA	NonStatic	Max	4,366E-11	-0,067	0	0	0	-0,0743
17	0,363 CM SUELO SOLERA	NonStatic	Max	4,366E-11	-0,067	0	0	0	-0,0621
17	0 CM SUELO SOLERA	NonStatic	Min	4,366E-11	-0,067	0	0	0	-0,0864
17	0,1815 CM SUELO SOLERA	NonStatic	Min	4,366E-11	-0,067	0	0	0	-0,0743

17	0,363	CM SUELO SOLERA	NonStatic	Min	4,366E-11	-0,067	0	0	0	-0,0621
17	0	SBC SUELO SOLERA	NonStatic	Max	1,019E-10	-0,167	0	0	0	-0,216
17	0,1815	SBC SUELO SOLERA	NonStatic	Max	1,019E-10	-0,167	0	0	0	-0,1856
17	0,363	SBC SUELO SOLERA	NonStatic	Max	1,019E-10	-0,167	0	0	0	-0,1553
17	0	SBC SUELO SOLERA	NonStatic	Min	1,019E-10	-0,167	0	0	0	-0,216
17	0,1815	SBC SUELO SOLERA	NonStatic	Min	1,019E-10	-0,167	0	0	0	-0,1856
17	0,363	SBC SUELO SOLERA	NonStatic	Min	1,019E-10	-0,167	0	0	0	-0,1553
17	0	EMPUJE TIERRAS	NonStatic	Max	-3,183E-12	-4,961	0	0	0	-30,9807
17	0,1815	EMPUJE TIERRAS	NonStatic	Max	-3,183E-12	-9,663	0	0	0	-29,6487
17	0,363	EMPUJE TIERRAS	NonStatic	Max	-3,183E-12	-14,042	0	0	0	-27,4926
17	0	EMPUJE TIERRAS	NonStatic	Min	-3,183E-12	-4,961	0	0	0	-30,9807
17	0,1815	EMPUJE TIERRAS	NonStatic	Min	-3,183E-12	-9,663	0	0	0	-29,6487
17	0,363	EMPUJE TIERRAS	NonStatic	Min	-3,183E-12	-14,042	0	0	0	-27,4926
17	0	EMPUJE AGUA	LinStatic		-2,328E-10	-0,362	0	0	0	-0,4545
17	0,1815	EMPUJE AGUA	LinStatic		-2,328E-10	-0,362	0	0	0	-0,3888
17	0,363	EMPUJE AGUA	LinStatic		-2,328E-10	-0,362	0	0	0	-0,3232
17	0	SISMO	NonStatic	Max	-5,684E-13	1,325	0	0	0	-5,4688
17	0,1815	SISMO	NonStatic	Max	-5,684E-13	0,423	0	0	0	-5,6288
17	0,363	SISMO	NonStatic	Max	-5,684E-13	-0,564	0	0	0	-5,6173
17	0	SISMO	NonStatic	Min	-5,684E-13	1,325	0	0	0	-5,4688
17	0,1815	SISMO	NonStatic	Min	-5,684E-13	0,423	0	0	0	-5,6288
17	0,363	SISMO	NonStatic	Min	-5,684E-13	-0,564	0	0	0	-5,6173
17	0	MODAL	LinModal	Mode	99,286	81,962	0	0	0	-19,3965
17	0,1815	MODAL	LinModal	Mode	99,286	81,962	0	0	0	-34,2726
17	0,363	MODAL	LinModal	Mode	99,286	81,962	0	0	0	-49,1488
17	0	MODAL	LinModal	Mode	-327,654	39,372	0	0	0	129,3577
17	0,1815	MODAL	LinModal	Mode	-327,654	39,372	0	0	0	122,2117
17	0,363	MODAL	LinModal	Mode	-327,654	39,372	0	0	0	115,0657
17	0	MODAL	LinModal	Mode	-80,418	12302,106	0	0	0	-1592,3646
17	0,1815	MODAL	LinModal	Mode	-80,418	12302,106	0	0	0	-3825,1969
17	0,363	MODAL	LinModal	Mode	-80,418	12302,106	0	0	0	-6058,0292
17	0	MODAL	LinModal	Mode	-35819,695	2854,164	0	0	0	34059,3818
17	0,1815	MODAL	LinModal	Mode	-35819,695	2854,164	0	0	0	33541,351
17	0,363	MODAL	LinModal	Mode	-35819,695	2854,164	0	0	0	33023,3203
17	0	MODAL	LinModal	Mode	7464,822	45214,357	0	0	0	248,2994
17	0,1815	MODAL	LinModal	Mode	7464,822	45214,357	0	0	0	-7958,1063
17	0,363	MODAL	LinModal	Mode	7464,822	45214,357	0	0	0	-16164,5121
17	0	MODAL	LinModal	Mode	2891,736	-33451,068	0	0	0	-90119,5393
17	0,1815	MODAL	LinModal	Mode	2891,736	-33451,068	0	0	0	-84048,1705
17	0,363	MODAL	LinModal	Mode	2891,736	-33451,068	0	0	0	-77976,8017
17	0	MODAL	LinModal	Mode	103231,351	26559,011	0	0	0	83596,317
17	0,1815	MODAL	LinModal	Mode	103231,351	26559,011	0	0	0	78775,8565
17	0,363	MODAL	LinModal	Mode	103231,351	26559,011	0	0	0	73955,3961
17	0	MODAL	LinModal	Mode	-395983,515	-122673,938	0	0	0	-53994,1519
17	0,1815	MODAL	LinModal	Mode	-395983,515	-122673,938	0	0	0	-31728,8321
17	0,363	MODAL	LinModal	Mode	-395983,515	-122673,938	0	0	0	-9463,5124
17	0	MODAL	LinModal	Mode	-183012,069	122964,376	0	0	0	-38539,4936
17	0,1815	MODAL	LinModal	Mode	-183012,069	122964,376	0	0	0	-60857,5278
17	0,363	MODAL	LinModal	Mode	-183012,069	122964,376	0	0	0	-83175,562
17	0	MODAL	LinModal	Mode	734,109	-362957,927	0	0	0	-5,9982
17	0,1815	MODAL	LinModal	Mode	734,109	-362957,927	0	0	0	65870,8655
17	0,363	MODAL	LinModal	Mode	734,109	-362957,927	0	0	0	131747,7292
17	0	MODAL	LinModal	Mode	91050,903	-345533,337	0	0	0	68355,7303
17	0,1815	MODAL	LinModal	Mode	91050,903	-345533,337	0	0	0	131070,031
17	0,363	MODAL	LinModal	Mode	91050,903	-345533,337	0	0	0	193784,3317
17	0	MODAL	LinModal	Mode	1318139,564	42897,215	0	0	0	47997,4607
17	0,1815	MODAL	LinModal	Mode	1318139,564	42897,215	0	0	0	40211,6162
17	0,363	MODAL	LinModal	Mode	1318139,564	42897,215	0	0	0	32425,7717
17	0	HIP1	Combination		-61,737	6,975	0	0	0	23,1969
17	0,1815	HIP1	Combination		-58,981	6,975	0	0	0	21,9309
17	0,363	HIP1	Combination		-56,224	6,975	0	0	0	20,6648
17	0	HIP2	Combination		-144,479	-1,744	0	0	0	9,4228
17	0,1815	HIP2	Combination		-141,722	-8,798	0	0	0	10,3868
17	0,363	HIP2	Combination		-138,966	-15,366	0	0	0	12,587
17	0	HIP3	Combination		-144,479	-2,287	0	0	0	8,741
17	0,1815	HIP3	Combination		-141,722	-9,34	0	0	0	9,8035
17	0,363	HIP3	Combination		-138,966	-15,909	0	0	0	12,1022
17	0	HIP4	Combination		-144,479	-1,834	0	0	0	9,3062
17	0,1815	HIP4	Combination		-141,722	-8,888	0	0	0	10,2865
17	0,363	HIP4	Combination		-138,966	-15,457	0	0	0	12,5031
17	0	HIP5	Combination		-144,479	-2,628	0	0	0	8,3004
17	0,1815	HIP5	Combination		-141,722	-9,681	0	0	0	9,4248
17	0,363	HIP5	Combination		-138,966	-16,25	0	0	0	11,7854



## “Proyecto de las estructuras para la conexión peatonal de los andenes de la estación de Font de Sant Lluís en Valencia”.

17	0 HIP6	Combination	Max	-144,479	3,517	0	0	0	232,6216
17	0,1815 HIP6	Combination	Max	-141,722	-1,185	0	0	0	234,4969
17	0,363 HIP6	Combination	Max	-138,966	-5,564	0	0	0	237,1964
17	0 HIP6	Combination	Min	-671,822	-11,122	0	0	0	24,2314
17	0,1815 HIP6	Combination	Min	-669,066	-15,824	0	0	0	24,6279
17	0,363 HIP6	Combination	Min	-666,309	-20,204	0	0	0	25,8485
17	0 HIP7	Combination	Max	-144,479	0,947	0	0	0	217,0147
17	0,1815 HIP7	Combination	Max	-141,722	-6,107	0	0	0	219,5723
17	0,363 HIP7	Combination	Max	-138,966	-12,676	0	0	0	223,3663
17	0 HIP7	Combination	Min	-671,822	-13,693	0	0	0	8,6244
17	0,1815 HIP7	Combination	Min	-669,066	-20,746	0	0	0	9,7033
17	0,363 HIP7	Combination	Min	-666,309	-27,315	0	0	0	12,0184
17	0 HIP8	Combination	Max	-144,479	1,239	0	0	0	217,3725
17	0,1815 HIP8	Combination	Max	-141,722	-5,815	0	0	0	219,8771
17	0,363 HIP8	Combination	Max	-138,966	-12,384	0	0	0	223,6181
17	0 HIP8	Combination	Min	-671,822	-13,401	0	0	0	8,9822
17	0,1815 HIP8	Combination	Min	-669,066	-20,454	0	0	0	10,0081
17	0,363 HIP8	Combination	Min	-666,309	-27,023	0	0	0	12,2702
17	0 HIP9	Combination	Max	-144,479	0,947	0	0	0	217,0147
17	0,1815 HIP9	Combination	Max	-141,722	-6,107	0	0	0	219,5723
17	0,363 HIP9	Combination	Max	-138,966	-12,676	0	0	0	223,3663
17	0 HIP9	Combination	Min	-671,822	-13,693	0	0	0	8,6244
17	0,1815 HIP9	Combination	Min	-669,066	-20,746	0	0	0	9,7033
17	0,363 HIP9	Combination	Min	-666,309	-27,315	0	0	0	12,0184
17	0 HIP10	Combination		-107,021	-3,221	0	0	0	-5,0682
17	0,1815 HIP10	Combination		-104,979	-10,275	0	0	0	-3,8361
17	0,363 HIP10	Combination		-102,937	-16,843	0	0	0	-1,3679
17	0 HIP11	Combination		-107,021	-1,103	0	0	0	9,9676
17	0,1815 HIP11	Combination		-104,979	-5,805	0	0	0	10,5994
17	0,363 HIP11	Combination		-102,937	-10,184	0	0	0	12,0553
17	0 HIP12	Combination		-107,021	-0,741	0	0	0	10,4221
17	0,1815 HIP12	Combination		-104,979	-5,443	0	0	0	10,9882
17	0,363 HIP12	Combination		-102,937	-9,822	0	0	0	12,3784
17	0 HIP13	Combination		-107,021	-1,169	0	0	0	9,8812
17	0,1815 HIP13	Combination		-104,979	-5,872	0	0	0	10,5251
17	0,363 HIP13	Combination		-102,937	-10,251	0	0	0	11,9931
17	0 HIP14	Combination		-107,021	-0,975	0	0	0	10,1198
17	0,1815 HIP14	Combination		-104,979	-5,677	0	0	0	10,7283
17	0,363 HIP14	Combination		-102,937	-10,056	0	0	0	12,161
17	0 HIP15	Combination	Max	-107,021	1,113	0	0	0	148,8945
17	0,1815 HIP15	Combination	Max	-104,979	-3,589	0	0	0	150,5121
17	0,363 HIP15	Combination	Max	-102,937	-7,968	0	0	0	152,9538
17	0 HIP15	Combination	Min	-458,584	-8,646	0	0	0	9,9676
17	0,1815 HIP15	Combination	Min	-456,542	-13,349	0	0	0	10,5994
17	0,363 HIP15	Combination	Min	-454,5	-17,728	0	0	0	12,0553
17	0 HIP16	Combination	Max	-107,021	1,046	0	0	0	148,8081
17	0,1815 HIP16	Combination	Max	-104,979	-3,656	0	0	0	150,4378
17	0,363 HIP16	Combination	Max	-102,937	-8,035	0	0	0	152,8917
17	0 HIP16	Combination	Min	-458,584	-8,713	0	0	0	9,8812
17	0,1815 HIP16	Combination	Min	-456,542	-13,415	0	0	0	10,5251
17	0,363 HIP16	Combination	Min	-454,5	-17,795	0	0	0	11,9931
17	0 HIP17	Combination	Max	-107,021	1,241	0	0	0	149,0466
17	0,1815 HIP17	Combination	Max	-104,979	-3,461	0	0	0	150,641
17	0,363 HIP17	Combination	Max	-102,937	-7,841	0	0	0	153,0596
17	0 HIP17	Combination	Min	-458,584	-8,519	0	0	0	10,1198
17	0,1815 HIP17	Combination	Min	-456,542	-13,221	0	0	0	10,7283
17	0,363 HIP17	Combination	Min	-454,5	-17,6	0	0	0	12,161
17	0 HIP18	Combination	Max	-107,021	1,046	0	0	0	148,8081
17	0,1815 HIP18	Combination	Max	-104,979	-3,656	0	0	0	150,4378
17	0,363 HIP18	Combination	Max	-102,937	-8,035	0	0	0	152,8917
17	0 HIP18	Combination	Min	-458,584	-8,713	0	0	0	9,8812
17	0,1815 HIP18	Combination	Min	-456,542	-13,415	0	0	0	10,5251
17	0,363 HIP18	Combination	Min	-454,5	-17,795	0	0	0	11,9931
17	0 HIP19	Combination		-107,021	-1,103	0	0	0	9,9676
17	0,1815 HIP19	Combination		-104,979	-5,805	0	0	0	10,5994
17	0,363 HIP19	Combination		-102,937	-10,184	0	0	0	12,0553
17	0 ELU	Combination	Max	-61,737	6,975	0	0	0	232,6216
17	0,1815 ELU	Combination	Max	-58,981	6,975	0	0	0	234,4969
17	0,363 ELU	Combination	Max	-56,224	6,975	0	0	0	237,1964
17	0 ELU	Combination	Min	-671,822	-13,693	0	0	0	-5,0682
17	0,1815 ELU	Combination	Min	-669,066	-20,746	0	0	0	-3,8361
17	0,363 ELU	Combination	Min	-666,309	-27,315	0	0	0	-1,3679
17	0 ELS-DEF	Combination	Max	-107,021	1,241	0	0	0	149,0466



17	0,1815 ELS-DEF	Combination	Max	-104,979	-3,461	0	0	0	150,641
17	0,363 ELS-DEF	Combination	Max	-102,937	-7,841	0	0	0	153,0596
17	0 ELS-DEF	Combination	Min	-458,584	-8,713	0	0	0	9,8812
17	0,1815 ELS-DEF	Combination	Min	-456,542	-13,415	0	0	0	10,5251
17	0,363 ELS-DEF	Combination	Min	-454,5	-17,795	0	0	0	11,9931
17	0 HIP20	Combination		-107,021	0,222	0	0	0	4,4988
17	0,1815 HIP20	Combination		-104,979	-5,381	0	0	0	4,9706
17	0,363 HIP20	Combination		-102,937	-10,748	0	0	0	6,4379
17	0 HIP21	Combination		-107,021	0,189	0	0	0	4,4556
17	0,1815 HIP21	Combination		-104,979	-5,415	0	0	0	4,9335
17	0,363 HIP21	Combination		-102,937	-10,781	0	0	0	6,4069
17	0 ENV-SISMO	Combination	Max	-107,021	0,222	0	0	0	4,4988
17	0,1815 ENV-SISMO	Combination	Max	-104,979	-5,381	0	0	0	4,9706
17	0,363 ENV-SISMO	Combination	Max	-102,937	-10,748	0	0	0	6,4379
17	0 ENV-SISMO	Combination	Min	-107,021	0,189	0	0	0	4,4556
17	0,1815 ENV-SISMO	Combination	Min	-104,979	-5,415	0	0	0	4,9335
17	0,363 ENV-SISMO	Combination	Min	-102,937	-10,781	0	0	0	6,4069
17	0 HIP22	Combination		-107,021	-1,203	0	0	0	9,838
17	0,1815 HIP22	Combination		-104,979	-5,905	0	0	0	10,488
17	0,363 HIP22	Combination		-102,937	-10,284	0	0	0	11,9621
17	0 HIP23	Combination		-107,021	-0,841	0	0	0	10,2926
17	0,1815 HIP23	Combination		-104,979	-5,543	0	0	0	10,8768
17	0,363 HIP23	Combination		-102,937	-9,923	0	0	0	12,2852
17	0 ELS-FIS	Combination	Max	-107,021	-0,841	0	0	0	10,2926
17	0,1815 ELS-FIS	Combination	Max	-104,979	-5,543	0	0	0	10,8768
17	0,363 ELS-FIS	Combination	Max	-102,937	-9,923	0	0	0	12,2852
17	0 ELS-FIS	Combination	Min	-107,021	-1,203	0	0	0	9,838
17	0,1815 ELS-FIS	Combination	Min	-104,979	-5,905	0	0	0	10,488
17	0,363 ELS-FIS	Combination	Min	-102,937	-10,284	0	0	0	11,9621
17	0 ENV-TREN	Combination	Max	0	2,216	0	0	0	138,9269
17	0,1815 ENV-TREN	Combination	Max	0	2,216	0	0	0	139,9127
17	0,363 ENV-TREN	Combination	Max	0	2,216	0	0	0	140,8986
17	0 ENV-TREN	Combination	Min	-351,562	-7,544	0	0	0	0
17	0,1815 ENV-TREN	Combination	Min	-351,562	-7,544	0	0	0	0
17	0,363 ENV-TREN	Combination	Min	-351,562	-7,544	0	0	0	0
18	0 PP	NonStatic	Max	-41,647	5,167	0	0	0	15,3073
18	0,1815 PP	NonStatic	Max	-39,606	5,167	0	0	0	14,3695
18	0,363 PP	NonStatic	Max	-37,564	5,167	0	0	0	13,4317
18	0 PP	NonStatic	Min	-41,647	5,167	0	0	0	15,3073
18	0,1815 PP	NonStatic	Min	-39,606	5,167	0	0	0	14,3695
18	0,363 PP	NonStatic	Min	-37,564	5,167	0	0	0	13,4317
18	0 CM CARRIL UIC-54	NonStatic	Max	-0,9	-0,014	0	0	0	0,3607
18	0,1815 CM CARRIL UIC-54	NonStatic	Max	-0,9	-0,014	0	0	0	0,3632
18	0,363 CM CARRIL UIC-54	NonStatic	Max	-0,9	-0,014	0	0	0	0,3657
18	0 CM CARRIL UIC-54	NonStatic	Min	-0,9	-0,014	0	0	0	0,3607
18	0,1815 CM CARRIL UIC-54	NonStatic	Min	-0,9	-0,014	0	0	0	0,3632
18	0,363 CM CARRIL UIC-54	NonStatic	Min	-0,9	-0,014	0	0	0	0,3657
18	0 CM TRAVIESAS	NonStatic	Max	-4,095	-0,063	0	0	0	1,6412
18	0,1815 CM TRAVIESAS	NonStatic	Max	-4,095	-0,063	0	0	0	1,6527
18	0,363 CM TRAVIESAS	NonStatic	Max	-4,095	-0,063	0	0	0	1,6642
18	0 CM TRAVIESAS	NonStatic	Min	-4,095	-0,063	0	0	0	1,6412
18	0,1815 CM TRAVIESAS	NonStatic	Min	-4,095	-0,063	0	0	0	1,6527
18	0,363 CM TRAVIESAS	NonStatic	Min	-4,095	-0,063	0	0	0	1,6642
18	0 CM TIERRAS + BALASTO	NonStatic	Max	-56,295	-0,87	0	0	0	22,5618
18	0,1815 CM TIERRAS + BALASTO	NonStatic	Max	-56,295	-0,87	0	0	0	22,7197
18	0,363 CM TIERRAS + BALASTO	NonStatic	Max	-56,295	-0,87	0	0	0	22,8775
18	0 CM TIERRAS + BALASTO	NonStatic	Min	-56,295	-0,87	0	0	0	22,5618
18	0,1815 CM TIERRAS + BALASTO	NonStatic	Min	-56,295	-0,87	0	0	0	22,7197
18	0,363 CM TIERRAS + BALASTO	NonStatic	Min	-56,295	-0,87	0	0	0	22,8775
18	0 CM SUELO SOLERA	NonStatic	Max	3,638E-11	-0,067	0	0	0	-0,0621
18	0,1815 CM SUELO SOLERA	NonStatic	Max	3,638E-11	-0,067	0	0	0	-0,05
18	0,363 CM SUELO SOLERA	NonStatic	Max	3,638E-11	-0,067	0	0	0	-0,0378
18	0 CM SUELO SOLERA	NonStatic	Min	3,638E-11	-0,067	0	0	0	-0,0621
18	0,1815 CM SUELO SOLERA	NonStatic	Min	3,638E-11	-0,067	0	0	0	-0,05
18	0,363 CM SUELO SOLERA	NonStatic	Min	3,638E-11	-0,067	0	0	0	-0,0378
18	0 SBC SUELO SOLERA	NonStatic	Max	1,019E-10	-0,167	0	0	0	-0,1553
18	0,1815 SBC SUELO SOLERA	NonStatic	Max	1,019E-10	-0,167	0	0	0	-0,125
18	0,363 SBC SUELO SOLERA	NonStatic	Max	1,019E-10	-0,167	0	0	0	-0,0946
18	0 SBC SUELO SOLERA	NonStatic	Min	1,019E-10	-0,167	0	0	0	-0,1553
18	0,1815 SBC SUELO SOLERA	NonStatic	Min	1,019E-10	-0,167	0	0	0	-0,125
18	0,363 SBC SUELO SOLERA	NonStatic	Min	1,019E-10	-0,167	0	0	0	-0,0946
18	0 EMPUJE TIERRAS	NonStatic	Max	-3,183E-12	-14,042	0	0	0	-27,4926
18	0,1815 EMPUJE TIERRAS	NonStatic	Max	-3,183E-12	-18,099	0	0	0	-24,5709





“Proyecto de las estructuras para la conexión peatonal de los andenes  
de la estación de Font de Sant Lluís en Valencia”.

18	0,363 EMPUJE TIERRAS	NonStatic	Max	-3,183E-12	-21,832	0	0	0	-20,9423
18	0 EMPUJE TIERRAS	NonStatic	Min	-3,183E-12	-14,042	0	0	0	-27,4926
18	0,1815 EMPUJE TIERRAS	NonStatic	Min	-3,183E-12	-18,099	0	0	0	-24,5709
18	0,363 EMPUJE TIERRAS	NonStatic	Min	-3,183E-12	-21,832	0	0	0	-20,9423
18	0 EMPUJE AGUA	LinStatic		-2,328E-10	-0,362	0	0	0	-0,3232
18	0,1815 EMPUJE AGUA	LinStatic		-2,328E-10	-0,362	0	0	0	-0,2575
18	0,363 EMPUJE AGUA	LinStatic		-2,328E-10	-0,362	0	0	0	-0,1918
18	0 SISMO	NonStatic	Max	-4,547E-13	-0,564	0	0	0	-5,6173
18	0,1815 SISMO	NonStatic	Max	-4,547E-13	-1,637	0	0	0	-5,4189
18	0,363 SISMO	NonStatic	Max	-4,547E-13	-2,796	0	0	0	-5,0179
18	0 SISMO	NonStatic	Min	-4,547E-13	-0,564	0	0	0	-5,6173
18	0,1815 SISMO	NonStatic	Min	-4,547E-13	-1,637	0	0	0	-5,4189
18	0,363 SISMO	NonStatic	Min	-4,547E-13	-2,796	0	0	0	-5,0179
18	0 MODAL	LinModal	Mode	94,123	76,887	0	0	0	-49,1488
18	0,1815 MODAL	LinModal	Mode	94,123	76,887	0	0	0	-63,1037
18	0,363 MODAL	LinModal	Mode	94,123	76,887	0	0	0	-77,0587
18	0 MODAL	LinModal	Mode	-297,102	39,497	0	0	0	115,0657
18	0,1815 MODAL	LinModal	Mode	-297,102	39,497	0	0	0	107,8969
18	0,363 MODAL	LinModal	Mode	-297,102	39,497	0	0	0	100,7282
18	0 MODAL	LinModal	Mode	1234,955	11451,673	0	0	0	-6058,0292
18	0,1815 MODAL	LinModal	Mode	1234,955	11451,673	0	0	0	-8136,5078
18	0,363 MODAL	LinModal	Mode	1234,955	11451,673	0	0	0	-10214,9864
18	0 MODAL	LinModal	Mode	-35836,239	8518,859	0	0	0	33023,3203
18	0,1815 MODAL	LinModal	Mode	-35836,239	8518,859	0	0	0	31477,1473
18	0,363 MODAL	LinModal	Mode	-35836,239	8518,859	0	0	0	29930,9743
18	0 MODAL	LinModal	Mode	22374,602	42398,298	0	0	0	-16164,5121
18	0,1815 MODAL	LinModal	Mode	22374,602	42398,298	0	0	0	-23859,8031
18	0,363 MODAL	LinModal	Mode	22374,602	42398,298	0	0	0	-31555,0941
18	0 MODAL	LinModal	Mode	2919,801	-71065,079	0	0	0	-77976,8017
18	0,1815 MODAL	LinModal	Mode	2919,801	-71065,079	0	0	0	-65078,4899
18	0,363 MODAL	LinModal	Mode	2919,801	-71065,079	0	0	0	-52180,178
18	0 MODAL	LinModal	Mode	102830,176	76491,46	0	0	0	73955,3961
18	0,1815 MODAL	LinModal	Mode	102830,176	76491,46	0	0	0	60072,1962
18	0,363 MODAL	LinModal	Mode	102830,176	76491,46	0	0	0	46188,9963
18	0 MODAL	LinModal	Mode	-412545,576	-149696,117	0	0	0	-9463,5124
18	0,1815 MODAL	LinModal	Mode	-412545,576	-149696,117	0	0	0	17706,3328
18	0,363 MODAL	LinModal	Mode	-412545,576	-149696,117	0	0	0	44876,178
18	0 MODAL	LinModal	Mode	-133313,909	47995,195	0	0	0	-83175,562
18	0,1815 MODAL	LinModal	Mode	-133313,909	47995,195	0	0	0	-91886,6899
18	0,363 MODAL	LinModal	Mode	-133313,909	47995,195	0	0	0	-100597,818
18	0 MODAL	LinModal	Mode	2399,703	-206798,94	0	0	0	131747,7292
18	0,1815 MODAL	LinModal	Mode	2399,703	-206798,94	0	0	0	169281,7369
18	0,363 MODAL	LinModal	Mode	2399,703	-206798,94	0	0	0	206815,7446
18	0 MODAL	LinModal	Mode	147628,481	-87120,786	0	0	0	193784,3317
18	0,1815 MODAL	LinModal	Mode	147628,481	-87120,786	0	0	0	209596,7543
18	0,363 MODAL	LinModal	Mode	147628,481	-87120,786	0	0	0	225409,177
18	0 MODAL	LinModal	Mode	1273667,54	109080,424	0	0	0	32425,7717
18	0,1815 MODAL	LinModal	Mode	1273667,54	109080,424	0	0	0	12627,6747
18	0,363 MODAL	LinModal	Mode	1273667,54	109080,424	0	0	0	-7170,4223
18	0 HIP1	Combination		-56,224	6,975	0	0	0	20,6648
18	0,1815 HIP1	Combination		-53,468	6,975	0	0	0	19,3988
18	0,363 HIP1	Combination		-50,711	6,975	0	0	0	18,1327
18	0 HIP2	Combination		-138,966	-15,366	0	0	0	12,587
18	0,1815 HIP2	Combination		-136,209	-21,451	0	0	0	15,9355
18	0,363 HIP2	Combination		-133,453	-27,051	0	0	0	20,3443
18	0 HIP3	Combination		-138,966	-15,909	0	0	0	12,1022
18	0,1815 HIP3	Combination		-136,209	-21,994	0	0	0	15,5492
18	0,363 HIP3	Combination		-133,453	-27,594	0	0	0	20,0566
18	0 HIP4	Combination		-138,966	-15,457	0	0	0	12,5031
18	0,1815 HIP4	Combination		-136,209	-21,541	0	0	0	15,868
18	0,363 HIP4	Combination		-133,453	-27,141	0	0	0	20,2933
18	0 HIP5	Combination		-138,966	-16,25	0	0	0	11,7854
18	0,1815 HIP5	Combination		-136,209	-22,335	0	0	0	15,2943
18	0,363 HIP5	Combination		-133,453	-27,935	0	0	0	19,8636
18	0 HIP6	Combination	Max	-138,966	-5,564	0	0	0	237,1964
18	0,1815 HIP6	Combination	Max	-136,209	-9,621	0	0	0	240,6614
18	0,363 HIP6	Combination	Max	-133,453	-13,354	0	0	0	244,8332
18	0 HIP6	Combination	Min	-666,309	-20,204	0	0	0	25,8485
18	0,1815 HIP6	Combination	Min	-663,553	-24,26	0	0	0	27,8347
18	0,363 HIP6	Combination	Min	-660,796	-27,993	0	0	0	30,5278
18	0 HIP7	Combination	Max	-138,966	-12,676	0	0	0	223,3663
18	0,1815 HIP7	Combination	Max	-136,209	-18,76	0	0	0	228,3085
18	0,363 HIP7	Combination	Max	-133,453	-24,36	0	0	0	234,311

18	0 HIP7	Combination	Min	-666,309	-27,315	0	0	0	12,0184
18	0,1815 HIP7	Combination	Min	-663,553	-33,399	0	0	0	15,4818
18	0,363 HIP7	Combination	Min	-660,796	-38,999	0	0	0	20,0055
18	0 HIP8	Combination	Max	-138,966	-12,384	0	0	0	223,6181
18	0,1815 HIP8	Combination	Max	-136,209	-18,468	0	0	0	228,5073
18	0,363 HIP8	Combination	Max	-133,453	-24,068	0	0	0	234,4568
18	0 HIP8	Combination	Min	-666,309	-27,023	0	0	0	12,2702
18	0,1815 HIP8	Combination	Min	-663,553	-33,108	0	0	0	15,6806
18	0,363 HIP8	Combination	Min	-660,796	-38,707	0	0	0	20,1513
18	0 HIP9	Combination	Max	-138,966	-12,676	0	0	0	223,3663
18	0,1815 HIP9	Combination	Max	-136,209	-18,76	0	0	0	228,3085
18	0,363 HIP9	Combination	Max	-133,453	-24,36	0	0	0	234,311
18	0 HIP9	Combination	Min	-666,309	-27,315	0	0	0	12,0184
18	0,1815 HIP9	Combination	Min	-663,553	-33,399	0	0	0	15,4818
18	0,363 HIP9	Combination	Min	-660,796	-38,999	0	0	0	20,0055
18	0 HIP10	Combination		-102,937	-16,843	0	0	0	-1,3679
18	0,1815 HIP10	Combination		-100,896	-22,928	0	0	0	2,2487
18	0,363 HIP10	Combination		-98,854	-28,528	0	0	0	6,9257
18	0 HIP11	Combination		-102,937	-10,184	0	0	0	12,0553
18	0,1815 HIP11	Combination		-100,896	-14,24	0	0	0	14,2767
18	0,363 HIP11	Combination		-98,854	-17,974	0	0	0	17,205
18	0 HIP12	Combination		-102,937	-9,822	0	0	0	12,3784
18	0,1815 HIP12	Combination		-100,896	-13,879	0	0	0	14,5342
18	0,363 HIP12	Combination		-98,854	-17,612	0	0	0	17,3968
18	0 HIP13	Combination		-102,937	-10,251	0	0	0	11,9931
18	0,1815 HIP13	Combination		-100,896	-14,307	0	0	0	14,2267
18	0,363 HIP13	Combination		-98,854	-18,041	0	0	0	17,1672
18	0 HIP14	Combination		-102,937	-10,056	0	0	0	12,161
18	0,1815 HIP14	Combination		-100,896	-14,113	0	0	0	14,3592
18	0,363 HIP14	Combination		-98,854	-17,846	0	0	0	17,2644
18	0 HIP15	Combination	Max	-102,937	-7,968	0	0	0	152,9538
18	0,1815 HIP15	Combination	Max	-100,896	-12,025	0	0	0	156,1611
18	0,363 HIP15	Combination	Max	-98,854	-15,758	0	0	0	160,0753
18	0 HIP15	Combination	Min	-454,5	-17,728	0	0	0	12,0553
18	0,1815 HIP15	Combination	Min	-452,458	-21,784	0	0	0	14,2767
18	0,363 HIP15	Combination	Min	-450,416	-25,517	0	0	0	17,205
18	0 HIP16	Combination	Max	-102,937	-8,035	0	0	0	152,8917
18	0,1815 HIP16	Combination	Max	-100,896	-12,092	0	0	0	156,1111
18	0,363 HIP16	Combination	Max	-98,854	-15,825	0	0	0	160,0375
18	0 HIP16	Combination	Min	-454,5	-17,795	0	0	0	11,9931
18	0,1815 HIP16	Combination	Min	-452,458	-21,851	0	0	0	14,2267
18	0,363 HIP16	Combination	Min	-450,416	-25,584	0	0	0	17,1672
18	0 HIP17	Combination	Max	-102,937	-7,841	0	0	0	153,0596
18	0,1815 HIP17	Combination	Max	-100,896	-11,897	0	0	0	156,2437
18	0,363 HIP17	Combination	Max	-98,854	-15,63	0	0	0	160,1347
18	0 HIP17	Combination	Min	-454,5	-17,6	0	0	0	12,161
18	0,1815 HIP17	Combination	Min	-452,458	-21,656	0	0	0	14,3592
18	0,363 HIP17	Combination	Min	-450,416	-25,39	0	0	0	17,2644
18	0 HIP18	Combination	Max	-102,937	-8,035	0	0	0	152,8917
18	0,1815 HIP18	Combination	Max	-100,896	-12,092	0	0	0	156,1111
18	0,363 HIP18	Combination	Max	-98,854	-15,825	0	0	0	160,0375
18	0 HIP18	Combination	Min	-454,5	-17,795	0	0	0	11,9931
18	0,1815 HIP18	Combination	Min	-452,458	-21,851	0	0	0	14,2267
18	0,363 HIP18	Combination	Min	-450,416	-25,584	0	0	0	17,1672
18	0 HIP19	Combination		-102,937	-10,184	0	0	0	12,0553
18	0,1815 HIP19	Combination		-100,896	-14,24	0	0	0	14,2767
18	0,363 HIP19	Combination		-98,854	-17,974	0	0	0	17,205
18	0 ELU	Combination	Max	-56,224	6,975	0	0	0	237,1964
18	0,1815 ELU	Combination	Max	-53,468	6,975	0	0	0	240,6614
18	0,363 ELU	Combination	Max	-50,711	6,975	0	0	0	244,8332
18	0 ELU	Combination	Min	-666,309	-27,315	0	0	0	-1,3679
18	0,1815 ELU	Combination	Min	-663,553	-33,399	0	0	0	2,2487
18	0,363 ELU	Combination	Min	-660,796	-38,999	0	0	0	6,9257
18	0 ELS-DEF	Combination	Max	-102,937	-7,841	0	0	0	153,0596
18	0,1815 ELS-DEF	Combination	Max	-100,896	-11,897	0	0	0	156,2437
18	0,363 ELS-DEF	Combination	Max	-98,854	-15,63	0	0	0	160,1347
18	0 ELS-DEF	Combination	Min	-454,5	-17,795	0	0	0	11,9931
18	0,1815 ELS-DEF	Combination	Min	-452,458	-21,851	0	0	0	14,2267
18	0,363 ELS-DEF	Combination	Min	-450,416	-25,584	0	0	0	17,1672
18	0 HIP20	Combination		-102,937	-10,748	0	0	0	6,4379
18	0,1815 HIP20	Combination		-100,896	-15,877	0	0	0	8,8578
18	0,363 HIP20	Combination		-98,854	-20,77	0	0	0	12,1871
18	0 HIP21	Combination		-102,937	-10,781	0	0	0	6,4069



“Proyecto de las estructuras para la conexión peatonal de los andenes  
de la estación de Font de Sant Lluís en Valencia”.

18	0,1815 HIP21	Combination		-100,896	-15,911	0	0	0	8,8328
18	0,363 HIP21	Combination		-98,854	-20,803	0	0	0	12,1681
18	0 ENV-SISMO	Combination	Max	-102,937	-10,748	0	0	0	6,4379
18	0,1815 ENV-SISMO	Combination	Max	-100,896	-15,877	0	0	0	8,8578
18	0,363 ENV-SISMO	Combination	Max	-98,854	-20,77	0	0	0	12,1871
18	0 ENV-SISMO	Combination	Min	-102,937	-10,781	0	0	0	6,4069
18	0,1815 ENV-SISMO	Combination	Min	-100,896	-15,911	0	0	0	8,8328
18	0,363 ENV-SISMO	Combination	Min	-98,854	-20,803	0	0	0	12,1681
18	0 HIP22	Combination		-102,937	-10,284	0	0	0	11,9621
18	0,1815 HIP22	Combination		-100,896	-14,341	0	0	0	14,2017
18	0,363 HIP22	Combination		-98,854	-18,074	0	0	0	17,1482
18	0 HIP23	Combination		-102,937	-9,923	0	0	0	12,2852
18	0,1815 HIP23	Combination		-100,896	-13,979	0	0	0	14,4592
18	0,363 HIP23	Combination		-98,854	-17,712	0	0	0	17,34
18	0 ELS-FIS	Combination	Max	-102,937	-9,923	0	0	0	12,2852
18	0,1815 ELS-FIS	Combination	Max	-100,896	-13,979	0	0	0	14,4592
18	0,363 ELS-FIS	Combination	Max	-98,854	-17,712	0	0	0	17,34
18	0 ELS-FIS	Combination	Min	-102,937	-10,284	0	0	0	11,9621
18	0,1815 ELS-FIS	Combination	Min	-100,896	-14,341	0	0	0	14,2017
18	0,363 ELS-FIS	Combination	Min	-98,854	-18,074	0	0	0	17,1482
18	0 ENV-TREN	Combination	Max	0	2,216	0	0	0	140,8986
18	0,1815 ENV-TREN	Combination	Max	0	2,216	0	0	0	141,8845
18	0,363 ENV-TREN	Combination	Max	0	2,216	0	0	0	142,8703
18	0 ENV-TREN	Combination	Min	-351,562	-7,544	0	0	0	0
18	0,1815 ENV-TREN	Combination	Min	-351,562	-7,544	0	0	0	0
18	0,363 ENV-TREN	Combination	Min	-351,562	-7,544	0	0	0	0
19	0 PP	NonStatic	Max	-37,564	5,167	0	0	0	13,4317
19	0,1815 PP	NonStatic	Max	-35,522	5,167	0	0	0	12,4939
19	0,363 PP	NonStatic	Max	-33,48	5,167	0	0	0	11,556
19	0 PP	NonStatic	Min	-37,564	5,167	0	0	0	13,4317
19	0,1815 PP	NonStatic	Min	-35,522	5,167	0	0	0	12,4939
19	0,363 PP	NonStatic	Min	-33,48	5,167	0	0	0	11,556
19	0 CM CARRIL UIC-54	NonStatic	Max	-0,9	-0,014	0	0	0	0,3657
19	0,1815 CM CARRIL UIC-54	NonStatic	Max	-0,9	-0,014	0	0	0	0,3683
19	0,363 CM CARRIL UIC-54	NonStatic	Max	-0,9	-0,014	0	0	0	0,3708
19	0 CM CARRIL UIC-54	NonStatic	Min	-0,9	-0,014	0	0	0	0,3657
19	0,1815 CM CARRIL UIC-54	NonStatic	Min	-0,9	-0,014	0	0	0	0,3683
19	0,363 CM CARRIL UIC-54	NonStatic	Min	-0,9	-0,014	0	0	0	0,3708
19	0 CM TRAVIESAS	NonStatic	Max	-4,095	-0,063	0	0	0	1,6642
19	0,1815 CM TRAVIESAS	NonStatic	Max	-4,095	-0,063	0	0	0	1,6756
19	0,363 CM TRAVIESAS	NonStatic	Max	-4,095	-0,063	0	0	0	1,6871
19	0 CM TRAVIESAS	NonStatic	Min	-4,095	-0,063	0	0	0	1,6642
19	0,1815 CM TRAVIESAS	NonStatic	Min	-4,095	-0,063	0	0	0	1,6756
19	0,363 CM TRAVIESAS	NonStatic	Min	-4,095	-0,063	0	0	0	1,6871
19	0 CM TIERRAS + BALASTO	NonStatic	Max	-56,295	-0,87	0	0	0	22,8775
19	0,1815 CM TIERRAS + BALASTO	NonStatic	Max	-56,295	-0,87	0	0	0	23,0354
19	0,363 CM TIERRAS + BALASTO	NonStatic	Max	-56,295	-0,87	0	0	0	23,1933
19	0 CM TIERRAS + BALASTO	NonStatic	Min	-56,295	-0,87	0	0	0	22,8775
19	0,1815 CM TIERRAS + BALASTO	NonStatic	Min	-56,295	-0,87	0	0	0	23,0354
19	0,363 CM TIERRAS + BALASTO	NonStatic	Min	-56,295	-0,87	0	0	0	23,1933
19	0 CM SUELO SOLERA	NonStatic	Max	2,183E-11	-0,067	0	0	0	-0,0378
19	0,1815 CM SUELO SOLERA	NonStatic	Max	2,183E-11	-0,067	0	0	0	-0,0257
19	0,363 CM SUELO SOLERA	NonStatic	Max	2,183E-11	-0,067	0	0	0	-0,0136
19	0 CM SUELO SOLERA	NonStatic	Min	2,183E-11	-0,067	0	0	0	-0,0378
19	0,1815 CM SUELO SOLERA	NonStatic	Min	2,183E-11	-0,067	0	0	0	-0,0257
19	0,363 CM SUELO SOLERA	NonStatic	Min	2,183E-11	-0,067	0	0	0	-0,0136
19	0 SBC SUELO SOLERA	NonStatic	Max	5,821E-11	-0,167	0	0	0	-0,0946
19	0,1815 SBC SUELO SOLERA	NonStatic	Max	5,821E-11	-0,167	0	0	0	-0,0643
19	0,363 SBC SUELO SOLERA	NonStatic	Max	5,821E-11	-0,167	0	0	0	-0,0339
19	0 SBC SUELO SOLERA	NonStatic	Min	5,821E-11	-0,167	0	0	0	-0,0946
19	0,1815 SBC SUELO SOLERA	NonStatic	Min	5,821E-11	-0,167	0	0	0	-0,0643
19	0,363 SBC SUELO SOLERA	NonStatic	Min	5,821E-11	-0,167	0	0	0	-0,0339
19	0 EMPUJE TIERRAS	NonStatic	Max	-1,819E-12	-21,832	0	0	0	-20,9423
19	0,1815 EMPUJE TIERRAS	NonStatic	Max	-1,819E-12	-25,242	0	0	0	-16,6654
19	0,363 EMPUJE TIERRAS	NonStatic	Max	-1,819E-12	-28,33	0	0	0	-11,7989
19	0 EMPUJE TIERRAS	NonStatic	Min	-1,819E-12	-21,832	0	0	0	-20,9423
19	0,1815 EMPUJE TIERRAS	NonStatic	Min	-1,819E-12	-25,242	0	0	0	-16,6654
19	0,363 EMPUJE TIERRAS	NonStatic	Min	-1,819E-12	-28,33	0	0	0	-11,7989
19	0 EMPUJE AGUA	LinStatic		-1,164E-10	-0,362	0	0	0	-0,1918
19	0,1815 EMPUJE AGUA	LinStatic		-1,164E-10	-0,362	0	0	0	-0,1261
19	0,363 EMPUJE AGUA	LinStatic		-1,164E-10	-0,362	0	0	0	-0,0605
19	0 SISMO	NonStatic	Max	-2,274E-13	-2,796	0	0	0	-5,0179
19	0,1815 SISMO	NonStatic	Max	-2,274E-13	-4,041	0	0	0	-4,3988



19	0,363	SISMO	NonStatic	Max	-2,274E-13	-5,371	0	0	0	-3,5459
19	0	SISMO	NonStatic	Min	-2,274E-13	-2,796	0	0	0	-5,0179
19	0,1815	SISMO	NonStatic	Min	-2,274E-13	-4,041	0	0	0	-4,3988
19	0,363	SISMO	NonStatic	Min	-2,274E-13	-5,371	0	0	0	-3,5459
19	0	MODAL	LinModal	Mode	88,96	70,966	0	0	0	-77,0587
19	0,1815	MODAL	LinModal	Mode	88,96	70,966	0	0	0	-89,9389
19	0,363	MODAL	LinModal	Mode	88,96	70,966	0	0	0	-102,8192
19	0	MODAL	LinModal	Mode	-266,549	39,603	0	0	0	100,7282
19	0,1815	MODAL	LinModal	Mode	-266,549	39,603	0	0	0	93,5402
19	0,363	MODAL	LinModal	Mode	-266,549	39,603	0	0	0	86,3522
19	0	MODAL	LinModal	Mode	2550,111	10439,823	0	0	0	-10214,9864
19	0,1815	MODAL	LinModal	Mode	2550,111	10439,823	0	0	0	-12109,8142
19	0,363	MODAL	LinModal	Mode	2550,111	10439,823	0	0	0	-14004,642
19	0	MODAL	LinModal	Mode	-35827,156	13406,192	0	0	0	29930,9743
19	0,1815	MODAL	LinModal	Mode	-35827,156	13406,192	0	0	0	27497,7506
19	0,363	MODAL	LinModal	Mode	-35827,156	13406,192	0	0	0	25064,5268
19	0	MODAL	LinModal	Mode	37234,169	37443,563	0	0	0	-31555,0941
19	0,1815	MODAL	LinModal	Mode	37234,169	37443,563	0	0	0	-38351,1007
19	0,363	MODAL	LinModal	Mode	37234,169	37443,563	0	0	0	-45147,1073
19	0	MODAL	LinModal	Mode	2939,433	-98054,413	0	0	0	-52180,178
19	0,1815	MODAL	LinModal	Mode	2939,433	-98054,413	0	0	0	-34383,302
19	0,363	MODAL	LinModal	Mode	2939,433	-98054,413	0	0	0	-16586,4261
19	0	MODAL	LinModal	Mode	102058,699	117031,616	0	0	0	46188,9963
19	0,1815	MODAL	LinModal	Mode	102058,699	117031,616	0	0	0	24947,7579
19	0,363	MODAL	LinModal	Mode	102058,699	117031,616	0	0	0	3706,5196
19	0	MODAL	LinModal	Mode	-424446,589	-139411,181	0	0	0	44876,178
19	0,1815	MODAL	LinModal	Mode	-424446,589	-139411,181	0	0	0	70179,3073
19	0,363	MODAL	LinModal	Mode	-424446,589	-139411,181	0	0	0	95482,4366
19	0	MODAL	LinModal	Mode	-82042,674	-38778,475	0	0	0	-100597,818
19	0,1815	MODAL	LinModal	Mode	-82042,674	-38778,475	0	0	0	-93559,5245
19	0,363	MODAL	LinModal	Mode	-82042,674	-38778,475	0	0	0	-86521,2313
19	0	MODAL	LinModal	Mode	4020,686	48689,278	0	0	0	206815,7446
19	0,1815	MODAL	LinModal	Mode	4020,686	48689,278	0	0	0	197978,6407
19	0,363	MODAL	LinModal	Mode	4020,686	48689,278	0	0	0	189141,5368
19	0	MODAL	LinModal	Mode	200478,343	233258,163	0	0	0	225409,177
19	0,1815	MODAL	LinModal	Mode	200478,343	233258,163	0	0	0	183072,8204
19	0,363	MODAL	LinModal	Mode	200478,343	233258,163	0	0	0	140736,4638
19	0	MODAL	LinModal	Mode	1186128,251	128436,506	0	0	0	-7170,4223
19	0,1815	MODAL	LinModal	Mode	1186128,251	128436,506	0	0	0	-30481,6481
19	0,363	MODAL	LinModal	Mode	1186128,251	128436,506	0	0	0	-53792,8739
19	0	HIP1	Combination		-50,711	6,975	0	0	0	18,1327
19	0,1815	HIP1	Combination		-47,955	6,975	0	0	0	16,8667
19	0,363	HIP1	Combination		-45,198	6,975	0	0	0	15,6007
19	0	HIP2	Combination		-133,453	-27,051	0	0	0	20,3443
19	0,1815	HIP2	Combination		-130,696	-32,166	0	0	0	25,7256
19	0,363	HIP2	Combination		-127,939	-36,797	0	0	0	31,9914
19	0	HIP3	Combination		-133,453	-27,594	0	0	0	20,0566
19	0,1815	HIP3	Combination		-130,696	-32,709	0	0	0	25,5364
19	0,363	HIP3	Combination		-127,939	-37,34	0	0	0	31,9007
19	0	HIP4	Combination		-133,453	-27,141	0	0	0	20,2933
19	0,1815	HIP4	Combination		-130,696	-32,257	0	0	0	25,6909
19	0,363	HIP4	Combination		-127,939	-36,888	0	0	0	31,9731
19	0	HIP5	Combination		-133,453	-27,935	0	0	0	19,8636
19	0,1815	HIP5	Combination		-130,696	-33,05	0	0	0	25,4053
19	0,363	HIP5	Combination		-127,939	-37,681	0	0	0	31,8315
19	0	HIP6	Combination	Max	-133,453	-13,354	0	0	0	244,8332
19	0,1815	HIP6	Combination	Max	-130,696	-16,764	0	0	0	249,6534
19	0,363	HIP6	Combination	Max	-127,939	-19,852	0	0	0	255,0632
19	0	HIP6	Combination	Min	-660,796	-27,993	0	0	0	30,5278
19	0,1815	HIP6	Combination	Min	-658,04	-31,404	0	0	0	33,8691
19	0,363	HIP6	Combination	Min	-655,283	-34,491	0	0	0	37,8002
19	0	HIP7	Combination	Max	-133,453	-24,36	0	0	0	234,311
19	0,1815	HIP7	Combination	Max	-130,696	-29,476	0	0	0	241,286
19	0,363	HIP7	Combination	Max	-127,939	-34,107	0	0	0	249,1455
19	0	HIP7	Combination	Min	-660,796	-38,999	0	0	0	20,0055
19	0,1815	HIP7	Combination	Min	-658,04	-44,115	0	0	0	25,5017
19	0,363	HIP7	Combination	Min	-655,283	-48,746	0	0	0	31,8824
19	0	HIP8	Combination	Max	-133,453	-24,068	0	0	0	234,4568
19	0,1815	HIP8	Combination	Max	-130,696	-29,184	0	0	0	241,3788
19	0,363	HIP8	Combination	Max	-127,939	-33,815	0	0	0	249,1853
19	0	HIP8	Combination	Min	-660,796	-38,707	0	0	0	20,1513
19	0,1815	HIP8	Combination	Min	-658,04	-43,823	0	0	0	25,5945
19	0,363	HIP8	Combination	Min	-655,283	-48,454	0	0	0	31,9222



“Proyecto de las estructuras para la conexión peatonal de los andenes  
de la estación de Font de Sant Lluís en Valencia”.

19	0 HIP9	Combination	Max	-133,453	-24,36	0	0	0	234,311
19	0,1815 HIP9	Combination	Max	-130,696	-29,476	0	0	0	241,286
19	0,363 HIP9	Combination	Max	-127,939	-34,107	0	0	0	249,1455
19	0 HIP9	Combination	Min	-660,796	-38,999	0	0	0	20,0055
19	0,1815 HIP9	Combination	Min	-658,04	-44,115	0	0	0	25,5017
19	0,363 HIP9	Combination	Min	-655,283	-48,746	0	0	0	31,8824
19	0 HIP10	Combination		-98,854	-28,528	0	0	0	6,9257
19	0,1815 HIP10	Combination		-96,812	-33,643	0	0	0	12,575
19	0,363 HIP10	Combination		-94,77	-38,274	0	0	0	19,1089
19	0 HIP11	Combination		-98,854	-17,974	0	0	0	17,205
19	0,1815 HIP11	Combination		-96,812	-21,384	0	0	0	20,7816
19	0,363 HIP11	Combination		-94,77	-24,471	0	0	0	24,9479
19	0 HIP12	Combination		-98,854	-17,612	0	0	0	17,3968
19	0,1815 HIP12	Combination		-96,812	-21,022	0	0	0	20,9077
19	0,363 HIP12	Combination		-94,77	-24,11	0	0	0	25,0083
19	0 HIP13	Combination		-98,854	-18,041	0	0	0	17,1672
19	0,1815 HIP13	Combination		-96,812	-21,451	0	0	0	20,7559
19	0,363 HIP13	Combination		-94,77	-24,538	0	0	0	24,9343
19	0 HIP14	Combination		-98,854	-17,846	0	0	0	17,2644
19	0,1815 HIP14	Combination		-96,812	-21,256	0	0	0	20,8178
19	0,363 HIP14	Combination		-94,77	-24,344	0	0	0	24,9609
19	0 HIP15	Combination	Max	-98,854	-15,758	0	0	0	160,0753
19	0,1815 HIP15	Combination	Max	-96,812	-19,168	0	0	0	164,6378
19	0,363 HIP15	Combination	Max	-94,77	-22,256	0	0	0	169,7899
19	0 HIP15	Combination	Min	-450,416	-25,517	0	0	0	17,205
19	0,1815 HIP15	Combination	Min	-448,374	-28,928	0	0	0	20,7816
19	0,363 HIP15	Combination	Min	-446,332	-32,015	0	0	0	24,9479
19	0 HIP16	Combination	Max	-98,854	-15,825	0	0	0	160,0375
19	0,1815 HIP16	Combination	Max	-96,812	-19,235	0	0	0	164,6121
19	0,363 HIP16	Combination	Max	-94,77	-22,322	0	0	0	169,7764
19	0 HIP16	Combination	Min	-450,416	-25,584	0	0	0	17,1672
19	0,1815 HIP16	Combination	Min	-448,374	-28,995	0	0	0	20,7559
19	0,363 HIP16	Combination	Min	-446,332	-32,082	0	0	0	24,9343
19	0 HIP17	Combination	Max	-98,854	-15,63	0	0	0	160,1347
19	0,1815 HIP17	Combination	Max	-96,812	-19,041	0	0	0	164,674
19	0,363 HIP17	Combination	Max	-94,77	-22,128	0	0	0	169,8029
19	0 HIP17	Combination	Min	-450,416	-25,39	0	0	0	17,2644
19	0,1815 HIP17	Combination	Min	-448,374	-28,8	0	0	0	20,8178
19	0,363 HIP17	Combination	Min	-446,332	-31,887	0	0	0	24,9609
19	0 HIP18	Combination	Max	-98,854	-15,825	0	0	0	160,0375
19	0,1815 HIP18	Combination	Max	-96,812	-19,235	0	0	0	164,6121
19	0,363 HIP18	Combination	Max	-94,77	-22,322	0	0	0	169,7764
19	0 HIP18	Combination	Min	-450,416	-25,584	0	0	0	17,1672
19	0,1815 HIP18	Combination	Min	-448,374	-28,995	0	0	0	20,7559
19	0,363 HIP18	Combination	Min	-446,332	-32,082	0	0	0	24,9343
19	0 HIP19	Combination		-98,854	-17,974	0	0	0	17,205
19	0,1815 HIP19	Combination		-96,812	-21,384	0	0	0	20,7816
19	0,363 HIP19	Combination		-94,77	-24,471	0	0	0	24,9479
19	0 ELU	Combination	Max	-50,711	6,975	0	0	0	244,8332
19	0,1815 ELU	Combination	Max	-47,955	6,975	0	0	0	249,6534
19	0,363 ELU	Combination	Max	-45,198	6,975	0	0	0	255,0632
19	0 ELU	Combination	Min	-660,796	-38,999	0	0	0	6,9257
19	0,1815 ELU	Combination	Min	-658,04	-44,115	0	0	0	12,575
19	0,363 ELU	Combination	Min	-655,283	-48,746	0	0	0	15,6007
19	0 ELS-DEF	Combination	Max	-98,854	-15,63	0	0	0	160,1347
19	0,1815 ELS-DEF	Combination	Max	-96,812	-19,041	0	0	0	164,674
19	0,363 ELS-DEF	Combination	Max	-94,77	-22,128	0	0	0	169,8029
19	0 ELS-DEF	Combination	Min	-450,416	-25,584	0	0	0	17,1672
19	0,1815 ELS-DEF	Combination	Min	-448,374	-28,995	0	0	0	20,7559
19	0,363 ELS-DEF	Combination	Min	-446,332	-32,082	0	0	0	24,9343
19	0 HIP20	Combination		-98,854	-20,77	0	0	0	12,1871
19	0,1815 HIP20	Combination		-96,812	-25,425	0	0	0	16,3828
19	0,363 HIP20	Combination		-94,77	-29,843	0	0	0	21,4019
19	0 HIP21	Combination		-98,854	-20,803	0	0	0	12,1681
19	0,1815 HIP21	Combination		-96,812	-25,458	0	0	0	16,37
19	0,363 HIP21	Combination		-94,77	-29,876	0	0	0	21,3952
19	0 ENV-SISMO	Combination	Max	-98,854	-20,77	0	0	0	12,1871
19	0,1815 ENV-SISMO	Combination	Max	-96,812	-25,425	0	0	0	16,3828
19	0,363 ENV-SISMO	Combination	Max	-94,77	-29,843	0	0	0	21,4019
19	0 ENV-SISMO	Combination	Min	-98,854	-20,803	0	0	0	12,1681
19	0,1815 ENV-SISMO	Combination	Min	-96,812	-25,458	0	0	0	16,37
19	0,363 ENV-SISMO	Combination	Min	-94,77	-29,876	0	0	0	21,3952
19	0 HIP22	Combination		-98,854	-18,074	0	0	0	17,1482

19	0,1815 HIP22	Combination		-96,812	-21,484	0	0	0	20,743
19	0,363 HIP22	Combination		-94,77	-24,572	0	0	0	24,9275
19	0 HIP23	Combination		-98,854	-17,712	0	0	0	17,34
19	0,1815 HIP23	Combination		-96,812	-21,123	0	0	0	20,8692
19	0,363 HIP23	Combination		-94,77	-24,21	0	0	0	24,988
19	0 ELS-FIS	Combination	Max	-98,854	-17,712	0	0	0	17,34
19	0,1815 ELS-FIS	Combination	Max	-96,812	-21,123	0	0	0	20,8692
19	0,363 ELS-FIS	Combination	Max	-94,77	-24,21	0	0	0	24,988
19	0 ELS-FIS	Combination	Min	-98,854	-18,074	0	0	0	17,1482
19	0,1815 ELS-FIS	Combination	Min	-96,812	-21,484	0	0	0	20,743
19	0,363 ELS-FIS	Combination	Min	-94,77	-24,572	0	0	0	24,9275
19	0 ENV-TREN	Combination	Max	0	2,216	0	0	0	142,8703
19	0,1815 ENV-TREN	Combination	Max	0	2,216	0	0	0	143,8562
19	0,363 ENV-TREN	Combination	Max	0	2,216	0	0	0	144,842
19	0 ENV-TREN	Combination	Min	-351,562	-7,544	0	0	0	0
19	0,1815 ENV-TREN	Combination	Min	-351,562	-7,544	0	0	0	0
19	0,363 ENV-TREN	Combination	Min	-351,562	-7,544	0	0	0	0
20	0 PP	NonStatic	Max	-33,48	5,167	0	0	0	11,556
20	0,1815 PP	NonStatic	Max	-31,438	5,167	0	0	0	10,6182
20	0,363 PP	NonStatic	Max	-29,396	5,167	0	0	0	9,6804
20	0 PP	NonStatic	Min	-33,48	5,167	0	0	0	11,556
20	0,1815 PP	NonStatic	Min	-31,438	5,167	0	0	0	10,6182
20	0,363 PP	NonStatic	Min	-29,396	5,167	0	0	0	9,6804
20	0 CM CARRIL UIC-54	NonStatic	Max	-0,9	-0,014	0	0	0	0,3708
20	0,1815 CM CARRIL UIC-54	NonStatic	Max	-0,9	-0,014	0	0	0	0,3733
20	0,363 CM CARRIL UIC-54	NonStatic	Max	-0,9	-0,014	0	0	0	0,3758
20	0 CM CARRIL UIC-54	NonStatic	Min	-0,9	-0,014	0	0	0	0,3708
20	0,1815 CM CARRIL UIC-54	NonStatic	Min	-0,9	-0,014	0	0	0	0,3733
20	0,363 CM CARRIL UIC-54	NonStatic	Min	-0,9	-0,014	0	0	0	0,3758
20	0 CM TRAVIESAS	NonStatic	Max	-4,095	-0,063	0	0	0	1,6871
20	0,1815 CM TRAVIESAS	NonStatic	Max	-4,095	-0,063	0	0	0	1,6986
20	0,363 CM TRAVIESAS	NonStatic	Max	-4,095	-0,063	0	0	0	1,7101
20	0 CM TRAVIESAS	NonStatic	Min	-4,095	-0,063	0	0	0	1,6871
20	0,1815 CM TRAVIESAS	NonStatic	Min	-4,095	-0,063	0	0	0	1,6986
20	0,363 CM TRAVIESAS	NonStatic	Min	-4,095	-0,063	0	0	0	1,7101
20	0 CM TIERRAS + BALASTO	NonStatic	Max	-56,295	-0,87	0	0	0	23,1933
20	0,1815 CM TIERRAS + BALASTO	NonStatic	Max	-56,295	-0,87	0	0	0	23,3511
20	0,363 CM TIERRAS + BALASTO	NonStatic	Max	-56,295	-0,87	0	0	0	23,509
20	0 CM TIERRAS + BALASTO	NonStatic	Min	-56,295	-0,87	0	0	0	23,1933
20	0,1815 CM TIERRAS + BALASTO	NonStatic	Min	-56,295	-0,87	0	0	0	23,3511
20	0,363 CM TIERRAS + BALASTO	NonStatic	Min	-56,295	-0,87	0	0	0	23,509
20	0 CM SUELO SOLERA	NonStatic	Max	7,276E-12	-0,067	0	0	0	-0,0136
20	0,1815 CM SUELO SOLERA	NonStatic	Max	7,276E-12	-0,067	0	0	0	-0,0014
20	0,363 CM SUELO SOLERA	NonStatic	Max	7,276E-12	-0,067	0	0	0	0,0107
20	0 CM SUELO SOLERA	NonStatic	Min	7,276E-12	-0,067	0	0	0	-0,0136
20	0,1815 CM SUELO SOLERA	NonStatic	Min	7,276E-12	-0,067	0	0	0	-0,0014
20	0,363 CM SUELO SOLERA	NonStatic	Min	7,276E-12	-0,067	0	0	0	0,0107
20	0 SBC SUELO SOLERA	NonStatic	Max	2,91E-11	-0,167	0	0	0	-0,0339
20	0,1815 SBC SUELO SOLERA	NonStatic	Max	2,91E-11	-0,167	0	0	0	-0,0036
20	0,363 SBC SUELO SOLERA	NonStatic	Max	2,91E-11	-0,167	0	0	0	0,0268
20	0 SBC SUELO SOLERA	NonStatic	Min	2,91E-11	-0,167	0	0	0	-0,0339
20	0,1815 SBC SUELO SOLERA	NonStatic	Min	2,91E-11	-0,167	0	0	0	-0,0036
20	0,363 SBC SUELO SOLERA	NonStatic	Min	2,91E-11	-0,167	0	0	0	0,0268
20	0 EMPUJE TIERRAS	NonStatic	Max	-9,095E-13	-28,33	0	0	0	-11,7989
20	0,1815 EMPUJE TIERRAS	NonStatic	Max	-9,095E-13	-31,094	0	0	0	-6,4013
20	0,363 EMPUJE TIERRAS	NonStatic	Max	-9,095E-13	-33,535	0	0	0	-0,5314
20	0 EMPUJE TIERRAS	NonStatic	Min	-9,095E-13	-28,33	0	0	0	-11,7989
20	0,1815 EMPUJE TIERRAS	NonStatic	Min	-9,095E-13	-31,094	0	0	0	-6,4013
20	0,363 EMPUJE TIERRAS	NonStatic	Min	-9,095E-13	-33,535	0	0	0	-0,5314
20	0 EMPUJE AGUA	LinStatic		-5,821E-11	-0,362	0	0	0	-0,0605
20	0,1815 EMPUJE AGUA	LinStatic		-5,821E-11	-0,362	0	0	0	0,0052
20	0,363 EMPUJE AGUA	LinStatic		-5,821E-11	-0,362	0	0	0	0,0709
20	0 SISMO	NonStatic	Max	-2,274E-13	-5,371	0	0	0	-3,5459
20	0,1815 SISMO	NonStatic	Max	-2,274E-13	-6,788	0	0	0	-2,4438
20	0,363 SISMO	NonStatic	Max	-2,274E-13	-8,29	0	0	0	-1,0767
20	0 SISMO	NonStatic	Min	-2,274E-13	-5,371	0	0	0	-3,5459
20	0,1815 SISMO	NonStatic	Min	-2,274E-13	-6,788	0	0	0	-2,4438
20	0,363 SISMO	NonStatic	Min	-2,274E-13	-8,29	0	0	0	-1,0767
20	0 MODAL	LinModal	Mode	83,797	64,2	0	0	0	-102,8192
20	0,1815 MODAL	LinModal	Mode	83,797	64,2	0	0	0	-114,4714
20	0,363 MODAL	LinModal	Mode	83,797	64,2	0	0	0	-126,1237
20	0 MODAL	LinModal	Mode	-235,996	39,681	0	0	0	86,3522
20	0,1815 MODAL	LinModal	Mode	-235,996	39,681	0	0	0	79,15





## “Proyecto de las estructuras para la conexión peatonal de los andenes de la estación de Font de Sant Lluís en Valencia”.

20	0,363 MODAL	LinModal	Mode	-235,996	39,681	0	0	0	71,9479
20	0 MODAL	LinModal	Mode	3864,82	9305,432	0	0	0	-14004,642
20	0,1815 MODAL	LinModal	Mode	3864,82	9305,432	0	0	0	-15693,578
20	0,363 MODAL	LinModal	Mode	3864,82	9305,432	0	0	0	-17382,514
20	0 MODAL	LinModal	Mode	-35792,454	17050,227	0	0	0	25064,5268
20	0,1815 MODAL	LinModal	Mode	-35792,454	17050,227	0	0	0	21969,9106
20	0,363 MODAL	LinModal	Mode	-35792,454	17050,227	0	0	0	18875,2944
20	0 MODAL	LinModal	Mode	52010,141	31891,136	0	0	0	-45147,1073
20	0,1815 MODAL	LinModal	Mode	52010,141	31891,136	0	0	0	-50935,3485
20	0,363 MODAL	LinModal	Mode	52010,141	31891,136	0	0	0	-56723,5897
20	0 MODAL	LinModal	Mode	2950,558	-11044,764	0	0	0	-16586,4261
20	0,1815 MODAL	LinModal	Mode	2950,558	-11044,764	0	0	0	3568,1986
20	0,363 MODAL	LinModal	Mode	2950,558	-11044,764	0	0	0	23722,8232
20	0 MODAL	LinModal	Mode	100919,677	144371,145	0	0	0	3706,5196
20	0,1815 MODAL	LinModal	Mode	100919,677	144371,145	0	0	0	-22496,8432
20	0,363 MODAL	LinModal	Mode	100919,677	144371,145	0	0	0	-48700,2059
20	0 MODAL	LinModal	Mode	-431551,865	-102910,399	0	0	0	95482,4366
20	0,1815 MODAL	LinModal	Mode	-431551,865	-102910,399	0	0	0	114160,674
20	0,363 MODAL	LinModal	Mode	-431551,865	-102910,399	0	0	0	132838,9114
20	0 MODAL	LinModal	Mode	-29802,272	-110207,804	0	0	0	-86521,2313
20	0,1815 MODAL	LinModal	Mode	-29802,272	-110207,804	0	0	0	-66518,5149
20	0,363 MODAL	LinModal	Mode	-29802,272	-110207,804	0	0	0	-46515,7985
20	0 MODAL	LinModal	Mode	5567,604	313979,788	0	0	0	189141,5368
20	0,1815 MODAL	LinModal	Mode	5567,604	313979,788	0	0	0	132154,2052
20	0,363 MODAL	LinModal	Mode	5567,604	313979,788	0	0	0	75166,8737
20	0 MODAL	LinModal	Mode	248268,255	480437,279	0	0	0	140736,4638
20	0,1815 MODAL	LinModal	Mode	248268,255	480437,279	0	0	0	53537,0977
20	0,363 MODAL	LinModal	Mode	248268,255	480437,279	0	0	0	-33662,2684
20	0 MODAL	LinModal	Mode	1058483,784	105147,83	0	0	0	-53792,8739
20	0,1815 MODAL	LinModal	Mode	1058483,784	105147,83	0	0	0	-72877,2051
20	0,363 MODAL	LinModal	Mode	1058483,784	105147,83	0	0	0	-91961,5363
20	0 HIP1	Combination		-45,198	6,975	0	0	0	15,6007
20	0,1815 HIP1	Combination		-42,441	6,975	0	0	0	14,3346
20	0,363 HIP1	Combination		-39,685	6,975	0	0	0	13,0686
20	0 HIP2	Combination		-127,939	-36,797	0	0	0	31,9914
20	0,1815 HIP2	Combination		-125,183	-40,944	0	0	0	39,0537
20	0,363 HIP2	Combination		-122,426	-44,605	0	0	0	46,8247
20	0 HIP3	Combination		-127,939	-37,34	0	0	0	31,9007
20	0,1815 HIP3	Combination		-125,183	-41,486	0	0	0	39,0616
20	0,363 HIP3	Combination		-122,426	-45,148	0	0	0	46,931
20	0 HIP4	Combination		-127,939	-36,888	0	0	0	31,9731
20	0,1815 HIP4	Combination		-125,183	-41,034	0	0	0	39,0518
20	0,363 HIP4	Combination		-122,426	-44,696	0	0	0	46,8391
20	0 HIP5	Combination		-127,939	-37,681	0	0	0	31,8315
20	0,1815 HIP5	Combination		-125,183	-41,828	0	0	0	39,0543
20	0,363 HIP5	Combination		-122,426	-45,489	0	0	0	46,9856
20	0 HIP6	Combination	Max	-127,939	-19,852	0	0	0	255,0632
20	0,1815 HIP6	Combination	Max	-125,183	-22,616	0	0	0	261,0041
20	0,363 HIP6	Combination	Max	-122,426	-25,057	0	0	0	267,4174
20	0 HIP6	Combination	Min	-655,283	-34,491	0	0	0	37,8002
20	0,1815 HIP6	Combination	Min	-652,527	-37,255	0	0	0	42,2622
20	0,363 HIP6	Combination	Min	-649,77	-39,696	0	0	0	47,1967
20	0 HIP7	Combination	Max	-127,939	-34,107	0	0	0	249,1455
20	0,1815 HIP7	Combination	Max	-125,183	-38,253	0	0	0	257,8015
20	0,363 HIP7	Combination	Max	-122,426	-41,915	0	0	0	267,1661
20	0 HIP7	Combination	Min	-655,283	-48,746	0	0	0	31,8824
20	0,1815 HIP7	Combination	Min	-652,527	-52,892	0	0	0	39,0597
20	0,363 HIP7	Combination	Min	-649,77	-56,554	0	0	0	46,9455
20	0 HIP8	Combination	Max	-127,939	-33,815	0	0	0	249,1853
20	0,1815 HIP8	Combination	Max	-125,183	-37,961	0	0	0	257,7883
20	0,363 HIP8	Combination	Max	-122,426	-41,623	0	0	0	267,0999
20	0 HIP8	Combination	Min	-655,283	-48,454	0	0	0	31,9222
20	0,1815 HIP8	Combination	Min	-652,527	-52,6	0	0	0	39,0465
20	0,363 HIP8	Combination	Min	-649,77	-56,262	0	0	0	46,8793
20	0 HIP9	Combination	Max	-127,939	-34,107	0	0	0	249,1455
20	0,1815 HIP9	Combination	Max	-125,183	-38,253	0	0	0	257,8015
20	0,363 HIP9	Combination	Max	-122,426	-41,915	0	0	0	267,1661
20	0 HIP9	Combination	Min	-655,283	-48,746	0	0	0	31,8824
20	0,1815 HIP9	Combination	Min	-652,527	-52,892	0	0	0	39,0597
20	0,363 HIP9	Combination	Min	-649,77	-56,554	0	0	0	46,9455
20	0 HIP10	Combination		-94,77	-38,274	0	0	0	19,1089
20	0,1815 HIP10	Combination		-92,728	-42,421	0	0	0	26,4393
20	0,363 HIP10	Combination		-90,686	-46,082	0	0	0	34,4783



20	0 HIP11	Combination	-94,77	-24,471	0	0	0	24,9479
20	0,1815 HIP11	Combination	-92,728	-27,236	0	0	0	29,6452
20	0,363 HIP11	Combination	-90,686	-29,677	0	0	0	34,8149
20	0 HIP12	Combination	-94,77	-24,11	0	0	0	25,0083
20	0,1815 HIP12	Combination	-92,728	-26,874	0	0	0	29,64
20	0,363 HIP12	Combination	-90,686	-29,315	0	0	0	34,744
20	0 HIP13	Combination	-94,77	-24,538	0	0	0	24,9343
20	0,1815 HIP13	Combination	-92,728	-27,303	0	0	0	29,6438
20	0,363 HIP13	Combination	-90,686	-29,744	0	0	0	34,8256
20	0 HIP14	Combination	-94,77	-24,344	0	0	0	24,9609
20	0,1815 HIP14	Combination	-92,728	-27,108	0	0	0	29,635
20	0,363 HIP14	Combination	-90,686	-29,549	0	0	0	34,7815
20	0 HIP15	Combination Max	-94,77	-22,256	0	0	0	169,7899
20	0,1815 HIP15	Combination Max	-92,728	-25,02	0	0	0	175,4731
20	0,363 HIP15	Combination Max	-90,686	-27,461	0	0	0	181,6287
20	0 HIP15	Combination Min	-446,332	-32,015	0	0	0	24,9479
20	0,1815 HIP15	Combination Min	-444,291	-34,779	0	0	0	29,6452
20	0,363 HIP15	Combination Min	-442,249	-37,221	0	0	0	34,8149
20	0 HIP16	Combination Max	-94,77	-22,322	0	0	0	169,7764
20	0,1815 HIP16	Combination Max	-92,728	-25,087	0	0	0	175,4717
20	0,363 HIP16	Combination Max	-90,686	-27,528	0	0	0	181,6394
20	0 HIP16	Combination Min	-446,332	-32,082	0	0	0	24,9343
20	0,1815 HIP16	Combination Min	-444,291	-34,846	0	0	0	29,6438
20	0,363 HIP16	Combination Min	-442,249	-37,287	0	0	0	34,8256
20	0 HIP17	Combination Max	-94,77	-22,128	0	0	0	169,8029
20	0,1815 HIP17	Combination Max	-92,728	-24,892	0	0	0	175,4629
20	0,363 HIP17	Combination Max	-90,686	-27,333	0	0	0	181,5952
20	0 HIP17	Combination Min	-446,332	-31,887	0	0	0	24,9609
20	0,1815 HIP17	Combination Min	-444,291	-34,652	0	0	0	29,635
20	0,363 HIP17	Combination Min	-442,249	-37,093	0	0	0	34,7815
20	0 HIP18	Combination Max	-94,77	-22,322	0	0	0	169,7764
20	0,1815 HIP18	Combination Max	-92,728	-25,087	0	0	0	175,4717
20	0,363 HIP18	Combination Max	-90,686	-27,528	0	0	0	181,6394
20	0 HIP18	Combination Min	-446,332	-32,082	0	0	0	24,9343
20	0,1815 HIP18	Combination Min	-444,291	-34,846	0	0	0	29,6438
20	0,363 HIP18	Combination Min	-442,249	-37,287	0	0	0	34,8256
20	0 HIP19	Combination	-94,77	-24,471	0	0	0	24,9479
20	0,1815 HIP19	Combination	-92,728	-27,236	0	0	0	29,6452
20	0,363 HIP19	Combination	-90,686	-29,677	0	0	0	34,8149
20	0 ELU	Combination Max	-45,198	6,975	0	0	0	255,0632
20	0,1815 ELU	Combination Max	-42,441	6,975	0	0	0	261,0041
20	0,363 ELU	Combination Max	-39,685	6,975	0	0	0	267,4174
20	0 ELU	Combination Min	-655,283	-48,746	0	0	0	15,6007
20	0,1815 ELU	Combination Min	-652,527	-52,892	0	0	0	14,3346
20	0,363 ELU	Combination Min	-649,77	-56,554	0	0	0	13,0686
20	0 ELS-DEF	Combination Max	-94,77	-22,128	0	0	0	169,8029
20	0,1815 ELS-DEF	Combination Max	-92,728	-24,892	0	0	0	175,4731
20	0,363 ELS-DEF	Combination Max	-90,686	-27,333	0	0	0	181,6394
20	0 ELS-DEF	Combination Min	-446,332	-32,082	0	0	0	24,9343
20	0,1815 ELS-DEF	Combination Min	-444,291	-34,846	0	0	0	29,635
20	0,363 ELS-DEF	Combination Min	-442,249	-37,287	0	0	0	34,744
20	0 HIP20	Combination	-94,77	-29,843	0	0	0	21,4019
20	0,1815 HIP20	Combination	-92,728	-34,024	0	0	0	27,2014
20	0,363 HIP20	Combination	-90,686	-37,967	0	0	0	33,7381
20	0 HIP21	Combination	-94,77	-29,876	0	0	0	21,3952
20	0,1815 HIP21	Combination	-92,728	-34,057	0	0	0	27,2007
20	0,363 HIP21	Combination	-90,686	-38,001	0	0	0	33,7435
20	0 ENV-SISMO	Combination Max	-94,77	-29,843	0	0	0	21,4019
20	0,1815 ENV-SISMO	Combination Max	-92,728	-34,024	0	0	0	27,2014
20	0,363 ENV-SISMO	Combination Max	-90,686	-37,967	0	0	0	33,7435
20	0 ENV-SISMO	Combination Min	-94,77	-29,876	0	0	0	21,3952
20	0,1815 ENV-SISMO	Combination Min	-92,728	-34,057	0	0	0	27,2007
20	0,363 ENV-SISMO	Combination Min	-90,686	-38,001	0	0	0	33,7381
20	0 HIP22	Combination	-94,77	-24,572	0	0	0	24,9275
20	0,1815 HIP22	Combination	-92,728	-27,336	0	0	0	29,643
20	0,363 HIP22	Combination	-90,686	-29,777	0	0	0	34,8309
20	0 HIP23	Combination	-94,77	-24,21	0	0	0	24,988
20	0,1815 HIP23	Combination	-92,728	-26,974	0	0	0	29,6378
20	0,363 HIP23	Combination	-90,686	-29,415	0	0	0	34,76
20	0 ELS-FIS	Combination Max	-94,77	-24,21	0	0	0	24,988
20	0,1815 ELS-FIS	Combination Max	-92,728	-26,974	0	0	0	29,643
20	0,363 ELS-FIS	Combination Max	-90,686	-29,415	0	0	0	34,8309
20	0 ELS-FIS	Combination Min	-94,77	-24,572	0	0	0	24,9275



## “Proyecto de las estructuras para la conexión peatonal de los andenes de la estación de Font de Sant Lluís en Valencia”.

20	0,1815	ELS-FIS	Combination	Min	-92,728	-27,336	0	0	0	29,6378
20	0,363	ELS-FIS	Combination	Min	-90,686	-29,777	0	0	0	34,76
20	0	ENV-TREN	Combination	Max	0	2,216	0	0	0	144,842
20	0,1815	ENV-TREN	Combination	Max	0	2,216	0	0	0	145,8279
20	0,363	ENV-TREN	Combination	Max	0	2,216	0	0	0	146,8138
20	0	ENV-TREN	Combination	Min	-351,562	-7,544	0	0	0	0
20	0,1815	ENV-TREN	Combination	Min	-351,562	-7,544	0	0	0	0
20	0,363	ENV-TREN	Combination	Min	-351,562	-7,544	0	0	0	0
21	0	PP	NonStatic	Max	-29,396	5,167	0	0	0	9,6804
21	0,1815	PP	NonStatic	Max	-27,354	5,167	0	0	0	8,7426
21	0,363	PP	NonStatic	Max	-25,312	5,167	0	0	0	7,8048
21	0	PP	NonStatic	Min	-29,396	5,167	0	0	0	9,6804
21	0,1815	PP	NonStatic	Min	-27,354	5,167	0	0	0	8,7426
21	0,363	PP	NonStatic	Min	-25,312	5,167	0	0	0	7,8048
21	0	CM CARRIL UIC-54	NonStatic	Max	-0,9	-0,014	0	0	0	0,3758
21	0,1815	CM CARRIL UIC-54	NonStatic	Max	-0,9	-0,014	0	0	0	0,3784
21	0,363	CM CARRIL UIC-54	NonStatic	Max	-0,9	-0,014	0	0	0	0,3809
21	0	CM CARRIL UIC-54	NonStatic	Min	-0,9	-0,014	0	0	0	0,3758
21	0,1815	CM CARRIL UIC-54	NonStatic	Min	-0,9	-0,014	0	0	0	0,3784
21	0,363	CM CARRIL UIC-54	NonStatic	Min	-0,9	-0,014	0	0	0	0,3809
21	0	CM TRAVIESAS	NonStatic	Max	-4,095	-0,063	0	0	0	1,7101
21	0,1815	CM TRAVIESAS	NonStatic	Max	-4,095	-0,063	0	0	0	1,7216
21	0,363	CM TRAVIESAS	NonStatic	Max	-4,095	-0,063	0	0	0	1,7331
21	0	CM TRAVIESAS	NonStatic	Min	-4,095	-0,063	0	0	0	1,7101
21	0,1815	CM TRAVIESAS	NonStatic	Min	-4,095	-0,063	0	0	0	1,7216
21	0,363	CM TRAVIESAS	NonStatic	Min	-4,095	-0,063	0	0	0	1,7331
21	0	CM TIERRAS + BALASTO	NonStatic	Max	-56,295	-0,87	0	0	0	23,509
21	0,1815	CM TIERRAS + BALASTO	NonStatic	Max	-56,295	-0,87	0	0	0	23,6669
21	0,363	CM TIERRAS + BALASTO	NonStatic	Max	-56,295	-0,87	0	0	0	23,8247
21	0	CM TIERRAS + BALASTO	NonStatic	Min	-56,295	-0,87	0	0	0	23,509
21	0,1815	CM TIERRAS + BALASTO	NonStatic	Min	-56,295	-0,87	0	0	0	23,6669
21	0,363	CM TIERRAS + BALASTO	NonStatic	Min	-56,295	-0,87	0	0	0	23,8247
21	0	CM SUELO SOLERA	NonStatic	Max	7,276E-12	-0,067	0	0	0	0,0107
21	0,1815	CM SUELO SOLERA	NonStatic	Max	7,276E-12	-0,067	0	0	0	0,0228
21	0,363	CM SUELO SOLERA	NonStatic	Max	7,276E-12	-0,067	0	0	0	0,035
21	0	CM SUELO SOLERA	NonStatic	Min	7,276E-12	-0,067	0	0	0	0,0107
21	0,1815	CM SUELO SOLERA	NonStatic	Min	7,276E-12	-0,067	0	0	0	0,0228
21	0,363	CM SUELO SOLERA	NonStatic	Min	7,276E-12	-0,067	0	0	0	0,035
21	0	SBC SUELO SOLERA	NonStatic	Max	1,455E-11	-0,167	0	0	0	0,0268
21	0,1815	SBC SUELO SOLERA	NonStatic	Max	1,455E-11	-0,167	0	0	0	0,0571
21	0,363	SBC SUELO SOLERA	NonStatic	Max	1,455E-11	-0,167	0	0	0	0,0875
21	0	SBC SUELO SOLERA	NonStatic	Min	1,455E-11	-0,167	0	0	0	0,0268
21	0,1815	SBC SUELO SOLERA	NonStatic	Min	1,455E-11	-0,167	0	0	0	0,0571
21	0,363	SBC SUELO SOLERA	NonStatic	Min	1,455E-11	-0,167	0	0	0	0,0875
21	0	EMPUIJE TIERRAS	NonStatic	Max	-1,364E-12	-33,535	0	0	0	-0,5314
21	0,1815	EMPUIJE TIERRAS	NonStatic	Max	-1,364E-12	-35,653	0	0	0	5,7523
21	0,363	EMPUIJE TIERRAS	NonStatic	Max	-1,364E-12	-37,448	0	0	0	12,3912
21	0	EMPUIJE TIERRAS	NonStatic	Min	-1,364E-12	-33,535	0	0	0	-0,5314
21	0,1815	EMPUIJE TIERRAS	NonStatic	Min	-1,364E-12	-35,653	0	0	0	5,7523
21	0,363	EMPUIJE TIERRAS	NonStatic	Min	-1,364E-12	-37,448	0	0	0	12,3912
21	0	EMPUIJE AGUA	LinStatic		-5,821E-11	-0,362	0	0	0	0,0709
21	0,1815	EMPUIJE AGUA	LinStatic		-5,821E-11	-0,362	0	0	0	0,1366
21	0,363	EMPUIJE AGUA	LinStatic		-5,821E-11	-0,362	0	0	0	0,2023
21	0	SISMO	NonStatic	Max	-2,274E-13	-8,29	0	0	0	-1,0767
21	0,1815	SISMO	NonStatic	Max	-2,274E-13	-9,879	0	0	0	0,5708
21	0,363	SISMO	NonStatic	Max	-2,274E-13	-11,553	0	0	0	2,5144
21	0	SISMO	NonStatic	Min	-2,274E-13	-8,29	0	0	0	-1,0767
21	0,1815	SISMO	NonStatic	Min	-2,274E-13	-9,879	0	0	0	0,5708
21	0,363	SISMO	NonStatic	Min	-2,274E-13	-11,553	0	0	0	2,5144
21	0	MODAL	LinModal	Mode	78,634	56,591	0	0	0	-126,1237
21	0,1815	MODAL	LinModal	Mode	78,634	56,591	0	0	0	-136,395
21	0,363	MODAL	LinModal	Mode	78,634	56,591	0	0	0	-146,6664
21	0	MODAL	LinModal	Mode	-205,441	39,723	0	0	0	71,9479
21	0,1815	MODAL	LinModal	Mode	-205,441	39,723	0	0	0	64,7381
21	0,363	MODAL	LinModal	Mode	-205,441	39,723	0	0	0	57,5283
21	0	MODAL	LinModal	Mode	5178,851	8101,726	0	0	0	-17382,514
21	0,1815	MODAL	LinModal	Mode	5178,851	8101,726	0	0	0	-18852,9773
21	0,363	MODAL	LinModal	Mode	5178,851	8101,726	0	0	0	-20323,4405
21	0	MODAL	LinModal	Mode	-35732,157	19061,294	0	0	0	18875,2944
21	0,1815	MODAL	LinModal	Mode	-35732,157	19061,294	0	0	0	15415,6697
21	0,363	MODAL	LinModal	Mode	-35732,157	19061,294	0	0	0	11956,0449
21	0	MODAL	LinModal	Mode	66669,369	27940,292	0	0	0	-56723,5897
21	0,1815	MODAL	LinModal	Mode	66669,369	27940,292	0	0	0	-61794,7527

21	0,363 MODAL	LinModal	Mode	66669,369	27940,292	0	0	0	-66865,9157
21	0 MODAL	LinModal	Mode	2953,143	-108943,456	0	0	0	23722,8232
21	0,1815 MODAL	LinModal	Mode	2953,143	-108943,456	0	0	0	43496,0605
21	0,363 MODAL	LinModal	Mode	2953,143	-108943,456	0	0	0	63269,2978
21	0 MODAL	LinModal	Mode	99417,281	158067,623	0	0	0	-48700,2059
21	0,1815 MODAL	LinModal	Mode	99417,281	158067,623	0	0	0	-77389,4795
21	0,363 MODAL	LinModal	Mode	99417,281	158067,623	0	0	0	-106078,753
21	0 MODAL	LinModal	Mode	-433781,63	-64051,284	0	0	0	132838,9114
21	0,1815 MODAL	LinModal	Mode	-433781,63	-64051,284	0	0	0	144464,2194
21	0,363 MODAL	LinModal	Mode	-433781,63	-64051,284	0	0	0	156089,5274
21	0 MODAL	LinModal	Mode	22789,258	-143002,696	0	0	0	-46515,7985
21	0,1815 MODAL	LinModal	Mode	22789,258	-143002,696	0	0	0	-20560,8093
21	0,363 MODAL	LinModal	Mode	22789,258	-143002,696	0	0	0	5394,18
21	0 MODAL	LinModal	Mode	7011,885	506273,914	0	0	0	75166,8737
21	0,1815 MODAL	LinModal	Mode	7011,885	506273,914	0	0	0	-16721,8417
21	0,363 MODAL	LinModal	Mode	7011,885	506273,914	0	0	0	-108610,557
21	0 MODAL	LinModal	Mode	289791,426	568145,174	0	0	0	-33662,2684
21	0,1815 MODAL	LinModal	Mode	289791,426	568145,174	0	0	0	-136780,618
21	0,363 MODAL	LinModal	Mode	289791,426	568145,174	0	0	0	-239898,967
21	0 MODAL	LinModal	Mode	895048,968	79585,728	0	0	0	-91961,5363
21	0,1815 MODAL	LinModal	Mode	895048,968	79585,728	0	0	0	-106406,346
21	0,363 MODAL	LinModal	Mode	895048,968	79585,728	0	0	0	-120851,155
21	0 HIP1	Combination		-39,685	6,975	0	0	0	13,0686
21	0,1815 HIP1	Combination		-36,928	6,975	0	0	0	11,8025
21	0,363 HIP1	Combination		-34,172	6,975	0	0	0	10,5365
21	0 HIP2	Combination		-122,426	-44,605	0	0	0	46,8247
21	0,1815 HIP2	Combination		-119,67	-47,783	0	0	0	55,2162
21	0,363 HIP2	Combination		-116,913	-50,475	0	0	0	64,1404
21	0 HIP3	Combination		-122,426	-45,148	0	0	0	46,931
21	0,1815 HIP3	Combination		-119,67	-48,325	0	0	0	55,4211
21	0,363 HIP3	Combination		-116,913	-51,018	0	0	0	64,4438
21	0 HIP4	Combination		-122,426	-44,696	0	0	0	46,8391
21	0,1815 HIP4	Combination		-119,67	-47,873	0	0	0	55,2471
21	0,363 HIP4	Combination		-116,913	-50,565	0	0	0	64,1877
21	0 HIP5	Combination		-122,426	-45,489	0	0	0	46,9856
21	0,1815 HIP5	Combination		-119,67	-48,666	0	0	0	55,5376
21	0,363 HIP5	Combination		-116,913	-51,359	0	0	0	64,6223
21	0 HIP6	Combination	Max	-122,426	-25,057	0	0	0	267,4174
21	0,1815 HIP6	Combination	Max	-119,67	-27,175	0	0	0	274,2444
21	0,363 HIP6	Combination	Max	-116,913	-28,97	0	0	0	281,4265
21	0 HIP6	Combination	Min	-649,77	-39,696	0	0	0	47,1967
21	0,1815 HIP6	Combination	Min	-647,014	-41,814	0	0	0	52,5449
21	0,363 HIP6	Combination	Min	-644,257	-43,609	0	0	0	58,2482
21	0 HIP7	Combination	Max	-122,426	-41,915	0	0	0	267,1661
21	0,1815 HIP7	Combination	Max	-119,67	-45,092	0	0	0	277,1514
21	0,363 HIP7	Combination	Max	-116,913	-47,785	0	0	0	287,6693
21	0 HIP7	Combination	Min	-649,77	-56,554	0	0	0	46,9455
21	0,1815 HIP7	Combination	Min	-647,014	-59,731	0	0	0	55,4519
21	0,363 HIP7	Combination	Min	-644,257	-62,424	0	0	0	64,4911
21	0 HIP8	Combination	Max	-122,426	-41,623	0	0	0	267,0999
21	0,1815 HIP8	Combination	Max	-119,67	-44,8	0	0	0	277,0322
21	0,363 HIP8	Combination	Max	-116,913	-47,493	0	0	0	287,4971
21	0 HIP8	Combination	Min	-649,77	-56,262	0	0	0	46,8793
21	0,1815 HIP8	Combination	Min	-647,014	-59,439	0	0	0	55,3327
21	0,363 HIP8	Combination	Min	-644,257	-62,132	0	0	0	64,3189
21	0 HIP9	Combination	Max	-122,426	-41,915	0	0	0	267,1661
21	0,1815 HIP9	Combination	Max	-119,67	-45,092	0	0	0	277,1514
21	0,363 HIP9	Combination	Max	-116,913	-47,785	0	0	0	287,6693
21	0 HIP9	Combination	Min	-649,77	-56,554	0	0	0	46,9455
21	0,1815 HIP9	Combination	Min	-647,014	-59,731	0	0	0	55,4519
21	0,363 HIP9	Combination	Min	-644,257	-62,424	0	0	0	64,4911
21	0 HIP10	Combination		-90,686	-46,082	0	0	0	34,4783
21	0,1815 HIP10	Combination		-88,644	-49,26	0	0	0	43,1379
21	0,363 HIP10	Combination		-86,602	-51,952	0	0	0	52,3302
21	0 HIP11	Combination		-90,686	-29,677	0	0	0	34,8149
21	0,1815 HIP11	Combination		-88,644	-31,795	0	0	0	40,3983
21	0,363 HIP11	Combination		-86,602	-33,59	0	0	0	46,3369
21	0 HIP12	Combination		-90,686	-29,315	0	0	0	34,744
21	0,1815 HIP12	Combination		-88,644	-31,433	0	0	0	40,2617
21	0,363 HIP12	Combination		-86,602	-33,228	0	0	0	46,1346
21	0 HIP13	Combination		-90,686	-29,744	0	0	0	34,8256
21	0,1815 HIP13	Combination		-88,644	-31,862	0	0	0	40,4212
21	0,363 HIP13	Combination		-86,602	-33,657	0	0	0	46,3719





## “Proyecto de las estructuras para la conexión peatonal de los andenes de la estación de Font de Sant Lluís en Valencia”.

21	0 HIP14	Combination	-90,686	-29,549	0	0	0	34,7815
21	0,1815 HIP14	Combination	-88,644	-31,667	0	0	0	40,3417
21	0,363 HIP14	Combination	-86,602	-33,462	0	0	0	46,2571
21	0 HIP15	Combination Max	-90,686	-27,461	0	0	0	181,6287
21	0,1815 HIP15	Combination Max	-88,644	-29,579	0	0	0	188,198
21	0,363 HIP15	Combination Max	-86,602	-31,374	0	0	0	195,1224
21	0 HIP15	Combination Min	-442,249	-37,221	0	0	0	34,8149
21	0,1815 HIP15	Combination Min	-440,207	-39,339	0	0	0	40,3983
21	0,363 HIP15	Combination Min	-438,165	-41,134	0	0	0	46,3369
21	0 HIP16	Combination Max	-90,686	-27,528	0	0	0	181,6394
21	0,1815 HIP16	Combination Max	-88,644	-29,646	0	0	0	188,2208
21	0,363 HIP16	Combination Max	-86,602	-31,441	0	0	0	195,1574
21	0 HIP16	Combination Min	-442,249	-37,287	0	0	0	34,8256
21	0,1815 HIP16	Combination Min	-440,207	-39,406	0	0	0	40,4212
21	0,363 HIP16	Combination Min	-438,165	-41,201	0	0	0	46,3719
21	0 HIP17	Combination Max	-90,686	-27,333	0	0	0	181,5952
21	0,1815 HIP17	Combination Max	-88,644	-29,451	0	0	0	188,1414
21	0,363 HIP17	Combination Max	-86,602	-31,246	0	0	0	195,0426
21	0 HIP17	Combination Min	-442,249	-37,093	0	0	0	34,7815
21	0,1815 HIP17	Combination Min	-440,207	-39,211	0	0	0	40,3417
21	0,363 HIP17	Combination Min	-438,165	-41,006	0	0	0	46,2571
21	0 HIP18	Combination Max	-90,686	-27,528	0	0	0	181,6394
21	0,1815 HIP18	Combination Max	-88,644	-29,646	0	0	0	188,2208
21	0,363 HIP18	Combination Max	-86,602	-31,441	0	0	0	195,1574
21	0 HIP18	Combination Min	-442,249	-37,287	0	0	0	34,8256
21	0,1815 HIP18	Combination Min	-440,207	-39,406	0	0	0	40,4212
21	0,363 HIP18	Combination Min	-438,165	-41,201	0	0	0	46,3719
21	0 HIP19	Combination	-90,686	-29,677	0	0	0	34,8149
21	0,1815 HIP19	Combination	-88,644	-31,795	0	0	0	40,3983
21	0,363 HIP19	Combination	-86,602	-33,59	0	0	0	46,3369
21	0 ELU	Combination Max	-39,685	6,975	0	0	0	267,4174
21	0,1815 ELU	Combination Max	-36,928	6,975	0	0	0	277,1514
21	0,363 ELU	Combination Max	-34,172	6,975	0	0	0	287,6693
21	0 ELU	Combination Min	-649,77	-56,554	0	0	0	13,0686
21	0,1815 ELU	Combination Min	-647,014	-59,731	0	0	0	11,8025
21	0,363 ELU	Combination Min	-644,257	-62,424	0	0	0	10,5365
21	0 ELS-DEF	Combination Max	-90,686	-27,333	0	0	0	181,6394
21	0,1815 ELS-DEF	Combination Max	-88,644	-29,451	0	0	0	188,2208
21	0,363 ELS-DEF	Combination Max	-86,602	-31,246	0	0	0	195,1574
21	0 ELS-DEF	Combination Min	-442,249	-37,287	0	0	0	34,744
21	0,1815 ELS-DEF	Combination Min	-440,207	-39,406	0	0	0	40,2617
21	0,363 ELS-DEF	Combination Min	-438,165	-41,201	0	0	0	46,1346
21	0 HIP20	Combination	-90,686	-37,967	0	0	0	33,7381
21	0,1815 HIP20	Combination	-88,644	-41,673	0	0	0	40,9691
21	0,363 HIP20	Combination	-86,602	-45,143	0	0	0	48,8513
21	0 HIP21	Combination	-90,686	-38,001	0	0	0	33,7435
21	0,1815 HIP21	Combination	-88,644	-41,707	0	0	0	40,9805
21	0,363 HIP21	Combination	-86,602	-45,176	0	0	0	48,8688
21	0 ENV-SISMO	Combination Max	-90,686	-37,967	0	0	0	33,7435
21	0,1815 ENV-SISMO	Combination Max	-88,644	-41,673	0	0	0	40,9805
21	0,363 ENV-SISMO	Combination Max	-86,602	-45,143	0	0	0	48,8688
21	0 ENV-SISMO	Combination Min	-90,686	-38,001	0	0	0	33,7381
21	0,1815 ENV-SISMO	Combination Min	-88,644	-41,707	0	0	0	40,9691
21	0,363 ENV-SISMO	Combination Min	-86,602	-45,176	0	0	0	48,8513
21	0 HIP22	Combination	-90,686	-29,777	0	0	0	34,8309
21	0,1815 HIP22	Combination	-88,644	-31,895	0	0	0	40,4326
21	0,363 HIP22	Combination	-86,602	-33,69	0	0	0	46,3894
21	0 HIP23	Combination	-90,686	-29,415	0	0	0	34,76
21	0,1815 HIP23	Combination	-88,644	-31,533	0	0	0	40,296
21	0,363 HIP23	Combination	-86,602	-33,328	0	0	0	46,1871
21	0 ELS-FIS	Combination Max	-90,686	-29,415	0	0	0	34,8309
21	0,1815 ELS-FIS	Combination Max	-88,644	-31,533	0	0	0	40,4326
21	0,363 ELS-FIS	Combination Max	-86,602	-33,328	0	0	0	46,3894
21	0 ELS-FIS	Combination Min	-90,686	-29,777	0	0	0	34,76
21	0,1815 ELS-FIS	Combination Min	-88,644	-31,895	0	0	0	40,296
21	0,363 ELS-FIS	Combination Min	-86,602	-33,69	0	0	0	46,1871
21	0 ENV-TREN	Combination Max	0	2,216	0	0	0	146,8138
21	0,1815 ENV-TREN	Combination Max	0	2,216	0	0	0	147,7996
21	0,363 ENV-TREN	Combination Max	0	2,216	0	0	0	148,7855
21	0 ENV-TREN	Combination Min	-351,562	-7,544	0	0	0	0
21	0,1815 ENV-TREN	Combination Min	-351,562	-7,544	0	0	0	0
21	0,363 ENV-TREN	Combination Min	-351,562	-7,544	0	0	0	0
22	0 PP	NonStatic Max	-66,15	-5,167	0	0	0	-26,561

22	0,1815 PP	NonStatic	Max	-64,108	-5,167	0	0	0	-25,6231
22	0,363 PP	NonStatic	Max	-62,066	-5,167	0	0	0	-24,6853
22	0 PP	NonStatic	Min	-66,15	-5,167	0	0	0	-26,561
22	0,1815 PP	NonStatic	Min	-64,108	-5,167	0	0	0	-25,6231
22	0,363 PP	NonStatic	Min	-62,066	-5,167	0	0	0	-24,6853
22	0 CM CARRIL UIC-54	NonStatic	Max	-0,9	0,014	0	0	0	-0,3304
22	0,1815 CM CARRIL UIC-54	NonStatic	Max	-0,9	0,014	0	0	0	-0,3329
22	0,363 CM CARRIL UIC-54	NonStatic	Max	-0,9	0,014	0	0	0	-0,3355
22	0 CM CARRIL UIC-54	NonStatic	Min	-0,9	0,014	0	0	0	-0,3304
22	0,1815 CM CARRIL UIC-54	NonStatic	Min	-0,9	0,014	0	0	0	-0,3329
22	0,363 CM CARRIL UIC-54	NonStatic	Min	-0,9	0,014	0	0	0	-0,3355
22	0 CM TRAVIASAS	NonStatic	Max	-4,095	0,063	0	0	0	-1,5034
22	0,1815 CM TRAVIASAS	NonStatic	Max	-4,095	0,063	0	0	0	-1,5149
22	0,363 CM TRAVIASAS	NonStatic	Max	-4,095	0,063	0	0	0	-1,5264
22	0 CM TRAVIASAS	NonStatic	Min	-4,095	0,063	0	0	0	-1,5034
22	0,1815 CM TRAVIASAS	NonStatic	Min	-4,095	0,063	0	0	0	-1,5149
22	0,363 CM TRAVIASAS	NonStatic	Min	-4,095	0,063	0	0	0	-1,5264
22	0 CM TIERRAS + BALASTO	NonStatic	Max	-56,295	0,87	0	0	0	-20,6674
22	0,1815 CM TIERRAS + BALASTO	NonStatic	Max	-56,295	0,87	0	0	0	-20,8253
22	0,363 CM TIERRAS + BALASTO	NonStatic	Max	-56,295	0,87	0	0	0	-20,9832
22	0 CM TIERRAS + BALASTO	NonStatic	Min	-56,295	0,87	0	0	0	-20,6674
22	0,1815 CM TIERRAS + BALASTO	NonStatic	Min	-56,295	0,87	0	0	0	-20,8253
22	0,363 CM TIERRAS + BALASTO	NonStatic	Min	-56,295	0,87	0	0	0	-20,9832
22	0 CM SUELO SOLERA	NonStatic	Max	6,548E-11	0,067	0	0	0	0,2078
22	0,1815 CM SUELO SOLERA	NonStatic	Max	6,548E-11	0,067	0	0	0	0,1956
22	0,363 CM SUELO SOLERA	NonStatic	Max	6,548E-11	0,067	0	0	0	0,1835
22	0 CM SUELO SOLERA	NonStatic	Min	6,548E-11	0,067	0	0	0	0,2078
22	0,1815 CM SUELO SOLERA	NonStatic	Min	6,548E-11	0,067	0	0	0	0,1956
22	0,363 CM SUELO SOLERA	NonStatic	Min	6,548E-11	0,067	0	0	0	0,1835
22	0 SBC SUELO SOLERA	NonStatic	Max	1,601E-10	0,167	0	0	0	0,5194
22	0,1815 SBC SUELO SOLERA	NonStatic	Max	1,601E-10	0,167	0	0	0	0,4891
22	0,363 SBC SUELO SOLERA	NonStatic	Max	1,601E-10	0,167	0	0	0	0,4588
22	0 SBC SUELO SOLERA	NonStatic	Min	1,601E-10	0,167	0	0	0	0,5194
22	0,1815 SBC SUELO SOLERA	NonStatic	Min	1,601E-10	0,167	0	0	0	0,4891
22	0,363 SBC SUELO SOLERA	NonStatic	Min	1,601E-10	0,167	0	0	0	0,4588
22	0 EMPUJE TIERRAS	NonStatic	Max	-4,093E-12	-59,827	0	0	0	-13,9245
22	0,1815 EMPUJE TIERRAS	NonStatic	Max	-4,093E-12	-51,894	0	0	0	-3,7907
22	0,363 EMPUJE TIERRAS	NonStatic	Max	-4,093E-12	-44,285	0	0	0	4,9327
22	0 EMPUJE TIERRAS	NonStatic	Min	-4,093E-12	-59,827	0	0	0	-13,9245
22	0,1815 EMPUJE TIERRAS	NonStatic	Min	-4,093E-12	-51,894	0	0	0	-3,7907
22	0,363 EMPUJE TIERRAS	NonStatic	Min	-4,093E-12	-44,285	0	0	0	4,9327
22	0 EMPUJE AGUA	LinStatic		-3,492E-10	-7,026	0	0	0	-1,959
22	0,1815 EMPUJE AGUA	LinStatic		-3,492E-10	-5,031	0	0	0	-0,8696
22	0,363 EMPUJE AGUA	LinStatic		-3,492E-10	-3,35	0	0	0	-0,1137
22	0 SISMO	NonStatic	Max	-6,821E-13	-5,617	0	0	0	-2,1297
22	0,1815 SISMO	NonStatic	Max	-6,821E-13	-5,574	0	0	0	-1,1127
22	0,363 SISMO	NonStatic	Max	-6,821E-13	-5,446	0	0	0	-0,1114
22	0 SISMO	NonStatic	Min	-6,821E-13	-5,617	0	0	0	-2,1297
22	0,1815 SISMO	NonStatic	Min	-6,821E-13	-5,574	0	0	0	-1,1127
22	0,363 SISMO	NonStatic	Min	-6,821E-13	-5,446	0	0	0	-0,1114
22	0 MODAL	LinModal	Mode	-125,098	94,637	0	0	0	146,24
22	0,1815 MODAL	LinModal	Mode	-125,098	94,637	0	0	0	129,0634
22	0,363 MODAL	LinModal	Mode	-125,098	94,637	0	0	0	111,8868
22	0 MODAL	LinModal	Mode	-480,39	-38,829	0	0	0	-200,1535
22	0,1815 MODAL	LinModal	Mode	-480,39	-38,829	0	0	0	-193,1061
22	0,363 MODAL	LinModal	Mode	-480,39	-38,829	0	0	0	-186,0587
22	0 MODAL	LinModal	Mode	6652,457	13933,395	0	0	0	23080,7681
22	0,1815 MODAL	LinModal	Mode	6652,457	13933,395	0	0	0	20551,8569
22	0,363 MODAL	LinModal	Mode	6652,457	13933,395	0	0	0	18022,9456
22	0 MODAL	LinModal	Mode	-35353,633	19252,461	0	0	0	-11582,3443
22	0,1815 MODAL	LinModal	Mode	-35353,633	19252,461	0	0	0	-15076,666
22	0,363 MODAL	LinModal	Mode	-35353,633	19252,461	0	0	0	-18570,9878
22	0 MODAL	LinModal	Mode	-66666,381	-27242,073	0	0	0	-66536,7672
22	0,1815 MODAL	LinModal	Mode	-66666,381	-27242,073	0	0	0	-61592,331
22	0,363 MODAL	LinModal	Mode	-66666,381	-27242,073	0	0	0	-56647,8947
22	0 MODAL	LinModal	Mode	-2628,126	131471,808	0	0	0	55387,9085
22	0,1815 MODAL	LinModal	Mode	-2628,126	131471,808	0	0	0	31525,7754
22	0,363 MODAL	LinModal	Mode	-2628,126	131471,808	0	0	0	7663,6422
22	0 MODAL	LinModal	Mode	99678,837	158144,21	0	0	0	106328,6313
22	0,1815 MODAL	LinModal	Mode	99678,837	158144,21	0	0	0	77625,4573
22	0,363 MODAL	LinModal	Mode	99678,837	158144,21	0	0	0	48922,2832
22	0 MODAL	LinModal	Mode	251509,864	205015,541	0	0	0	103823,0498
22	0,1815 MODAL	LinModal	Mode	251509,864	205015,541	0	0	0	66612,7291





## “Proyecto de las estructuras para la conexión peatonal de los andenes de la estación de Font de Sant Lluís en Valencia”.

22	0,363 MODAL	LinModal	Mode	251509,864	205015,541	0	0	0	29402,4083
22	0 MODAL	LinModal	Mode	388414,286	4179,923	0	0	0	141654,4446
22	0,1815 MODAL	LinModal	Mode	388414,286	4179,923	0	0	0	140895,7886
22	0,363 MODAL	LinModal	Mode	388414,286	4179,923	0	0	0	140137,1327
22	0 MODAL	LinModal	Mode	-7185,092	-506305,55	0	0	0	-108645,535
22	0,1815 MODAL	LinModal	Mode	-7185,092	-506305,55	0	0	0	-16751,0782
22	0,363 MODAL	LinModal	Mode	-7185,092	-506305,55	0	0	0	75143,3791
22	0 MODAL	LinModal	Mode	196504,207	650098,563	0	0	0	181399,2255
22	0,1815 MODAL	LinModal	Mode	196504,207	650098,563	0	0	0	63406,3362
22	0,363 MODAL	LinModal	Mode	196504,207	650098,563	0	0	0	-54586,553
22	0 MODAL	LinModal	Mode	894266,962	79205,728	0	0	0	120628,2534
22	0,1815 MODAL	LinModal	Mode	894266,962	79205,728	0	0	0	106252,4137
22	0,363 MODAL	LinModal	Mode	894266,962	79205,728	0	0	0	91876,5741
22	0 HIP1	Combination		-89,302	-6,975	0	0	0	-35,8573
22	0,1815 HIP1	Combination		-86,546	-6,975	0	0	0	-34,5912
22	0,363 HIP1	Combination		-83,789	-6,975	0	0	0	-33,3252
22	0 HIP2	Combination		-172,044	-95,437	0	0	0	-87,1206
22	0,1815 HIP2	Combination		-169,287	-83,539	0	0	0	-70,8859
22	0,363 HIP2	Combination		-166,531	-72,124	0	0	0	-56,7668
22	0 HIP3	Combination		-172,044	-105,976	0	0	0	-90,0591
22	0,1815 HIP3	Combination		-169,287	-91,086	0	0	0	-72,1903
22	0,363 HIP3	Combination		-166,531	-77,15	0	0	0	-56,9373
22	0 HIP4	Combination		-172,044	-95,347	0	0	0	-86,8401
22	0,1815 HIP4	Combination		-169,287	-83,448	0	0	0	-70,6218
22	0,363 HIP4	Combination		-166,531	-72,034	0	0	0	-56,5191
22	0 HIP5	Combination		-172,044	-105,635	0	0	0	-88,9995
22	0,1815 HIP5	Combination		-169,287	-90,744	0	0	0	-71,1925
22	0,363 HIP5	Combination		-166,531	-76,809	0	0	0	-56,0015
22	0 HIP6	Combination	Max	-172,044	-64,747	0	0	0	-83,0969
22	0,1815 HIP6	Combination	Max	-169,287	-53,823	0	0	0	-70,2949
22	0,363 HIP6	Combination	Max	-166,531	-43,692	0	0	0	-59,4037
22	0 HIP6	Combination	Min	-699,388	-79,386	0	0	0	-276,6992
22	0,1815 HIP6	Combination	Min	-696,631	-68,462	0	0	0	-265,3761
22	0,363 HIP6	Combination	Min	-693,875	-58,331	0	0	0	-255,9636
22	0 HIP7	Combination	Max	-172,044	-94,57	0	0	0	-89,7786
22	0,1815 HIP7	Combination	Max	-169,287	-79,68	0	0	0	-71,9262
22	0,363 HIP7	Combination	Max	-166,531	-65,744	0	0	0	-56,6896
22	0 HIP7	Combination	Min	-699,388	-109,209	0	0	0	-283,381
22	0,1815 HIP7	Combination	Min	-696,631	-94,319	0	0	0	-267,0073
22	0,363 HIP7	Combination	Min	-693,875	-80,383	0	0	0	-253,2495
22	0 HIP8	Combination	Max	-172,044	-83,781	0	0	0	-86,061
22	0,1815 HIP8	Combination	Max	-169,287	-71,882	0	0	0	-69,8882
22	0,363 HIP8	Combination	Max	-166,531	-60,468	0	0	0	-55,831
22	0 HIP8	Combination	Min	-699,388	-98,42	0	0	0	-279,6633
22	0,1815 HIP8	Combination	Min	-696,631	-86,521	0	0	0	-264,9693
22	0,363 HIP8	Combination	Min	-693,875	-75,107	0	0	0	-252,3909
22	0 HIP9	Combination	Max	-172,044	-94,57	0	0	0	-89,7786
22	0,1815 HIP9	Combination	Max	-169,287	-79,68	0	0	0	-71,9262
22	0,363 HIP9	Combination	Max	-166,531	-65,744	0	0	0	-56,6896
22	0 HIP9	Combination	Min	-699,388	-109,209	0	0	0	-283,381
22	0,1815 HIP9	Combination	Min	-696,631	-94,319	0	0	0	-267,0073
22	0,363 HIP9	Combination	Min	-693,875	-80,383	0	0	0	-253,2495
22	0 HIP10	Combination		-127,44	-93,96	0	0	0	-69,9489
22	0,1815 HIP10	Combination		-125,398	-82,062	0	0	0	-53,9822
22	0,363 HIP10	Combination		-123,356	-70,647	0	0	0	-40,1312
22	0 HIP11	Combination		-127,44	-71,072	0	0	0	-64,9456
22	0,1815 HIP11	Combination		-125,398	-61,146	0	0	0	-52,9565
22	0,363 HIP11	Combination		-123,356	-51,855	0	0	0	-42,7113
22	0 HIP12	Combination		-127,44	-64,047	0	0	0	-62,9866
22	0,1815 HIP12	Combination		-125,398	-56,114	0	0	0	-52,0869
22	0,363 HIP12	Combination		-123,356	-48,505	0	0	0	-42,5976
22	0 HIP13	Combination		-127,44	-71,006	0	0	0	-64,7379
22	0,1815 HIP13	Combination		-125,398	-61,079	0	0	0	-52,7608
22	0,363 HIP13	Combination		-123,356	-51,788	0	0	0	-42,5278
22	0 HIP14	Combination		-127,44	-63,813	0	0	0	-62,2594
22	0,1815 HIP14	Combination		-125,398	-55,88	0	0	0	-51,4022
22	0,363 HIP14	Combination		-123,356	-48,271	0	0	0	-41,9553
22	0 HIP15	Combination	Max	-127,44	-63,529	0	0	0	-64,9456
22	0,1815 HIP15	Combination	Max	-125,398	-53,602	0	0	0	-52,9565
22	0,363 HIP15	Combination	Max	-123,356	-44,311	0	0	0	-42,7113
22	0 HIP15	Combination	Min	-479,002	-73,288	0	0	0	-194,0139
22	0,1815 HIP15	Combination	Min	-476,961	-63,362	0	0	0	-183,0105
22	0,363 HIP15	Combination	Min	-474,919	-54,071	0	0	0	-173,7512

22	0 HIP16	Combination	Max	-127,44	-63,462	0	0	0	-64,7379
22	0,1815 HIP16	Combination	Max	-125,398	-53,535	0	0	0	-52,7608
22	0,363 HIP16	Combination	Max	-123,356	-44,245	0	0	0	-42,5278
22	0 HIP16	Combination	Min	-479,002	-73,221	0	0	0	-193,8061
22	0,1815 HIP16	Combination	Min	-476,961	-63,295	0	0	0	-182,8149
22	0,363 HIP16	Combination	Min	-474,919	-54,004	0	0	0	-173,5677
22	0 HIP17	Combination	Max	-127,44	-56,269	0	0	0	-62,2594
22	0,1815 HIP17	Combination	Max	-125,398	-48,337	0	0	0	-51,4022
22	0,363 HIP17	Combination	Max	-123,356	-40,727	0	0	0	-41,9553
22	0 HIP17	Combination	Min	-479,002	-66,029	0	0	0	-191,3276
22	0,1815 HIP17	Combination	Min	-476,961	-58,096	0	0	0	-181,4562
22	0,363 HIP17	Combination	Min	-474,919	-50,487	0	0	0	-172,9953
22	0 HIP18	Combination	Max	-127,44	-63,462	0	0	0	-64,7379
22	0,1815 HIP18	Combination	Max	-125,398	-53,535	0	0	0	-52,7608
22	0,363 HIP18	Combination	Max	-123,356	-44,245	0	0	0	-42,5278
22	0 HIP18	Combination	Min	-479,002	-73,221	0	0	0	-193,8061
22	0,1815 HIP18	Combination	Min	-476,961	-63,295	0	0	0	-182,8149
22	0,363 HIP18	Combination	Min	-474,919	-54,004	0	0	0	-173,5677
22	0 HIP19	Combination		-127,44	-71,072	0	0	0	-64,9456
22	0,1815 HIP19	Combination		-125,398	-61,146	0	0	0	-52,9565
22	0,363 HIP19	Combination		-123,356	-51,855	0	0	0	-42,7113
22	0 ELU	Combination	Max	-89,302	-6,975	0	0	0	-35,8573
22	0,1815 ELU	Combination	Max	-86,546	-6,975	0	0	0	-34,5912
22	0,363 ELU	Combination	Max	-83,789	-6,975	0	0	0	-33,3252
22	0 ELU	Combination	Min	-699,388	-109,209	0	0	0	-283,381
22	0,1815 ELU	Combination	Min	-696,631	-94,319	0	0	0	-267,0073
22	0,363 ELU	Combination	Min	-693,875	-80,383	0	0	0	-255,9636
22	0 ELS-DEF	Combination	Max	-127,44	-56,269	0	0	0	-62,2594
22	0,1815 ELS-DEF	Combination	Max	-125,398	-48,337	0	0	0	-51,4022
22	0,363 ELS-DEF	Combination	Max	-123,356	-40,727	0	0	0	-41,9553
22	0 ELS-DEF	Combination	Min	-479,002	-73,288	0	0	0	-194,0139
22	0,1815 ELS-DEF	Combination	Min	-476,961	-63,362	0	0	0	-183,0105
22	0,363 ELS-DEF	Combination	Min	-474,919	-54,071	0	0	0	-173,7512
22	0 HIP20	Combination		-127,44	-76,69	0	0	0	-67,0753
22	0,1815 HIP20	Combination		-125,398	-66,72	0	0	0	-54,0692
22	0,363 HIP20	Combination		-123,356	-57,301	0	0	0	-42,8226
22	0 HIP21	Combination		-127,44	-76,656	0	0	0	-66,9714
22	0,1815 HIP21	Combination		-125,398	-66,687	0	0	0	-53,9714
22	0,363 HIP21	Combination		-123,356	-57,267	0	0	0	-42,7309
22	0 ENV-SISMO	Combination	Max	-127,44	-76,656	0	0	0	-66,9714
22	0,1815 ENV-SISMO	Combination	Max	-125,398	-66,687	0	0	0	-53,9714
22	0,363 ENV-SISMO	Combination	Max	-123,356	-57,267	0	0	0	-42,7309
22	0 ENV-SISMO	Combination	Min	-127,44	-76,69	0	0	0	-67,0753
22	0,1815 ENV-SISMO	Combination	Min	-125,398	-66,72	0	0	0	-54,0692
22	0,363 ENV-SISMO	Combination	Min	-123,356	-57,301	0	0	0	-42,8226
22	0 HIP22	Combination		-127,44	-70,972	0	0	0	-64,634
22	0,1815 HIP22	Combination		-125,398	-61,045	0	0	0	-52,663
22	0,363 HIP22	Combination		-123,356	-51,755	0	0	0	-42,436
22	0 HIP23	Combination		-127,44	-63,946	0	0	0	-62,675
22	0,1815 HIP23	Combination		-125,398	-56,014	0	0	0	-51,7934
22	0,363 HIP23	Combination		-123,356	-48,405	0	0	0	-42,3223
22	0 ELS-FIS	Combination	Max	-127,44	-63,946	0	0	0	-62,675
22	0,1815 ELS-FIS	Combination	Max	-125,398	-56,014	0	0	0	-51,7934
22	0,363 ELS-FIS	Combination	Max	-123,356	-48,405	0	0	0	-42,3223
22	0 ELS-FIS	Combination	Min	-127,44	-70,972	0	0	0	-64,634
22	0,1815 ELS-FIS	Combination	Min	-125,398	-61,045	0	0	0	-52,663
22	0,363 ELS-FIS	Combination	Min	-123,356	-51,755	0	0	0	-42,436
22	0 ENV-TREN	Combination	Max	0	7,544	0	0	0	0
22	0,1815 ENV-TREN	Combination	Max	0	7,544	0	0	0	0
22	0,363 ENV-TREN	Combination	Max	0	7,544	0	0	0	0
22	0 ENV-TREN	Combination	Min	-351,562	-2,216	0	0	0	-129,0682
22	0,1815 ENV-TREN	Combination	Min	-351,562	-2,216	0	0	0	-130,0541
22	0,363 ENV-TREN	Combination	Min	-351,562	-2,216	0	0	0	-131,0399
23	0 PP	NonStatic	Max	-62,066	-5,167	0	0	0	-24,6853
23	0,1815 PP	NonStatic	Max	-60,024	-5,167	0	0	0	-23,7475
23	0,363 PP	NonStatic	Max	-57,982	-5,167	0	0	0	-22,8097
23	0 PP	NonStatic	Min	-62,066	-5,167	0	0	0	-24,6853
23	0,1815 PP	NonStatic	Min	-60,024	-5,167	0	0	0	-23,7475
23	0,363 PP	NonStatic	Min	-57,982	-5,167	0	0	0	-22,8097
23	0 CM CARRIL UIC-54	NonStatic	Max	-0,9	0,014	0	0	0	-0,3355
23	0,1815 CM CARRIL UIC-54	NonStatic	Max	-0,9	0,014	0	0	0	-0,338
23	0,363 CM CARRIL UIC-54	NonStatic	Max	-0,9	0,014	0	0	0	-0,3405
23	0 CM CARRIL UIC-54	NonStatic	Min	-0,9	0,014	0	0	0	-0,3355



“Proyecto de las estructuras para la conexión peatonal de los andenes  
de la estación de Font de Sant Lluís en Valencia”.

23	0,1815	CM CARRIL UIC-54	NonStatic	Min	-0,9	0,014	0	0	0	-0,338
23	0,363	CM CARRIL UIC-54	NonStatic	Min	-0,9	0,014	0	0	0	-0,3405
23	0	CM TRAVIESAS	NonStatic	Max	-4,095	0,063	0	0	0	-1,5264
23	0,1815	CM TRAVIESAS	NonStatic	Max	-4,095	0,063	0	0	0	-1,5378
23	0,363	CM TRAVIESAS	NonStatic	Max	-4,095	0,063	0	0	0	-1,5493
23	0	CM TRAVIESAS	NonStatic	Min	-4,095	0,063	0	0	0	-1,5264
23	0,1815	CM TRAVIESAS	NonStatic	Min	-4,095	0,063	0	0	0	-1,5378
23	0,363	CM TRAVIESAS	NonStatic	Min	-4,095	0,063	0	0	0	-1,5493
23	0	CM TIERRAS + BALASTO	NonStatic	Max	-56,295	0,87	0	0	0	-20,9832
23	0,1815	CM TIERRAS + BALASTO	NonStatic	Max	-56,295	0,87	0	0	0	-21,141
23	0,363	CM TIERRAS + BALASTO	NonStatic	Max	-56,295	0,87	0	0	0	-21,2989
23	0	CM TIERRAS + BALASTO	NonStatic	Min	-56,295	0,87	0	0	0	-20,9832
23	0,1815	CM TIERRAS + BALASTO	NonStatic	Min	-56,295	0,87	0	0	0	-21,141
23	0,363	CM TIERRAS + BALASTO	NonStatic	Min	-56,295	0,87	0	0	0	-21,2989
23	0	CM SUELO SOLERA	NonStatic	Max	5,093E-11	0,067	0	0	0	0,1835
23	0,1815	CM SUELO SOLERA	NonStatic	Max	5,093E-11	0,067	0	0	0	0,1714
23	0,363	CM SUELO SOLERA	NonStatic	Max	5,093E-11	0,067	0	0	0	0,1592
23	0	CM SUELO SOLERA	NonStatic	Min	5,093E-11	0,067	0	0	0	0,1835
23	0,1815	CM SUELO SOLERA	NonStatic	Min	5,093E-11	0,067	0	0	0	0,1714
23	0,363	CM SUELO SOLERA	NonStatic	Min	5,093E-11	0,067	0	0	0	0,1592
23	0	SBC SUELO SOLERA	NonStatic	Max	1,31E-10	0,167	0	0	0	0,4588
23	0,1815	SBC SUELO SOLERA	NonStatic	Max	1,31E-10	0,167	0	0	0	0,4284
23	0,363	SBC SUELO SOLERA	NonStatic	Max	1,31E-10	0,167	0	0	0	0,3981
23	0	SBC SUELO SOLERA	NonStatic	Min	1,31E-10	0,167	0	0	0	0,4588
23	0,1815	SBC SUELO SOLERA	NonStatic	Min	1,31E-10	0,167	0	0	0	0,4284
23	0,363	SBC SUELO SOLERA	NonStatic	Min	1,31E-10	0,167	0	0	0	0,3981
23	0	EMPUJE TIERRAS	NonStatic	Max	-2,728E-12	-44,285	0	0	0	4,9327
23	0,1815	EMPUJE TIERRAS	NonStatic	Max	-2,728E-12	-36,999	0	0	0	12,3043
23	0,363	EMPUJE TIERRAS	NonStatic	Max	-2,728E-12	-30,035	0	0	0	18,3828
23	0	EMPUJE TIERRAS	NonStatic	Min	-2,728E-12	-44,285	0	0	0	4,9327
23	0,1815	EMPUJE TIERRAS	NonStatic	Min	-2,728E-12	-36,999	0	0	0	12,3043
23	0,363	EMPUJE TIERRAS	NonStatic	Min	-2,728E-12	-30,035	0	0	0	18,3828
23	0	EMPUJE AGUA	LinStatic		-2,328E-10	-3,35	0	0	0	-0,1137
23	0,1815	EMPUJE AGUA	LinStatic		-2,328E-10	-1,982	0	0	0	0,3655
23	0,363	EMPUJE AGUA	LinStatic		-2,328E-10	-0,927	0	0	0	0,6248
23	0	SISMO	NonStatic	Max	-4,547E-13	-5,446	0	0	0	-0,1114
23	0,1815	SISMO	NonStatic	Max	-4,547E-13	-5,231	0	0	0	0,8589
23	0,363	SISMO	NonStatic	Max	-4,547E-13	-4,931	0	0	0	1,7823
23	0	SISMO	NonStatic	Min	-4,547E-13	-5,446	0	0	0	-0,1114
23	0,1815	SISMO	NonStatic	Min	-4,547E-13	-5,231	0	0	0	0,8589
23	0,363	SISMO	NonStatic	Min	-4,547E-13	-4,931	0	0	0	1,7823
23	0	MODAL	LinModal	Mode	-119,935	93,794	0	0	0	111,8868
23	0,1815	MODAL	LinModal	Mode	-119,935	93,794	0	0	0	94,8632
23	0,363	MODAL	LinModal	Mode	-119,935	93,794	0	0	0	77,8396
23	0	MODAL	LinModal	Mode	-449,846	-38,884	0	0	0	-186,0587
23	0,1815	MODAL	LinModal	Mode	-449,846	-38,884	0	0	0	-179,0013
23	0,363	MODAL	LinModal	Mode	-449,846	-38,884	0	0	0	-171,9439
23	0	MODAL	LinModal	Mode	5339,462	13886,291	0	0	0	18022,9456
23	0,1815	MODAL	LinModal	Mode	5339,462	13886,291	0	0	0	15502,5838
23	0,363	MODAL	LinModal	Mode	5339,462	13886,291	0	0	0	12982,2219
23	0	MODAL	LinModal	Mode	-35497,766	17247,831	0	0	0	-18570,9878
23	0,1815	MODAL	LinModal	Mode	-35497,766	17247,831	0	0	0	-21701,4692
23	0,363	MODAL	LinModal	Mode	-35497,766	17247,831	0	0	0	-24831,9505
23	0	MODAL	LinModal	Mode	-52007,07	-31259,438	0	0	0	-56647,8947
23	0,1815	MODAL	LinModal	Mode	-52007,07	-31259,438	0	0	0	-50974,3067
23	0,363	MODAL	LinModal	Mode	-52007,07	-31259,438	0	0	0	-45300,7188
23	0	MODAL	LinModal	Mode	-2696,785	116936,655	0	0	0	7663,6422
23	0,1815	MODAL	LinModal	Mode	-2696,785	116936,655	0	0	0	-13560,3606
23	0,363	MODAL	LinModal	Mode	-2696,785	116936,655	0	0	0	-34784,3635
23	0	MODAL	LinModal	Mode	101124,079	144474,215	0	0	0	48922,2832
23	0,1815	MODAL	LinModal	Mode	101124,079	144474,215	0	0	0	22700,2132
23	0,363	MODAL	LinModal	Mode	101124,079	144474,215	0	0	0	-3521,8568
23	0	MODAL	LinModal	Mode	287604,189	167249,55	0	0	0	29402,4083
23	0,1815	MODAL	LinModal	Mode	287604,189	167249,55	0	0	0	-953,385
23	0,363	MODAL	LinModal	Mode	287604,189	167249,55	0	0	0	-31309,1783
23	0	MODAL	LinModal	Mode	354769,99	53408,548	0	0	0	140137,1327
23	0,1815	MODAL	LinModal	Mode	354769,99	53408,548	0	0	0	130443,4813
23	0,363	MODAL	LinModal	Mode	354769,99	53408,548	0	0	0	120749,8299
23	0	MODAL	LinModal	Mode	-5755,148	-314013,245	0	0	0	75143,3791
23	0,1815	MODAL	LinModal	Mode	-5755,148	-314013,245	0	0	0	132136,7831
23	0,363	MODAL	LinModal	Mode	-5755,148	-314013,245	0	0	0	189130,1871
23	0	MODAL	LinModal	Mode	143314,183	364518,829	0	0	0	-54586,553
23	0,1815	MODAL	LinModal	Mode	143314,183	364518,829	0	0	0	-120746,721



23	0,363 MODAL	LinModal	Mode	143314,183	364518,829	0	0	0	-186906,888
23	0 MODAL	LinModal	Mode	1057846,353	104905,566	0	0	0	91876,5741
23	0,1815 MODAL	LinModal	Mode	1057846,353	104905,566	0	0	0	72836,2139
23	0,363 MODAL	LinModal	Mode	1057846,353	104905,566	0	0	0	53795,8538
23	0 HIP1	Combination		-83,789	-6,975	0	0	0	-33,3252
23	0,1815 HIP1	Combination		-81,033	-6,975	0	0	0	-32,0592
23	0,363 HIP1	Combination		-78,276	-6,975	0	0	0	-30,7931
23	0 HIP2	Combination		-166,531	-72,124	0	0	0	-56,7668
23	0,1815 HIP2	Combination		-163,774	-61,195	0	0	0	-44,6754
23	0,363 HIP2	Combination		-161,018	-50,75	0	0	0	-34,5237
23	0 HIP3	Combination		-166,531	-77,15	0	0	0	-56,9373
23	0,1815 HIP3	Combination		-163,774	-64,168	0	0	0	-44,1272
23	0,363 HIP3	Combination		-161,018	-52,141	0	0	0	-33,5866
23	0 HIP4	Combination		-166,531	-72,034	0	0	0	-56,5191
23	0,1815 HIP4	Combination		-163,774	-61,105	0	0	0	-44,4441
23	0,363 HIP4	Combination		-161,018	-50,66	0	0	0	-34,3088
23	0 HIP5	Combination		-166,531	-76,809	0	0	0	-56,0015
23	0,1815 HIP5	Combination		-163,774	-63,827	0	0	0	-43,2532
23	0,363 HIP5	Combination		-161,018	-51,8	0	0	0	-32,7745
23	0 HIP6	Combination	Max	-166,531	-43,692	0	0	0	-59,4037
23	0,1815 HIP6	Combination	Max	-163,774	-34,353	0	0	0	-50,2793
23	0,363 HIP6	Combination	Max	-161,018	-25,808	0	0	0	-42,7779
23	0 HIP6	Combination	Min	-693,875	-58,331	0	0	0	-255,9636
23	0,1815 HIP6	Combination	Min	-691,118	-48,993	0	0	0	-248,318
23	0,363 HIP6	Combination	Min	-688,362	-40,447	0	0	0	-242,2954
23	0 HIP7	Combination	Max	-166,531	-65,744	0	0	0	-56,6896
23	0,1815 HIP7	Combination	Max	-163,774	-52,762	0	0	0	-43,8958
23	0,363 HIP7	Combination	Max	-161,018	-40,735	0	0	0	-33,3716
23	0 HIP7	Combination	Min	-693,875	-80,383	0	0	0	-253,2495
23	0,1815 HIP7	Combination	Min	-691,118	-67,402	0	0	0	-241,9345
23	0,363 HIP7	Combination	Min	-688,362	-55,374	0	0	0	-232,8891
23	0 HIP8	Combination	Max	-166,531	-60,468	0	0	0	-55,831
23	0,1815 HIP8	Combination	Max	-163,774	-49,538	0	0	0	-43,8015
23	0,363 HIP8	Combination	Max	-161,018	-39,093	0	0	0	-33,7117
23	0 HIP8	Combination	Min	-693,875	-75,107	0	0	0	-252,3909
23	0,1815 HIP8	Combination	Min	-691,118	-64,178	0	0	0	-241,8402
23	0,363 HIP8	Combination	Min	-688,362	-53,733	0	0	0	-233,2292
23	0 HIP9	Combination	Max	-166,531	-65,744	0	0	0	-56,6896
23	0,1815 HIP9	Combination	Max	-163,774	-52,762	0	0	0	-43,8958
23	0,363 HIP9	Combination	Max	-161,018	-40,735	0	0	0	-33,3716
23	0 HIP9	Combination	Min	-693,875	-80,383	0	0	0	-253,2495
23	0,1815 HIP9	Combination	Min	-691,118	-67,402	0	0	0	-241,9345
23	0,363 HIP9	Combination	Min	-688,362	-55,374	0	0	0	-232,8891
23	0 HIP10	Combination		-123,356	-70,647	0	0	0	-40,1312
23	0,1815 HIP10	Combination		-121,314	-59,718	0	0	0	-28,3079
23	0,363 HIP10	Combination		-119,272	-49,273	0	0	0	-18,4243
23	0 HIP11	Combination		-123,356	-51,855	0	0	0	-42,7113
23	0,1815 HIP11	Combination		-121,314	-43,201	0	0	0	-34,0946
23	0,363 HIP11	Combination		-119,272	-35,183	0	0	0	-26,9909
23	0 HIP12	Combination		-123,356	-48,505	0	0	0	-42,5976
23	0,1815 HIP12	Combination		-121,314	-41,219	0	0	0	-34,4601
23	0,363 HIP12	Combination		-119,272	-34,255	0	0	0	-27,6157
23	0 HIP13	Combination		-123,356	-51,788	0	0	0	-42,5278
23	0,1815 HIP13	Combination		-121,314	-43,134	0	0	0	-33,9232
23	0,363 HIP13	Combination		-119,272	-35,116	0	0	0	-26,8317
23	0 HIP14	Combination		-123,356	-48,271	0	0	0	-41,9553
23	0,1815 HIP14	Combination		-121,314	-40,985	0	0	0	-33,8603
23	0,363 HIP14	Combination		-119,272	-34,021	0	0	0	-27,0584
23	0 HIP15	Combination	Max	-123,356	-44,311	0	0	0	-42,7113
23	0,1815 HIP15	Combination	Max	-121,314	-35,657	0	0	0	-34,0946
23	0,363 HIP15	Combination	Max	-119,272	-27,639	0	0	0	-26,9909
23	0 HIP15	Combination	Min	-474,919	-54,071	0	0	0	-173,7512
23	0,1815 HIP15	Combination	Min	-472,877	-45,417	0	0	0	-166,1204
23	0,363 HIP15	Combination	Min	-470,835	-37,398	0	0	0	-160,0026
23	0 HIP16	Combination	Max	-123,356	-44,245	0	0	0	-42,5278
23	0,1815 HIP16	Combination	Max	-121,314	-35,59	0	0	0	-33,9232
23	0,363 HIP16	Combination	Max	-119,272	-27,572	0	0	0	-26,8317
23	0 HIP16	Combination	Min	-474,919	-54,004	0	0	0	-173,5677
23	0,1815 HIP16	Combination	Min	-472,877	-45,35	0	0	0	-165,949
23	0,363 HIP16	Combination	Min	-470,835	-37,332	0	0	0	-159,8433
23	0 HIP17	Combination	Max	-123,356	-40,727	0	0	0	-41,9553
23	0,1815 HIP17	Combination	Max	-121,314	-33,441	0	0	0	-33,8603
23	0,363 HIP17	Combination	Max	-119,272	-26,478	0	0	0	-27,0584



## “Proyecto de las estructuras para la conexión peatonal de los andenes de la estación de Font de Sant Lluís en Valencia”.

23	0	HIP17	Combination	Min	-474,919	-50,487	0	0	0	-172,9953
23	0,1815	HIP17	Combination	Min	-472,877	-43,2	0	0	0	-165,8861
23	0,363	HIP17	Combination	Min	-470,835	-36,237	0	0	0	-160,0701
23	0	HIP18	Combination	Max	-123,356	-44,245	0	0	0	-42,5278
23	0,1815	HIP18	Combination	Max	-121,314	-35,59	0	0	0	-33,9232
23	0,363	HIP18	Combination	Max	-119,272	-27,572	0	0	0	-26,8317
23	0	HIP18	Combination	Min	-474,919	-54,004	0	0	0	-173,5677
23	0,1815	HIP18	Combination	Min	-472,877	-45,35	0	0	0	-165,949
23	0,363	HIP18	Combination	Min	-470,835	-37,332	0	0	0	-159,8433
23	0	HIP19	Combination		-123,356	-51,855	0	0	0	-42,7113
23	0,1815	HIP19	Combination		-121,314	-43,201	0	0	0	-34,0946
23	0,363	HIP19	Combination		-119,272	-35,183	0	0	0	-26,9909
23	0	ELU	Combination	Max	-83,789	-6,975	0	0	0	-33,3252
23	0,1815	ELU	Combination	Max	-81,033	-6,975	0	0	0	-28,3079
23	0,363	ELU	Combination	Max	-78,276	-6,975	0	0	0	-18,4243
23	0	ELU	Combination	Min	-693,875	-80,383	0	0	0	-255,9636
23	0,1815	ELU	Combination	Min	-691,118	-67,402	0	0	0	-248,318
23	0,363	ELU	Combination	Min	-688,362	-55,374	0	0	0	-242,2954
23	0	ELS-DEF	Combination	Max	-123,356	-40,727	0	0	0	-41,9553
23	0,1815	ELS-DEF	Combination	Max	-121,314	-33,441	0	0	0	-33,8603
23	0,363	ELS-DEF	Combination	Max	-119,272	-26,478	0	0	0	-26,8317
23	0	ELS-DEF	Combination	Min	-474,919	-54,071	0	0	0	-173,7512
23	0,1815	ELS-DEF	Combination	Min	-472,877	-45,417	0	0	0	-166,1204
23	0,363	ELS-DEF	Combination	Min	-470,835	-37,398	0	0	0	-160,0701
23	0	HIP20	Combination		-123,356	-57,301	0	0	0	-42,8226
23	0,1815	HIP20	Combination		-121,314	-48,432	0	0	0	-33,2357
23	0,363	HIP20	Combination		-119,272	-40,113	0	0	0	-25,2086
23	0	HIP21	Combination		-123,356	-57,267	0	0	0	-42,7309
23	0,1815	HIP21	Combination		-121,314	-48,398	0	0	0	-33,15
23	0,363	HIP21	Combination		-119,272	-40,08	0	0	0	-25,129
23	0	ENV-SISMO	Combination	Max	-123,356	-57,267	0	0	0	-42,7309
23	0,1815	ENV-SISMO	Combination	Max	-121,314	-48,398	0	0	0	-33,15
23	0,363	ENV-SISMO	Combination	Max	-119,272	-40,08	0	0	0	-25,129
23	0	ENV-SISMO	Combination	Min	-123,356	-57,301	0	0	0	-42,8226
23	0,1815	ENV-SISMO	Combination	Min	-121,314	-48,432	0	0	0	-33,2357
23	0,363	ENV-SISMO	Combination	Min	-119,272	-40,113	0	0	0	-25,2086
23	0	HIP22	Combination		-123,356	-51,755	0	0	0	-42,436
23	0,1815	HIP22	Combination		-121,314	-43,1	0	0	0	-33,8375
23	0,363	HIP22	Combination		-119,272	-35,082	0	0	0	-26,752
23	0	HIP23	Combination		-123,356	-48,405	0	0	0	-42,3223
23	0,1815	HIP23	Combination		-121,314	-41,118	0	0	0	-34,203
23	0,363	HIP23	Combination		-119,272	-34,155	0	0	0	-27,3768
23	0	ELS-FIS	Combination	Max	-123,356	-48,405	0	0	0	-42,3223
23	0,1815	ELS-FIS	Combination	Max	-121,314	-41,118	0	0	0	-33,8375
23	0,363	ELS-FIS	Combination	Max	-119,272	-34,155	0	0	0	-26,752
23	0	ELS-FIS	Combination	Min	-123,356	-51,755	0	0	0	-42,436
23	0,1815	ELS-FIS	Combination	Min	-121,314	-43,1	0	0	0	-34,203
23	0,363	ELS-FIS	Combination	Min	-119,272	-35,082	0	0	0	-27,3768
23	0	ENV-TREN	Combination	Max	0	7,544	0	0	0	0
23	0,1815	ENV-TREN	Combination	Max	0	7,544	0	0	0	0
23	0,363	ENV-TREN	Combination	Max	0	7,544	0	0	0	0
23	0	ENV-TREN	Combination	Min	-351,562	-2,216	0	0	0	-131,0399
23	0,1815	ENV-TREN	Combination	Min	-351,562	-2,216	0	0	0	-132,0258
23	0,363	ENV-TREN	Combination	Min	-351,562	-2,216	0	0	0	-133,0117
24	0	PP	NonStatic	Max	-57,982	-5,167	0	0	0	-22,8097
24	0,1815	PP	NonStatic	Max	-55,941	-5,167	0	0	0	-21,8719
24	0,363	PP	NonStatic	Max	-53,899	-5,167	0	0	0	-20,9341
24	0	PP	NonStatic	Min	-57,982	-5,167	0	0	0	-22,8097
24	0,1815	PP	NonStatic	Min	-55,941	-5,167	0	0	0	-21,8719
24	0,363	PP	NonStatic	Min	-53,899	-5,167	0	0	0	-20,9341
24	0	CM CARRIL UIC-54	NonStatic	Max	-0,9	0,014	0	0	0	-0,3405
24	0,1815	CM CARRIL UIC-54	NonStatic	Max	-0,9	0,014	0	0	0	-0,343
24	0,363	CM CARRIL UIC-54	NonStatic	Max	-0,9	0,014	0	0	0	-0,3456
24	0	CM CARRIL UIC-54	NonStatic	Min	-0,9	0,014	0	0	0	-0,3405
24	0,1815	CM CARRIL UIC-54	NonStatic	Min	-0,9	0,014	0	0	0	-0,343
24	0,363	CM CARRIL UIC-54	NonStatic	Min	-0,9	0,014	0	0	0	-0,3456
24	0	CM TRAVIESAS	NonStatic	Max	-4,095	0,063	0	0	0	-1,5493
24	0,1815	CM TRAVIESAS	NonStatic	Max	-4,095	0,063	0	0	0	-1,5608
24	0,363	CM TRAVIESAS	NonStatic	Max	-4,095	0,063	0	0	0	-1,5723
24	0	CM TRAVIESAS	NonStatic	Min	-4,095	0,063	0	0	0	-1,5493
24	0,1815	CM TRAVIESAS	NonStatic	Min	-4,095	0,063	0	0	0	-1,5608
24	0,363	CM TRAVIESAS	NonStatic	Min	-4,095	0,063	0	0	0	-1,5723
24	0	CM TIERRAS + BALASTO	NonStatic	Max	-56,295	0,87	0	0	0	-21,2989



24	0,1815	CM TIERRAS + BALASTO	NonStatic	Max	-56,295	0,87	0	0	0	-21,4568
24	0,363	CM TIERRAS + BALASTO	NonStatic	Max	-56,295	0,87	0	0	0	-21,6146
24	0	CM TIERRAS + BALASTO	NonStatic	Min	-56,295	0,87	0	0	0	-21,2989
24	0,1815	CM TIERRAS + BALASTO	NonStatic	Min	-56,295	0,87	0	0	0	-21,4568
24	0,363	CM TIERRAS + BALASTO	NonStatic	Min	-56,295	0,87	0	0	0	-21,6146
24	0	CM SUELO SOLERA	NonStatic	Max	3,638E-11	0,067	0	0	0	0,1592
24	0,1815	CM SUELO SOLERA	NonStatic	Max	3,638E-11	0,067	0	0	0	0,1471
24	0,363	CM SUELO SOLERA	NonStatic	Max	3,638E-11	0,067	0	0	0	0,1349
24	0	CM SUELO SOLERA	NonStatic	Min	3,638E-11	0,067	0	0	0	0,1592
24	0,1815	CM SUELO SOLERA	NonStatic	Min	3,638E-11	0,067	0	0	0	0,1471
24	0,363	CM SUELO SOLERA	NonStatic	Min	3,638E-11	0,067	0	0	0	0,1349
24	0	SBC SUELO SOLERA	NonStatic	Max	8,731E-11	0,167	0	0	0	0,3981
24	0,1815	SBC SUELO SOLERA	NonStatic	Max	8,731E-11	0,167	0	0	0	0,3677
24	0,363	SBC SUELO SOLERA	NonStatic	Max	8,731E-11	0,167	0	0	0	0,3374
24	0	SBC SUELO SOLERA	NonStatic	Min	8,731E-11	0,167	0	0	0	0,3981
24	0,1815	SBC SUELO SOLERA	NonStatic	Min	8,731E-11	0,167	0	0	0	0,3677
24	0,363	SBC SUELO SOLERA	NonStatic	Min	8,731E-11	0,167	0	0	0	0,3374
24	0	EMPUJE TIERRAS	NonStatic	Max	-2,728E-12	-30,035	0	0	0	18,3828
24	0,1815	EMPUJE TIERRAS	NonStatic	Max	-2,728E-12	-23,395	0	0	0	23,2267
24	0,363	EMPUJE TIERRAS	NonStatic	Max	-2,728E-12	-17,078	0	0	0	26,8948
24	0	EMPUJE TIERRAS	NonStatic	Min	-2,728E-12	-30,035	0	0	0	18,3828
24	0,1815	EMPUJE TIERRAS	NonStatic	Min	-2,728E-12	-23,395	0	0	0	23,2267
24	0,363	EMPUJE TIERRAS	NonStatic	Min	-2,728E-12	-17,078	0	0	0	26,8948
24	0	EMPUJE AGUA	LinStatic		-2,328E-10	-0,927	0	0	0	0,6248
24	0,1815	EMPUJE AGUA	LinStatic		-2,328E-10	-0,185	0	0	0	0,721
24	0,363	EMPUJE AGUA	LinStatic		-2,328E-10	0,243	0	0	0	0,711
24	0	SISMO	NonStatic	Max	-3,411E-13	-4,931	0	0	0	1,7823
24	0,1815	SISMO	NonStatic	Max	-3,411E-13	-4,544	0	0	0	2,6434
24	0,363	SISMO	NonStatic	Max	-3,411E-13	-4,072	0	0	0	3,4267
24	0	SISMO	NonStatic	Min	-3,411E-13	-4,931	0	0	0	1,7823
24	0,1815	SISMO	NonStatic	Min	-3,411E-13	-4,544	0	0	0	2,6434
24	0,363	SISMO	NonStatic	Min	-3,411E-13	-4,072	0	0	0	3,4267
24	0	MODAL	LinModal	Mode	-114,773	92,106	0	0	0	77,8396
24	0,1815	MODAL	LinModal	Mode	-114,773	92,106	0	0	0	61,1224
24	0,363	MODAL	LinModal	Mode	-114,773	92,106	0	0	0	44,4052
24	0	MODAL	LinModal	Mode	-419,3	-38,98	0	0	0	-171,9439
24	0,1815	MODAL	LinModal	Mode	-419,3	-38,98	0	0	0	-164,8691
24	0,363	MODAL	LinModal	Mode	-419,3	-38,98	0	0	0	-157,7943
24	0	MODAL	LinModal	Mode	4025,53	13739,215	0	0	0	12982,2219
24	0,1815	MODAL	LinModal	Mode	4025,53	13739,215	0	0	0	10488,5544
24	0,363	MODAL	LinModal	Mode	4025,53	13739,215	0	0	0	7994,8868
24	0	MODAL	LinModal	Mode	-35616,515	13612,838	0	0	0	-24831,9505
24	0,1815	MODAL	LinModal	Mode	-35616,515	13612,838	0	0	0	-27302,6807
24	0,363	MODAL	LinModal	Mode	-35616,515	13612,838	0	0	0	-29773,4109
24	0	MODAL	LinModal	Mode	-37231,053	-36938,36	0	0	0	-45300,7188
24	0,1815	MODAL	LinModal	Mode	-37231,053	-36938,36	0	0	0	-38596,4065
24	0,363	MODAL	LinModal	Mode	-37231,053	-36938,36	0	0	0	-31892,0942
24	0	MODAL	LinModal	Mode	-2757,632	89932,117	0	0	0	-34784,3635
24	0,1815	MODAL	LinModal	Mode	-2757,632	89932,117	0	0	0	-51107,0427
24	0,363	MODAL	LinModal	Mode	-2757,632	89932,117	0	0	0	-67429,7219
24	0	MODAL	LinModal	Mode	102205,135	117172,065	0	0	0	-3521,8568
24	0,1815	MODAL	LinModal	Mode	102205,135	117172,065	0	0	0	-24788,5866
24	0,363	MODAL	LinModal	Mode	102205,135	117172,065	0	0	0	-46055,3164
24	0	MODAL	LinModal	Mode	320448,995	102899,507	0	0	0	-31309,1783
24	0,1815	MODAL	LinModal	Mode	320448,995	102899,507	0	0	0	-49985,4389
24	0,363	MODAL	LinModal	Mode	320448,995	102899,507	0	0	0	-68661,6995
24	0	MODAL	LinModal	Mode	316940,067	115761,297	0	0	0	120749,8299
24	0,1815	MODAL	LinModal	Mode	316940,067	115761,297	0	0	0	99739,1545
24	0,363	MODAL	LinModal	Mode	316940,067	115761,297	0	0	0	78728,479
24	0	MODAL	LinModal	Mode	-4219,252	-48721,688	0	0	0	189130,1871
24	0,1815	MODAL	LinModal	Mode	-4219,252	-48721,688	0	0	0	197973,1735
24	0,363	MODAL	LinModal	Mode	-4219,252	-48721,688	0	0	0	206816,1598
24	0	MODAL	LinModal	Mode	86505,682	12802,008	0	0	0	-186906,888
24	0,1815	MODAL	LinModal	Mode	86505,682	12802,008	0	0	0	-189230,452
24	0,363	MODAL	LinModal	Mode	86505,682	12802,008	0	0	0	-191554,017
24	0	MODAL	LinModal	Mode	1185657,966	128329,392	0	0	0	53795,8538
24	0,1815	MODAL	LinModal	Mode	1185657,966	128329,392	0	0	0	30504,0691
24	0,363	MODAL	LinModal	Mode	1185657,966	128329,392	0	0	0	7212,2844
24	0	HIP1	Combination		-78,276	-6,975	0	0	0	-30,7931
24	0,1815	HIP1	Combination		-75,52	-6,975	0	0	0	-29,5271
24	0,363	HIP1	Combination		-72,763	-6,975	0	0	0	-28,2611
24	0	HIP2	Combination		-161,018	-50,75	0	0	0	-34,5237
24	0,1815	HIP2	Combination		-158,261	-40,79	0	0	0	-26,2238



## “Proyecto de las estructuras para la conexión peatonal de los andenes de la estación de Font de Sant Lluís en Valencia”.

24	0,363 HIP2	Combination	-155,505	-31,314	0	0	0	-19,6877
24	0 HIP3	Combination	-161,018	-52,141	0	0	0	-33,5866
24	0,1815 HIP3	Combination	-158,261	-41,068	0	0	0	-25,1423
24	0,363 HIP3	Combination	-155,505	-30,949	0	0	0	-18,6212
24	0 HIP4	Combination	-161,018	-50,66	0	0	0	-34,3088
24	0,1815 HIP4	Combination	-158,261	-40,7	0	0	0	-26,0253
24	0,363 HIP4	Combination	-155,505	-31,224	0	0	0	-19,5055
24	0 HIP5	Combination	-161,018	-51,8	0	0	0	-32,7745
24	0,1815 HIP5	Combination	-158,261	-40,727	0	0	0	-24,3922
24	0,363 HIP5	Combination	-155,505	-30,608	0	0	0	-17,933
24	0 HIP6	Combination Max	-161,018	-25,808	0	0	0	-42,7779
24	0,1815 HIP6	Combination Max	-158,261	-18,055	0	0	0	-36,7557
24	0,363 HIP6	Combination Max	-155,505	-11,094	0	0	0	-32,0686
24	0 HIP6	Combination Min	-688,362	-40,447	0	0	0	-242,2954
24	0,1815 HIP6	Combination Min	-685,605	-32,694	0	0	0	-237,752
24	0,363 HIP6	Combination Min	-682,849	-25,734	0	0	0	-234,5437
24	0 HIP7	Combination Max	-161,018	-40,735	0	0	0	-33,3716
24	0,1815 HIP7	Combination Max	-158,261	-29,662	0	0	0	-24,9437
24	0,363 HIP7	Combination Max	-155,505	-19,543	0	0	0	-18,439
24	0 HIP7	Combination Min	-688,362	-55,374	0	0	0	-232,8891
24	0,1815 HIP7	Combination Min	-685,605	-44,301	0	0	0	-225,94
24	0,363 HIP7	Combination Min	-682,849	-34,182	0	0	0	-220,9141
24	0 HIP8	Combination Max	-161,018	-39,093	0	0	0	-33,7117
24	0,1815 HIP8	Combination Max	-158,261	-29,133	0	0	0	-25,4737
24	0,363 HIP8	Combination Max	-155,505	-19,657	0	0	0	-18,9995
24	0 HIP8	Combination Min	-688,362	-53,733	0	0	0	-233,2292
24	0,1815 HIP8	Combination Min	-685,605	-43,772	0	0	0	-226,47
24	0,363 HIP8	Combination Min	-682,849	-34,297	0	0	0	-221,4746
24	0 HIP9	Combination Max	-161,018	-40,735	0	0	0	-33,3716
24	0,1815 HIP9	Combination Max	-158,261	-29,662	0	0	0	-24,9437
24	0,363 HIP9	Combination Max	-155,505	-19,543	0	0	0	-18,439
24	0 HIP9	Combination Min	-688,362	-55,374	0	0	0	-232,8891
24	0,1815 HIP9	Combination Min	-685,605	-44,301	0	0	0	-225,94
24	0,363 HIP9	Combination Min	-682,849	-34,182	0	0	0	-220,9141
24	0 HIP10	Combination	-119,272	-49,273	0	0	0	-18,4243
24	0,1815 HIP10	Combination	-117,231	-39,313	0	0	0	-10,3924
24	0,363 HIP10	Combination	-115,189	-29,837	0	0	0	-4,1244
24	0 HIP11	Combination	-119,272	-35,183	0	0	0	-26,9909
24	0,1815 HIP11	Combination	-117,231	-27,801	0	0	0	-21,2848
24	0,363 HIP11	Combination	-115,189	-21,055	0	0	0	-16,8608
24	0 HIP12	Combination	-119,272	-34,255	0	0	0	-27,6157
24	0,1815 HIP12	Combination	-117,231	-27,615	0	0	0	-22,0058
24	0,363 HIP12	Combination	-115,189	-21,298	0	0	0	-17,5718
24	0 HIP13	Combination	-119,272	-35,116	0	0	0	-26,8317
24	0,1815 HIP13	Combination	-117,231	-27,734	0	0	0	-21,1377
24	0,363 HIP13	Combination	-115,189	-20,988	0	0	0	-16,7259
24	0 HIP14	Combination	-119,272	-34,021	0	0	0	-27,0584
24	0,1815 HIP14	Combination	-117,231	-27,381	0	0	0	-21,491
24	0,363 HIP14	Combination	-115,189	-21,064	0	0	0	-17,0995
24	0 HIP15	Combination Max	-119,272	-27,639	0	0	0	-26,9909
24	0,1815 HIP15	Combination Max	-117,231	-20,257	0	0	0	-21,2848
24	0,363 HIP15	Combination Max	-115,189	-13,511	0	0	0	-16,8608
24	0 HIP15	Combination Min	-470,835	-37,398	0	0	0	-160,0026
24	0,1815 HIP15	Combination Min	-468,793	-30,016	0	0	0	-155,2823
24	0,363 HIP15	Combination Min	-466,751	-23,27	0	0	0	-151,8442
24	0 HIP16	Combination Max	-119,272	-27,572	0	0	0	-26,8317
24	0,1815 HIP16	Combination Max	-117,231	-20,19	0	0	0	-21,1377
24	0,363 HIP16	Combination Max	-115,189	-13,444	0	0	0	-16,7259
24	0 HIP16	Combination Min	-470,835	-37,332	0	0	0	-159,8433
24	0,1815 HIP16	Combination Min	-468,793	-29,949	0	0	0	-155,1352
24	0,363 HIP16	Combination Min	-466,751	-23,204	0	0	0	-151,7093
24	0 HIP17	Combination Max	-119,272	-26,478	0	0	0	-27,0584
24	0,1815 HIP17	Combination Max	-117,231	-19,837	0	0	0	-21,491
24	0,363 HIP17	Combination Max	-115,189	-13,52	0	0	0	-17,0995
24	0 HIP17	Combination Min	-470,835	-36,237	0	0	0	-160,0701
24	0,1815 HIP17	Combination Min	-468,793	-29,597	0	0	0	-155,4885
24	0,363 HIP17	Combination Min	-466,751	-23,28	0	0	0	-152,0829
24	0 HIP18	Combination Max	-119,272	-27,572	0	0	0	-26,8317
24	0,1815 HIP18	Combination Max	-117,231	-20,19	0	0	0	-21,1377
24	0,363 HIP18	Combination Max	-115,189	-13,444	0	0	0	-16,7259
24	0 HIP18	Combination Min	-470,835	-37,332	0	0	0	-159,8433
24	0,1815 HIP18	Combination Min	-468,793	-29,949	0	0	0	-155,1352
24	0,363 HIP18	Combination Min	-466,751	-23,204	0	0	0	-151,7093

24	0 HIP19	Combination	-119,272	-35,183	0	0	0	-26,9909
24	0,1815 HIP19	Combination	-117,231	-27,801	0	0	0	-21,2848
24	0,363 HIP19	Combination	-115,189	-21,055	0	0	0	-16,8608
24	0 ELU	Combination Max	-78,276	-6,975	0	0	0	-18,4243
24	0,1815 ELU	Combination Max	-75,52	-6,975	0	0	0	-10,3924
24	0,363 ELU	Combination Max	-72,763	-6,975	0	0	0	-4,1244
24	0 ELU	Combination Min	-688,362	-55,374	0	0	0	-242,2954
24	0,1815 ELU	Combination Min	-685,605	-44,301	0	0	0	-237,752
24	0,363 ELU	Combination Min	-682,849	-34,297	0	0	0	-234,5437
24	0 ELS-DEF	Combination Max	-119,272	-26,478	0	0	0	-26,8317
24	0,1815 ELS-DEF	Combination Max	-117,231	-19,837	0	0	0	-21,1377
24	0,363 ELS-DEF	Combination Max	-115,189	-13,444	0	0	0	-16,7259
24	0 ELS-DEF	Combination Min	-470,835	-37,398	0	0	0	-160,0701
24	0,1815 ELS-DEF	Combination Min	-468,793	-30,016	0	0	0	-155,4885
24	0,363 ELS-DEF	Combination Min	-466,751	-23,28	0	0	0	-152,0829
24	0 HIP20	Combination	-119,272	-40,113	0	0	0	-25,2086
24	0,1815 HIP20	Combination	-117,231	-32,345	0	0	0	-18,6413
24	0,363 HIP20	Combination	-115,189	-25,127	0	0	0	-13,4341
24	0 HIP21	Combination	-119,272	-40,08	0	0	0	-25,129
24	0,1815 HIP21	Combination	-117,231	-32,311	0	0	0	-18,5678
24	0,363 HIP21	Combination	-115,189	-25,093	0	0	0	-13,3667
24	0 ENV-SISMO	Combination Max	-119,272	-40,08	0	0	0	-25,129
24	0,1815 ENV-SISMO	Combination Max	-117,231	-32,311	0	0	0	-18,5678
24	0,363 ENV-SISMO	Combination Max	-115,189	-25,093	0	0	0	-13,3667
24	0 ENV-SISMO	Combination Min	-119,272	-40,113	0	0	0	-25,2086
24	0,1815 ENV-SISMO	Combination Min	-117,231	-32,345	0	0	0	-18,6413
24	0,363 ENV-SISMO	Combination Min	-115,189	-25,127	0	0	0	-13,4341
24	0 HIP22	Combination	-119,272	-35,082	0	0	0	-26,752
24	0,1815 HIP22	Combination	-117,231	-27,7	0	0	0	-21,0642
24	0,363 HIP22	Combination	-115,189	-20,954	0	0	0	-16,6584
24	0 HIP23	Combination	-119,272	-34,155	0	0	0	-27,3768
24	0,1815 HIP23	Combination	-117,231	-27,515	0	0	0	-21,7852
24	0,363 HIP23	Combination	-115,189	-21,198	0	0	0	-17,3694
24	0 ELS-FIS	Combination Max	-119,272	-34,155	0	0	0	-26,752
24	0,1815 ELS-FIS	Combination Max	-117,231	-27,515	0	0	0	-21,0642
24	0,363 ELS-FIS	Combination Max	-115,189	-20,954	0	0	0	-16,6584
24	0 ELS-FIS	Combination Min	-119,272	-35,082	0	0	0	-27,3768
24	0,1815 ELS-FIS	Combination Min	-117,231	-27,7	0	0	0	-21,7852
24	0,363 ELS-FIS	Combination Min	-115,189	-21,198	0	0	0	-17,3694
24	0 ENV-TREN	Combination Max	0	7,544	0	0	0	0
24	0,1815 ENV-TREN	Combination Max	0	7,544	0	0	0	0
24	0,363 ENV-TREN	Combination Max	0	7,544	0	0	0	0
24	0 ENV-TREN	Combination Min	-351,562	-2,216	0	0	0	-133,0117
24	0,1815 ENV-TREN	Combination Min	-351,562	-2,216	0	0	0	-133,9975
24	0,363 ENV-TREN	Combination Min	-351,562	-2,216	0	0	0	-134,9834
26	0 PP	NonStatic Max	-53,899	-5,167	0	0	0	-20,9341
26	0,1815 PP	NonStatic Max	-51,857	-5,167	0	0	0	-19,9963
26	0,363 PP	NonStatic Max	-49,815	-5,167	0	0	0	-19,0585
26	0 PP	NonStatic Min	-53,899	-5,167	0	0	0	-20,9341
26	0,1815 PP	NonStatic Min	-51,857	-5,167	0	0	0	-19,9963
26	0,363 PP	NonStatic Min	-49,815	-5,167	0	0	0	-19,0585
26	0 CM CARRIL UIC-54	NonStatic Max	-0,9	0,014	0	0	0	-0,3456
26	0,1815 CM CARRIL UIC-54	NonStatic Max	-0,9	0,014	0	0	0	-0,3481
26	0,363 CM CARRIL UIC-54	NonStatic Max	-0,9	0,014	0	0	0	-0,3506
26	0 CM CARRIL UIC-54	NonStatic Min	-0,9	0,014	0	0	0	-0,3456
26	0,1815 CM CARRIL UIC-54	NonStatic Min	-0,9	0,014	0	0	0	-0,3481
26	0,363 CM CARRIL UIC-54	NonStatic Min	-0,9	0,014	0	0	0	-0,3506
26	0 CM TRAVIESAS	NonStatic Max	-4,095	0,063	0	0	0	-1,5723
26	0,1815 CM TRAVIESAS	NonStatic Max	-4,095	0,063	0	0	0	-1,5838
26	0,363 CM TRAVIESAS	NonStatic Max	-4,095	0,063	0	0	0	-1,5953
26	0 CM TRAVIESAS	NonStatic Min	-4,095	0,063	0	0	0	-1,5723
26	0,1815 CM TRAVIESAS	NonStatic Min	-4,095	0,063	0	0	0	-1,5838
26	0,363 CM TRAVIESAS	NonStatic Min	-4,095	0,063	0	0	0	-1,5953
26	0 CM TIERRAS + BALASTO	NonStatic Max	-56,295	0,87	0	0	0	-21,6146
26	0,1815 CM TIERRAS + BALASTO	NonStatic Max	-56,295	0,87	0	0	0	-21,7725
26	0,363 CM TIERRAS + BALASTO	NonStatic Max	-56,295	0,87	0	0	0	-21,9304
26	0 CM TIERRAS + BALASTO	NonStatic Min	-56,295	0,87	0	0	0	-21,6146
26	0,1815 CM TIERRAS + BALASTO	NonStatic Min	-56,295	0,87	0	0	0	-21,7725
26	0,363 CM TIERRAS + BALASTO	NonStatic Min	-56,295	0,87	0	0	0	-21,9304
26	0 CM SUELO SOLERA	NonStatic Max	3,638E-11	0,067	0	0	0	0,1349
26	0,1815 CM SUELO SOLERA	NonStatic Max	3,638E-11	0,067	0	0	0	0,1228
26	0,363 CM SUELO SOLERA	NonStatic Max	3,638E-11	0,067	0	0	0	0,1107
26	0 CM SUELO SOLERA	NonStatic Min	3,638E-11	0,067	0	0	0	0,1349





## “Proyecto de las estructuras para la conexión peatonal de los andenes de la estación de Font de Sant Lluís en Valencia”.

26	0,1815	CM SUELO SOLERA	NonStatic	Min	3,638E-11	0,067	0	0	0	0,1228
26	0,363	CM SUELO SOLERA	NonStatic	Min	3,638E-11	0,067	0	0	0	0,1107
26	0	SBC SUELO SOLERA	NonStatic	Max	8,731E-11	0,167	0	0	0	0,3374
26	0,1815	SBC SUELO SOLERA	NonStatic	Max	8,731E-11	0,167	0	0	0	0,307
26	0,363	SBC SUELO SOLERA	NonStatic	Max	8,731E-11	0,167	0	0	0	0,2767
26	0	SBC SUELO SOLERA	NonStatic	Min	8,731E-11	0,167	0	0	0	0,3374
26	0,1815	SBC SUELO SOLERA	NonStatic	Min	8,731E-11	0,167	0	0	0	0,307
26	0,363	SBC SUELO SOLERA	NonStatic	Min	8,731E-11	0,167	0	0	0	0,2767
26	0	EMPUJE TIERRAS	NonStatic	Max	-2,728E-12	-17,078	0	0	0	26,8948
26	0,1815	EMPUJE TIERRAS	NonStatic	Max	-2,728E-12	-11,084	0	0	0	29,4456
26	0,363	EMPUJE TIERRAS	NonStatic	Max	-2,728E-12	-5,413	0	0	0	30,9378
26	0	EMPUJE TIERRAS	NonStatic	Min	-2,728E-12	-17,078	0	0	0	26,8948
26	0,1815	EMPUJE TIERRAS	NonStatic	Min	-2,728E-12	-11,084	0	0	0	29,4456
26	0,363	EMPUJE TIERRAS	NonStatic	Min	-2,728E-12	-5,413	0	0	0	30,9378
26	0	EMPUJE AGUA	LinStatic		-2,91E-10	0,243	0	0	0	0,711
26	0,1815	EMPUJE AGUA	LinStatic		-2,91E-10	0,362	0	0	0	0,6516
26	0,363	EMPUJE AGUA	LinStatic		-2,91E-10	0,362	0	0	0	0,5859
26	0	SISMO	NonStatic	Max	-4,547E-13	-4,072	0	0	0	3,4267
26	0,1815	SISMO	NonStatic	Max	-4,547E-13	-3,514	0	0	0	4,1164
26	0,363	SISMO	NonStatic	Max	-4,547E-13	-2,87	0	0	0	4,6971
26	0	SISMO	NonStatic	Min	-4,547E-13	-4,072	0	0	0	3,4267
26	0,1815	SISMO	NonStatic	Min	-4,547E-13	-3,514	0	0	0	4,1164
26	0,363	SISMO	NonStatic	Min	-4,547E-13	-2,87	0	0	0	4,6971
26	0	MODAL	LinModal	Mode	-109,611	89,572	0	0	0	44,4052
26	0,1815	MODAL	LinModal	Mode	-109,611	89,572	0	0	0	28,1479
26	0,363	MODAL	LinModal	Mode	-109,611	89,572	0	0	0	11,8907
26	0	MODAL	LinModal	Mode	-388,753	-39,101	0	0	0	-157,7943
26	0,1815	MODAL	LinModal	Mode	-388,753	-39,101	0	0	0	-150,6974
26	0,363	MODAL	LinModal	Mode	-388,753	-39,101	0	0	0	-143,6005
26	0	MODAL	LinModal	Mode	2710,892	13443,16	0	0	0	7994,8868
26	0,1815	MODAL	LinModal	Mode	2710,892	13443,16	0	0	0	5554,9533
26	0,363	MODAL	LinModal	Mode	2710,892	13443,16	0	0	0	3115,0198
26	0	MODAL	LinModal	Mode	-35709,794	8733,566	0	0	0	-29773,4109
26	0,1815	MODAL	LinModal	Mode	-35709,794	8733,566	0	0	0	-31358,5532
26	0,363	MODAL	LinModal	Mode	-35709,794	8733,566	0	0	0	-32943,6955
26	0	MODAL	LinModal	Mode	-22371,487	-42071,633	0	0	0	-31892,0942
26	0,1815	MODAL	LinModal	Mode	-22371,487	-42071,633	0	0	0	-24256,0927
26	0,363	MODAL	LinModal	Mode	-22371,487	-42071,633	0	0	0	-16620,0913
26	0	MODAL	LinModal	Mode	-2810,499	52748,793	0	0	0	-67429,7219
26	0,1815	MODAL	LinModal	Mode	-2810,499	52748,793	0	0	0	-77003,6278
26	0,363	MODAL	LinModal	Mode	-2810,499	52748,793	0	0	0	-86577,5337
26	0	MODAL	LinModal	Mode	102918,169	76665,736	0	0	0	-46055,3164
26	0,1815	MODAL	LinModal	Mode	102918,169	76665,736	0	0	0	-59970,1474
26	0,363	MODAL	LinModal	Mode	102918,169	76665,736	0	0	0	-73884,9784
26	0	MODAL	LinModal	Mode	349672,87	20721,721	0	0	0	-68661,6995
26	0,1815	MODAL	LinModal	Mode	349672,87	20721,721	0	0	0	-72422,6918
26	0,363	MODAL	LinModal	Mode	349672,87	20721,721	0	0	0	-76183,6842
26	0	MODAL	LinModal	Mode	275369,494	159430,619	0	0	0	78728,479
26	0,1815	MODAL	LinModal	Mode	275369,494	159430,619	0	0	0	49791,8216
26	0,363	MODAL	LinModal	Mode	275369,494	159430,619	0	0	0	20855,1642
26	0	MODAL	LinModal	Mode	-2606,046	206775,074	0	0	0	206816,1598
26	0,1815	MODAL	LinModal	Mode	-2606,046	206775,074	0	0	0	169286,4839
26	0,363	MODAL	LinModal	Mode	-2606,046	206775,074	0	0	0	131756,8079
26	0	MODAL	LinModal	Mode	27513,36	-289546,25	0	0	0	-191554,017
26	0,1815	MODAL	LinModal	Mode	27513,36	-289546,25	0	0	0	-139001,373
26	0,363	MODAL	LinModal	Mode	27513,36	-289546,25	0	0	0	-86448,7282
26	0	MODAL	LinModal	Mode	1273378,61	109098,692	0	0	0	7212,2844
26	0,1815	MODAL	LinModal	Mode	1273378,61	109098,692	0	0	0	-12589,1281
26	0,363	MODAL	LinModal	Mode	1273378,61	109098,692	0	0	0	-32390,5407
26	0	HIP1	Combination		-72,763	-6,975	0	0	0	-28,2611
26	0,1815	HIP1	Combination		-70,007	-6,975	0	0	0	-26,995
26	0,363	HIP1	Combination		-67,25	-6,975	0	0	0	-25,729
26	0	HIP2	Combination		-155,505	-31,314	0	0	0	-19,6877
26	0,1815	HIP2	Combination		-152,748	-22,323	0	0	0	-14,8275
26	0,363	HIP2	Combination		-149,992	-13,816	0	0	0	-11,5552
26	0	HIP3	Combination		-155,505	-30,949	0	0	0	-18,6212
26	0,1815	HIP3	Combination		-152,748	-21,78	0	0	0	-13,8502
26	0,363	HIP3	Combination		-149,992	-13,273	0	0	0	-10,6764
26	0	HIP4	Combination		-155,505	-31,224	0	0	0	-19,5055
26	0,1815	HIP4	Combination		-152,748	-22,233	0	0	0	-14,6617
26	0,363	HIP4	Combination		-149,992	-13,726	0	0	0	-11,4058
26	0	HIP5	Combination		-155,505	-30,608	0	0	0	-17,933
26	0,1815	HIP5	Combination		-152,748	-21,439	0	0	0	-13,2238

26	0,363 HIP5	Combination	-149,992	-12,932	0	0	0	-10,112
26	0 HIP6	Combination Max	-155,505	-11,094	0	0	0	-32,0686
26	0,1815 HIP6	Combination Max	-152,748	-4,923	0	0	0	-28,573
26	0,363 HIP6	Combination Max	-149,992	0,749	0	0	0	-26,1453
26	0 HIP6	Combination Min	-682,849	-25,734	0	0	0	-234,5437
26	0,1815 HIP6	Combination Min	-680,092	-19,562	0	0	0	-232,5269
26	0,363 HIP6	Combination Min	-677,335	-13,891	0	0	0	-231,578
26	0 HIP7	Combination Max	-155,505	-19,543	0	0	0	-18,439
26	0,1815 HIP7	Combination Max	-152,748	-10,374	0	0	0	-13,6844
26	0,363 HIP7	Combination Max	-149,992	-1,867	0	0	0	-10,527
26	0 HIP7	Combination Min	-682,849	-34,182	0	0	0	-220,9141
26	0,1815 HIP7	Combination Min	-680,092	-25,013	0	0	0	-217,6383
26	0,363 HIP7	Combination Min	-677,335	-16,507	0	0	0	-215,9597
26	0 HIP8	Combination Max	-155,505	-19,657	0	0	0	-18,9995
26	0,1815 HIP8	Combination Max	-152,748	-10,666	0	0	0	-14,2012
26	0,363 HIP8	Combination Max	-149,992	-2,159	0	0	0	-10,9908
26	0 HIP8	Combination Min	-682,849	-34,297	0	0	0	-221,4746
26	0,1815 HIP8	Combination Min	-680,092	-25,305	0	0	0	-218,1551
26	0,363 HIP8	Combination Min	-677,335	-16,799	0	0	0	-216,4235
26	0 HIP9	Combination Max	-155,505	-19,543	0	0	0	-18,439
26	0,1815 HIP9	Combination Max	-152,748	-10,374	0	0	0	-13,6844
26	0,363 HIP9	Combination Max	-149,992	-1,867	0	0	0	-10,527
26	0 HIP9	Combination Min	-682,849	-34,182	0	0	0	-220,9141
26	0,1815 HIP9	Combination Min	-680,092	-25,013	0	0	0	-217,6383
26	0,363 HIP9	Combination Min	-677,335	-16,507	0	0	0	-215,9597
26	0 HIP10	Combination	-115,189	-29,837	0	0	0	-4,1244
26	0,1815 HIP10	Combination	-113,147	-20,846	0	0	0	0,4677
26	0,363 HIP10	Combination	-111,105	-12,339	0	0	0	3,4719
26	0 HIP11	Combination	-115,189	-21,055	0	0	0	-16,8608
26	0,1815 HIP11	Combination	-113,147	-14,942	0	0	0	-13,6035
26	0,363 HIP11	Combination	-111,105	-9,271	0	0	0	-11,4111
26	0 HIP12	Combination	-115,189	-21,298	0	0	0	-17,5718
26	0,1815 HIP12	Combination	-113,147	-15,304	0	0	0	-14,2551
26	0,363 HIP12	Combination	-111,105	-9,633	0	0	0	-11,997
26	0 HIP13	Combination	-115,189	-20,988	0	0	0	-16,7259
26	0,1815 HIP13	Combination	-113,147	-14,875	0	0	0	-13,4807
26	0,363 HIP13	Combination	-111,105	-9,204	0	0	0	-11,3004
26	0 HIP14	Combination	-115,189	-21,064	0	0	0	-17,0995
26	0,1815 HIP14	Combination	-113,147	-15,07	0	0	0	-13,8252
26	0,363 HIP14	Combination	-111,105	-9,399	0	0	0	-11,6096
26	0 HIP15	Combination Max	-115,189	-13,511	0	0	0	-16,8608
26	0,1815 HIP15	Combination Max	-113,147	-7,398	0	0	0	-13,6035
26	0,363 HIP15	Combination Max	-111,105	-1,727	0	0	0	-11,4111
26	0 HIP15	Combination Min	-466,751	-23,27	0	0	0	-151,8442
26	0,1815 HIP15	Combination Min	-464,709	-17,158	0	0	0	-149,5728
26	0,363 HIP15	Combination Min	-462,667	-11,487	0	0	0	-148,3662
26	0 HIP16	Combination Max	-115,189	-13,444	0	0	0	-16,7259
26	0,1815 HIP16	Combination Max	-113,147	-7,331	0	0	0	-13,4807
26	0,363 HIP16	Combination Max	-111,105	-1,66	0	0	0	-11,3004
26	0 HIP16	Combination Min	-466,751	-23,204	0	0	0	-151,7093
26	0,1815 HIP16	Combination Min	-464,709	-17,091	0	0	0	-149,45
26	0,363 HIP16	Combination Min	-462,667	-11,42	0	0	0	-148,2555
26	0 HIP17	Combination Max	-115,189	-13,52	0	0	0	-17,0995
26	0,1815 HIP17	Combination Max	-113,147	-7,526	0	0	0	-13,8252
26	0,363 HIP17	Combination Max	-111,105	-1,855	0	0	0	-11,6096
26	0 HIP17	Combination Min	-466,751	-23,28	0	0	0	-152,0829
26	0,1815 HIP17	Combination Min	-464,709	-17,286	0	0	0	-149,7945
26	0,363 HIP17	Combination Min	-462,667	-11,614	0	0	0	-148,5647
26	0 HIP18	Combination Max	-115,189	-13,444	0	0	0	-16,7259
26	0,1815 HIP18	Combination Max	-113,147	-7,331	0	0	0	-13,4807
26	0,363 HIP18	Combination Max	-111,105	-1,66	0	0	0	-11,3004
26	0 HIP18	Combination Min	-466,751	-23,204	0	0	0	-151,7093
26	0,1815 HIP18	Combination Min	-464,709	-17,091	0	0	0	-149,45
26	0,363 HIP18	Combination Min	-462,667	-11,42	0	0	0	-148,2555
26	0 HIP19	Combination	-115,189	-21,055	0	0	0	-16,8608
26	0,1815 HIP19	Combination	-113,147	-14,942	0	0	0	-13,6035
26	0,363 HIP19	Combination	-111,105	-9,271	0	0	0	-11,4111
26	0 ELU	Combination Max	-72,763	-6,975	0	0	0	-4,1244
26	0,1815 ELU	Combination Max	-70,007	-4,923	0	0	0	0,4677
26	0,363 ELU	Combination Max	-67,25	0,749	0	0	0	3,4719
26	0 ELU	Combination Min	-682,849	-34,297	0	0	0	-234,5437
26	0,1815 ELU	Combination Min	-680,092	-25,305	0	0	0	-232,5269
26	0,363 ELU	Combination Min	-677,335	-16,799	0	0	0	-231,578





“Proyecto de las estructuras para la conexión peatonal de los andenes  
de la estación de Font de Sant Lluís en Valencia”.

26	0 ELS-DEF	Combination	Max	-115,189	-13,444	0	0	0	-16,7259
26	0,1815 ELS-DEF	Combination	Max	-113,147	-7,331	0	0	0	-13,4807
26	0,363 ELS-DEF	Combination	Max	-111,105	-1,66	0	0	0	-11,3004
26	0 ELS-DEF	Combination	Min	-466,751	-23,28	0	0	0	-152,0829
26	0,1815 ELS-DEF	Combination	Min	-464,709	-17,286	0	0	0	-149,7945
26	0,363 ELS-DEF	Combination	Min	-462,667	-11,614	0	0	0	-148,5647
26	0 HIP20	Combination		-115,189	-25,127	0	0	0	-13,4341
26	0,1815 HIP20	Combination		-113,147	-18,456	0	0	0	-9,4871
26	0,363 HIP20	Combination		-111,105	-12,141	0	0	0	-6,714
26	0 HIP21	Combination		-115,189	-25,093	0	0	0	-13,3667
26	0,1815 HIP21	Combination		-113,147	-18,423	0	0	0	-9,4257
26	0,363 HIP21	Combination		-111,105	-12,108	0	0	0	-6,6587
26	0 ENV-SISMO	Combination	Max	-115,189	-25,093	0	0	0	-13,3667
26	0,1815 ENV-SISMO	Combination	Max	-113,147	-18,423	0	0	0	-9,4257
26	0,363 ENV-SISMO	Combination	Max	-111,105	-12,108	0	0	0	-6,6587
26	0 ENV-SISMO	Combination	Min	-115,189	-25,127	0	0	0	-13,4341
26	0,1815 ENV-SISMO	Combination	Min	-113,147	-18,456	0	0	0	-9,4871
26	0,363 ENV-SISMO	Combination	Min	-111,105	-12,141	0	0	0	-6,714
26	0 HIP22	Combination		-115,189	-20,954	0	0	0	-16,6584
26	0,1815 HIP22	Combination		-113,147	-14,842	0	0	0	-13,4193
26	0,363 HIP22	Combination		-111,105	-9,171	0	0	0	-11,2451
26	0 HIP23	Combination		-115,189	-21,198	0	0	0	-17,3694
26	0,1815 HIP23	Combination		-113,147	-15,204	0	0	0	-14,0708
26	0,363 HIP23	Combination		-111,105	-9,532	0	0	0	-11,8309
26	0 ELS-FIS	Combination	Max	-115,189	-20,954	0	0	0	-16,6584
26	0,1815 ELS-FIS	Combination	Max	-113,147	-14,842	0	0	0	-13,4193
26	0,363 ELS-FIS	Combination	Max	-111,105	-9,171	0	0	0	-11,2451
26	0 ELS-FIS	Combination	Min	-115,189	-21,198	0	0	0	-17,3694
26	0,1815 ELS-FIS	Combination	Min	-113,147	-15,204	0	0	0	-14,0708
26	0,363 ELS-FIS	Combination	Min	-111,105	-9,532	0	0	0	-11,8309
26	0 ENV-TREN	Combination	Max	0	7,544	0	0	0	0
26	0,1815 ENV-TREN	Combination	Max	0	7,544	0	0	0	0
26	0,363 ENV-TREN	Combination	Max	0	7,544	0	0	0	0
26	0 ENV-TREN	Combination	Min	-351,562	-2,216	0	0	0	-134,9834
26	0,1815 ENV-TREN	Combination	Min	-351,562	-2,216	0	0	0	-135,9693
26	0,363 ENV-TREN	Combination	Min	-351,562	-2,216	0	0	0	-136,9551
27	0 PP	NonStatic	Max	-49,815	-5,167	0	0	0	-19,0585
27	0,1815 PP	NonStatic	Max	-47,773	-5,167	0	0	0	-18,1207
27	0,363 PP	NonStatic	Max	-45,731	-5,167	0	0	0	-17,1829
27	0 PP	NonStatic	Min	-49,815	-5,167	0	0	0	-19,0585
27	0,1815 PP	NonStatic	Min	-47,773	-5,167	0	0	0	-18,1207
27	0,363 PP	NonStatic	Min	-45,731	-5,167	0	0	0	-17,1829
27	0 CM CARRIL UIC-54	NonStatic	Max	-0,9	0,014	0	0	0	-0,3506
27	0,1815 CM CARRIL UIC-54	NonStatic	Max	-0,9	0,014	0	0	0	-0,3531
27	0,363 CM CARRIL UIC-54	NonStatic	Max	-0,9	0,014	0	0	0	-0,3557
27	0 CM CARRIL UIC-54	NonStatic	Min	-0,9	0,014	0	0	0	-0,3506
27	0,1815 CM CARRIL UIC-54	NonStatic	Min	-0,9	0,014	0	0	0	-0,3531
27	0,363 CM CARRIL UIC-54	NonStatic	Min	-0,9	0,014	0	0	0	-0,3557
27	0 CM TRAVIESAS	NonStatic	Max	-4,095	0,063	0	0	0	-1,5953
27	0,1815 CM TRAVIESAS	NonStatic	Max	-4,095	0,063	0	0	0	-1,6067
27	0,363 CM TRAVIESAS	NonStatic	Max	-4,095	0,063	0	0	0	-1,6182
27	0 CM TRAVIESAS	NonStatic	Min	-4,095	0,063	0	0	0	-1,5953
27	0,1815 CM TRAVIESAS	NonStatic	Min	-4,095	0,063	0	0	0	-1,6067
27	0,363 CM TRAVIESAS	NonStatic	Min	-4,095	0,063	0	0	0	-1,6182
27	0 CM TIERRAS + BALASTO	NonStatic	Max	-56,295	0,87	0	0	0	-21,9304
27	0,1815 CM TIERRAS + BALASTO	NonStatic	Max	-56,295	0,87	0	0	0	-22,0882
27	0,363 CM TIERRAS + BALASTO	NonStatic	Max	-56,295	0,87	0	0	0	-22,2461
27	0 CM TIERRAS + BALASTO	NonStatic	Min	-56,295	0,87	0	0	0	-21,9304
27	0,1815 CM TIERRAS + BALASTO	NonStatic	Min	-56,295	0,87	0	0	0	-22,0882
27	0,363 CM TIERRAS + BALASTO	NonStatic	Min	-56,295	0,87	0	0	0	-22,2461
27	0 CM SUELO SOLERA	NonStatic	Max	5,093E-11	0,067	0	0	0	0,1107
27	0,1815 CM SUELO SOLERA	NonStatic	Max	5,093E-11	0,067	0	0	0	0,0985
27	0,363 CM SUELO SOLERA	NonStatic	Max	5,093E-11	0,067	0	0	0	0,0864
27	0 CM SUELO SOLERA	NonStatic	Min	5,093E-11	0,067	0	0	0	0,1107
27	0,1815 CM SUELO SOLERA	NonStatic	Min	5,093E-11	0,067	0	0	0	0,0985
27	0,363 CM SUELO SOLERA	NonStatic	Min	5,093E-11	0,067	0	0	0	0,0864
27	0 SBC SUELO SOLERA	NonStatic	Max	1,164E-10	0,167	0	0	0	0,2767
27	0,1815 SBC SUELO SOLERA	NonStatic	Max	1,164E-10	0,167	0	0	0	0,2463
27	0,363 SBC SUELO SOLERA	NonStatic	Max	1,164E-10	0,167	0	0	0	0,216
27	0 SBC SUELO SOLERA	NonStatic	Min	1,164E-10	0,167	0	0	0	0,2767
27	0,1815 SBC SUELO SOLERA	NonStatic	Min	1,164E-10	0,167	0	0	0	0,2463
27	0,363 SBC SUELO SOLERA	NonStatic	Min	1,164E-10	0,167	0	0	0	0,216
27	0 EMPUJE TIERRAS	NonStatic	Max	-2,728E-12	-5,413	0	0	0	30,9378

27	0,1815 EMPUJE TIERRAS	NonStatic	Max	-2,728E-12	-0,064	0	0	0	31,4299
27	0,363 EMPUJE TIERRAS	NonStatic	Max	-2,728E-12	4,961	0	0	0	30,9807
27	0 EMPUJE TIERRAS	NonStatic	Min	-2,728E-12	-5,413	0	0	0	30,9378
27	0,1815 EMPUJE TIERRAS	NonStatic	Min	-2,728E-12	-0,064	0	0	0	31,4299
27	0,363 EMPUJE TIERRAS	NonStatic	Min	-2,728E-12	4,961	0	0	0	30,9807
27	0 EMPUJE AGUA	LinStatic		-2,91E-10	0,362	0	0	0	0,5859
27	0,1815 EMPUJE AGUA	LinStatic		-2,91E-10	0,362	0	0	0	0,5202
27	0,363 EMPUJE AGUA	LinStatic		-2,91E-10	0,362	0	0	0	0,4545
27	0 SISMO	NonStatic	Max	-4,547E-13	-2,87	0	0	0	4,6971
27	0,1815 SISMO	NonStatic	Max	-4,547E-13	-2,14	0	0	0	5,1531
27	0,363 SISMO	NonStatic	Max	-4,547E-13	-1,325	0	0	0	5,4688
27	0 SISMO	NonStatic	Min	-4,547E-13	-2,87	0	0	0	4,6971
27	0,1815 SISMO	NonStatic	Min	-4,547E-13	-2,14	0	0	0	5,1531
27	0,363 SISMO	NonStatic	Min	-4,547E-13	-1,325	0	0	0	5,4688
27	0 MODAL	LinModal	Mode	-104,448	86,191	0	0	0	11,8907
27	0,1815 MODAL	LinModal	Mode	-104,448	86,191	0	0	0	-3,7529
27	0,363 MODAL	LinModal	Mode	-104,448	86,191	0	0	0	-19,3965
27	0 MODAL	LinModal	Mode	-358,204	-39,236	0	0	0	-143,6005
27	0,1815 MODAL	LinModal	Mode	-358,204	-39,236	0	0	0	-136,4791
27	0,363 MODAL	LinModal	Mode	-358,204	-39,236	0	0	0	-129,3577
27	0 MODAL	LinModal	Mode	1395,778	12968,002	0	0	0	3115,0198
27	0,1815 MODAL	LinModal	Mode	1395,778	12968,002	0	0	0	761,3275
27	0,363 MODAL	LinModal	Mode	1395,778	12968,002	0	0	0	-1592,3648
27	0 MODAL	LinModal	Mode	-35777,537	3073,516	0	0	0	-32943,6955
27	0,1815 MODAL	LinModal	Mode	-35777,537	3073,516	0	0	0	-33501,5386
27	0,363 MODAL	LinModal	Mode	-35777,537	3073,516	0	0	0	-34059,3818
27	0 MODAL	LinModal	Mode	-7461,721	-45101,348	0	0	0	-16620,0913
27	0,1815 MODAL	LinModal	Mode	-7461,721	-45101,348	0	0	0	-8434,1966
27	0,363 MODAL	LinModal	Mode	-7461,721	-45101,348	0	0	0	-248,302
27	0 MODAL	LinModal	Mode	-2855,253	9757,585	0	0	0	-86577,5337
27	0,1815 MODAL	LinModal	Mode	-2855,253	9757,585	0	0	0	-88348,5354
27	0,363 MODAL	LinModal	Mode	-2855,253	9757,585	0	0	0	-90119,5372
27	0 MODAL	LinModal	Mode	103260,646	26752,997	0	0	0	-73884,9784
27	0,1815 MODAL	LinModal	Mode	103260,646	26752,997	0	0	0	-78740,6474
27	0,363 MODAL	LinModal	Mode	103260,646	26752,997	0	0	0	-83596,3163
27	0 MODAL	LinModal	Mode	374946,285	-61128,3	0	0	0	-76183,6842
27	0,1815 MODAL	LinModal	Mode	374946,285	-61128,3	0	0	0	-65088,8977
27	0,363 MODAL	LinModal	Mode	374946,285	-61128,3	0	0	0	-53994,1111
27	0 MODAL	LinModal	Mode	230550,056	163621,917	0	0	0	20855,1642
27	0,1815 MODAL	LinModal	Mode	230550,056	163621,917	0	0	0	-8842,2137
27	0,363 MODAL	LinModal	Mode	230550,056	163621,917	0	0	0	-38539,5915
27	0 MODAL	LinModal	Mode	-944,766	362949,461	0	0	0	131756,8079
27	0,1815 MODAL	LinModal	Mode	-944,766	362949,461	0	0	0	65881,4807
27	0,363 MODAL	LinModal	Mode	-944,766	362949,461	0	0	0	6,1534
27	0 MODAL	LinModal	Mode	-32175,012	-426457,646	0	0	0	-86448,7282
27	0,1815 MODAL	LinModal	Mode	-32175,012	-426457,646	0	0	0	-9046,6655
27	0,363 MODAL	LinModal	Mode	-32175,012	-426457,646	0	0	0	68355,3972
27	0 MODAL	LinModal	Mode	1318043,187	42994,432	0	0	0	-32390,5407
27	0,1815 MODAL	LinModal	Mode	1318043,187	42994,432	0	0	0	-40194,0302
27	0,363 MODAL	LinModal	Mode	1318043,187	42994,432	0	0	0	-47997,5196
27	0 HIP1	Combination		-67,25	-6,975	0	0	0	-25,729
27	0,1815 HIP1	Combination		-64,494	-6,975	0	0	0	-24,4629
27	0,363 HIP1	Combination		-61,737	-6,975	0	0	0	-23,1969
27	0 HIP2	Combination		-149,992	-13,816	0	0	0	-11,5552
27	0,1815 HIP2	Combination		-147,235	-5,794	0	0	0	-9,783
27	0,363 HIP2	Combination		-144,479	1,744	0	0	0	-9,4228
27	0 HIP3	Combination		-149,992	-13,273	0	0	0	-10,6764
27	0,1815 HIP3	Combination		-147,235	-5,251	0	0	0	-9,0027
27	0,363 HIP3	Combination		-144,479	2,287	0	0	0	-8,741
27	0 HIP4	Combination		-149,992	-13,726	0	0	0	-11,4058
27	0,1815 HIP4	Combination		-147,235	-5,703	0	0	0	-9,6499
27	0,363 HIP4	Combination		-144,479	1,834	0	0	0	-9,3062
27	0 HIP5	Combination		-149,992	-12,932	0	0	0	-10,112
27	0,1815 HIP5	Combination		-147,235	-4,91	0	0	0	-8,5001
27	0,363 HIP5	Combination		-144,479	2,628	0	0	0	-8,3004
27	0 HIP6	Combination	Max	-149,992	0,749	0	0	0	-26,1453
27	0,1815 HIP6	Combination	Max	-147,235	6,097	0	0	0	-24,7176
27	0,363 HIP6	Combination	Max	-144,479	11,122	0	0	0	-24,2314
27	0 HIP6	Combination	Min	-677,335	-13,891	0	0	0	-231,578
27	0,1815 HIP6	Combination	Min	-674,579	-8,542	0	0	0	-231,6291
27	0,363 HIP6	Combination	Min	-671,822	-3,517	0	0	0	-232,6216
27	0 HIP7	Combination	Max	-149,992	-1,867	0	0	0	-10,527
27	0,1815 HIP7	Combination	Max	-147,235	6,155	0	0	0	-8,8697



## “Proyecto de las estructuras para la conexión peatonal de los andenes de la estación de Font de Sant Lluís en Valencia”.

27	0,363 HIP7	Combination	Max	-144,479	13,693	0	0	0	-8,6244
27	0 HIP7	Combination	Min	-677,335	-16,507	0	0	0	-215,9597
27	0,1815 HIP7	Combination	Min	-674,579	-8,484	0	0	0	-215,7811
27	0,363 HIP7	Combination	Min	-671,822	-0,947	0	0	0	-217,0147
27	0 HIP8	Combination	Max	-149,992	-2,159	0	0	0	-10,9908
27	0,1815 HIP8	Combination	Max	-147,235	5,863	0	0	0	-9,2804
27	0,363 HIP8	Combination	Max	-144,479	13,401	0	0	0	-8,9822
27	0 HIP8	Combination	Min	-677,335	-16,799	0	0	0	-216,4235
27	0,1815 HIP8	Combination	Min	-674,579	-8,776	0	0	0	-216,1919
27	0,363 HIP8	Combination	Min	-671,822	-1,239	0	0	0	-217,3725
27	0 HIP9	Combination	Max	-149,992	-1,867	0	0	0	-10,527
27	0,1815 HIP9	Combination	Max	-147,235	6,155	0	0	0	-8,8697
27	0,363 HIP9	Combination	Max	-144,479	13,693	0	0	0	-8,6244
27	0 HIP9	Combination	Min	-677,335	-16,507	0	0	0	-215,9597
27	0,1815 HIP9	Combination	Min	-674,579	-8,484	0	0	0	-215,7811
27	0,363 HIP9	Combination	Min	-671,822	-0,947	0	0	0	-217,0147
27	0 HIP10	Combination		-111,105	-12,339	0	0	0	3,4719
27	0,1815 HIP10	Combination		-109,063	-4,317	0	0	0	4,9761
27	0,363 HIP10	Combination		-107,021	3,221	0	0	0	5,0682
27	0 HIP11	Combination		-111,105	-9,271	0	0	0	-11,4111
27	0,1815 HIP11	Combination		-109,063	-3,923	0	0	0	-10,2187
27	0,363 HIP11	Combination		-107,021	1,103	0	0	0	-9,9676
27	0 HIP12	Combination		-111,105	-9,633	0	0	0	-11,997
27	0,1815 HIP12	Combination		-109,063	-4,284	0	0	0	-10,7389
27	0,363 HIP12	Combination		-107,021	0,741	0	0	0	-10,4221
27	0 HIP13	Combination		-111,105	-9,204	0	0	0	-11,3004
27	0,1815 HIP13	Combination		-109,063	-3,856	0	0	0	-10,1201
27	0,363 HIP13	Combination		-107,021	1,169	0	0	0	-9,8812
27	0 HIP14	Combination		-111,105	-9,399	0	0	0	-11,6096
27	0,1815 HIP14	Combination		-109,063	-4,05	0	0	0	-10,394
27	0,363 HIP14	Combination		-107,021	0,975	0	0	0	-10,1198
27	0 HIP15	Combination	Max	-111,105	-1,727	0	0	0	-11,4111
27	0,1815 HIP15	Combination	Max	-109,063	3,621	0	0	0	-10,2187
27	0,363 HIP15	Combination	Max	-107,021	8,646	0	0	0	-9,9676
27	0 HIP15	Combination	Min	-462,667	-11,487	0	0	0	-148,3662
27	0,1815 HIP15	Combination	Min	-460,626	-6,138	0	0	0	-148,1597
27	0,363 HIP15	Combination	Min	-458,584	-1,113	0	0	0	-148,8945
27	0 HIP16	Combination	Max	-111,105	-1,66	0	0	0	-11,3004
27	0,1815 HIP16	Combination	Max	-109,063	3,688	0	0	0	-10,1201
27	0,363 HIP16	Combination	Max	-107,021	8,713	0	0	0	-9,8812
27	0 HIP16	Combination	Min	-462,667	-11,42	0	0	0	-148,2555
27	0,1815 HIP16	Combination	Min	-460,626	-6,072	0	0	0	-148,0611
27	0,363 HIP16	Combination	Min	-458,584	-1,046	0	0	0	-148,8081
27	0 HIP17	Combination	Max	-111,105	-1,855	0	0	0	-11,6096
27	0,1815 HIP17	Combination	Max	-109,063	3,493	0	0	0	-10,394
27	0,363 HIP17	Combination	Max	-107,021	8,519	0	0	0	-10,1198
27	0 HIP17	Combination	Min	-462,667	-11,614	0	0	0	-148,5647
27	0,1815 HIP17	Combination	Min	-460,626	-6,266	0	0	0	-148,335
27	0,363 HIP17	Combination	Min	-458,584	-1,241	0	0	0	-149,0466
27	0 HIP18	Combination	Max	-111,105	-1,66	0	0	0	-11,3004
27	0,1815 HIP18	Combination	Max	-109,063	3,688	0	0	0	-10,1201
27	0,363 HIP18	Combination	Max	-107,021	8,713	0	0	0	-9,8812
27	0 HIP18	Combination	Min	-462,667	-11,42	0	0	0	-148,2555
27	0,1815 HIP18	Combination	Min	-460,626	-6,072	0	0	0	-148,0611
27	0,363 HIP18	Combination	Min	-458,584	-1,046	0	0	0	-148,8081
27	0 HIP19	Combination		-111,105	-9,271	0	0	0	-11,4111
27	0,1815 HIP19	Combination		-109,063	-3,923	0	0	0	-10,2187
27	0,363 HIP19	Combination		-107,021	1,103	0	0	0	-9,9676
27	0 ELU	Combination	Max	-67,25	0,749	0	0	0	3,4719
27	0,1815 ELU	Combination	Max	-64,494	6,155	0	0	0	4,9761
27	0,363 ELU	Combination	Max	-61,737	13,693	0	0	0	5,0682
27	0 ELU	Combination	Min	-677,335	-16,799	0	0	0	-231,578
27	0,1815 ELU	Combination	Min	-674,579	-8,776	0	0	0	-231,6291
27	0,363 ELU	Combination	Min	-671,822	-6,975	0	0	0	-232,6216
27	0 ELS-DEF	Combination	Max	-111,105	-1,66	0	0	0	-11,3004
27	0,1815 ELS-DEF	Combination	Max	-109,063	3,688	0	0	0	-10,1201
27	0,363 ELS-DEF	Combination	Max	-107,021	8,713	0	0	0	-9,8812
27	0 ELS-DEF	Combination	Min	-462,667	-11,614	0	0	0	-148,5647
27	0,1815 ELS-DEF	Combination	Min	-460,626	-6,266	0	0	0	-148,335
27	0,363 ELS-DEF	Combination	Min	-458,584	-1,241	0	0	0	-149,0466
27	0 HIP20	Combination		-111,105	-12,141	0	0	0	-6,714
27	0,1815 HIP20	Combination		-109,063	-6,063	0	0	0	-5,0656
27	0,363 HIP20	Combination		-107,021	-0,222	0	0	0	-4,4988



27	0	HIP21	Combination	-111,105	-12,108	0	0	0	-6,6587
27	0,1815	HIP21	Combination	-109,063	-6,03	0	0	0	-5,0163
27	0,363	HIP21	Combination	-107,021	-0,189	0	0	0	-4,4556
27	0	ENV-SISMO	Combination Max	-111,105	-12,108	0	0	0	-6,6587
27	0,1815	ENV-SISMO	Combination Max	-109,063	-6,03	0	0	0	-5,0163
27	0,363	ENV-SISMO	Combination Max	-107,021	-0,189	0	0	0	-4,4556
27	0	ENV-SISMO	Combination Min	-111,105	-12,141	0	0	0	-6,714
27	0,1815	ENV-SISMO	Combination Min	-109,063	-6,063	0	0	0	-5,0656
27	0,363	ENV-SISMO	Combination Min	-107,021	-0,222	0	0	0	-4,4988
27	0	HIP22	Combination	-111,105	-9,171	0	0	0	-11,2451
27	0,1815	HIP22	Combination	-109,063	-3,822	0	0	0	-10,0709
27	0,363	HIP22	Combination	-107,021	1,203	0	0	0	-9,838
27	0	HIP23	Combination	-111,105	-9,532	0	0	0	-11,8309
27	0,1815	HIP23	Combination	-109,063	-4,184	0	0	0	-10,5911
27	0,363	HIP23	Combination	-107,021	0,841	0	0	0	-10,2926
27	0	ELS-FIS	Combination Max	-111,105	-9,171	0	0	0	-11,2451
27	0,1815	ELS-FIS	Combination Max	-109,063	-3,822	0	0	0	-10,0709
27	0,363	ELS-FIS	Combination Max	-107,021	1,203	0	0	0	-9,838
27	0	ELS-FIS	Combination Min	-111,105	-9,532	0	0	0	-11,8309
27	0,1815	ELS-FIS	Combination Min	-109,063	-4,184	0	0	0	-10,5911
27	0,363	ELS-FIS	Combination Min	-107,021	0,841	0	0	0	-10,2926
27	0	ENV-TREN	Combination Max	0	7,544	0	0	0	0
27	0,1815	ENV-TREN	Combination Max	0	7,544	0	0	0	0
27	0,363	ENV-TREN	Combination Max	0	7,544	0	0	0	0
27	0	ENV-TREN	Combination Min	-351,562	-2,216	0	0	0	-136,9551
27	0,1815	ENV-TREN	Combination Min	-351,562	-2,216	0	0	0	-137,941
27	0,363	ENV-TREN	Combination Min	-351,562	-2,216	0	0	0	-138,9269
28	0	PP	NonStatic Max	-45,731	-5,167	0	0	0	-17,1829
28	0,1815	PP	NonStatic Max	-43,689	-5,167	0	0	0	-16,2451
28	0,363	PP	NonStatic Max	-41,647	-5,167	0	0	0	-15,3073
28	0	PP	NonStatic Min	-45,731	-5,167	0	0	0	-17,1829
28	0,1815	PP	NonStatic Min	-43,689	-5,167	0	0	0	-16,2451
28	0,363	PP	NonStatic Min	-41,647	-5,167	0	0	0	-15,3073
28	0	CM CARRIL UIC-54	NonStatic Max	-0,9	0,014	0	0	0	-0,3557
28	0,1815	CM CARRIL UIC-54	NonStatic Max	-0,9	0,014	0	0	0	-0,3582
28	0,363	CM CARRIL UIC-54	NonStatic Max	-0,9	0,014	0	0	0	-0,3607
28	0	CM CARRIL UIC-54	NonStatic Min	-0,9	0,014	0	0	0	-0,3557
28	0,1815	CM CARRIL UIC-54	NonStatic Min	-0,9	0,014	0	0	0	-0,3582
28	0,363	CM CARRIL UIC-54	NonStatic Min	-0,9	0,014	0	0	0	-0,3607
28	0	CM TRAVIESAS	NonStatic Max	-4,095	0,063	0	0	0	-1,6182
28	0,1815	CM TRAVIESAS	NonStatic Max	-4,095	0,063	0	0	0	-1,6297
28	0,363	CM TRAVIESAS	NonStatic Max	-4,095	0,063	0	0	0	-1,6412
28	0	CM TRAVIESAS	NonStatic Min	-4,095	0,063	0	0	0	-1,6182
28	0,1815	CM TRAVIESAS	NonStatic Min	-4,095	0,063	0	0	0	-1,6297
28	0,363	CM TRAVIESAS	NonStatic Min	-4,095	0,063	0	0	0	-1,6412
28	0	CM TIERRAS + BALASTO	NonStatic Max	-56,295	0,87	0	0	0	-22,2461
28	0,1815	CM TIERRAS + BALASTO	NonStatic Max	-56,295	0,87	0	0	0	-22,4039
28	0,363	CM TIERRAS + BALASTO	NonStatic Max	-56,295	0,87	0	0	0	-22,5618
28	0	CM TIERRAS + BALASTO	NonStatic Min	-56,295	0,87	0	0	0	-22,2461
28	0,1815	CM TIERRAS + BALASTO	NonStatic Min	-56,295	0,87	0	0	0	-22,4039
28	0,363	CM TIERRAS + BALASTO	NonStatic Min	-56,295	0,87	0	0	0	-22,5618
28	0	CM SUELO SOLERA	NonStatic Max	3,638E-11	0,067	0	0	0	0,0864
28	0,1815	CM SUELO SOLERA	NonStatic Max	3,638E-11	0,067	0	0	0	0,0743
28	0,363	CM SUELO SOLERA	NonStatic Max	3,638E-11	0,067	0	0	0	0,0621
28	0	CM SUELO SOLERA	NonStatic Min	3,638E-11	0,067	0	0	0	0,0864
28	0,1815	CM SUELO SOLERA	NonStatic Min	3,638E-11	0,067	0	0	0	0,0743
28	0,363	CM SUELO SOLERA	NonStatic Min	3,638E-11	0,067	0	0	0	0,0621
28	0	SBC SUELO SOLERA	NonStatic Max	8,731E-11	0,167	0	0	0	0,216
28	0,1815	SBC SUELO SOLERA	NonStatic Max	8,731E-11	0,167	0	0	0	0,1856
28	0,363	SBC SUELO SOLERA	NonStatic Max	8,731E-11	0,167	0	0	0	0,1553
28	0	SBC SUELO SOLERA	NonStatic Min	8,731E-11	0,167	0	0	0	0,216
28	0,1815	SBC SUELO SOLERA	NonStatic Min	8,731E-11	0,167	0	0	0	0,1856
28	0,363	SBC SUELO SOLERA	NonStatic Min	8,731E-11	0,167	0	0	0	0,1553
28	0	EMPUJE TIERRAS	NonStatic Max	-1,819E-12	4,961	0	0	0	30,9807
28	0,1815	EMPUJE TIERRAS	NonStatic Max	-1,819E-12	9,663	0	0	0	29,6487
28	0,363	EMPUJE TIERRAS	NonStatic Max	-1,819E-12	14,042	0	0	0	27,4926
28	0	EMPUJE TIERRAS	NonStatic Min	-1,819E-12	4,961	0	0	0	30,9807
28	0,1815	EMPUJE TIERRAS	NonStatic Min	-1,819E-12	9,663	0	0	0	29,6487
28	0,363	EMPUJE TIERRAS	NonStatic Min	-1,819E-12	14,042	0	0	0	27,4926
28	0	EMPUJE AGUA	LinStatic	-1,746E-10	0,362	0	0	0	0,4545
28	0,1815	EMPUJE AGUA	LinStatic	-1,746E-10	0,362	0	0	0	0,3888
28	0,363	EMPUJE AGUA	LinStatic	-1,746E-10	0,362	0	0	0	0,3232
28	0	SISMO	NonStatic Max	-2,274E-13	-1,325	0	0	0	5,4688



## “Proyecto de las estructuras para la conexión peatonal de los andenes de la estación de Font de Sant Lluís en Valencia”.

28	0,1815	SISMO	NonStatic	Max	-2,274E-13	-0,423	0	0	0	5,6288
28	0,363	SISMO	NonStatic	Max	-2,274E-13	0,564	0	0	0	5,6173
28	0	SISMO	NonStatic	Min	-2,274E-13	-1,325	0	0	0	5,4688
28	0,1815	SISMO	NonStatic	Min	-2,274E-13	-0,423	0	0	0	5,6288
28	0,363	SISMO	NonStatic	Min	-2,274E-13	0,564	0	0	0	5,6173
28	0	MODAL	LinModal	Mode	-99,286	81,962	0	0	0	-19,3965
28	0,1815	MODAL	LinModal	Mode	-99,286	81,962	0	0	0	-34,2726
28	0,363	MODAL	LinModal	Mode	-99,286	81,962	0	0	0	-49,1488
28	0	MODAL	LinModal	Mode	-327,654	-39,372	0	0	0	-129,3577
28	0,1815	MODAL	LinModal	Mode	-327,654	-39,372	0	0	0	-122,2117
28	0,363	MODAL	LinModal	Mode	-327,654	-39,372	0	0	0	-115,0657
28	0	MODAL	LinModal	Mode	80,419	12302,105	0	0	0	-1592,3648
28	0,1815	MODAL	LinModal	Mode	80,419	12302,105	0	0	0	-3825,1969
28	0,363	MODAL	LinModal	Mode	80,419	12302,105	0	0	0	-6058,029
28	0	MODAL	LinModal	Mode	-35819,695	-2854,164	0	0	0	-34059,3818
28	0,1815	MODAL	LinModal	Mode	-35819,695	-2854,164	0	0	0	-33541,351
28	0,363	MODAL	LinModal	Mode	-35819,695	-2854,164	0	0	0	-33023,3203
28	0	MODAL	LinModal	Mode	7464,806	-45214,36	0	0	0	-248,302
28	0,1815	MODAL	LinModal	Mode	7464,806	-45214,36	0	0	0	7958,1044
28	0,363	MODAL	LinModal	Mode	7464,806	-45214,36	0	0	0	16164,5107
28	0	MODAL	LinModal	Mode	-2891,745	-33451,065	0	0	0	-90119,5372
28	0,1815	MODAL	LinModal	Mode	-2891,745	-33451,065	0	0	0	-84048,1689
28	0,363	MODAL	LinModal	Mode	-2891,745	-33451,065	0	0	0	-77976,8006
28	0	MODAL	LinModal	Mode	103231,367	-26559,041	0	0	0	-83596,3163
28	0,1815	MODAL	LinModal	Mode	103231,367	-26559,041	0	0	0	-78775,8504
28	0,363	MODAL	LinModal	Mode	103231,367	-26559,041	0	0	0	-73955,3845
28	0	MODAL	LinModal	Mode	395983,338	-122674,307	0	0	0	-53994,1111
28	0,1815	MODAL	LinModal	Mode	395983,338	-122674,307	0	0	0	-31728,7245
28	0,363	MODAL	LinModal	Mode	395983,338	-122674,307	0	0	0	-9463,3378
28	0	MODAL	LinModal	Mode	183010,552	122963,97	0	0	0	-38539,5915
28	0,1815	MODAL	LinModal	Mode	183010,552	122963,97	0	0	0	-60857,5521
28	0,363	MODAL	LinModal	Mode	183010,552	122963,97	0	0	0	-83175,5126
28	0	MODAL	LinModal	Mode	733,93	362958,514	0	0	0	6,1534
28	0,1815	MODAL	LinModal	Mode	733,93	362958,514	0	0	0	-65870,8169
28	0,363	MODAL	LinModal	Mode	733,93	362958,514	0	0	0	-131747,787
28	0	MODAL	LinModal	Mode	-91051,157	-345534,745	0	0	0	68355,3972
28	0,1815	MODAL	LinModal	Mode	-91051,157	-345534,745	0	0	0	131069,9533
28	0,363	MODAL	LinModal	Mode	-91051,157	-345534,745	0	0	0	193784,5095
28	0	MODAL	LinModal	Mode	1318140,784	-42897,647	0	0	0	-47997,5196
28	0,1815	MODAL	LinModal	Mode	1318140,784	-42897,647	0	0	0	-40211,5967
28	0,363	MODAL	LinModal	Mode	1318140,784	-42897,647	0	0	0	-32425,6739
28	0	HIP1	Combination		-61,737	-6,975	0	0	0	-23,1969
28	0,1815	HIP1	Combination		-58,981	-6,975	0	0	0	-21,9309
28	0,363	HIP1	Combination		-56,224	-6,975	0	0	0	-20,6648
28	0	HIP2	Combination		-144,479	1,744	0	0	0	-9,4228
28	0,1815	HIP2	Combination		-141,722	8,798	0	0	0	-10,3868
28	0,363	HIP2	Combination		-138,966	15,366	0	0	0	-12,587
28	0	HIP3	Combination		-144,479	2,287	0	0	0	-8,741
28	0,1815	HIP3	Combination		-141,722	9,34	0	0	0	-9,8035
28	0,363	HIP3	Combination		-138,966	15,909	0	0	0	-12,1022
28	0	HIP4	Combination		-144,479	1,834	0	0	0	-9,3062
28	0,1815	HIP4	Combination		-141,722	8,888	0	0	0	-10,2865
28	0,363	HIP4	Combination		-138,966	15,457	0	0	0	-12,5031
28	0	HIP5	Combination		-144,479	2,628	0	0	0	-8,3004
28	0,1815	HIP5	Combination		-141,722	9,681	0	0	0	-9,4248
28	0,363	HIP5	Combination		-138,966	16,25	0	0	0	-11,7854
28	0	HIP6	Combination	Max	-144,479	11,122	0	0	0	-24,2314
28	0,1815	HIP6	Combination	Max	-141,722	15,824	0	0	0	-24,6279
28	0,363	HIP6	Combination	Max	-138,966	20,204	0	0	0	-25,8485
28	0	HIP6	Combination	Min	-671,822	-3,517	0	0	0	-232,6216
28	0,1815	HIP6	Combination	Min	-669,066	1,185	0	0	0	-234,4969
28	0,363	HIP6	Combination	Min	-666,309	5,564	0	0	0	-237,1964
28	0	HIP7	Combination	Max	-144,479	13,693	0	0	0	-8,6244
28	0,1815	HIP7	Combination	Max	-141,722	20,746	0	0	0	-9,7033
28	0,363	HIP7	Combination	Max	-138,966	27,315	0	0	0	-12,0184
28	0	HIP7	Combination	Min	-671,822	-0,947	0	0	0	-217,0147
28	0,1815	HIP7	Combination	Min	-669,066	6,107	0	0	0	-219,5723
28	0,363	HIP7	Combination	Min	-666,309	12,676	0	0	0	-223,3663
28	0	HIP8	Combination	Max	-144,479	13,401	0	0	0	-8,9822
28	0,1815	HIP8	Combination	Max	-141,722	20,454	0	0	0	-10,0081
28	0,363	HIP8	Combination	Max	-138,966	27,023	0	0	0	-12,2702
28	0	HIP8	Combination	Min	-671,822	-1,239	0	0	0	-217,3725
28	0,1815	HIP8	Combination	Min	-669,066	5,815	0	0	0	-219,8771



28	0,363 HIP8	Combination	Min	-666,309	12,384	0	0	0	-223,6181
28	0 HIP9	Combination	Max	-144,479	13,693	0	0	0	-8,6244
28	0,1815 HIP9	Combination	Max	-141,722	20,746	0	0	0	-9,7033
28	0,363 HIP9	Combination	Max	-138,966	27,315	0	0	0	-12,0184
28	0 HIP9	Combination	Min	-671,822	-0,947	0	0	0	-217,0147
28	0,1815 HIP9	Combination	Min	-669,066	6,107	0	0	0	-219,5723
28	0,363 HIP9	Combination	Min	-666,309	12,676	0	0	0	-223,3663
28	0 HIP10	Combination		-107,021	3,221	0	0	0	5,0682
28	0,1815 HIP10	Combination		-104,979	10,275	0	0	0	3,8361
28	0,363 HIP10	Combination		-102,937	16,843	0	0	0	1,3679
28	0 HIP11	Combination		-107,021	1,103	0	0	0	-9,9676
28	0,1815 HIP11	Combination		-104,979	5,805	0	0	0	-10,5994
28	0,363 HIP11	Combination		-102,937	10,184	0	0	0	-12,0553
28	0 HIP12	Combination		-107,021	0,741	0	0	0	-10,4221
28	0,1815 HIP12	Combination		-104,979	5,443	0	0	0	-10,9882
28	0,363 HIP12	Combination		-102,937	9,822	0	0	0	-12,3784
28	0 HIP13	Combination		-107,021	1,169	0	0	0	-9,8812
28	0,1815 HIP13	Combination		-104,979	5,872	0	0	0	-10,5251
28	0,363 HIP13	Combination		-102,937	10,251	0	0	0	-11,9931
28	0 HIP14	Combination		-107,021	0,975	0	0	0	-10,1198
28	0,1815 HIP14	Combination		-104,979	5,677	0	0	0	-10,7283
28	0,363 HIP14	Combination		-102,937	10,056	0	0	0	-12,161
28	0 HIP15	Combination	Max	-107,021	8,646	0	0	0	-9,9676
28	0,1815 HIP15	Combination	Max	-104,979	13,349	0	0	0	-10,5994
28	0,363 HIP15	Combination	Max	-102,937	17,728	0	0	0	-12,0553
28	0 HIP15	Combination	Min	-458,584	-1,113	0	0	0	-148,8945
28	0,1815 HIP15	Combination	Min	-456,542	3,589	0	0	0	-150,5121
28	0,363 HIP15	Combination	Min	-454,5	7,968	0	0	0	-152,9538
28	0 HIP16	Combination	Max	-107,021	8,713	0	0	0	-9,8812
28	0,1815 HIP16	Combination	Max	-104,979	13,415	0	0	0	-10,5251
28	0,363 HIP16	Combination	Max	-102,937	17,795	0	0	0	-11,9931
28	0 HIP16	Combination	Min	-458,584	-1,046	0	0	0	-148,8081
28	0,1815 HIP16	Combination	Min	-456,542	3,656	0	0	0	-150,4378
28	0,363 HIP16	Combination	Min	-454,5	8,035	0	0	0	-152,8917
28	0 HIP17	Combination	Max	-107,021	8,519	0	0	0	-10,1198
28	0,1815 HIP17	Combination	Max	-104,979	13,221	0	0	0	-10,7283
28	0,363 HIP17	Combination	Max	-102,937	17,6	0	0	0	-12,161
28	0 HIP17	Combination	Min	-458,584	-1,241	0	0	0	-149,0466
28	0,1815 HIP17	Combination	Min	-456,542	3,461	0	0	0	-150,641
28	0,363 HIP17	Combination	Min	-454,5	7,841	0	0	0	-153,0596
28	0 HIP18	Combination	Max	-107,021	8,713	0	0	0	-9,8812
28	0,1815 HIP18	Combination	Max	-104,979	13,415	0	0	0	-10,5251
28	0,363 HIP18	Combination	Max	-102,937	17,795	0	0	0	-11,9931
28	0 HIP18	Combination	Min	-458,584	-1,046	0	0	0	-148,8081
28	0,1815 HIP18	Combination	Min	-456,542	3,656	0	0	0	-150,4378
28	0,363 HIP18	Combination	Min	-454,5	8,035	0	0	0	-152,8917
28	0 HIP19	Combination		-107,021	1,103	0	0	0	-9,9676
28	0,1815 HIP19	Combination		-104,979	5,805	0	0	0	-10,5994
28	0,363 HIP19	Combination		-102,937	10,184	0	0	0	-12,0553
28	0 ELU	Combination	Max	-61,737	13,693	0	0	0	5,0682
28	0,1815 ELU	Combination	Max	-58,981	20,746	0	0	0	3,8361
28	0,363 ELU	Combination	Max	-56,224	27,315	0	0	0	1,3679
28	0 ELU	Combination	Min	-671,822	-6,975	0	0	0	-232,6216
28	0,1815 ELU	Combination	Min	-669,066	-6,975	0	0	0	-234,4969
28	0,363 ELU	Combination	Min	-666,309	-6,975	0	0	0	-237,1964
28	0 ELS-DEF	Combination	Max	-107,021	8,713	0	0	0	-9,8812
28	0,1815 ELS-DEF	Combination	Max	-104,979	13,415	0	0	0	-10,5251
28	0,363 ELS-DEF	Combination	Max	-102,937	17,795	0	0	0	-11,9931
28	0 ELS-DEF	Combination	Min	-458,584	-1,241	0	0	0	-149,0466
28	0,1815 ELS-DEF	Combination	Min	-456,542	3,461	0	0	0	-150,641
28	0,363 ELS-DEF	Combination	Min	-454,5	7,841	0	0	0	-153,0596
28	0 HIP20	Combination		-107,021	-0,222	0	0	0	-4,4988
28	0,1815 HIP20	Combination		-104,979	5,381	0	0	0	-4,9706
28	0,363 HIP20	Combination		-102,937	10,748	0	0	0	-6,4379
28	0 HIP21	Combination		-107,021	-0,189	0	0	0	-4,4556
28	0,1815 HIP21	Combination		-104,979	5,415	0	0	0	-4,9335
28	0,363 HIP21	Combination		-102,937	10,781	0	0	0	-6,4069
28	0 ENV-SISMO	Combination	Max	-107,021	-0,189	0	0	0	-4,4556
28	0,1815 ENV-SISMO	Combination	Max	-104,979	5,415	0	0	0	-4,9335
28	0,363 ENV-SISMO	Combination	Max	-102,937	10,781	0	0	0	-6,4069
28	0 ENV-SISMO	Combination	Min	-107,021	-0,222	0	0	0	-4,4988
28	0,1815 ENV-SISMO	Combination	Min	-104,979	5,381	0	0	0	-4,9706
28	0,363 ENV-SISMO	Combination	Min	-102,937	10,748	0	0	0	-6,4379



## “Proyecto de las estructuras para la conexión peatonal de los andenes de la estación de Font de Sant Lluís en Valencia”.

28	0	HIP22	Combination		-107,021	1,203	0	0	0	-9,838
28	0,1815	HIP22	Combination		-104,979	5,905	0	0	0	-10,488
28	0,363	HIP22	Combination		-102,937	10,284	0	0	0	-11,9621
28	0	HIP23	Combination		-107,021	0,841	0	0	0	-10,2926
28	0,1815	HIP23	Combination		-104,979	5,543	0	0	0	-10,8768
28	0,363	HIP23	Combination		-102,937	9,923	0	0	0	-12,2852
28	0	ELS-FIS	Combination	Max	-107,021	1,203	0	0	0	-9,838
28	0,1815	ELS-FIS	Combination	Max	-104,979	5,905	0	0	0	-10,488
28	0,363	ELS-FIS	Combination	Max	-102,937	10,284	0	0	0	-11,9621
28	0	ELS-FIS	Combination	Min	-107,021	0,841	0	0	0	-10,2926
28	0,1815	ELS-FIS	Combination	Min	-104,979	5,543	0	0	0	-10,8768
28	0,363	ELS-FIS	Combination	Min	-102,937	9,923	0	0	0	-12,2852
28	0	ENV-TREN	Combination	Max	0	7,544	0	0	0	0
28	0,1815	ENV-TREN	Combination	Max	0	7,544	0	0	0	0
28	0,363	ENV-TREN	Combination	Max	0	7,544	0	0	0	0
28	0	ENV-TREN	Combination	Min	-351,562	-2,216	0	0	0	-138,9269
28	0,1815	ENV-TREN	Combination	Min	-351,562	-2,216	0	0	0	-139,9127
28	0,363	ENV-TREN	Combination	Min	-351,562	-2,216	0	0	0	-140,8986
29	0	PP	NonStatic	Max	-41,647	-5,167	0	0	0	-15,3073
29	0,1815	PP	NonStatic	Max	-39,606	-5,167	0	0	0	-14,3695
29	0,363	PP	NonStatic	Max	-37,564	-5,167	0	0	0	-13,4317
29	0	PP	NonStatic	Min	-41,647	-5,167	0	0	0	-15,3073
29	0,1815	PP	NonStatic	Min	-39,606	-5,167	0	0	0	-14,3695
29	0,363	PP	NonStatic	Min	-37,564	-5,167	0	0	0	-13,4317
29	0	CM CARRIL UIC-54	NonStatic	Max	-0,9	0,014	0	0	0	-0,3607
29	0,1815	CM CARRIL UIC-54	NonStatic	Max	-0,9	0,014	0	0	0	-0,3632
29	0,363	CM CARRIL UIC-54	NonStatic	Max	-0,9	0,014	0	0	0	-0,3657
29	0	CM CARRIL UIC-54	NonStatic	Min	-0,9	0,014	0	0	0	-0,3607
29	0,1815	CM CARRIL UIC-54	NonStatic	Min	-0,9	0,014	0	0	0	-0,3632
29	0,363	CM CARRIL UIC-54	NonStatic	Min	-0,9	0,014	0	0	0	-0,3657
29	0	CM TRAVIESAS	NonStatic	Max	-4,095	0,063	0	0	0	-1,6412
29	0,1815	CM TRAVIESAS	NonStatic	Max	-4,095	0,063	0	0	0	-1,6527
29	0,363	CM TRAVIESAS	NonStatic	Max	-4,095	0,063	0	0	0	-1,6642
29	0	CM TRAVIESAS	NonStatic	Min	-4,095	0,063	0	0	0	-1,6412
29	0,1815	CM TRAVIESAS	NonStatic	Min	-4,095	0,063	0	0	0	-1,6527
29	0,363	CM TRAVIESAS	NonStatic	Min	-4,095	0,063	0	0	0	-1,6642
29	0	CM TIERRAS + BALASTO	NonStatic	Max	-56,295	0,87	0	0	0	-22,5618
29	0,1815	CM TIERRAS + BALASTO	NonStatic	Max	-56,295	0,87	0	0	0	-22,7197
29	0,363	CM TIERRAS + BALASTO	NonStatic	Max	-56,295	0,87	0	0	0	-22,8775
29	0	CM TIERRAS + BALASTO	NonStatic	Min	-56,295	0,87	0	0	0	-22,5618
29	0,1815	CM TIERRAS + BALASTO	NonStatic	Min	-56,295	0,87	0	0	0	-22,7197
29	0,363	CM TIERRAS + BALASTO	NonStatic	Min	-56,295	0,87	0	0	0	-22,8775
29	0	CM SUELO SOLERA	NonStatic	Max	2,91E-11	0,067	0	0	0	0,0621
29	0,1815	CM SUELO SOLERA	NonStatic	Max	2,91E-11	0,067	0	0	0	0,05
29	0,363	CM SUELO SOLERA	NonStatic	Max	2,91E-11	0,067	0	0	0	0,0378
29	0	CM SUELO SOLERA	NonStatic	Min	2,91E-11	0,067	0	0	0	0,0621
29	0,1815	CM SUELO SOLERA	NonStatic	Min	2,91E-11	0,067	0	0	0	0,05
29	0,363	CM SUELO SOLERA	NonStatic	Min	2,91E-11	0,067	0	0	0	0,0378
29	0	SBC SUELO SOLERA	NonStatic	Max	8,731E-11	0,167	0	0	0	0,1553
29	0,1815	SBC SUELO SOLERA	NonStatic	Max	8,731E-11	0,167	0	0	0	0,125
29	0,363	SBC SUELO SOLERA	NonStatic	Max	8,731E-11	0,167	0	0	0	0,0946
29	0	SBC SUELO SOLERA	NonStatic	Min	8,731E-11	0,167	0	0	0	0,1553
29	0,1815	SBC SUELO SOLERA	NonStatic	Min	8,731E-11	0,167	0	0	0	0,125
29	0,363	SBC SUELO SOLERA	NonStatic	Min	8,731E-11	0,167	0	0	0	0,0946
29	0	EMPUJE TIERRAS	NonStatic	Max	-2,274E-12	14,042	0	0	0	27,4926
29	0,1815	EMPUJE TIERRAS	NonStatic	Max	-2,274E-12	18,099	0	0	0	24,5709
29	0,363	EMPUJE TIERRAS	NonStatic	Max	-2,274E-12	21,832	0	0	0	20,9423
29	0	EMPUJE TIERRAS	NonStatic	Min	-2,274E-12	14,042	0	0	0	27,4926
29	0,1815	EMPUJE TIERRAS	NonStatic	Min	-2,274E-12	18,099	0	0	0	24,5709
29	0,363	EMPUJE TIERRAS	NonStatic	Min	-2,274E-12	21,832	0	0	0	20,9423
29	0	EMPUJE AGUA	LinStatic		-2,328E-10	0,362	0	0	0	0,3232
29	0,1815	EMPUJE AGUA	LinStatic		-2,328E-10	0,362	0	0	0	0,2575
29	0,363	EMPUJE AGUA	LinStatic		-2,328E-10	0,362	0	0	0	0,1918
29	0	SISMO	NonStatic	Max	-3,411E-13	0,564	0	0	0	5,6173
29	0,1815	SISMO	NonStatic	Max	-3,411E-13	1,637	0	0	0	5,4189
29	0,363	SISMO	NonStatic	Max	-3,411E-13	2,796	0	0	0	5,0179
29	0	SISMO	NonStatic	Min	-3,411E-13	0,564	0	0	0	5,6173
29	0,1815	SISMO	NonStatic	Min	-3,411E-13	1,637	0	0	0	5,4189
29	0,363	SISMO	NonStatic	Min	-3,411E-13	2,796	0	0	0	5,0179
29	0	MODAL	LinModal	Mode	-94,123	76,887	0	0	0	-49,1488
29	0,1815	MODAL	LinModal	Mode	-94,123	76,887	0	0	0	-63,1037
29	0,363	MODAL	LinModal	Mode	-94,123	76,887	0	0	0	-77,0587
29	0	MODAL	LinModal	Mode	-297,102	-39,497	0	0	0	-115,0657

29	0,1815 MODAL	LinModal	Mode	-297,102	-39,497	0	0	0	-107,8969
29	0,363 MODAL	LinModal	Mode	-297,102	-39,497	0	0	0	-100,7282
29	0 MODAL	LinModal	Mode	-1234,954	11451,672	0	0	0	-6058,029
29	0,1815 MODAL	LinModal	Mode	-1234,954	11451,672	0	0	0	-8136,5075
29	0,363 MODAL	LinModal	Mode	-1234,954	11451,672	0	0	0	-10214,986
29	0 MODAL	LinModal	Mode	-35836,239	-8518,859	0	0	0	-33023,3203
29	0,1815 MODAL	LinModal	Mode	-35836,239	-8518,859	0	0	0	-31477,1473
29	0,363 MODAL	LinModal	Mode	-35836,239	-8518,859	0	0	0	-29930,9743
29	0 MODAL	LinModal	Mode	22374,555	-42398,305	0	0	0	16164,5107
29	0,1815 MODAL	LinModal	Mode	22374,555	-42398,305	0	0	0	23859,8031
29	0,363 MODAL	LinModal	Mode	22374,555	-42398,305	0	0	0	31555,0955
29	0 MODAL	LinModal	Mode	-2919,838	-71065,072	0	0	0	-77976,8006
29	0,1815 MODAL	LinModal	Mode	-2919,838	-71065,072	0	0	0	-65078,49
29	0,363 MODAL	LinModal	Mode	-2919,838	-71065,072	0	0	0	-52180,1794
29	0 MODAL	LinModal	Mode	102830,252	-76491,433	0	0	0	-73955,3845
29	0,1815 MODAL	LinModal	Mode	102830,252	-76491,433	0	0	0	-60072,1895
29	0,363 MODAL	LinModal	Mode	102830,252	-76491,433	0	0	0	-46188,9945
29	0 MODAL	LinModal	Mode	412546,157	-149695,603	0	0	0	-9463,3378
29	0,1815 MODAL	LinModal	Mode	412546,157	-149695,603	0	0	0	17706,4141
29	0,363 MODAL	LinModal	Mode	412546,157	-149695,603	0	0	0	44876,1661
29	0 MODAL	LinModal	Mode	133312,126	47995,023	0	0	0	-83175,5126
29	0,1815 MODAL	LinModal	Mode	133312,126	47995,023	0	0	0	-91886,6092
29	0,363 MODAL	LinModal	Mode	133312,126	47995,023	0	0	0	-100597,706
29	0 MODAL	LinModal	Mode	2399,396	206799,188	0	0	0	-131747,787
29	0,1815 MODAL	LinModal	Mode	2399,396	206799,188	0	0	0	-169281,84
29	0,363 MODAL	LinModal	Mode	2399,396	206799,188	0	0	0	-206815,892
29	0 MODAL	LinModal	Mode	-147627,853	-87120,673	0	0	0	193784,5095
29	0,1815 MODAL	LinModal	Mode	-147627,853	-87120,673	0	0	0	209596,9117
29	0,363 MODAL	LinModal	Mode	-147627,853	-87120,673	0	0	0	225409,3138
29	0 MODAL	LinModal	Mode	1273667,808	-109080,044	0	0	0	-32425,6739
29	0,1815 MODAL	LinModal	Mode	1273667,808	-109080,044	0	0	0	-12627,6459
29	0,363 MODAL	LinModal	Mode	1273667,808	-109080,044	0	0	0	7170,382
29	0 HIP1	Combination		-56,224	-6,975	0	0	0	-20,6648
29	0,1815 HIP1	Combination		-53,468	-6,975	0	0	0	-19,3988
29	0,363 HIP1	Combination		-50,711	-6,975	0	0	0	-18,1327
29	0 HIP2	Combination		-138,966	15,366	0	0	0	-12,587
29	0,1815 HIP2	Combination		-136,209	21,451	0	0	0	-15,9355
29	0,363 HIP2	Combination		-133,453	27,051	0	0	0	-20,3443
29	0 HIP3	Combination		-138,966	15,909	0	0	0	-12,1022
29	0,1815 HIP3	Combination		-136,209	21,994	0	0	0	-15,5492
29	0,363 HIP3	Combination		-133,453	27,594	0	0	0	-20,0566
29	0 HIP4	Combination		-138,966	15,457	0	0	0	-12,5031
29	0,1815 HIP4	Combination		-136,209	21,541	0	0	0	-15,868
29	0,363 HIP4	Combination		-133,453	27,141	0	0	0	-20,2933
29	0 HIP5	Combination		-138,966	16,25	0	0	0	-11,7854
29	0,1815 HIP5	Combination		-136,209	22,335	0	0	0	-15,2943
29	0,363 HIP5	Combination		-133,453	27,935	0	0	0	-19,8636
29	0 HIP6	Combination	Max	-138,966	20,204	0	0	0	-25,8485
29	0,1815 HIP6	Combination	Max	-136,209	24,26	0	0	0	-27,8347
29	0,363 HIP6	Combination	Max	-133,453	27,993	0	0	0	-30,5278
29	0 HIP6	Combination	Min	-666,309	5,564	0	0	0	-237,1964
29	0,1815 HIP6	Combination	Min	-663,553	9,621	0	0	0	-240,6614
29	0,363 HIP6	Combination	Min	-660,796	13,354	0	0	0	-244,8332
29	0 HIP7	Combination	Max	-138,966	27,315	0	0	0	-12,0184
29	0,1815 HIP7	Combination	Max	-136,209	33,399	0	0	0	-15,4818
29	0,363 HIP7	Combination	Max	-133,453	38,999	0	0	0	-20,0055
29	0 HIP7	Combination	Min	-666,309	12,676	0	0	0	-223,3663
29	0,1815 HIP7	Combination	Min	-663,553	18,76	0	0	0	-228,3085
29	0,363 HIP7	Combination	Min	-660,796	24,36	0	0	0	-234,311
29	0 HIP8	Combination	Max	-138,966	27,023	0	0	0	-12,2702
29	0,1815 HIP8	Combination	Max	-136,209	33,108	0	0	0	-15,6806
29	0,363 HIP8	Combination	Max	-133,453	38,707	0	0	0	-20,1513
29	0 HIP8	Combination	Min	-666,309	12,384	0	0	0	-223,6181
29	0,1815 HIP8	Combination	Min	-663,553	18,468	0	0	0	-228,5073
29	0,363 HIP8	Combination	Min	-660,796	24,068	0	0	0	-234,4568
29	0 HIP9	Combination	Max	-138,966	27,315	0	0	0	-12,0184
29	0,1815 HIP9	Combination	Max	-136,209	33,399	0	0	0	-15,4818
29	0,363 HIP9	Combination	Max	-133,453	38,999	0	0	0	-20,0055
29	0 HIP9	Combination	Min	-666,309	12,676	0	0	0	-223,3663
29	0,1815 HIP9	Combination	Min	-663,553	18,76	0	0	0	-228,3085
29	0,363 HIP9	Combination	Min	-660,796	24,36	0	0	0	-234,311
29	0 HIP10	Combination		-102,937	16,843	0	0	0	1,3679
29	0,1815 HIP10	Combination		-100,896	22,928	0	0	0	-2,2487





## “Proyecto de las estructuras para la conexión peatonal de los andenes de la estación de Font de Sant Lluís en Valencia”.

29	0,363 HIP10	Combination	-98,854	28,528	0	0	0	-6,9257
29	0 HIP11	Combination	-102,937	10,184	0	0	0	-12,0553
29	0,1815 HIP11	Combination	-100,896	14,24	0	0	0	-14,2767
29	0,363 HIP11	Combination	-98,854	17,974	0	0	0	-17,205
29	0 HIP12	Combination	-102,937	9,822	0	0	0	-12,3784
29	0,1815 HIP12	Combination	-100,896	13,879	0	0	0	-14,5342
29	0,363 HIP12	Combination	-98,854	17,612	0	0	0	-17,3968
29	0 HIP13	Combination	-102,937	10,251	0	0	0	-11,9931
29	0,1815 HIP13	Combination	-100,896	14,307	0	0	0	-14,2267
29	0,363 HIP13	Combination	-98,854	18,041	0	0	0	-17,1672
29	0 HIP14	Combination	-102,937	10,056	0	0	0	-12,161
29	0,1815 HIP14	Combination	-100,896	14,113	0	0	0	-14,3592
29	0,363 HIP14	Combination	-98,854	17,846	0	0	0	-17,2644
29	0 HIP15	Combination Max	-102,937	17,728	0	0	0	-12,0553
29	0,1815 HIP15	Combination Max	-100,896	21,784	0	0	0	-14,2767
29	0,363 HIP15	Combination Max	-98,854	25,517	0	0	0	-17,205
29	0 HIP15	Combination Min	-454,5	7,968	0	0	0	-152,9538
29	0,1815 HIP15	Combination Min	-452,458	12,025	0	0	0	-156,1611
29	0,363 HIP15	Combination Min	-450,416	15,758	0	0	0	-160,0753
29	0 HIP16	Combination Max	-102,937	17,795	0	0	0	-11,9931
29	0,1815 HIP16	Combination Max	-100,896	21,851	0	0	0	-14,2267
29	0,363 HIP16	Combination Max	-98,854	25,584	0	0	0	-17,1672
29	0 HIP16	Combination Min	-454,5	8,035	0	0	0	-152,8917
29	0,1815 HIP16	Combination Min	-452,458	12,092	0	0	0	-156,1111
29	0,363 HIP16	Combination Min	-450,416	15,825	0	0	0	-160,0375
29	0 HIP17	Combination Max	-102,937	17,6	0	0	0	-12,161
29	0,1815 HIP17	Combination Max	-100,896	21,656	0	0	0	-14,3592
29	0,363 HIP17	Combination Max	-98,854	25,39	0	0	0	-17,2644
29	0 HIP17	Combination Min	-454,5	7,841	0	0	0	-153,0596
29	0,1815 HIP17	Combination Min	-452,458	11,897	0	0	0	-156,2437
29	0,363 HIP17	Combination Min	-450,416	15,63	0	0	0	-160,1347
29	0 HIP18	Combination Max	-102,937	17,795	0	0	0	-11,9931
29	0,1815 HIP18	Combination Max	-100,896	21,851	0	0	0	-14,2267
29	0,363 HIP18	Combination Max	-98,854	25,584	0	0	0	-17,1672
29	0 HIP18	Combination Min	-454,5	8,035	0	0	0	-152,8917
29	0,1815 HIP18	Combination Min	-452,458	12,092	0	0	0	-156,1111
29	0,363 HIP18	Combination Min	-450,416	15,825	0	0	0	-160,0375
29	0 HIP19	Combination	-102,937	10,184	0	0	0	-12,0553
29	0,1815 HIP19	Combination	-100,896	14,24	0	0	0	-14,2767
29	0,363 HIP19	Combination	-98,854	17,974	0	0	0	-17,205
29	0 ELU	Combination Max	-56,224	27,315	0	0	0	1,3679
29	0,1815 ELU	Combination Max	-53,468	33,399	0	0	0	-2,2487
29	0,363 ELU	Combination Max	-50,711	38,999	0	0	0	-6,9257
29	0 ELU	Combination Min	-666,309	-6,975	0	0	0	-237,1964
29	0,1815 ELU	Combination Min	-663,553	-6,975	0	0	0	-240,6614
29	0,363 ELU	Combination Min	-660,796	-6,975	0	0	0	-244,8332
29	0 ELS-DEF	Combination Max	-102,937	17,795	0	0	0	-11,9931
29	0,1815 ELS-DEF	Combination Max	-100,896	21,851	0	0	0	-14,2267
29	0,363 ELS-DEF	Combination Max	-98,854	25,584	0	0	0	-17,1672
29	0 ELS-DEF	Combination Min	-454,5	7,841	0	0	0	-153,0596
29	0,1815 ELS-DEF	Combination Min	-452,458	11,897	0	0	0	-156,2437
29	0,363 ELS-DEF	Combination Min	-450,416	15,63	0	0	0	-160,1347
29	0 HIP20	Combination	-102,937	10,748	0	0	0	-6,4379
29	0,1815 HIP20	Combination	-100,896	15,877	0	0	0	-8,8578
29	0,363 HIP20	Combination	-98,854	20,77	0	0	0	-12,1871
29	0 HIP21	Combination	-102,937	10,781	0	0	0	-6,4069
29	0,1815 HIP21	Combination	-100,896	15,911	0	0	0	-8,8328
29	0,363 HIP21	Combination	-98,854	20,803	0	0	0	-12,1681
29	0 ENV-SISMO	Combination Max	-102,937	10,781	0	0	0	-6,4069
29	0,1815 ENV-SISMO	Combination Max	-100,896	15,911	0	0	0	-8,8328
29	0,363 ENV-SISMO	Combination Max	-98,854	20,803	0	0	0	-12,1681
29	0 ENV-SISMO	Combination Min	-102,937	10,748	0	0	0	-6,4379
29	0,1815 ENV-SISMO	Combination Min	-100,896	15,877	0	0	0	-8,8578
29	0,363 ENV-SISMO	Combination Min	-98,854	20,77	0	0	0	-12,1871
29	0 HIP22	Combination	-102,937	10,284	0	0	0	-11,9621
29	0,1815 HIP22	Combination	-100,896	14,341	0	0	0	-14,2017
29	0,363 HIP22	Combination	-98,854	18,074	0	0	0	-17,1482
29	0 HIP23	Combination	-102,937	9,923	0	0	0	-12,2852
29	0,1815 HIP23	Combination	-100,896	13,979	0	0	0	-14,4592
29	0,363 HIP23	Combination	-98,854	17,712	0	0	0	-17,34
29	0 ELS-FIS	Combination Max	-102,937	10,284	0	0	0	-11,9621
29	0,1815 ELS-FIS	Combination Max	-100,896	14,341	0	0	0	-14,2017
29	0,363 ELS-FIS	Combination Max	-98,854	18,074	0	0	0	-17,1482

29	0 ELS-FIS	Combination	Min	-102,937	9,923	0	0	0	-12,2852
29	0,1815 ELS-FIS	Combination	Min	-100,896	13,979	0	0	0	-14,4592
29	0,363 ELS-FIS	Combination	Min	-98,854	17,712	0	0	0	-17,34
29	0 ENV-TREN	Combination	Max	0	7,544	0	0	0	0
29	0,1815 ENV-TREN	Combination	Max	0	7,544	0	0	0	0
29	0,363 ENV-TREN	Combination	Max	0	7,544	0	0	0	0
29	0 ENV-TREN	Combination	Min	-351,562	-2,216	0	0	0	-140,8986
29	0,1815 ENV-TREN	Combination	Min	-351,562	-2,216	0	0	0	-141,8845
29	0,363 ENV-TREN	Combination	Min	-351,562	-2,216	0	0	0	-142,8703
30	0 PP	NonStatic	Max	-37,564	-5,167	0	0	0	-13,4317
30	0,1815 PP	NonStatic	Max	-35,522	-5,167	0	0	0	-12,4939
30	0,363 PP	NonStatic	Max	-33,48	-5,167	0	0	0	-11,556
30	0 PP	NonStatic	Min	-37,564	-5,167	0	0	0	-13,4317
30	0,1815 PP	NonStatic	Min	-35,522	-5,167	0	0	0	-12,4939
30	0,363 PP	NonStatic	Min	-33,48	-5,167	0	0	0	-11,556
30	0 CM CARRIL UIC-54	NonStatic	Max	-0,9	0,014	0	0	0	-0,3657
30	0,1815 CM CARRIL UIC-54	NonStatic	Max	-0,9	0,014	0	0	0	-0,3683
30	0,363 CM CARRIL UIC-54	NonStatic	Max	-0,9	0,014	0	0	0	-0,3708
30	0 CM CARRIL UIC-54	NonStatic	Min	-0,9	0,014	0	0	0	-0,3657
30	0,1815 CM CARRIL UIC-54	NonStatic	Min	-0,9	0,014	0	0	0	-0,3683
30	0,363 CM CARRIL UIC-54	NonStatic	Min	-0,9	0,014	0	0	0	-0,3708
30	0 CM TRAVIESAS	NonStatic	Max	-4,095	0,063	0	0	0	-1,6642
30	0,1815 CM TRAVIESAS	NonStatic	Max	-4,095	0,063	0	0	0	-1,6756
30	0,363 CM TRAVIESAS	NonStatic	Max	-4,095	0,063	0	0	0	-1,6871
30	0 CM TRAVIESAS	NonStatic	Min	-4,095	0,063	0	0	0	-1,6642
30	0,1815 CM TRAVIESAS	NonStatic	Min	-4,095	0,063	0	0	0	-1,6756
30	0,363 CM TRAVIESAS	NonStatic	Min	-4,095	0,063	0	0	0	-1,6871
30	0 CM TIERRAS + BALASTO	NonStatic	Max	-56,295	0,87	0	0	0	-22,8775
30	0,1815 CM TIERRAS + BALASTO	NonStatic	Max	-56,295	0,87	0	0	0	-23,0354
30	0,363 CM TIERRAS + BALASTO	NonStatic	Max	-56,295	0,87	0	0	0	-23,1933
30	0 CM TIERRAS + BALASTO	NonStatic	Min	-56,295	0,87	0	0	0	-22,8775
30	0,1815 CM TIERRAS + BALASTO	NonStatic	Min	-56,295	0,87	0	0	0	-23,0354
30	0,363 CM TIERRAS + BALASTO	NonStatic	Min	-56,295	0,87	0	0	0	-23,1933
30	0 CM SUELO SOLERA	NonStatic	Max	1,455E-11	0,067	0	0	0	0,0378
30	0,1815 CM SUELO SOLERA	NonStatic	Max	1,455E-11	0,067	0	0	0	0,0257
30	0,363 CM SUELO SOLERA	NonStatic	Max	1,455E-11	0,067	0	0	0	0,0136
30	0 CM SUELO SOLERA	NonStatic	Min	1,455E-11	0,067	0	0	0	0,0378
30	0,1815 CM SUELO SOLERA	NonStatic	Min	1,455E-11	0,067	0	0	0	0,0257
30	0,363 CM SUELO SOLERA	NonStatic	Min	1,455E-11	0,067	0	0	0	0,0136
30	0 SBC SUELO SOLERA	NonStatic	Max	4,366E-11	0,167	0	0	0	0,0946
30	0,1815 SBC SUELO SOLERA	NonStatic	Max	4,366E-11	0,167	0	0	0	0,0643
30	0,363 SBC SUELO SOLERA	NonStatic	Max	4,366E-11	0,167	0	0	0	0,0339
30	0 SBC SUELO SOLERA	NonStatic	Min	4,366E-11	0,167	0	0	0	0,0946
30	0,1815 SBC SUELO SOLERA	NonStatic	Min	4,366E-11	0,167	0	0	0	0,0643
30	0,363 SBC SUELO SOLERA	NonStatic	Min	4,366E-11	0,167	0	0	0	0,0339
30	0 EMPUJE TIERRAS	NonStatic	Max	-9,095E-13	21,832	0	0	0	20,9423
30	0,1815 EMPUJE TIERRAS	NonStatic	Max	-9,095E-13	25,242	0	0	0	16,6654
30	0,363 EMPUJE TIERRAS	NonStatic	Max	-9,095E-13	28,33	0	0	0	11,7989
30	0 EMPUJE TIERRAS	NonStatic	Min	-9,095E-13	21,832	0	0	0	20,9423
30	0,1815 EMPUJE TIERRAS	NonStatic	Min	-9,095E-13	25,242	0	0	0	16,6654
30	0,363 EMPUJE TIERRAS	NonStatic	Min	-9,095E-13	28,33	0	0	0	11,7989
30	0 EMPUJE AGUA	LinStatic		-1,164E-10	0,362	0	0	0	0,1918
30	0,1815 EMPUJE AGUA	LinStatic		-1,164E-10	0,362	0	0	0	0,1261
30	0,363 EMPUJE AGUA	LinStatic		-1,164E-10	0,362	0	0	0	0,0605
30	0 SISMO	NonStatic	Max	-1,137E-13	2,796	0	0	0	5,0179
30	0,1815 SISMO	NonStatic	Max	-1,137E-13	4,041	0	0	0	4,3988
30	0,363 SISMO	NonStatic	Max	-1,137E-13	5,371	0	0	0	3,5459
30	0 SISMO	NonStatic	Min	-1,137E-13	2,796	0	0	0	5,0179
30	0,1815 SISMO	NonStatic	Min	-1,137E-13	4,041	0	0	0	4,3988
30	0,363 SISMO	NonStatic	Min	-1,137E-13	5,371	0	0	0	3,5459
30	0 MODAL	LinModal	Mode	-88,96	70,966	0	0	0	-77,0587
30	0,1815 MODAL	LinModal	Mode	-88,96	70,966	0	0	0	-89,9389
30	0,363 MODAL	LinModal	Mode	-88,96	70,966	0	0	0	-102,8192
30	0 MODAL	LinModal	Mode	-266,549	-39,603	0	0	0	-100,7282
30	0,1815 MODAL	LinModal	Mode	-266,549	-39,603	0	0	0	-93,5402
30	0,363 MODAL	LinModal	Mode	-266,549	-39,603	0	0	0	-86,3522
30	0 MODAL	LinModal	Mode	-2550,11	10439,824	0	0	0	-10214,986
30	0,1815 MODAL	LinModal	Mode	-2550,11	10439,824	0	0	0	-12109,8141
30	0,363 MODAL	LinModal	Mode	-2550,11	10439,824	0	0	0	-14004,6422
30	0 MODAL	LinModal	Mode	-35827,157	-13406,192	0	0	0	-29930,9743
30	0,1815 MODAL	LinModal	Mode	-35827,157	-13406,192	0	0	0	-27497,7506
30	0,363 MODAL	LinModal	Mode	-35827,157	-13406,192	0	0	0	-25064,5268
30	0 MODAL	LinModal	Mode	37234,075	-37443,574	0	0	0	31555,0955





## “Proyecto de las estructuras para la conexión peatonal de los andenes de la estación de Font de Sant Lluís en Valencia”.

30	0,1815 MODAL	LinModal	Mode	37234,075	-37443,574	0	0	0	38351,1042
30	0,363 MODAL	LinModal	Mode	37234,075	-37443,574	0	0	0	45147,1128
30	0 MODAL	LinModal	Mode	-2939,491	-98054,409	0	0	0	-52180,1794
30	0,1815 MODAL	LinModal	Mode	-2939,491	-98054,409	0	0	0	-34383,3042
30	0,363 MODAL	LinModal	Mode	-2939,491	-98054,409	0	0	0	-16586,429
30	0 MODAL	LinModal	Mode	102058,863	-117031,568	0	0	0	-46188,9945
30	0,1815 MODAL	LinModal	Mode	102058,863	-117031,568	0	0	0	-24947,765
30	0,363 MODAL	LinModal	Mode	102058,863	-117031,568	0	0	0	-3706,5354
30	0 MODAL	LinModal	Mode	424447,718	-139410,95	0	0	0	44876,1661
30	0,1815 MODAL	LinModal	Mode	424447,718	-139410,95	0	0	0	70179,2536
30	0,363 MODAL	LinModal	Mode	424447,718	-139410,95	0	0	0	95482,3411
30	0 MODAL	LinModal	Mode	82040,901	-38778,108	0	0	0	-100597,706
30	0,1815 MODAL	LinModal	Mode	82040,901	-38778,108	0	0	0	-93559,4792
30	0,363 MODAL	LinModal	Mode	82040,901	-38778,108	0	0	0	-86521,2526
30	0 MODAL	LinModal	Mode	4020,253	-48689,939	0	0	0	-206815,892
30	0,1815 MODAL	LinModal	Mode	4020,253	-48689,939	0	0	0	-197978,669
30	0,363 MODAL	LinModal	Mode	4020,253	-48689,939	0	0	0	-189141,445
30	0 MODAL	LinModal	Mode	-200478,959	233258,339	0	0	0	225409,3138
30	0,1815 MODAL	LinModal	Mode	-200478,959	233258,339	0	0	0	183072,9254
30	0,363 MODAL	LinModal	Mode	-200478,959	233258,339	0	0	0	140736,5369
30	0 MODAL	LinModal	Mode	1186128,49	-128436,395	0	0	0	7170,382
30	0,1815 MODAL	LinModal	Mode	1186128,49	-128436,395	0	0	0	30481,5878
30	0,363 MODAL	LinModal	Mode	1186128,49	-128436,395	0	0	0	53792,7935
30	0 HIP1	Combination		-50,711	-6,975	0	0	0	-18,1327
30	0,1815 HIP1	Combination		-47,955	-6,975	0	0	0	-16,8667
30	0,363 HIP1	Combination		-45,198	-6,975	0	0	0	-15,6007
30	0 HIP2	Combination		-133,453	27,051	0	0	0	-20,3443
30	0,1815 HIP2	Combination		-130,696	32,166	0	0	0	-25,7256
30	0,363 HIP2	Combination		-127,939	36,797	0	0	0	-31,9914
30	0 HIP3	Combination		-133,453	27,594	0	0	0	-20,0566
30	0,1815 HIP3	Combination		-130,696	32,709	0	0	0	-25,5364
30	0,363 HIP3	Combination		-127,939	37,34	0	0	0	-31,9007
30	0 HIP4	Combination		-133,453	27,141	0	0	0	-20,2933
30	0,1815 HIP4	Combination		-130,696	32,257	0	0	0	-25,6909
30	0,363 HIP4	Combination		-127,939	36,888	0	0	0	-31,9731
30	0 HIP5	Combination		-133,453	27,935	0	0	0	-19,8636
30	0,1815 HIP5	Combination		-130,696	33,05	0	0	0	-25,4053
30	0,363 HIP5	Combination		-127,939	37,681	0	0	0	-31,8315
30	0 HIP6	Combination	Max	-133,453	27,993	0	0	0	-30,5278
30	0,1815 HIP6	Combination	Max	-130,696	31,404	0	0	0	-33,8691
30	0,363 HIP6	Combination	Max	-127,939	34,491	0	0	0	-37,8002
30	0 HIP6	Combination	Min	-660,796	13,354	0	0	0	-244,8332
30	0,1815 HIP6	Combination	Min	-658,04	16,764	0	0	0	-249,6534
30	0,363 HIP6	Combination	Min	-655,283	19,852	0	0	0	-255,0632
30	0 HIP7	Combination	Max	-133,453	38,999	0	0	0	-20,0055
30	0,1815 HIP7	Combination	Max	-130,696	44,115	0	0	0	-25,5017
30	0,363 HIP7	Combination	Max	-127,939	48,746	0	0	0	-31,8824
30	0 HIP7	Combination	Min	-660,796	24,36	0	0	0	-234,311
30	0,1815 HIP7	Combination	Min	-658,04	29,476	0	0	0	-241,286
30	0,363 HIP7	Combination	Min	-655,283	34,107	0	0	0	-249,1455
30	0 HIP8	Combination	Max	-133,453	38,707	0	0	0	-20,1513
30	0,1815 HIP8	Combination	Max	-130,696	43,823	0	0	0	-25,5945
30	0,363 HIP8	Combination	Max	-127,939	48,454	0	0	0	-31,9222
30	0 HIP8	Combination	Min	-660,796	24,068	0	0	0	-234,4568
30	0,1815 HIP8	Combination	Min	-658,04	29,184	0	0	0	-241,3788
30	0,363 HIP8	Combination	Min	-655,283	33,815	0	0	0	-249,1853
30	0 HIP9	Combination	Max	-133,453	38,999	0	0	0	-20,0055
30	0,1815 HIP9	Combination	Max	-130,696	44,115	0	0	0	-25,5017
30	0,363 HIP9	Combination	Max	-127,939	48,746	0	0	0	-31,8824
30	0 HIP9	Combination	Min	-660,796	24,36	0	0	0	-234,311
30	0,1815 HIP9	Combination	Min	-658,04	29,476	0	0	0	-241,286
30	0,363 HIP9	Combination	Min	-655,283	34,107	0	0	0	-249,1455
30	0 HIP10	Combination		-98,854	28,528	0	0	0	-6,9257
30	0,1815 HIP10	Combination		-96,812	33,643	0	0	0	-12,575
30	0,363 HIP10	Combination		-94,77	38,274	0	0	0	-19,1089
30	0 HIP11	Combination		-98,854	17,974	0	0	0	-17,205
30	0,1815 HIP11	Combination		-96,812	21,384	0	0	0	-20,7816
30	0,363 HIP11	Combination		-94,77	24,471	0	0	0	-24,9479
30	0 HIP12	Combination		-98,854	17,612	0	0	0	-17,3968
30	0,1815 HIP12	Combination		-96,812	21,022	0	0	0	-20,9077
30	0,363 HIP12	Combination		-94,77	24,11	0	0	0	-25,0083
30	0 HIP13	Combination		-98,854	18,041	0	0	0	-17,1672
30	0,1815 HIP13	Combination		-96,812	21,451	0	0	0	-20,7559

30	0,363 HIP13	Combination	-94,77	24,538	0	0	0	-24,9343
30	0 HIP14	Combination	-98,854	17,846	0	0	0	-17,2644
30	0,1815 HIP14	Combination	-96,812	21,256	0	0	0	-20,8178
30	0,363 HIP14	Combination	-94,77	24,344	0	0	0	-24,9609
30	0 HIP15	Combination Max	-98,854	25,517	0	0	0	-17,205
30	0,1815 HIP15	Combination Max	-96,812	28,928	0	0	0	-20,7816
30	0,363 HIP15	Combination Max	-94,77	32,015	0	0	0	-24,9479
30	0 HIP15	Combination Min	-450,416	15,758	0	0	0	-160,0753
30	0,1815 HIP15	Combination Min	-448,374	19,168	0	0	0	-164,6378
30	0,363 HIP15	Combination Min	-446,332	22,256	0	0	0	-169,7899
30	0 HIP16	Combination Max	-98,854	25,584	0	0	0	-17,1672
30	0,1815 HIP16	Combination Max	-96,812	28,995	0	0	0	-20,7559
30	0,363 HIP16	Combination Max	-94,77	32,082	0	0	0	-24,9343
30	0 HIP16	Combination Min	-450,416	15,825	0	0	0	-160,0375
30	0,1815 HIP16	Combination Min	-448,374	19,235	0	0	0	-164,6121
30	0,363 HIP16	Combination Min	-446,332	22,322	0	0	0	-169,7764
30	0 HIP17	Combination Max	-98,854	25,39	0	0	0	-17,2644
30	0,1815 HIP17	Combination Max	-96,812	28,8	0	0	0	-20,8178
30	0,363 HIP17	Combination Max	-94,77	31,887	0	0	0	-24,9609
30	0 HIP17	Combination Min	-450,416	15,63	0	0	0	-160,1347
30	0,1815 HIP17	Combination Min	-448,374	19,041	0	0	0	-164,674
30	0,363 HIP17	Combination Min	-446,332	22,128	0	0	0	-169,8029
30	0 HIP18	Combination Max	-98,854	25,584	0	0	0	-17,1672
30	0,1815 HIP18	Combination Max	-96,812	28,995	0	0	0	-20,7559
30	0,363 HIP18	Combination Max	-94,77	32,082	0	0	0	-24,9343
30	0 HIP18	Combination Min	-450,416	15,825	0	0	0	-160,0375
30	0,1815 HIP18	Combination Min	-448,374	19,235	0	0	0	-164,6121
30	0,363 HIP18	Combination Min	-446,332	22,322	0	0	0	-169,7764
30	0 HIP19	Combination	-98,854	17,974	0	0	0	-17,205
30	0,1815 HIP19	Combination	-96,812	21,384	0	0	0	-20,7816
30	0,363 HIP19	Combination	-94,77	24,471	0	0	0	-24,9479
30	0 ELU	Combination Max	-50,711	38,999	0	0	0	-6,9257
30	0,1815 ELU	Combination Max	-47,955	44,115	0	0	0	-12,575
30	0,363 ELU	Combination Max	-45,198	48,746	0	0	0	-15,6007
30	0 ELU	Combination Min	-660,796	-6,975	0	0	0	-244,8332
30	0,1815 ELU	Combination Min	-658,04	-6,975	0	0	0	-249,6534
30	0,363 ELU	Combination Min	-655,283	-6,975	0	0	0	-255,0632
30	0 ELS-DEF	Combination Max	-98,854	25,584	0	0	0	-17,1672
30	0,1815 ELS-DEF	Combination Max	-96,812	28,995	0	0	0	-20,7559
30	0,363 ELS-DEF	Combination Max	-94,77	32,082	0	0	0	-24,9343
30	0 ELS-DEF	Combination Min	-450,416	15,63	0	0	0	-160,1347
30	0,1815 ELS-DEF	Combination Min	-448,374	19,041	0	0	0	-164,674
30	0,363 ELS-DEF	Combination Min	-446,332	22,128	0	0	0	-169,8029
30	0 HIP20	Combination	-98,854	20,77	0	0	0	-12,1871
30	0,1815 HIP20	Combination	-96,812	25,425	0	0	0	-16,3828
30	0,363 HIP20	Combination	-94,77	29,843	0	0	0	-21,4019
30	0 HIP21	Combination	-98,854	20,803	0	0	0	-12,1681
30	0,1815 HIP21	Combination	-96,812	25,458	0	0	0	-16,37
30	0,363 HIP21	Combination	-94,77	29,876	0	0	0	-21,3952
30	0 ENV-SISMO	Combination Max	-98,854	20,803	0	0	0	-12,1681
30	0,1815 ENV-SISMO	Combination Max	-96,812	25,458	0	0	0	-16,37
30	0,363 ENV-SISMO	Combination Max	-94,77	29,876	0	0	0	-21,3952
30	0 ENV-SISMO	Combination Min	-98,854	20,77	0	0	0	-12,1871
30	0,1815 ENV-SISMO	Combination Min	-96,812	25,425	0	0	0	-16,3828
30	0,363 ENV-SISMO	Combination Min	-94,77	29,843	0	0	0	-21,4019
30	0 HIP22	Combination	-98,854	18,074	0	0	0	-17,1482
30	0,1815 HIP22	Combination	-96,812	21,484	0	0	0	-20,743
30	0,363 HIP22	Combination	-94,77	24,572	0	0	0	-24,9275
30	0 HIP23	Combination	-98,854	17,712	0	0	0	-17,34
30	0,1815 HIP23	Combination	-96,812	21,123	0	0	0	-20,8692
30	0,363 HIP23	Combination	-94,77	24,21	0	0	0	-24,988
30	0 ELS-FIS	Combination Max	-98,854	18,074	0	0	0	-17,1482
30	0,1815 ELS-FIS	Combination Max	-96,812	21,484	0	0	0	-20,743
30	0,363 ELS-FIS	Combination Max	-94,77	24,572	0	0	0	-24,9275
30	0 ELS-FIS	Combination Min	-98,854	17,712	0	0	0	-17,34
30	0,1815 ELS-FIS	Combination Min	-96,812	21,123	0	0	0	-20,8692
30	0,363 ELS-FIS	Combination Min	-94,77	24,21	0	0	0	-24,988
30	0 ENV-TREN	Combination Max	0	7,544	0	0	0	0
30	0,1815 ENV-TREN	Combination Max	0	7,544	0	0	0	0
30	0,363 ENV-TREN	Combination Max	0	7,544	0	0	0	0
30	0 ENV-TREN	Combination Min	-351,562	-2,216	0	0	0	-142,8703
30	0,1815 ENV-TREN	Combination Min	-351,562	-2,216	0	0	0	-143,8562
30	0,363 ENV-TREN	Combination Min	-351,562	-2,216	0	0	0	-144,842



“Proyecto de las estructuras para la conexión peatonal de los andenes  
de la estación de Font de Sant Lluís en Valencia”.

31	0 PP	NonStatic	Max	-33,48	-5,167	0	0	0	-11,556
31	0,1815 PP	NonStatic	Max	-31,438	-5,167	0	0	0	-10,6182
31	0,363 PP	NonStatic	Max	-29,396	-5,167	0	0	0	-9,6804
31	0 PP	NonStatic	Min	-33,48	-5,167	0	0	0	-11,556
31	0,1815 PP	NonStatic	Min	-31,438	-5,167	0	0	0	-10,6182
31	0,363 PP	NonStatic	Min	-29,396	-5,167	0	0	0	-9,6804
31	0 CM CARRIL UIC-54	NonStatic	Max	-0,9	0,014	0	0	0	-0,3708
31	0,1815 CM CARRIL UIC-54	NonStatic	Max	-0,9	0,014	0	0	0	-0,3733
31	0,363 CM CARRIL UIC-54	NonStatic	Max	-0,9	0,014	0	0	0	-0,3758
31	0 CM CARRIL UIC-54	NonStatic	Min	-0,9	0,014	0	0	0	-0,3708
31	0,1815 CM CARRIL UIC-54	NonStatic	Min	-0,9	0,014	0	0	0	-0,3733
31	0,363 CM CARRIL UIC-54	NonStatic	Min	-0,9	0,014	0	0	0	-0,3758
31	0 CM TRAVIESAS	NonStatic	Max	-4,095	0,063	0	0	0	-1,6871
31	0,1815 CM TRAVIESAS	NonStatic	Max	-4,095	0,063	0	0	0	-1,6986
31	0,363 CM TRAVIESAS	NonStatic	Max	-4,095	0,063	0	0	0	-1,7101
31	0 CM TRAVIESAS	NonStatic	Min	-4,095	0,063	0	0	0	-1,6871
31	0,1815 CM TRAVIESAS	NonStatic	Min	-4,095	0,063	0	0	0	-1,6986
31	0,363 CM TRAVIESAS	NonStatic	Min	-4,095	0,063	0	0	0	-1,7101
31	0 CM TIERRAS + BALASTO	NonStatic	Max	-56,295	0,87	0	0	0	-23,1933
31	0,1815 CM TIERRAS + BALASTO	NonStatic	Max	-56,295	0,87	0	0	0	-23,3511
31	0,363 CM TIERRAS + BALASTO	NonStatic	Max	-56,295	0,87	0	0	0	-23,509
31	0 CM TIERRAS + BALASTO	NonStatic	Min	-56,295	0,87	0	0	0	-23,1933
31	0,1815 CM TIERRAS + BALASTO	NonStatic	Min	-56,295	0,87	0	0	0	-23,3511
31	0,363 CM TIERRAS + BALASTO	NonStatic	Min	-56,295	0,87	0	0	0	-23,509
31	0 CM SUELO SOLERA	NonStatic	Max	0	0,067	0	0	0	0,0136
31	0,1815 CM SUELO SOLERA	NonStatic	Max	0	0,067	0	0	0	0,0014
31	0,363 CM SUELO SOLERA	NonStatic	Max	0	0,067	0	0	0	-0,0107
31	0 CM SUELO SOLERA	NonStatic	Min	0	0,067	0	0	0	0,0136
31	0,1815 CM SUELO SOLERA	NonStatic	Min	0	0,067	0	0	0	0,0014
31	0,363 CM SUELO SOLERA	NonStatic	Min	0	0,067	0	0	0	-0,0107
31	0 SBC SUELO SOLERA	NonStatic	Max	0	0,167	0	0	0	0,0339
31	0,1815 SBC SUELO SOLERA	NonStatic	Max	0	0,167	0	0	0	0,0036
31	0,363 SBC SUELO SOLERA	NonStatic	Max	0	0,167	0	0	0	-0,0268
31	0 SBC SUELO SOLERA	NonStatic	Min	0	0,167	0	0	0	0,0339
31	0,1815 SBC SUELO SOLERA	NonStatic	Min	0	0,167	0	0	0	0,0036
31	0,363 SBC SUELO SOLERA	NonStatic	Min	0	0,167	0	0	0	-0,0268
31	0 EMPUJE TIERRAS	NonStatic	Max	0	28,33	0	0	0	11,7989
31	0,1815 EMPUJE TIERRAS	NonStatic	Max	0	31,094	0	0	0	6,4013
31	0,363 EMPUJE TIERRAS	NonStatic	Max	0	33,535	0	0	0	0,5314
31	0 EMPUJE TIERRAS	NonStatic	Min	0	28,33	0	0	0	11,7989
31	0,1815 EMPUJE TIERRAS	NonStatic	Min	0	31,094	0	0	0	6,4013
31	0,363 EMPUJE TIERRAS	NonStatic	Min	0	33,535	0	0	0	0,5314
31	0 EMPUJE AGUA	LinStatic		0	0,362	0	0	0	0,0605
31	0,1815 EMPUJE AGUA	LinStatic		0	0,362	0	0	0	-0,0052
31	0,363 EMPUJE AGUA	LinStatic		0	0,362	0	0	0	-0,0709
31	0 SISMO	NonStatic	Max	0	5,371	0	0	0	3,5459
31	0,1815 SISMO	NonStatic	Max	0	6,788	0	0	0	2,4438
31	0,363 SISMO	NonStatic	Max	0	8,29	0	0	0	1,0767
31	0 SISMO	NonStatic	Min	0	5,371	0	0	0	3,5459
31	0,1815 SISMO	NonStatic	Min	0	6,788	0	0	0	2,4438
31	0,363 SISMO	NonStatic	Min	0	8,29	0	0	0	1,0767
31	0 MODAL	LinModal	Mode	-83,797	64,2	0	0	0	-102,8192
31	0,1815 MODAL	LinModal	Mode	-83,797	64,2	0	0	0	-114,4714
31	0,363 MODAL	LinModal	Mode	-83,797	64,2	0	0	0	-126,1237
31	0 MODAL	LinModal	Mode	-235,996	-39,681	0	0	0	-86,3522
31	0,1815 MODAL	LinModal	Mode	-235,996	-39,681	0	0	0	-79,15
31	0,363 MODAL	LinModal	Mode	-235,996	-39,681	0	0	0	-71,9479
31	0 MODAL	LinModal	Mode	-3864,82	9305,433	0	0	0	-14004,6422
31	0,1815 MODAL	LinModal	Mode	-3864,82	9305,433	0	0	0	-15693,5782
31	0,363 MODAL	LinModal	Mode	-3864,82	9305,433	0	0	0	-17382,5142
31	0 MODAL	LinModal	Mode	-35792,454	-17050,227	0	0	0	-25064,5268
31	0,1815 MODAL	LinModal	Mode	-35792,454	-17050,227	0	0	0	-21969,9106
31	0,363 MODAL	LinModal	Mode	-35792,454	-17050,227	0	0	0	-18875,2945
31	0 MODAL	LinModal	Mode	52010,073	-31891,109	0	0	0	45147,1128
31	0,1815 MODAL	LinModal	Mode	52010,073	-31891,109	0	0	0	50935,3491
31	0,363 MODAL	LinModal	Mode	52010,073	-31891,109	0	0	0	56723,5854
31	0 MODAL	LinModal	Mode	-2950,589	-111044,777	0	0	0	-16586,429
31	0,1815 MODAL	LinModal	Mode	-2950,589	-111044,777	0	0	0	3568,198
31	0,363 MODAL	LinModal	Mode	-2950,589	-111044,777	0	0	0	23722,825
31	0 MODAL	LinModal	Mode	100919,903	-144371,169	0	0	0	-3706,5354
31	0,1815 MODAL	LinModal	Mode	100919,903	-144371,169	0	0	0	22496,8317
31	0,363 MODAL	LinModal	Mode	100919,903	-144371,169	0	0	0	48700,1988
31	0 MODAL	LinModal	Mode	431552,939	-102910,538	0	0	0	95482,3411



31	0,1815 MODAL	LinModal	Mode	431552,939	-102910,538	0	0	0	114160,6037
31	0,363 MODAL	LinModal	Mode	431552,939	-102910,538	0	0	0	132838,8663
31	0 MODAL	LinModal	Mode	29801,023	-110207,575	0	0	0	-86521,2526
31	0,1815 MODAL	LinModal	Mode	29801,023	-110207,575	0	0	0	-66518,5778
31	0,363 MODAL	LinModal	Mode	29801,023	-110207,575	0	0	0	-46515,903
31	0 MODAL	LinModal	Mode	5567,186	-313979,805	0	0	0	-189141,445
31	0,1815 MODAL	LinModal	Mode	5567,186	-313979,805	0	0	0	-132154,11
31	0,363 MODAL	LinModal	Mode	5567,186	-313979,805	0	0	0	-75166,7757
31	0 MODAL	LinModal	Mode	-248269,409	480438,241	0	0	0	140736,5369
31	0,1815 MODAL	LinModal	Mode	-248269,409	480438,241	0	0	0	53536,9962
31	0,363 MODAL	LinModal	Mode	-248269,409	480438,241	0	0	0	-33662,5445
31	0 MODAL	LinModal	Mode	1058483,471	-105148,367	0	0	0	53792,7935
31	0,1815 MODAL	LinModal	Mode	1058483,471	-105148,367	0	0	0	72877,222
31	0,363 MODAL	LinModal	Mode	1058483,471	-105148,367	0	0	0	91961,6505
31	0 HIP1	Combination		-45,198	-6,975	0	0	0	-15,6007
31	0,1815 HIP1	Combination		-42,441	-6,975	0	0	0	-14,3346
31	0,363 HIP1	Combination		-39,685	-6,975	0	0	0	-13,0686
31	0 HIP2	Combination		-127,94	36,797	0	0	0	-31,9914
31	0,1815 HIP2	Combination		-125,183	40,944	0	0	0	-39,0537
31	0,363 HIP2	Combination		-122,426	44,605	0	0	0	-46,8247
31	0 HIP3	Combination		-127,94	37,34	0	0	0	-31,9007
31	0,1815 HIP3	Combination		-125,183	41,486	0	0	0	-39,0616
31	0,363 HIP3	Combination		-122,426	45,148	0	0	0	-46,931
31	0 HIP4	Combination		-127,94	36,888	0	0	0	-31,9731
31	0,1815 HIP4	Combination		-125,183	41,034	0	0	0	-39,0518
31	0,363 HIP4	Combination		-122,426	44,696	0	0	0	-46,8391
31	0 HIP5	Combination		-127,94	37,681	0	0	0	-31,8315
31	0,1815 HIP5	Combination		-125,183	41,828	0	0	0	-39,0543
31	0,363 HIP5	Combination		-122,426	45,489	0	0	0	-46,9856
31	0 HIP6	Combination	Max	-127,94	34,491	0	0	0	-37,8002
31	0,1815 HIP6	Combination	Max	-125,183	37,255	0	0	0	-42,2622
31	0,363 HIP6	Combination	Max	-122,426	39,696	0	0	0	-47,1967
31	0 HIP6	Combination	Min	-655,283	19,852	0	0	0	-255,0632
31	0,1815 HIP6	Combination	Min	-652,527	22,616	0	0	0	-261,0041
31	0,363 HIP6	Combination	Min	-649,77	25,057	0	0	0	-267,4174
31	0 HIP7	Combination	Max	-127,94	48,746	0	0	0	-31,8824
31	0,1815 HIP7	Combination	Max	-125,183	52,892	0	0	0	-39,0597
31	0,363 HIP7	Combination	Max	-122,426	56,554	0	0	0	-46,9455
31	0 HIP7	Combination	Min	-655,283	34,107	0	0	0	-249,1455
31	0,1815 HIP7	Combination	Min	-652,527	38,253	0	0	0	-257,8015
31	0,363 HIP7	Combination	Min	-649,77	41,915	0	0	0	-267,1661
31	0 HIP8	Combination	Max	-127,94	48,454	0	0	0	-31,9222
31	0,1815 HIP8	Combination	Max	-125,183	52,6	0	0	0	-39,0465
31	0,363 HIP8	Combination	Max	-122,426	56,262	0	0	0	-46,8793
31	0 HIP8	Combination	Min	-655,283	33,815	0	0	0	-249,1853
31	0,1815 HIP8	Combination	Min	-652,527	37,961	0	0	0	-257,7883
31	0,363 HIP8	Combination	Min	-649,77	41,623	0	0	0	-267,0999
31	0 HIP9	Combination	Max	-127,94	48,746	0	0	0	-31,8824
31	0,1815 HIP9	Combination	Max	-125,183	52,892	0	0	0	-39,0597
31	0,363 HIP9	Combination	Max	-122,426	56,554	0	0	0	-46,9455
31	0 HIP9	Combination	Min	-655,283	34,107	0	0	0	-249,1455
31	0,1815 HIP9	Combination	Min	-652,527	38,253	0	0	0	-257,8015
31	0,363 HIP9	Combination	Min	-649,77	41,915	0	0	0	-267,1661
31	0 HIP10	Combination		-94,77	38,274	0	0	0	-19,1089
31	0,1815 HIP10	Combination		-92,728	42,421	0	0	0	-26,4393
31	0,363 HIP10	Combination		-90,686	46,082	0	0	0	-34,4783
31	0 HIP11	Combination		-94,77	24,471	0	0	0	-24,9479
31	0,1815 HIP11	Combination		-92,728	27,236	0	0	0	-29,6452
31	0,363 HIP11	Combination		-90,686	29,677	0	0	0	-34,8149
31	0 HIP12	Combination		-94,77	24,11	0	0	0	-25,0083
31	0,1815 HIP12	Combination		-92,728	26,874	0	0	0	-29,64
31	0,363 HIP12	Combination		-90,686	29,315	0	0	0	-34,744
31	0 HIP13	Combination		-94,77	24,538	0	0	0	-24,9343
31	0,1815 HIP13	Combination		-92,728	27,303	0	0	0	-29,6438
31	0,363 HIP13	Combination		-90,686	29,744	0	0	0	-34,8256
31	0 HIP14	Combination		-94,77	24,344	0	0	0	-24,9609
31	0,1815 HIP14	Combination		-92,728	27,108	0	0	0	-29,635
31	0,363 HIP14	Combination		-90,686	29,549	0	0	0	-34,7815
31	0 HIP15	Combination	Max	-94,77	32,015	0	0	0	-24,9479
31	0,1815 HIP15	Combination	Max	-92,728	34,779	0	0	0	-29,6452
31	0,363 HIP15	Combination	Max	-90,686	37,221	0	0	0	-34,8149
31	0 HIP15	Combination	Min	-446,333	22,256	0	0	0	-169,7899
31	0,1815 HIP15	Combination	Min	-444,291	25,02	0	0	0	-175,4731



## “Proyecto de las estructuras para la conexión peatonal de los andenes de la estación de Font de Sant Lluís en Valencia”.

31	0,363 HIP15	Combination	Min	-442,249	27,461	0	0	0	-181,6287
31	0 HIP16	Combination	Max	-94,77	32,082	0	0	0	-24,9343
31	0,1815 HIP16	Combination	Max	-92,728	34,846	0	0	0	-29,6438
31	0,363 HIP16	Combination	Max	-90,686	37,287	0	0	0	-34,8256
31	0 HIP16	Combination	Min	-446,333	22,322	0	0	0	-169,7764
31	0,1815 HIP16	Combination	Min	-444,291	25,087	0	0	0	-175,4717
31	0,363 HIP16	Combination	Min	-442,249	27,528	0	0	0	-181,6394
31	0 HIP17	Combination	Max	-94,77	31,887	0	0	0	-24,9609
31	0,1815 HIP17	Combination	Max	-92,728	34,652	0	0	0	-29,635
31	0,363 HIP17	Combination	Max	-90,686	37,093	0	0	0	-34,7815
31	0 HIP17	Combination	Min	-446,333	22,128	0	0	0	-169,8029
31	0,1815 HIP17	Combination	Min	-444,291	24,892	0	0	0	-175,4629
31	0,363 HIP17	Combination	Min	-442,249	27,333	0	0	0	-181,5952
31	0 HIP18	Combination	Max	-94,77	32,082	0	0	0	-24,9343
31	0,1815 HIP18	Combination	Max	-92,728	34,846	0	0	0	-29,6438
31	0,363 HIP18	Combination	Max	-90,686	37,287	0	0	0	-34,8256
31	0 HIP18	Combination	Min	-446,333	22,322	0	0	0	-169,7764
31	0,1815 HIP18	Combination	Min	-444,291	25,087	0	0	0	-175,4717
31	0,363 HIP18	Combination	Min	-442,249	27,528	0	0	0	-181,6394
31	0 HIP19	Combination	Max	-94,77	24,471	0	0	0	-24,9479
31	0,1815 HIP19	Combination	Max	-92,728	27,236	0	0	0	-29,6452
31	0,363 HIP19	Combination	Max	-90,686	29,677	0	0	0	-34,8149
31	0 ELU	Combination	Max	-45,198	48,746	0	0	0	-15,6007
31	0,1815 ELU	Combination	Max	-42,441	52,892	0	0	0	-14,3346
31	0,363 ELU	Combination	Max	-39,685	56,554	0	0	0	-13,0686
31	0 ELU	Combination	Min	-655,283	-6,975	0	0	0	-255,0632
31	0,1815 ELU	Combination	Min	-652,527	-6,975	0	0	0	-261,0041
31	0,363 ELU	Combination	Min	-649,77	-6,975	0	0	0	-267,4174
31	0 ELS-DEF	Combination	Max	-94,77	32,082	0	0	0	-24,9343
31	0,1815 ELS-DEF	Combination	Max	-92,728	34,846	0	0	0	-29,635
31	0,363 ELS-DEF	Combination	Max	-90,686	37,287	0	0	0	-34,744
31	0 ELS-DEF	Combination	Min	-446,333	22,128	0	0	0	-169,8029
31	0,1815 ELS-DEF	Combination	Min	-444,291	24,892	0	0	0	-175,4731
31	0,363 ELS-DEF	Combination	Min	-442,249	27,333	0	0	0	-181,6394
31	0 HIP20	Combination	Max	-94,77	29,843	0	0	0	-21,4019
31	0,1815 HIP20	Combination	Max	-92,728	34,024	0	0	0	-27,2014
31	0,363 HIP20	Combination	Max	-90,686	37,967	0	0	0	-33,7381
31	0 HIP21	Combination	Max	-94,77	29,876	0	0	0	-21,3952
31	0,1815 HIP21	Combination	Max	-92,728	34,057	0	0	0	-27,2007
31	0,363 HIP21	Combination	Max	-90,686	38,001	0	0	0	-33,7435
31	0 ENV-SISMO	Combination	Max	-94,77	29,876	0	0	0	-21,3952
31	0,1815 ENV-SISMO	Combination	Max	-92,728	34,057	0	0	0	-27,2007
31	0,363 ENV-SISMO	Combination	Max	-90,686	38,001	0	0	0	-33,7381
31	0 ENV-SISMO	Combination	Min	-94,77	29,843	0	0	0	-21,4019
31	0,1815 ENV-SISMO	Combination	Min	-92,728	34,024	0	0	0	-27,2014
31	0,363 ENV-SISMO	Combination	Min	-90,686	37,967	0	0	0	-33,7435
31	0 HIP22	Combination	Max	-94,77	24,572	0	0	0	-24,9275
31	0,1815 HIP22	Combination	Max	-92,728	27,336	0	0	0	-29,643
31	0,363 HIP22	Combination	Max	-90,686	29,777	0	0	0	-34,8309
31	0 HIP23	Combination	Max	-94,77	24,21	0	0	0	-24,988
31	0,1815 HIP23	Combination	Max	-92,728	26,974	0	0	0	-29,6378
31	0,363 HIP23	Combination	Max	-90,686	29,415	0	0	0	-34,76
31	0 ELS-FIS	Combination	Max	-94,77	24,572	0	0	0	-24,9275
31	0,1815 ELS-FIS	Combination	Max	-92,728	27,336	0	0	0	-29,6378
31	0,363 ELS-FIS	Combination	Max	-90,686	29,777	0	0	0	-34,76
31	0 ELS-FIS	Combination	Min	-94,77	24,21	0	0	0	-24,988
31	0,1815 ELS-FIS	Combination	Min	-92,728	26,974	0	0	0	-29,643
31	0,363 ELS-FIS	Combination	Min	-90,686	29,415	0	0	0	-34,8309
31	0 ENV-TREN	Combination	Max	0	7,544	0	0	0	0
31	0,1815 ENV-TREN	Combination	Max	0	7,544	0	0	0	0
31	0,363 ENV-TREN	Combination	Max	0	7,544	0	0	0	0
31	0 ENV-TREN	Combination	Min	-351,563	-2,216	0	0	0	-144,842
31	0,1815 ENV-TREN	Combination	Min	-351,563	-2,216	0	0	0	-145,8279
31	0,363 ENV-TREN	Combination	Min	-351,563	-2,216	0	0	0	-146,8138
32	0 PP	NonStatic	Max	-29,396	-5,167	0	0	0	-9,6804
32	0,1815 PP	NonStatic	Max	-27,354	-5,167	0	0	0	-8,7426
32	0,363 PP	NonStatic	Max	-25,312	-5,167	0	0	0	-7,8048
32	0 PP	NonStatic	Min	-29,396	-5,167	0	0	0	-9,6804
32	0,1815 PP	NonStatic	Min	-27,354	-5,167	0	0	0	-8,7426
32	0,363 PP	NonStatic	Min	-25,312	-5,167	0	0	0	-7,8048
32	0 CM CARRIL UIC-54	NonStatic	Max	-0,9	0,014	0	0	0	-0,3758
32	0,1815 CM CARRIL UIC-54	NonStatic	Max	-0,9	0,014	0	0	0	-0,3784
32	0,363 CM CARRIL UIC-54	NonStatic	Max	-0,9	0,014	0	0	0	-0,3809



32	0	CM CARRIL UIC-54	NonStatic	Min	-0,9	0,014	0	0	0	-0,3758
32	0,1815	CM CARRIL UIC-54	NonStatic	Min	-0,9	0,014	0	0	0	-0,3784
32	0,363	CM CARRIL UIC-54	NonStatic	Min	-0,9	0,014	0	0	0	-0,3809
32	0	CM TRAVIESAS	NonStatic	Max	-4,095	0,063	0	0	0	-1,7101
32	0,1815	CM TRAVIESAS	NonStatic	Max	-4,095	0,063	0	0	0	-1,7216
32	0,363	CM TRAVIESAS	NonStatic	Max	-4,095	0,063	0	0	0	-1,7331
32	0	CM TRAVIESAS	NonStatic	Min	-4,095	0,063	0	0	0	-1,7101
32	0,1815	CM TRAVIESAS	NonStatic	Min	-4,095	0,063	0	0	0	-1,7216
32	0,363	CM TRAVIESAS	NonStatic	Min	-4,095	0,063	0	0	0	-1,7331
32	0	CM TIERRAS + BALASTO	NonStatic	Max	-56,295	0,87	0	0	0	-23,509
32	0,1815	CM TIERRAS + BALASTO	NonStatic	Max	-56,295	0,87	0	0	0	-23,6669
32	0,363	CM TIERRAS + BALASTO	NonStatic	Max	-56,295	0,87	0	0	0	-23,8247
32	0	CM TIERRAS + BALASTO	NonStatic	Min	-56,295	0,87	0	0	0	-23,509
32	0,1815	CM TIERRAS + BALASTO	NonStatic	Min	-56,295	0,87	0	0	0	-23,6669
32	0,363	CM TIERRAS + BALASTO	NonStatic	Min	-56,295	0,87	0	0	0	-23,8247
32	0	CM SUELO SOLERA	NonStatic	Max	7,276E-12	0,067	0	0	0	-0,0107
32	0,1815	CM SUELO SOLERA	NonStatic	Max	7,276E-12	0,067	0	0	0	-0,0228
32	0,363	CM SUELO SOLERA	NonStatic	Max	7,276E-12	0,067	0	0	0	-0,035
32	0	CM SUELO SOLERA	NonStatic	Min	7,276E-12	0,067	0	0	0	-0,0107
32	0,1815	CM SUELO SOLERA	NonStatic	Min	7,276E-12	0,067	0	0	0	-0,0228
32	0,363	CM SUELO SOLERA	NonStatic	Min	7,276E-12	0,067	0	0	0	-0,035
32	0	SBC SUELO SOLERA	NonStatic	Max	0	0,167	0	0	0	-0,0268
32	0,1815	SBC SUELO SOLERA	NonStatic	Max	0	0,167	0	0	0	-0,0571
32	0,363	SBC SUELO SOLERA	NonStatic	Max	0	0,167	0	0	0	-0,0875
32	0	SBC SUELO SOLERA	NonStatic	Min	0	0,167	0	0	0	-0,0268
32	0,1815	SBC SUELO SOLERA	NonStatic	Min	0	0,167	0	0	0	-0,0571
32	0,363	SBC SUELO SOLERA	NonStatic	Min	0	0,167	0	0	0	-0,0875
32	0	EMPUJE TIERRAS	NonStatic	Max	0	33,535	0	0	0	0,5314
32	0,1815	EMPUJE TIERRAS	NonStatic	Max	0	35,653	0	0	0	-5,7523
32	0,363	EMPUJE TIERRAS	NonStatic	Max	0	37,448	0	0	0	-12,3912
32	0	EMPUJE TIERRAS	NonStatic	Min	0	33,535	0	0	0	0,5314
32	0,1815	EMPUJE TIERRAS	NonStatic	Min	0	35,653	0	0	0	-5,7523
32	0,363	EMPUJE TIERRAS	NonStatic	Min	0	37,448	0	0	0	-12,3912
32	0	EMPUJE AGUA	LinStatic		-5,821E-11	0,362	0	0	0	-0,0709
32	0,1815	EMPUJE AGUA	LinStatic		-5,821E-11	0,362	0	0	0	-0,1366
32	0,363	EMPUJE AGUA	LinStatic		-5,821E-11	0,362	0	0	0	-0,2023
32	0	SISMO	NonStatic	Max	-1,137E-13	8,29	0	0	0	1,0767
32	0,1815	SISMO	NonStatic	Max	-1,137E-13	9,879	0	0	0	-0,5708
32	0,363	SISMO	NonStatic	Max	-1,137E-13	11,553	0	0	0	-2,5144
32	0	SISMO	NonStatic	Min	-1,137E-13	8,29	0	0	0	1,0767
32	0,1815	SISMO	NonStatic	Min	-1,137E-13	9,879	0	0	0	-0,5708
32	0,363	SISMO	NonStatic	Min	-1,137E-13	11,553	0	0	0	-2,5144
32	0	MODAL	LinModal	Mode	-78,634	56,591	0	0	0	-126,1237
32	0,1815	MODAL	LinModal	Mode	-78,634	56,591	0	0	0	-136,395
32	0,363	MODAL	LinModal	Mode	-78,634	56,591	0	0	0	-146,6664
32	0	MODAL	LinModal	Mode	-205,441	-39,723	0	0	0	-71,9479
32	0,1815	MODAL	LinModal	Mode	-205,441	-39,723	0	0	0	-64,7381
32	0,363	MODAL	LinModal	Mode	-205,441	-39,723	0	0	0	-57,5283
32	0	MODAL	LinModal	Mode	-5178,851	8101,725	0	0	0	-17382,5142
32	0,1815	MODAL	LinModal	Mode	-5178,851	8101,725	0	0	0	-18852,9773
32	0,363	MODAL	LinModal	Mode	-5178,851	8101,725	0	0	0	-20323,4405
32	0	MODAL	LinModal	Mode	-35732,157	-19061,294	0	0	0	-18875,2945
32	0,1815	MODAL	LinModal	Mode	-35732,157	-19061,294	0	0	0	-15415,6697
32	0,363	MODAL	LinModal	Mode	-35732,157	-19061,294	0	0	0	-11956,0449
32	0	MODAL	LinModal	Mode	66669,318	-27940,299	0	0	0	56723,5854
32	0,1815	MODAL	LinModal	Mode	66669,318	-27940,299	0	0	0	61794,7497
32	0,363	MODAL	LinModal	Mode	66669,318	-27940,299	0	0	0	66865,914
32	0	MODAL	LinModal	Mode	-2953,153	-108943,458	0	0	0	23722,825
32	0,1815	MODAL	LinModal	Mode	-2953,153	-108943,458	0	0	0	43496,0626
32	0,363	MODAL	LinModal	Mode	-2953,153	-108943,458	0	0	0	63269,3002
32	0	MODAL	LinModal	Mode	99417,453	-158067,664	0	0	0	48700,1988
32	0,1815	MODAL	LinModal	Mode	99417,453	-158067,664	0	0	0	77389,4797
32	0,363	MODAL	LinModal	Mode	99417,453	-158067,664	0	0	0	106078,7607
32	0	MODAL	LinModal	Mode	433782,588	-64051,6	0	0	0	132838,8663
32	0,1815	MODAL	LinModal	Mode	433782,588	-64051,6	0	0	0	144464,2317
32	0,363	MODAL	LinModal	Mode	433782,588	-64051,6	0	0	0	156089,5971
32	0	MODAL	LinModal	Mode	-22788,788	-143003,522	0	0	0	-46515,903
32	0,1815	MODAL	LinModal	Mode	-22788,788	-143003,522	0	0	0	-20560,7637
32	0,363	MODAL	LinModal	Mode	-22788,788	-143003,522	0	0	0	5394,3756
32	0	MODAL	LinModal	Mode	7011,819	-506273,665	0	0	0	-75166,7757
32	0,1815	MODAL	LinModal	Mode	7011,819	-506273,665	0	0	0	16721,8945
32	0,363	MODAL	LinModal	Mode	7011,819	-506273,665	0	0	0	108610,5648
32	0	MODAL	LinModal	Mode	-289791,551	568143,873	0	0	0	-33662,5445



## “Proyecto de las estructuras para la conexión peatonal de los andenes de la estación de Font de Sant Lluís en Valencia”.

32	0,1815 MODAL	LinModal	Mode	-289791,551	568143,873	0	0	0	-136780,657
32	0,363 MODAL	LinModal	Mode	-289791,551	568143,873	0	0	0	-239898,77
32	0 MODAL	LinModal	Mode	895048,476	-79585,299	0	0	0	91961,6505
32	0,1815 MODAL	LinModal	Mode	895048,476	-79585,299	0	0	0	106406,3823
32	0,363 MODAL	LinModal	Mode	895048,476	-79585,299	0	0	0	120851,114
32	0 HIP1	Combination		-39,685	-6,975	0	0	0	-13,0686
32	0,1815 HIP1	Combination		-36,928	-6,975	0	0	0	-11,8025
32	0,363 HIP1	Combination		-34,172	-6,975	0	0	0	-10,5365
32	0 HIP2	Combination		-122,426	44,605	0	0	0	-46,8247
32	0,1815 HIP2	Combination		-119,67	47,783	0	0	0	-55,2162
32	0,363 HIP2	Combination		-116,913	50,475	0	0	0	-64,1404
32	0 HIP3	Combination		-122,426	45,148	0	0	0	-46,931
32	0,1815 HIP3	Combination		-119,67	48,325	0	0	0	-55,4211
32	0,363 HIP3	Combination		-116,913	51,018	0	0	0	-64,4438
32	0 HIP4	Combination		-122,426	44,696	0	0	0	-46,8391
32	0,1815 HIP4	Combination		-119,67	47,873	0	0	0	-55,2471
32	0,363 HIP4	Combination		-116,913	50,565	0	0	0	-64,1877
32	0 HIP5	Combination		-122,426	45,489	0	0	0	-46,9856
32	0,1815 HIP5	Combination		-119,67	48,666	0	0	0	-55,5376
32	0,363 HIP5	Combination		-116,913	51,359	0	0	0	-64,6223
32	0 HIP6	Combination	Max	-122,426	39,696	0	0	0	-47,1967
32	0,1815 HIP6	Combination	Max	-119,67	41,814	0	0	0	-52,5449
32	0,363 HIP6	Combination	Max	-116,913	43,609	0	0	0	-58,2482
32	0 HIP6	Combination	Min	-649,77	25,057	0	0	0	-267,4174
32	0,1815 HIP6	Combination	Min	-647,014	27,175	0	0	0	-274,2444
32	0,363 HIP6	Combination	Min	-644,257	28,97	0	0	0	-281,4265
32	0 HIP7	Combination	Max	-122,426	56,554	0	0	0	-46,9455
32	0,1815 HIP7	Combination	Max	-119,67	59,731	0	0	0	-55,4519
32	0,363 HIP7	Combination	Max	-116,913	62,424	0	0	0	-64,4911
32	0 HIP7	Combination	Min	-649,77	41,915	0	0	0	-267,1661
32	0,1815 HIP7	Combination	Min	-647,014	45,092	0	0	0	-277,1514
32	0,363 HIP7	Combination	Min	-644,257	47,785	0	0	0	-287,6693
32	0 HIP8	Combination	Max	-122,426	56,262	0	0	0	-46,8793
32	0,1815 HIP8	Combination	Max	-119,67	59,439	0	0	0	-55,3327
32	0,363 HIP8	Combination	Max	-116,913	62,132	0	0	0	-64,3189
32	0 HIP8	Combination	Min	-649,77	41,623	0	0	0	-267,0999
32	0,1815 HIP8	Combination	Min	-647,014	44,8	0	0	0	-277,0322
32	0,363 HIP8	Combination	Min	-644,257	47,493	0	0	0	-287,4971
32	0 HIP9	Combination	Max	-122,426	56,554	0	0	0	-46,9455
32	0,1815 HIP9	Combination	Max	-119,67	59,731	0	0	0	-55,4519
32	0,363 HIP9	Combination	Max	-116,913	62,424	0	0	0	-64,4911
32	0 HIP9	Combination	Min	-649,77	41,915	0	0	0	-267,1661
32	0,1815 HIP9	Combination	Min	-647,014	45,092	0	0	0	-277,1514
32	0,363 HIP9	Combination	Min	-644,257	47,785	0	0	0	-287,6693
32	0 HIP10	Combination		-90,686	46,082	0	0	0	-34,4783
32	0,1815 HIP10	Combination		-88,644	49,26	0	0	0	-43,1379
32	0,363 HIP10	Combination		-86,602	51,952	0	0	0	-52,3302
32	0 HIP11	Combination		-90,686	29,677	0	0	0	-34,8149
32	0,1815 HIP11	Combination		-88,644	31,795	0	0	0	-40,3983
32	0,363 HIP11	Combination		-86,602	33,59	0	0	0	-46,3369
32	0 HIP12	Combination		-90,686	29,315	0	0	0	-34,744
32	0,1815 HIP12	Combination		-88,644	31,433	0	0	0	-40,2617
32	0,363 HIP12	Combination		-86,602	33,228	0	0	0	-46,1346
32	0 HIP13	Combination		-90,686	29,744	0	0	0	-34,8256
32	0,1815 HIP13	Combination		-88,644	31,862	0	0	0	-40,4212
32	0,363 HIP13	Combination		-86,602	33,657	0	0	0	-46,3719
32	0 HIP14	Combination		-90,686	29,549	0	0	0	-34,7815
32	0,1815 HIP14	Combination		-88,644	31,667	0	0	0	-40,3417
32	0,363 HIP14	Combination		-86,602	33,462	0	0	0	-46,2571
32	0 HIP15	Combination	Max	-90,686	37,221	0	0	0	-34,8149
32	0,1815 HIP15	Combination	Max	-88,644	39,339	0	0	0	-40,3983
32	0,363 HIP15	Combination	Max	-86,602	41,134	0	0	0	-46,3369
32	0 HIP15	Combination	Min	-442,249	27,461	0	0	0	-181,6287
32	0,1815 HIP15	Combination	Min	-440,207	29,579	0	0	0	-188,198
32	0,363 HIP15	Combination	Min	-438,165	31,374	0	0	0	-195,1224
32	0 HIP16	Combination	Max	-90,686	37,287	0	0	0	-34,8256
32	0,1815 HIP16	Combination	Max	-88,644	39,406	0	0	0	-40,4212
32	0,363 HIP16	Combination	Max	-86,602	41,201	0	0	0	-46,3719
32	0 HIP16	Combination	Min	-442,249	27,528	0	0	0	-181,6394
32	0,1815 HIP16	Combination	Min	-440,207	29,646	0	0	0	-188,2208
32	0,363 HIP16	Combination	Min	-438,165	31,441	0	0	0	-195,1574
32	0 HIP17	Combination	Max	-90,686	37,093	0	0	0	-34,7815
32	0,1815 HIP17	Combination	Max	-88,644	39,211	0	0	0	-40,3417

32	0,363 HIP17	Combination	Max	-86,602	41,006	0	0	0	-46,2571
32	0 HIP17	Combination	Min	-442,249	27,333	0	0	0	-181,5952
32	0,1815 HIP17	Combination	Min	-440,207	29,451	0	0	0	-188,1414
32	0,363 HIP17	Combination	Min	-438,165	31,246	0	0	0	-195,0426
32	0 HIP18	Combination	Max	-90,686	37,287	0	0	0	-34,8256
32	0,1815 HIP18	Combination	Max	-88,644	39,406	0	0	0	-40,4212
32	0,363 HIP18	Combination	Max	-86,602	41,201	0	0	0	-46,3719
32	0 HIP18	Combination	Min	-442,249	27,528	0	0	0	-181,6394
32	0,1815 HIP18	Combination	Min	-440,207	29,646	0	0	0	-188,2208
32	0,363 HIP18	Combination	Min	-438,165	31,441	0	0	0	-195,1574
32	0 HIP19	Combination		-90,686	29,677	0	0	0	-34,8149
32	0,1815 HIP19	Combination		-88,644	31,795	0	0	0	-40,3983
32	0,363 HIP19	Combination		-86,602	33,59	0	0	0	-46,3369
32	0 ELU	Combination	Max	-39,685	56,554	0	0	0	-13,0686
32	0,1815 ELU	Combination	Max	-36,928	59,731	0	0	0	-11,8025
32	0,363 ELU	Combination	Max	-34,172	62,424	0	0	0	-10,5365
32	0 ELU	Combination	Min	-649,77	-6,975	0	0	0	-267,4174
32	0,1815 ELU	Combination	Min	-647,014	-6,975	0	0	0	-277,1514
32	0,363 ELU	Combination	Min	-644,257	-6,975	0	0	0	-287,6693
32	0 ELS-DEF	Combination	Max	-90,686	37,287	0	0	0	-34,744
32	0,1815 ELS-DEF	Combination	Max	-88,644	39,406	0	0	0	-40,2617
32	0,363 ELS-DEF	Combination	Max	-86,602	41,201	0	0	0	-46,1346
32	0 ELS-DEF	Combination	Min	-442,249	27,333	0	0	0	-181,6394
32	0,1815 ELS-DEF	Combination	Min	-440,207	29,451	0	0	0	-188,2208
32	0,363 ELS-DEF	Combination	Min	-438,165	31,246	0	0	0	-195,1574
32	0 HIP20	Combination		-90,686	37,967	0	0	0	-33,7381
32	0,1815 HIP20	Combination		-88,644	41,673	0	0	0	-40,9691
32	0,363 HIP20	Combination		-86,602	45,143	0	0	0	-48,8513
32	0 HIP21	Combination		-90,686	38,001	0	0	0	-33,7435
32	0,1815 HIP21	Combination		-88,644	41,707	0	0	0	-40,9805
32	0,363 HIP21	Combination		-86,602	45,176	0	0	0	-48,8688
32	0 ENV-SISMO	Combination	Max	-90,686	38,001	0	0	0	-33,7381
32	0,1815 ENV-SISMO	Combination	Max	-88,644	41,707	0	0	0	-40,9691
32	0,363 ENV-SISMO	Combination	Max	-86,602	45,176	0	0	0	-48,8513
32	0 ENV-SISMO	Combination	Min	-90,686	37,967	0	0	0	-33,7435
32	0,1815 ENV-SISMO	Combination	Min	-88,644	41,673	0	0	0	-40,9805
32	0,363 ENV-SISMO	Combination	Min	-86,602	45,143	0	0	0	-48,8688
32	0 HIP22	Combination		-90,686	29,777	0	0	0	-34,8309
32	0,1815 HIP22	Combination		-88,644	31,895	0	0	0	-40,4326
32	0,363 HIP22	Combination		-86,602	33,69	0	0	0	-46,3894
32	0 HIP23	Combination		-90,686	29,415	0	0	0	-34,76
32	0,1815 HIP23	Combination		-88,644	31,533	0	0	0	-40,296
32	0,363 HIP23	Combination		-86,602	33,328	0	0	0	-46,1871
32	0 ELS-FIS	Combination	Max	-90,686	29,777	0	0	0	-34,76
32	0,1815 ELS-FIS	Combination	Max	-88,644	31,895	0	0	0	-40,296
32	0,363 ELS-FIS	Combination	Max	-86,602	33,69	0	0	0	-46,1871
32	0 ELS-FIS	Combination	Min	-90,686	29,415	0	0	0	-34,8309
32	0,1815 ELS-FIS	Combination	Min	-88,644	31,533	0	0	0	-40,4326
32	0,363 ELS-FIS	Combination	Min	-86,602	33,328	0	0	0	-46,3894
32	0 ENV-TREN	Combination	Max	0	7,544	0	0	0	0
32	0,1815 ENV-TREN	Combination	Max	0	7,544	0	0	0	0
32	0,363 ENV-TREN	Combination	Max	0	7,544	0	0	0	0
32	0 ENV-TREN	Combination	Min	-351,563	-2,216	0	0	0	-146,8138
32	0,1815 ENV-TREN	Combination	Min	-351,563	-2,216	0	0	0	-147,7996
32	0,363 ENV-TREN	Combination	Min	-351,563	-2,216	0	0	0	-148,7855
35	0 PP	NonStatic	Max	5,167	-25,312	0	0	0	-7,8048
35	0,47 PP	NonStatic	Max	5,167	-20,025	0	0	0	2,8495
35	0 PP	NonStatic	Min	5,167	-25,312	0	0	0	-7,8048
35	0,47 PP	NonStatic	Min	5,167	-20,025	0	0	0	2,8495
35	0 CM CARRIL UIC-54	NonStatic	Max	-0,014	-0,9	0	0	0	-0,3809
35	0,47 CM CARRIL UIC-54	NonStatic	Max	-0,014	-0,712	0	0	0	-0,0021
35	0 CM CARRIL UIC-54	NonStatic	Min	-0,014	-0,9	0	0	0	-0,3809
35	0,47 CM CARRIL UIC-54	NonStatic	Min	-0,014	-0,712	0	0	0	-0,0021
35	0 CM TRAVIESAS	NonStatic	Max	-0,063	-4,095	0	0	0	-1,7331
35	0,47 CM TRAVIESAS	NonStatic	Max	-0,063	-3,24	0	0	0	-0,0094
35	0 CM TRAVIESAS	NonStatic	Min	-0,063	-4,095	0	0	0	-1,7331
35	0,47 CM TRAVIESAS	NonStatic	Min	-0,063	-3,24	0	0	0	-0,0094
35	0 CM TIERRAS + BALASTO	NonStatic	Max	-0,87	-56,295	0	0	0	-23,8247
35	0,47 CM TIERRAS + BALASTO	NonStatic	Max	-0,87	-44,536	0	0	0	-0,1295
35	0 CM TIERRAS + BALASTO	NonStatic	Min	-0,87	-56,295	0	0	0	-23,8247
35	0,47 CM TIERRAS + BALASTO	NonStatic	Min	-0,87	-44,536	0	0	0	-0,1295
35	0 CM SUELO SOLERA	NonStatic	Max	-0,067	3,638E-12	0	0	0	-0,035
35	0,47 CM SUELO SOLERA	NonStatic	Max	-0,067	3,638E-12	0	0	0	-0,035





“Proyecto de las estructuras para la conexión peatonal de los andenes  
de la estación de Font de Sant Lluís en Valencia”.

35	0	CM SUELO SOLERA	NonStatic	Min	-0,067	3,638E-12	0	0	0	-0,035
35	0,47	CM SUELO SOLERA	NonStatic	Min	-0,067	3,638E-12	0	0	0	-0,035
35	0	SBC SUELO SOLERA	NonStatic	Max	-0,167	1,091E-11	0	0	0	-0,0875
35	0,47	SBC SUELO SOLERA	NonStatic	Max	-0,167	1,091E-11	0	0	0	-0,0875
35	0	SBC SUELO SOLERA	NonStatic	Min	-0,167	1,091E-11	0	0	0	-0,0875
35	0,47	SBC SUELO SOLERA	NonStatic	Min	-0,167	1,091E-11	0	0	0	-0,0875
35	0	EMPUJE TIERRAS	NonStatic	Max	-37,448	-6,821E-13	0	0	0	-12,3912
35	0,47	EMPUJE TIERRAS	NonStatic	Max	-37,448	-6,821E-13	0	0	0	-12,3912
35	0	EMPUJE TIERRAS	NonStatic	Min	-37,448	-6,821E-13	0	0	0	-12,3912
35	0,47	EMPUJE TIERRAS	NonStatic	Min	-37,448	-6,821E-13	0	0	0	-12,3912
35	0	EMPUJE AGUA	LinStatic		-0,362	-2,183E-11	0	0	0	-0,2023
35	0,47	EMPUJE AGUA	LinStatic		-0,362	-2,183E-11	0	0	0	-0,2023
35	0	SISMO	NonStatic	Max	-11,553	-8,527E-14	0	0	0	-2,5144
35	0,47	SISMO	NonStatic	Max	-11,553	-8,527E-14	0	0	0	-2,5144
35	0	SISMO	NonStatic	Min	-11,553	-8,527E-14	0	0	0	-2,5144
35	0,47	SISMO	NonStatic	Min	-11,553	-8,527E-14	0	0	0	-2,5144
35	0	MODAL	LinModal	Mode	46,898	72,71	0	0	0	146,6664
35	0,47	MODAL	LinModal	Mode	46,898	72,71	0	0	0	112,4925
35	0	MODAL	LinModal	Mode	39,725	-170,382	0	0	0	-57,5283
35	0,47	MODAL	LinModal	Mode	39,725	-170,382	0	0	0	22,5514
35	0	MODAL	LinModal	Mode	6716,817	6685,505	0	0	0	20323,4405
35	0,47	MODAL	LinModal	Mode	6716,817	6685,505	0	0	0	17181,2533
35	0	MODAL	LinModal	Mode	19159,369	-35633,654	0	0	0	-11956,0449
35	0,47	MODAL	LinModal	Mode	19159,369	-35633,654	0	0	0	4791,7724
35	0	MODAL	LinModal	Mode	28403,1	83317,461	0	0	0	66865,9157
35	0,47	MODAL	LinModal	Mode	28403,1	83317,461	0	0	0	27706,7088
35	0	MODAL	LinModal	Mode	-90923,344	2946,281	0	0	0	-63269,2978
35	0,47	MODAL	LinModal	Mode	-90923,344	2946,281	0	0	0	-64654,0498
35	0	MODAL	LinModal	Mode	162367,933	97282,756	0	0	0	106078,753
35	0,47	MODAL	LinModal	Mode	162367,933	97282,756	0	0	0	60355,8578
35	0	MODAL	LinModal	Mode	-54599,469	-430716,408	0	0	0	-156089,527
35	0,47	MODAL	LinModal	Mode	-54599,469	-430716,408	0	0	0	46347,1842
35	0	MODAL	LinModal	Mode	-122058,203	82822,992	0	0	0	-5394,18
35	0,47	MODAL	LinModal	Mode	-122058,203	82822,992	0	0	0	-44320,9862
35	0	MODAL	LinModal	Mode	602496,443	8520,494	0	0	0	108610,5571
35	0,47	MODAL	LinModal	Mode	602496,443	8520,494	0	0	0	104605,9251
35	0	MODAL	LinModal	Mode	502764,837	329040,11	0	0	0	239898,9667
35	0,47	MODAL	LinModal	Mode	502764,837	329040,11	0	0	0	85250,1149
35	0	MODAL	LinModal	Mode	125957,22	672802,339	0	0	0	120851,1554
35	0,47	MODAL	LinModal	Mode	125957,22	672802,339	0	0	0	-195365,944
35	0	HIP1	Combination		6,975	-34,172	0	0	0	-10,5365
35	0,47	HIP1	Combination		6,975	-27,034	0	0	0	3,8468
35	0	HIP2	Combination		-50,475	-116,913	0	0	0	-64,1404
35	0,47	HIP2	Combination		-50,475	-92,491	0	0	0	-14,9303
35	0	HIP3	Combination		-51,018	-116,913	0	0	0	-64,4438
35	0,47	HIP3	Combination		-51,018	-92,491	0	0	0	-15,2337
35	0	HIP4	Combination		-50,565	-116,913	0	0	0	-64,1877
35	0,47	HIP4	Combination		-50,565	-92,491	0	0	0	-14,9775
35	0	HIP5	Combination		-51,359	-116,913	0	0	0	-64,6223
35	0,47	HIP5	Combination		-51,359	-92,491	0	0	0	-15,4121
35	0	HIP6	Combination	Max	-28,97	-116,913	0	0	0	-58,2482
35	0,47	HIP6	Combination	Max	-28,97	-90,359	0	0	0	14,5467
35	0	HIP6	Combination	Min	-43,609	-644,257	0	0	0	-281,4265
35	0,47	HIP6	Combination	Min	-43,609	-511,711	0	0	0	-33,2442
35	0	HIP7	Combination	Max	-47,785	-116,913	0	0	0	-64,4911
35	0,47	HIP7	Combination	Max	-47,785	-90,359	0	0	0	8,3039
35	0	HIP7	Combination	Min	-62,424	-644,257	0	0	0	-287,6693
35	0,47	HIP7	Combination	Min	-62,424	-511,711	0	0	0	-39,487
35	0	HIP8	Combination	Max	-47,493	-116,913	0	0	0	-64,3189
35	0,47	HIP8	Combination	Max	-47,493	-90,359	0	0	0	8,4761
35	0	HIP8	Combination	Min	-62,132	-644,257	0	0	0	-287,4971
35	0,47	HIP8	Combination	Min	-62,132	-511,711	0	0	0	-39,3148
35	0	HIP9	Combination	Max	-47,785	-116,913	0	0	0	-64,4911
35	0,47	HIP9	Combination	Max	-47,785	-90,359	0	0	0	8,3039
35	0	HIP9	Combination	Min	-62,424	-644,257	0	0	0	-287,6693
35	0,47	HIP9	Combination	Min	-62,424	-511,711	0	0	0	-39,487
35	0	HIP10	Combination		-51,952	-86,602	0	0	0	-52,3302
35	0,47	HIP10	Combination		-51,952	-68,512	0	0	0	-15,8783
35	0	HIP11	Combination		-33,59	-86,602	0	0	0	-46,3369
35	0,47	HIP11	Combination		-33,59	-68,512	0	0	0	-9,8849
35	0	HIP12	Combination		-33,228	-86,602	0	0	0	-46,1346
35	0,47	HIP12	Combination		-33,228	-68,512	0	0	0	-9,6827
35	0	HIP13	Combination		-33,657	-86,602	0	0	0	-46,3719

35	0,47 HIP13	Combination		-33,657	-68,512	0	0	0	-9,9199
35	0 HIP14	Combination		-33,462	-86,602	0	0	0	-46,2571
35	0,47 HIP14	Combination		-33,462	-68,512	0	0	0	-9,8051
35	0 HIP15	Combination	Max	-31,374	-86,602	0	0	0	-46,3369
35	0,47 HIP15	Combination	Max	-31,374	-67,091	0	0	0	5,8383
35	0 HIP15	Combination	Min	-41,134	-438,165	0	0	0	-195,1224
35	0,47 HIP15	Combination	Min	-41,134	-347,992	0	0	0	-26,0223
35	0 HIP16	Combination	Max	-31,441	-86,602	0	0	0	-46,3719
35	0,47 HIP16	Combination	Max	-31,441	-67,091	0	0	0	5,8033
35	0 HIP16	Combination	Min	-41,201	-438,165	0	0	0	-195,1574
35	0,47 HIP16	Combination	Min	-41,201	-347,992	0	0	0	-26,0573
35	0 HIP17	Combination	Max	-31,246	-86,602	0	0	0	-46,2571
35	0,47 HIP17	Combination	Max	-31,246	-67,091	0	0	0	5,9181
35	0 HIP17	Combination	Min	-41,006	-438,165	0	0	0	-195,0426
35	0,47 HIP17	Combination	Min	-41,006	-347,992	0	0	0	-25,9425
35	0 HIP18	Combination	Max	-31,441	-86,602	0	0	0	-46,3719
35	0,47 HIP18	Combination	Max	-31,441	-67,091	0	0	0	5,8033
35	0 HIP18	Combination	Min	-41,201	-438,165	0	0	0	-195,1574
35	0,47 HIP18	Combination	Min	-41,201	-347,992	0	0	0	-26,0573
35	0 HIP19	Combination		-33,59	-86,602	0	0	0	-46,3369
35	0,47 HIP19	Combination		-33,59	-68,512	0	0	0	-9,8849
35	0 ELU	Combination	Max	6,975	-34,172	0	0	0	-10,5365
35	0,47 ELU	Combination	Max	6,975	-27,034	0	0	0	14,5467
35	0 ELU	Combination	Min	-62,424	-644,257	0	0	0	-287,6693
35	0,47 ELU	Combination	Min	-62,424	-511,711	0	0	0	-39,487
35	0 ELS-DEF	Combination	Max	-31,246	-86,602	0	0	0	-46,1346
35	0,47 ELS-DEF	Combination	Max	-31,246	-67,091	0	0	0	5,9181
35	0 ELS-DEF	Combination	Min	-41,201	-438,165	0	0	0	-195,1574
35	0,47 ELS-DEF	Combination	Min	-41,201	-347,992	0	0	0	-26,0573
35	0 HIP20	Combination		-45,143	-86,602	0	0	0	-48,8513
35	0,47 HIP20	Combination		-45,143	-68,512	0	0	0	-12,3993
35	0 HIP21	Combination		-45,176	-86,602	0	0	0	-48,8688
35	0,47 HIP21	Combination		-45,176	-68,512	0	0	0	-12,4168
35	0 ENV-SISMO	Combination	Max	-45,143	-86,602	0	0	0	-48,8513
35	0,47 ENV-SISMO	Combination	Max	-45,143	-68,512	0	0	0	-12,3993
35	0 ENV-SISMO	Combination	Min	-45,176	-86,602	0	0	0	-48,8688
35	0,47 ENV-SISMO	Combination	Min	-45,176	-68,512	0	0	0	-12,4168
35	0 HIP22	Combination		-33,69	-86,602	0	0	0	-46,3894
35	0,47 HIP22	Combination		-33,69	-68,512	0	0	0	-9,9374
35	0 HIP23	Combination		-33,328	-86,602	0	0	0	-46,1871
35	0,47 HIP23	Combination		-33,328	-68,512	0	0	0	-9,7352
35	0 ELS-FIS	Combination	Max	-33,328	-86,602	0	0	0	-46,1871
35	0,47 ELS-FIS	Combination	Max	-33,328	-68,512	0	0	0	-9,7352
35	0 ELS-FIS	Combination	Min	-33,69	-86,602	0	0	0	-46,3894
35	0,47 ELS-FIS	Combination	Min	-33,69	-68,512	0	0	0	-9,9374
35	0 ENV-TREN	Combination	Max	2,216	0	0	0	0	0
35	0,47 ENV-TREN	Combination	Max	2,216	1,421	0	0	0	15,7232
35	0 ENV-TREN	Combination	Min	-7,544	-351,562	0	0	0	-148,7855
35	0,47 ENV-TREN	Combination	Min	-7,544	-279,48	0	0	0	-16,1374
36	0 PP	NonStatic	Max	5,167	-20,025	0	0	0	2,8495
36	0,445 PP	NonStatic	Max	5,167	-15,019	0	0	0	10,6467
36	0 PP	NonStatic	Min	5,167	-20,025	0	0	0	2,8495
36	0,445 PP	NonStatic	Min	5,167	-15,019	0	0	0	10,6467
36	0 CM CARRIL UIC-54	NonStatic	Max	-0,014	-0,712	0	0	0	-0,0021
36	0,445 CM CARRIL UIC-54	NonStatic	Max	-0,014	-0,534	0	0	0	0,2752
36	0 CM CARRIL UIC-54	NonStatic	Min	-0,014	-0,712	0	0	0	-0,0021
36	0,445 CM CARRIL UIC-54	NonStatic	Min	-0,014	-0,534	0	0	0	0,2752
36	0 CM TRAVIESAS	NonStatic	Max	-0,063	-3,24	0	0	0	-0,0094
36	0,445 CM TRAVIESAS	NonStatic	Max	-0,063	-2,43	0	0	0	1,252
36	0 CM TRAVIESAS	NonStatic	Min	-0,063	-3,24	0	0	0	-0,0094
36	0,445 CM TRAVIESAS	NonStatic	Min	-0,063	-2,43	0	0	0	1,252
36	0 CM TIERRAS + BALASTO	NonStatic	Max	-0,87	-44,536	0	0	0	-0,1295
36	0,445 CM TIERRAS + BALASTO	NonStatic	Max	-0,87	-33,402	0	0	0	17,2115
36	0 CM TIERRAS + BALASTO	NonStatic	Min	-0,87	-44,536	0	0	0	-0,1295
36	0,445 CM TIERRAS + BALASTO	NonStatic	Min	-0,87	-33,402	0	0	0	17,2115
36	0 CM SUELO SOLERA	NonStatic	Max	-0,067	1,819E-12	0	0	0	-0,035
36	0,445 CM SUELO SOLERA	NonStatic	Max	-0,067	1,819E-12	0	0	0	-0,035
36	0 CM SUELO SOLERA	NonStatic	Min	-0,067	1,819E-12	0	0	0	-0,035
36	0,445 CM SUELO SOLERA	NonStatic	Min	-0,067	1,819E-12	0	0	0	-0,035
36	0 SBC SUELO SOLERA	NonStatic	Max	-0,167	7,276E-12	0	0	0	-0,0875
36	0,445 SBC SUELO SOLERA	NonStatic	Max	-0,167	7,276E-12	0	0	0	-0,0875
36	0 SBC SUELO SOLERA	NonStatic	Min	-0,167	7,276E-12	0	0	0	-0,0875
36	0,445 SBC SUELO SOLERA	NonStatic	Min	-0,167	7,276E-12	0	0	0	-0,0875





## “Proyecto de las estructuras para la conexión peatonal de los andenes de la estación de Font de Sant Lluís en Valencia”.

36	0 EMPUJE TIERRAS	NonStatic	Max	-37,448	-4,547E-13	0	0	0	-12,3912
36	0,445 EMPUJE TIERRAS	NonStatic	Max	-37,448	-4,547E-13	0	0	0	-12,3912
36	0 EMPUJE TIERRAS	NonStatic	Min	-37,448	-4,547E-13	0	0	0	-12,3912
36	0,445 EMPUJE TIERRAS	NonStatic	Min	-37,448	-4,547E-13	0	0	0	-12,3912
36	0 EMPUJE AGUA	LinStatic		-0,362	-2,183E-11	0	0	0	-0,2023
36	0,445 EMPUJE AGUA	LinStatic		-0,362	-2,183E-11	0	0	0	-0,2023
36	0 SISMO	NonStatic	Max	-11,553	-8,527E-14	0	0	0	-2,5144
36	0,445 SISMO	NonStatic	Max	-11,553	-8,527E-14	0	0	0	-2,5144
36	0 SISMO	NonStatic	Min	-11,553	-8,527E-14	0	0	0	-2,5144
36	0,445 SISMO	NonStatic	Min	-11,553	-8,527E-14	0	0	0	-2,5144
36	0 MODAL	LinModal	Mode	36,25	67,569	0	0	0	112,4925
36	0,445 MODAL	LinModal	Mode	36,25	67,569	0	0	0	82,4243
36	0 MODAL	LinModal	Mode	39,726	-131,795	0	0	0	22,5514
36	0,445 MODAL	LinModal	Mode	39,726	-131,795	0	0	0	81,2003
36	0 MODAL	LinModal	Mode	5193,651	8197,107	0	0	0	17181,2533
36	0,445 MODAL	LinModal	Mode	5193,651	8197,107	0	0	0	13533,5408
36	0 MODAL	LinModal	Mode	19244,741	-32044,94	0	0	0	4791,7724
36	0,445 MODAL	LinModal	Mode	19244,741	-32044,94	0	0	0	19051,7707
36	0 MODAL	LinModal	Mode	28807,476	88080,15	0	0	0	27706,7088
36	0,445 MODAL	LinModal	Mode	28807,476	88080,15	0	0	0	-11488,9581
36	0 MODAL	LinModal	Mode	-70699,588	-11077,561	0	0	0	-64654,0498
36	0,445 MODAL	LinModal	Mode	-70699,588	-11077,561	0	0	0	-59724,5353
36	0 MODAL	LinModal	Mode	166137,358	93921,44	0	0	0	60355,8578
36	0,445 MODAL	LinModal	Mode	166137,358	93921,44	0	0	0	18560,8172
36	0 MODAL	LinModal	Mode	-43210,98	-298939,755	0	0	0	46347,1842
36	0,445 MODAL	LinModal	Mode	-43210,98	-298939,755	0	0	0	179375,3754
36	0 MODAL	LinModal	Mode	-96702,72	71257,451	0	0	0	-44320,9862
36	0,445 MODAL	LinModal	Mode	-96702,72	71257,451	0	0	0	-76030,5518
36	0 MODAL	LinModal	Mode	690050,372	82165,331	0	0	0	104605,9251
36	0,445 MODAL	LinModal	Mode	690050,372	82165,331	0	0	0	68042,3529
36	0 MODAL	LinModal	Mode	410237,379	317945,403	0	0	0	85250,1149
36	0,445 MODAL	LinModal	Mode	410237,379	317945,403	0	0	0	-56235,5893
36	0 MODAL	LinModal	Mode	169943,628	123577,458	0	0	0	-195365,944
36	0,445 MODAL	LinModal	Mode	169943,628	123577,458	0	0	0	-250357,913
36	0 HIP1	Combination		6,975	-27,034	0	0	0	3,8468
36	0,445 HIP1	Combination		6,975	-20,275	0	0	0	14,3731
36	0 HIP2	Combination		-50,475	-92,491	0	0	0	-14,9303
36	0,445 HIP2	Combination		-50,475	-69,369	0	0	0	21,0836
36	0 HIP3	Combination		-51,018	-92,491	0	0	0	-15,2337
36	0,445 HIP3	Combination		-51,018	-69,369	0	0	0	20,7802
36	0 HIP4	Combination		-50,565	-92,491	0	0	0	-14,9775
36	0,445 HIP4	Combination		-50,565	-69,369	0	0	0	21,0363
36	0 HIP5	Combination		-51,359	-92,491	0	0	0	-15,4121
36	0,445 HIP5	Combination		-51,359	-69,369	0	0	0	20,6017
36	0 HIP6	Combination	Max	-28,97	-90,359	0	0	0	14,5467
36	0,445 HIP6	Combination	Max	-28,97	-60,047	0	0	0	188,2047
36	0 HIP6	Combination	Min	-43,609	-511,711	0	0	0	-33,2442
36	0,445 HIP6	Combination	Min	-43,609	-391,144	0	0	0	26,9758
36	0 HIP7	Combination	Max	-47,785	-90,359	0	0	0	8,3039
36	0,445 HIP7	Combination	Max	-47,785	-60,047	0	0	0	181,9619
36	0 HIP7	Combination	Min	-62,424	-511,711	0	0	0	-39,487
36	0,445 HIP7	Combination	Min	-62,424	-391,144	0	0	0	20,733
36	0 HIP8	Combination	Max	-47,493	-90,359	0	0	0	8,4761
36	0,445 HIP8	Combination	Max	-47,493	-60,047	0	0	0	182,1341
36	0 HIP8	Combination	Min	-62,132	-511,711	0	0	0	-39,3148
36	0,445 HIP8	Combination	Min	-62,132	-391,144	0	0	0	20,9051
36	0 HIP9	Combination	Max	-47,785	-90,359	0	0	0	8,3039
36	0,445 HIP9	Combination	Max	-47,785	-60,047	0	0	0	181,9619
36	0 HIP9	Combination	Min	-62,424	-511,711	0	0	0	-39,487
36	0,445 HIP9	Combination	Min	-62,424	-391,144	0	0	0	20,733
36	0 HIP10	Combination		-51,952	-68,512	0	0	0	-15,8783
36	0,445 HIP10	Combination		-51,952	-51,384	0	0	0	10,7987
36	0 HIP11	Combination		-33,59	-68,512	0	0	0	-9,8849
36	0,445 HIP11	Combination		-33,59	-51,384	0	0	0	16,792
36	0 HIP12	Combination		-33,228	-68,512	0	0	0	-9,6827
36	0,445 HIP12	Combination		-33,228	-51,384	0	0	0	16,9943
36	0 HIP13	Combination		-33,657	-68,512	0	0	0	-9,9199
36	0,445 HIP13	Combination		-33,657	-51,384	0	0	0	16,757
36	0 HIP14	Combination		-33,462	-68,512	0	0	0	-9,8051
36	0,445 HIP14	Combination		-33,462	-51,384	0	0	0	16,8718
36	0 HIP15	Combination	Max	-31,374	-67,091	0	0	0	5,8383
36	0,445 HIP15	Combination	Max	-31,374	-45,17	0	0	0	124,278
36	0 HIP15	Combination	Min	-41,134	-347,992	0	0	0	-26,0223

36	0,445 HIP15	Combination	Min	-41,134	-265,901	0	0	0	16,792
36	0 HIP16	Combination	Max	-31,441	-67,091	0	0	0	5,8033
36	0,445 HIP16	Combination	Max	-31,441	-45,17	0	0	0	124,243
36	0 HIP16	Combination	Min	-41,201	-347,992	0	0	0	-26,0573
36	0,445 HIP16	Combination	Min	-41,201	-265,901	0	0	0	16,757
36	0 HIP17	Combination	Max	-31,246	-67,091	0	0	0	5,9181
36	0,445 HIP17	Combination	Max	-31,246	-45,17	0	0	0	124,3578
36	0 HIP17	Combination	Min	-41,006	-347,992	0	0	0	-25,9425
36	0,445 HIP17	Combination	Min	-41,006	-265,901	0	0	0	16,8718
36	0 HIP18	Combination	Max	-31,441	-67,091	0	0	0	5,8033
36	0,445 HIP18	Combination	Max	-31,441	-45,17	0	0	0	124,243
36	0 HIP18	Combination	Min	-41,201	-347,992	0	0	0	-26,0573
36	0,445 HIP18	Combination	Min	-41,201	-265,901	0	0	0	16,757
36	0 HIP19	Combination		-33,59	-68,512	0	0	0	-9,8849
36	0,445 HIP19	Combination		-33,59	-51,384	0	0	0	16,792
36	0 ELU	Combination	Max	6,975	-27,034	0	0	0	14,5467
36	0,445 ELU	Combination	Max	6,975	-20,275	0	0	0	188,2047
36	0 ELU	Combination	Min	-62,424	-511,711	0	0	0	-39,487
36	0,445 ELU	Combination	Min	-62,424	-391,144	0	0	0	10,7987
36	0 ELS-DEF	Combination	Max	-31,246	-67,091	0	0	0	5,9181
36	0,445 ELS-DEF	Combination	Max	-31,246	-45,17	0	0	0	124,3578
36	0 ELS-DEF	Combination	Min	-41,201	-347,992	0	0	0	-26,0573
36	0,445 ELS-DEF	Combination	Min	-41,201	-265,901	0	0	0	16,757
36	0 HIP20	Combination		-45,143	-68,512	0	0	0	-12,3993
36	0,445 HIP20	Combination		-45,143	-51,384	0	0	0	14,2776
36	0 HIP21	Combination		-45,176	-68,512	0	0	0	-12,4168
36	0,445 HIP21	Combination		-45,176	-51,384	0	0	0	14,2601
36	0 ENV-SISMO	Combination	Max	-45,143	-68,512	0	0	0	-12,3993
36	0,445 ENV-SISMO	Combination	Max	-45,143	-51,384	0	0	0	14,2776
36	0 ENV-SISMO	Combination	Min	-45,176	-68,512	0	0	0	-12,4168
36	0,445 ENV-SISMO	Combination	Min	-45,176	-51,384	0	0	0	14,2601
36	0 HIP22	Combination		-33,69	-68,512	0	0	0	-9,9374
36	0,445 HIP22	Combination		-33,69	-51,384	0	0	0	16,7395
36	0 HIP23	Combination		-33,328	-68,512	0	0	0	-9,7352
36	0,445 HIP23	Combination		-33,328	-51,384	0	0	0	16,9418
36	0 ELS-FIS	Combination	Max	-33,328	-68,512	0	0	0	-9,7352
36	0,445 ELS-FIS	Combination	Max	-33,328	-51,384	0	0	0	16,9418
36	0 ELS-FIS	Combination	Min	-33,69	-68,512	0	0	0	-9,9374
36	0,445 ELS-FIS	Combination	Min	-33,69	-51,384	0	0	0	16,7395
36	0 ENV-TREN	Combination	Max	2,216	1,421	0	0	0	15,7232
36	0,445 ENV-TREN	Combination	Max	2,216	6,214	0	0	0	107,486
36	0 ENV-TREN	Combination	Min	-7,544	-279,48	0	0	0	-16,1374
36	0,445 ENV-TREN	Combination	Min	-7,544	-214,517	0	0	0	0
37	0 PP	NonStatic	Max	5,167	-15,019	0	0	0	10,6467
37	0,445 PP	NonStatic	Max	5,167	-10,012	0	0	0	16,2162
37	0 PP	NonStatic	Min	5,167	-15,019	0	0	0	10,6467
37	0,445 PP	NonStatic	Min	5,167	-10,012	0	0	0	16,2162
37	0 CM CARRIL UIC-54	NonStatic	Max	-0,014	-0,534	0	0	0	0,2752
37	0,445 CM CARRIL UIC-54	NonStatic	Max	-0,014	-0,356	0	0	0	0,4732
37	0 CM CARRIL UIC-54	NonStatic	Min	-0,014	-0,534	0	0	0	0,2752
37	0,445 CM CARRIL UIC-54	NonStatic	Min	-0,014	-0,356	0	0	0	0,4732
37	0 CM TRAVIESAS	NonStatic	Max	-0,063	-2,43	0	0	0	1,252
37	0,445 CM TRAVIESAS	NonStatic	Max	-0,063	-1,62	0	0	0	2,153
37	0 CM TRAVIESAS	NonStatic	Min	-0,063	-2,43	0	0	0	1,252
37	0,445 CM TRAVIESAS	NonStatic	Min	-0,063	-1,62	0	0	0	2,153
37	0 CM TIERRAS + BALASTO	NonStatic	Max	-0,87	-33,402	0	0	0	17,2115
37	0,445 CM TIERRAS + BALASTO	NonStatic	Max	-0,87	-22,268	0	0	0	29,598
37	0 CM TIERRAS + BALASTO	NonStatic	Min	-0,87	-33,402	0	0	0	17,2115
37	0,445 CM TIERRAS + BALASTO	NonStatic	Min	-0,87	-22,268	0	0	0	29,598
37	0 CM SUELO SOLERA	NonStatic	Max	-0,067	0	0	0	0	-0,035
37	0,445 CM SUELO SOLERA	NonStatic	Max	-0,067	0	0	0	0	-0,035
37	0 CM SUELO SOLERA	NonStatic	Min	-0,067	0	0	0	0	-0,035
37	0,445 CM SUELO SOLERA	NonStatic	Min	-0,067	0	0	0	0	-0,035
37	0 SBC SUELO SOLERA	NonStatic	Max	-0,167	7,276E-12	0	0	0	-0,0875
37	0,445 SBC SUELO SOLERA	NonStatic	Max	-0,167	7,276E-12	0	0	0	-0,0875
37	0 SBC SUELO SOLERA	NonStatic	Min	-0,167	7,276E-12	0	0	0	-0,0875
37	0,445 SBC SUELO SOLERA	NonStatic	Min	-0,167	7,276E-12	0	0	0	-0,0875
37	0 EMPUJE TIERRAS	NonStatic	Max	-37,448	-2,274E-13	0	0	0	-12,3912
37	0,445 EMPUJE TIERRAS	NonStatic	Max	-37,448	-2,274E-13	0	0	0	-12,3912
37	0 EMPUJE TIERRAS	NonStatic	Min	-37,448	-2,274E-13	0	0	0	-12,3912
37	0,445 EMPUJE TIERRAS	NonStatic	Min	-37,448	-2,274E-13	0	0	0	-12,3912
37	0 EMPUJE AGUA	LinStatic		-0,362	-2,183E-11	0	0	0	-0,2023
37	0,445 EMPUJE AGUA	LinStatic		-0,362	-2,183E-11	0	0	0	-0,2023



## “Proyecto de las estructuras para la conexión peatonal de los andenes de la estación de Font de Sant Lluís en Valencia”.

37	0 SISMO	NonStatic	Max	-11,553	-5,684E-14	0	0	0	-2,5144
37	0,445 SISMO	NonStatic	Max	-11,553	-5,684E-14	0	0	0	-2,5144
37	0 SISMO	NonStatic	Min	-11,553	-5,684E-14	0	0	0	-2,5144
37	0,445 SISMO	NonStatic	Min	-11,553	-5,684E-14	0	0	0	-2,5144
37	0 MODAL	LinModal	Mode	25,893	63,821	0	0	0	82,4243
37	0,445 MODAL	LinModal	Mode	25,893	63,821	0	0	0	54,0237
37	0 MODAL	LinModal	Mode	39,726	-94,195	0	0	0	81,2003
37	0,445 MODAL	LinModal	Mode	39,726	-94,195	0	0	0	123,1173
37	0 MODAL	LinModal	Mode	3710,731	9411,664	0	0	0	13533,5408
37	0,445 MODAL	LinModal	Mode	3710,731	9411,664	0	0	0	9345,3505
37	0 MODAL	LinModal	Mode	19307,099	-25483,458	0	0	0	19051,7707
37	0,445 MODAL	LinModal	Mode	19307,099	-25483,458	0	0	0	30391,9093
37	0 MODAL	LinModal	Mode	29103,664	77645,789	0	0	0	-11488,9581
37	0,445 MODAL	LinModal	Mode	29103,664	77645,789	0	0	0	-46041,334
37	0 MODAL	LinModal	Mode	-50720,652	-29943,666	0	0	0	-59724,5353
37	0,445 MODAL	LinModal	Mode	-50720,652	-29943,666	0	0	0	-46399,6039
37	0 MODAL	LinModal	Mode	168904,651	80758,287	0	0	0	18560,8172
37	0,445 MODAL	LinModal	Mode	168904,651	80758,287	0	0	0	-17376,6203
37	0 MODAL	LinModal	Mode	-31400,368	-74256,073	0	0	0	179375,3754
37	0,445 MODAL	LinModal	Mode	-31400,368	-74256,073	0	0	0	212419,3279
37	0 MODAL	LinModal	Mode	-70325,166	9788,821	0	0	0	-76030,5518
37	0,445 MODAL	LinModal	Mode	-70325,166	9788,821	0	0	0	-80386,5771
37	0 MODAL	LinModal	Mode	756077,491	139512,602	0	0	0	68042,3529
37	0,445 MODAL	LinModal	Mode	756077,491	139512,602	0	0	0	5959,245
37	0 MODAL	LinModal	Mode	304673,081	167117,763	0	0	0	-56235,5893
37	0,445 MODAL	LinModal	Mode	304673,081	167117,763	0	0	0	-130602,994
37	0 MODAL	LinModal	Mode	204091,602	-404403,616	0	0	0	-250357,913
37	0,445 MODAL	LinModal	Mode	204091,602	-404403,616	0	0	0	-70398,3038
37	0 HIP1	Combination		6,975	-20,275	0	0	0	14,3731
37	0,445 HIP1	Combination		6,975	-13,517	0	0	0	21,8918
37	0 HIP2	Combination		-50,475	-69,369	0	0	0	21,0836
37	0,445 HIP2	Combination		-50,475	-46,246	0	0	0	46,8078
37	0 HIP3	Combination		-51,018	-69,369	0	0	0	20,7802
37	0,445 HIP3	Combination		-51,018	-46,246	0	0	0	46,5044
37	0 HIP4	Combination		-50,565	-69,369	0	0	0	21,0363
37	0,445 HIP4	Combination		-50,565	-46,246	0	0	0	46,7605
37	0 HIP5	Combination		-51,359	-69,369	0	0	0	20,6017
37	0,445 HIP5	Combination		-51,359	-46,246	0	0	0	46,3259
37	0 HIP6	Combination	Max	-28,97	-60,047	0	0	0	188,2047
37	0,445 HIP6	Combination	Max	-28,97	-24,385	0	0	0	329,9592
37	0 HIP6	Combination	Min	-43,609	-391,144	0	0	0	26,9758
37	0,445 HIP6	Combination	Min	-43,609	-275,676	0	0	0	52,7
37	0 HIP7	Combination	Max	-47,785	-60,047	0	0	0	181,9619
37	0,445 HIP7	Combination	Max	-47,785	-24,385	0	0	0	323,7164
37	0 HIP7	Combination	Min	-62,424	-391,144	0	0	0	20,733
37	0,445 HIP7	Combination	Min	-62,424	-275,676	0	0	0	46,4571
37	0 HIP8	Combination	Max	-47,493	-60,047	0	0	0	182,1341
37	0,445 HIP8	Combination	Max	-47,493	-24,385	0	0	0	323,8886
37	0 HIP8	Combination	Min	-62,132	-391,144	0	0	0	20,9051
37	0,445 HIP8	Combination	Min	-62,132	-275,676	0	0	0	46,6293
37	0 HIP9	Combination	Max	-47,785	-60,047	0	0	0	181,9619
37	0,445 HIP9	Combination	Max	-47,785	-24,385	0	0	0	323,7164
37	0 HIP9	Combination	Min	-62,424	-391,144	0	0	0	20,733
37	0,445 HIP9	Combination	Min	-62,424	-275,676	0	0	0	46,4571
37	0 HIP10	Combination		-51,952	-51,384	0	0	0	10,7987
37	0,445 HIP10	Combination		-51,952	-34,256	0	0	0	29,8536
37	0 HIP11	Combination		-33,59	-51,384	0	0	0	16,792
37	0,445 HIP11	Combination		-33,59	-34,256	0	0	0	35,847
37	0 HIP12	Combination		-33,228	-51,384	0	0	0	16,9943
37	0,445 HIP12	Combination		-33,228	-34,256	0	0	0	36,0492
37	0 HIP13	Combination		-33,657	-51,384	0	0	0	16,757
37	0,445 HIP13	Combination		-33,657	-34,256	0	0	0	35,812
37	0 HIP14	Combination		-33,462	-51,384	0	0	0	16,8718
37	0,445 HIP14	Combination		-33,462	-34,256	0	0	0	35,9268
37	0 HIP15	Combination	Max	-31,374	-45,17	0	0	0	124,278
37	0,445 HIP15	Combination	Max	-31,374	-19,682	0	0	0	220,6865
37	0 HIP15	Combination	Min	-41,134	-265,901	0	0	0	16,792
37	0,445 HIP15	Combination	Min	-41,134	-187,21	0	0	0	35,847
37	0 HIP16	Combination	Max	-31,441	-45,17	0	0	0	124,243
37	0,445 HIP16	Combination	Max	-31,441	-19,682	0	0	0	220,6515
37	0 HIP16	Combination	Min	-41,201	-265,901	0	0	0	16,757
37	0,445 HIP16	Combination	Min	-41,201	-187,21	0	0	0	35,812
37	0 HIP17	Combination	Max	-31,246	-45,17	0	0	0	124,3578



37	0,445 HIP17	Combination	Max	-31,246	-19,682	0	0	0	220,7663
37	0 HIP17	Combination	Min	-41,006	-265,901	0	0	0	16,8718
37	0,445 HIP17	Combination	Min	-41,006	-187,21	0	0	0	35,9268
37	0 HIP18	Combination	Max	-31,441	-45,17	0	0	0	124,243
37	0,445 HIP18	Combination	Max	-31,441	-19,682	0	0	0	220,6515
37	0 HIP18	Combination	Min	-41,201	-265,901	0	0	0	16,757
37	0,445 HIP18	Combination	Min	-41,201	-187,21	0	0	0	35,812
37	0 HIP19	Combination		-33,59	-51,384	0	0	0	16,792
37	0,445 HIP19	Combination		-33,59	-34,256	0	0	0	35,847
37	0 ELU	Combination	Max	6,975	-20,275	0	0	0	188,2047
37	0,445 ELU	Combination	Max	6,975	-13,517	0	0	0	329,9592
37	0 ELU	Combination	Min	-62,424	-391,144	0	0	0	10,7987
37	0,445 ELU	Combination	Min	-62,424	-275,676	0	0	0	21,8918
37	0 ELS-DEF	Combination	Max	-31,246	-45,17	0	0	0	124,3578
37	0,445 ELS-DEF	Combination	Max	-31,246	-19,682	0	0	0	220,7663
37	0 ELS-DEF	Combination	Min	-41,201	-265,901	0	0	0	16,757
37	0,445 ELS-DEF	Combination	Min	-41,201	-187,21	0	0	0	35,812
37	0 HIP20	Combination		-45,143	-51,384	0	0	0	14,2776
37	0,445 HIP20	Combination		-45,143	-34,256	0	0	0	33,3326
37	0 HIP21	Combination		-45,176	-51,384	0	0	0	14,2601
37	0,445 HIP21	Combination		-45,176	-34,256	0	0	0	33,3151
37	0 ENV-SISMO	Combination	Max	-45,143	-51,384	0	0	0	14,2776
37	0,445 ENV-SISMO	Combination	Max	-45,143	-34,256	0	0	0	33,3326
37	0 ENV-SISMO	Combination	Min	-45,176	-51,384	0	0	0	14,2601
37	0,445 ENV-SISMO	Combination	Min	-45,176	-34,256	0	0	0	33,3151
37	0 HIP22	Combination		-33,69	-51,384	0	0	0	16,7395
37	0,445 HIP22	Combination		-33,69	-34,256	0	0	0	35,7945
37	0 HIP23	Combination		-33,328	-51,384	0	0	0	16,9418
37	0,445 HIP23	Combination		-33,328	-34,256	0	0	0	35,9967
37	0 ELS-FIS	Combination	Max	-33,328	-51,384	0	0	0	16,9418
37	0,445 ELS-FIS	Combination	Max	-33,328	-34,256	0	0	0	35,9967
37	0 ELS-FIS	Combination	Min	-33,69	-51,384	0	0	0	16,7395
37	0,445 ELS-FIS	Combination	Min	-33,69	-34,256	0	0	0	35,7945
37	0 ENV-TREN	Combination	Max	2,216	6,214	0	0	0	107,486
37	0,445 ENV-TREN	Combination	Max	2,216	14,574	0	0	0	184,8395
37	0 ENV-TREN	Combination	Min	-7,544	-214,517	0	0	0	0
37	0,445 ENV-TREN	Combination	Min	-7,544	-152,953	0	0	0	0
38	0 PP	NonStatic	Max	5,167	-10,013	0	0	0	16,2162
38	0,445 PP	NonStatic	Max	5,167	-5,006	0	0	0	19,5579
38	0 PP	NonStatic	Min	5,167	-10,013	0	0	0	16,2162
38	0,445 PP	NonStatic	Min	5,167	-5,006	0	0	0	19,5579
38	0 CM CARRIL UIC-54	NonStatic	Max	-0,014	-0,356	0	0	0	0,4732
38	0,445 CM CARRIL UIC-54	NonStatic	Max	-0,014	-0,178	0	0	0	0,592
38	0 CM CARRIL UIC-54	NonStatic	Min	-0,014	-0,356	0	0	0	0,4732
38	0,445 CM CARRIL UIC-54	NonStatic	Min	-0,014	-0,178	0	0	0	0,592
38	0 CM TRAVIESAS	NonStatic	Max	-0,063	-1,62	0	0	0	2,153
38	0,445 CM TRAVIESAS	NonStatic	Max	-0,063	-0,81	0	0	0	2,6936
38	0 CM TRAVIESAS	NonStatic	Min	-0,063	-1,62	0	0	0	2,153
38	0,445 CM TRAVIESAS	NonStatic	Min	-0,063	-0,81	0	0	0	2,6936
38	0 CM TIERRAS + BALASTO	NonStatic	Max	-0,87	-22,268	0	0	0	29,598
38	0,445 CM TIERRAS + BALASTO	NonStatic	Max	-0,87	-11,134	0	0	0	37,0299
38	0 CM TIERRAS + BALASTO	NonStatic	Min	-0,87	-22,268	0	0	0	29,598
38	0,445 CM TIERRAS + BALASTO	NonStatic	Min	-0,87	-11,134	0	0	0	37,0299
38	0 CM SUELO SOLERA	NonStatic	Max	-0,067	0	0	0	0	-0,035
38	0,445 CM SUELO SOLERA	NonStatic	Max	-0,067	0	0	0	0	-0,035
38	0 CM SUELO SOLERA	NonStatic	Min	-0,067	0	0	0	0	-0,035
38	0,445 CM SUELO SOLERA	NonStatic	Min	-0,067	0	0	0	0	-0,035
38	0 SBC SUELO SOLERA	NonStatic	Max	-0,167	0	0	0	0	-0,0875
38	0,445 SBC SUELO SOLERA	NonStatic	Max	-0,167	0	0	0	0	-0,0875
38	0 SBC SUELO SOLERA	NonStatic	Min	-0,167	0	0	0	0	-0,0875
38	0,445 SBC SUELO SOLERA	NonStatic	Min	-0,167	0	0	0	0	-0,0875
38	0 EMPUJE TIERRAS	NonStatic	Max	-37,448	2,274E-13	0	0	0	-12,3912
38	0,445 EMPUJE TIERRAS	NonStatic	Max	-37,448	2,274E-13	0	0	0	-12,3912
38	0 EMPUJE TIERRAS	NonStatic	Min	-37,448	2,274E-13	0	0	0	-12,3912
38	0,445 EMPUJE TIERRAS	NonStatic	Min	-37,448	2,274E-13	0	0	0	-12,3912
38	0 EMPUJE AGUA	LinStatic		-0,362	1,455E-11	0	0	0	-0,2023
38	0,445 EMPUJE AGUA	LinStatic		-0,362	1,455E-11	0	0	0	-0,2023
38	0 SISMO	NonStatic	Max	-11,553	0	0	0	0	-2,5144
38	0,445 SISMO	NonStatic	Max	-11,553	0	0	0	0	-2,5144
38	0 SISMO	NonStatic	Min	-11,553	0	0	0	0	-2,5144
38	0,445 SISMO	NonStatic	Min	-11,553	0	0	0	0	-2,5144
38	0 MODAL	LinModal	Mode	15,536	61,325	0	0	0	54,0237
38	0,445 MODAL	LinModal	Mode	15,536	61,325	0	0	0	26,7342



“Proyecto de las estructuras para la conexión peatonal de los andenes  
de la estación de Font de Sant Lluís en Valencia”.

38	0 MODAL	LinModal	Mode	39,727	-56,541	0	0	0	123,1173
38	0,445 MODAL	LinModal	Mode	39,727	-56,541	0	0	0	148,278
38	0 MODAL	LinModal	Mode	2226,831	10275,982	0	0	0	9345,3505
38	0,445 MODAL	LinModal	Mode	2226,831	10275,982	0	0	0	4772,5386
38	0 MODAL	LinModal	Mode	19348,708	-16397,587	0	0	0	30391,9093
38	0,445 MODAL	LinModal	Mode	19348,708	-16397,587	0	0	0	37688,8356
38	0 MODAL	LinModal	Mode	29301,674	53198,904	0	0	0	-46041,334
38	0,445 MODAL	LinModal	Mode	29301,674	53198,904	0	0	0	-69714,8464
38	0 MODAL	LinModal	Mode	-30520,965	-47104,197	0	0	0	-46399,6039
38	0,445 MODAL	LinModal	Mode	-30520,965	-47104,197	0	0	0	-25438,2363
38	0 MODAL	LinModal	Mode	170757,855	55118,297	0	0	0	-17376,6203
38	0,445 MODAL	LinModal	Mode	170757,855	55118,297	0	0	0	-41904,2623
38	0 MODAL	LinModal	Mode	-19056,355	163089,812	0	0	0	212419,3279
38	0,445 MODAL	LinModal	Mode	-19056,355	163089,812	0	0	0	139844,3616
38	0 MODAL	LinModal	Mode	-42700,576	-65337,074	0	0	0	-80386,5771
38	0,445 MODAL	LinModal	Mode	-42700,576	-65337,074	0	0	0	-51311,5793
38	0 MODAL	LinModal	Mode	801140,005	131356,704	0	0	0	5959,245
38	0,445 MODAL	LinModal	Mode	801140,005	131356,704	0	0	0	-52494,4883
38	0 MODAL	LinModal	Mode	187553,011	-62191,844	0	0	0	-130602,994
38	0,445 MODAL	LinModal	Mode	187553,011	-62191,844	0	0	0	-102927,623
38	0 MODAL	LinModal	Mode	227869,689	-565880,982	0	0	0	-70398,3038
38	0,445 MODAL	LinModal	Mode	227869,689	-565880,982	0	0	0	181418,7332
38	0 HIP1	Combination		6,975	-13,517	0	0	0	21,8918
38	0,445 HIP1	Combination		6,975	-6,758	0	0	0	26,4031
38	0 HIP2	Combination		-50,475	-46,246	0	0	0	46,8078
38	0,445 HIP2	Combination		-50,475	-23,123	0	0	0	62,2423
38	0 HIP3	Combination		-51,018	-46,246	0	0	0	46,5044
38	0,445 HIP3	Combination		-51,018	-23,123	0	0	0	61,9389
38	0 HIP4	Combination		-50,565	-46,246	0	0	0	46,7605
38	0,445 HIP4	Combination		-50,565	-23,123	0	0	0	62,195
38	0 HIP5	Combination		-51,359	-46,246	0	0	0	46,3259
38	0,445 HIP5	Combination		-51,359	-23,123	0	0	0	61,7605
38	0 HIP6	Combination	Max	-28,97	-24,385	0	0	0	329,9592
38	0,445 HIP6	Combination	Max	-28,97	16,853	0	0	0	415,0119
38	0 HIP6	Combination	Min	-43,609	-275,676	0	0	0	52,7
38	0,445 HIP6	Combination	Min	-43,609	-165,521	0	0	0	68,1345
38	0 HIP7	Combination	Max	-47,785	-24,385	0	0	0	323,7164
38	0,445 HIP7	Combination	Max	-47,785	16,853	0	0	0	408,7691
38	0 HIP7	Combination	Min	-62,424	-275,676	0	0	0	46,4571
38	0,445 HIP7	Combination	Min	-62,424	-165,521	0	0	0	61,8917
38	0 HIP8	Combination	Max	-47,493	-24,385	0	0	0	323,8886
38	0,445 HIP8	Combination	Max	-47,493	16,853	0	0	0	408,9412
38	0 HIP8	Combination	Min	-62,132	-275,676	0	0	0	46,6293
38	0,445 HIP8	Combination	Min	-62,132	-165,521	0	0	0	62,0638
38	0 HIP9	Combination	Max	-47,785	-24,385	0	0	0	323,7164
38	0,445 HIP9	Combination	Max	-47,785	16,853	0	0	0	408,7691
38	0 HIP9	Combination	Min	-62,424	-275,676	0	0	0	46,4571
38	0,445 HIP9	Combination	Min	-62,424	-165,521	0	0	0	61,8917
38	0 HIP10	Combination		-51,952	-34,256	0	0	0	29,8536
38	0,445 HIP10	Combination		-51,952	-17,128	0	0	0	41,2866
38	0 HIP11	Combination		-33,59	-34,256	0	0	0	35,847
38	0,445 HIP11	Combination		-33,59	-17,128	0	0	0	47,2799
38	0 HIP12	Combination		-33,228	-34,256	0	0	0	36,0492
38	0,445 HIP12	Combination		-33,228	-17,128	0	0	0	47,4822
38	0 HIP13	Combination		-33,657	-34,256	0	0	0	35,812
38	0,445 HIP13	Combination		-33,657	-17,128	0	0	0	47,2449
38	0 HIP14	Combination		-33,462	-34,256	0	0	0	35,9268
38	0,445 HIP14	Combination		-33,462	-17,128	0	0	0	47,3597
38	0 HIP15	Combination	Max	-31,374	-19,682	0	0	0	220,6865
38	0,445 HIP15	Combination	Max	-31,374	9,522	0	0	0	278,5315
38	0 HIP15	Combination	Min	-41,134	-187,21	0	0	0	35,847
38	0,445 HIP15	Combination	Min	-41,134	-112,06	0	0	0	47,2799
38	0 HIP16	Combination	Max	-31,441	-19,682	0	0	0	220,6515
38	0,445 HIP16	Combination	Max	-31,441	9,522	0	0	0	278,4965
38	0 HIP16	Combination	Min	-41,201	-187,21	0	0	0	35,812
38	0,445 HIP16	Combination	Min	-41,201	-112,06	0	0	0	47,2449
38	0 HIP17	Combination	Max	-31,246	-19,682	0	0	0	220,7663
38	0,445 HIP17	Combination	Max	-31,246	9,522	0	0	0	278,6113
38	0 HIP17	Combination	Min	-41,006	-187,21	0	0	0	35,9268
38	0,445 HIP17	Combination	Min	-41,006	-112,06	0	0	0	47,3597
38	0 HIP18	Combination	Max	-31,441	-19,682	0	0	0	220,6515
38	0,445 HIP18	Combination	Max	-31,441	9,522	0	0	0	278,4965
38	0 HIP18	Combination	Min	-41,201	-187,21	0	0	0	35,812



38	0,445 HIP18	Combination	Min	-41,201	-112,06	0	0	0	47,2449
38	0 HIP19	Combination		-33,59	-34,256	0	0	0	35,847
38	0,445 HIP19	Combination		-33,59	-17,128	0	0	0	47,2799
38	0 ELU	Combination	Max	6,975	-13,517	0	0	0	329,9592
38	0,445 ELU	Combination	Max	6,975	16,853	0	0	0	415,0119
38	0 ELU	Combination	Min	-62,424	-275,676	0	0	0	21,8918
38	0,445 ELU	Combination	Min	-62,424	-165,521	0	0	0	26,4031
38	0 ELS-DEF	Combination	Max	-31,246	-19,682	0	0	0	220,7663
38	0,445 ELS-DEF	Combination	Max	-31,246	9,522	0	0	0	278,6113
38	0 ELS-DEF	Combination	Min	-41,201	-187,21	0	0	0	35,812
38	0,445 ELS-DEF	Combination	Min	-41,201	-112,06	0	0	0	47,2449
38	0 HIP20	Combination		-45,143	-34,256	0	0	0	33,3326
38	0,445 HIP20	Combination		-45,143	-17,128	0	0	0	44,7656
38	0 HIP21	Combination		-45,176	-34,256	0	0	0	33,3151
38	0,445 HIP21	Combination		-45,176	-17,128	0	0	0	44,7481
38	0 ENV-SISMO	Combination	Max	-45,143	-34,256	0	0	0	33,3326
38	0,445 ENV-SISMO	Combination	Max	-45,143	-17,128	0	0	0	44,7656
38	0 ENV-SISMO	Combination	Min	-45,176	-34,256	0	0	0	33,3151
38	0,445 ENV-SISMO	Combination	Min	-45,176	-17,128	0	0	0	44,7481
38	0 HIP22	Combination		-33,69	-34,256	0	0	0	35,7945
38	0,445 HIP22	Combination		-33,69	-17,128	0	0	0	47,2274
38	0 HIP23	Combination		-33,328	-34,256	0	0	0	35,9967
38	0,445 HIP23	Combination		-33,328	-17,128	0	0	0	47,4297
38	0 ELS-FIS	Combination	Max	-33,328	-34,256	0	0	0	35,9967
38	0,445 ELS-FIS	Combination	Max	-33,328	-17,128	0	0	0	47,4297
38	0 ELS-FIS	Combination	Min	-33,69	-34,256	0	0	0	35,7945
38	0,445 ELS-FIS	Combination	Min	-33,69	-17,128	0	0	0	47,2274
38	0 ENV-TREN	Combination	Max	2,216	14,574	0	0	0	184,8395
38	0,445 ENV-TREN	Combination	Max	2,216	26,65	0	0	0	231,2516
38	0 ENV-TREN	Combination	Min	-7,544	-152,953	0	0	0	0
38	0,445 ENV-TREN	Combination	Min	-7,544	-94,932	0	0	0	0
39	0 PP	NonStatic	Max	5,167	-5,006	0	0	0	19,5579
39	0,445 PP	NonStatic	Max	5,167	-6,403E-11	0	0	0	20,6717
39	0 PP	NonStatic	Min	5,167	-5,006	0	0	0	19,5579
39	0,445 PP	NonStatic	Min	5,167	-6,403E-11	0	0	0	20,6717
39	0 CM CARRIL UIC-54	NonStatic	Max	-0,014	-0,178	0	0	0	0,592
39	0,445 CM CARRIL UIC-54	NonStatic	Max	-0,014	-3,384E-13	0	0	0	0,6316
39	0 CM CARRIL UIC-54	NonStatic	Min	-0,014	-0,178	0	0	0	0,592
39	0,445 CM CARRIL UIC-54	NonStatic	Min	-0,014	-3,384E-13	0	0	0	0,6316
39	0 CM TRAVIESAS	NonStatic	Max	-0,063	-0,81	0	0	0	2,6936
39	0,445 CM TRAVIESAS	NonStatic	Max	-0,063	-2,017E-12	0	0	0	2,8738
39	0 CM TRAVIESAS	NonStatic	Min	-0,063	-0,81	0	0	0	2,6936
39	0,445 CM TRAVIESAS	NonStatic	Min	-0,063	-2,017E-12	0	0	0	2,8738
39	0 CM TIERRAS + BALASTO	NonStatic	Max	-0,87	-11,134	0	0	0	37,0299
39	0,445 CM TIERRAS + BALASTO	NonStatic	Max	-0,87	1,383E-11	0	0	0	39,5072
39	0 CM TIERRAS + BALASTO	NonStatic	Min	-0,87	-11,134	0	0	0	37,0299
39	0,445 CM TIERRAS + BALASTO	NonStatic	Min	-0,87	1,383E-11	0	0	0	39,5072
39	0 CM SUELO SOLERA	NonStatic	Max	-0,067	-1,819E-12	0	0	0	-0,035
39	0,445 CM SUELO SOLERA	NonStatic	Max	-0,067	-1,819E-12	0	0	0	-0,035
39	0 CM SUELO SOLERA	NonStatic	Min	-0,067	-1,819E-12	0	0	0	-0,035
39	0,445 CM SUELO SOLERA	NonStatic	Min	-0,067	-1,819E-12	0	0	0	-0,035
39	0 SBC SUELO SOLERA	NonStatic	Max	-0,167	0	0	0	0	-0,0875
39	0,445 SBC SUELO SOLERA	NonStatic	Max	-0,167	0	0	0	0	-0,0875
39	0 SBC SUELO SOLERA	NonStatic	Min	-0,167	0	0	0	0	-0,0875
39	0,445 SBC SUELO SOLERA	NonStatic	Min	-0,167	0	0	0	0	-0,0875
39	0 EMPUJE TIERRAS	NonStatic	Max	-37,448	0	0	0	0	-12,3912
39	0,445 EMPUJE TIERRAS	NonStatic	Max	-37,448	0	0	0	0	-12,3912
39	0 EMPUJE TIERRAS	NonStatic	Min	-37,448	0	0	0	0	-12,3912
39	0,445 EMPUJE TIERRAS	NonStatic	Min	-37,448	0	0	0	0	-12,3912
39	0 EMPUJE AGUA	LinStatic		-0,362	7,276E-12	0	0	0	-0,2023
39	0,445 EMPUJE AGUA	LinStatic		-0,362	7,276E-12	0	0	0	-0,2023
39	0 SISMO	NonStatic	Max	-11,553	5,684E-14	0	0	0	-2,5144
39	0,445 SISMO	NonStatic	Max	-11,553	5,684E-14	0	0	0	-2,5144
39	0 SISMO	NonStatic	Min	-11,553	5,684E-14	0	0	0	-2,5144
39	0,445 SISMO	NonStatic	Min	-11,553	5,684E-14	0	0	0	-2,5144
39	0 MODAL	LinModal	Mode	5,179	60,077	0	0	0	26,7342
39	0,445 MODAL	LinModal	Mode	5,179	60,077	0	0	0	1,361E-10
39	0 MODAL	LinModal	Mode	39,727	-18,851	0	0	0	148,278
39	0,445 MODAL	LinModal	Mode	39,727	-18,851	0	0	0	156,6667
39	0 MODAL	LinModal	Mode	742,342	10724,806	0	0	0	4772,5386
39	0,445 MODAL	LinModal	Mode	742,342	10724,806	0	0	0	-0,000221
39	0 MODAL	LinModal	Mode	19369,524	-5657,64	0	0	0	37688,8356
39	0,445 MODAL	LinModal	Mode	19369,524	-5657,64	0	0	0	40206,4854



## “Proyecto de las estructuras para la conexión peatonal de los andenes de la estación de Font de Sant Lluís en Valencia”.

39	0 MODAL	LinModal	Mode	29400,858	18910,815	0	0	0	-69714,8464
39	0,445 MODAL	LinModal	Mode	29400,858	18910,815	0	0	0	-78130,1592
39	0 MODAL	LinModal	Mode	-10188,417	-57164,568	0	0	0	-25438,2363
39	0,445 MODAL	LinModal	Mode	-10188,417	-57164,568	0	0	0	-0,0035
39	0 MODAL	LinModal	Mode	171686,904	19609,717	0	0	0	-41904,2623
39	0,445 MODAL	LinModal	Mode	171686,904	19609,717	0	0	0	-50630,5863
39	0 MODAL	LinModal	Mode	-6388,482	314257,1	0	0	0	139844,3616
39	0,445 MODAL	LinModal	Mode	-6388,482	314257,1	0	0	0	-0,048
39	0 MODAL	LinModal	Mode	-14318,805	-115306,608	0	0	0	-51311,5793
39	0,445 MODAL	LinModal	Mode	-14318,805	-115306,608	0	0	0	-0,139
39	0 MODAL	LinModal	Mode	823988,271	53544,129	0	0	0	-52494,4883
39	0,445 MODAL	LinModal	Mode	823988,271	53544,129	0	0	0	-76321,6257
39	0 MODAL	LinModal	Mode	63317,784	-231297,724	0	0	0	-102927,623
39	0,445 MODAL	LinModal	Mode	63317,784	-231297,724	0	0	0	-0,136
39	0 MODAL	LinModal	Mode	240069,171	-258929,413	0	0	0	181418,7332
39	0,445 MODAL	LinModal	Mode	240069,171	-258929,413	0	0	0	296642,3218
39	0 HIP1	Combination		6,975	-6,758	0	0	0	26,4031
39	0,445 HIP1	Combination		6,975	-8,644E-11	0	0	0	27,9069
39	0 HIP2	Combination		-50,475	-23,123	0	0	0	62,2423
39	0,445 HIP2	Combination		-50,475	-7,095E-11	0	0	0	67,3871
39	0 HIP3	Combination		-51,018	-23,123	0	0	0	61,9389
39	0,445 HIP3	Combination		-51,018	-6,004E-11	0	0	0	67,0837
39	0 HIP4	Combination		-50,565	-23,123	0	0	0	62,195
39	0,445 HIP4	Combination		-50,565	-7,341E-11	0	0	0	67,3399
39	0 HIP5	Combination		-51,359	-23,123	0	0	0	61,7605
39	0,445 HIP5	Combination		-51,359	-6,249E-11	0	0	0	66,9053
39	0 HIP6	Combination	Max	-28,97	16,853	0	0	0	415,0119
39	0,445 HIP6	Combination	Max	-28,97	63,799	0	0	0	443,3628
39	0 HIP6	Combination	Min	-43,609	-165,521	0	0	0	68,1345
39	0,445 HIP6	Combination	Min	-43,609	-63,799	0	0	0	73,2793
39	0 HIP7	Combination	Max	-47,785	16,853	0	0	0	408,7691
39	0,445 HIP7	Combination	Max	-47,785	63,799	0	0	0	437,12
39	0 HIP7	Combination	Min	-62,424	-165,521	0	0	0	61,8917
39	0,445 HIP7	Combination	Min	-62,424	-63,799	0	0	0	67,0365
39	0 HIP8	Combination	Max	-47,493	16,853	0	0	0	408,9412
39	0,445 HIP8	Combination	Max	-47,493	63,799	0	0	0	437,2921
39	0 HIP8	Combination	Min	-62,132	-165,521	0	0	0	62,0638
39	0,445 HIP8	Combination	Min	-62,132	-63,799	0	0	0	67,2087
39	0 HIP9	Combination	Max	-47,785	16,853	0	0	0	408,7691
39	0,445 HIP9	Combination	Max	-47,785	63,799	0	0	0	437,12
39	0 HIP9	Combination	Min	-62,424	-165,521	0	0	0	61,8917
39	0,445 HIP9	Combination	Min	-62,424	-63,799	0	0	0	67,0365
39	0 HIP10	Combination		-51,952	-17,128	0	0	0	41,2866
39	0,445 HIP10	Combination		-51,952	-5,256E-11	0	0	0	45,0976
39	0 HIP11	Combination		-33,59	-17,128	0	0	0	47,2799
39	0,445 HIP11	Combination		-33,59	-4,528E-11	0	0	0	51,0909
39	0 HIP12	Combination		-33,228	-17,128	0	0	0	47,4822
39	0,445 HIP12	Combination		-33,228	-5,256E-11	0	0	0	51,2932
39	0 HIP13	Combination		-33,657	-17,128	0	0	0	47,2449
39	0,445 HIP13	Combination		-33,657	-4,71E-11	0	0	0	51,0559
39	0 HIP14	Combination		-33,462	-17,128	0	0	0	47,3597
39	0,445 HIP14	Combination		-33,462	-5,438E-11	0	0	0	51,1707
39	0 HIP15	Combination	Max	-31,374	9,522	0	0	0	278,5315
39	0,445 HIP15	Combination	Max	-31,374	42,532	0	0	0	297,8132
39	0 HIP15	Combination	Min	-41,134	-112,06	0	0	0	47,2799
39	0,445 HIP15	Combination	Min	-41,134	-42,532	0	0	0	51,0909
39	0 HIP16	Combination	Max	-31,441	9,522	0	0	0	278,4965
39	0,445 HIP16	Combination	Max	-31,441	42,532	0	0	0	297,7782
39	0 HIP16	Combination	Min	-41,201	-112,06	0	0	0	47,2449
39	0,445 HIP16	Combination	Min	-41,201	-42,532	0	0	0	51,0559
39	0 HIP17	Combination	Max	-31,246	9,522	0	0	0	278,6113
39	0,445 HIP17	Combination	Max	-31,246	42,532	0	0	0	297,893
39	0 HIP17	Combination	Min	-41,006	-112,06	0	0	0	47,3597
39	0,445 HIP17	Combination	Min	-41,006	-42,532	0	0	0	51,1707
39	0 HIP18	Combination	Max	-31,441	9,522	0	0	0	278,4965
39	0,445 HIP18	Combination	Max	-31,441	42,532	0	0	0	297,7782
39	0 HIP18	Combination	Min	-41,201	-112,06	0	0	0	47,2449
39	0,445 HIP18	Combination	Min	-41,201	-42,532	0	0	0	51,0559
39	0 HIP19	Combination		-33,59	-17,128	0	0	0	47,2799
39	0,445 HIP19	Combination		-33,59	-4,528E-11	0	0	0	51,0909
39	0 ELU	Combination	Max	6,975	16,853	0	0	0	415,0119
39	0,445 ELU	Combination	Max	6,975	63,799	0	0	0	443,3628
39	0 ELU	Combination	Min	-62,424	-165,521	0	0	0	26,4031

39	0,445	ELU	Combination	Min	-62,424	-63,799	0	0	0	27,9069
39	0	ELS-DEF	Combination	Max	-31,246	9,522	0	0	0	278,6113
39	0,445	ELS-DEF	Combination	Max	-31,246	42,532	0	0	0	297,893
39	0	ELS-DEF	Combination	Min	-41,201	-112,06	0	0	0	47,2449
39	0,445	ELS-DEF	Combination	Min	-41,201	-42,532	0	0	0	51,0559
39	0	HIP20	Combination		-45,143	-17,128	0	0	0	44,7656
39	0,445	HIP20	Combination		-45,143	-4,523E-11	0	0	0	48,5766
39	0	HIP21	Combination		-45,176	-17,128	0	0	0	44,7481
39	0,445	HIP21	Combination		-45,176	-4,523E-11	0	0	0	48,5591
39	0	ENV-SISMO	Combination	Max	-45,143	-17,128	0	0	0	44,7656
39	0,445	ENV-SISMO	Combination	Max	-45,143	-4,523E-11	0	0	0	48,5766
39	0	ENV-SISMO	Combination	Min	-45,176	-17,128	0	0	0	44,7481
39	0,445	ENV-SISMO	Combination	Min	-45,176	-4,523E-11	0	0	0	48,5591
39	0	HIP22	Combination		-33,69	-17,128	0	0	0	47,2274
39	0,445	HIP22	Combination		-33,69	-4,71E-11	0	0	0	51,0384
39	0	HIP23	Combination		-33,328	-17,128	0	0	0	47,4297
39	0,445	HIP23	Combination		-33,328	-5,438E-11	0	0	0	51,2407
39	0	ELS-FIS	Combination	Max	-33,328	-17,128	0	0	0	47,4297
39	0,445	ELS-FIS	Combination	Max	-33,328	-4,71E-11	0	0	0	51,2407
39	0	ELS-FIS	Combination	Min	-33,69	-17,128	0	0	0	47,2274
39	0,445	ELS-FIS	Combination	Min	-33,69	-5,438E-11	0	0	0	51,0384
39	0	ENV-TREN	Combination	Max	2,216	26,65	0	0	0	231,2516
39	0,445	ENV-TREN	Combination	Max	2,216	42,532	0	0	0	246,7223
39	0	ENV-TREN	Combination	Min	-7,544	-94,932	0	0	0	0
39	0,445	ENV-TREN	Combination	Min	-7,544	-42,532	0	0	0	0
40	0	PP	NonStatic	Max	5,167	0	0	0	0	20,6717
40	0,445	PP	NonStatic	Max	5,167	5,006	0	0	0	19,5579
40	0	PP	NonStatic	Min	5,167	0	0	0	0	20,6717
40	0,445	PP	NonStatic	Min	5,167	5,006	0	0	0	19,5579
40	0	CM CARRIL UIC-54	NonStatic	Max	-0,014	0	0	0	0	0,6316
40	0,445	CM CARRIL UIC-54	NonStatic	Max	-0,014	0,178	0	0	0	0,592
40	0	CM CARRIL UIC-54	NonStatic	Min	-0,014	0	0	0	0	0,6316
40	0,445	CM CARRIL UIC-54	NonStatic	Min	-0,014	0,178	0	0	0	0,592
40	0	CM TRAVIESAS	NonStatic	Max	-0,063	-3,638E-12	0	0	0	2,8738
40	0,445	CM TRAVIESAS	NonStatic	Max	-0,063	0,81	0	0	0	2,6936
40	0	CM TRAVIESAS	NonStatic	Min	-0,063	-3,638E-12	0	0	0	2,8738
40	0,445	CM TRAVIESAS	NonStatic	Min	-0,063	0,81	0	0	0	2,6936
40	0	CM TIERRAS + BALASTO	NonStatic	Max	-0,87	-5,821E-11	0	0	0	39,5072
40	0,445	CM TIERRAS + BALASTO	NonStatic	Max	-0,87	11,134	0	0	0	37,0299
40	0	CM TIERRAS + BALASTO	NonStatic	Min	-0,87	-5,821E-11	0	0	0	39,5072
40	0,445	CM TIERRAS + BALASTO	NonStatic	Min	-0,87	11,134	0	0	0	37,0299
40	0	CM SUELO SOLERA	NonStatic	Max	-0,067	-1,819E-12	0	0	0	-0,035
40	0,445	CM SUELO SOLERA	NonStatic	Max	-0,067	-1,819E-12	0	0	0	-0,035
40	0	CM SUELO SOLERA	NonStatic	Min	-0,067	-1,819E-12	0	0	0	-0,035
40	0,445	CM SUELO SOLERA	NonStatic	Min	-0,067	-1,819E-12	0	0	0	-0,035
40	0	SBC SUELO SOLERA	NonStatic	Max	-0,167	-3,638E-12	0	0	0	-0,0875
40	0,445	SBC SUELO SOLERA	NonStatic	Max	-0,167	-3,638E-12	0	0	0	-0,0875
40	0	SBC SUELO SOLERA	NonStatic	Min	-0,167	-3,638E-12	0	0	0	-0,0875
40	0,445	SBC SUELO SOLERA	NonStatic	Min	-0,167	-3,638E-12	0	0	0	-0,0875
40	0	EMPUJE TIERRAS	NonStatic	Max	-37,448	0	0	0	0	-12,3912
40	0,445	EMPUJE TIERRAS	NonStatic	Max	-37,448	0	0	0	0	-12,3912
40	0	EMPUJE TIERRAS	NonStatic	Min	-37,448	0	0	0	0	-12,3912
40	0,445	EMPUJE TIERRAS	NonStatic	Min	-37,448	0	0	0	0	-12,3912
40	0	EMPUJE AGUA	LinStatic		-0,362	0	0	0	0	-0,2023
40	0,445	EMPUJE AGUA	LinStatic		-0,362	0	0	0	0	-0,2023
40	0	SISMO	NonStatic	Max	-11,553	5,684E-14	0	0	0	-2,5144
40	0,445	SISMO	NonStatic	Max	-11,553	5,684E-14	0	0	0	-2,5144
40	0	SISMO	NonStatic	Min	-11,553	5,684E-14	0	0	0	-2,5144
40	0,445	SISMO	NonStatic	Min	-11,553	5,684E-14	0	0	0	-2,5144
40	0	MODAL	LinModal	Mode	-5,179	60,077	0	0	0	1,019E-10
40	0,445	MODAL	LinModal	Mode	-5,179	60,077	0	0	0	-26,7342
40	0	MODAL	LinModal	Mode	39,727	18,851	0	0	0	156,6667
40	0,445	MODAL	LinModal	Mode	39,727	18,851	0	0	0	148,278
40	0	MODAL	LinModal	Mode	-742,343	10724,805	0	0	0	-0,000221
40	0,445	MODAL	LinModal	Mode	-742,343	10724,805	0	0	0	-4772,5383
40	0	MODAL	LinModal	Mode	19369,524	5657,64	0	0	0	40206,4854
40	0,445	MODAL	LinModal	Mode	19369,524	5657,64	0	0	0	37688,8356
40	0	MODAL	LinModal	Mode	29400,858	-18910,817	0	0	0	-78130,1592
40	0,445	MODAL	LinModal	Mode	29400,858	-18910,817	0	0	0	-69714,8457
40	0	MODAL	LinModal	Mode	10188,424	-57164,587	0	0	0	-0,0035
40	0,445	MODAL	LinModal	Mode	10188,424	-57164,587	0	0	0	25438,2377
40	0	MODAL	LinModal	Mode	171686,876	-19609,705	0	0	0	-50630,5863
40	0,445	MODAL	LinModal	Mode	171686,876	-19609,705	0	0	0	-41904,2674





## “Proyecto de las estructuras para la conexión peatonal de los andenes de la estación de Font de Sant Lluís en Valencia”.

40	0 MODAL	LinModal	Mode	6388,138	314256,857	0	0	0	-0,048
40	0,445 MODAL	LinModal	Mode	6388,138	314256,857	0	0	0	-139844,349
40	0 MODAL	LinModal	Mode	14317,675	-115307,374	0	0	0	-0,139
40	0,445 MODAL	LinModal	Mode	14317,675	-115307,374	0	0	0	51311,6425
40	0 MODAL	LinModal	Mode	823988,287	-53544,365	0	0	0	-76321,6257
40	0,445 MODAL	LinModal	Mode	823988,287	-53544,365	0	0	0	-52494,3831
40	0 MODAL	LinModal	Mode	-63319,315	-231298,46	0	0	0	-0,136
40	0,445 MODAL	LinModal	Mode	-63319,315	-231298,46	0	0	0	102927,6787
40	0 MODAL	LinModal	Mode	240068,64	258930,138	0	0	0	296642,3218
40	0,445 MODAL	LinModal	Mode	240068,64	258930,138	0	0	0	181418,4106
40	0 HIP1	Combination		6,975	0	0	0	0	27,9069
40	0,445 HIP1	Combination		6,975	6,758	0	0	0	26,4031
40	0 HIP2	Combination		-50,475	-8,349E-11	0	0	0	67,3871
40	0,445 HIP2	Combination		-50,475	23,123	0	0	0	62,2423
40	0 HIP3	Combination		-51,018	-8,349E-11	0	0	0	67,0837
40	0,445 HIP3	Combination		-51,018	23,123	0	0	0	61,9389
40	0 HIP4	Combination		-50,565	-8,595E-11	0	0	0	67,3399
40	0,445 HIP4	Combination		-50,565	23,123	0	0	0	62,195
40	0 HIP5	Combination		-51,359	-9,14E-11	0	0	0	66,9053
40	0,445 HIP5	Combination		-51,359	23,123	0	0	0	61,7605
40	0 HIP6	Combination	Max	-28,97	63,799	0	0	0	443,3628
40	0,445 HIP6	Combination	Max	-28,97	165,521	0	0	0	415,0119
40	0 HIP6	Combination	Min	-43,609	-63,799	0	0	0	73,2793
40	0,445 HIP6	Combination	Min	-43,609	-16,853	0	0	0	68,1345
40	0 HIP7	Combination	Max	-47,785	63,799	0	0	0	437,12
40	0,445 HIP7	Combination	Max	-47,785	165,521	0	0	0	408,7691
40	0 HIP7	Combination	Min	-62,424	-63,799	0	0	0	67,0365
40	0,445 HIP7	Combination	Min	-62,424	-16,853	0	0	0	61,8917
40	0 HIP8	Combination	Max	-47,493	63,799	0	0	0	437,2921
40	0,445 HIP8	Combination	Max	-47,493	165,521	0	0	0	408,9412
40	0 HIP8	Combination	Min	-62,132	-63,799	0	0	0	67,2087
40	0,445 HIP8	Combination	Min	-62,132	-16,853	0	0	0	62,0638
40	0 HIP9	Combination	Max	-47,785	63,799	0	0	0	437,12
40	0,445 HIP9	Combination	Max	-47,785	165,521	0	0	0	408,7691
40	0 HIP9	Combination	Min	-62,424	-63,799	0	0	0	67,0365
40	0,445 HIP9	Combination	Min	-62,424	-16,853	0	0	0	61,8917
40	0 HIP10	Combination		-51,952	-6,185E-11	0	0	0	45,0976
40	0,445 HIP10	Combination		-51,952	17,128	0	0	0	41,2866
40	0 HIP11	Combination		-33,59	-6,185E-11	0	0	0	51,0909
40	0,445 HIP11	Combination		-33,59	17,128	0	0	0	47,2799
40	0 HIP12	Combination		-33,228	-6,185E-11	0	0	0	51,2932
40	0,445 HIP12	Combination		-33,228	17,128	0	0	0	47,4822
40	0 HIP13	Combination		-33,657	-6,366E-11	0	0	0	51,0559
40	0,445 HIP13	Combination		-33,657	17,128	0	0	0	47,2449
40	0 HIP14	Combination		-33,462	-6,73E-11	0	0	0	51,1707
40	0,445 HIP14	Combination		-33,462	17,128	0	0	0	47,3597
40	0 HIP15	Combination	Max	-31,374	42,532	0	0	0	297,8132
40	0,445 HIP15	Combination	Max	-31,374	112,06	0	0	0	278,5315
40	0 HIP15	Combination	Min	-41,134	-42,532	0	0	0	51,0909
40	0,445 HIP15	Combination	Min	-41,134	-9,522	0	0	0	47,2799
40	0 HIP16	Combination	Max	-31,441	42,532	0	0	0	297,7782
40	0,445 HIP16	Combination	Max	-31,441	112,06	0	0	0	278,4965
40	0 HIP16	Combination	Min	-41,201	-42,532	0	0	0	51,0559
40	0,445 HIP16	Combination	Min	-41,201	-9,522	0	0	0	47,2449
40	0 HIP17	Combination	Max	-31,246	42,532	0	0	0	297,893
40	0,445 HIP17	Combination	Max	-31,246	112,06	0	0	0	278,6113
40	0 HIP17	Combination	Min	-41,006	-42,532	0	0	0	51,1707
40	0,445 HIP17	Combination	Min	-41,006	-9,522	0	0	0	47,3597
40	0 HIP18	Combination	Max	-31,441	42,532	0	0	0	297,7782
40	0,445 HIP18	Combination	Max	-31,441	112,06	0	0	0	278,4965
40	0 HIP18	Combination	Min	-41,201	-42,532	0	0	0	51,0559
40	0,445 HIP18	Combination	Min	-41,201	-9,522	0	0	0	47,2449
40	0 HIP19	Combination		-33,59	-6,185E-11	0	0	0	51,0909
40	0,445 HIP19	Combination		-33,59	17,128	0	0	0	47,2799
40	0 ELU	Combination	Max	6,975	63,799	0	0	0	443,3628
40	0,445 ELU	Combination	Max	6,975	165,521	0	0	0	415,0119
40	0 ELU	Combination	Min	-62,424	-63,799	0	0	0	27,9069
40	0,445 ELU	Combination	Min	-62,424	-16,853	0	0	0	26,4031
40	0 ELS-DEF	Combination	Max	-31,246	42,532	0	0	0	297,893
40	0,445 ELS-DEF	Combination	Max	-31,246	112,06	0	0	0	278,6113
40	0 ELS-DEF	Combination	Min	-41,201	-42,532	0	0	0	51,0559
40	0,445 ELS-DEF	Combination	Min	-41,201	-9,522	0	0	0	47,2449
40	0 HIP20	Combination		-45,143	-6,179E-11	0	0	0	48,5766

40	0,445 HIP20	Combination		-45,143	17,128	0	0	0	44,7656
40	0 HIP21	Combination		-45,176	-6,252E-11	0	0	0	48,5591
40	0,445 HIP21	Combination		-45,176	17,128	0	0	0	44,7481
40	0 ENV-SISMO	Combination	Max	-45,143	-6,179E-11	0	0	0	48,5766
40	0,445 ENV-SISMO	Combination	Max	-45,143	17,128	0	0	0	44,7656
40	0 ENV-SISMO	Combination	Min	-45,176	-6,252E-11	0	0	0	48,5591
40	0,445 ENV-SISMO	Combination	Min	-45,176	17,128	0	0	0	44,7481
40	0 HIP22	Combination		-33,69	-6,439E-11	0	0	0	51,0384
40	0,445 HIP22	Combination		-33,69	17,128	0	0	0	47,2274
40	0 HIP23	Combination		-33,328	-6,439E-11	0	0	0	51,2407
40	0,445 HIP23	Combination		-33,328	17,128	0	0	0	47,4297
40	0 ELS-FIS	Combination	Max	-33,328	-6,439E-11	0	0	0	51,2407
40	0,445 ELS-FIS	Combination	Max	-33,328	17,128	0	0	0	47,4297
40	0 ELS-FIS	Combination	Min	-33,69	-6,439E-11	0	0	0	51,0384
40	0,445 ELS-FIS	Combination	Min	-33,69	17,128	0	0	0	47,2274
40	0 ENV-TREN	Combination	Max	2,216	42,532	0	0	0	246,7223
40	0,445 ENV-TREN	Combination	Max	2,216	94,932	0	0	0	231,2516
40	0 ENV-TREN	Combination	Min	-7,544	-42,532	0	0	0	0
40	0,445 ENV-TREN	Combination	Min	-7,544	-26,65	0	0	0	0
41	0 PP	NonStatic	Max	5,167	5,006	0	0	0	19,5579
41	0,445 PP	NonStatic	Max	5,167	10,012	0	0	0	16,2162
41	0 PP	NonStatic	Min	5,167	5,006	0	0	0	19,5579
41	0,445 PP	NonStatic	Min	5,167	10,012	0	0	0	16,2162
41	0 CM CARRIL UIC-54	NonStatic	Max	-0,014	0,178	0	0	0	0,592
41	0,445 CM CARRIL UIC-54	NonStatic	Max	-0,014	0,356	0	0	0	0,4732
41	0 CM CARRIL UIC-54	NonStatic	Min	-0,014	0,178	0	0	0	0,592
41	0,445 CM CARRIL UIC-54	NonStatic	Min	-0,014	0,356	0	0	0	0,4732
41	0 CM TRAVIESAS	NonStatic	Max	-0,063	0,81	0	0	0	2,6936
41	0,445 CM TRAVIESAS	NonStatic	Max	-0,063	1,62	0	0	0	2,153
41	0 CM TRAVIESAS	NonStatic	Min	-0,063	0,81	0	0	0	2,6936
41	0,445 CM TRAVIESAS	NonStatic	Min	-0,063	1,62	0	0	0	2,153
41	0 CM TIERRAS + BALASTO	NonStatic	Max	-0,87	11,134	0	0	0	37,0299
41	0,445 CM TIERRAS + BALASTO	NonStatic	Max	-0,87	22,268	0	0	0	29,598
41	0 CM TIERRAS + BALASTO	NonStatic	Min	-0,87	11,134	0	0	0	37,0299
41	0,445 CM TIERRAS + BALASTO	NonStatic	Min	-0,87	22,268	0	0	0	29,598
41	0 CM SUELO SOLERA	NonStatic	Max	-0,067	-1,819E-12	0	0	0	-0,035
41	0,445 CM SUELO SOLERA	NonStatic	Max	-0,067	-1,819E-12	0	0	0	-0,035
41	0 CM SUELO SOLERA	NonStatic	Min	-0,067	-1,819E-12	0	0	0	-0,035
41	0,445 CM SUELO SOLERA	NonStatic	Min	-0,067	-1,819E-12	0	0	0	-0,035
41	0 SBC SUELO SOLERA	NonStatic	Max	-0,167	-7,276E-12	0	0	0	-0,0875
41	0,445 SBC SUELO SOLERA	NonStatic	Max	-0,167	-7,276E-12	0	0	0	-0,0875
41	0 SBC SUELO SOLERA	NonStatic	Min	-0,167	-7,276E-12	0	0	0	-0,0875
41	0,445 SBC SUELO SOLERA	NonStatic	Min	-0,167	-7,276E-12	0	0	0	-0,0875
41	0 EMPUJE TIERRAS	NonStatic	Max	-37,448	2,274E-13	0	0	0	-12,3912
41	0,445 EMPUJE TIERRAS	NonStatic	Max	-37,448	2,274E-13	0	0	0	-12,3912
41	0 EMPUJE TIERRAS	NonStatic	Min	-37,448	2,274E-13	0	0	0	-12,3912
41	0,445 EMPUJE TIERRAS	NonStatic	Min	-37,448	2,274E-13	0	0	0	-12,3912
41	0 EMPUJE AGUA	LinStatic		-0,362	1,455E-11	0	0	0	-0,2023
41	0,445 EMPUJE AGUA	LinStatic		-0,362	1,455E-11	0	0	0	-0,2023
41	0 SISMO	NonStatic	Max	-11,553	5,684E-14	0	0	0	-2,5144
41	0,445 SISMO	NonStatic	Max	-11,553	5,684E-14	0	0	0	-2,5144
41	0 SISMO	NonStatic	Min	-11,553	5,684E-14	0	0	0	-2,5144
41	0,445 SISMO	NonStatic	Min	-11,553	5,684E-14	0	0	0	-2,5144
41	0 MODAL	LinModal	Mode	-15,536	61,325	0	0	0	-26,7342
41	0,445 MODAL	LinModal	Mode	-15,536	61,325	0	0	0	-54,0237
41	0 MODAL	LinModal	Mode	39,727	56,541	0	0	0	148,278
41	0,445 MODAL	LinModal	Mode	39,727	56,541	0	0	0	123,1173
41	0 MODAL	LinModal	Mode	-2226,831	10275,982	0	0	0	-4772,5383
41	0,445 MODAL	LinModal	Mode	-2226,831	10275,982	0	0	0	-9345,3505
41	0 MODAL	LinModal	Mode	19348,708	16397,587	0	0	0	37688,8356
41	0,445 MODAL	LinModal	Mode	19348,708	16397,587	0	0	0	30391,9093
41	0 MODAL	LinModal	Mode	29301,708	-53198,898	0	0	0	-69714,8457
41	0,445 MODAL	LinModal	Mode	29301,708	-53198,898	0	0	0	-46041,3362
41	0 MODAL	LinModal	Mode	30520,97	-47104,21	0	0	0	25438,2377
41	0,445 MODAL	LinModal	Mode	30520,97	-47104,21	0	0	0	46399,6112
41	0 MODAL	LinModal	Mode	170757,742	-55118,326	0	0	0	-41904,2674
41	0,445 MODAL	LinModal	Mode	170757,742	-55118,326	0	0	0	-17376,6123
41	0 MODAL	LinModal	Mode	19056,081	163089,692	0	0	0	-139844,349
41	0,445 MODAL	LinModal	Mode	19056,081	163089,692	0	0	0	-212419,262
41	0 MODAL	LinModal	Mode	42700,186	-65337,428	0	0	0	51311,6425
41	0,445 MODAL	LinModal	Mode	42700,186	-65337,428	0	0	0	80386,7982
41	0 MODAL	LinModal	Mode	801140,603	-131356	0	0	0	-52494,3831
41	0,445 MODAL	LinModal	Mode	801140,603	-131356	0	0	0	5959,0369





“Proyecto de las estructuras para la conexión peatonal de los andenes  
de la estación de Font de Sant Lluís en Valencia”.

41	0 MODAL	LinModal	Mode	-187553,831	-62192,256	0	0	0	102927,6787
41	0,445 MODAL	LinModal	Mode	-187553,831	-62192,256	0	0	0	130603,2327
41	0 MODAL	LinModal	Mode	227870,09	565879,378	0	0	0	181418,4106
41	0,445 MODAL	LinModal	Mode	227870,09	565879,378	0	0	0	-70397,9128
41	0 HIP1	Combination		6,975	6,758	0	0	0	26,4031
41	0,445 HIP1	Combination		6,975	13,517	0	0	0	21,8918
41	0 HIP2	Combination		-50,475	23,123	0	0	0	62,2423
41	0,445 HIP2	Combination		-50,475	46,246	0	0	0	46,8078
41	0 HIP3	Combination		-51,018	23,123	0	0	0	61,9389
41	0,445 HIP3	Combination		-51,018	46,246	0	0	0	46,5044
41	0 HIP4	Combination		-50,565	23,123	0	0	0	62,195
41	0,445 HIP4	Combination		-50,565	46,246	0	0	0	46,7605
41	0 HIP5	Combination		-51,359	23,123	0	0	0	61,7605
41	0,445 HIP5	Combination		-51,359	46,246	0	0	0	46,3259
41	0 HIP6	Combination	Max	-28,97	165,521	0	0	0	415,0119
41	0,445 HIP6	Combination	Max	-28,97	275,676	0	0	0	329,9592
41	0 HIP6	Combination	Min	-43,609	-16,853	0	0	0	68,1345
41	0,445 HIP6	Combination	Min	-43,609	24,385	0	0	0	52,7
41	0 HIP7	Combination	Max	-47,785	165,521	0	0	0	408,7691
41	0,445 HIP7	Combination	Max	-47,785	275,676	0	0	0	323,7164
41	0 HIP7	Combination	Min	-62,424	-16,853	0	0	0	61,8917
41	0,445 HIP7	Combination	Min	-62,424	24,385	0	0	0	46,4571
41	0 HIP8	Combination	Max	-47,493	165,521	0	0	0	408,9412
41	0,445 HIP8	Combination	Max	-47,493	275,676	0	0	0	323,8886
41	0 HIP8	Combination	Min	-62,132	-16,853	0	0	0	62,0638
41	0,445 HIP8	Combination	Min	-62,132	24,385	0	0	0	46,6293
41	0 HIP9	Combination	Max	-47,785	165,521	0	0	0	408,7691
41	0,445 HIP9	Combination	Max	-47,785	275,676	0	0	0	323,7164
41	0 HIP9	Combination	Min	-62,424	-16,853	0	0	0	61,8917
41	0,445 HIP9	Combination	Min	-62,424	24,385	0	0	0	46,4571
41	0 HIP10	Combination		-51,952	17,128	0	0	0	41,2866
41	0,445 HIP10	Combination		-51,952	34,256	0	0	0	29,8536
41	0 HIP11	Combination		-33,59	17,128	0	0	0	47,2799
41	0,445 HIP11	Combination		-33,59	34,256	0	0	0	35,847
41	0 HIP12	Combination		-33,228	17,128	0	0	0	47,4822
41	0,445 HIP12	Combination		-33,228	34,256	0	0	0	36,0492
41	0 HIP13	Combination		-33,657	17,128	0	0	0	47,2449
41	0,445 HIP13	Combination		-33,657	34,256	0	0	0	35,812
41	0 HIP14	Combination		-33,462	17,128	0	0	0	47,3597
41	0,445 HIP14	Combination		-33,462	34,256	0	0	0	35,9268
41	0 HIP15	Combination	Max	-31,374	112,06	0	0	0	278,5315
41	0,445 HIP15	Combination	Max	-31,374	187,21	0	0	0	220,6865
41	0 HIP15	Combination	Min	-41,134	-9,522	0	0	0	47,2799
41	0,445 HIP15	Combination	Min	-41,134	19,682	0	0	0	35,847
41	0 HIP16	Combination	Max	-31,441	112,06	0	0	0	278,4965
41	0,445 HIP16	Combination	Max	-31,441	187,21	0	0	0	220,6515
41	0 HIP16	Combination	Min	-41,201	-9,522	0	0	0	47,2449
41	0,445 HIP16	Combination	Min	-41,201	19,682	0	0	0	35,812
41	0 HIP17	Combination	Max	-31,246	112,06	0	0	0	278,6113
41	0,445 HIP17	Combination	Max	-31,246	187,21	0	0	0	220,7663
41	0 HIP17	Combination	Min	-41,006	-9,522	0	0	0	47,3597
41	0,445 HIP17	Combination	Min	-41,006	19,682	0	0	0	35,9268
41	0 HIP18	Combination	Max	-31,441	112,06	0	0	0	278,4965
41	0,445 HIP18	Combination	Max	-31,441	187,21	0	0	0	220,6515
41	0 HIP18	Combination	Min	-41,201	-9,522	0	0	0	47,2449
41	0,445 HIP18	Combination	Min	-41,201	19,682	0	0	0	35,812
41	0 HIP19	Combination		-33,59	17,128	0	0	0	47,2799
41	0,445 HIP19	Combination		-33,59	34,256	0	0	0	35,847
41	0 ELU	Combination	Max	6,975	165,521	0	0	0	415,0119
41	0,445 ELU	Combination	Max	6,975	275,676	0	0	0	329,9592
41	0 ELU	Combination	Min	-62,424	-16,853	0	0	0	26,4031
41	0,445 ELU	Combination	Min	-62,424	13,517	0	0	0	21,8918
41	0 ELS-DEF	Combination	Max	-31,246	112,06	0	0	0	278,6113
41	0,445 ELS-DEF	Combination	Max	-31,246	187,21	0	0	0	220,7663
41	0 ELS-DEF	Combination	Min	-41,201	-9,522	0	0	0	47,2449
41	0,445 ELS-DEF	Combination	Min	-41,201	19,682	0	0	0	35,812
41	0 HIP20	Combination		-45,143	17,128	0	0	0	44,7656
41	0,445 HIP20	Combination		-45,143	34,256	0	0	0	33,3326
41	0 HIP21	Combination		-45,176	17,128	0	0	0	44,7481
41	0,445 HIP21	Combination		-45,176	34,256	0	0	0	33,3151
41	0 ENV-SISMO	Combination	Max	-45,143	17,128	0	0	0	44,7656
41	0,445 ENV-SISMO	Combination	Max	-45,143	34,256	0	0	0	33,3326
41	0 ENV-SISMO	Combination	Min	-45,176	17,128	0	0	0	44,7481

41	0,445 ENV-SISMO	Combination	Min	-45,176	34,256	0	0	0	33,3151
41	0 HIP22	Combination		-33,69	17,128	0	0	0	47,2274
41	0,445 HIP22	Combination		-33,69	34,256	0	0	0	35,7945
41	0 HIP23	Combination		-33,328	17,128	0	0	0	47,4297
41	0,445 HIP23	Combination		-33,328	34,256	0	0	0	35,9967
41	0 ELS-FIS	Combination	Max	-33,328	17,128	0	0	0	47,4297
41	0,445 ELS-FIS	Combination	Max	-33,328	34,256	0	0	0	35,9967
41	0 ELS-FIS	Combination	Min	-33,69	17,128	0	0	0	47,2274
41	0,445 ELS-FIS	Combination	Min	-33,69	34,256	0	0	0	35,7945
41	0 ENV-TREN	Combination	Max	2,216	94,932	0	0	0	231,2516
41	0,445 ENV-TREN	Combination	Max	2,216	152,953	0	0	0	184,8395
41	0 ENV-TREN	Combination	Min	-7,544	-26,65	0	0	0	0
41	0,445 ENV-TREN	Combination	Min	-7,544	-14,574	0	0	0	0
42	0 PP	NonStatic	Max	5,167	10,013	0	0	0	16,2162
42	0,445 PP	NonStatic	Max	5,167	15,019	0	0	0	10,6467
42	0 PP	NonStatic	Min	5,167	10,013	0	0	0	16,2162
42	0,445 PP	NonStatic	Min	5,167	15,019	0	0	0	10,6467
42	0 CM CARRIL UIC-54	NonStatic	Max	-0,014	0,356	0	0	0	0,4732
42	0,445 CM CARRIL UIC-54	NonStatic	Max	-0,014	0,534	0	0	0	0,2752
42	0 CM CARRIL UIC-54	NonStatic	Min	-0,014	0,356	0	0	0	0,4732
42	0,445 CM CARRIL UIC-54	NonStatic	Min	-0,014	0,534	0	0	0	0,2752
42	0 CM TRAVIESAS	NonStatic	Max	-0,063	1,62	0	0	0	2,153
42	0,445 CM TRAVIESAS	NonStatic	Max	-0,063	2,43	0	0	0	1,252
42	0 CM TRAVIESAS	NonStatic	Min	-0,063	1,62	0	0	0	2,153
42	0,445 CM TRAVIESAS	NonStatic	Min	-0,063	2,43	0	0	0	1,252
42	0 CM TIERRAS + BALASTO	NonStatic	Max	-0,87	22,268	0	0	0	29,598
42	0,445 CM TIERRAS + BALASTO	NonStatic	Max	-0,87	33,402	0	0	0	17,2115
42	0 CM TIERRAS + BALASTO	NonStatic	Min	-0,87	22,268	0	0	0	29,598
42	0,445 CM TIERRAS + BALASTO	NonStatic	Min	-0,87	33,402	0	0	0	17,2115
42	0 CM SUELO SOLERA	NonStatic	Max	-0,067	0	0	0	0	-0,035
42	0,445 CM SUELO SOLERA	NonStatic	Max	-0,067	0	0	0	0	-0,035
42	0 CM SUELO SOLERA	NonStatic	Min	-0,067	0	0	0	0	-0,035
42	0,445 CM SUELO SOLERA	NonStatic	Min	-0,067	0	0	0	0	-0,035
42	0 SBC SUELO SOLERA	NonStatic	Max	-0,167	0	0	0	0	-0,0875
42	0,445 SBC SUELO SOLERA	NonStatic	Max	-0,167	0	0	0	0	-0,0875
42	0 SBC SUELO SOLERA	NonStatic	Min	-0,167	0	0	0	0	-0,0875
42	0,445 SBC SUELO SOLERA	NonStatic	Min	-0,167	0	0	0	0	-0,0875
42	0 EMPUJE TIERRAS	NonStatic	Max	-37,448	2,274E-13	0	0	0	-12,3912
42	0,445 EMPUJE TIERRAS	NonStatic	Max	-37,448	2,274E-13	0	0	0	-12,3912
42	0 EMPUJE TIERRAS	NonStatic	Min	-37,448	2,274E-13	0	0	0	-12,3912
42	0,445 EMPUJE TIERRAS	NonStatic	Min	-37,448	2,274E-13	0	0	0	-12,3912
42	0 EMPUJE AGUA	LinStatic		-0,362	7,276E-12	0	0	0	-0,2023
42	0,445 EMPUJE AGUA	LinStatic		-0,362	7,276E-12	0	0	0	-0,2023
42	0 SISMO	NonStatic	Max	-11,553	5,684E-14	0	0	0	-2,5144
42	0,445 SISMO	NonStatic	Max	-11,553	5,684E-14	0	0	0	-2,5144
42	0 SISMO	NonStatic	Min	-11,553	5,684E-14	0	0	0	-2,5144
42	0,445 SISMO	NonStatic	Min	-11,553	5,684E-14	0	0	0	-2,5144
42	0 MODAL	LinModal	Mode	-25,893	63,821	0	0	0	-54,0237
42	0,445 MODAL	LinModal	Mode	-25,893	63,821	0	0	0	-82,4243
42	0 MODAL	LinModal	Mode	39,726	94,195	0	0	0	123,1173
42	0,445 MODAL	LinModal	Mode	39,726	94,195	0	0	0	81,2003
42	0 MODAL	LinModal	Mode	-3710,731	9411,664	0	0	0	-9345,3505
42	0,445 MODAL	LinModal	Mode	-3710,731	9411,664	0	0	0	-13533,5408
42	0 MODAL	LinModal	Mode	19307,099	25483,458	0	0	0	30391,9093
42	0,445 MODAL	LinModal	Mode	19307,099	25483,458	0	0	0	19051,7706
42	0 MODAL	LinModal	Mode	29103,691	-77645,785	0	0	0	-46041,3362
42	0,445 MODAL	LinModal	Mode	29103,691	-77645,785	0	0	0	-11488,9619
42	0 MODAL	LinModal	Mode	50720,65	-29943,632	0	0	0	46399,6112
42	0,445 MODAL	LinModal	Mode	50720,65	-29943,632	0	0	0	59724,5275
42	0 MODAL	LinModal	Mode	168904,516	-80758,268	0	0	0	-17376,6123
42	0,445 MODAL	LinModal	Mode	168904,516	-80758,268	0	0	0	18560,8171
42	0 MODAL	LinModal	Mode	31400,233	-74256,028	0	0	0	-212419,262
42	0,445 MODAL	LinModal	Mode	31400,233	-74256,028	0	0	0	-179375,33
42	0 MODAL	LinModal	Mode	70325,608	9789,566	0	0	0	80386,7982
42	0,445 MODAL	LinModal	Mode	70325,608	9789,566	0	0	0	76030,4413
42	0 MODAL	LinModal	Mode	756078,107	-139513,647	0	0	0	5959,0369
42	0,445 MODAL	LinModal	Mode	756078,107	-139513,647	0	0	0	68042,6099
42	0 MODAL	LinModal	Mode	-304673,291	167118,624	0	0	0	130603,2327
42	0,445 MODAL	LinModal	Mode	-304673,291	167118,624	0	0	0	56235,445
42	0 MODAL	LinModal	Mode	204092,345	404405,024	0	0	0	-70397,9128
42	0,445 MODAL	LinModal	Mode	204092,345	404405,024	0	0	0	-250358,148
42	0 HIP1	Combination		6,975	13,517	0	0	0	21,8918
42	0,445 HIP1	Combination		6,975	20,275	0	0	0	14,3731



## “Proyecto de las estructuras para la conexión peatonal de los andenes de la estación de Font de Sant Lluís en Valencia”.

42	0 HIP2	Combination	-50,475	46,246	0	0	0	46,8078
42	0,445 HIP2	Combination	-50,475	69,369	0	0	0	21,0836
42	0 HIP3	Combination	-51,018	46,246	0	0	0	46,5044
42	0,445 HIP3	Combination	-51,018	69,369	0	0	0	20,7802
42	0 HIP4	Combination	-50,565	46,246	0	0	0	46,7605
42	0,445 HIP4	Combination	-50,565	69,369	0	0	0	21,0363
42	0 HIP5	Combination	-51,359	46,246	0	0	0	46,3259
42	0,445 HIP5	Combination	-51,359	69,369	0	0	0	20,6017
42	0 HIP6	Combination Max	-28,97	275,676	0	0	0	329,9592
42	0,445 HIP6	Combination Max	-28,97	391,144	0	0	0	188,2047
42	0 HIP6	Combination Min	-43,609	24,385	0	0	0	52,7
42	0,445 HIP6	Combination Min	-43,609	60,047	0	0	0	26,9758
42	0 HIP7	Combination Max	-47,785	275,676	0	0	0	323,7164
42	0,445 HIP7	Combination Max	-47,785	391,144	0	0	0	181,9619
42	0 HIP7	Combination Min	-62,424	24,385	0	0	0	46,4571
42	0,445 HIP7	Combination Min	-62,424	60,047	0	0	0	20,733
42	0 HIP8	Combination Max	-47,493	275,676	0	0	0	323,8886
42	0,445 HIP8	Combination Max	-47,493	391,144	0	0	0	182,1341
42	0 HIP8	Combination Min	-62,132	24,385	0	0	0	46,6293
42	0,445 HIP8	Combination Min	-62,132	60,047	0	0	0	20,9051
42	0 HIP9	Combination Max	-47,785	275,676	0	0	0	323,7164
42	0,445 HIP9	Combination Max	-47,785	391,144	0	0	0	181,9619
42	0 HIP9	Combination Min	-62,424	24,385	0	0	0	46,4571
42	0,445 HIP9	Combination Min	-62,424	60,047	0	0	0	20,733
42	0 HIP10	Combination	-51,952	34,256	0	0	0	29,8536
42	0,445 HIP10	Combination	-51,952	51,384	0	0	0	10,7987
42	0 HIP11	Combination	-33,59	34,256	0	0	0	35,847
42	0,445 HIP11	Combination	-33,59	51,384	0	0	0	16,792
42	0 HIP12	Combination	-33,228	34,256	0	0	0	36,0492
42	0,445 HIP12	Combination	-33,228	51,384	0	0	0	16,9943
42	0 HIP13	Combination	-33,657	34,256	0	0	0	35,812
42	0,445 HIP13	Combination	-33,657	51,384	0	0	0	16,757
42	0 HIP14	Combination	-33,462	34,256	0	0	0	35,9268
42	0,445 HIP14	Combination	-33,462	51,384	0	0	0	16,8718
42	0 HIP15	Combination Max	-31,374	187,21	0	0	0	220,6865
42	0,445 HIP15	Combination Max	-31,374	265,901	0	0	0	124,278
42	0 HIP15	Combination Min	-41,134	19,682	0	0	0	35,847
42	0,445 HIP15	Combination Min	-41,134	45,17	0	0	0	16,792
42	0 HIP16	Combination Max	-31,441	187,21	0	0	0	220,6515
42	0,445 HIP16	Combination Max	-31,441	265,901	0	0	0	124,243
42	0 HIP16	Combination Min	-41,201	19,682	0	0	0	35,812
42	0,445 HIP16	Combination Min	-41,201	45,17	0	0	0	16,757
42	0 HIP17	Combination Max	-31,246	187,21	0	0	0	220,7663
42	0,445 HIP17	Combination Max	-31,246	265,901	0	0	0	124,3578
42	0 HIP17	Combination Min	-41,006	19,682	0	0	0	35,9268
42	0,445 HIP17	Combination Min	-41,006	45,17	0	0	0	16,8718
42	0 HIP18	Combination Max	-31,441	187,21	0	0	0	220,6515
42	0,445 HIP18	Combination Max	-31,441	265,901	0	0	0	124,243
42	0 HIP18	Combination Min	-41,201	19,682	0	0	0	35,812
42	0,445 HIP18	Combination Min	-41,201	45,17	0	0	0	16,757
42	0 HIP19	Combination	-33,59	34,256	0	0	0	35,847
42	0,445 HIP19	Combination	-33,59	51,384	0	0	0	16,792
42	0 ELU	Combination Max	6,975	275,676	0	0	0	329,9592
42	0,445 ELU	Combination Max	6,975	391,144	0	0	0	188,2047
42	0 ELU	Combination Min	-62,424	13,517	0	0	0	21,8918
42	0,445 ELU	Combination Min	-62,424	20,275	0	0	0	10,7987
42	0 ELS-DEF	Combination Max	-31,246	187,21	0	0	0	220,7663
42	0,445 ELS-DEF	Combination Max	-31,246	265,901	0	0	0	124,3578
42	0 ELS-DEF	Combination Min	-41,201	19,682	0	0	0	35,812
42	0,445 ELS-DEF	Combination Min	-41,201	45,17	0	0	0	16,757
42	0 HIP20	Combination	-45,143	34,256	0	0	0	33,3326
42	0,445 HIP20	Combination	-45,143	51,384	0	0	0	14,2776
42	0 HIP21	Combination	-45,176	34,256	0	0	0	33,3151
42	0,445 HIP21	Combination	-45,176	51,384	0	0	0	14,2601
42	0 ENV-SISMO	Combination Max	-45,143	34,256	0	0	0	33,3326
42	0,445 ENV-SISMO	Combination Max	-45,143	51,384	0	0	0	14,2776
42	0 ENV-SISMO	Combination Min	-45,176	34,256	0	0	0	33,3151
42	0,445 ENV-SISMO	Combination Min	-45,176	51,384	0	0	0	14,2601
42	0 HIP22	Combination	-33,69	34,256	0	0	0	35,7945
42	0,445 HIP22	Combination	-33,69	51,384	0	0	0	16,7395
42	0 HIP23	Combination	-33,328	34,256	0	0	0	35,9967
42	0,445 HIP23	Combination	-33,328	51,384	0	0	0	16,9418
42	0 ELS-FIS	Combination Max	-33,328	34,256	0	0	0	35,9967



42	0,445 ELS-FIS	Combination	Max	-33,328	51,384	0	0	0	16,9418
42	0 ELS-FIS	Combination	Min	-33,69	34,256	0	0	0	35,7945
42	0,445 ELS-FIS	Combination	Min	-33,69	51,384	0	0	0	16,7395
42	0 ENV-TREN	Combination	Max	2,216	152,953	0	0	0	184,8395
42	0,445 ENV-TREN	Combination	Max	2,216	214,517	0	0	0	107,486
42	0 ENV-TREN	Combination	Min	-7,544	-14,574	0	0	0	0
42	0,445 ENV-TREN	Combination	Min	-7,544	-6,214	0	0	0	0
43	0 PP	NonStatic	Max	5,167	15,019	0	0	0	10,6467
43	0,445 PP	NonStatic	Max	5,167	20,025	0	0	0	2,8495
43	0 PP	NonStatic	Min	5,167	15,019	0	0	0	10,6467
43	0,445 PP	NonStatic	Min	5,167	20,025	0	0	0	2,8495
43	0 CM CARRIL UIC-54	NonStatic	Max	-0,014	0,534	0	0	0	0,2752
43	0,445 CM CARRIL UIC-54	NonStatic	Max	-0,014	0,712	0	0	0	-0,0021
43	0 CM CARRIL UIC-54	NonStatic	Min	-0,014	0,534	0	0	0	0,2752
43	0,445 CM CARRIL UIC-54	NonStatic	Min	-0,014	0,712	0	0	0	-0,0021
43	0 CM TRAVIESAS	NonStatic	Max	-0,063	2,43	0	0	0	1,252
43	0,445 CM TRAVIESAS	NonStatic	Max	-0,063	3,24	0	0	0	-0,0094
43	0 CM TRAVIESAS	NonStatic	Min	-0,063	2,43	0	0	0	1,252
43	0,445 CM TRAVIESAS	NonStatic	Min	-0,063	3,24	0	0	0	-0,0094
43	0 CM TIERRAS + BALASTO	NonStatic	Max	-0,87	33,402	0	0	0	17,2115
43	0,445 CM TIERRAS + BALASTO	NonStatic	Max	-0,87	44,536	0	0	0	-0,1295
43	0 CM TIERRAS + BALASTO	NonStatic	Min	-0,87	33,402	0	0	0	17,2115
43	0,445 CM TIERRAS + BALASTO	NonStatic	Min	-0,87	44,536	0	0	0	-0,1295
43	0 CM SUELO SOLERA	NonStatic	Max	-0,067	0	0	0	0	-0,035
43	0,445 CM SUELO SOLERA	NonStatic	Max	-0,067	0	0	0	0	-0,035
43	0 CM SUELO SOLERA	NonStatic	Min	-0,067	0	0	0	0	-0,035
43	0,445 CM SUELO SOLERA	NonStatic	Min	-0,067	0	0	0	0	-0,035
43	0 SBC SUELO SOLERA	NonStatic	Max	-0,167	-3,638E-12	0	0	0	-0,0875
43	0,445 SBC SUELO SOLERA	NonStatic	Max	-0,167	-3,638E-12	0	0	0	-0,0875
43	0 SBC SUELO SOLERA	NonStatic	Min	-0,167	-3,638E-12	0	0	0	-0,0875
43	0,445 SBC SUELO SOLERA	NonStatic	Min	-0,167	-3,638E-12	0	0	0	-0,0875
43	0 EMPUJE TIERRAS	NonStatic	Max	-37,448	0	0	0	0	-12,3912
43	0,445 EMPUJE TIERRAS	NonStatic	Max	-37,448	0	0	0	0	-12,3912
43	0 EMPUJE TIERRAS	NonStatic	Min	-37,448	0	0	0	0	-12,3912
43	0,445 EMPUJE TIERRAS	NonStatic	Min	-37,448	0	0	0	0	-12,3912
43	0 EMPUJE AGUA	LinStatic	Max	-0,362	0	0	0	0	-0,2023
43	0,445 EMPUJE AGUA	LinStatic	Max	-0,362	0	0	0	0	-0,2023
43	0 SISMO	NonStatic	Max	-11,553	-2,842E-14	0	0	0	-2,5144
43	0,445 SISMO	NonStatic	Max	-11,553	-2,842E-14	0	0	0	-2,5144
43	0 SISMO	NonStatic	Min	-11,553	-2,842E-14	0	0	0	-2,5144
43	0,445 SISMO	NonStatic	Min	-11,553	-2,842E-14	0	0	0	-2,5144
43	0 MODAL	LinModal	Mode	-36,25	67,569	0	0	0	-82,4243
43	0,445 MODAL	LinModal	Mode	-36,25	67,569	0	0	0	-112,4925
43	0 MODAL	LinModal	Mode	39,726	131,795	0	0	0	81,2003
43	0,445 MODAL	LinModal	Mode	39,726	131,795	0	0	0	22,5514
43	0 MODAL	LinModal	Mode	-5193,651	8197,107	0	0	0	-13533,5408
43	0,445 MODAL	LinModal	Mode	-5193,651	8197,107	0	0	0	-17181,2532
43	0 MODAL	LinModal	Mode	19244,741	32044,94	0	0	0	19051,7706
43	0,445 MODAL	LinModal	Mode	19244,741	32044,94	0	0	0	4791,7725
43	0 MODAL	LinModal	Mode	28807,51	-88080,172	0	0	0	-11488,9619
43	0,445 MODAL	LinModal	Mode	28807,51	-88080,172	0	0	0	27706,7146
43	0 MODAL	LinModal	Mode	70699,568	-11077,58	0	0	0	59724,5275
43	0,445 MODAL	LinModal	Mode	70699,568	-11077,58	0	0	0	64654,0505
43	0 MODAL	LinModal	Mode	166137,205	-93921,442	0	0	0	18560,8171
43	0,445 MODAL	LinModal	Mode	166137,205	-93921,442	0	0	0	60355,8589
43	0 MODAL	LinModal	Mode	43210,981	-298939,445	0	0	0	-179375,33
43	0,445 MODAL	LinModal	Mode	43210,981	-298939,445	0	0	0	-46347,2764
43	0 MODAL	LinModal	Mode	96702,85	71257,621	0	0	0	76030,4413
43	0,445 MODAL	LinModal	Mode	96702,85	71257,621	0	0	0	44320,8
43	0 MODAL	LinModal	Mode	690050,12	-82164,312	0	0	0	68042,6099
43	0,445 MODAL	LinModal	Mode	690050,12	-82164,312	0	0	0	104605,7287
43	0 MODAL	LinModal	Mode	-410236,018	317945,356	0	0	0	56235,445
43	0,445 MODAL	LinModal	Mode	-410236,018	317945,356	0	0	0	-85250,2384
43	0 MODAL	LinModal	Mode	169943,745	-123578,135	0	0	0	-250358,148
43	0,445 MODAL	LinModal	Mode	169943,745	-123578,135	0	0	0	-195365,879
43	0 HIP1	Combination	Max	6,975	20,275	0	0	0	14,3731
43	0,445 HIP1	Combination	Max	6,975	27,034	0	0	0	3,8468
43	0 HIP2	Combination	Max	-50,475	69,369	0	0	0	21,0836
43	0,445 HIP2	Combination	Max	-50,475	92,491	0	0	0	-14,9303
43	0 HIP3	Combination	Max	-51,018	69,369	0	0	0	20,7802
43	0,445 HIP3	Combination	Max	-51,018	92,491	0	0	0	-15,2337
43	0 HIP4	Combination	Max	-50,565	69,369	0	0	0	21,0363
43	0,445 HIP4	Combination	Max	-50,565	92,491	0	0	0	-14,9775





“Proyecto de las estructuras para la conexión peatonal de los andenes  
de la estación de Font de Sant Lluís en Valencia”.

43	0 HIP5	Combination	-51,359	69,369	0	0	0	20,6017
43	0,445 HIP5	Combination	-51,359	92,491	0	0	0	-15,4121
43	0 HIP6	Combination Max	-28,97	391,144	0	0	0	188,2047
43	0,445 HIP6	Combination Max	-28,97	511,711	0	0	0	14,5467
43	0 HIP6	Combination Min	-43,609	60,047	0	0	0	26,9758
43	0,445 HIP6	Combination Min	-43,609	90,359	0	0	0	-33,2442
43	0 HIP7	Combination Max	-47,785	391,144	0	0	0	181,9619
43	0,445 HIP7	Combination Max	-47,785	511,711	0	0	0	8,3039
43	0 HIP7	Combination Min	-62,424	60,047	0	0	0	20,733
43	0,445 HIP7	Combination Min	-62,424	90,359	0	0	0	-39,487
43	0 HIP8	Combination Max	-47,493	391,144	0	0	0	182,1341
43	0,445 HIP8	Combination Max	-47,493	511,711	0	0	0	8,4761
43	0 HIP8	Combination Min	-62,132	60,047	0	0	0	20,9051
43	0,445 HIP8	Combination Min	-62,132	90,359	0	0	0	-39,3148
43	0 HIP9	Combination Max	-47,785	391,144	0	0	0	181,9619
43	0,445 HIP9	Combination Max	-47,785	511,711	0	0	0	8,3039
43	0 HIP9	Combination Min	-62,424	60,047	0	0	0	20,733
43	0,445 HIP9	Combination Min	-62,424	90,359	0	0	0	-39,487
43	0 HIP10	Combination	-51,952	51,384	0	0	0	10,7987
43	0,445 HIP10	Combination	-51,952	68,512	0	0	0	-15,8783
43	0 HIP11	Combination	-33,59	51,384	0	0	0	16,792
43	0,445 HIP11	Combination	-33,59	68,512	0	0	0	-9,8849
43	0 HIP12	Combination	-33,228	51,384	0	0	0	16,9943
43	0,445 HIP12	Combination	-33,228	68,512	0	0	0	-9,6827
43	0 HIP13	Combination	-33,657	51,384	0	0	0	16,757
43	0,445 HIP13	Combination	-33,657	68,512	0	0	0	-9,9199
43	0 HIP14	Combination	-33,462	51,384	0	0	0	16,8718
43	0,445 HIP14	Combination	-33,462	68,512	0	0	0	-9,8051
43	0 HIP15	Combination Max	-31,374	265,901	0	0	0	124,278
43	0,445 HIP15	Combination Max	-31,374	347,992	0	0	0	5,8383
43	0 HIP15	Combination Min	-41,134	45,17	0	0	0	16,792
43	0,445 HIP15	Combination Min	-41,134	67,091	0	0	0	-26,0223
43	0 HIP16	Combination Max	-31,441	265,901	0	0	0	124,243
43	0,445 HIP16	Combination Max	-31,441	347,992	0	0	0	5,8033
43	0 HIP16	Combination Min	-41,201	45,17	0	0	0	16,757
43	0,445 HIP16	Combination Min	-41,201	67,091	0	0	0	-26,0573
43	0 HIP17	Combination Max	-31,246	265,901	0	0	0	124,3578
43	0,445 HIP17	Combination Max	-31,246	347,992	0	0	0	5,9181
43	0 HIP17	Combination Min	-41,006	45,17	0	0	0	16,8718
43	0,445 HIP17	Combination Min	-41,006	67,091	0	0	0	-25,9425
43	0 HIP18	Combination Max	-31,441	265,901	0	0	0	124,243
43	0,445 HIP18	Combination Max	-31,441	347,992	0	0	0	5,8033
43	0 HIP18	Combination Min	-41,201	45,17	0	0	0	16,757
43	0,445 HIP18	Combination Min	-41,201	67,091	0	0	0	-26,0573
43	0 HIP19	Combination	-33,59	51,384	0	0	0	16,792
43	0,445 HIP19	Combination	-33,59	68,512	0	0	0	-9,8849
43	0 ELU	Combination Max	6,975	391,144	0	0	0	188,2047
43	0,445 ELU	Combination Max	6,975	511,711	0	0	0	14,5467
43	0 ELU	Combination Min	-62,424	20,275	0	0	0	10,7987
43	0,445 ELU	Combination Min	-62,424	27,034	0	0	0	-39,487
43	0 ELS-DEF	Combination Max	-31,246	265,901	0	0	0	124,3578
43	0,445 ELS-DEF	Combination Max	-31,246	347,992	0	0	0	5,9181
43	0 ELS-DEF	Combination Min	-41,201	45,17	0	0	0	16,757
43	0,445 ELS-DEF	Combination Min	-41,201	67,091	0	0	0	-26,0573
43	0 HIP20	Combination	-45,143	51,384	0	0	0	14,2776
43	0,445 HIP20	Combination	-45,143	68,512	0	0	0	-12,3993
43	0 HIP21	Combination	-45,176	51,384	0	0	0	14,2601
43	0,445 HIP21	Combination	-45,176	68,512	0	0	0	-12,4168
43	0 ENV-SISMO	Combination Max	-45,143	51,384	0	0	0	14,2776
43	0,445 ENV-SISMO	Combination Max	-45,143	68,512	0	0	0	-12,3993
43	0 ENV-SISMO	Combination Min	-45,176	51,384	0	0	0	14,2601
43	0,445 ENV-SISMO	Combination Min	-45,176	68,512	0	0	0	-12,4168
43	0 HIP22	Combination	-33,69	51,384	0	0	0	16,7395
43	0,445 HIP22	Combination	-33,69	68,512	0	0	0	-9,9374
43	0 HIP23	Combination	-33,328	51,384	0	0	0	16,9418
43	0,445 HIP23	Combination	-33,328	68,512	0	0	0	-9,7352
43	0 ELS-FIS	Combination Max	-33,328	51,384	0	0	0	16,9418
43	0,445 ELS-FIS	Combination Max	-33,328	68,512	0	0	0	-9,7352
43	0 ELS-FIS	Combination Min	-33,69	51,384	0	0	0	16,7395
43	0,445 ELS-FIS	Combination Min	-33,69	68,512	0	0	0	-9,9374
43	0 ENV-TREN	Combination Max	2,216	214,517	0	0	0	107,486
43	0,445 ENV-TREN	Combination Max	2,216	279,48	0	0	0	15,7232
43	0 ENV-TREN	Combination Min	-7,544	-6,214	0	0	0	0

43	0,445 ENV-TREN	Combination	Min	-7,544	-1,421	0	0	0	-16,1374
44	0 PP	NonStatic	Max	5,167	20,025	0	0	0	2,8495
44	0,47 PP	NonStatic	Max	5,167	25,313	0	0	0	-7,8048
44	0 PP	NonStatic	Min	5,167	20,025	0	0	0	2,8495
44	0,47 PP	NonStatic	Min	5,167	25,313	0	0	0	-7,8048
44	0 CM CARRIL UIC-54	NonStatic	Max	-0,014	0,712	0	0	0	-0,0021
44	0,47 CM CARRIL UIC-54	NonStatic	Max	-0,014	0,9	0	0	0	-0,3809
44	0 CM CARRIL UIC-54	NonStatic	Min	-0,014	0,712	0	0	0	-0,0021
44	0,47 CM CARRIL UIC-54	NonStatic	Min	-0,014	0,9	0	0	0	-0,3809
44	0 CM TRAVIESAS	NonStatic	Max	-0,063	3,24	0	0	0	-0,0094
44	0,47 CM TRAVIESAS	NonStatic	Max	-0,063	4,095	0	0	0	-1,7331
44	0 CM TRAVIESAS	NonStatic	Min	-0,063	3,24	0	0	0	-0,0094
44	0,47 CM TRAVIESAS	NonStatic	Min	-0,063	4,095	0	0	0	-1,7331
44	0 CM TIERRAS + BALASTO	NonStatic	Max	-0,87	44,536	0	0	0	-0,1295
44	0,47 CM TIERRAS + BALASTO	NonStatic	Max	-0,87	56,295	0	0	0	-23,8247
44	0 CM TIERRAS + BALASTO	NonStatic	Min	-0,87	44,536	0	0	0	-0,1295
44	0,47 CM TIERRAS + BALASTO	NonStatic	Min	-0,87	56,295	0	0	0	-23,8247
44	0 CM SUELO SOLERA	NonStatic	Max	-0,067	0	0	0	0	-0,035
44	0,47 CM SUELO SOLERA	NonStatic	Max	-0,067	0	0	0	0	-0,035
44	0 CM SUELO SOLERA	NonStatic	Min	-0,067	0	0	0	0	-0,035
44	0,47 CM SUELO SOLERA	NonStatic	Min	-0,067	0	0	0	0	-0,035
44	0 SBC SUELO SOLERA	NonStatic	Max	-0,167	3,638E-12	0	0	0	-0,0875
44	0,47 SBC SUELO SOLERA	NonStatic	Max	-0,167	3,638E-12	0	0	0	-0,0875
44	0 SBC SUELO SOLERA	NonStatic	Min	-0,167	3,638E-12	0	0	0	-0,0875
44	0,47 SBC SUELO SOLERA	NonStatic	Min	-0,167	3,638E-12	0	0	0	-0,0875
44	0 EMPUJE TIERRAS	NonStatic	Max	-37,448	1,137E-13	0	0	0	-12,3912
44	0,47 EMPUJE TIERRAS	NonStatic	Max	-37,448	1,137E-13	0	0	0	-12,3912
44	0 EMPUJE TIERRAS	NonStatic	Min	-37,448	1,137E-13	0	0	0	-12,3912
44	0,47 EMPUJE TIERRAS	NonStatic	Min	-37,448	1,137E-13	0	0	0	-12,3912
44	0 EMPUJE AGUA	LinStatic		-0,362	0	0	0	0	-0,2023
44	0,47 EMPUJE AGUA	LinStatic		-0,362	0	0	0	0	-0,2023
44	0 SISMO	NonStatic	Max	-11,553	-2,842E-14	0	0	0	-2,5144
44	0,47 SISMO	NonStatic	Max	-11,553	-2,842E-14	0	0	0	-2,5144
44	0 SISMO	NonStatic	Min	-11,553	-2,842E-14	0	0	0	-2,5144
44	0,47 SISMO	NonStatic	Min	-11,553	-2,842E-14	0	0	0	-2,5144
44	0 MODAL	LinModal	Mode	-46,898	72,71	0	0	0	-112,4925
44	0,47 MODAL	LinModal	Mode	-46,898	72,71	0	0	0	-146,6664
44	0 MODAL	LinModal	Mode	39,725	170,382	0	0	0	22,5514
44	0,47 MODAL	LinModal	Mode	39,725	170,382	0	0	0	-57,5283
44	0 MODAL	LinModal	Mode	-6716,816	6685,505	0	0	0	-17181,2532
44	0,47 MODAL	LinModal	Mode	-6716,816	6685,505	0	0	0	-20323,4405
44	0 MODAL	LinModal	Mode	19159,369	35633,654	0	0	0	4791,7725
44	0,47 MODAL	LinModal	Mode	19159,369	35633,654	0	0	0	-11956,0449
44	0 MODAL	LinModal	Mode	28403,131	-83317,446	0	0	0	27706,7146
44	0,47 MODAL	LinModal	Mode	28403,131	-83317,446	0	0	0	66865,914
44	0 MODAL	LinModal	Mode	90923,323	2946,277	0	0	0	64654,0505
44	0,47 MODAL	LinModal	Mode	90923,323	2946,277	0	0	0	63269,3002
44	0 MODAL	LinModal	Mode	162367,85	-97282,77	0	0	0	60355,8589
44	0,47 MODAL	LinModal	Mode	162367,85	-97282,77	0	0	0	106078,7607
44	0 MODAL	LinModal	Mode	54600,091	-430716,752	0	0	0	-46347,2764
44	0,47 MODAL	LinModal	Mode	54600,091	-430716,752	0	0	0	156089,5971
44	0 MODAL	LinModal	Mode	122059,845	82822,18	0	0	0	44320,8
44	0,47 MODAL	LinModal	Mode	122059,845	82822,18	0	0	0	5394,3756
44	0 MODAL	LinModal	Mode	602496,452	-8520,928	0	0	0	104605,7287
44	0,47 MODAL	LinModal	Mode	602496,452	-8520,928	0	0	0	108610,5648
44	0 MODAL	LinModal	Mode	-502762,199	329039,43	0	0	0	-85250,2384
44	0,47 MODAL	LinModal	Mode	-502762,199	329039,43	0	0	0	-239898,77
44	0 MODAL	LinModal	Mode	125956,745	-672802,112	0	0	0	-195365,879
44	0,47 MODAL	LinModal	Mode	125956,745	-672802,112	0	0	0	120851,114
44	0 HIP1	Combination		6,975	27,034	0	0	0	3,8468
44	0,47 HIP1	Combination		6,975	34,172	0	0	0	-10,5365
44	0 HIP2	Combination		-50,475	92,491	0	0	0	-14,9303
44	0,47 HIP2	Combination		-50,475	116,913	0	0	0	-64,1404
44	0 HIP3	Combination		-51,018	92,491	0	0	0	-15,2337
44	0,47 HIP3	Combination		-51,018	116,913	0	0	0	-64,4438
44	0 HIP4	Combination		-50,565	92,491	0	0	0	-14,9775
44	0,47 HIP4	Combination		-50,565	116,913	0	0	0	-64,1877
44	0 HIP5	Combination		-51,359	92,491	0	0	0	-15,4121
44	0,47 HIP5	Combination		-51,359	116,913	0	0	0	-64,6223
44	0 HIP6	Combination	Max	-28,97	511,711	0	0	0	14,5467
44	0,47 HIP6	Combination	Max	-28,97	644,257	0	0	0	-58,2482
44	0 HIP6	Combination	Min	-43,609	90,359	0	0	0	-33,2442
44	0,47 HIP6	Combination	Min	-43,609	116,913	0	0	0	-281,4265



“Proyecto de las estructuras para la conexión peatonal de los andenes  
de la estación de Font de Sant Lluís en Valencia”.

44	0 HIP7	Combination	Max	-47,785	511,711	0	0	0	8,3039
44	0,47 HIP7	Combination	Max	-47,785	644,257	0	0	0	-64,4911
44	0 HIP7	Combination	Min	-62,424	90,359	0	0	0	-39,487
44	0,47 HIP7	Combination	Min	-62,424	116,913	0	0	0	-287,6693
44	0 HIP8	Combination	Max	-47,493	511,711	0	0	0	8,4761
44	0,47 HIP8	Combination	Max	-47,493	644,257	0	0	0	-64,3189
44	0 HIP8	Combination	Min	-62,132	90,359	0	0	0	-39,3148
44	0,47 HIP8	Combination	Min	-62,132	116,913	0	0	0	-287,4971
44	0 HIP9	Combination	Max	-47,785	511,711	0	0	0	8,3039
44	0,47 HIP9	Combination	Max	-47,785	644,257	0	0	0	-64,4911
44	0 HIP9	Combination	Min	-62,424	90,359	0	0	0	-39,487
44	0,47 HIP9	Combination	Min	-62,424	116,913	0	0	0	-287,6693
44	0 HIP10	Combination		-51,952	68,512	0	0	0	-15,8783
44	0,47 HIP10	Combination		-51,952	86,603	0	0	0	-52,3302
44	0 HIP11	Combination		-33,59	68,512	0	0	0	-9,8849
44	0,47 HIP11	Combination		-33,59	86,603	0	0	0	-46,3369
44	0 HIP12	Combination		-33,228	68,512	0	0	0	-9,6827
44	0,47 HIP12	Combination		-33,228	86,603	0	0	0	-46,1346
44	0 HIP13	Combination		-33,657	68,512	0	0	0	-9,9199
44	0,47 HIP13	Combination		-33,657	86,603	0	0	0	-46,3719
44	0 HIP14	Combination		-33,462	68,512	0	0	0	-9,8051
44	0,47 HIP14	Combination		-33,462	86,603	0	0	0	-46,2571
44	0 HIP15	Combination	Max	-31,374	347,992	0	0	0	5,8383
44	0,47 HIP15	Combination	Max	-31,374	438,165	0	0	0	-46,3369
44	0 HIP15	Combination	Min	-41,134	67,091	0	0	0	-26,0223
44	0,47 HIP15	Combination	Min	-41,134	86,603	0	0	0	-195,1224
44	0 HIP16	Combination	Max	-31,441	347,992	0	0	0	5,8033
44	0,47 HIP16	Combination	Max	-31,441	438,165	0	0	0	-46,3719
44	0 HIP16	Combination	Min	-41,201	67,091	0	0	0	-26,0573
44	0,47 HIP16	Combination	Min	-41,201	86,603	0	0	0	-195,1574
44	0 HIP17	Combination	Max	-31,246	347,992	0	0	0	5,9181
44	0,47 HIP17	Combination	Max	-31,246	438,165	0	0	0	-46,2571
44	0 HIP17	Combination	Min	-41,006	67,091	0	0	0	-25,9425
44	0,47 HIP17	Combination	Min	-41,006	86,603	0	0	0	-195,0426
44	0 HIP18	Combination	Max	-31,441	347,992	0	0	0	5,8033
44	0,47 HIP18	Combination	Max	-31,441	438,165	0	0	0	-46,3719
44	0 HIP18	Combination	Min	-41,201	67,091	0	0	0	-26,0573
44	0,47 HIP18	Combination	Min	-41,201	86,603	0	0	0	-195,1574
44	0 HIP19	Combination		-33,59	68,512	0	0	0	-9,8849
44	0,47 HIP19	Combination		-33,59	86,603	0	0	0	-46,3369
44	0 ELU	Combination	Max	6,975	511,711	0	0	0	14,5467
44	0,47 ELU	Combination	Max	6,975	644,257	0	0	0	-10,5365
44	0 ELU	Combination	Min	-62,424	27,034	0	0	0	-39,487
44	0,47 ELU	Combination	Min	-62,424	34,172	0	0	0	-287,6693
44	0 ELS-DEF	Combination	Max	-31,246	347,992	0	0	0	5,9181
44	0,47 ELS-DEF	Combination	Max	-31,246	438,165	0	0	0	-46,1346
44	0 ELS-DEF	Combination	Min	-41,201	67,091	0	0	0	-26,0573
44	0,47 ELS-DEF	Combination	Min	-41,201	86,603	0	0	0	-195,1574
44	0 HIP20	Combination		-45,143	68,512	0	0	0	-12,3993
44	0,47 HIP20	Combination		-45,143	86,603	0	0	0	-48,8513
44	0 HIP21	Combination		-45,176	68,512	0	0	0	-12,4168
44	0,47 HIP21	Combination		-45,176	86,603	0	0	0	-48,8688
44	0 ENV-SISMO	Combination	Max	-45,143	68,512	0	0	0	-12,3993
44	0,47 ENV-SISMO	Combination	Max	-45,143	86,603	0	0	0	-48,8513
44	0 ENV-SISMO	Combination	Min	-45,176	68,512	0	0	0	-12,4168
44	0,47 ENV-SISMO	Combination	Min	-45,176	86,603	0	0	0	-48,8688
44	0 HIP22	Combination		-33,69	68,512	0	0	0	-9,9374
44	0,47 HIP22	Combination		-33,69	86,603	0	0	0	-46,3894
44	0 HIP23	Combination		-33,328	68,512	0	0	0	-9,7352
44	0,47 HIP23	Combination		-33,328	86,603	0	0	0	-46,1871
44	0 ELS-FIS	Combination	Max	-33,328	68,512	0	0	0	-9,7352
44	0,47 ELS-FIS	Combination	Max	-33,328	86,603	0	0	0	-46,1871
44	0 ELS-FIS	Combination	Min	-33,69	68,512	0	0	0	-9,9374
44	0,47 ELS-FIS	Combination	Min	-33,69	86,603	0	0	0	-46,3894
44	0 ENV-TREN	Combination	Max	2,216	279,48	0	0	0	15,7232
44	0,47 ENV-TREN	Combination	Max	2,216	351,563	0	0	0	0
44	0 ENV-TREN	Combination	Min	-7,544	-1,421	0	0	0	-16,1374
44	0,47 ENV-TREN	Combination	Min	-7,544	0	0	0	0	-148,7855



TABLE: Joint Reactions										
Joint	OutputCase	CaseType	StepType	F1	F2	F3	M1	M2	M3	
Text	Text	Text	Text	KN	KN	KN	KN-m	KN-m	KN-m	
1	PP	NonStatic	Max	0	0	16,736	0	0	0	
1	PP	NonStatic	Min	0	0	16,736	0	0	0	
1	CM CARRIL UIC-54	NonStatic	Max	0	0	0,165	0	0	0	
1	CM CARRIL UIC-54	NonStatic	Min	0	0	0,165	0	0	0	
1	CM TRAVIESAS	NonStatic	Max	0	0	0,752	0	0	0	
1	CM TRAVIESAS	NonStatic	Min	0	0	0,752	0	0	0	
1	CM TIERRAS + BALASTO	NonStatic	Max	0	0	10,341	0	0	0	
1	CM TIERRAS + BALASTO	NonStatic	Min	0	0	10,341	0	0	0	
1	CM SUELO SOLERA	NonStatic	Max	0	0	0,818	0	0	0	
1	CM SUELO SOLERA	NonStatic	Min	0	0	0,818	0	0	0	
1	SBC SUELO SOLERA	NonStatic	Max	0	0	2,044	0	0	0	
1	SBC SUELO SOLERA	NonStatic	Min	0	0	2,044	0	0	0	
1	EMPUJE TIERRAS	NonStatic	Max	0	0	-0,055	0	0	0	
1	EMPUJE TIERRAS	NonStatic	Min	0	0	-0,055	0	0	0	
1	EMPUJE AGUA	LinStatic		0	0	-4,847	0	0	0	
1	SISMO	NonStatic	Max	0	0	-0,008449	0	0	0	
1	SISMO	NonStatic	Min	0	0	-0,008449	0	0	0	
1	MODAL	LinModal	Mode	0	0	-93,801	0	0	0	
1	MODAL	LinModal	Mode	0	0	125,101	0	0	0	
1	MODAL	LinModal	Mode	0	0	119,335	0	0	0	
1	MODAL	LinModal	Mode	0	0	-3,785	0	0	0	
1	MODAL	LinModal	Mode	0	0	103,29	0	0	0	
1	MODAL	LinModal	Mode	0	0	0,421	0	0	0	
1	MODAL	LinModal	Mode	0	0	8,005	0	0	0	
1	MODAL	LinModal	Mode	0	0	-55,058	0	0	0	
1	MODAL	LinModal	Mode	0	0	39,354	0	0	0	
1	MODAL	LinModal	Mode	0	0	1,123	0	0	0	
1	MODAL	LinModal	Mode	0	0	30,527	0	0	0	
1	MODAL	LinModal	Mode	0	0	91,582	0	0	0	
1	HIP1	Combination		0	0	22,594	0	0	0	
1	HIP2	Combination		0	0	37,71	0	0	0	
1	HIP3	Combination		0	0	30,44	0	0	0	
1	HIP4	Combination		0	0	38,813	0	0	0	
1	HIP5	Combination		0	0	34,609	0	0	0	
1	HIP6	Combination	Max	0	0	138,041	0	0	0	
1	HIP6	Combination	Min	0	0	19,237	0	0	0	
1	HIP7	Combination	Max	0	0	139,117	0	0	0	
1	HIP7	Combination	Min	0	0	20,313	0	0	0	
1	HIP8	Combination	Max	0	0	149,452	0	0	0	
1	HIP8	Combination	Min	0	0	30,648	0	0	0	
1	HIP9	Combination	Max	0	0	139,117	0	0	0	
1	HIP9	Combination	Min	0	0	20,313	0	0	0	
1	HIP10	Combination		0	0	27,912	0	0	0	
1	HIP11	Combination		0	0	23,093	0	0	0	
1	HIP12	Combination		0	0	27,939	0	0	0	
1	HIP13	Combination		0	0	23,91	0	0	0	
1	HIP14	Combination		0	0	30,801	0	0	0	
1	HIP15	Combination	Max	0	0	94,808	0	0	0	
1	HIP15	Combination	Min	0	0	15,606	0	0	0	
1	HIP16	Combination	Max	0	0	95,626	0	0	0	
1	HIP16	Combination	Min	0	0	16,423	0	0	0	
1	HIP17	Combination	Max	0	0	102,516	0	0	0	
1	HIP17	Combination	Min	0	0	23,314	0	0	0	
1	HIP18	Combination	Max	0	0	95,626	0	0	0	
1	HIP18	Combination	Min	0	0	16,423	0	0	0	
1	HIP19	Combination		0	0	23,093	0	0	0	
1	ELU	Combination	Max	0	0	149,452	0	0	0	
1	ELU	Combination	Min	0	0	19,237	0	0	0	
1	ELS-DEF	Combination	Max	0	0	102,516	0	0	0	
1	ELS-DEF	Combination	Min	0	0	15,606	0	0	0	
1	HIP20	Combination		0	0	23,084	0	0	0	





“Proyecto de las estructuras para la conexión peatonal de los andenes  
de la estación de Font de Sant Lluís en Valencia”.

1	HIP21	Combination		0	0	23,493	0	0	0
1	ENV-SISMO	Combination	Max	0	0	23,493	0	0	0
1	ENV-SISMO	Combination	Min	0	0	23,084	0	0	0
1	HIP22	Combination		0	0	24,319	0	0	0
1	HIP23	Combination		0	0	29,166	0	0	0
1	ELS-FIS	Combination	Max	0	0	29,166	0	0	0
1	ELS-FIS	Combination	Min	0	0	24,319	0	0	0
1	ENV-TREN	Combination	Max	0	0	71,715	0	0	0
1	ENV-TREN	Combination	Min	0	0	-7,487	0	0	0
2	PP	NonStatic	Max	0	0	16,736	0	0	0
2	PP	NonStatic	Min	0	0	16,736	0	0	0
2	CM CARRIL UIC-54	NonStatic	Max	0	0	0,165	0	0	0
2	CM CARRIL UIC-54	NonStatic	Min	0	0	0,165	0	0	0
2	CM TRAVIESAS	NonStatic	Max	0	0	0,752	0	0	0
2	CM TRAVIESAS	NonStatic	Min	0	0	0,752	0	0	0
2	CM TIERRAS + BALASTO	NonStatic	Max	0	0	10,341	0	0	0
2	CM TIERRAS + BALASTO	NonStatic	Min	0	0	10,341	0	0	0
2	CM SUELO SOLERA	NonStatic	Max	0	0	0,818	0	0	0
2	CM SUELO SOLERA	NonStatic	Min	0	0	0,818	0	0	0
2	SBC SUELO SOLERA	NonStatic	Max	0	0	2,044	0	0	0
2	SBC SUELO SOLERA	NonStatic	Min	0	0	2,044	0	0	0
2	EMPUJE TIERRAS	NonStatic	Max	0	0	-0,055	0	0	0
2	EMPUJE TIERRAS	NonStatic	Min	0	0	-0,055	0	0	0
2	EMPUJE AGUA	LinStatic		0	0	-4,847	0	0	0
2	SISMO	NonStatic	Max	0	0	-0,008449	0	0	0
2	SISMO	NonStatic	Min	0	0	-0,008449	0	0	0
2	MODAL	LinModal	Mode	0	0	93,801	0	0	0
2	MODAL	LinModal	Mode	0	0	125,101	0	0	0
2	MODAL	LinModal	Mode	0	0	-119,335	0	0	0
2	MODAL	LinModal	Mode	0	0	-3,785	0	0	0
2	MODAL	LinModal	Mode	0	0	103,29	0	0	0
2	MODAL	LinModal	Mode	0	0	-0,421	0	0	0
2	MODAL	LinModal	Mode	0	0	8,005	0	0	0
2	MODAL	LinModal	Mode	0	0	55,058	0	0	0
2	MODAL	LinModal	Mode	0	0	-39,354	0	0	0
2	MODAL	LinModal	Mode	0	0	1,123	0	0	0
2	MODAL	LinModal	Mode	0	0	-30,527	0	0	0
2	MODAL	LinModal	Mode	0	0	91,582	0	0	0
2	HIP1	Combination		0	0	22,594	0	0	0
2	HIP2	Combination		0	0	37,71	0	0	0
2	HIP3	Combination		0	0	30,44	0	0	0
2	HIP4	Combination		0	0	38,813	0	0	0
2	HIP5	Combination		0	0	34,609	0	0	0
2	HIP6	Combination	Max	0	0	138,041	0	0	0
2	HIP6	Combination	Min	0	0	19,237	0	0	0
2	HIP7	Combination	Max	0	0	139,117	0	0	0
2	HIP7	Combination	Min	0	0	20,313	0	0	0
2	HIP8	Combination	Max	0	0	149,452	0	0	0
2	HIP8	Combination	Min	0	0	30,648	0	0	0
2	HIP9	Combination	Max	0	0	139,117	0	0	0
2	HIP9	Combination	Min	0	0	20,313	0	0	0
2	HIP10	Combination		0	0	27,912	0	0	0
2	HIP11	Combination		0	0	23,093	0	0	0
2	HIP12	Combination		0	0	27,939	0	0	0
2	HIP13	Combination		0	0	23,91	0	0	0
2	HIP14	Combination		0	0	30,801	0	0	0
2	HIP15	Combination	Max	0	0	94,808	0	0	0
2	HIP15	Combination	Min	0	0	15,606	0	0	0
2	HIP16	Combination	Max	0	0	95,626	0	0	0
2	HIP16	Combination	Min	0	0	16,423	0	0	0
2	HIP17	Combination	Max	0	0	102,516	0	0	0
2	HIP17	Combination	Min	0	0	23,314	0	0	0
2	HIP18	Combination	Max	0	0	95,626	0	0	0
2	HIP18	Combination	Min	0	0	16,423	0	0	0

2	HIP19	Combination		0	0	23,093	0	0	0
2	ELU	Combination	Max	0	0	149,452	0	0	0
2	ELU	Combination	Min	0	0	19,237	0	0	0
2	ELS-DEF	Combination	Max	0	0	102,516	0	0	0
2	ELS-DEF	Combination	Min	0	0	15,606	0	0	0
2	HIP20	Combination		0	0	23,084	0	0	0
2	HIP21	Combination		0	0	23,493	0	0	0
2	ENV-SISMO	Combination	Max	0	0	23,493	0	0	0
2	ENV-SISMO	Combination	Min	0	0	23,084	0	0	0
2	HIP22	Combination		0	0	24,319	0	0	0
2	HIP23	Combination		0	0	29,166	0	0	0
2	ELS-FIS	Combination	Max	0	0	29,166	0	0	0
2	ELS-FIS	Combination	Min	0	0	24,319	0	0	0
2	ENV-TREN	Combination	Max	0	0	71,715	0	0	0
2	ENV-TREN	Combination	Min	0	0	-7,487	0	0	0
5	PP	NonStatic	Max	0	0	16,682	0	0	0
5	PP	NonStatic	Min	0	0	16,682	0	0	0
5	CM CARRIL UIC-54	NonStatic	Max	0	0	0,164	0	0	0
5	CM CARRIL UIC-54	NonStatic	Min	0	0	0,164	0	0	0
5	CM TRAVIESAS	NonStatic	Max	0	0	0,748	0	0	0
5	CM TRAVIESAS	NonStatic	Min	0	0	0,748	0	0	0
5	CM TIERRAS + BALASTO	NonStatic	Max	0	0	10,286	0	0	0
5	CM TIERRAS + BALASTO	NonStatic	Min	0	0	10,286	0	0	0
5	CM SUELO SOLERA	NonStatic	Max	0	0	0,818	0	0	0
5	CM SUELO SOLERA	NonStatic	Min	0	0	0,818	0	0	0
5	SBC SUELO SOLERA	NonStatic	Max	0	0	2,045	0	0	0
5	SBC SUELO SOLERA	NonStatic	Min	0	0	2,045	0	0	0
5	EMPUJE TIERRAS	NonStatic	Max	0	0	-0,021	0	0	0
5	EMPUJE TIERRAS	NonStatic	Min	0	0	-0,021	0	0	0
5	EMPUJE AGUA	LinStatic		0	0	-4,847	0	0	0
5	SISMO	NonStatic	Max	0	0	-0,003218	0	0	0
5	SISMO	NonStatic	Min	0	0	-0,003218	0	0	0
5	MODAL	LinModal	Mode	0	0	-74,053	0	0	0
5	MODAL	LinModal	Mode	0	0	124,694	0	0	0
5	MODAL	LinModal	Mode	0	0	110,736	0	0	0
5	MODAL	LinModal	Mode	0	0	-65,071	0	0	0
5	MODAL	LinModal	Mode	0	0	26,573	0	0	0
5	MODAL	LinModal	Mode	0	0	54,013	0	0	0
5	MODAL	LinModal	Mode	0	0	11,881	0	0	0
5	MODAL	LinModal	Mode	0	0	-80,929	0	0	0
5	MODAL	LinModal	Mode	0	0	-126,178	0	0	0
5	MODAL	LinModal	Mode	0	0	50,553	0	0	0
5	MODAL	LinModal	Mode	0	0	0,857	0	0	0
5	MODAL	LinModal	Mode	0	0	205,796	0	0	0
5	HIP1	Combination		0	0	22,521	0	0	0
5	HIP2	Combination		0	0	37,607	0	0	0
5	HIP3	Combination		0	0	30,337	0	0	0
5	HIP4	Combination		0	0	38,712	0	0	0
5	HIP5	Combination		0	0	34,508	0	0	0
5	HIP6	Combination	Max	0	0	132,317	0	0	0
5	HIP6	Combination	Min	0	0	24,457	0	0	0
5	HIP7	Combination	Max	0	0	133,411	0	0	0
5	HIP7	Combination	Min	0	0	25,551	0	0	0
5	HIP8	Combination	Max	0	0	143,748	0	0	0
5	HIP8	Combination	Min	0	0	35,888	0	0	0
5	HIP9	Combination	Max	0	0	133,411	0	0	0
5	HIP9	Combination	Min	0	0	25,551	0	0	0
5	HIP10	Combination		0	0	27,849	0	0	0
5	HIP11	Combination		0	0	23,013	0	0	0
5	HIP12	Combination		0	0	27,86	0	0	0
5	HIP13	Combination		0	0	23,831	0	0	0
5	HIP14	Combination		0	0	30,722	0	0	0
5	HIP15	Combination	Max	0	0	90,993	0	0	0
5	HIP15	Combination	Min	0	0	19,086	0	0	0



“Proyecto de las estructuras para la conexión peatonal de los andenes  
de la estación de Font de Sant Lluís en Valencia”.

5	HIP16	Combination	Max	0	0	91,81	0	0	0
5	HIP16	Combination	Min	0	0	19,904	0	0	0
5	HIP17	Combination	Max	0	0	98,702	0	0	0
5	HIP17	Combination	Min	0	0	26,795	0	0	0
5	HIP18	Combination	Max	0	0	91,81	0	0	0
5	HIP18	Combination	Min	0	0	19,904	0	0	0
5	HIP19	Combination		0	0	23,013	0	0	0
5	ELU	Combination	Max	0	0	143,748	0	0	0
5	ELU	Combination	Min	0	0	22,521	0	0	0
5	ELS-DEF	Combination	Max	0	0	98,702	0	0	0
5	ELS-DEF	Combination	Min	0	0	19,086	0	0	0
5	HIP20	Combination		0	0	23,01	0	0	0
5	HIP21	Combination		0	0	23,419	0	0	0
5	ENV-SISMO	Combination	Max	0	0	23,419	0	0	0
5	ENV-SISMO	Combination	Min	0	0	23,01	0	0	0
5	HIP22	Combination		0	0	24,24	0	0	0
5	HIP23	Combination		0	0	29,087	0	0	0
5	ELS-FIS	Combination	Max	0	0	29,087	0	0	0
5	ELS-FIS	Combination	Min	0	0	24,24	0	0	0
5	ENV-TREN	Combination	Max	0	0	67,98	0	0	0
5	ENV-TREN	Combination	Min	0	0	-3,927	0	0	0
6	PP	NonStatic	Max	0	0	16,63	0	0	0
6	PP	NonStatic	Min	0	0	16,63	0	0	0
6	CM CARRIL UIC-54	NonStatic	Max	0	0	0,164	0	0	0
6	CM CARRIL UIC-54	NonStatic	Min	0	0	0,164	0	0	0
6	CM TRAVIESAS	NonStatic	Max	0	0	0,744	0	0	0
6	CM TRAVIESAS	NonStatic	Min	0	0	0,744	0	0	0
6	CM TIERRAS + BALASTO	NonStatic	Max	0	0	10,235	0	0	0
6	CM TIERRAS + BALASTO	NonStatic	Min	0	0	10,235	0	0	0
6	CM SUELO SOLERA	NonStatic	Max	0	0	0,818	0	0	0
6	CM SUELO SOLERA	NonStatic	Min	0	0	0,818	0	0	0
6	SBC SUELO SOLERA	NonStatic	Max	0	0	2,045	0	0	0
6	SBC SUELO SOLERA	NonStatic	Min	0	0	2,045	0	0	0
6	EMPUJE TIERRAS	NonStatic	Max	0	0	0,003959	0	0	0
6	EMPUJE TIERRAS	NonStatic	Min	0	0	0,003959	0	0	0
6	EMPUJE AGUA	LinStatic		0	0	-4,848	0	0	0
6	SISMO	NonStatic	Max	0	0	0,0006056	0	0	0
6	SISMO	NonStatic	Min	0	0	0,0006056	0	0	0
6	MODAL	LinModal	Mode	0	0	-55,444	0	0	0
6	MODAL	LinModal	Mode	0	0	124,3	0	0	0
6	MODAL	LinModal	Mode	0	0	92,283	0	0	0
6	MODAL	LinModal	Mode	0	0	-120,562	0	0	0
6	MODAL	LinModal	Mode	0	0	-61,08	0	0	0
6	MODAL	LinModal	Mode	0	0	74,497	0	0	0
6	MODAL	LinModal	Mode	0	0	48,02	0	0	0
6	MODAL	LinModal	Mode	0	0	-108,532	0	0	0
6	MODAL	LinModal	Mode	0	0	-252,617	0	0	0
6	MODAL	LinModal	Mode	0	0	40,458	0	0	0
6	MODAL	LinModal	Mode	0	0	-61,857	0	0	0
6	MODAL	LinModal	Mode	0	0	203,323	0	0	0
6	HIP1	Combination		0	0	22,45	0	0	0
6	HIP2	Combination		0	0	37,499	0	0	0
6	HIP3	Combination		0	0	30,227	0	0	0
6	HIP4	Combination		0	0	38,603	0	0	0
6	HIP5	Combination		0	0	34,4	0	0	0
6	HIP6	Combination	Max	0	0	127,955	0	0	0
6	HIP6	Combination	Min	0	0	28,277	0	0	0
6	HIP7	Combination	Max	0	0	129,062	0	0	0
6	HIP7	Combination	Min	0	0	29,383	0	0	0
6	HIP8	Combination	Max	0	0	139,401	0	0	0
6	HIP8	Combination	Min	0	0	39,723	0	0	0
6	HIP9	Combination	Max	0	0	129,062	0	0	0
6	HIP9	Combination	Min	0	0	29,383	0	0	0
6	HIP10	Combination		0	0	27,778	0	0	0

6	HIP11	Combination		0	0	22,929	0	0	0
6	HIP12	Combination		0	0	27,776	0	0	0
6	HIP13	Combination		0	0	23,747	0	0	0
6	HIP14	Combination		0	0	30,64	0	0	0
6	HIP15	Combination	Max	0	0	88,082	0	0	0
6	HIP15	Combination	Min	0	0	21,63	0	0	0
6	HIP16	Combination	Max	0	0	88,9	0	0	0
6	HIP16	Combination	Min	0	0	22,448	0	0	0
6	HIP17	Combination	Max	0	0	95,793	0	0	0
6	HIP17	Combination	Min	0	0	29,341	0	0	0
6	HIP18	Combination	Max	0	0	88,9	0	0	0
6	HIP18	Combination	Min	0	0	22,448	0	0	0
6	HIP19	Combination		0	0	22,929	0	0	0
6	ELU	Combination	Max	0	0	139,401	0	0	0
6	ELU	Combination	Min	0	0	22,45	0	0	0
6	ELS-DEF	Combination	Max	0	0	95,793	0	0	0
6	ELS-DEF	Combination	Min	0	0	21,63	0	0	0
6	HIP20	Combination		0	0	22,929	0	0	0
6	HIP21	Combination		0	0	23,338	0	0	0
6	ENV-SISMO	Combination	Max	0	0	23,338	0	0	0
6	ENV-SISMO	Combination	Min	0	0	22,929	0	0	0
6	HIP22	Combination		0	0	24,156	0	0	0
6	HIP23	Combination		0	0	29,004	0	0	0
6	ELS-FIS	Combination	Max	0	0	29,004	0	0	0
6	ELS-FIS	Combination	Min	0	0	24,156	0	0	0
6	ENV-TREN	Combination	Max	0	0	65,153	0	0	0
6	ENV-TREN	Combination	Min	0	0	-1,299	0	0	0
7	PP	NonStatic	Max	0	0	16,585	0	0	0
7	PP	NonStatic	Min	0	0	16,585	0	0	0
7	CM CARRIL UIC-54	NonStatic	Max	0	0	0,163	0	0	0
7	CM CARRIL UIC-54	NonStatic	Min	0	0	0,163	0	0	0
7	CM TRAVIESAS	NonStatic	Max	0	0	0,741	0	0	0
7	CM TRAVIESAS	NonStatic	Min	0	0	0,741	0	0	0
7	CM TIERRAS + BALASTO	NonStatic	Max	0	0	10,192	0	0	0
7	CM TIERRAS + BALASTO	NonStatic	Min	0	0	10,192	0	0	0
7	CM SUELO SOLERA	NonStatic	Max	0	0	0,818	0	0	0
7	CM SUELO SOLERA	NonStatic	Min	0	0	0,818	0	0	0
7	SBC SUELO SOLERA	NonStatic	Max	0	0	2,046	0	0	0
7	SBC SUELO SOLERA	NonStatic	Min	0	0	2,046	0	0	0
7	EMPUJE TIERRAS	NonStatic	Max	0	0	0,022	0	0	0
7	EMPUJE TIERRAS	NonStatic	Min	0	0	0,022	0	0	0
7	EMPUJE AGUA	LinStatic		0	0	-4,848	0	0	0
7	SISMO	NonStatic	Max	0	0	0,003334	0	0	0
7	SISMO	NonStatic	Min	0	0	0,003334	0	0	0
7	MODAL	LinModal	Mode	0	0	-36,913	0	0	0
7	MODAL	LinModal	Mode	0	0	123,968	0	0	0
7	MODAL	LinModal	Mode	0	0	66,014	0	0	0
7	MODAL	LinModal	Mode	0	0	-166,128	0	0	0
7	MODAL	LinModal	Mode	0	0	-142,51	0	0	0
7	MODAL	LinModal	Mode	0	0	67,699	0	0	0
7	MODAL	LinModal	Mode	0	0	93,479	0	0	0
7	MODAL	LinModal	Mode	0	0	-106,843	0	0	0
7	MODAL	LinModal	Mode	0	0	-275,744	0	0	0
7	MODAL	LinModal	Mode	0	0	-5,791	0	0	0
7	MODAL	LinModal	Mode	0	0	-96,696	0	0	0
7	MODAL	LinModal	Mode	0	0	62,153	0	0	0
7	HIP1	Combination		0	0	22,39	0	0	0
7	HIP2	Combination		0	0	37,403	0	0	0
7	HIP3	Combination		0	0	30,131	0	0	0
7	HIP4	Combination		0	0	38,508	0	0	0
7	HIP5	Combination		0	0	34,305	0	0	0
7	HIP6	Combination	Max	0	0	125,594	0	0	0
7	HIP6	Combination	Min	0	0	30,12	0	0	0
7	HIP7	Combination	Max	0	0	126,709	0	0	0





“Proyecto de las estructuras para la conexión peatonal de los andenes  
de la estación de Font de Sant Lluís en Valencia”.

7	HIP7	Combination	Min	0	0	31,236	0	0	0
7	HIP8	Combination	Max	0	0	137,051	0	0	0
7	HIP8	Combination	Min	0	0	41,577	0	0	0
7	HIP9	Combination	Max	0	0	126,709	0	0	0
7	HIP9	Combination	Min	0	0	31,236	0	0	0
7	HIP10	Combination		0	0	27,714	0	0	0
7	HIP11	Combination		0	0	22,855	0	0	0
7	HIP12	Combination		0	0	27,704	0	0	0
7	HIP13	Combination		0	0	23,674	0	0	0
7	HIP14	Combination		0	0	30,568	0	0	0
7	HIP15	Combination	Max	0	0	86,504	0	0	0
7	HIP15	Combination	Min	0	0	22,855	0	0	0
7	HIP16	Combination	Max	0	0	87,323	0	0	0
7	HIP16	Combination	Min	0	0	23,674	0	0	0
7	HIP17	Combination	Max	0	0	94,217	0	0	0
7	HIP17	Combination	Min	0	0	30,568	0	0	0
7	HIP18	Combination	Max	0	0	87,323	0	0	0
7	HIP18	Combination	Min	0	0	23,674	0	0	0
7	HIP19	Combination		0	0	22,855	0	0	0
7	ELU	Combination	Max	0	0	137,051	0	0	0
7	ELU	Combination	Min	0	0	22,39	0	0	0
7	ELS-DEF	Combination	Max	0	0	94,217	0	0	0
7	ELS-DEF	Combination	Min	0	0	22,855	0	0	0
7	HIP20	Combination		0	0	22,859	0	0	0
7	HIP21	Combination		0	0	23,268	0	0	0
7	ENV-SISMO	Combination	Max	0	0	23,268	0	0	0
7	ENV-SISMO	Combination	Min	0	0	22,859	0	0	0
7	HIP22	Combination		0	0	24,083	0	0	0
7	HIP23	Combination		0	0	28,931	0	0	0
7	ELS-FIS	Combination	Max	0	0	28,931	0	0	0
7	ELS-FIS	Combination	Min	0	0	24,083	0	0	0
7	ENV-TREN	Combination	Max	0	0	63,649	0	0	0
7	ENV-TREN	Combination	Min	0	0	0	0	0	0
8	PP	NonStatic	Max	0	0	16,556	0	0	0
8	PP	NonStatic	Min	0	0	16,556	0	0	0
8	CM CARRIL UIC-54	NonStatic	Max	0	0	0,162	0	0	0
8	CM CARRIL UIC-54	NonStatic	Min	0	0	0,162	0	0	0
8	CM TRAVIESAS	NonStatic	Max	0	0	0,739	0	0	0
8	CM TRAVIESAS	NonStatic	Min	0	0	0,739	0	0	0
8	CM TIERRAS + BALASTO	NonStatic	Max	0	0	10,164	0	0	0
8	CM TIERRAS + BALASTO	NonStatic	Min	0	0	10,164	0	0	0
8	CM SUELO SOLERA	NonStatic	Max	0	0	0,819	0	0	0
8	CM SUELO SOLERA	NonStatic	Min	0	0	0,819	0	0	0
8	SBC SUELO SOLERA	NonStatic	Max	0	0	2,047	0	0	0
8	SBC SUELO SOLERA	NonStatic	Min	0	0	2,047	0	0	0
8	EMPUJE TIERRAS	NonStatic	Max	0	0	0,032	0	0	0
8	EMPUJE TIERRAS	NonStatic	Min	0	0	0,032	0	0	0
8	EMPUJE AGUA	LinStatic		0	0	-4,849	0	0	0
8	SISMO	NonStatic	Max	0	0	0,00497	0	0	0
8	SISMO	NonStatic	Min	0	0	0,00497	0	0	0
8	MODAL	LinModal	Mode	0	0	-18,441	0	0	0
8	MODAL	LinModal	Mode	0	0	123,749	0	0	0
8	MODAL	LinModal	Mode	0	0	34,375	0	0	0
8	MODAL	LinModal	Mode	0	0	-195,965	0	0	0
8	MODAL	LinModal	Mode	0	0	-199,667	0	0	0
8	MODAL	LinModal	Mode	0	0	39,672	0	0	0
8	MODAL	LinModal	Mode	0	0	129,405	0	0	0
8	MODAL	LinModal	Mode	0	0	-66,497	0	0	0
8	MODAL	LinModal	Mode	0	0	-177,721	0	0	0
8	MODAL	LinModal	Mode	0	0	-54,959	0	0	0
8	MODAL	LinModal	Mode	0	0	-71,692	0	0	0
8	MODAL	LinModal	Mode	0	0	-118,226	0	0	0
8	HIP1	Combination		0	0	22,351	0	0	0
8	HIP2	Combination		0	0	37,339	0	0	0

8	HIP3	Combination		0	0	30,066	0	0	0
8	HIP4	Combination		0	0	38,444	0	0	0
8	HIP5	Combination		0	0	34,241	0	0	0
8	HIP6	Combination	Max	0	0	125,262	0	0	0
8	HIP6	Combination	Min	0	0	30,049	0	0	0
8	HIP7	Combination	Max	0	0	126,383	0	0	0
8	HIP7	Combination	Min	0	0	31,171	0	0	0
8	HIP8	Combination	Max	0	0	136,726	0	0	0
8	HIP8	Combination	Min	0	0	41,514	0	0	0
8	HIP9	Combination	Max	0	0	126,383	0	0	0
8	HIP9	Combination	Min	0	0	31,171	0	0	0
8	HIP10	Combination		0	0	27,671	0	0	0
8	HIP11	Combination		0	0	22,806	0	0	0
8	HIP12	Combination		0	0	27,655	0	0	0
8	HIP13	Combination		0	0	23,625	0	0	0
8	HIP14	Combination		0	0	30,52	0	0	0
8	HIP15	Combination	Max	0	0	86,281	0	0	0
8	HIP15	Combination	Min	0	0	22,806	0	0	0
8	HIP16	Combination	Max	0	0	87,1	0	0	0
8	HIP16	Combination	Min	0	0	23,625	0	0	0
8	HIP17	Combination	Max	0	0	93,995	0	0	0
8	HIP17	Combination	Min	0	0	30,52	0	0	0
8	HIP18	Combination	Max	0	0	87,1	0	0	0
8	HIP18	Combination	Min	0	0	23,625	0	0	0
8	HIP19	Combination		0	0	22,806	0	0	0
8	ELU	Combination	Max	0	0	136,726	0	0	0
8	ELU	Combination	Min	0	0	22,351	0	0	0
8	ELS-DEF	Combination	Max	0	0	93,995	0	0	0
8	ELS-DEF	Combination	Min	0	0	22,806	0	0	0
8	HIP20	Combination		0	0	22,811	0	0	0
8	HIP21	Combination		0	0	23,22	0	0	0
8	ENV-SISMO	Combination	Max	0	0	23,22	0	0	0
8	ENV-SISMO	Combination	Min	0	0	22,811	0	0	0
8	HIP22	Combination		0	0	24,034	0	0	0
8	HIP23	Combination		0	0	28,883	0	0	0
8	ELS-FIS	Combination	Max	0	0	28,883	0	0	0
8	ELS-FIS	Combination	Min	0	0	24,034	0	0	0
8	ENV-TREN	Combination	Max	0	0	63,475	0	0	0
8	ENV-TREN	Combination	Min	0	0	0	0	0	0
9	PP	NonStatic	Max	-1,15E-12	0	16,546	0	0	0
9	PP	NonStatic	Min	-1,15E-12	0	16,546	0	0	0
9	CM CARRIL UIC-54	NonStatic	Max	-1,096E-14	0	0,162	0	0	0
9	CM CARRIL UIC-54	NonStatic	Min	-1,096E-14	0	0,162	0	0	0
9	CM TRAVIESAS	NonStatic	Max	-1,255E-13	0	0,739	0	0	0
9	CM TRAVIESAS	NonStatic	Min	-1,255E-13	0	0,739	0	0	0
9	CM TIERRAS + BALASTO	NonStatic	Max	-2,093E-12	0	10,154	0	0	0
9	CM TIERRAS + BALASTO	NonStatic	Min	-2,093E-12	0	10,154	0	0	0
9	CM SUELO SOLERA	NonStatic	Max	-1,957E-14	0	0,819	0	0	0
9	CM SUELO SOLERA	NonStatic	Min	-1,957E-14	0	0,819	0	0	0
9	SBC SUELO SOLERA	NonStatic	Max	1,343E-13	0	2,047	0	0	0
9	SBC SUELO SOLERA	NonStatic	Min	1,343E-13	0	2,047	0	0	0
9	EMPUJE TIERRAS	NonStatic	Max	5,258E-13	0	0,036	0	0	0
9	EMPUJE TIERRAS	NonStatic	Min	5,258E-13	0	0,036	0	0	0
9	EMPUJE AGUA	LinStatic		-2,061E-13	0	-4,849	0	0	0
9	SISMO	NonStatic	Max	8,438E-14	0	0,005515	0	0	0
9	SISMO	NonStatic	Min	8,438E-14	0	0,005515	0	0	0
9	MODAL	LinModal	Mode	-189,277	0	-1,916E-10	0	0	0
9	MODAL	LinModal	Mode	-4,373E-09	0	123,673	0	0	0
9	MODAL	LinModal	Mode	-27976,341	0	4,958E-09	0	0	0
9	MODAL	LinModal	Mode	0,000473	0	-206,34	0	0	0
9	MODAL	LinModal	Mode	0,013	0	-220,185	0	0	0
9	MODAL	LinModal	Mode	-280909,978	0	-6,739E-07	0	0	0
9	MODAL	LinModal	Mode	0,14	0	142,91	0	0	0
9	MODAL	LinModal	Mode	-541091,022	0	0,00001523	0	0	0



“Proyecto de las estructuras para la conexión peatonal de los andenes  
de la estación de Font de Sant Lluís en Valencia”.

9	MODAL	LinModal	Mode	-11183,436	0	0,00003947	0	0	0
9	MODAL	LinModal	Mode	0,116	0	-75,623	0	0	0
9	MODAL	LinModal	Mode	-2679770,71	0	0,00003501	0	0	0
9	MODAL	LinModal	Mode	-2,64	0	-199,436	0	0	0
9	HIP1	Combination		-1,553E-12	0	22,337	0	0	0
9	HIP2	Combination		-3,773E-12	0	37,316	0	0	0
9	HIP3	Combination		-4,082E-12	0	30,043	0	0	0
9	HIP4	Combination		-3,8E-12	0	38,421	0	0	0
9	HIP5	Combination		-3,907E-12	0	34,218	0	0	0
9	HIP6	Combination	Max	2,619E-10	0	125,146	0	0	0
9	HIP6	Combination	Min	-2,678E-10	0	30,025	0	0	0
9	HIP7	Combination	Max	2,621E-10	0	126,27	0	0	0
9	HIP7	Combination	Min	-2,675E-10	0	31,148	0	0	0
9	HIP8	Combination	Max	2,626E-10	0	136,613	0	0	0
9	HIP8	Combination	Min	-2,67E-10	0	41,492	0	0	0
9	HIP9	Combination	Max	2,621E-10	0	126,27	0	0	0
9	HIP9	Combination	Min	-2,675E-10	0	31,148	0	0	0
9	HIP10	Combination		-2,59E-12	0	27,656	0	0	0
9	HIP11	Combination		-3,059E-12	0	22,789	0	0	0
9	HIP12	Combination		-2,853E-12	0	27,638	0	0	0
9	HIP13	Combination		-3,079E-12	0	23,607	0	0	0
9	HIP14	Combination		-2,739E-12	0	30,503	0	0	0
9	HIP15	Combination	Max	1,744E-10	0	86,203	0	0	0
9	HIP15	Combination	Min	-1,787E-10	0	22,789	0	0	0
9	HIP16	Combination	Max	1,744E-10	0	87,022	0	0	0
9	HIP16	Combination	Min	-1,787E-10	0	23,607	0	0	0
9	HIP17	Combination	Max	1,747E-10	0	93,918	0	0	0
9	HIP17	Combination	Min	-1,784E-10	0	30,503	0	0	0
9	HIP18	Combination	Max	1,744E-10	0	87,022	0	0	0
9	HIP18	Combination	Min	-1,787E-10	0	23,607	0	0	0
9	HIP19	Combination		-3,059E-12	0	22,789	0	0	0
9	ELU	Combination	Max	2,626E-10	0	136,613	0	0	0
9	ELU	Combination	Min	-2,678E-10	0	22,337	0	0	0
9	ELS-DEF	Combination	Max	1,747E-10	0	93,918	0	0	0
9	ELS-DEF	Combination	Min	-1,787E-10	0	22,789	0	0	0
9	HIP20	Combination		-2,975E-12	0	22,794	0	0	0
9	HIP21	Combination		-2,948E-12	0	23,204	0	0	0
9	ENV-SISMO	Combination	Max	-2,948E-12	0	23,204	0	0	0
9	ENV-SISMO	Combination	Min	-2,975E-12	0	22,794	0	0	0
9	HIP22	Combination		-3,052E-12	0	24,017	0	0	0
9	HIP23	Combination		-2,846E-12	0	28,866	0	0	0
9	ELS-FIS	Combination	Max	-2,846E-12	0	28,866	0	0	0
9	ELS-FIS	Combination	Min	-3,052E-12	0	24,017	0	0	0
9	ENV-TREN	Combination	Max	1,775E-10	0	63,414	0	0	0
9	ENV-TREN	Combination	Min	-1,756E-10	0	0	0	0	0
10	PP	NonStatic	Max	0	0	16,556	0	0	0
10	PP	NonStatic	Min	0	0	16,556	0	0	0
10	CM CARRIL UIC-54	NonStatic	Max	0	0	0,162	0	0	0
10	CM CARRIL UIC-54	NonStatic	Min	0	0	0,162	0	0	0
10	CM TRAVIESAS	NonStatic	Max	0	0	0,739	0	0	0
10	CM TRAVIESAS	NonStatic	Min	0	0	0,739	0	0	0
10	CM TIERRAS + BALASTO	NonStatic	Max	0	0	10,164	0	0	0
10	CM TIERRAS + BALASTO	NonStatic	Min	0	0	10,164	0	0	0
10	CM SUELO SOLERA	NonStatic	Max	0	0	0,819	0	0	0
10	CM SUELO SOLERA	NonStatic	Min	0	0	0,819	0	0	0
10	SBC SUELO SOLERA	NonStatic	Max	0	0	2,047	0	0	0
10	SBC SUELO SOLERA	NonStatic	Min	0	0	2,047	0	0	0
10	EMPUJE TIERRAS	NonStatic	Max	0	0	0,032	0	0	0
10	EMPUJE TIERRAS	NonStatic	Min	0	0	0,032	0	0	0
10	EMPUJE AGUA	LinStatic		0	0	-4,849	0	0	0
10	SISMO	NonStatic	Max	0	0	0,00497	0	0	0
10	SISMO	NonStatic	Min	0	0	0,00497	0	0	0
10	MODAL	LinModal	Mode	0	0	18,441	0	0	0
10	MODAL	LinModal	Mode	0	0	123,749	0	0	0

10	MODAL	LinModal	Mode	0	0	-34,375	0	0	0
10	MODAL	LinModal	Mode	0	0	-195,965	0	0	0
10	MODAL	LinModal	Mode	0	0	-199,667	0	0	0
10	MODAL	LinModal	Mode	0	0	-39,672	0	0	0
10	MODAL	LinModal	Mode	0	0	129,405	0	0	0
10	MODAL	LinModal	Mode	0	0	66,497	0	0	0
10	MODAL	LinModal	Mode	0	0	177,721	0	0	0
10	MODAL	LinModal	Mode	0	0	-54,959	0	0	0
10	MODAL	LinModal	Mode	0	0	71,692	0	0	0
10	MODAL	LinModal	Mode	0	0	-118,226	0	0	0
10	HIP1	Combination		0	0	22,351	0	0	0
10	HIP2	Combination		0	0	37,339	0	0	0
10	HIP3	Combination		0	0	30,066	0	0	0
10	HIP4	Combination		0	0	38,444	0	0	0
10	HIP5	Combination		0	0	34,241	0	0	0
10	HIP6	Combination	Max	0	0	125,262	0	0	0
10	HIP6	Combination	Min	0	0	30,049	0	0	0
10	HIP7	Combination	Max	0	0	126,383	0	0	0
10	HIP7	Combination	Min	0	0	31,171	0	0	0
10	HIP8	Combination	Max	0	0	136,726	0	0	0
10	HIP8	Combination	Min	0	0	41,514	0	0	0
10	HIP9	Combination	Max	0	0	126,383	0	0	0
10	HIP9	Combination	Min	0	0	31,171	0	0	0
10	HIP10	Combination		0	0	27,671	0	0	0
10	HIP11	Combination		0	0	22,806	0	0	0
10	HIP12	Combination		0	0	27,655	0	0	0
10	HIP13	Combination		0	0	23,625	0	0	0
10	HIP14	Combination		0	0	30,52	0	0	0
10	HIP15	Combination	Max	0	0	86,281	0	0	0
10	HIP15	Combination	Min	0	0	22,806	0	0	0
10	HIP16	Combination	Max	0	0	87,1	0	0	0
10	HIP16	Combination	Min	0	0	23,625	0	0	0
10	HIP17	Combination	Max	0	0	93,995	0	0	0
10	HIP17	Combination	Min	0	0	30,52	0	0	0
10	HIP18	Combination	Max	0	0	87,1	0	0	0
10	HIP18	Combination	Min	0	0	23,625	0	0	0
10	HIP19	Combination		0	0	22,806	0	0	0
10	ELU	Combination	Max	0	0	136,726	0	0	0
10	ELU	Combination	Min	0	0	22,351	0	0	0
10	ELS-DEF	Combination	Max	0	0	93,995	0	0	0
10	ELS-DEF	Combination	Min	0	0	22,806	0	0	0
10	HIP20	Combination		0	0	22,811	0	0	0
10	HIP21	Combination		0	0	23,22	0	0	0
10	ENV-SISMO	Combination	Max	0	0	23,22	0	0	0
10	ENV-SISMO	Combination	Min	0	0	22,811	0	0	0
10	HIP22	Combination		0	0	24,034	0	0	0
10	HIP23	Combination		0	0	28,883	0	0	0
10	ELS-FIS	Combination	Max	0	0	28,883	0	0	0
10	ELS-FIS	Combination	Min	0	0	24,034	0	0	0
10	ENV-TREN	Combination	Max	0	0	63,475	0	0	0
10	ENV-TREN	Combination	Min	0	0	0	0	0	0
11	PP	NonStatic	Max	0	0	16,585	0	0	0
11	PP	NonStatic	Min	0	0	16,585	0	0	0
11	CM CARRIL UIC-54	NonStatic	Max	0	0	0,163	0	0	0
11	CM CARRIL UIC-54	NonStatic	Min	0	0	0,163	0	0	0
11	CM TRAVIESAS	NonStatic	Max	0	0	0,741	0	0	0
11	CM TRAVIESAS	NonStatic	Min	0	0	0,741	0	0	0
11	CM TIERRAS + BALASTO	NonStatic	Max	0	0	10,192	0	0	0
11	CM TIERRAS + BALASTO	NonStatic	Min	0	0	10,192	0	0	0
11	CM SUELO SOLERA	NonStatic	Max	0	0	0,818	0	0	0
11	CM SUELO SOLERA	NonStatic	Min	0	0	0,818	0	0	0
11	SBC SUELO SOLERA	NonStatic	Max	0	0	2,046	0	0	0
11	SBC SUELO SOLERA	NonStatic	Min	0	0	2,046	0	0	0
11	EMPUJE TIERRAS	NonStatic	Max	0	0	0,022	0	0	0





“Proyecto de las estructuras para la conexión peatonal de los andenes  
de la estación de Font de Sant Lluís en Valencia”.

11	EMPUJE TIERRAS	NonStatic	Min	0	0	0,022	0	0	0
11	EMPUJE AGUA	LinStatic		0	0	-4,848	0	0	0
11	SISMO	NonStatic	Max	0	0	0,003334	0	0	0
11	SISMO	NonStatic	Min	0	0	0,003334	0	0	0
11	MODAL	LinModal	Mode	0	0	36,913	0	0	0
11	MODAL	LinModal	Mode	0	0	123,968	0	0	0
11	MODAL	LinModal	Mode	0	0	-66,014	0	0	0
11	MODAL	LinModal	Mode	0	0	-166,128	0	0	0
11	MODAL	LinModal	Mode	0	0	-142,51	0	0	0
11	MODAL	LinModal	Mode	0	0	-67,699	0	0	0
11	MODAL	LinModal	Mode	0	0	93,479	0	0	0
11	MODAL	LinModal	Mode	0	0	106,843	0	0	0
11	MODAL	LinModal	Mode	0	0	275,744	0	0	0
11	MODAL	LinModal	Mode	0	0	-5,791	0	0	0
11	MODAL	LinModal	Mode	0	0	96,696	0	0	0
11	MODAL	LinModal	Mode	0	0	62,153	0	0	0
11	HIP1	Combination		0	0	22,39	0	0	0
11	HIP2	Combination		0	0	37,403	0	0	0
11	HIP3	Combination		0	0	30,131	0	0	0
11	HIP4	Combination		0	0	38,508	0	0	0
11	HIP5	Combination		0	0	34,305	0	0	0
11	HIP6	Combination	Max	0	0	125,594	0	0	0
11	HIP6	Combination	Min	0	0	30,12	0	0	0
11	HIP7	Combination	Max	0	0	126,709	0	0	0
11	HIP7	Combination	Min	0	0	31,236	0	0	0
11	HIP8	Combination	Max	0	0	137,051	0	0	0
11	HIP8	Combination	Min	0	0	41,577	0	0	0
11	HIP9	Combination	Max	0	0	126,709	0	0	0
11	HIP9	Combination	Min	0	0	31,236	0	0	0
11	HIP10	Combination		0	0	27,714	0	0	0
11	HIP11	Combination		0	0	22,855	0	0	0
11	HIP12	Combination		0	0	27,704	0	0	0
11	HIP13	Combination		0	0	23,674	0	0	0
11	HIP14	Combination		0	0	30,568	0	0	0
11	HIP15	Combination	Max	0	0	86,504	0	0	0
11	HIP15	Combination	Min	0	0	22,855	0	0	0
11	HIP16	Combination	Max	0	0	87,323	0	0	0
11	HIP16	Combination	Min	0	0	23,674	0	0	0
11	HIP17	Combination	Max	0	0	94,217	0	0	0
11	HIP17	Combination	Min	0	0	30,568	0	0	0
11	HIP18	Combination	Max	0	0	87,323	0	0	0
11	HIP18	Combination	Min	0	0	23,674	0	0	0
11	HIP19	Combination		0	0	22,855	0	0	0
11	ELU	Combination	Max	0	0	137,051	0	0	0
11	ELU	Combination	Min	0	0	22,39	0	0	0
11	ELS-DEF	Combination	Max	0	0	94,217	0	0	0
11	ELS-DEF	Combination	Min	0	0	22,855	0	0	0
11	HIP20	Combination		0	0	22,859	0	0	0
11	HIP21	Combination		0	0	23,268	0	0	0
11	ENV-SISMO	Combination	Max	0	0	23,268	0	0	0
11	ENV-SISMO	Combination	Min	0	0	22,859	0	0	0
11	HIP22	Combination		0	0	24,083	0	0	0
11	HIP23	Combination		0	0	28,931	0	0	0
11	ELS-FIS	Combination	Max	0	0	28,931	0	0	0
11	ELS-FIS	Combination	Min	0	0	24,083	0	0	0
11	ENV-TREN	Combination	Max	0	0	63,649	0	0	0
11	ENV-TREN	Combination	Min	0	0	0	0	0	0
12	PP	NonStatic	Max	0	0	16,63	0	0	0
12	PP	NonStatic	Min	0	0	16,63	0	0	0
12	CM CARRIL UIC-54	NonStatic	Max	0	0	0,164	0	0	0
12	CM CARRIL UIC-54	NonStatic	Min	0	0	0,164	0	0	0
12	CM TRAVIESAS	NonStatic	Max	0	0	0,744	0	0	0
12	CM TRAVIESAS	NonStatic	Min	0	0	0,744	0	0	0
12	CM TIERRAS + BALASTO	NonStatic	Max	0	0	10,235	0	0	0

12	CM TIERRAS + BALASTO	NonStatic	Min	0	0	10,235	0	0	0
12	CM SUELO SOLERA	NonStatic	Max	0	0	0,818	0	0	0
12	CM SUELO SOLERA	NonStatic	Min	0	0	0,818	0	0	0
12	SBC SUELO SOLERA	NonStatic	Max	0	0	2,045	0	0	0
12	SBC SUELO SOLERA	NonStatic	Min	0	0	2,045	0	0	0
12	EMPUJE TIERRAS	NonStatic	Max	0	0	0,003959	0	0	0
12	EMPUJE TIERRAS	NonStatic	Min	0	0	0,003959	0	0	0
12	EMPUJE AGUA	LinStatic		0	0	-4,848	0	0	0
12	SISMO	NonStatic	Max	0	0	0,0006056	0	0	0
12	SISMO	NonStatic	Min	0	0	0,0006056	0	0	0
12	MODAL	LinModal	Mode	0	0	55,444	0	0	0
12	MODAL	LinModal	Mode	0	0	124,3	0	0	0
12	MODAL	LinModal	Mode	0	0	-92,283	0	0	0
12	MODAL	LinModal	Mode	0	0	-120,562	0	0	0
12	MODAL	LinModal	Mode	0	0	-61,08	0	0	0
12	MODAL	LinModal	Mode	0	0	-74,497	0	0	0
12	MODAL	LinModal	Mode	0	0	48,02	0	0	0
12	MODAL	LinModal	Mode	0	0	108,532	0	0	0
12	MODAL	LinModal	Mode	0	0	252,617	0	0	0
12	MODAL	LinModal	Mode	0	0	40,458	0	0	0
12	MODAL	LinModal	Mode	0	0	61,857	0	0	0
12	MODAL	LinModal	Mode	0	0	203,323	0	0	0
12	HIP1	Combination		0	0	22,45	0	0	0
12	HIP2	Combination		0	0	37,499	0	0	0
12	HIP3	Combination		0	0	30,227	0	0	0
12	HIP4	Combination		0	0	38,603	0	0	0
12	HIP5	Combination		0	0	34,4	0	0	0
12	HIP6	Combination	Max	0	0	127,955	0	0	0
12	HIP6	Combination	Min	0	0	28,277	0	0	0
12	HIP7	Combination	Max	0	0	129,062	0	0	0
12	HIP7	Combination	Min	0	0	29,383	0	0	0
12	HIP8	Combination	Max	0	0	139,401	0	0	0
12	HIP8	Combination	Min	0	0	39,723	0	0	0
12	HIP9	Combination	Max	0	0	129,062	0	0	0
12	HIP9	Combination	Min	0	0	29,383	0	0	0
12	HIP10	Combination		0	0	27,778	0	0	0
12	HIP11	Combination		0	0	22,929	0	0	0
12	HIP12	Combination		0	0	27,776	0	0	0
12	HIP13	Combination		0	0	23,747	0	0	0
12	HIP14	Combination		0	0	30,64	0	0	0
12	HIP15	Combination	Max	0	0	88,082	0	0	0
12	HIP15	Combination	Min	0	0	21,63	0	0	0
12	HIP16	Combination	Max	0	0	88,9	0	0	0
12	HIP16	Combination	Min	0	0	22,448	0	0	0
12	HIP17	Combination	Max	0	0	95,793	0	0	0
12	HIP17	Combination	Min	0	0	29,341	0	0	0
12	HIP18	Combination	Max	0	0	88,9	0	0	0
12	HIP18	Combination	Min	0	0	22,448	0	0	0
12	HIP19	Combination		0	0	22,929	0	0	0
12	ELU	Combination	Max	0	0	139,401	0	0	0
12	ELU	Combination	Min	0	0	22,45	0	0	0
12	ELS-DEF	Combination	Max	0	0	95,793	0	0	0
12	ELS-DEF	Combination	Min	0	0	21,63	0	0	0
12	HIP20	Combination		0	0	22,929	0	0	0
12	HIP21	Combination		0	0	23,338	0	0	0
12	ENV-SISMO	Combination	Max	0	0	23,338	0	0	0
12	ENV-SISMO	Combination	Min	0	0	22,929	0	0	0
12	HIP22	Combination		0	0	24,156	0	0	0
12	HIP23	Combination		0	0	29,004	0	0	0
12	ELS-FIS	Combination	Max	0	0	29,004	0	0	0
12	ELS-FIS	Combination	Min	0	0	24,156	0	0	0
12	ENV-TREN	Combination	Max	0	0	65,153	0	0	0
12	ENV-TREN	Combination	Min	0	0	-1,299	0	0	0
13	PP	NonStatic	Max	0	0	16,682	0	0	0



“Proyecto de las estructuras para la conexión peatonal de los andenes  
de la estación de Font de Sant Lluís en Valencia”.

13	PP	NonStatic	Min	0	0	16,682	0	0	0
13	CM CARRIL UIC-54	NonStatic	Max	0	0	0,164	0	0	0
13	CM CARRIL UIC-54	NonStatic	Min	0	0	0,164	0	0	0
13	CM TRAVIESAS	NonStatic	Max	0	0	0,748	0	0	0
13	CM TRAVIESAS	NonStatic	Min	0	0	0,748	0	0	0
13	CM TIERRAS + BALASTO	NonStatic	Max	0	0	10,286	0	0	0
13	CM TIERRAS + BALASTO	NonStatic	Min	0	0	10,286	0	0	0
13	CM SUELO SOLERA	NonStatic	Max	0	0	0,818	0	0	0
13	CM SUELO SOLERA	NonStatic	Min	0	0	0,818	0	0	0
13	SBC SUELO SOLERA	NonStatic	Max	0	0	2,045	0	0	0
13	SBC SUELO SOLERA	NonStatic	Min	0	0	2,045	0	0	0
13	EMPUJE TIERRAS	NonStatic	Max	0	0	-0,021	0	0	0
13	EMPUJE TIERRAS	NonStatic	Min	0	0	-0,021	0	0	0
13	EMPUJE AGUA	LinStatic		0	0	-4,847	0	0	0
13	SISMO	NonStatic	Max	0	0	-0,003218	0	0	0
13	SISMO	NonStatic	Min	0	0	-0,003218	0	0	0
13	MODAL	LinModal	Mode	0	0	74,053	0	0	0
13	MODAL	LinModal	Mode	0	0	124,694	0	0	0
13	MODAL	LinModal	Mode	0	0	-110,736	0	0	0
13	MODAL	LinModal	Mode	0	0	-65,071	0	0	0
13	MODAL	LinModal	Mode	0	0	26,573	0	0	0
13	MODAL	LinModal	Mode	0	0	-54,013	0	0	0
13	MODAL	LinModal	Mode	0	0	11,881	0	0	0
13	MODAL	LinModal	Mode	0	0	80,929	0	0	0
13	MODAL	LinModal	Mode	0	0	126,178	0	0	0
13	MODAL	LinModal	Mode	0	0	50,553	0	0	0
13	MODAL	LinModal	Mode	0	0	-0,857	0	0	0
13	MODAL	LinModal	Mode	0	0	205,796	0	0	0
13	HIP1	Combination		0	0	22,521	0	0	0
13	HIP2	Combination		0	0	37,607	0	0	0
13	HIP3	Combination		0	0	30,337	0	0	0
13	HIP4	Combination		0	0	38,712	0	0	0
13	HIP5	Combination		0	0	34,508	0	0	0
13	HIP6	Combination	Max	0	0	132,317	0	0	0
13	HIP6	Combination	Min	0	0	24,457	0	0	0
13	HIP7	Combination	Max	0	0	133,411	0	0	0
13	HIP7	Combination	Min	0	0	25,551	0	0	0
13	HIP8	Combination	Max	0	0	143,748	0	0	0
13	HIP8	Combination	Min	0	0	35,888	0	0	0
13	HIP9	Combination	Max	0	0	133,411	0	0	0
13	HIP9	Combination	Min	0	0	25,551	0	0	0
13	HIP10	Combination		0	0	27,849	0	0	0
13	HIP11	Combination		0	0	23,013	0	0	0
13	HIP12	Combination		0	0	27,86	0	0	0
13	HIP13	Combination		0	0	23,831	0	0	0
13	HIP14	Combination		0	0	30,722	0	0	0
13	HIP15	Combination	Max	0	0	90,993	0	0	0
13	HIP15	Combination	Min	0	0	19,086	0	0	0
13	HIP16	Combination	Max	0	0	91,81	0	0	0
13	HIP16	Combination	Min	0	0	19,904	0	0	0
13	HIP17	Combination	Max	0	0	98,702	0	0	0
13	HIP17	Combination	Min	0	0	26,795	0	0	0
13	HIP18	Combination	Max	0	0	91,81	0	0	0
13	HIP18	Combination	Min	0	0	19,904	0	0	0
13	HIP19	Combination		0	0	23,013	0	0	0
13	ELU	Combination	Max	0	0	143,748	0	0	0
13	ELU	Combination	Min	0	0	22,521	0	0	0
13	ELS-DEF	Combination	Max	0	0	98,702	0	0	0
13	ELS-DEF	Combination	Min	0	0	19,086	0	0	0
13	HIP20	Combination		0	0	23,01	0	0	0
13	HIP21	Combination		0	0	23,419	0	0	0
13	ENV-SISMO	Combination	Max	0	0	23,419	0	0	0
13	ENV-SISMO	Combination	Min	0	0	23,01	0	0	0
13	HIP22	Combination		0	0	24,24	0	0	0

---

13	HIP23	Combination		0	0	29,087	0	0	0
13	ELS-FIS	Combination	Max	0	0	29,087	0	0	0
13	ELS-FIS	Combination	Min	0	0	24,24	0	0	0
13	ENV-TREN	Combination	Max	0	0	67,98	0	0	0
13	ENV-TREN	Combination	Min	0	0	-3,927	0	0	0

TABLE: Program Control							
ProgramName	Version	ProgLevel	LicenseNum	LicenseOS	LicenseSC	LicenseBR	LicenseHT
Text	Text	Text	Text	Text	Text	Text	Text
SAP2000	15.0.0	Ultimate	1E89D	Yes	Yes	No	No





## **5.8.2 PANTALLAS**

---

---

### **5.8.2.1 PANTALLA DE MICROPILOTES CYPE**

---

---

**ÍNDICE**

<b>1.- NORMA Y MATERIALES</b>	<b>307</b>
<b>2.- ACCIONES</b>	<b>307</b>
<b>3.- DATOS GENERALES</b>	<b>307</b>
<b>4.- DESCRIPCIÓN DEL TERRENO</b>	<b>307</b>
<b>5.- SECCIÓN VERTICAL DEL TERRENO</b>	<b>308</b>
<b>6.- GEOMETRÍA</b>	<b>308</b>
<b>7.- COMPROBACIÓN DE LA GEOMETRÍA</b>	<b>309</b>
<b>8.- ESQUEMA DE LAS FASES</b>	<b>309</b>
<b>9.- CARGAS</b>	<b>314</b>
<b>10.- ELEMENTOS DE APOYO</b>	<b>314</b>
<b>11.- RESULTADOS DE LAS FASES</b>	<b>314</b>
<b>12.- RESULTADOS PARA LOS ELEMENTOS DE APOYO</b>	<b>318</b>
<b>13.- COMPROBACIONES DE ESTABILIDAD (COEFICIENTES DE SEGURIDAD)</b>	<b>319</b>
<b>14.- COMPROBACIONES DE ESTABILIDAD (CÍRCULO DE DESLIZAMIENTO PÉSIMO)</b>	<b>320</b>



## 1.- NORMA Y MATERIALES

Norma de hormigón: EHE-08 (España)

Hormigón: HA-50,  $Y_c=1.35$  (Pref.)

Clase de exposición: Clase Qa

## 2.- ACCIONES

Mayoración esfuerzos en construcción: 1.60

Mayoración esfuerzos en servicio: 1.60

Con análisis sísmico

Aceleración de cálculo: 0.12 g

No se considera el sismo en las fases constructivas

Mayoración esfuerzos en hipótesis sísmica: 1.60

Sin considerar acciones térmicas en puntales

## 3.- DATOS GENERALES

Cota de la rasante: 0.00 m

Altura del muro sobre la rasante: 0.00 m

Tipología: Cortina de micropilotes

## 4.- DESCRIPCIÓN DEL TERRENO

Porcentaje del rozamiento interno entre el terreno y el trasdós del muro  
pantalla: 33.0 %

Porcentaje del rozamiento interno entre el terreno y el intradós del muro  
pantalla: 33.0 %

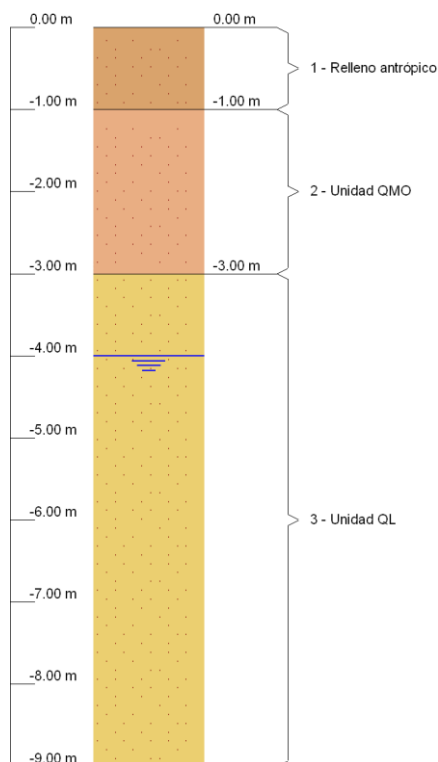
Profundidad del nivel freático: 4.00 m

## ESTRATOS

Referencias	Cota superior	Descripción	Coefficientes de empuje
1 - Relleno antrópico	0.00 m	Densidad aparente: 18.0 kN/m <sup>3</sup> Densidad sumergida: 10.0 kN/m <sup>3</sup> Ángulo rozamiento interno: 28 grados Cohesión: 0.00 kN/m <sup>2</sup> Módulo de balasto empuje activo: 6500.0 kN/m <sup>3</sup> Módulo de balasto empuje pasivo: 6500.0 kN/m <sup>3</sup> Gradiente módulo de balasto: 0.0 kN/m <sup>4</sup>	Activo trasdós: 0.33 Reposo trasdós: 0.53 Pasivo trasdós: 3.63 Activo intradós: 0.33 Reposo intradós: 0.53 Pasivo intradós: 3.63

Referencias	Cota superior	Descripción	Coefficientes de empuje
2 - Unidad QMO	-1.00 m	Densidad aparente: 18.7 kN/m <sup>3</sup> Densidad sumergida: 11.0 kN/m <sup>3</sup> Ángulo rozamiento interno: 23 grados Cohesión: 5.00 kN/m <sup>2</sup> Módulo de balasto empuje activo: 15300.0 kN/m <sup>3</sup> Módulo de balasto empuje pasivo: 15300.0 kN/m <sup>3</sup> Gradiente módulo de balasto: 0.0 kN/m <sup>4</sup>	Activo trasdós: 0.40 Reposo trasdós: 0.61 Pasivo trasdós: 2.78 Activo intradós: 0.40 Reposo intradós: 0.61 Pasivo intradós: 2.78
3 - Unidad QL	-3.00 m	Densidad aparente: 21.5 kN/m <sup>3</sup> Densidad sumergida: 12.0 kN/m <sup>3</sup> Ángulo rozamiento interno: 25 grados Cohesión: 20.00 kN/m <sup>2</sup> Módulo de balasto empuje activo: 29100.0 kN/m <sup>3</sup> Módulo de balasto empuje pasivo: 29100.0 kN/m <sup>3</sup> Gradiente módulo de balasto: 0.0 kN/m <sup>4</sup>	Activo trasdós: 0.37 Reposo trasdós: 0.58 Pasivo trasdós: 3.08 Activo intradós: 0.37 Reposo intradós: 0.58 Pasivo intradós: 3.08

## 5.- SECCIÓN VERTICAL DEL TERRENO



## 6.- GEOMETRÍA

Altura total: 9.00 m  
 Diámetro: 30.00 cm  
 Separación: 50.00 cm  
 Serie de micropilotes: Micropilote 127/103  
 Perfil: Micropilote



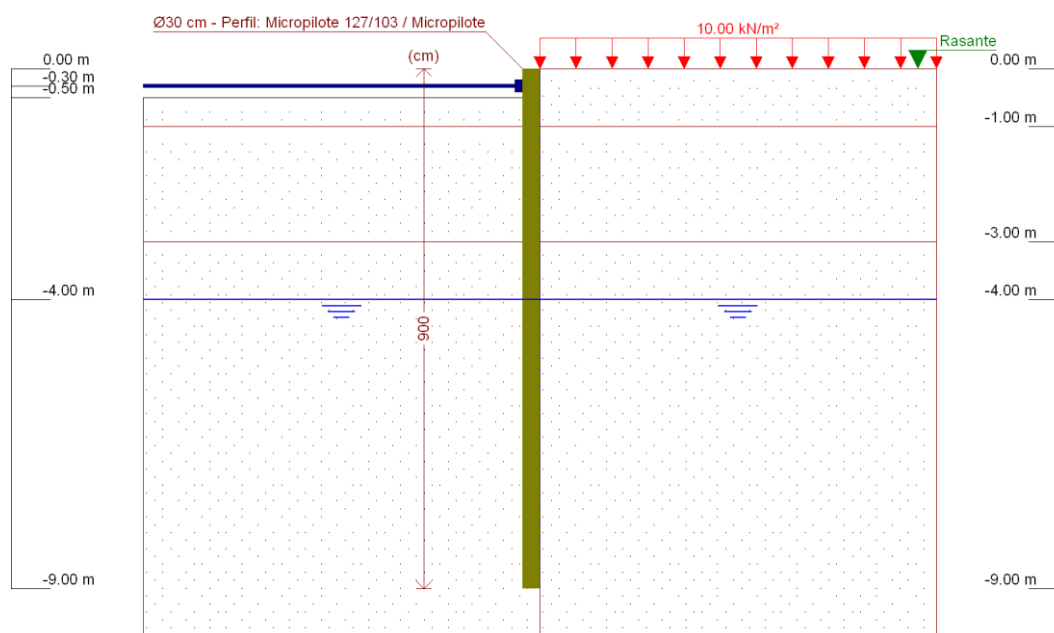


Referencia: Pantalla Micropilotes 9 m (Pantalla de Micropilotes cilindricos de 300 mm de diametro reforzados por un perfil hueco redondo de 130 mm de diametro de acero S275J)

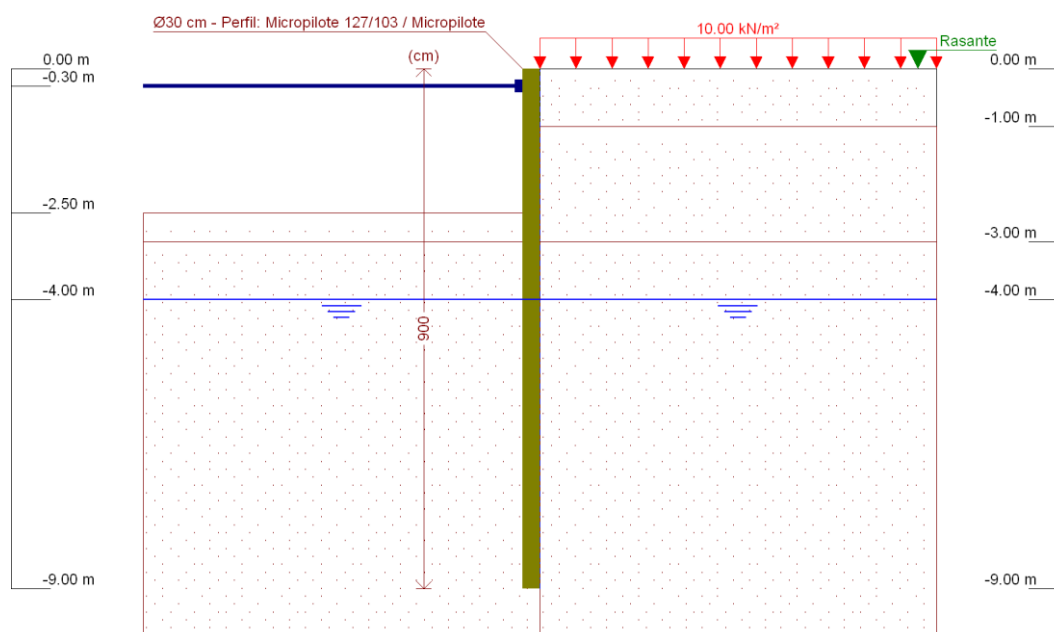
<p><b>Información adicional:</b></p> <ul style="list-style-type: none"> <li>- Esfuerzos para el cálculo de la tensión en el acero: Axil: 15.41 kN; Momento: 23.44 kN·m; Cortante: 20.19 kN</li> <li>- Esfuerzos para el cálculo de la tensión en el hormigón: Axil: 15.41 kN; Momento: 23.44 kN·m; Cortante: 20.19 kN</li> <li>- Esfuerzos mayorados por micropilote (Diámetro: 30.00 cm)</li> </ul>
--

Technical drawing showing the cross-section of a micro-pile (Micropilote 127/103) and the soil profile. The pile is labeled  $\varnothing 30 \text{ cm}$  - Perfil: Micropilote 127/103 / Micropilote. The soil profile is divided into layers with different patterns. The vertical axis is labeled (cm) and shows depths from 0.00 m to -9.00 m. A horizontal line at -4.00 m is labeled Rasante. A load of  $10.00 \text{ kN/m}^2$  is applied to the soil surface. The pile is shown as a vertical line with a diameter of 30 cm. The soil profile is divided into layers with different patterns: a top layer with a dotted pattern, a middle layer with a cross-hatched pattern, and a bottom layer with a horizontal line pattern. The pile is shown as a vertical line with a diameter of 30 cm. The soil profile is divided into layers with different patterns: a top layer with a dotted pattern, a middle layer with a cross-hatched pattern, and a bottom layer with a horizontal line pattern.

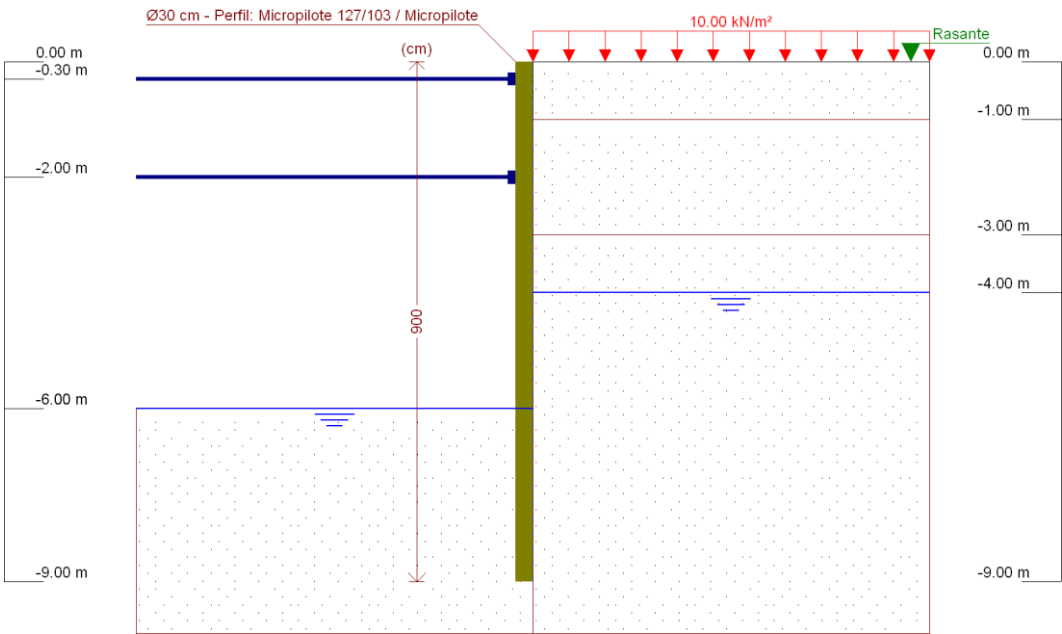
Página 309



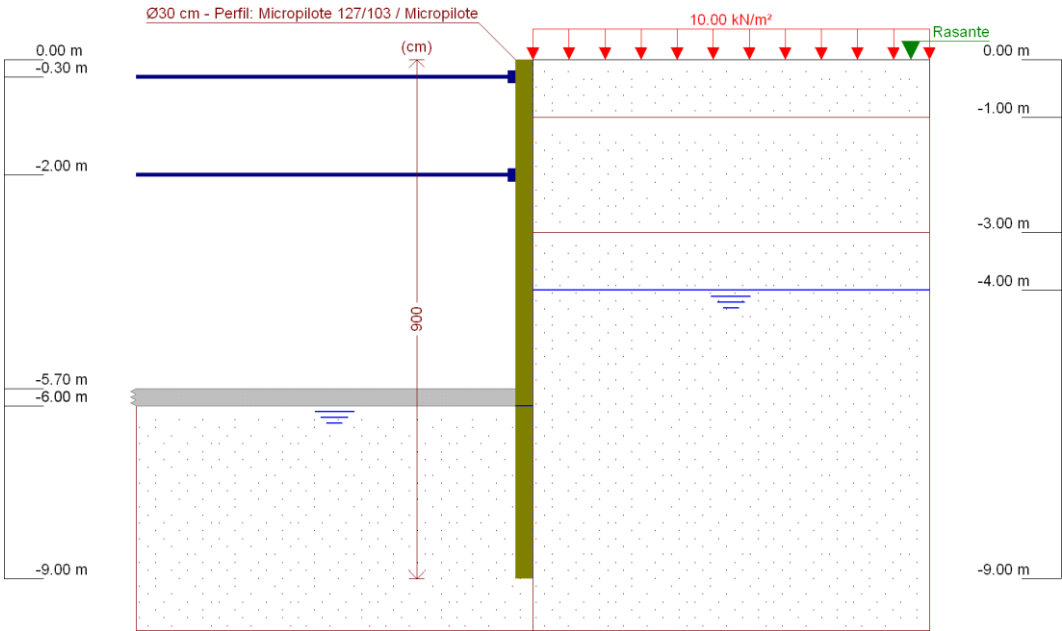
Referencias	Nombre	Descripción
Fase 2	Colocación de puntal en la cota - 0.30 m	Tipo de fase: Constructiva Cota de excavación: -0.50 m Con nivel freático trasdós hasta la cota: -4.00 m Con nivel freático intradós hasta la cota: -4.00 m



[illegible]Página 311



Referencias	Nombre	Descripción
Fase 5	Excavación hasta la cota: -6.00	Tipo de fase: Constructiva Cota de excavación: -6.00 m Con nivel freático trasdós hasta la cota: -4.00 m Con nivel freático intradós hasta la cota: -6.00 m

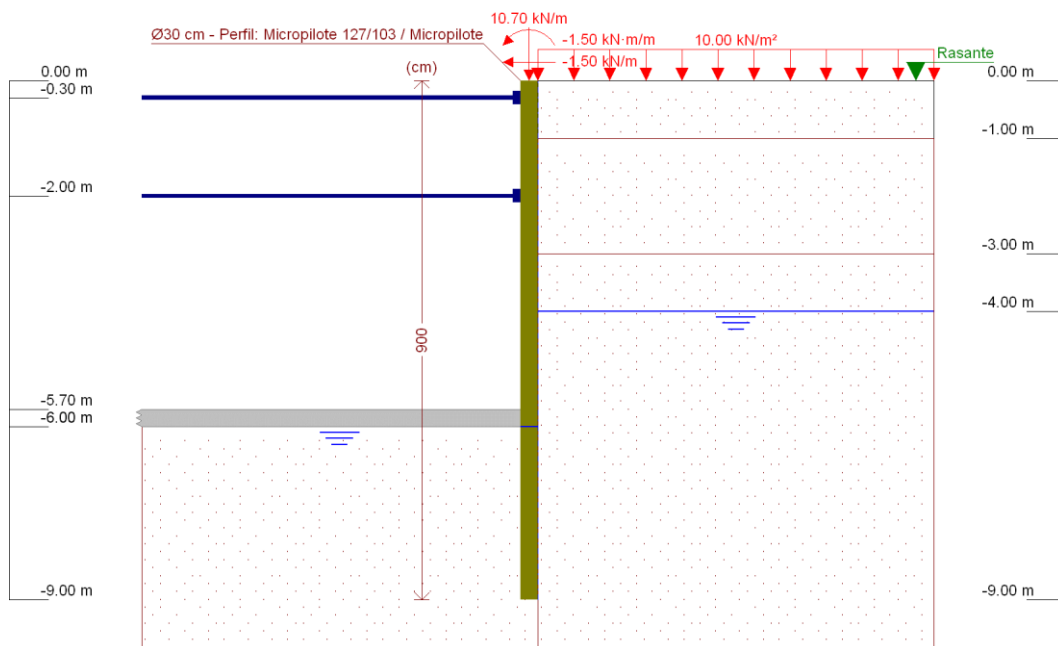




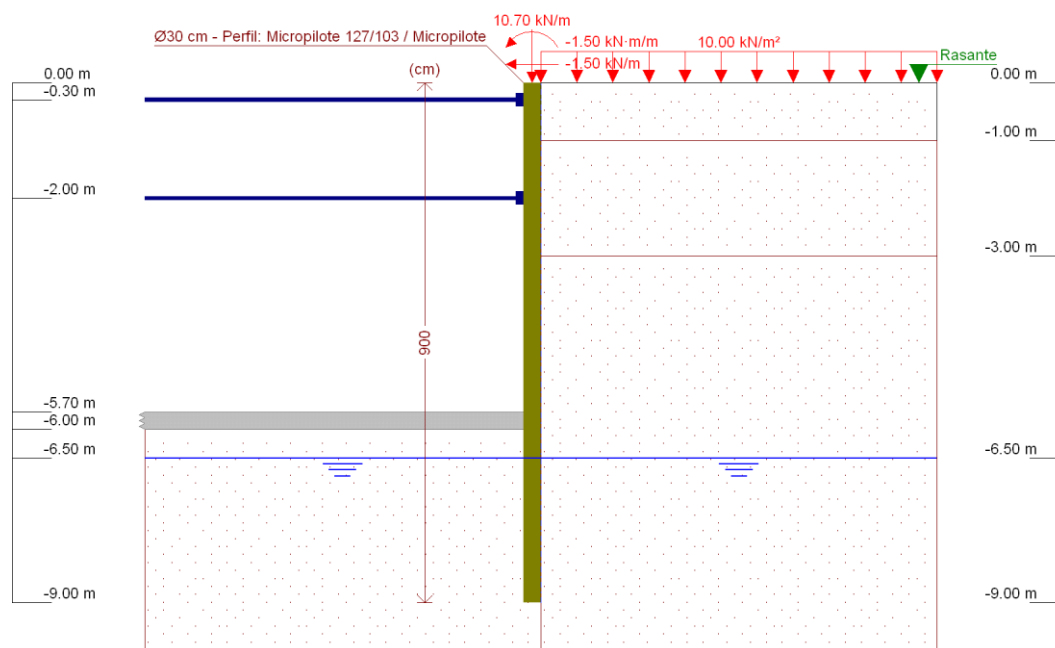


**“Proyecto de las estructuras para la conexión peatonal de los andenes de la estación de Font de Sant Lluís en Valencia”.**

Referencia s	Nombre	Descripción
Fase 6	Construcción de solera de canto 300 mm	Tipo de fase: Constructiva Cota de excavación: -6.00 m Con nivel freático trasdós hasta la cota: -4.00 m Con nivel freático intradós hasta la cota: -6.00 m



Referencia s	Nombre	Descripción
Fase 7	Introducción de cargas en coronación	Tipo de fase: Constructiva Cota de excavación: -6.00 m Con nivel freático trasdós hasta la cota: -4.00 m Con nivel freático intradós hasta la cota: -6.00 m



Referencias	Nombre	Descripción
Fase 8	Nivel freatico	Tipo de fase: Constructiva Cota de excavación: -6.00 m Con nivel freático trasdós hasta la cota: -6.50 m Con nivel freático intradós hasta la cota: -6.50 m

## 9.- CARGAS

### CARGAS EN EL TRASDÓS

Tipo	Cota	Datos	Fase inicial	Fase final
Uniforme	En superficie	Valor: 10 kN/m²	Excavación hasta la cota: - 0.50 m	Nivel freatico

## 10.- ELEMENTOS DE APOYO

### PUNTALES

Descripción	Fase inicial	Fase final
Cota: -0.30 m Rigidez axil: 925 kN/m Separación: 1.0 m	Colocación de puntal en la cota - 0.30 m	Nivel freatico
Cota: -2.00 m Rigidez axil: 178500 kN/m Separación: 1.0 m	Construcción de puntal en la cota - 2	Nivel freatico

### FORJADOS

Descripción	Fase de construcción	Fase de servicio
Cota: -5.70 m Canto: 30 cm Cortante fase constructiva: 0 kN/m Cortante fase de servicio: 0 kN/m Rigidez axil: 4286519 kN/m²	Construcción de solera de canto 300 mm	Nivel freatico



## 11.- RESULTADOS DE LAS FASES

Esfuerzos sin mayorar.

### FASE 1: EXCAVACIÓN HASTA LA COTA: - 0.50 M

#### BÁSICA

Cota (m)	Desplazamientos (mm)	Ley de axiles (kN/m)	Ley de cortantes (kN/m)	Ley de momento flector (kN·m/m)	Ley de empujes (kN/m <sup>2</sup> )	Presión hidrostática (kN/m <sup>2</sup> )
0.00	-0.89	0.00	0.41	0.00	3.30	0.00
-0.75	-0.68	3.21	3.18	1.30	1.30	0.00
-1.50	-0.48	6.42	0.50	2.74	-3.26	0.00
-2.25	-0.35	9.64	-0.81	2.27	0.98	0.00
-3.00	-0.25	12.85	0.73	2.31	-3.62	0.00
-3.75	-0.20	16.06	-1.08	1.80	-0.54	0.00
-4.50	-0.18	19.27	-1.13	0.91	0.54	0.00
-5.25	-0.18	22.48	-0.68	0.28	0.62	0.00
-6.00	-0.18	25.69	-0.26	-0.01	0.39	0.00
-6.75	-0.19	28.91	-0.03	-0.08	0.16	0.00
-7.50	-0.19	32.12	0.05	-0.06	0.03	0.00
-8.25	-0.19	35.33	0.05	-0.02	-0.04	0.00
-9.00	-0.19	38.54	0.00	0.00	-0.08	0.00
Máximos	-0.18	38.54	3.50	2.74	6.27	0.00
	Cota: -5.00 m	Cota: -9.00 m	Cota: -1.00 m	Cota: -1.50 m	Cota: -0.50 m	Cota: 0.00 m
Mínimos	-0.89	0.00	-1.22	-0.08	-6.99	0.00
	Cota: 0.00 m	Cota: 0.00 m	Cota: -4.25 m	Cota: -6.75 m	Cota: -1.00 m	Cota: 0.00 m

### FASE 2: COLOCACIÓN DE PUNTAL EN LA COTA - 0.30 M

#### BÁSICA

Cota (m)	Desplazamientos (mm)	Ley de axiles (kN/m)	Ley de cortantes (kN/m)	Ley de momento flector (kN·m/m)	Ley de empujes (kN/m <sup>2</sup> )	Presión hidrostática (kN/m <sup>2</sup> )
0.00	-0.89	0.00	0.41	-0.00	3.30	0.00
-0.50	-0.75	2.14	1.61	0.51	6.27	0.00
-1.25	-0.54	5.35	1.76	2.61	-5.03	0.00
-2.00	-0.39	8.56	-0.74	2.48	-0.27	0.00
-2.75	-0.28	11.78	-0.04	2.12	3.06	0.00
-3.50	-0.21	14.99	-0.76	2.07	-1.30	0.00
-4.25	-0.18	18.20	-1.22	1.19	0.34	0.00
-5.00	-0.18	21.41	-0.84	0.45	0.66	0.00
-5.75	-0.18	24.62	-0.38	0.06	0.47	0.00
-6.50	-0.18	27.84	-0.09	-0.07	0.23	0.00
-7.25	-0.19	31.05	0.03	-0.07	0.06	0.00
-8.00	-0.19	34.26	0.06	-0.03	-0.02	0.00
-8.75	-0.19	37.47	0.03	-0.00	-0.07	0.00
Máximos	-0.18	38.54	3.50	2.74	6.27	0.00
	Cota: -5.00 m	Cota: -9.00 m	Cota: -1.00 m	Cota: -1.50 m	Cota: -0.50 m	Cota: 0.00 m
Mínimos	-0.89	0.00	-1.22	-0.08	-6.99	0.00
	Cota: 0.00 m	Cota: 0.00 m	Cota: -4.25 m	Cota: -6.75 m	Cota: -1.00 m	Cota: 0.00 m

**FASE 3: EXCAVACIÓN HASTA LA COTA: -2.5 M****BÁSICA**

Cota (m)	Desplazamientos (mm)	Ley de axiles (kN/m)	Ley de cortantes (kN/m)	Ley de momento flector (kN·m/m)	Ley de empujes (kN/m <sup>2</sup> )	Presión hidrostática (kN/m <sup>2</sup> )
0.00	-5.87	0.00	0.41	-0.00	3.30	0.00
-0.50	-5.09	2.14	-2.64	-0.35	6.27	0.00
-1.25	-3.92	5.35	2.11	0.13	6.85	0.00
-2.00	-2.75	8.56	8.66	4.75	12.52	0.00
-2.75	-1.68	11.78	19.47	16.41	-10.31	0.00
-3.50	-0.91	14.99	-2.61	21.37	-20.58	0.00
-4.25	-0.55	18.20	-11.66	13.87	0.46	0.00
-5.00	-0.45	21.41	-9.31	5.99	6.15	0.00
-5.75	-0.47	24.62	-4.75	1.31	5.20	0.00
-6.50	-0.51	27.84	-1.45	-0.51	2.80	0.00
-7.25	-0.54	31.05	0.14	-0.72	0.96	0.00
-8.00	-0.56	34.26	0.56	-0.35	-0.10	0.00
-8.75	-0.57	37.47	0.31	-0.03	-0.76	0.00
Máximos	-0.45	38.54	19.47	22.02	16.30	0.00
	Cota: -5.25 m	Cota: -9.00 m	Cota: -2.75 m	Cota: -3.25 m	Cota: -2.50 m	Cota: 0.00 m
Mínimos	-5.87	0.00	-11.66	-0.75	-45.35	0.00
	Cota: 0.00 m	Cota: 0.00 m	Cota: -4.25 m	Cota: -7.00 m	Cota: -3.00 m	Cota: 0.00 m

**FASE 4: CONSTRUCCIÓN DE PUNTAL EN LA COTA - 2****BÁSICA**

Cota (m)	Desplazamientos (mm)	Ley de axiles (kN/m)	Ley de cortantes (kN/m)	Ley de momento flector (kN·m/m)	Ley de empujes (kN/m <sup>2</sup> )	Presión hidrostática (kN/m <sup>2</sup> )
0.00	-5.87	0.00	0.41	-0.00	3.30	0.00
-0.50	-5.09	2.14	-2.64	-0.35	6.27	0.00
-1.25	-3.92	5.35	2.11	0.13	6.85	0.00
-2.00	-2.75	8.56	8.66	4.75	12.52	0.00
-2.75	-1.68	11.78	19.47	16.41	-10.31	0.00
-3.50	-0.91	14.99	-2.61	21.37	-20.58	0.00
-4.25	-0.55	18.20	-11.66	13.87	0.46	0.00
-5.00	-0.45	21.41	-9.31	5.99	6.15	0.00
-5.75	-0.47	24.62	-4.75	1.31	5.20	0.00
-6.50	-0.51	27.84	-1.45	-0.51	2.80	0.00
-7.25	-0.54	31.05	0.14	-0.72	0.96	0.00
-8.00	-0.56	34.26	0.56	-0.35	-0.10	0.00
-8.75	-0.57	37.47	0.31	-0.03	-0.76	0.00
Máximos	-0.45	38.54	19.47	22.02	16.30	0.00
	Cota: -5.25 m	Cota: -9.00 m	Cota: -2.75 m	Cota: -3.25 m	Cota: -2.50 m	Cota: 0.00 m
Mínimos	-5.87	0.00	-11.66	-0.75	-45.35	0.00
	Cota: 0.00 m	Cota: 0.00 m	Cota: -4.25 m	Cota: -7.00 m	Cota: -3.00 m	Cota: 0.00 m

**FASE 5: EXCAVACIÓN HASTA LA COTA: -6.00**



**“Proyecto de las estructuras para la conexión peatonal de los andenes  
de la estación de Font de Sant Lluís en Valencia”.**

**BÁSICA**

Cota (m)	Desplazamientos (mm)	Ley de axiles (kN/m)	Ley de cortantes (kN/m)	Ley de momento flector (kN·m/m)	Ley de empujes (kN/m <sup>2</sup> )	Presión hidrostática (kN/m <sup>2</sup> )
0.00	-3.97	0.00	1.96	-0.00	15.64	0.00
-0.50	-3.69	2.14	3.06	1.39	15.39	0.00
-1.25	-3.30	5.35	15.39	9.65	16.44	0.00
-2.00	-3.09	8.56	25.72	26.70	12.52	0.00
-2.75	-3.32	11.78	-22.58	6.83	18.19	0.00
-3.50	-3.68	14.99	-17.54	-6.57	3.98	0.00
-4.25	-3.92	18.20	-13.05	-17.74	9.11	2.45
-5.00	-3.82	21.41	-1.71	-22.30	12.46	9.81
-5.75	-3.31	24.62	17.68	-14.34	15.82	17.17
-6.50	-2.52	27.84	24.61	7.06	-57.70	19.62
-7.25	-1.87	31.05	0.77	12.83	-40.40	19.62
-8.00	-1.45	34.26	-10.16	7.11	-20.37	19.62
-8.75	-1.17	37.47	-6.46	0.64	-4.09	19.62
Máximos	-1.08	38.54	35.06	26.70	18.67	19.62
	Cota: -9.00 m	Cota: -9.00 m	Cota: -6.25 m	Cota: -2.00 m	Cota: -1.00 m	Cota: -6.00 m
Mínimos	-3.97	0.00	-30.26	-22.30	-61.43	0.00
	Cota: 0.00 m	Cota: 0.00 m	Cota: -2.25 m	Cota: -5.00 m	Cota: -6.25 m	Cota: 0.00 m

**FASE 6: CONSTRUCCIÓN DE SOLERA DE CANTO 300 MM**

**BÁSICA**

Cota (m)	Desplazamientos (mm)	Ley de axiles (kN/m)	Ley de cortantes (kN/m)	Ley de momento flector (kN·m/m)	Ley de empujes (kN/m <sup>2</sup> )	Presión hidrostática (kN/m <sup>2</sup> )
0.00	-3.97	0.00	1.95	-0.00	15.64	0.00
-0.50	-3.69	2.14	3.06	1.39	15.39	0.00
-1.25	-3.30	5.35	15.39	9.65	16.44	0.00
-2.00	-3.09	8.56	25.72	26.70	12.52	0.00
-2.75	-3.32	11.78	-22.59	6.82	18.19	0.00
-3.50	-3.68	14.99	-17.54	-6.59	3.99	0.00
-4.25	-3.92	18.20	-13.04	-17.75	9.14	2.45
-5.00	-3.82	21.41	-1.66	-22.28	12.53	9.81
-5.75	-3.30	24.62	17.78	-14.26	15.90	17.17
-6.25	-2.78	26.76	34.94	0.95	-61.29	19.62
-7.00	-2.06	29.98	7.17	12.63	-45.29	19.62
-7.75	-1.57	33.19	-8.28	9.64	-27.08	19.62
-8.50	-1.26	36.40	-9.05	2.26	-9.20	19.62
Máximos	-1.08	38.54	34.94	26.70	18.67	19.62
	Cota: -9.00 m	Cota: -9.00 m	Cota: -6.25 m	Cota: -2.00 m	Cota: -1.00 m	Cota: -6.00 m
Mínimos	-3.97	0.00	-30.27	-22.28	-61.29	0.00
	Cota: 0.00 m	Cota: 0.00 m	Cota: -2.25 m	Cota: -5.00 m	Cota: -6.25 m	Cota: 0.00 m

**FASE 7: INTRODUCCION DE CARGAS EN CORONACIÓN**



**BÁSICA**

Cota (m)	Desplazamientos (mm)	Ley de axiles (kN/m)	Ley de cortantes (kN/m)	Ley de momento flector (kN·m/m)	Ley de empujes (kN/m <sup>2</sup> )	Presión hidrostática (kN/m <sup>2</sup> )
0.00	-4.22	10.70	3.25	1.50	14.01	0.00
-0.50	-3.85	12.84	3.84	3.42	14.34	0.00
-1.25	-3.36	16.05	15.36	11.88	15.49	0.00
-2.00	-3.09	19.26	25.24	28.64	12.52	0.00
-2.75	-3.30	22.48	-23.70	7.90	18.46	0.00
-3.50	-3.66	25.69	-18.29	-6.18	4.55	0.00
-4.25	-3.91	28.90	-13.41	-17.70	9.52	2.45
-5.00	-3.82	32.11	-1.81	-22.40	12.69	9.81
-5.75	-3.30	35.32	17.71	-14.44	15.92	17.17
-6.25	-2.79	37.46	35.08	0.82	-61.35	19.62
-7.00	-2.06	40.68	7.26	12.58	-45.36	19.62
-7.75	-1.57	43.89	-8.24	9.63	-27.13	19.62
-8.50	-1.26	47.10	-9.05	2.26	-9.22	19.62
Máximos	-1.08	49.24	35.08	28.64	18.46	19.62
	Cota: -9.00 m	Cota: -9.00 m	Cota: -6.25 m	Cota: -2.00 m	Cota: -2.75 m	Cota: -6.00 m
Mínimos	-4.22	10.70	-31.45	-22.40	-61.35	0.00
	Cota: 0.00 m	Cota: 0.00 m	Cota: -2.25 m	Cota: -5.00 m	Cota: -6.25 m	Cota: 0.00 m

**FASE 8: NIVEL FREATICO****BÁSICA**

Cota (m)	Desplazamientos (mm)	Ley de axiles (kN/m)	Ley de cortantes (kN/m)	Ley de momento flector (kN·m/m)	Ley de empujes (kN/m <sup>2</sup> )	Presión hidrostática (kN/m <sup>2</sup> )
0.00	-4.24	10.70	3.23	1.50	13.88	0.00
-0.50	-3.87	12.84	3.78	3.40	14.24	0.00
-1.25	-3.37	16.05	15.21	11.77	15.35	0.00
-2.00	-3.09	19.26	25.01	28.37	12.52	0.00
-2.75	-3.29	22.48	-24.14	7.29	18.65	0.00
-3.50	-3.62	25.69	-18.35	-6.97	5.64	0.00
-4.25	-3.83	28.90	-12.39	-18.04	13.13	0.00
-5.00	-3.69	32.11	-0.38	-21.69	21.77	0.00
-5.75	-3.15	35.32	18.06	-13.10	30.06	0.00
-6.25	-2.62	37.46	33.74	1.73	-40.85	0.00
-7.00	-1.89	40.68	6.58	12.82	-24.97	0.00
-7.75	-1.41	43.89	-8.42	9.62	-7.11	0.00
-8.50	-1.11	47.10	-9.02	2.24	10.44	0.00
Máximos	-0.94	49.24	33.74	28.37	32.68	0.00
	Cota: -9.00 m	Cota: -9.00 m	Cota: -6.25 m	Cota: -2.00 m	Cota: -6.00 m	Cota: 0.00 m
Mínimos	-4.24	10.70	-31.92	-21.69	-40.85	0.00
	Cota: 0.00 m	Cota: 0.00 m	Cota: -2.25 m	Cota: -5.00 m	Cota: -6.25 m	Cota: 0.00 m

**12.- RESULTADOS PARA LOS ELEMENTOS DE APOYO**

Esfuerzos sin mayorar.



## Puntales

Cota: -0.30 m

Fase	Resultado
Colocación de puntal en la cota - 0.30 m	Carga puntual: 0.00 kN Carga lineal: 0.00 kN/m
Excavación hasta la cota: -2.5 m	Carga puntual: 4.25 kN Carga lineal: 4.25 kN/m
Construcción de puntal en la cota - 2	Carga puntual: 4.25 kN Carga lineal: 4.25 kN/m
Excavación hasta la cota: -6.00	Carga puntual: 2.77 kN Carga lineal: 2.77 kN/m
Construcción de solera de canto 300 mm	Carga puntual: 2.77 kN Carga lineal: 2.77 kN/m
Introducción de cargas en coronación	Carga puntual: 2.95 kN Carga lineal: 2.95 kN/m
Nivel freático	Carga puntual: 2.97 kN Carga lineal: 2.97 kN/m

Cota: -2.00 m

Fase	Resultado
Construcción de puntal en la cota - 2	Carga puntual: 0.00 kN Carga lineal: 0.00 kN/m
Excavación hasta la cota: -6.00	Carga puntual: 59.11 kN Carga lineal: 59.11 kN/m
Construcción de solera de canto 300 mm	Carga puntual: 59.11 kN Carga lineal: 59.11 kN/m
Introducción de cargas en coronación	Carga puntual: 59.82 kN Carga lineal: 59.82 kN/m
Nivel freático	Carga puntual: 60.06 kN Carga lineal: 60.06 kN/m

## Forjados

Cota: -5.70 m

Fase	Resultado
Construcción de solera de canto 300 mm	Carga lineal: 0.27 kN/m
Introducción de cargas en coronación	Carga lineal: 0.00 kN/m
Nivel freático	SE PRODUCE DESPEGUE: 0.16 mm

## 13.- COMPROBACIONES DE ESTABILIDAD (COEFICIENTES DE SEGURIDAD)

Referencia: Comprobaciones de estabilidad (Coeficientes de seguridad): Pantalla Micropilotes 9 m (Pantalla de Micropilotes cilíndricos de 300 mm de diámetro reforzados por un perfil hueco redondo de 130 mm de diámetro de acero S275J)

Comprobación	Valores	Estado
Relación entre el momento originado por los empujes pasivos en el intradós y el momento originado por los empujes activos en el trasdós:  - Hipótesis básica: <i>Valor introducido por el usuario.</i>	Mínimo: 1.67	
- Excavación hasta la cota: - 0.50 m:	Calculado: 16.803	Cumple
- Colocación de puntal en la cota - 0.30 m:	Calculado: 18.789	Cumple
- Excavación hasta la cota: -2.5 m:	Calculado: 12.71	Cumple

Referencia: Comprobaciones de estabilidad (Coeficientes de seguridad): Pantalla Micropilotes 9 m (Pantalla de Micropilotes cilindricos de 300 mm de diametro reforzados por un perfil hueco redondo de 130 mm de diametro de acero S275J)		
Comprobación	Valores	Estado
- Construcción de puntal en la cota - 2 <sup>(1)</sup>		No procede
- Excavación hasta la cota: -6.00 <sup>(1)</sup>		No procede
- Construcción de solera de canto 300 mm <sup>(1)</sup>		No procede
- Introduccion de cargas en coronación <sup>(1)</sup>		No procede
- Nivel freatico <sup>(1)</sup>		No procede
<sup>(1)</sup> Existe más de un apoyo.		
Relación entre el empuje pasivo total en el intradós y el empuje realmente movilizado en el intradós: <i>Valor introducido por el usuario.</i>	Mínimo: 1.67	
Hipótesis básica:		
- Excavación hasta la cota: - 0.50 m:	Calculado: 5.802	Cumple
- Colocación de puntal en la cota - 0.30 m:	Calculado: 5.802	Cumple
- Excavación hasta la cota: -2.5 m:	Calculado: 4.758	Cumple
- Construcción de puntal en la cota - 2:	Calculado: 4.758	Cumple
- Excavación hasta la cota: -6.00:	Calculado: 2.049	Cumple
- Construcción de solera de canto 300 mm:	Calculado: 2.049	Cumple
- Introduccion de cargas en coronación:	Calculado: 2.048	Cumple
- Nivel freatico:	Calculado: 2.345	Cumple
Se cumplen todas las comprobaciones		

## 14.- COMPROBACIONES DE ESTABILIDAD (CÍRCULO DE DESLIZAMIENTO PÉSIMO)

Referencia: Comprobaciones de estabilidad (Círculo de deslizamiento pésimo): Pantalla Micropilotes 9 m (Pantalla de Micropilotes cilindricos de 300 mm de diametro reforzados por un perfil hueco redondo de 130 mm de diametro de acero S275J)		
Comprobación	Valores	Estado
Círculo de deslizamiento pésimo:		
- Combinaciones sin sismo: <i>Valor introducido por el usuario.</i>	Mínimo: 1.8	
- Excavación hasta la cota: - 0.50 m: Coordenadas del centro del círculo (-1.58 m ; 1.48 m) - Radio: 10.48 m:	Calculado: 41.385	Cumple
- Colocación de puntal en la cota - 0.30 m: Coordenadas del centro del círculo (-1.58 m ; 1.48 m) - Radio: 10.48 m:	Calculado: 41.385	Cumple
- Excavación hasta la cota: -2.5 m: Coordenadas del centro del círculo (-1.89 m ; 4.07 m) - Radio: 13.57 m:	Calculado: 5.627	Cumple
- Construcción de puntal en la cota - 2: Coordenadas del centro del círculo (-1.89 m ; 4.07 m) - Radio: 13.57 m:	Calculado: 5.627	Cumple
- Excavación hasta la cota: -6.00: Coordenadas del centro del círculo (-2.46 m ; 1.08 m) - Radio: 10.58 m:	Calculado: 2.272	Cumple
- Construcción de solera de canto 300 mm <sup>(1)</sup>		No procede



Referencia: Comprobaciones de estabilidad (Círculo de deslizamiento pésimo): Pantalla Micropilotes 9 m (Pantalla de Micropilotes cilindricos de 300 mm de diametro reforzados por un perfil hueco redondo de 130 mm de diametro de acero S275J)

Comprobación	Valores	Estado
- Introduccion de cargas en coronación <sup>(1)</sup>		No procede
- Nivel freatico <sup>(1)</sup>		No procede
- Combinaciones con sismo: <i>Valor introducido por el usuario.</i>	Mínimo: 1.2	
- Excavación hasta la cota: - 0.50 m: Coordenadas del centro del círculo (-1.42 m ; 1.48 m) - Radio: 10.48 m:	Calculado: 14.848	Cumple
- Colocación de puntal en la cota - 0.30 m: Coordenadas del centro del círculo (-1.42 m ; 1.48 m) - Radio: 10.48 m:	Calculado: 14.848	Cumple
- Excavación hasta la cota: -2.5 m: Coordenadas del centro del círculo (-2.09 m ; 6.60 m) - Radio: 16.10 m:	Calculado: 3.102	Cumple
- Construcción de puntal en la cota - 2: Coordenadas del centro del círculo (-2.09 m ; 6.60 m) - Radio: 16.10 m:	Calculado: 3.102	Cumple
- Excavación hasta la cota: -6.00: Coordenadas del centro del círculo (-2.94 m ; 4.60 m) - Radio: 14.10 m:	Calculado: 1.739	Cumple
<i>(1) No es necesario comprobar la estabilidad global (círculo de deslizamiento pésimo) cuando en la fase se ha definido algún forjado.</i>		

Se cumplen todas las comprobaciones

Información adicional:

- Excavación hasta la cota: - 0.50 m: Combinaciones sin sismo - Debido a que el círculo de deslizamiento pésimo pasa por el elemento de contención, éste deberá resistir un cortante de, al menos, 2353.496 kN/m en la intersección con dicho círculo. Esto es necesario para garantizar la validez del coeficiente de seguridad calculado.

- Colocación de puntal en la cota - 0.30 m: Combinaciones sin sismo - Debido a que el círculo de deslizamiento pésimo pasa por el elemento de contención, éste deberá resistir un cortante de, al menos, 2353.496 kN/m en la intersección con dicho círculo. Esto es necesario para garantizar la validez del coeficiente de seguridad calculado.

- Excavación hasta la cota: - 0.50 m: Combinaciones con sismo - Debido a que el círculo de deslizamiento pésimo pasa por el elemento de contención, éste deberá resistir un cortante de, al menos, 2348.799 kN/m en la intersección con dicho círculo. Esto es necesario para garantizar la validez del coeficiente de seguridad calculado.

- Colocación de puntal en la cota - 0.30 m: Combinaciones con sismo - Debido a que el círculo de deslizamiento pésimo pasa por el elemento de contención, éste deberá resistir un cortante de, al menos, 2348.799 kN/m en la intersección con dicho círculo. Esto es necesario para garantizar la validez del coeficiente de seguridad calculado.

---

**5.8.2.2 PANTALLA DE PILOTES DE HORMIGÓN CYPE**

---

**ÍNDICE**

<b>1.- NORMA Y MATERIALES</b>	307
<b>2.- ACCIONES</b>	307
<b>3.- DATOS GENERALES</b>	307
<b>4.- DESCRIPCIÓN DEL TERRENO</b>	307
<b>5.- SECCIÓN VERTICAL DEL TERRENO</b>	308
<b>6.- GEOMETRÍA</b>	308
<b>7.- ESQUEMA DE LAS FASES</b>	309
<b>8.- CARGAS</b>	309
<b>9.- ELEMENTOS DE APOYO</b>	314
<b>10.- RESULTADOS DE LAS FASES</b>	314
<b>11.- RESULTADOS PARA LOS ELEMENTOS DE APOYO</b>	314
<b>12.- DESCRIPCIÓN DEL ARMADO</b>	318
<b>13.- COMPROBACIONES GEOMÉTRICAS Y DE RESISTENCIA</b>	319
<b>14.- COMPROBACIONES DE ESTABILIDAD (COEFICIENTES DE SEGURIDAD)</b>	320
<b>15.- COMPROBACIONES DE ESTABILIDAD (CÍRCULO DE DESLIZAMIENTO PÉSIMO)</b>	335
<b>16.- MEDICIÓN</b>	336





**“Proyecto de las estructuras para la conexión peatonal de los andenes  
de la estación de Font de Sant Lluís en Valencia”.**

## **1.- NORMA Y MATERIALES**

Norma de hormigón: EHE-08 (España)

Hormigón: HA-30,  $Y_c=1.5$

Acero: B 500 SD,  $Y_s=1.15$

Clase de exposición: Clase Qa

Recubrimiento geométrico: 7.0 cm

Tamaño máximo del árido: 20 mm

## **2.- ACCIONES**

Mayoración esfuerzos en construcción: 1.60

Mayoración esfuerzos en servicio: 1.60

Con análisis sísmico

Aceleración de cálculo: 0.12 g

No se considera el sismo en las fases constructivas

Mayoración esfuerzos en hipótesis sísmica: 1.60

Sin considerar acciones térmicas en puntales

## **3.- DATOS GENERALES**

Cota de la rasante: 0.00 m

Altura del muro sobre la rasante: 0.00 m

Tipología: Pantalla de pilotes de hormigón

## **4.- DESCRIPCIÓN DEL TERRENO**

Porcentaje del rozamiento interno entre el terreno y el trasdós del muro pantalla: 33.0 %

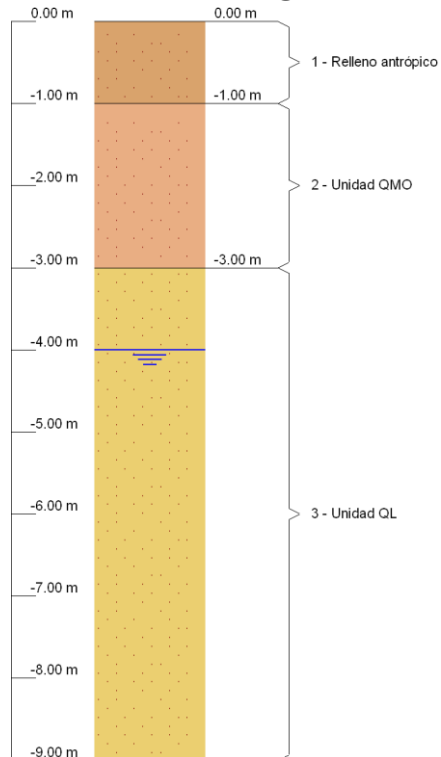
Porcentaje del rozamiento interno entre el terreno y el intradós del muro pantalla: 33.0 %

Profundidad del nivel freático: 4.00 m

### *ESTRATOS*

Referencias	Cota superior	Descripción	Coefficientes de empuje
1 - Relleno antrópico	0.00 m	Densidad aparente: 18.0 kN/m <sup>3</sup> Densidad sumergida: 10.0 kN/m <sup>3</sup> Ángulo rozamiento interno: 28 grados Cohesión: 0.00 kN/m <sup>2</sup> Módulo de balasto empuje activo: 6500.0 kN/m <sup>3</sup> Módulo de balasto empuje pasivo: 6500.0 kN/m <sup>3</sup> Gradiente módulo de balasto: 0.0 kN/m <sup>4</sup>	Activo trasdós: 0.33 Reposo trasdós: 0.53 Pasivo trasdós: 3.63 Activo intradós: 0.33 Reposo intradós: 0.53 Pasivo intradós: 3.63
2 - Unidad QMO	-1.00 m	Densidad aparente: 18.7 kN/m <sup>3</sup> Densidad sumergida: 11.0 kN/m <sup>3</sup> Ángulo rozamiento interno: 23 grados Cohesión: 5.00 kN/m <sup>2</sup> Módulo de balasto empuje activo: 15300.0 kN/m <sup>3</sup> Módulo de balasto empuje pasivo: 15300.0 kN/m <sup>3</sup> Gradiente módulo de balasto: 0.0 kN/m <sup>4</sup>	Activo trasdós: 0.40 Reposo trasdós: 0.61 Pasivo trasdós: 2.78 Activo intradós: 0.40 Reposo intradós: 0.61 Pasivo intradós: 2.78
3 - Unidad QL	-3.00 m	Densidad aparente: 21.5 kN/m <sup>3</sup> Densidad sumergida: 12.0 kN/m <sup>3</sup> Ángulo rozamiento interno: 25 grados Cohesión: 20.00 kN/m <sup>2</sup> Módulo de balasto empuje activo: 29100.0 kN/m <sup>3</sup> Módulo de balasto empuje pasivo: 29100.0 kN/m <sup>3</sup> Gradiente módulo de balasto: 0.0 kN/m <sup>4</sup>	Activo trasdós: 0.37 Reposo trasdós: 0.58 Pasivo trasdós: 3.08 Activo intradós: 0.37 Reposo intradós: 0.58 Pasivo intradós: 3.08

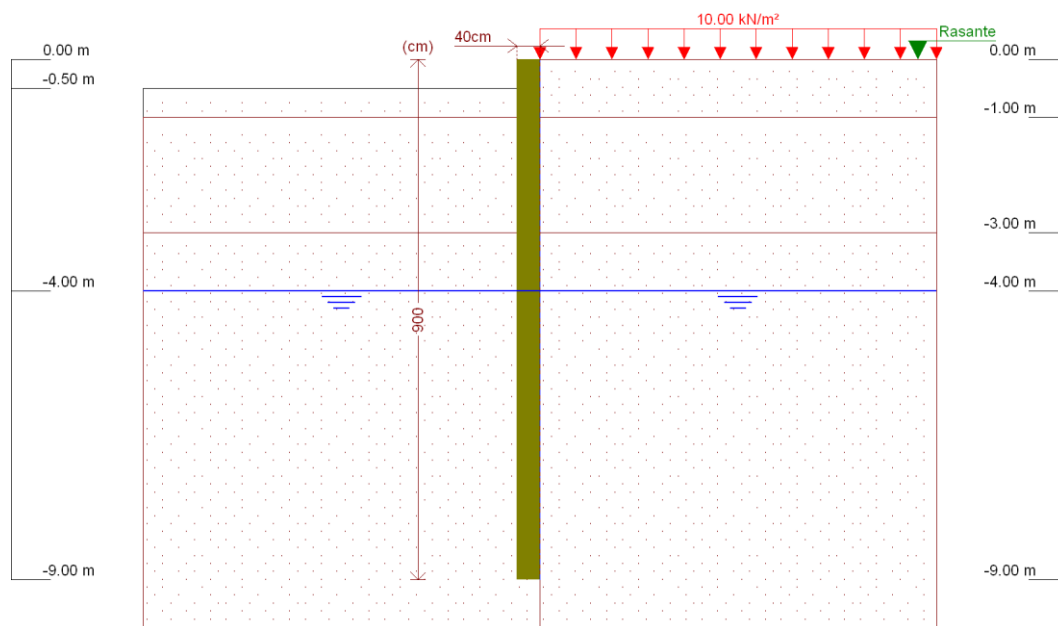
## 5.- SECCIÓN VERTICAL DEL TERRENO



## 6.- GEOMETRÍA

Altura total: 9.00 m  
Diámetro: 40 cm  
Separación entre ejes: 0.80 m

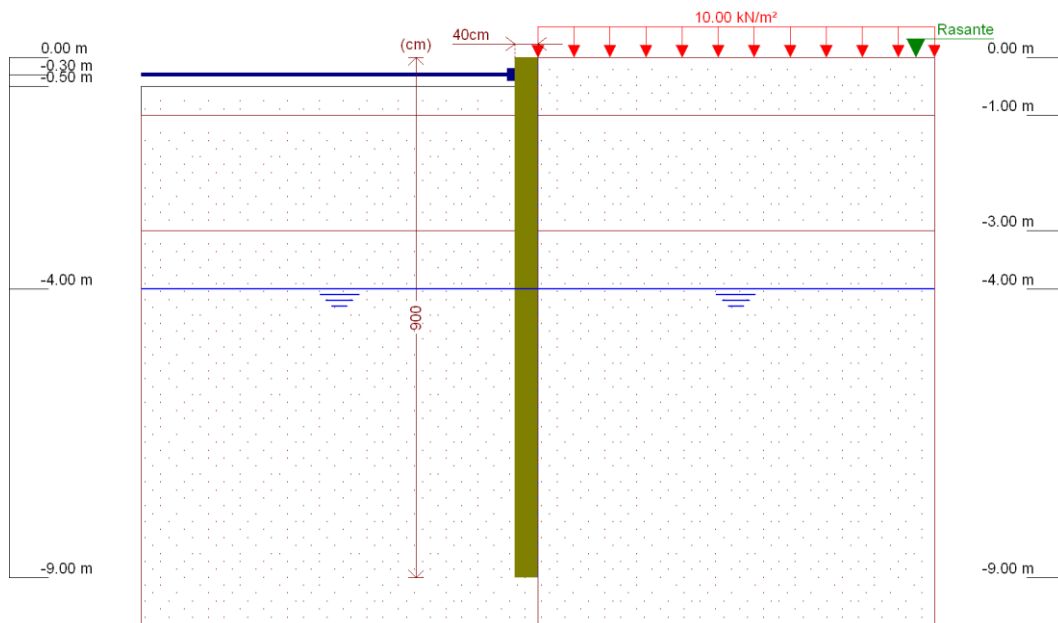
## 7.- ESQUEMA DE LAS FASES



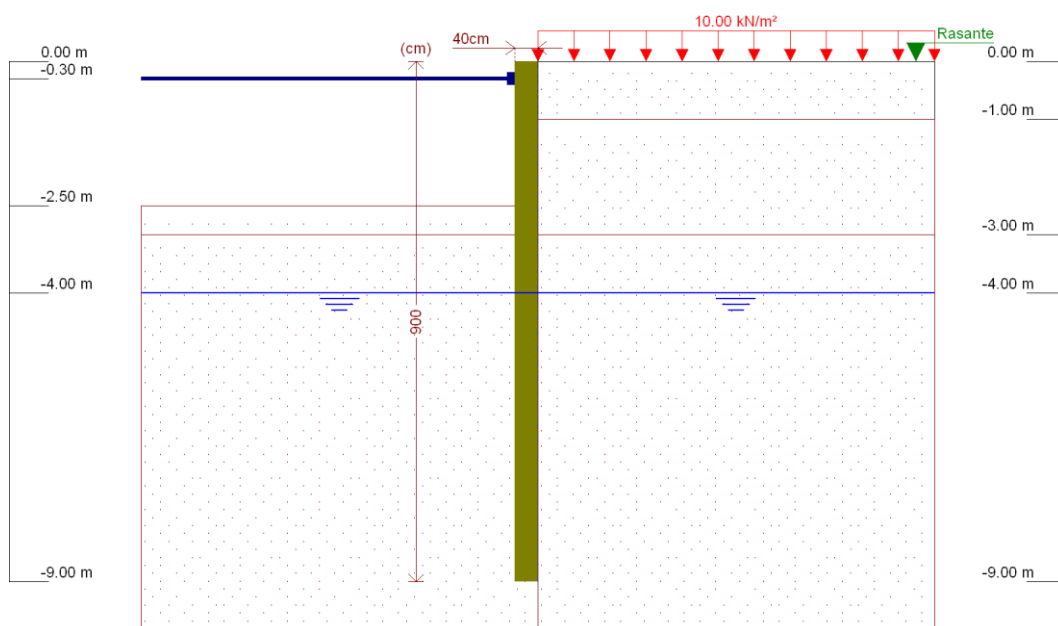


**“Proyecto de las estructuras para la conexión peatonal de los andenes  
de la estación de Font de Sant Lluís en Valencia”.**

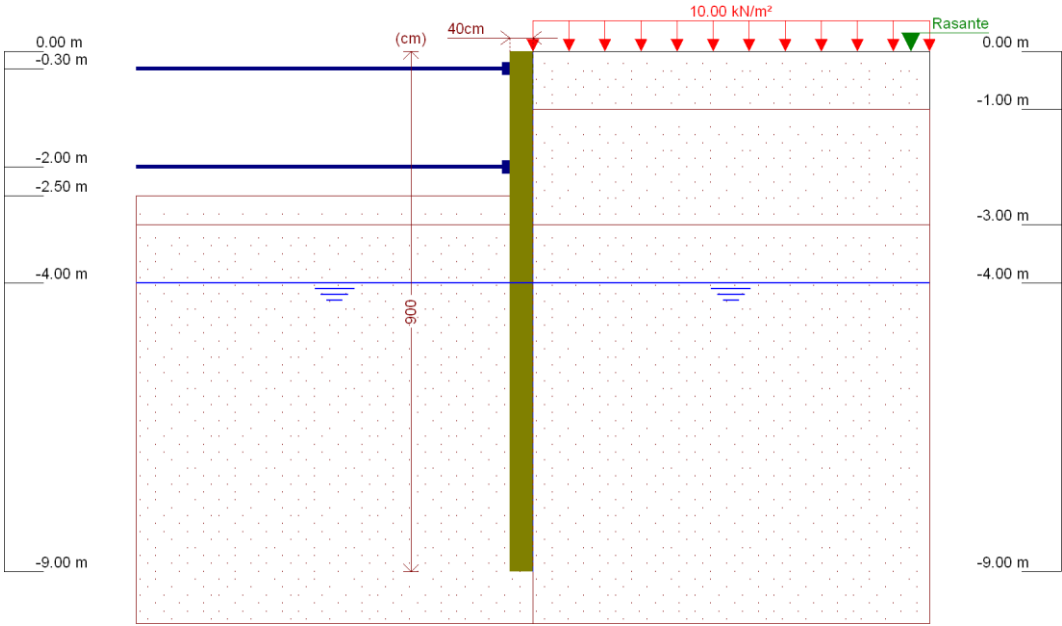
Referencias	Nombre	Descripción
Fase 1	Excavación hasta la cota: - 0.50 m	Tipo de fase: Constructiva Cota de excavación: -0.50 m Con nivel freático trasdós hasta la cota: -4.00 m Con nivel freático intradós hasta la cota: -4.00 m



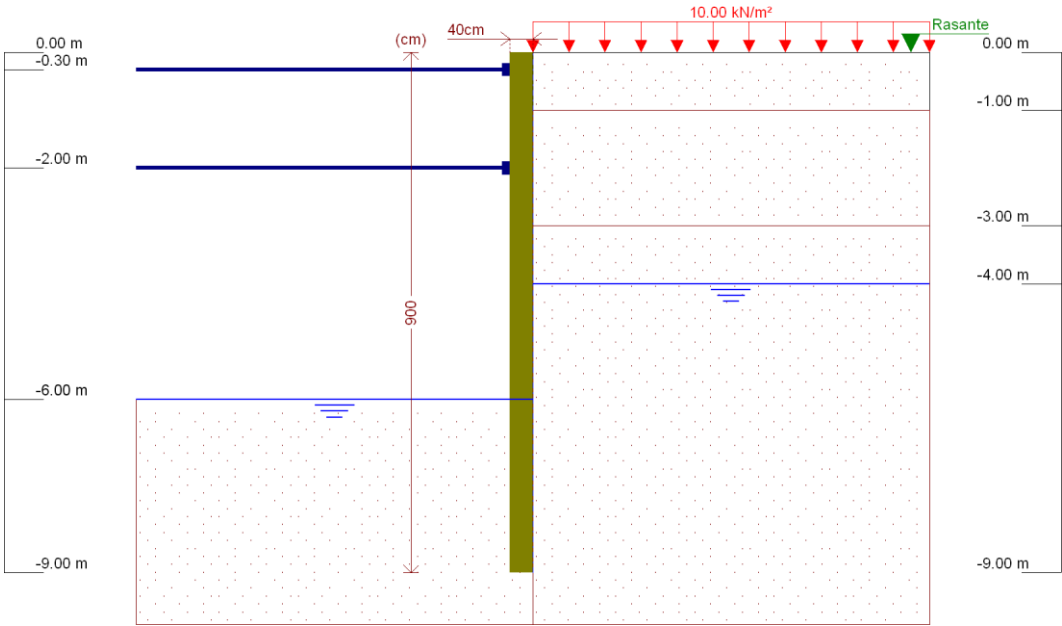
Referencias	Nombre	Descripción
Fase 2	Colocación de puntal en la cota - 0.30 m	Tipo de fase: Constructiva Cota de excavación: -0.50 m Con nivel freático trasdós hasta la cota: -4.00 m Con nivel freático intradós hasta la cota: -4.00 m



Referencias	Nombre	Descripción
Fase 3	Excavación hasta la cota: -2.5 m	Tipo de fase: Constructiva Cota de excavación: -2.50 m Con nivel freático trasdós hasta la cota: -4.00 m Con nivel freático intradós hasta la cota: -4.00 m



Referencias	Nombre	Descripción
Fase 4	Construcción de puntal en la cota - 2	Tipo de fase: Constructiva Cota de excavación: -2.50 m Con nivel freático trasdós hasta la cota: -4.00 m Con nivel freático intradós hasta la cota: -4.00 m





The diagram illustrates a retaining wall cross-section with the following details:

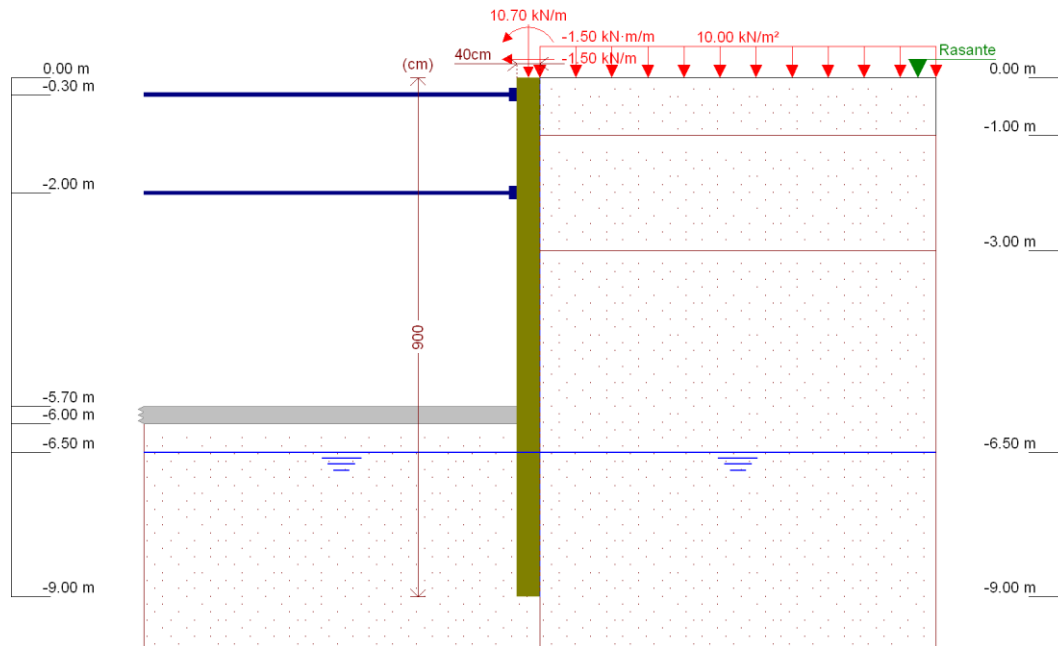
- Dimensions:**
  - Wall height: 9.00 m (indicated by a vertical dimension line on the left).
  - Top width: 40 cm (indicated by a horizontal dimension line at the top).
  - Base width: 900 cm (indicated by a horizontal dimension line at the bottom).
- Soil and Ground Levels:**
  - Ground level on the left: 0.00 m and -0.30 m.
  - Ground level on the right: 0.00 m, -1.00 m, -3.00 m, -4.00 m, and -9.00 m.
  - A horizontal line at -4.00 m on the right is labeled "Rasante" (level).
- Loads:**
  - A uniform surcharge load of 10.00 kN/m<sup>2</sup> is applied across the top of the wall, represented by red downward arrows.
- Structural Features:**
  - Two horizontal reinforcement bars are shown on the left side of the wall.
  - A horizontal line at -4.00 m on the right indicates a specific ground level or datum.

The diagram illustrates a retaining wall cross-section with the following details:

- Dimensions:**
  - Wall height: 9.00 m (indicated by a vertical dimension line on the left).
  - Top width: 40 cm (indicated by a horizontal dimension line at the top).
  - Base width: 900 cm (indicated by a horizontal dimension line at the base).
- Soil Properties:**
  - Backfill (left of wall):** Soil with a unit weight of  $10.70 \text{ kN/m}^3$  and a surcharge of  $-1.50 \text{ kN/m}^2$ . The soil surface is labeled "Rasante" (horizontal) at the top right.
  - Frontfill (right of wall):** Soil with a unit weight of  $10.00 \text{ kN/m}^3$ .
- Water Table:** Indicated by a blue line with horizontal dashes, located at a depth of 4.00 m from the top of the wall.
- Ground Surface:** The ground surface on the left is shown at elevations of 0.00 m and -0.30 m. The ground surface on the right is at 0.00 m.
- Foundation:** The wall is founded on a base at an elevation of -6.00 m, with a total depth of 9.00 m from the top of the wall to the base.



Referencias	Nombre	Descripción
Fase 7	Introduccion de cargas en coronación	Tipo de fase: Constructiva Cota de excavación: -6.00 m Con nivel freático trasdós hasta la cota: -4.00 m Con nivel freático intradós hasta la cota: -6.00 m



Referencias	Nombre	Descripción
Fase 8	Nivel freatico	Tipo de fase: Constructiva Cota de excavación: -6.00 m Con nivel freático trasdós hasta la cota: -6.50 m Con nivel freático intradós hasta la cota: -6.50 m

## 8.- CARGAS

### CARGAS EN EL TRASDÓS

Tipo	Cota	Datos	Fase inicial	Fase final
Uniforme	En superficie	Valor: 10 kN/m²	Excavación hasta la cota: - 0.50 m	Nivel freatico

## 9.- ELEMENTOS DE APOYO

### PUNTALES

Descripción	Fase inicial	Fase final
Cota: -0.30 m Rigidez axil: 925 kN/m Separación: 1.0 m	Colocación de puntal en la cota - 0.30 m	Nivel freatico
Cota: -2.00 m Rigidez axil: 178500 kN/m Separación: 1.0 m	Construcción de puntal en la cota - 2	Nivel freatico

### FORJADOS



**“Proyecto de las estructuras para la conexión peatonal de los andenes de la estación de Font de Sant Lluís en Valencia”.**

Descripción	Fase de construcción	Fase de servicio
Cota: -5.70 m Canto: 30 cm Cortante fase constructiva: 0 kN/m Cortante fase de servicio: 0 kN/m Rigidez axil: 4286519 kN/m <sup>2</sup>	Construcción de solera de canto 300 mm	Nivel freático

## 10.- RESULTADOS DE LAS FASES

Esfuerzos sin mayorar.

### *FASE 1: EXCAVACIÓN HASTA LA COTA: - 0.50 M*

#### *BÁSICA*

Cota (m)	Desplazamientos (mm)	Ley de axiles (kN/m)	Ley de cortantes (kN/m)	Ley de momento flector (kN·m/m)	Ley de empujes (kN/m <sup>2</sup> )	Presión hidrostática (kN/m <sup>2</sup> )
0.00	-0.82	-0.00	0.41	-0.00	3.30	0.00
-0.75	-0.64	2.89	3.18	1.30	1.73	0.00
-1.50	-0.48	5.78	0.88	2.93	-3.08	0.00
-2.25	-0.35	8.67	-0.39	2.78	0.82	0.00
-3.00	-0.26	11.56	0.98	3.05	-4.12	0.00
-3.75	-0.20	14.45	-1.18	2.56	-0.91	0.00
-4.50	-0.18	17.34	-1.45	1.47	0.45	0.00
-5.25	-0.18	20.22	-1.00	0.59	0.72	0.00
-6.00	-0.18	23.11	-0.49	0.10	0.56	0.00
-6.75	-0.18	26.00	-0.14	-0.08	0.30	0.00
-7.50	-0.19	28.89	0.04	-0.09	0.10	0.00
-8.25	-0.19	31.78	0.08	-0.03	-0.04	0.00
-9.00	-0.19	34.67	0.00	0.00	-0.15	0.00
Máximos	-0.18	34.67	3.61	3.05	6.27	0.00
	Cota: -5.25 m	Cota: -9.00 m	Cota: -1.00 m	Cota: -3.00 m	Cota: -0.50 m	Cota: 0.00 m
Mínimos	-0.82	-0.00	-1.49	-0.10	-6.30	0.00
	Cota: 0.00 m	Cota: 0.00 m	Cota: -4.25 m	Cota: -7.25 m	Cota: -1.00 m	Cota: 0.00 m

### *FASE 2: COLOCACIÓN DE PUNTAL EN LA COTA - 0.30 M*

#### *BÁSICA*

Cota (m)	Desplazamientos (mm)	Ley de axiles (kN/m)	Ley de cortantes (kN/m)	Ley de momento flector (kN·m/m)	Ley de empujes (kN/m <sup>2</sup> )	Presión hidrostática (kN/m <sup>2</sup> )
0.00	-0.82	-0.00	0.41	0.00	3.30	0.00
-0.50	-0.70	1.93	1.61	0.51	6.27	0.00
-1.25	-0.53	4.82	2.04	2.71	-4.63	0.00
-2.00	-0.39	7.70	-0.30	2.88	-0.36	0.00
-2.75	-0.29	10.59	0.28	2.81	2.82	0.00
-3.50	-0.22	13.48	-0.75	2.85	-1.74	0.00
-4.25	-0.19	16.37	-1.49	1.83	0.15	0.00
-5.00	-0.18	19.26	-1.18	0.84	0.71	0.00
-5.75	-0.18	22.15	-0.65	0.22	0.63	0.00
-6.50	-0.18	25.04	-0.23	-0.04	0.39	0.00
-7.25	-0.19	27.93	-0.00	-0.10	0.16	0.00
-8.00	-0.19	30.82	0.07	-0.05	0.00	0.00
-8.75	-0.19	33.71	0.05	-0.00	-0.11	0.00
Máximos	-0.18	34.67	3.61	3.05	6.27	0.00
	Cota: -5.25 m	Cota: -9.00 m	Cota: -1.00 m	Cota: -3.00 m	Cota: -0.50 m	Cota: 0.00 m
Mínimos	-0.82	-0.00	-1.49	-0.10	-6.30	0.00
	Cota: 0.00 m	Cota: 0.00 m	Cota: -4.25 m	Cota: -7.25 m	Cota: -1.00 m	Cota: 0.00 m

**FASE 3: EXCAVACIÓN HASTA LA COTA: -2.5 M****BÁSICA**

Cota (m)	Desplazamientos (mm)	Ley de axiles (kN/m)	Ley de cortantes (kN/m)	Ley de momento flector (kN·m/m)	Ley de empujes (kN/m <sup>2</sup> )	Presión hidrostática (kN/m <sup>2</sup> )
0.00	-4.95	-0.00	0.41	0.00	3.30	0.00
-0.50	-4.31	1.93	-1.92	-0.20	6.27	0.00
-1.25	-3.36	4.82	2.83	0.81	6.85	0.00
-2.00	-2.42	7.70	9.38	5.98	12.52	0.00
-2.75	-1.56	10.59	20.19	18.18	-8.59	0.00
-3.50	-0.93	13.48	-0.91	24.23	-21.69	0.00
-4.25	-0.59	16.37	-11.38	17.39	-1.98	0.00
-5.00	-0.47	19.26	-10.58	8.90	5.07	0.00
-5.75	-0.46	22.15	-6.43	2.99	5.55	0.00
-6.50	-0.49	25.04	-2.68	0.12	3.73	0.00
-7.25	-0.53	27.93	-0.39	-0.66	1.77	0.00
-8.00	-0.55	30.82	0.53	-0.43	0.25	0.00
-8.75	-0.57	33.71	0.41	-0.04	-0.96	0.00
Máximos	-0.46	34.67	20.19	24.46	16.30	0.00
	Cota: -5.50 m	Cota: -9.00 m	Cota: -2.75 m	Cota: -3.25 m	Cota: -2.50 m	Cota: 0.00 m
Mínimos	-4.95	-0.00	-11.87	-0.66	-43.78	0.00
	Cota: 0.00 m	Cota: 0.00 m	Cota: -4.50 m	Cota: -7.25 m	Cota: -3.00 m	Cota: 0.00 m

**FASE 4: CONSTRUCCIÓN DE PUNTAL EN LA COTA - 2****BÁSICA**

Cota (m)	Desplazamientos (mm)	Ley de axiles (kN/m)	Ley de cortantes (kN/m)	Ley de momento flector (kN·m/m)	Ley de empujes (kN/m <sup>2</sup> )	Presión hidrostática (kN/m <sup>2</sup> )
0.00	-4.95	-0.00	0.41	0.00	3.30	0.00
-0.50	-4.31	1.93	-1.92	-0.20	6.27	0.00
-1.25	-3.36	4.82	2.83	0.81	6.85	0.00
-2.00	-2.42	7.70	9.38	5.98	12.52	0.00
-2.75	-1.56	10.59	20.19	18.18	-8.59	0.00
-3.50	-0.93	13.48	-0.91	24.23	-21.69	0.00
-4.25	-0.59	16.37	-11.38	17.39	-1.98	0.00
-5.00	-0.47	19.26	-10.58	8.90	5.07	0.00
-5.75	-0.46	22.15	-6.43	2.99	5.55	0.00
-6.50	-0.49	25.04	-2.68	0.12	3.73	0.00
-7.25	-0.53	27.93	-0.39	-0.66	1.77	0.00
-8.00	-0.55	30.82	0.53	-0.43	0.25	0.00
-8.75	-0.57	33.71	0.41	-0.04	-0.96	0.00
Máximos	-0.46	34.67	20.19	24.46	16.30	0.00
	Cota: -5.50 m	Cota: -9.00 m	Cota: -2.75 m	Cota: -3.25 m	Cota: -2.50 m	Cota: 0.00 m
Mínimos	-4.95	-0.00	-11.87	-0.66	-43.78	0.00
	Cota: 0.00 m	Cota: 0.00 m	Cota: -4.50 m	Cota: -7.25 m	Cota: -3.00 m	Cota: 0.00 m

**FASE 5: EXCAVACIÓN HASTA LA COTA: -6.00****BÁSICA**

Cota (m)	Desplazamientos (mm)	Ley de axiles (kN/m)	Ley de cortantes (kN/m)	Ley de momento flector (kN·m/m)	Ley de empujes (kN/m <sup>2</sup> )	Presión hidrostática (kN/m <sup>2</sup> )
0.00	-3.16	-0.00	1.86	-0.00	14.89	0.00
-0.50	-3.02	1.93	3.41	1.42	14.69	0.00
-1.25	-2.82	4.82	15.02	9.63	15.12	0.00
-2.00	-2.75	7.70	24.67	26.00	12.52	0.00



**“Proyecto de las estructuras para la conexión peatonal de los andenes  
de la estación de Font de Sant Lluís en Valencia”.**

Cota (m)	Desplazamientos (mm)	Ley de axiles (kN/m)	Ley de cortantes (kN/m)	Ley de momento flector (kN·m/m)	Ley de empujes (kN/m <sup>2</sup> )	Presión hidrostática (kN/m <sup>2</sup> )
-2.75	-2.95	10.59	-23.05	5.78	18.19	0.00
-3.50	-3.22	13.48	-18.01	-7.98	3.98	0.00
-4.25	-3.39	16.37	-13.52	-19.49	9.11	2.45
-5.00	-3.32	19.26	-2.18	-24.41	12.46	9.81
-5.75	-2.95	22.15	17.21	-16.79	15.82	17.17
-6.50	-2.39	25.04	24.78	4.42	-53.81	19.62
-7.25	-1.87	27.93	2.68	11.37	-40.45	19.62
-8.00	-1.48	30.82	-8.99	6.82	-22.12	19.62
-8.75	-1.18	33.71	-6.35	0.65	-4.55	19.62
Máximos	-1.08 Cota: -9.00 m	34.67 Cota: -9.00 m	34.59 Cota: -6.25 m	26.00 Cota: -2.00 m	18.19 Cota: -2.75 m	19.62 Cota: -6.00 m
Mínimos	-3.40 Cota: -4.50 m	-0.00 Cota: 0.00 m	-30.72 Cota: -2.25 m	-24.41 Cota: -5.00 m	-58.86 Cota: -6.25 m	0.00 Cota: 0.00 m

**FASE 6: CONSTRUCCIÓN DE SOLERA DE CANTO 300 MM**

**BÁSICA**

Cota (m)	Desplazamientos (mm)	Ley de axiles (kN/m)	Ley de cortantes (kN/m)	Ley de momento flector (kN·m/m)	Ley de empujes (kN/m <sup>2</sup> )	Presión hidrostática (kN/m <sup>2</sup> )
0.00	-3.17	-0.00	1.86	0.00	14.89	0.00
-0.50	-3.02	1.93	3.41	1.42	14.69	0.00
-1.25	-2.82	4.82	15.02	9.63	15.11	0.00
-2.00	-2.75	7.70	24.67	26.00	12.52	0.00
-2.75	-2.95	10.59	-23.06	5.77	18.19	0.00
-3.50	-3.22	13.48	-18.01	-7.99	3.99	0.00
-4.25	-3.39	16.37	-13.51	-19.50	9.14	2.45
-5.00	-3.32	19.26	-2.13	-24.38	12.52	9.81
-5.75	-2.95	22.15	17.30	-16.71	15.89	17.17
-6.25	-2.58	24.08	34.48	-1.74	-58.74	19.62
-7.00	-2.03	26.97	8.86	10.69	-44.42	19.62
-7.75	-1.60	29.86	-6.69	9.05	-28.80	19.62
-8.50	-1.28	32.75	-8.70	2.23	-10.19	19.62
Máximos	-1.08 Cota: -9.00 m	34.67 Cota: -9.00 m	34.48 Cota: -6.25 m	26.00 Cota: -2.00 m	18.19 Cota: -2.75 m	19.62 Cota: -6.00 m
Mínimos	-3.40 Cota: -4.50 m	-0.00 Cota: 0.00 m	-30.73 Cota: -2.25 m	-24.38 Cota: -5.00 m	-58.74 Cota: -6.25 m	0.00 Cota: 0.00 m

**FASE 7: INTRODUCCION DE CARGAS EN CORONACIÓN**

**BÁSICA**

Cota (m)	Desplazamientos (mm)	Ley de axiles (kN/m)	Ley de cortantes (kN/m)	Ley de momento flector (kN·m/m)	Ley de empujes (kN/m <sup>2</sup> )	Presión hidrostática (kN/m <sup>2</sup> )
0.00	-3.37	10.70	3.20	1.50	13.56	0.00
-0.50	-3.16	12.63	4.32	3.49	13.81	0.00
-1.25	-2.88	15.52	15.23	12.05	14.25	0.00
-2.00	-2.76	18.40	24.53	28.35	12.52	0.00
-2.75	-2.93	21.29	-24.28	7.18	18.42	0.00
-3.50	-3.20	24.18	-18.91	-7.36	4.54	0.00
-4.25	-3.37	27.07	-14.03	-19.34	9.55	2.45
-5.00	-3.31	29.96	-2.39	-24.48	12.74	9.81
-5.75	-2.95	32.85	17.16	-16.94	15.95	17.17
-6.25	-2.58	34.78	34.61	-1.93	-58.73	19.62
-7.00	-2.03	37.67	8.97	10.60	-44.48	19.62

Cota (m)	Desplazamientos (mm)	Ley de axiles (kN/m)	Ley de cortantes (kN/m)	Ley de momento flector (kN·m/m)	Ley de empujes (kN/m <sup>2</sup> )	Presión hidrostática (kN/m <sup>2</sup> )
-7.75	-1.60	40.56	-6.62	9.02	-28.87	19.62
-8.50	-1.28	43.45	-8.67	2.23	-10.23	19.62
Máximos	-1.08 Cota: -9.00 m	45.37 Cota: -9.00 m	34.61 Cota: -6.25 m	28.35 Cota: -2.00 m	18.42 Cota: -2.75 m	19.62 Cota: -6.00 m
Mínimos	-3.38 Cota: -4.50 m	10.70 Cota: 0.00 m	-32.01 Cota: -2.25 m	-24.48 Cota: -5.00 m	-58.73 Cota: -6.25 m	0.00 Cota: 0.00 m

## FASE 8: NIVEL FREATICO

### BÁSICA

Cota (m)	Desplazamientos (mm)	Ley de axiles (kN/m)	Ley de cortantes (kN/m)	Ley de momento flector (kN·m/m)	Ley de empujes (kN/m <sup>2</sup> )	Presión hidrostática (kN/m <sup>2</sup> )
0.00	-3.40	10.70	3.17	1.50	13.37	0.00
-0.50	-3.18	12.63	4.22	3.47	13.65	0.00
-1.25	-2.89	15.52	15.00	11.89	14.05	0.00
-2.00	-2.76	18.40	24.21	27.97	12.52	0.00
-2.75	-2.91	21.29	-24.73	6.44	18.67	0.00
-3.50	-3.15	24.18	-18.89	-8.24	5.78	0.00
-4.25	-3.29	27.07	-12.81	-19.66	13.25	0.00
-5.00	-3.19	29.96	-0.75	-23.59	21.74	0.00
-5.75	-2.80	32.85	17.63	-15.31	29.93	0.00
-6.25	-2.42	34.78	33.25	-0.72	-38.48	0.00
-7.00	-1.87	37.67	8.15	11.05	-24.13	0.00
-7.75	-1.44	40.56	-6.95	9.11	-8.76	0.00
-8.50	-1.12	43.45	-8.72	2.23	9.55	0.00
Máximos	-0.94 Cota: -9.00 m	45.37 Cota: -9.00 m	33.25 Cota: -6.25 m	27.97 Cota: -2.00 m	32.55 Cota: -6.00 m	0.00 Cota: 0.00 m
Mínimos	-3.40 Cota: 0.00 m	10.70 Cota: 0.00 m	-32.51 Cota: -2.25 m	-23.59 Cota: -5.00 m	-38.48 Cota: -6.25 m	0.00 Cota: 0.00 m

## 11.- RESULTADOS PARA LOS ELEMENTOS DE APOYO

Esfuerzos sin mayorar.

### Puntales

Cota: -0.30 m	
Fase	Resultado
Colocación de puntal en la cota - 0.30 m	Carga puntual: 0.00 kN Carga lineal: 0.00 kN/m
Excavación hasta la cota: -2.5 m	Carga puntual: 3.53 kN Carga lineal: 3.53 kN/m
Construcción de puntal en la cota - 2	Carga puntual: 3.53 kN Carga lineal: 3.53 kN/m
Excavación hasta la cota: -6.00	Carga puntual: 2.15 kN Carga lineal: 2.15 kN/m
Construcción de solera de canto 300 mm	Carga puntual: 2.15 kN Carga lineal: 2.15 kN/m
Introduccion de cargas en coronación	Carga puntual: 2.30 kN Carga lineal: 2.30 kN/m
Nivel freatico	Carga puntual: 2.33 kN Carga lineal: 2.33 kN/m





**“Proyecto de las estructuras para la conexión peatonal de los andenes de la estación de Font de Sant Lluís en Valencia”.**

Cota: -2.00 m	
Fase	Resultado
Construcción de puntal en la cota - 2	Carga puntual: 0.00 kN Carga lineal: 0.00 kN/m
Excavación hasta la cota: -6.00	Carga puntual: 58.53 kN Carga lineal: 58.53 kN/m
Construcción de solera de canto 300 mm	Carga puntual: 58.53 kN Carga lineal: 58.53 kN/m
Introducción de cargas en coronación	Carga puntual: 59.67 kN Carga lineal: 59.67 kN/m
Nivel freático	Carga puntual: 59.86 kN Carga lineal: 59.86 kN/m

### Forjados

Cota: -5.70 m	
Fase	Resultado
Construcción de solera de canto 300 mm	Carga lineal: 0.24 kN/m
Introducción de cargas en coronación	SE PRODUCE DESPEGUE: 0.00 mm
Nivel freático	SE PRODUCE DESPEGUE: 0.15 mm

## 12.- DESCRIPCIÓN DEL ARMADO

Armado vertical	Armado horizontal
6 Ø12	Ø8c/15

## 13.- COMPROBACIONES GEOMÉTRICAS Y DE RESISTENCIA

Referencia: Pantalla de pilotes d=400mm HA-30 9 m (Pantalla de pilotes de hormigón HA-30/20/IIa+Qc de sección circular de 400 mm de diámetro y acero B500SD)

Comprobación	Valores	Estado
Recubrimiento: <i>Norma EHE-08. Artículo 37.2.4.1</i>	Mínimo: 7 cm Calculado: 7 cm	Cumple
Separación libre mínima armaduras horizontales: <i>Norma EHE-08. Artículo 69.4.1</i>	Mínimo: 2.5 cm Calculado: 14.2 cm	Cumple
Separación máxima armaduras horizontales: <i>Norma EHE-08. Artículo 44.2.3.4.1</i>	Máximo: 17.3 cm Calculado: 15 cm	Cumple
Diámetro mínimo armaduras horizontales: <i>Norma EHE-08. Artículo 42.3.1</i>	Mínimo: 0.2 cm Calculado: 0.8 cm	Cumple
Cuantía mínima geométrica vertical: <i>Norma EHE-08. Artículo 42.3.5</i>	Mínimo: 0.004 Calculado: 0.0054	Cumple
Cuantía mínima mecánica vertical: <i>Norma EHE-08. Artículo 42.3.2 (Flexión simple o compuesta)</i>	Mínimo: 0.00165 Calculado: 0.0054	Cumple
Separación libre mínima armaduras verticales: <i>Código Técnico de la Edificación DB-SE-C, Cimientos. Artículo 5.4.1.1.1. c)</i>	Mínimo: 8 cm Calculado: 10.4 cm	Cumple
Separación máxima entre barras: - Armadura vertical: <i>Norma EHE-08. Artículo 42.3.1</i>	Máximo: 30 cm Calculado: 11.6 cm	Cumple
Comprobación a flexión compuesta: <i>Comprobación realizada por módulo de pantalla</i>		Cumple

Referencia: Pantalla de pilotes d=400mm HA-30 9 m (Pantalla de pilotes de hormigon HA-30/20/IIa+Qc de seccion circular de 400 m de diametro y acero B500SD)		
Comprobación	Valores	Estado
Comprobación a cortante: <i>Norma EHE-08. Artículo 44.2.3.2.2</i>	Máximo: 89.3 kN Calculado: 44.2 kN	Cumple
Tamaño máximo de árido: <i>Código Técnico de la Edificación DB-SE-C, Cimientos. Artículo 5.4.1.1.1. c)</i>	Máximo: 26 mm Calculado: 20 mm	Cumple
Se cumplen todas las comprobaciones		
Avisos:		
- No se ha definido ninguna fase de servicio		
Información adicional:		
- Sección crítica a flexión compuesta: Cota: -2.00 m, Md: 36.29 kN·m, Nd: 23.56 kN, Vd: 31.40 kN, Tensión máxima del acero: 434.783 MPa		
- Sección crítica a cortante: Cota: -6.25 m		
- La comprobación del estado límite de fisuración no se ha realizado debido a que no se ha definido ninguna fase de servicio		
- En la comprobación del tamaño máximo de árido se ha considerado que los pilotes son hormigonados 'in situ'.		
- Los esfuerzos son mayorados y por pilote (Diámetro: 40 cm)		

## 14.- COMPROBACIONES DE ESTABILIDAD (COEFICIENTES DE SEGURIDAD)

Referencia: Comprobaciones de estabilidad (Coeficientes de seguridad): Pantalla de pilotes d=400mm HA-30 9 m (Pantalla de pilotes de hormigon HA-30/20/IIa+Qc de seccion circular de 400 m de diametro y acero B500SD)		
Comprobación	Valores	Estado
Relación entre el momento originado por los empujes pasivos en el intradós y el momento originado por los empujes activos en el trasdós: - Hipótesis básica: <i>Valor introducido por el usuario.</i>	Mínimo: 1.67	
- Excavación hasta la cota: - 0.50 m:	Calculado: 16.803	Cumple
- Colocación de puntal en la cota - 0.30 m:	Calculado: 18.789	Cumple
- Excavación hasta la cota: -2.5 m:	Calculado: 12.71	Cumple
- Construcción de puntal en la cota - 2 <sup>(1)</sup>		No procede
- Excavación hasta la cota: -6.00 <sup>(1)</sup>		No procede
- Construcción de solera de canto 300 mm <sup>(1)</sup>		No procede
- Introduccion de cargas en coronación <sup>(1)</sup>		No procede
- Nivel freatico <sup>(1)</sup>		No procede
<sup>(1)</sup> Existe más de un apoyo.		
Relación entre el empuje pasivo total en el intradós y el empuje realmente movilizado en el intradós: <i>Valor introducido por el usuario.</i>	Mínimo: 1.67	
Hipótesis básica:		
- Excavación hasta la cota: - 0.50 m:	Calculado: 5.802	Cumple
- Colocación de puntal en la cota - 0.30 m:	Calculado: 5.802	Cumple
- Excavación hasta la cota: -2.5 m:	Calculado: 4.759	Cumple



**“Proyecto de las estructuras para la conexión peatonal de los andenes de la estación de Font de Sant Lluís en Valencia”.**

Referencia: Comprobaciones de estabilidad (Coeficientes de seguridad): Pantalla de pilotes d=400mm HA-30 9 m (Pantalla de pilotes de hormigón HA-30/20/IIa+Qc de sección circular de 400 m de diámetro y acero B500SD)

Comprobación	Valores	Estado
- Construcción de puntal en la cota - 2:	Calculado: 4.759	Cumple
- Excavación hasta la cota: -6.00:	Calculado: 2.065	Cumple
- Construcción de solera de canto 300 mm:	Calculado: 2.065	Cumple
- Introducción de cargas en coronación:	Calculado: 2.065	Cumple
- Nivel freático:	Calculado: 2.364	Cumple
Se cumplen todas las comprobaciones		

## **15.- COMPROBACIONES DE ESTABILIDAD (CÍRCULO DE DESLIZAMIENTO PÉSIMO)**

Referencia: Comprobaciones de estabilidad (Círculo de deslizamiento pésimo): Pantalla de pilotes d=400mm HA-30 9 m (Pantalla de pilotes de hormigón HA-30/20/IIa+Qc de sección circular de 400 m de diámetro y acero B500SD)

Comprobación	Valores	Estado
<b>Círculo de deslizamiento pésimo:</b>		
- Combinaciones sin sismo: <i>Valor introducido por el usuario.</i>	Mínimo: 1.8	
- Excavación hasta la cota: - 0.50 m: Coordenadas del centro del círculo (- 0.67 m ; 1.48 m) - Radio: 4.48 m:	Calculado: 10.789	Cumple
- Colocación de puntal en la cota - 0.30 m: Coordenadas del centro del círculo (-0.67 m ; 1.48 m) - Radio: 4.48 m:	Calculado: 10.789	Cumple
- Excavación hasta la cota: -2.5 m: Coordenadas del centro del círculo (- 0.89 m ; 3.60 m) - Radio: 6.60 m:	Calculado: 3.837	Cumple
- Construcción de puntal en la cota - 2: Coordenadas del centro del círculo (-0.89 m ; 3.60 m) - Radio: 6.60 m:	Calculado: 3.837	Cumple
- Excavación hasta la cota: -6.00: Coordenadas del centro del círculo (-2.46 m ; 1.72 m) - Radio: 11.22 m:	Calculado: 2.278	Cumple
- Construcción de solera de canto 300 mm <sup>(1)</sup>		No procede
- Introducción de cargas en coronación <sup>(1)</sup>		No procede
- Nivel freático <sup>(1)</sup>		No procede
- Combinaciones con sismo: <i>Valor introducido por el usuario.</i>	Mínimo: 1.2	
- Excavación hasta la cota: - 0.50 m: Coordenadas del centro del círculo (- 0.66 m ; 1.48 m) - Radio: 4.48 m:	Calculado: 6.579	Cumple
- Colocación de puntal en la cota - 0.30 m: Coordenadas del centro del círculo (-0.66 m ; 1.48 m) - Radio: 4.48 m:	Calculado: 6.579	Cumple
- Excavación hasta la cota: -2.5 m: Coordenadas del centro del círculo (- 0.63 m ; 6.60 m) - Radio: 9.60 m:	Calculado: 3.091	Cumple
- Construcción de puntal en la cota - 2: Coordenadas del centro del círculo (-0.63 m ; 6.60 m) - Radio: 9.60 m:	Calculado: 3.091	Cumple
- Excavación hasta la cota: -6.00: Coordenadas del centro del círculo (-2.94 m ; 5.56 m) - Radio: 15.06 m:	Calculado: 1.743	Cumple

Referencia: Comprobaciones de estabilidad (Círculo de deslizamiento pésimo): Pantalla de pilotes d=400mm HA-30 9 m (Pantalla de pilotes de hormigón HA-30/20/IIa+Qc de sección circular de 400 mm de diámetro y acero B500SD)

Comprobación	Valores	Estado
(1) No es necesario comprobar la estabilidad global (círculo de deslizamiento pésimo) cuando en la fase se ha definido algún forjado.		
Se cumplen todas las comprobaciones		

#### Información adicional:

- Excavación hasta la cota: - 0.50 m: Combinaciones sin sismo - Debido a que el círculo de deslizamiento pésimo pasa por el elemento de contención, éste deberá resistir un cortante de, al menos, 192.160 kN/m en la intersección con dicho círculo. Esto es necesario para garantizar la validez del coeficiente de seguridad calculado.
- Colocación de puntal en la cota - 0.30 m: Combinaciones sin sismo - Debido a que el círculo de deslizamiento pésimo pasa por el elemento de contención, éste deberá resistir un cortante de, al menos, 192.160 kN/m en la intersección con dicho círculo. Esto es necesario para garantizar la validez del coeficiente de seguridad calculado.
- Excavación hasta la cota: -2.5 m: Combinaciones sin sismo - Debido a que el círculo de deslizamiento pésimo pasa por el elemento de contención, éste deberá resistir un cortante de, al menos, 192.149 kN/m en la intersección con dicho círculo. Esto es necesario para garantizar la validez del coeficiente de seguridad calculado.
- Construcción de puntal en la cota - 2: Combinaciones sin sismo - Debido a que el círculo de deslizamiento pésimo pasa por el elemento de contención, éste deberá resistir un cortante de, al menos, 192.149 kN/m en la intersección con dicho círculo. Esto es necesario para garantizar la validez del coeficiente de seguridad calculado.
- Excavación hasta la cota: - 0.50 m: Combinaciones con sismo - Debido a que el círculo de deslizamiento pésimo pasa por el elemento de contención, éste deberá resistir un cortante de, al menos, 192.100 kN/m en la intersección con dicho círculo. Esto es necesario para garantizar la validez del coeficiente de seguridad calculado.
- Colocación de puntal en la cota - 0.30 m: Combinaciones con sismo - Debido a que el círculo de deslizamiento pésimo pasa por el elemento de contención, éste deberá resistir un cortante de, al menos, 192.100 kN/m en la intersección con dicho círculo. Esto es necesario para garantizar la validez del coeficiente de seguridad calculado.
- Excavación hasta la cota: -2.5 m: Combinaciones con sismo - Debido a que el círculo de deslizamiento pésimo pasa por el elemento de contención, éste deberá resistir un cortante de, al menos, 191.278 kN/m en la intersección con dicho círculo. Esto es necesario para garantizar la validez del coeficiente de seguridad calculado.
- Construcción de puntal en la cota - 2: Combinaciones con sismo - Debido a que el círculo de deslizamiento pésimo pasa por el elemento de contención, éste deberá resistir un cortante de, al menos, 191.278 kN/m en la intersección con dicho círculo. Esto es necesario para garantizar la validez del coeficiente de seguridad calculado.

## 16.- MEDICIÓN

Referencia: Pantalla de pilotes de hormigón		B 500 SD, Ys=1.15		Total
Nombre de armado		Ø8	Ø12	
Armado vertical	Longitud (m)		6x8.86	53.16
	Peso (kg)		6x7.87	47.20
Armado horizontal	Longitud (m)	59x0.95		56.05
	Peso (kg)	59x0.37		22.12
Totales	Longitud (m)	56.05	53.16	
	Peso (kg)	22.12	47.20	69.32
Total con mermas (10.00%)	Longitud (m)	61.66	58.48	
	Peso (kg)	24.33	51.92	76.25

Resumen de medición (se incluyen mermas de acero)

Elemento	B 500 SD, Ys=1.15 (kg)			Hormigón (m³)
	Ø8	Ø12	Total	HA-30, Yc=1.5
Referencia: Pantalla de pilotes de hormigón	24.33	51.92	76.25	1.13



**“Proyecto de las estructuras para la conexión peatonal de los andenes  
de la estación de Font de Sant Lluís en Valencia”.**

Elemento	B 500 SD, Ys=1.15 (kg)			Hormigón (m³)
	Ø8	Ø12	Total	HA-30, Yc=1.5
Totales	24.33	51.92	76.25	1.13



---

### **5.8.2.3 MURO PANTALLA DE HORMIGÓN CYPE**

---



## ÍNDICE

<b>1.- NORMA Y MATERIALES</b>	307
<b>2.- ACCIONES</b>	307
<b>3.- DATOS GENERALES</b>	307
<b>4.- DESCRIPCIÓN DEL TERRENO</b>	307
<b>5.- SECCIÓN VERTICAL DEL TERRENO</b>	308
<b>6.- GEOMETRÍA</b>	308
<b>7.- ESQUEMA DE LAS FASES</b>	309
<b>8.- CARGAS</b>	309
<b>9.- ELEMENTOS DE APOYO</b>	314
<b>10.- RESULTADOS DE LAS FASES</b>	314
<b>11.- RESULTADOS PARA LOS ELEMENTOS DE APOYO</b>	314
<b>12.- DESCRIPCIÓN DEL ARMADO</b>	318
<b>13.- COMPROBACIONES GEOMÉTRICAS Y DE RESISTENCIA</b>	319
<b>14.- COMPROBACIONES DE ESTABILIDAD (COEFICIENTES DE SEGURIDAD)</b>	320
<b>15.- COMPROBACIONES DE ESTABILIDAD (CÍRCULO DE DESLIZAMIENTO PÉSIMO)</b>	335
<b>16.- MEDICIÓN</b>	336

## 1.- NORMA Y MATERIALES

Norma de hormigón: EHE-08 (España)

Hormigón: HA-30,  $Y_c=1.5$

Acero: B 400 SD,  $Y_s=1.15$

Clase de exposición: Clase Qa

Recubrimiento geométrico: 7.0 cm

Tamaño máximo del árido: 20 mm

## 2.- ACCIONES

Mayoración esfuerzos en construcción: 1.60

Mayoración esfuerzos en servicio: 1.60

Con análisis sísmico

Aceleración de cálculo: 0.12 g

No se considera el sismo en las fases constructivas

Mayoración esfuerzos en hipótesis sísmica: 1.60

Sin considerar acciones térmicas en puntales

## 3.- DATOS GENERALES

Cota de la rasante: 0.00 m

Altura del muro sobre la rasante: 0.00 m

Tipología: Muro pantalla de hormigón armado

## 4.- DESCRIPCIÓN DEL TERRENO

Porcentaje del rozamiento interno entre el terreno y el trasdós del muro pantalla: 33.0 %

Porcentaje del rozamiento interno entre el terreno y el intradós del muro pantalla: 33.0 %

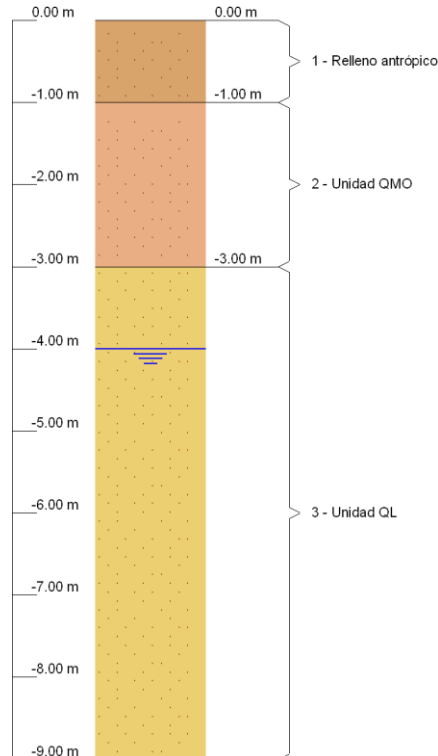
Profundidad del nivel freático: 4.00 m

### ESTRATOS

Referencias	Cota superior	Descripción	Coefficientes de empuje
1 - Relleno antrópico	0.00 m	Densidad aparente: 18.0 kN/m <sup>3</sup> Densidad sumergida: 10.0 kN/m <sup>3</sup> Ángulo rozamiento interno: 28 grados Cohesión: 0.00 kN/m <sup>2</sup> Módulo de balasto empuje activo: 6500.0 kN/m <sup>3</sup> Módulo de balasto empuje pasivo: 6500.0 kN/m <sup>3</sup> Gradiente módulo de balasto: 0.0 kN/m <sup>4</sup>	Activo trasdós: 0.33 Reposo trasdós: 0.53 Pasivo trasdós: 3.63 Activo intradós: 0.33 Reposo intradós: 0.53 Pasivo intradós: 3.63
2 - Unidad QMO	-1.00 m	Densidad aparente: 18.7 kN/m <sup>3</sup> Densidad sumergida: 11.0 kN/m <sup>3</sup> Ángulo rozamiento interno: 23 grados Cohesión: 5.00 kN/m <sup>2</sup> Módulo de balasto empuje activo: 15300.0 kN/m <sup>3</sup> Módulo de balasto empuje pasivo: 15300.0 kN/m <sup>3</sup> Gradiente módulo de balasto: 0.0 kN/m <sup>4</sup>	Activo trasdós: 0.40 Reposo trasdós: 0.61 Pasivo trasdós: 2.78 Activo intradós: 0.40 Reposo intradós: 0.61 Pasivo intradós: 2.78
3 - Unidad QL	-3.00 m	Densidad aparente: 21.5 kN/m <sup>3</sup> Densidad sumergida: 12.0 kN/m <sup>3</sup> Ángulo rozamiento interno: 25 grados Cohesión: 20.00 kN/m <sup>2</sup> Módulo de balasto empuje activo: 29100.0 kN/m <sup>3</sup> Módulo de balasto empuje pasivo: 29100.0 kN/m <sup>3</sup> Gradiente módulo de balasto: 0.0 kN/m <sup>4</sup>	Activo trasdós: 0.37 Reposo trasdós: 0.58 Pasivo trasdós: 3.08 Activo intradós: 0.37 Reposo intradós: 0.58 Pasivo intradós: 3.08



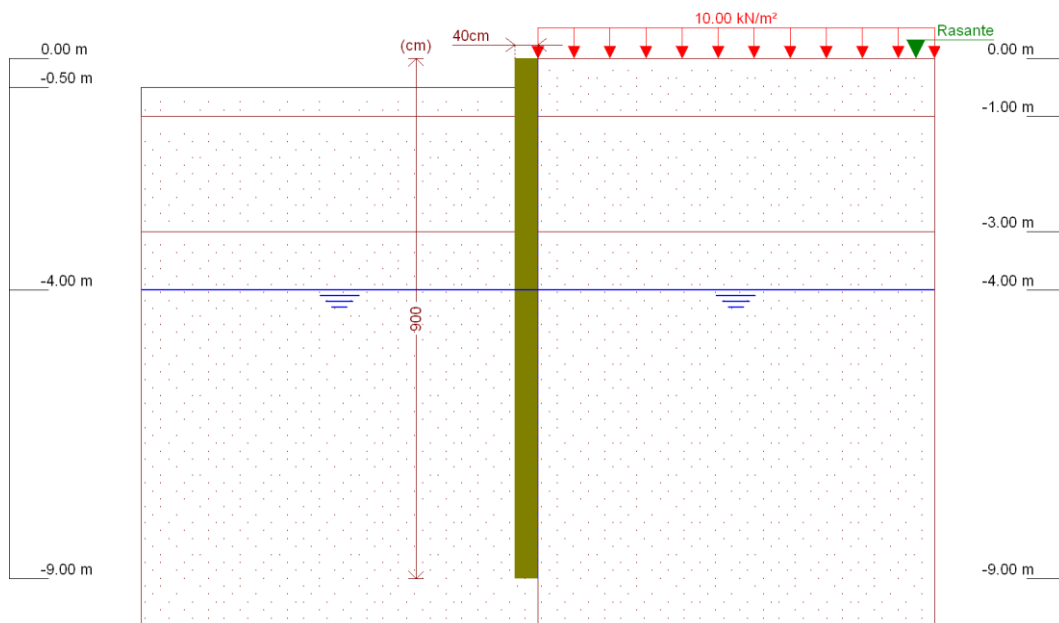
## 5.- SECCIÓN VERTICAL DEL TERRENO



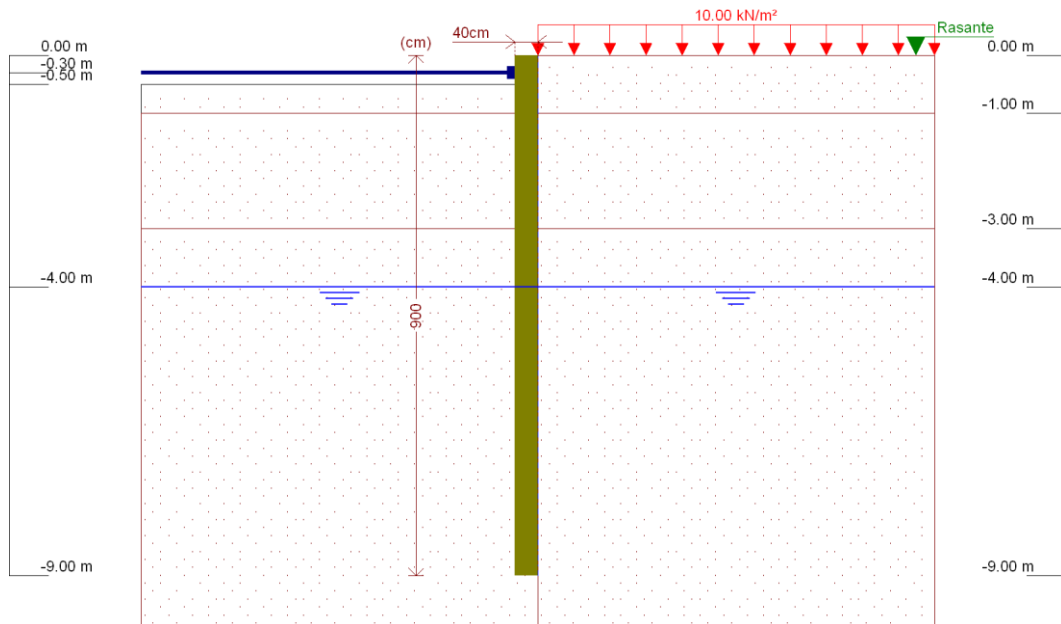
## 6.- GEOMETRÍA

Altura total: 9.00 m  
Espesor: 40 cm  
Longitud tramo: 2.50 m

## 7.- ESQUEMA DE LAS FASES



Referencias	Nombre	Descripción
Fase 1	Excavación hasta la cota: - 0.50 m	Tipo de fase: Constructiva Cota de excavación: -0.50 m Con nivel freático trasdós hasta la cota: -4.00 m Con nivel freático intradós hasta la cota: -4.00 m

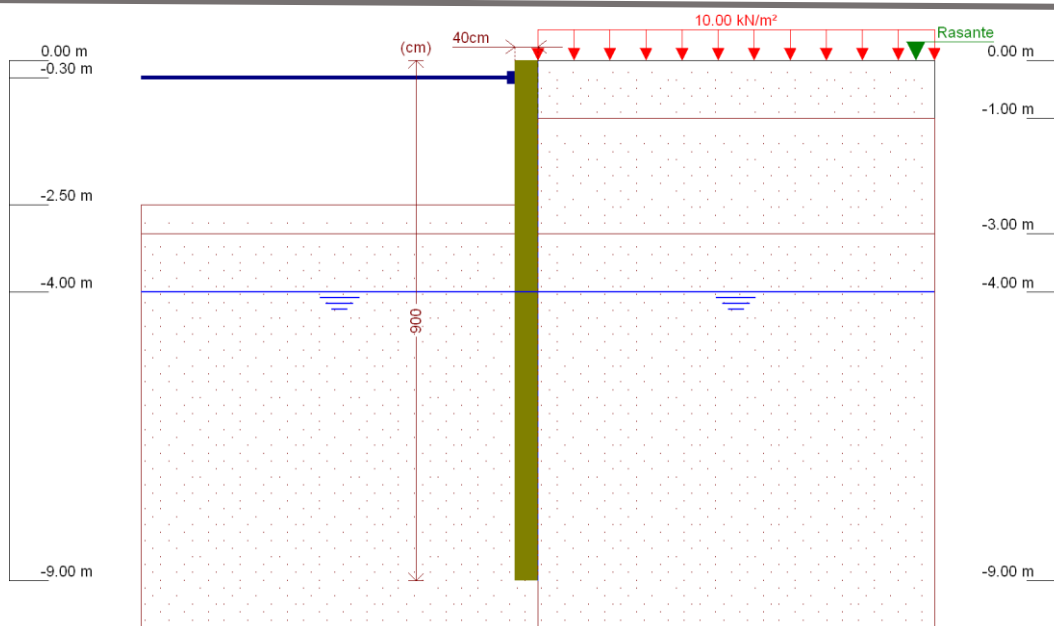


Referencias	Nombre	Descripción
Fase 2	Colocación de puntal en la cota - 0.30 m	Tipo de fase: Constructiva Cota de excavación: -0.50 m Con nivel freático trasdós hasta la cota: -4.00 m Con nivel freático intradós hasta la cota: -4.00 m

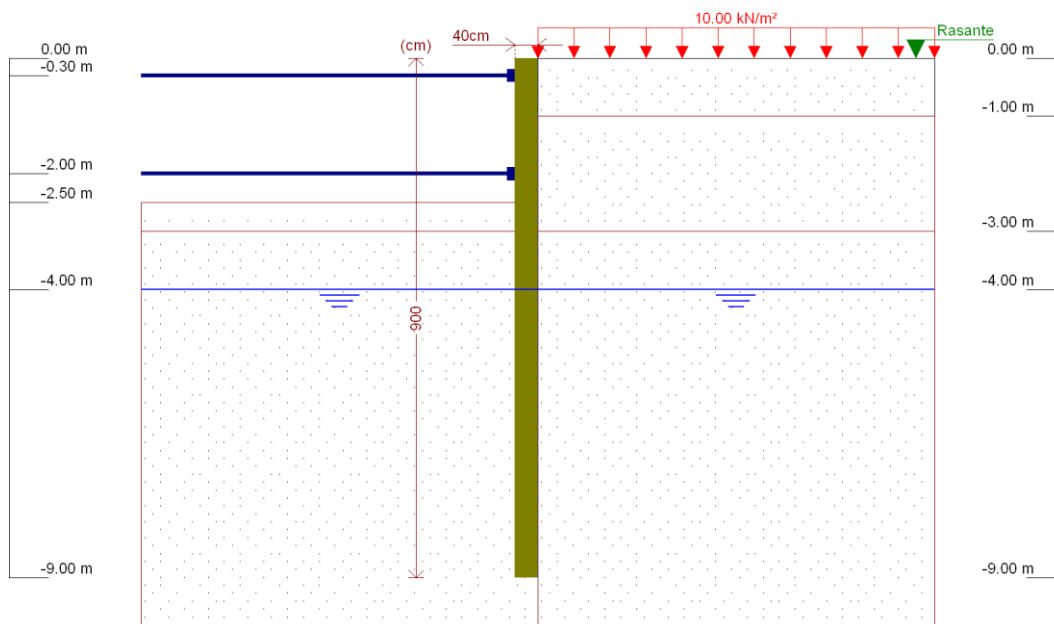




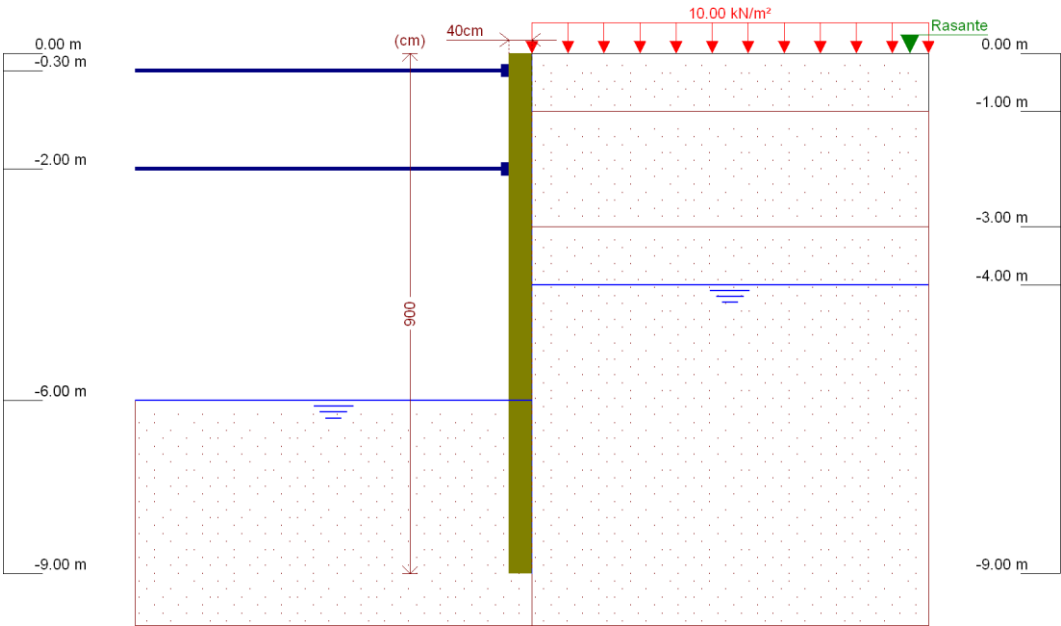
# “Proyecto de las estructuras para la conexión peatonal de los andenes de la estación de Font de Sant Lluís en Valencia”.



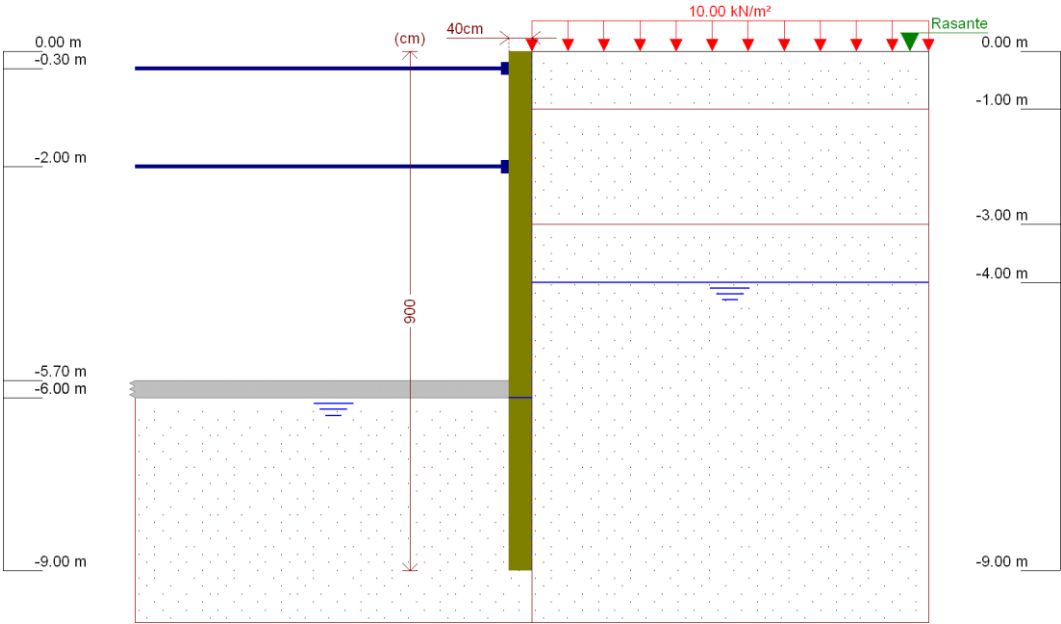
Referencias	Nombre	Descripción
Fase 3	Excavación hasta la cota: -2.5 m	Tipo de fase: Constructiva Cota de excavación: -2.50 m Con nivel freático trasdós hasta la cota: -4.00 m Con nivel freático intradós hasta la cota: -4.00 m



Referencias	Nombre	Descripción
Fase 4	Construcción de puntal en la cota - 2	Tipo de fase: Constructiva Cota de excavación: -2.50 m Con nivel freático trasdós hasta la cota: -4.00 m Con nivel freático intradós hasta la cota: -4.00 m



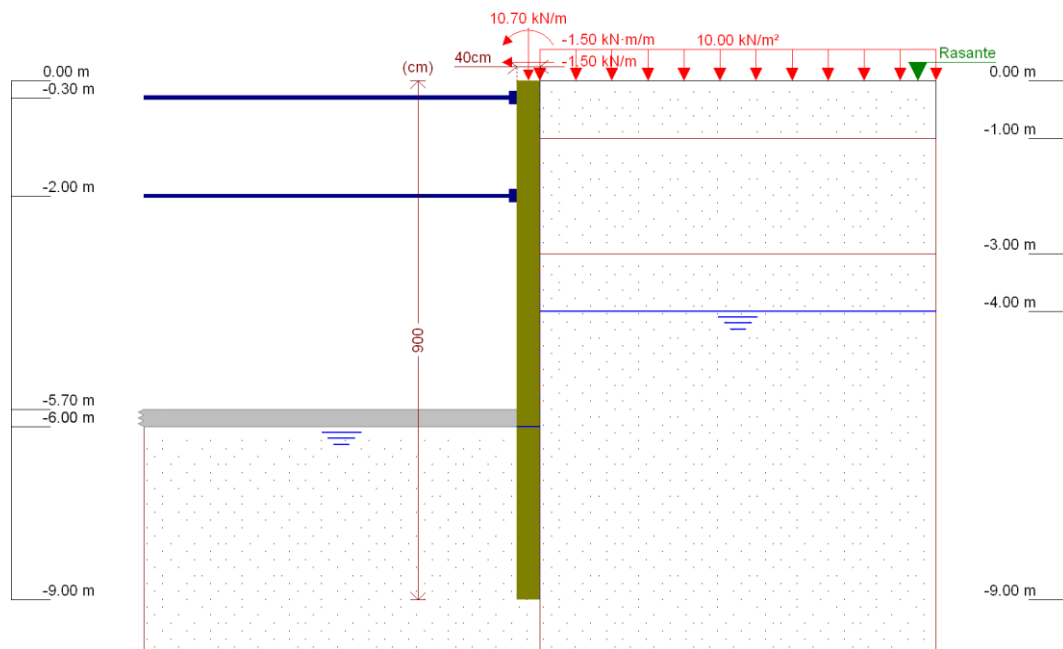
Referencias	Nombre	Descripción
Fase 5	Excavación hasta la cota: -6.00	Tipo de fase: Constructiva Cota de excavación: -6.00 m Con nivel freático trasdós hasta la cota: -4.00 m Con nivel freático intradós hasta la cota: -6.00 m



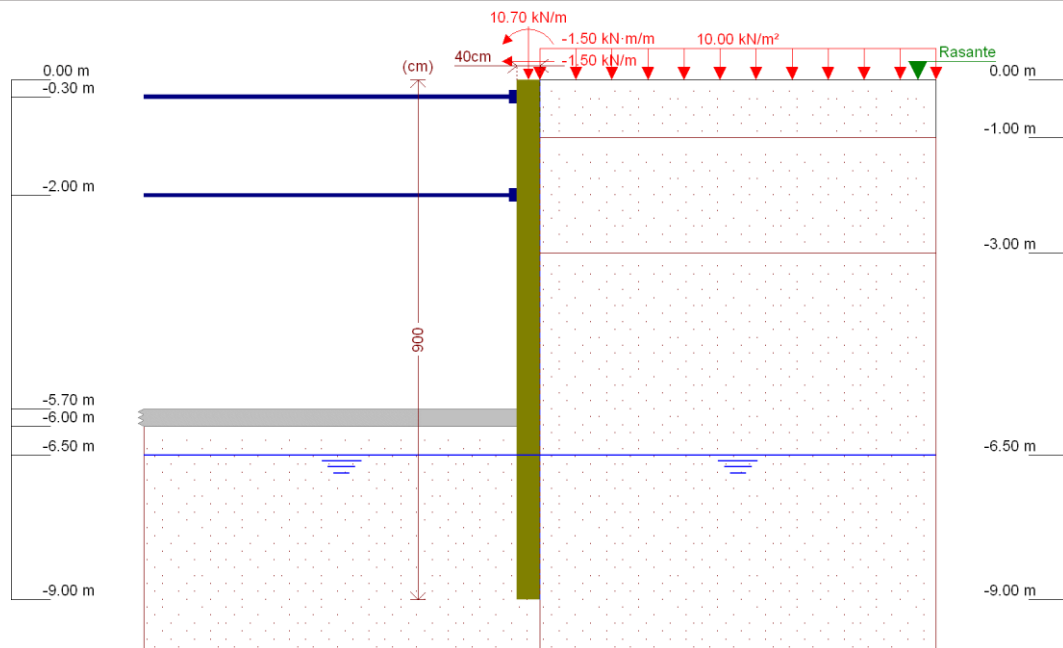


**“Proyecto de las estructuras para la conexión peatonal de los andenes de la estación de Font de Sant Lluís en Valencia”.**

Referencias	Nombre	Descripción
Fase 6	Construcción de solera de canto 300 mm	Tipo de fase: Constructiva Cota de excavación: -6.00 m Con nivel freático trasdós hasta la cota: -4.00 m Con nivel freático intradós hasta la cota: -6.00 m



Referencias	Nombre	Descripción
Fase 7	Introducción de cargas en coronación	Tipo de fase: Constructiva Cota de excavación: -6.00 m Con nivel freático trasdós hasta la cota: -4.00 m Con nivel freático intradós hasta la cota: -6.00 m



Referencias	Nombre	Descripción
Fase 8	Nivel freatico	Tipo de fase: Constructiva Cota de excavación: -6.00 m Con nivel freático trasdós hasta la cota: -6.50 m Con nivel freático intradós hasta la cota: -6.50 m

## 8.- CARGAS

### CARGAS EN EL TRASDÓS

Tipo	Cota	Datos	Fase inicial	Fase final
Uniforme	En superficie	Valor: 10 kN/m²	Excavación hasta la cota: - 0.50 m	Nivel freatico

## 9.- ELEMENTOS DE APOYO

### PUNTALES

Descripción	Fase inicial	Fase final
Cota: -0.30 m Rigidez axil: 925 kN/m Separación: 1.0 m	Colocación de puntal en la cota - 0.30 m	Nivel freatico
Cota: -2.00 m Rigidez axil: 178500 kN/m Separación: 1.0 m	Construcción de puntal en la cota - 2	Nivel freatico

### FORJADOS



**“Proyecto de las estructuras para la conexión peatonal de los andenes de la estación de Font de Sant Lluís en Valencia”.**

Descripción	Fase de construcción	Fase de servicio
Cota: -5.70 m Canto: 30 cm Cortante fase constructiva: 0 kN/m Cortante fase de servicio: 0 kN/m Rigidez axil: 4286519 kN/m <sup>2</sup>	Construcción de solera de canto 300 mm	Nivel freático

## 10.- RESULTADOS DE LAS FASES

Esfuerzos sin mayorar.

### *FASE 1: EXCAVACIÓN HASTA LA COTA: - 0.50 M*

#### *BÁSICA*

Cota (m)	Desplazamientos (mm)	Ley de axiles (kN/m)	Ley de cortantes (kN/m)	Ley de momento flector (kN·m/m)	Ley de empujes (kN/m <sup>2</sup> )	Presión hidrostática (kN/m <sup>2</sup> )
0.00	-0.66	-0.00	0.41	0.00	3.30	0.00
-0.75	-0.55	7.36	3.18	1.30	2.90	0.00
-1.50	-0.45	14.72	2.06	3.50	-2.12	0.00
-2.25	-0.36	22.07	1.19	4.50	0.68	0.00
-3.00	-0.28	29.43	2.31	5.85	-5.40	0.00
-3.75	-0.23	36.79	-0.89	5.84	-2.27	0.00
-4.50	-0.20	44.14	-2.05	4.51	-0.39	0.00
-5.25	-0.18	51.50	-2.08	2.91	0.52	0.00
-6.00	-0.17	58.86	-1.59	1.58	0.80	0.00
-6.75	-0.18	66.22	-0.99	0.69	0.74	0.00
-7.50	-0.18	73.57	-0.48	0.21	0.53	0.00
-8.25	-0.18	80.93	-0.14	0.03	0.28	0.00
-9.00	-0.19	88.29	0.00	0.00	0.02	0.00
Máximos	-0.17	88.29	3.90	6.09	6.27	0.00
	Cota: -6.25 m	Cota: -9.00 m	Cota: -1.00 m	Cota: -3.25 m	Cota: -0.50 m	Cota: 0.00 m
Mínimos	-0.66	-0.00	-2.15	0.00	-5.40	0.00
	Cota: 0.00 m	Cota: 0.00 m	Cota: -4.75 m	Cota: -9.00 m	Cota: -3.00 m	Cota: 0.00 m

### *FASE 2: COLOCACIÓN DE PUNTAL EN LA COTA - 0.30 M*

#### *BÁSICA*

Cota (m)	Desplazamientos (mm)	Ley de axiles (kN/m)	Ley de cortantes (kN/m)	Ley de momento flector (kN·m/m)	Ley de empujes (kN/m <sup>2</sup> )	Presión hidrostática (kN/m <sup>2</sup> )
0.00	-0.66	-0.00	0.41	0.00	3.30	0.00
-0.50	-0.59	4.91	1.61	0.51	6.27	0.00
-1.25	-0.48	12.26	2.85	2.99	-3.15	0.00
-2.00	-0.38	19.62	1.24	4.20	-0.20	0.00
-2.75	-0.30	26.98	1.74	5.27	2.27	0.00
-3.50	-0.24	34.34	-0.09	6.06	-3.16	0.00
-4.25	-0.20	41.69	-1.83	5.02	-0.89	0.00
-5.00	-0.18	49.05	-2.15	3.43	0.30	0.00
-5.75	-0.18	56.41	-1.78	1.98	0.76	0.00
-6.50	-0.17	63.76	-1.19	0.94	0.79	0.00
-7.25	-0.18	71.12	-0.64	0.33	0.61	0.00
-8.00	-0.18	78.48	-0.24	0.06	0.36	0.00



Cota (m)	Desplazamientos (mm)	Ley de axiles (kN/m)	Ley de cortantes (kN/m)	Ley de momento flector (kN·m/m)	Ley de empujes (kN/m <sup>2</sup> )	Presión hidrostática (kN/m <sup>2</sup> )
-8.75	-0.19	85.84	-0.03	0.00	0.10	0.00
Máximos	-0.17	88.29	3.90	6.09	6.27	0.00
	Cota: -6.25 m	Cota: -9.00 m	Cota: -1.00 m	Cota: -3.25 m	Cota: -0.50 m	Cota: 0.00 m
Mínimos	-0.66	-0.00	-2.15	0.00	-5.40	0.00
	Cota: 0.00 m	Cota: 0.00 m	Cota: -4.75 m	Cota: 0.00 m	Cota: -3.00 m	Cota: 0.00 m

### FASE 3: EXCAVACIÓN HASTA LA COTA: -2.5 M

#### BÁSICA

Cota (m)	Desplazamientos (mm)	Ley de axiles (kN/m)	Ley de cortantes (kN/m)	Ley de momento flector (kN·m/m)	Ley de empujes (kN/m <sup>2</sup> )	Presión hidrostática (kN/m <sup>2</sup> )
0.00	-2.97	-0.00	0.41	-0.00	3.30	0.00
-0.50	-2.66	4.91	-0.39	0.11	6.27	0.00
-1.25	-2.18	12.26	4.36	2.27	6.85	0.00
-2.00	-1.72	19.62	10.91	8.57	12.52	0.00
-2.75	-1.28	26.98	21.72	21.92	-4.28	0.00
-3.50	-0.93	34.34	5.00	31.32	-21.72	0.00
-4.25	-0.69	41.69	-7.45	28.22	-7.85	0.00
-5.00	-0.56	49.05	-11.09	20.45	-0.02	0.00
-5.75	-0.50	56.41	-10.05	12.49	3.42	0.00
-6.50	-0.48	63.76	-7.19	6.34	4.17	0.00
-7.25	-0.50	71.12	-4.17	2.48	3.54	0.00
-8.00	-0.52	78.48	-1.79	0.59	2.37	0.00
-8.75	-0.54	85.84	-0.34	0.02	1.06	0.00
Máximos	-0.48	88.29	21.72	31.32	16.30	0.00
	Cota: -6.50 m	Cota: -9.00 m	Cota: -2.75 m	Cota: -3.50 m	Cota: -2.50 m	Cota: 0.00 m
Mínimos	-2.97	-0.00	-11.09	-0.00	-34.73	0.00
	Cota: 0.00 m	Cota: 0.00 m	Cota: -5.25 m	Cota: 0.00 m	Cota: -3.00 m	Cota: 0.00 m

### FASE 4: CONSTRUCCIÓN DE PUNTAL EN LA COTA - 2

#### BÁSICA

Cota (m)	Desplazamientos (mm)	Ley de axiles (kN/m)	Ley de cortantes (kN/m)	Ley de momento flector (kN·m/m)	Ley de empujes (kN/m <sup>2</sup> )	Presión hidrostática (kN/m <sup>2</sup> )
0.00	-2.97	-0.00	0.41	-0.00	3.30	0.00
-0.50	-2.66	4.91	-0.39	0.11	6.27	0.00
-1.25	-2.18	12.26	4.36	2.27	6.85	0.00
-2.00	-1.72	19.62	10.91	8.57	12.52	0.00
-2.75	-1.28	26.98	21.72	21.92	-4.28	0.00
-3.50	-0.93	34.34	5.00	31.32	-21.72	0.00
-4.25	-0.69	41.69	-7.45	28.22	-7.85	0.00
-5.00	-0.56	49.05	-11.09	20.45	-0.02	0.00
-5.75	-0.50	56.41	-10.05	12.49	3.42	0.00
-6.50	-0.48	63.76	-7.19	6.34	4.17	0.00



**“Proyecto de las estructuras para la conexión peatonal de los andenes de la estación de Font de Sant Lluís en Valencia”.**

Cota (m)	Desplazamientos (mm)	Ley de axiles (kN/m)	Ley de cortantes (kN/m)	Ley de momento flector (kN·m/m)	Ley de empujes (kN/m <sup>2</sup> )	Presión hidrostática (kN/m <sup>2</sup> )
-7.25	-0.50	71.12	-4.17	2.48	3.54	0.00
-8.00	-0.52	78.48	-1.79	0.59	2.37	0.00
-8.75	-0.54	85.84	-0.34	0.02	1.06	0.00
Máximos	-0.48	88.29	21.72	31.32	16.30	0.00
	Cota: -6.50 m	Cota: -9.00 m	Cota: -2.75 m	Cota: -3.50 m	Cota: -2.50 m	Cota: 0.00 m
Mínimos	-2.97	-0.00	-11.09	-0.00	-34.73	0.00
	Cota: 0.00 m	Cota: 0.00 m	Cota: -5.25 m	Cota: 0.00 m	Cota: -3.00 m	Cota: 0.00 m

**FASE 5: EXCAVACIÓN HASTA LA COTA: -6.00**

**BÁSICA**

Cota (m)	Desplazamientos (mm)	Ley de axiles (kN/m)	Ley de cortantes (kN/m)	Ley de momento flector (kN·m/m)	Ley de empujes (kN/m <sup>2</sup> )	Presión hidrostática (kN/m <sup>2</sup> )
0.00	-1.81	-0.00	1.36	-0.00	10.86	0.00
-0.50	-1.85	4.91	3.02	1.15	11.49	0.00
-1.25	-1.92	12.26	11.77	7.78	10.78	0.00
-2.00	-2.02	19.62	19.58	20.53	12.52	0.00
-2.75	-2.19	26.98	-24.74	-0.97	18.19	0.00
-3.50	-2.35	34.34	-19.70	-15.99	3.98	0.00
-4.25	-2.45	41.69	-15.21	-28.77	9.11	2.45
-5.00	-2.44	49.05	-3.87	-34.95	12.46	9.81
-5.75	-2.31	56.41	15.52	-28.60	15.82	17.17
-6.50	-2.07	63.76	26.21	-7.88	-44.52	19.62
-7.25	-1.80	71.12	9.02	2.93	-38.57	19.62
-8.00	-1.54	78.48	-2.53	3.43	-25.85	19.62
-8.75	-1.30	85.84	-3.61	0.40	-11.57	19.62
Máximos	-1.22	88.29	32.90	20.53	18.19	19.62
	Cota: -9.00 m	Cota: -9.00 m	Cota: -6.25 m	Cota: -2.00 m	Cota: -2.75 m	Cota: -6.00 m
Mínimos	-2.46	-0.00	-32.41	-34.95	-46.40	0.00
	Cota: -4.50 m	Cota: 0.00 m	Cota: -2.25 m	Cota: -5.00 m	Cota: -6.25 m	Cota: 0.00 m

**FASE 6: CONSTRUCCIÓN DE SOLERA DE CANTO 300 MM**

**BÁSICA**

Cota (m)	Desplazamientos (mm)	Ley de axiles (kN/m)	Ley de cortantes (kN/m)	Ley de momento flector (kN·m/m)	Ley de empujes (kN/m <sup>2</sup> )	Presión hidrostática (kN/m <sup>2</sup> )
0.00	-1.81	-0.00	1.36	-0.00	10.86	0.00
-0.50	-1.85	4.91	3.02	1.15	11.49	0.00
-1.25	-1.92	12.26	11.77	7.78	10.78	0.00
-2.00	-2.02	19.62	19.58	20.52	12.52	0.00
-2.75	-2.19	26.98	-24.74	-0.97	18.19	0.00
-3.50	-2.34	34.34	-19.69	-15.99	3.99	0.00
-4.25	-2.44	41.69	-15.19	-28.76	9.13	2.45
-5.00	-2.44	49.05	-3.82	-34.91	12.50	9.81
-5.75	-2.31	56.41	15.59	-28.52	15.86	17.17

Cota (m)	Desplazamientos (mm)	Ley de axiles (kN/m)	Ley de cortantes (kN/m)	Ley de momento flector (kN·m/m)	Ley de empujes (kN/m <sup>2</sup> )	Presión hidrostática (kN/m <sup>2</sup> )
-6.25	-2.15	61.31	32.82	-14.38	-46.33	19.62
-7.00	-1.89	68.67	14.21	0.69	-40.50	19.62
-7.75	-1.63	76.03	0.24	4.07	-30.72	19.62
-8.50	-1.38	83.38	-4.44	1.30	-16.29	19.62
Máximos	-1.22	88.29	32.82	20.52	18.19	19.62
	Cota: -9.00 m	Cota: -9.00 m	Cota: -6.25 m	Cota: -2.00 m	Cota: -2.75 m	Cota: -6.00 m
Mínimos	-2.46	-0.00	-32.41	-34.91	-46.33	0.00
	Cota: -4.50 m	Cota: 0.00 m	Cota: -2.25 m	Cota: -5.00 m	Cota: -6.25 m	Cota: 0.00 m

### FASE 7: INTRODUCCION DE CARGAS EN CORONACIÓN

#### BÁSICA

Cota (m)	Desplazamientos (mm)	Ley de axiles (kN/m)	Ley de cortantes (kN/m)	Ley de momento flector (kN·m/m)	Ley de empujes (kN/m <sup>2</sup> )	Presión hidrostática (kN/m <sup>2</sup> )
0.00	-1.91	10.70	2.77	1.50	10.19	0.00
-0.50	-1.93	15.61	4.22	3.31	11.01	0.00
-1.25	-1.96	22.96	12.56	10.64	10.22	0.00
-2.00	-2.03	30.32	20.13	23.82	12.52	0.00
-2.75	-2.18	37.68	-25.99	1.39	18.27	0.00
-3.50	-2.33	45.04	-20.79	-14.50	4.32	0.00
-4.25	-2.43	52.39	-16.03	-27.97	9.48	2.45
-5.00	-2.43	59.75	-4.41	-34.62	12.79	9.81
-5.75	-2.30	67.11	15.19	-28.57	16.05	17.17
-6.25	-2.15	72.01	32.69	-14.52	-46.06	19.62
-7.00	-1.89	79.37	14.25	0.54	-40.38	19.62
-7.75	-1.63	86.73	0.34	3.98	-30.72	19.62
-8.50	-1.38	94.08	-4.36	1.28	-16.38	19.62
Máximos	-1.22	98.99	32.69	23.82	18.27	19.62
	Cota: -9.00 m	Cota: -9.00 m	Cota: -6.25 m	Cota: -2.00 m	Cota: -2.75 m	Cota: -6.00 m
Mínimos	-2.44	10.70	-33.67	-34.62	-46.06	0.00
	Cota: -4.50 m	Cota: 0.00 m	Cota: -2.25 m	Cota: -5.00 m	Cota: -6.25 m	Cota: 0.00 m

### FASE 8: NIVEL FREATICO

#### BÁSICA

Cota (m)	Desplazamientos (mm)	Ley de axiles (kN/m)	Ley de cortantes (kN/m)	Ley de momento flector (kN·m/m)	Ley de empujes (kN/m <sup>2</sup> )	Presión hidrostática (kN/m <sup>2</sup> )
0.00	-1.97	10.70	2.73	1.50	9.83	0.00
-0.50	-1.97	15.61	4.05	3.26	10.74	0.00
-1.25	-1.98	22.96	12.16	10.36	9.90	0.00
-2.00	-2.03	30.32	19.60	23.16	12.53	0.00
-2.75	-2.16	37.68	-26.26	0.49	18.65	0.00
-3.50	-2.28	45.04	-20.41	-15.34	5.84	0.00
-4.25	-2.35	52.39	-14.30	-27.87	13.25	0.00



**“Proyecto de las estructuras para la conexión peatonal de los andenes de la estación de Font de Sant Lluís en Valencia”.**

Cota (m)	Desplazamientos (mm)	Ley de axiles (kN/m)	Ley de cortantes (kN/m)	Ley de momento flector (kN·m/m)	Ley de empujes (kN/m <sup>2</sup> )	Presión hidrostática (kN/m <sup>2</sup> )
-5.00	-2.32	59.75	-2.27	-32.93	21.54	0.00
-5.75	-2.16	67.11	15.91	-25.88	29.61	0.00
-6.25	-2.00	72.01	31.38	-12.21	-26.57	0.00
-7.00	-1.73	79.37	12.99	1.87	-20.38	0.00
-7.75	-1.47	86.73	-0.58	4.53	-10.50	0.00
-8.50	-1.22	94.08	-4.81	1.37	3.93	0.00
Máximos	-1.06	98.99	31.38	23.16	32.24	0.00
s	Cota: -9.00 m	Cota: -9.00 m	Cota: -6.25 m	Cota: -2.00 m	Cota: -6.00 m	Cota: 0.00 m
Mínimos	-2.35	10.70	-34.03	-32.93	-26.57	0.00
s	Cota: -4.50 m	Cota: 0.00 m	Cota: -2.25 m	Cota: -5.00 m	Cota: -6.25 m	Cota: 0.00 m

## 11.- RESULTADOS PARA LOS ELEMENTOS DE APOYO

Esfuerzos sin mayorar.

### Puntales

Cota: -0.30 m

Fase	Resultado
Colocación de puntal en la cota - 0.30 m	Carga puntual: 0.00 kN Carga lineal: 0.00 kN/m
Excavación hasta la cota: -2.5 m	Carga puntual: 2.00 kN Carga lineal: 2.00 kN/m
Construcción de puntal en la cota - 2	Carga puntual: 2.00 kN Carga lineal: 2.00 kN/m
Excavación hasta la cota: -6.00	Carga puntual: 1.13 kN Carga lineal: 1.13 kN/m
Construcción de solera de canto 300 mm	Carga puntual: 1.13 kN Carga lineal: 1.13 kN/m
Introducción de cargas en coronación	Carga puntual: 1.21 kN Carga lineal: 1.21 kN/m
Nivel freático	Carga puntual: 1.25 kN Carga lineal: 1.25 kN/m

Cota: -2.00 m

Fase	Resultado
Construcción de puntal en la cota - 2	Carga puntual: 0.00 kN Carga lineal: 0.00 kN/m
Excavación hasta la cota: -6.00	Carga puntual: 55.13 kN Carga lineal: 55.13 kN/m
Construcción de solera de canto 300 mm	Carga puntual: 55.12 kN Carga lineal: 55.12 kN/m
Introducción de cargas en coronación	Carga puntual: 56.92 kN Carga lineal: 56.92 kN/m
Nivel freático	Carga puntual: 56.76 kN Carga lineal: 56.76 kN/m

### Forjados

Cota: -5.70 m

Fase	Resultado
Construcción de solera de canto 300 mm	Carga lineal: 0.18 kN/m

Cota: -5.70 m

Fase

Resultado

Introducción de cargas en coronación

SE PRODUCE DESPEGUE: 0.01 mm

Nivel freático

SE PRODUCE DESPEGUE: 0.14 mm

**12.- DESCRIPCIÓN DEL ARMADO**

Armado vertical trasdós	Armado vertical intradós	Armado base horizontal	Rigidizador vertical	Rigidizador horizontal
Ø16c/20 Refuerzos: - Ø12 L(245), D(415) D: Distancia desde coronación	Ø16c/20 Refuerzos: - Ø16 L(615), D(180) D: Distancia desde coronación	Ø12c/25	2 Ø16	4 Ø16

**13.- COMPROBACIONES GEOMÉTRICAS Y DE RESISTENCIA**

Referencia: Muro Pantalla HA-30 9 m (Muro pantalla de hormigón armado HA-30/20/IIa+Qc y acero B500SD)

Comprobación	Valores	Estado
Recubrimiento: <i>Norma EHE-08. Artículo 37.2.4.1</i>	Mínimo: 7 cm Calculado: 7 cm	Cumple
Separación libre mínima armaduras horizontales: <i>Norma EHE-08. Artículo 69.4.1</i>	Mínimo: 2.5 cm Calculado: 23.8 cm	Cumple
Separación máxima armaduras horizontales: <i>Norma EHE-08. Artículo 42.3.1</i>	Máximo: 30 cm Calculado: 25 cm	Cumple
Cuantía geométrica mínima horizontal por cara: <i>Norma EHE-08. Artículo 42.3.5</i>	Mínimo: 0.001 Calculado: 0.00113	Cumple
Cuantía mínima mecánica horizontal por cara: <i>Criterio J.Calavera. "Muros de contención y muros de sótano". (Cuantía horizontal &gt; 20% Cuantía vertical)</i>	Mínimo: 0.001 Calculado: 0.00113	Cumple
Longitud de patilla horizontal: <i>La longitud de la patilla debe ser, como mínimo, 12 veces el diámetro. Criterio de J. Calavera, "Manual de Detalles Constructivos en Obras de Hormigón Armado".</i>	Mínimo: 14 cm Calculado: 20 cm	Cumple
Cuantía mínima geométrica vertical cara traccionada: <i>Norma EHE-08. Artículo 42.3.5</i> - Trasdós: - Intradós:	Mínimo: 0.0012 Calculado: 0.00251 Calculado: 0.00251	Cumple Cumple
Cuantía mínima geométrica vertical cara comprimida: <i>Norma EHE-08. Artículo 42.3.5</i> - Trasdós: - Intradós:	Mínimo: 0.00036 Calculado: 0.00251 Calculado: 0.00251	Cumple Cumple
Cuantía mínima mecánica vertical cara traccionada: <i>Norma EHE-08. Artículo 42.3.2</i> - Trasdós:	Mínimo: 0.0013 Calculado: 0.00251	Cumple





**“Proyecto de las estructuras para la conexión peatonal de los andenes de la estación de Font de Sant Lluís en Valencia”.**

Referencia: Muro Pantalla HA-30 9 m (Muro pantalla de hormigón armado HA-30/20/IIa+Qc y acero B500SD)		
Comprobación	Valores	Estado
- Intradós:	Mínimo: 0.00138 Calculado: 0.00502	Cumple
Cuantía mínima mecánica vertical cara comprimida: <i>Norma EHE-08. Artículo 42.3.3</i>	Calculado: 0.00251	
- Trasdós:	Mínimo: 4e-005	Cumple
- Intradós:	Mínimo: 6e-005	Cumple
Separación libre mínima armaduras verticales: <i>Norma EHE-08. Artículo 69.4.1</i>	Mínimo: 2.5 cm	
- Trasdós:	Calculado: 8.6 cm	Cumple
- Intradós:	Calculado: 8.4 cm	Cumple
Separación máxima entre barras: <i>Norma EHE-08. Artículo 42.3.1</i>	Máximo: 30 cm	
- Armadura vertical Trasdós:	Calculado: 20 cm	Cumple
- Armadura vertical Intradós:	Calculado: 20 cm	Cumple
Comprobación a flexión compuesta: <i>Comprobación realizada por módulo de pantalla</i>		Cumple
Comprobación a cortante: <i>Norma EHE-08. Artículo 44.2.3.2.1</i>	Máximo: 375.6 kN Calculado: 136.1 kN	Cumple
Rigidizadores horizontales:		
- Diámetro mínimo: <i>Criterio de CYPE Ingenieros. El diámetro del rigidizador debe ser como mínimo igual al mayor diámetro de la armadura base vertical.</i>	Mínimo: 16 mm Calculado: 16 mm	Cumple
- Separación máxima: <i>Criterio NTE. Acondicionamiento del Terreno, Cimentaciones.</i>	Máximo: 2.5 m Calculado: 2.25 m	Cumple
Rigidizadores verticales:		
- Diámetro mínimo: <i>Criterio de CYPE Ingenieros. El diámetro del rigidizador debe ser como mínimo igual al mayor diámetro de la armadura base vertical.</i>	Mínimo: 16 mm Calculado: 16 mm	Cumple
- Separación máxima: <i>Criterio NTE. Acondicionamiento del Terreno, Cimentaciones.</i>	Máximo: 1.5 m Calculado: 1.25 m	Cumple
Se cumplen todas las comprobaciones		
Avisos:		
- No se ha definido ninguna fase de servicio		
Información adicional:		
- Sección crítica a flexión compuesta: Cota: -3.50 m, Md: 125.30 kN·m, Nd: 0.00 kN, Vd: 20.00 kN, Tensión máxima del acero: 186.049 MPa		
- Sección crítica a cortante: Cota: -2.25 m		
- La comprobación del estado límite de fisuración no se ha realizado debido a que no se ha definido ninguna fase de servicio		

Referencia: Muro Pantalla HA-30 9 m (Muro pantalla de hormigon armado HA-30/20/IIa+Qc y acero B500SD)

Comprobación	Valores	Estado
- Los esfuerzos están mayorados y corresponden al ancho total del tramo definido. (Longitud tramo: 2.50 m)		

## 14.- COMPROBACIONES DE ESTABILIDAD (COEFICIENTES DE SEGURIDAD)

Referencia: Comprobaciones de estabilidad (Coeficientes de seguridad): Muro Pantalla HA-30 9 m (Muro pantalla de hormigon armado HA-30/20/IIa+Qc y acero B500SD)

Comprobación	Valores	Estado
<p>Relación entre el momento originado por los empujes pasivos en el intradós y el momento originado por los empujes activos en el trasdós:</p> <p>- Hipótesis básica: <i>Valor introducido por el usuario.</i></p> <p>- Excavación hasta la cota: - 0.50 m:</p> <p>- Colocación de puntal en la cota - 0.30 m:</p> <p>- Excavación hasta la cota: -2.5 m:</p> <p>- Construcción de puntal en la cota - 2 <sup>(1)</sup></p> <p>- Excavación hasta la cota: -6.00 <sup>(1)</sup></p> <p>- Construcción de solera de canto 300 mm <sup>(1)</sup></p> <p>- Introduccion de cargas en coronación <sup>(1)</sup></p> <p>- Nivel freatico <sup>(1)</sup></p> <p><sup>(1)</sup> Existe más de un apoyo.</p>	<p>Mínimo: 1.67</p> <p>Calculado: 16.803</p> <p>Calculado: 18.789</p> <p>Calculado: 12.71</p>	<p>Cumple</p> <p>Cumple</p> <p>Cumple</p> <p>No procede</p> <p>No procede</p> <p>No procede</p> <p>No procede</p> <p>No procede</p>
<p>Relación entre el empuje pasivo total en el intradós y el empuje realmente movilizado en el intradós: <i>Valor introducido por el usuario.</i></p> <p>Hipótesis básica:</p> <p>- Excavación hasta la cota: - 0.50 m:</p> <p>- Colocación de puntal en la cota - 0.30 m:</p> <p>- Excavación hasta la cota: -2.5 m:</p> <p>- Construcción de puntal en la cota - 2:</p> <p>- Excavación hasta la cota: -6.00:</p> <p>- Construcción de solera de canto 300 mm:</p> <p>- Introduccion de cargas en coronación:</p> <p>- Nivel freatico:</p>	<p>Mínimo: 1.67</p> <p>Calculado: 5.802</p> <p>Calculado: 5.802</p> <p>Calculado: 4.757</p> <p>Calculado: 4.757</p> <p>Calculado: 2.126</p> <p>Calculado: 2.126</p> <p>Calculado: 2.127</p> <p>Calculado: 2.437</p>	<p>Cumple</p> <p>Cumple</p> <p>Cumple</p> <p>Cumple</p> <p>Cumple</p> <p>Cumple</p> <p>Cumple</p> <p>Cumple</p>
Se cumplen todas las comprobaciones		



## 15.- COMPROBACIONES DE ESTABILIDAD (CÍRCULO DE DESLIZAMIENTO PÉSIMO)

Referencia: Comprobaciones de estabilidad (Círculo de deslizamiento pésimo): Muro Pantalla HA-30 9 m (Muro pantalla de hormigón armado HA-30/20/IIa+Qc y acero B500SD)

Comprobación	Valores	Estado
Círculo de deslizamiento pésimo:		
- Combinaciones sin sismo: <i>Valor introducido por el usuario.</i>	Mínimo: 1.8	
- Excavación hasta la cota: - 0.50 m: Coordenadas del centro del círculo (-0.58 m ; 1.48 m) - Radio: 4.48 m:	Calculado: 18.774	Cumple
- Colocación de puntal en la cota - 0.30 m: Coordenadas del centro del círculo (-0.58 m ; 1.48 m) - Radio: 4.48 m:	Calculado: 18.774	Cumple
- Excavación hasta la cota: -2.5 m: Coordenadas del centro del círculo (-1.63 m ; 4.20 m) - Radio: 13.70 m:	Calculado: 5.64	Cumple
- Construcción de puntal en la cota - 2: Coordenadas del centro del círculo (-1.63 m ; 4.20 m) - Radio: 13.70 m:	Calculado: 5.64	Cumple
- Excavación hasta la cota: -6.00: Coordenadas del centro del círculo (-2.46 m ; 1.24 m) - Radio: 10.74 m:	Calculado: 2.277	Cumple
- Construcción de solera de canto 300 mm <sup>(1)</sup>		No procede
- Introduccion de cargas en coronación <sup>(1)</sup>		No procede
- Nivel freático <sup>(1)</sup>		No procede
- Combinaciones con sismo: <i>Valor introducido por el usuario.</i>	Mínimo: 1.2	
- Excavación hasta la cota: - 0.50 m: Coordenadas del centro del círculo (-1.58 m ; 1.48 m) - Radio: 10.48 m:	Calculado: 8.21	Cumple
- Colocación de puntal en la cota - 0.30 m: Coordenadas del centro del círculo (-1.58 m ; 1.48 m) - Radio: 10.48 m:	Calculado: 8.21	Cumple
- Excavación hasta la cota: -2.5 m: Coordenadas del centro del círculo (-1.96 m ; 6.60 m) - Radio: 16.10 m:	Calculado: 3.108	Cumple
- Construcción de puntal en la cota - 2: Coordenadas del centro del círculo (-1.96 m ; 6.60 m) - Radio: 16.10 m:	Calculado: 3.108	Cumple
- Excavación hasta la cota: -6.00: Coordenadas del centro del círculo (-2.94 m ; 4.28 m) - Radio: 13.78 m:	Calculado: 1.743	Cumple
<sup>(1)</sup> No es necesario comprobar la estabilidad global (círculo de deslizamiento pésimo) cuando en la fase se ha definido algún forjado.		

Se cumplen todas las comprobaciones

### Información adicional:

- Excavación hasta la cota: - 0.50 m: Combinaciones sin sismo - Debido a que el círculo de deslizamiento pésimo pasa por el elemento de contención, éste deberá resistir un cortante de, al menos, 488.355 kN/m en la intersección con dicho círculo. Esto es necesario para garantizar la validez del coeficiente de seguridad calculado.

- Colocación de puntal en la cota - 0.30 m: Combinaciones sin sismo - Debido a que el círculo de deslizamiento pésimo pasa por el elemento de contención, éste deberá resistir un cortante de, al menos, 488.355 kN/m en la intersección con dicho círculo. Esto es necesario para garantizar la validez del coeficiente de seguridad calculado.

Referencia: Comprobaciones de estabilidad (Círculo de deslizamiento pésimo): Muro Pantalla HA-30 9 m (Muro pantalla de hormigón armado HA-30/20/IIa+Qc y acero B500SD)

Comprobación	Valores	Estado
- Excavación hasta la cota: - 0.50 m: Combinaciones con sismo - Debido a que el círculo de deslizamiento pésimo pasa por el elemento de contención, éste deberá resistir un cortante de, al menos, 490.872 kN/m en la intersección con dicho círculo. Esto es necesario para garantizar la validez del coeficiente de seguridad calculado.		
- Colocación de puntal en la cota - 0.30 m: Combinaciones con sismo - Debido a que el círculo de deslizamiento pésimo pasa por el elemento de contención, éste deberá resistir un cortante de, al menos, 490.872 kN/m en la intersección con dicho círculo. Esto es necesario para garantizar la validez del coeficiente de seguridad calculado.		

## 16.- MEDICIÓN

Referencia: Muro pantalla de hormigón armado	B 400 SD, Ys=1.15 Total		
Nombre de armado	Ø12	Ø16	
Armado vertical trasdós	Longitud (m)	12x9.05	108.60
	Peso (kg)	12x14.28	171.41
Armado vertical trasdós - Refuerzos	Longitud (m)	11x2.45	26.95
	Peso (kg)	11x2.18	23.93
Armado vertical intradós	Longitud (m)	12x9.05	108.60
	Peso (kg)	12x14.28	171.41
Armado vertical intradós - Refuerzos	Longitud (m)	11x6.15	67.65
	Peso (kg)	11x9.71	106.77
Junta lateral positiva	Longitud (m)	1x9.04	9.04
	Peso (kg)	1x14.27	14.27
Junta lateral negativa	Longitud (m)	1x9.04	9.04
	Peso (kg)	1x14.27	14.27
Armado horizontal	Longitud (m)	37x5.26	194.62
	Peso (kg)	37x4.67	172.79
Armado rigidizadores verticales	Longitud (m)	2x9.32	18.64
	Peso (kg)	2x14.71	29.42
Armado rigidizadores verticales	Longitud (m)	2x9.32	18.64
	Peso (kg)	2x14.71	29.42
Armado rigidizadores horizontales	Longitud (m)	8x3.07	24.56
	Peso (kg)	8x4.85	38.76
Totales	Longitud (m)	221.57	364.77
	Peso (kg)	196.72	575.73
Total con mermas (10.00%)	Longitud (m)	243.73	401.25
	Peso (kg)	216.39	633.31
Resumen de medición (se incluyen mermas de acero)	B 400 SD, Ys=1.15 (kg) Hormigón (m³)		
Elemento	Ø12	Ø16	Total HA-30, Yc=1.5
Referencia: Muro pantalla de hormigón armado	216.40	633.30	849.70
Totales	216.40	633.30	849.70



**“Proyecto de las estructuras para la conexión peatonal de los andenes  
de la estación de Font de Sant Lluís en Valencia”.**

---